

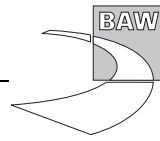


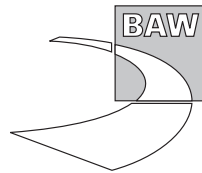
ANLAGENBAND

**Anpassung der Fahrrinne von Unter- und
Außenelbe an die Containerschifffahrt**

**Anlagenband 4 zum Gutachten zur ausbaubedingten
Änderung von Hydrodynamik und Salztransport,
flächenhafte Darstellungen für niedrigen, häufigsten
Oberwasserzufluss**

BAW-Nr. A 3955 03 10062 - H 1 a





**Anpassung der Fahrrinne von Unter- und
Außenelbe an die Containerschifffahrt**

**Anlagenband 4 zum Gutachten zur ausbaubedingten
Änderung von Hydrodynamik und Salztransport,
flächenhafte Darstellungen für niedrigen, häufigsten Oberwasserzufluss**

Auftraggeber:

Projektbüro Fahrrinnenanpassung der Unter-
und Außenelbe beim Wasser- und
Schifffahrtsamt Hamburg der WSV
(Bündelungsstelle)
und Hamburg Port Authority

Auftrag vom:

01. November 2004

Auftrags-Nr.:

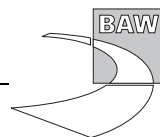
BAW-Nr. A3955 03 10062 - H 1 a

Aufgestellt von:

Abteilung: Wasserbau im Küstenbereich
Referat: Ästuarsysteme II (K3)
Bearbeiter: Dipl. Ozeanogr. M. J. Boehlich
Dr. G. Seiß

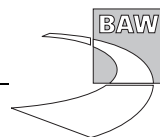
Hamburg, August 2006

Das Gutachten darf nur ungekürzt vervielfältigt werden. Die Vervielfältigung und eine Veröffentlichung bedürfen der schriftlichen Genehmigung der BAW.

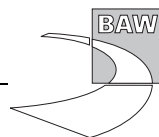


Bildverzeichnis

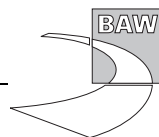
1	Tidehochwasser Teilg. West	3
2	Diff. Tidehochwasser Teilg. West	4
3	Tidemittelwasser Teilg. West	5
4	Diff. Tidemittelwasser Teilg. West	6
5	Tideniedrigwasser Teilg. West	7
6	Diff. des Tideniedrigwasser Teilg. West	8
7	Tidehub Teilg. West	9
8	Diff. des Tidehubs Teilg. West	10
9	Überflutungsdauern Teilg. West	11
10	Diff. der Überflutungsdauern Teilg. West	12
11	Mittlere Flutstromgeschwindigkeit Teilg. West	13
12	Diff. der mittleren Flutstromgeschwindigkeit Teilg. West	14
13	Maximale Flutstromgeschwindigkeit Teilg. West	15
14	Diff. der maximalen Flutstromgeschwindigkeit Teilg. West	16
15	Mittlere Ebbestromgeschwindigkeit Teilg. West	17
16	Diff. der mittleren Ebbestromgeschwindigkeit Teilg. West	18
17	Maximale Ebbestromgeschwindigkeit Teilg. West	19
18	Diff. der maximalen Ebbestromgeschwindigkeit Teilg. West	20
19	Verhältnis der mittleren Flut- zu Ebbestromgeschwindigkeit Teilg. West	21
20	Diff. Verhältnis mittlerer Flut- zu Ebbestromgeschwindigkeit Teilg. West	22
21	Verhältnis der maximalen Flut- zu Ebbestromgeschwindigkeit Teilg. West	23
22	Diff. des Verhältnis der max. Flut- zu Ebbestromgeschwindigkeit Teilg. West	24
23	Mittlere Flutstromdauer Teilg. West	25
24	Diff. der mittleren Flutstromdauer Teilg. West	26
25	Mittlere Ebbestromdauer Teilg. West	27
26	Diff. der mittleren Ebbestromdauer Teilg. West	28
27	Mittlerer Eulerscher Flutweg Teilg. West	29
28	Diff. des mittleren Eulerschen Flutweges Teilg. West	30
29	Mittlerer Eulerscher Ebbeweg Teilg. West	31
30	Diff. des mittleren Eulerschen Ebbeweges Teilg. West	32
31	Mittlere Stauwasserdauer bei Kenterpunkt Flut Teilg. West	33
32	Diff. der mittleren Stauwasserdauer bei Kenterpunkt Flut Teilg. West	34
33	Mittlere Stauwasserdauer bei Kenterpunkt Ebbe Teilg. West	35
34	Diff. der mittleren Stauwasserdauer bei Kenterpunkt Ebbe Teilg. West	36
35	Mittlerer Kenterpunktabstand bei Kenterpunkt Flut Teilg. West	37
36	Diff. des mittleren Kenterpunktabstandes bei Kenterpunkt Flut Teilg. West	38
37	Mittlerer Kenterpunktabstand bei Kenterpunkt Ebbe Teilg. West	39
38	Diff. des mittleren Kenterpunktabstandes bei Kenterpunkt Ebbe Teilg. West	40
39	Reststromgeschwindigkeit Teilg. West	41
40	Diff. der Reststromgeschwindigkeit Teilg. West	42
41	Restdurchfluss Teilg. West	43



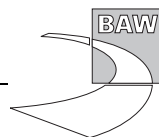
42	Diff. des Restdurchflusses Teilg. West	44
43	Maximaler Salzgehalt Teilg. West	45
44	Diff. des max. Salzgehaltes Teilg. West	46
45	Minimaler Salzgehalt Teilg. West	47
46	Diff. des min. Salzgehaltes Teilg. West	48
47	Mittlerer Salzgehalt Teilg. West	49
48	Diff. des mittl. Salzgehaltes Teilg. West	50
49	Salzgehaltsvariation Teilg. West	51
50	Diff. der Salzgehaltsvariation Teilg. West	52
51	Advektiver Salztransport Flutstrom Teilg. West	53
52	Diff. des adv. Salztransportes Flutstrom Teilg. West	54
53	Advektiver Salztransport Ebbestrom Teilg. West	55
54	Diff. des adv. Salztransportes Ebbestrom Teilg. West	56
55	Verhältnis des adv. Salztransportes Flut- zu Ebbestrom Teilg. West	57
56	Diff. des Verhältnisses des adv. Salztransportes Flut- zu Ebbestrom Teilg. West	58
57	Advektiver Rest-Salztransport Teilg. West	59
58	Diff. des adv. Rest-Salztransportes Teilg. West	60
59	Tidehochwasser Teilg. 4	63
60	Diff. Tidehochwasser Teilg. 4	64
61	Tidemittelwasser Teilg. 4	65
62	Diff. Tidemittelwasser Teilg. 4	66
63	Tideniedrigwasser Teilg. 4	67
64	Diff. des Tideniedrigwasser Teilg. 4	68
65	Tidehub Teilg. 4	69
66	Diff. des Tidehubs Teilg. 4	70
67	Überflutungsdauer Teilg. 4	71
68	Diff. der Überflutungsdauer Teilg. 4	72
69	Mittlere Flutstromgeschwindigkeit Teilg. 4	73
70	Diff. der mittleren Flutstromgeschwindigkeit Teilg. 4	74
71	Maximale Flutstromgeschwindigkeit Teilg. 4	75
72	Diff. der maximalen Flutstromgeschwindigkeit Teilg. 4	76
73	Mittlere Ebbestromgeschwindigkeit Teilg. 4	77
74	Diff. der mittleren Ebbestromgeschwindigkeit Teilg. 4	78
75	Maximale Ebbestromgeschwindigkeit Teilg. 4	79
76	Diff. der maximalen Ebbestromgeschwindigkeit Teilg. 4	80
77	Verhältnis der mittleren Flut- zu Ebbestromgeschwindigkeit Teilg. 4	81
78	Diff. Verhältnis mittlerer Flut- zu Ebbestromgeschwindigkeit Teilg. 4	82
79	Verhältnis der maximalen Flut- zu Ebbestromgeschwindigkeit Teilg. 4	83
80	Diff. des Verhältnisses der max. Flut- zu Ebbestromgeschwindigkeit Teilg. 4	84
81	Flutstromdauer Teilg. 4	85
82	Diff. der Flutstromdauer Teilg. 4	86
83	Ebbestromdauer Teilg. 4	87



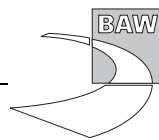
84	Diff. der Ebbestromdauer Teilg. 4	88
85	Eulerscher Flutweg Teilg. 4	89
86	Diff. des Eulerschen Flutweges Teilg. 4	90
87	Eulerscher Ebbeweg Teilg. 4	91
88	Diff. des Eulerschen Ebbeweges Teilg. 4	92
89	Stauwasserdauer bei Kenterpunkt Flut Teilg. 4	93
90	Diff. der Stauwasserdauer bei Kenterpunkt Flut Teilg. 4	94
91	Stauwasserdauer bei Kenterpunkt Ebbe Teilg. 4	95
92	Diff. der Stauwasserdauer bei Kenterpunkt Ebbe Teilg. 4	96
93	Kenterpunktabstand bei Kenterpunkt Flut Teilg. 4	97
94	Diff. des Kenterpunktabstandes bei Kenterpunkt Flut Teilg. 4	98
95	Kenterpunktabstand bei Kenterpunkt Ebbe Teilg. 4	99
96	Diff. des Kenterpunktabstandes bei Kenterpunkt Ebbe Teilg. 4	100
97	Reststromgeschwindigkeit Teilg. 4	101
98	Diff. der Reststromgeschwindigkeit Teilg. 4	102
99	Restdurchfluss Teilg. 4	103
100	Diff. des Restdurchflusses Teilg. 4	104
101	Maximaler Salzgehalt Teilg. 4	105
102	Diff. des max. Salzgehaltes Teilg. 4	106
103	Minimaler Salzgehalt Teilg. 4	107
104	Diff. des min. Salzgehaltes Teilg. 4	108
105	Mittlerer Salzgehalt Teilg. 4	109
106	Diff. des mittl. Salzgehaltes Teilg. 4	110
107	Salzgehaltsvariation Teilg. 4	111
108	Diff. der Salzgehaltsvariation Teilg. 4	112
109	Advektiver Salztransport Flutstrom Teilg. 4	113
110	Diff. des adv. Salztransports Flutstrom Teilg. 4	114
111	Advektiver Salztransport Ebbestrom Teilg. 4	115
112	Diff. des adv. Salztransports Ebbestrom Teilg. 4	116
113	Verhältnis des adv. Salztransports Flut- zu Ebbestrom Teilg. 4	117
114	Diff. des Verhältnisses des adv. Salztransports Flut- zu Ebbestrom Teilg. 4	118
115	Advektiver Rest-Salztransport Teilg. 4	119
116	Diff. des adv. Rest-Salztransports Teilg. 4	120
117	Tidehochwasser Teilg. 3	123
118	Diff. Tidehochwasser Teilg. 3	124
119	Tidemittelwasser Teilg. 3	125
120	Diff. Tidemittelwasser Teilg. 3	126
121	Tideniedrigwasser Teilg. 3	127
122	Diff. des Tideniedrigwasser Teilg. 3	128
123	Tidehub Teilg. 3	129
124	Diff. des Tidehubs Teilg. 3	130
125	Überflutungsdauer Teilg. 3	131



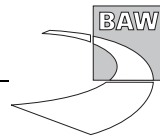
126	Diff. der Überflutungsdauer Teilg. 3	132
127	Mittlere Flutstromgeschwindigkeit Teilg. 3	133
128	Diff. der mittleren Flutstromgeschwindigkeit Teilg. 3	134
129	Maximale Flutstromgeschwindigkeit Teilg. 3	135
130	Diff. der maximalen Flutstromgeschwindigkeit Teilg. 3	136
131	Mittlere Ebbestromgeschwindigkeit Teilg. 3	137
132	Diff. der mittleren Ebbestromgeschwindigkeit Teilg. 3	138
133	Maximale Ebbestromgeschwindigkeit Teilg. 3	139
134	Diff. der maximalen Ebbestromgeschwindigkeit Teilg. 3	140
135	Verhältnis der mittleren Flut- zu Ebbestromgeschwindigkeit Teilg. 3	141
136	Diff. Verhältnis mittlerer Flut- zu Ebbestromgeschwindigkeit Teilg. 3	142
137	Verhältnis der maximalen Flut- zu Ebbestromgeschwindigkeit Teilg. 3	143
138	Diff. des Verhältnis der max. Flut- zu Ebbestromgeschwindigkeit Teilg. 3	144
139	Mittlere Flutstromdauer Teilg. 3	145
140	Diff. der mittleren Flutstromdauer Teilg. 3	146
141	Mittlere Ebbestromdauer Teilg. 3	147
142	Diff. der mittleren Ebbestromdauer Teilg. 3	148
143	Mittlerer Eulerscher Flutweg Teilg. 3	149
144	Diff. des mittleren Eulerschen Flutweges Teilg. 3	150
145	Mittlerer Eulerscher Ebbeweg Teilg. 3	151
146	Diff. des mittleren Eulerschen Ebbeweges Teilg. 3	152
147	Mittlere Stauwasserdauer bei Kenterpunkt Flut Teilg. 3	153
148	Diff. der mittleren Stauwasserdauer bei Kenterpunkt Flut Teilg. 3	154
149	Mittlere Stauwasserdauer bei Kenterpunkt Ebbe Teilg. 3	155
150	Diff. der mittleren Stauwasserdauer bei Kenterpunkt Ebbe Teilg. 3	156
151	Mittlerer Kenterpunktabstand bei Kenterpunkt Flut Teilg. 3	157
152	Diff. des mittleren Kenterpunktabstandes bei Kenterpunkt Flut Teilg. 3	158
153	Mittlerer Kenterpunktabstand bei Kenterpunkt Ebbe Teilg. 3	159
154	Diff. des mittleren Kenterpunktabstandes bei Kenterpunkt Ebbe Teilg. 3	160
155	Reststromgeschwindigkeit Teilg. 3	161
156	Diff. der Reststromgeschwindigkeit Teilg. 3	162
157	Restdurchfluss Teilg. 3	163
158	Diff. des Restdurchflusses Teilg. 3	164
159	Tidehochwasser Teilg. 2	167
160	Diff. Tidehochwasser Teilg. 2	168
161	Tidemittelwasser Teilg. 2	169
162	Diff. Tidemittelwasser Teilg. 2	170
163	Tideniedrigwasser Teilg. 2	171
164	Diff. des Tideniedrigwasser Teilg. 2	172
165	Tidehub Teilg. 2	173
166	Diff. des Tidehubs Teilg. 2	174
167	Überflutungsdauer Teilg. 2	175

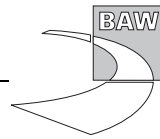


168	Diff. der Überflutungsdauer Teilg. 2	176
169	Mittlere Flutstromgeschwindigkeit Teilg. 2	177
170	Diff. der mittleren Flutstromgeschwindigkeit Teilg. 2	178
171	Maximale Flutstromgeschwindigkeit Teilg. 2	179
172	Diff. der maximalen Flutstromgeschwindigkeit Teilg. 2	180
173	Mittlere Ebbestromgeschwindigkeit Teilg. 2	181
174	Diff. der mittleren Ebbestromgeschwindigkeit Teilg. 2	182
175	Maximale Ebbestromgeschwindigkeit Teilg. 2	183
176	Diff. der maximalen Ebbestromgeschwindigkeit Teilg. 2	184
177	Verhältnis der mittleren Flut- zu Ebbestromgeschwindigkeit Teilg. 2	185
178	Diff. Verhältnis mittlerer Flut- zu Ebbestromgeschwindigkeit Teilg. 2	186
179	Verhältnis der maximalen Flut- zu Ebbestromgeschwindigkeit Teilg. 2	187
180	Diff. des Verhältnis der max. Flut- zu Ebbestromgeschwindigkeit Teilg. 2	188
181	Mittlere Flutstromdauer Teilg. 2	189
182	Diff. der mittleren Flutstromdauer Teilg. 2	190
183	Mittlere Ebbestromdauer Teilg. 2	191
184	Diff. der mittleren Ebbestromdauer Teilg. 2	192
185	Mittlerer Eulerscher Flutweg Teilg. 2	193
186	Diff. des mittleren Eulerschen Flutweges Teilg. 2	194
187	Mittlerer Eulerscher Ebbeweg Teilg. 2	195
188	Diff. des mittleren Eulerschen Ebbeweges Teilg. 2	196
189	Mittlere Stauwasserdauer bei Kenterpunkt Flut Teilg. 2	197
190	Diff. der mittleren Stauwasserdauer bei Kenterpunkt Flut Teilg. 2	198
191	Mittlere Stauwasserdauer bei Kenterpunkt Ebbe Teilg. 2	199
192	Diff. der mittleren Stauwasserdauer bei Kenterpunkt Ebbe Teilg. 2	200
193	Mittlerer Kenterpunktabstand bei Kenterpunkt Flut Teilg. 2	201
194	Diff. des mittleren Kenterpunktabstandes bei Kenterpunkt Flut Teilg. 2	202
195	Mittlerer Kenterpunktabstand bei Kenterpunkt Ebbe Teilg. 2	203
196	Diff. des mittleren Kenterpunktabstandes bei Kenterpunkt Ebbe Teilg. 2	204
197	Reststromgeschwindigkeit Teilg. 2	205
198	Diff. der Reststromgeschwindigkeit Teilg. 2	206
199	Restdurchfluss Teilg. 2	207
200	Diff. des Restdurchflusses Teilg. 2	208
201	Tidehochwasser Teilg. 1	211
202	Diff. Tidehochwasser Teilg. 1	212
203	Tidemittelwasser Teilg. 1	213
204	Diff. Tidemittelwasser Teilg. 1	214
205	Tideniedrigwasser Teilg. 1	215
206	Diff. des Tideniedrigwasser Teilg. 1	216
207	Tidehub Teilg. 1	217
208	Diff. des Tidehubs Teilg. 1	218
209	Überflutungsdauer Teilg. 1	219



210	Diff. der Überflutungsdauer Teilg. 1	220
211	Mittlere Flutstromgeschwindigkeit Teilg. 1	221
212	Diff. der mittleren Flutstromgeschwindigkeit Teilg. 1	222
213	Maximale Flutstromgeschwindigkeit Teilg. 1	223
214	Diff. der maximalen Flutstromgeschwindigkeit Teilg. 1	224
215	Mittlere Ebbestromgeschwindigkeit Teilg. 1	225
216	Diff. der mittleren Ebbestromgeschwindigkeit Teilg. 1	226
217	Maximale Ebbestromgeschwindigkeit Teilg. 1	227
218	Diff. der maximalen Ebbestromgeschwindigkeit Teilg. 1	228
219	Verhältnis der mittleren Flut- zu Ebbestromgeschwindigkeit Teilg. 1	229
220	Diff. Verhältnis mittlerer Flut- zu Ebbestromgeschwindigkeit Teilg. 1	230
221	Verhältnis der maximalen Flut- zu Ebbestromgeschwindigkeit Teilg. 1	231
222	Diff. des Verhältnis der max. Flut- zu Ebbestromgeschwindigkeit Teilg. 1	232
223	Mittlere Flutstromdauer Teilg. 1	233
224	Diff. der mittleren Flutstromdauer Teilg. 1	234
225	Mittlere Ebbestromdauer Teilg. 1	235
226	Diff. der mittleren Ebbestromdauer Teilg. 1	236
227	Mittlerer Eulerscher Flutweg Teilg. 1	237
228	Diff. des mittleren Eulerschen Flutweges Teilg. 1	238
229	Mittlerer Eulerscher Ebbeweg Teilg. 1	239
230	Diff. des mittleren Eulerschen Ebbeweges Teilg. 1	240
231	Mittlere Stauwasserdauer bei Kenterpunkt Flut Teilg. 1	241
232	Diff. der mittleren Stauwasserdauer bei Kenterpunkt Flut Teilg. 1	242
233	Mittlere Stauwasserdauer bei Kenterpunkt Ebbe Teilg. 1	243
234	Diff. der mittleren Stauwasserdauer bei Kenterpunkt Ebbe Teilg. 1	244
235	Mittlerer Kenterpunktabstand bei Kenterpunkt Flut Teilg. 1	245
236	Diff. des mittleren Kenterpunktabstandes bei Kenterpunkt Flut Teilg. 1	246
237	Mittlerer Kenterpunktabstand bei Kenterpunkt Ebbe Teilg. 1	247
238	Diff. des mittleren Kenterpunktabstandes bei Kenterpunkt Ebbe Teilg. 1	248
239	Reststromgeschwindigkeit Teilg. 1	249
240	Diff. der Reststromgeschwindigkeit Teilg. 1	250
241	Restdurchfluss Teilg. 1	251
242	Diff. des Restdurchflusses Teilg. 1	252





A Anlage 4

Diese Anlage enthält ausgewählte Tidekennwerte als flächenhafte Darstellungen für den planerischen Ist-Zustand (PIZ) und die Differenzen (AZ385S-PIZ) zwischen dem Ausbauzustand und dem planerischen Ist-Zustand bei niedrigem, häufigsten Oberwasser ($Q=350m^3/s$) in allen Teilgebieten.

Die Tidekennwerte und die Differenzen werden in Klassen eingeteilt, die farblich kodiert flächenhaft dargestellt werden. Werte unterhalb der kleinsten und oberhalb der größten Klassenbegrenzung werden separat mit den Farbwerten eingefärbt, die in den beiden Dreiecken am Anfang und Ende der Farblegende verwendet worden sind.

Die Abbildungen enthalten ferner eine mit Topographie bezeichnete und mit unterschiedlichen Grauwerten aufgefüllte Legende. In der flächenhaften Darstellung ist diese Topographie nur sichtbar, wo die Werte der eigentlich darzustellenden physikalischen Größe nicht zu sehen sind, also in den höher gelegenen Gebieten des Ästuars, typischerweise den Wattgebieten.

In jeder Abbildung sind durchgezogene Linien unterschiedlicher Farbe verzeichnet. Die Farben haben folgende Bedeutung:

- schwarz: Begrenzung der Fahrwassertrasse, der Unterwasserablagerungsflächen und der Ufervorspülungen
- rot: Mittlere Tidehochwasser-Linie
- grün: Deiche und Hochwasserschutzwände
- blau: Bauwerke, wie z.B. Buhnen

A.1 Teilgebiet West

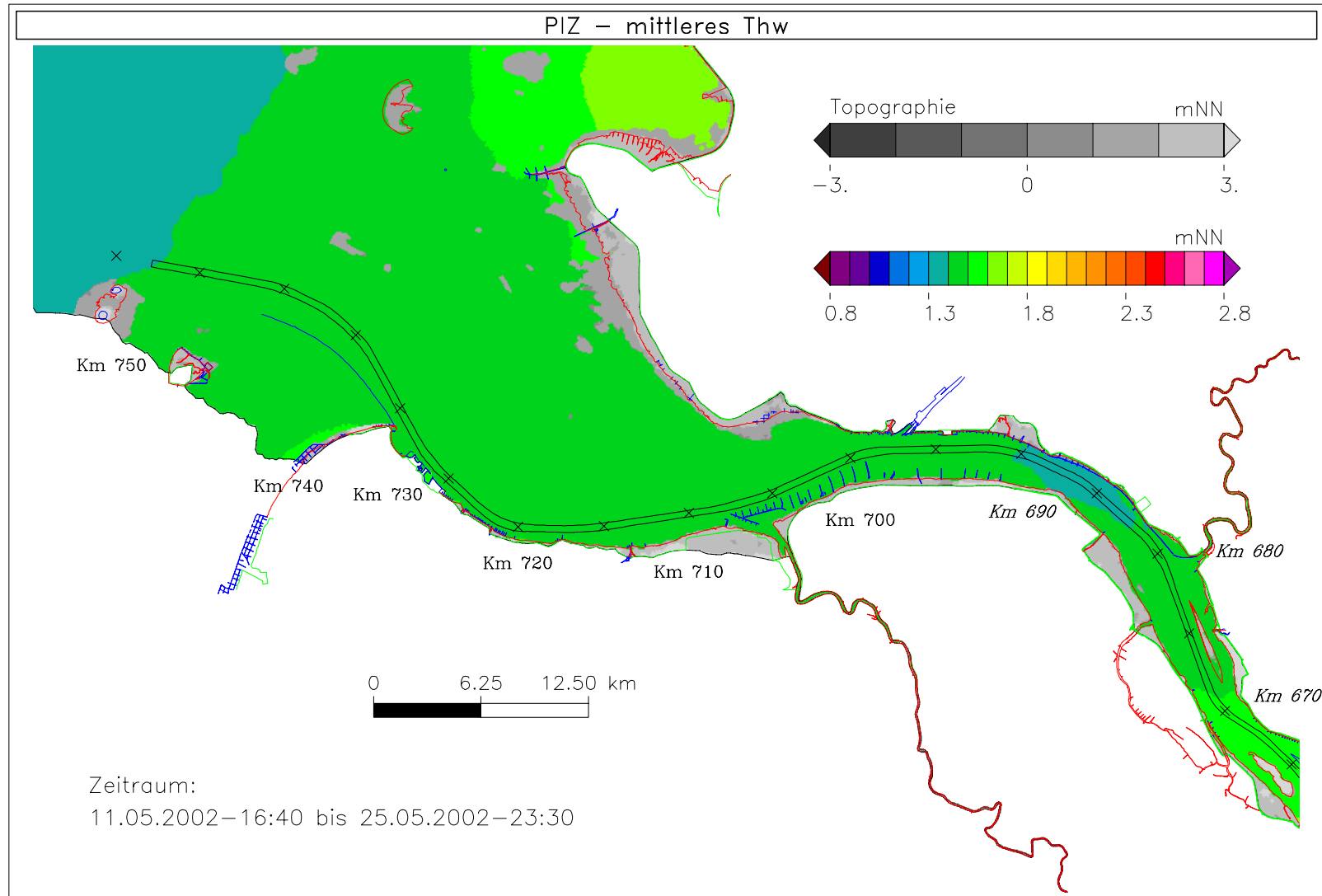


Bild 1: Tidehochwasser bei niedrigem Oberwasser, Teilgebiet West

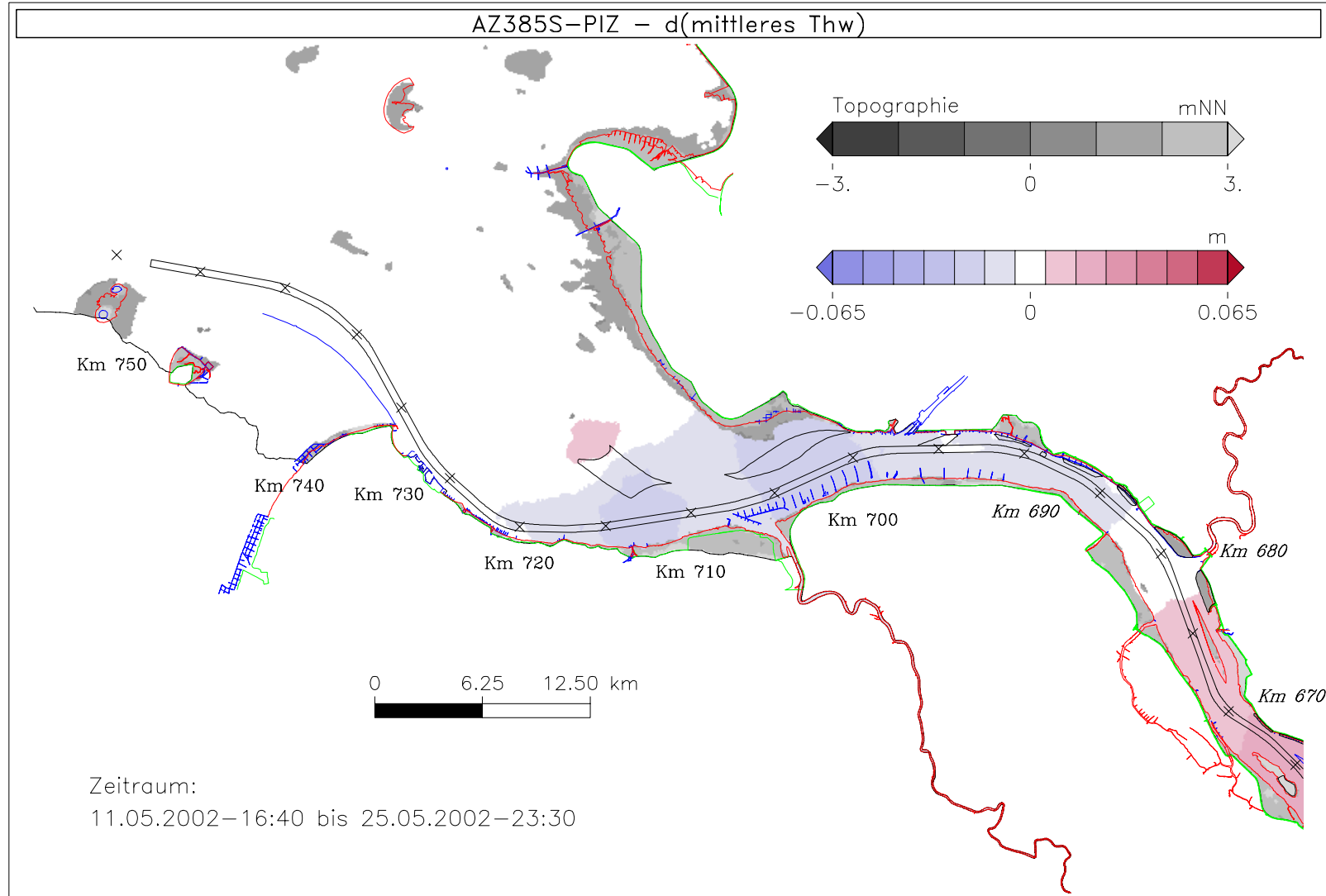


Bild 2: Differenz des Tidehochwassers (AZ385S - PIZ) bei niedrigem Oberwasser, Teilgebiet West

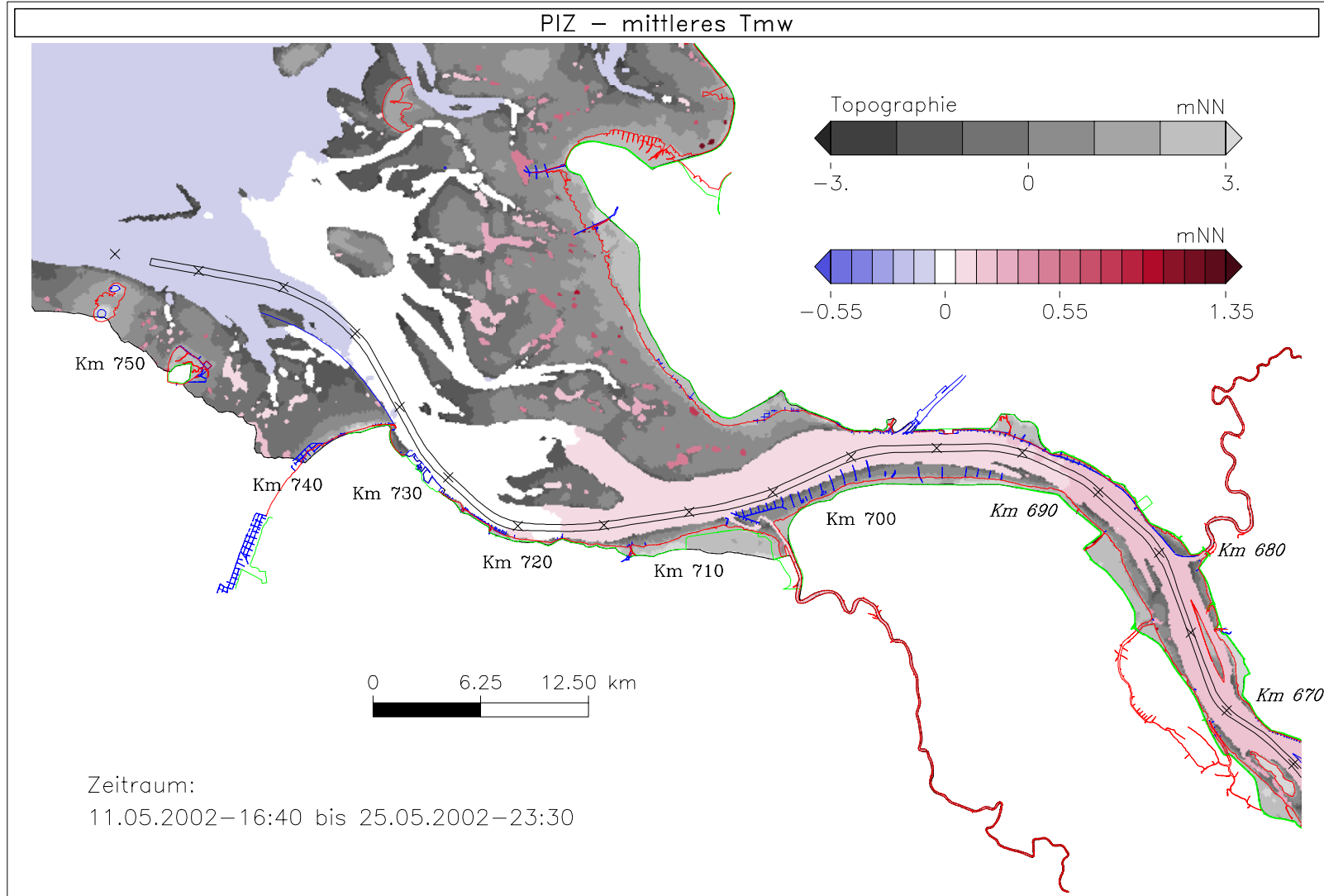


Bild 3: Tidemittelwasser bei niedrigem Oberwasser, Teilgebiet West

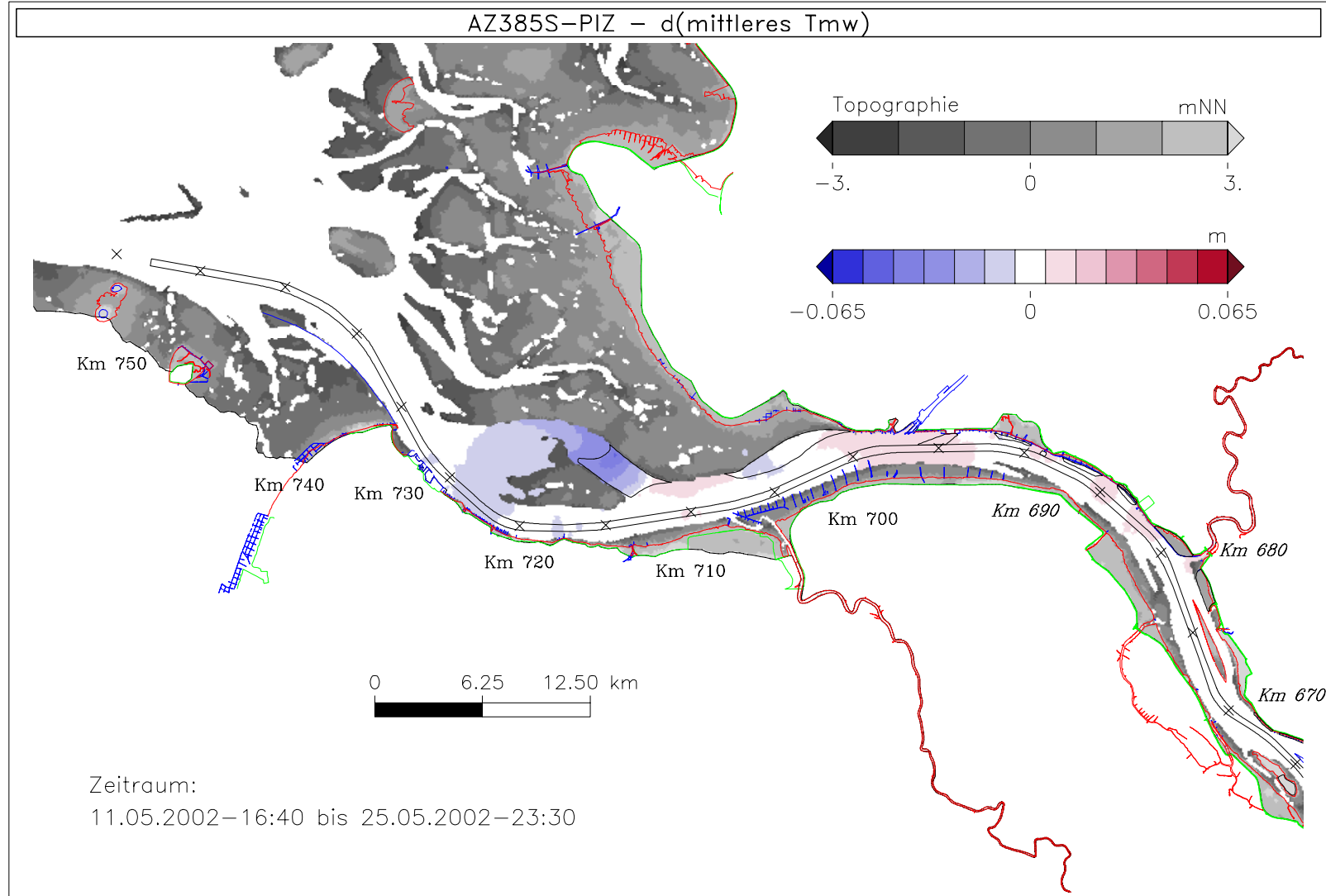


Bild 4: Differenz des Tidemittelwassers (AZ385S - PIZ) bei niedrigem Oberwasser, Teilgebiet West

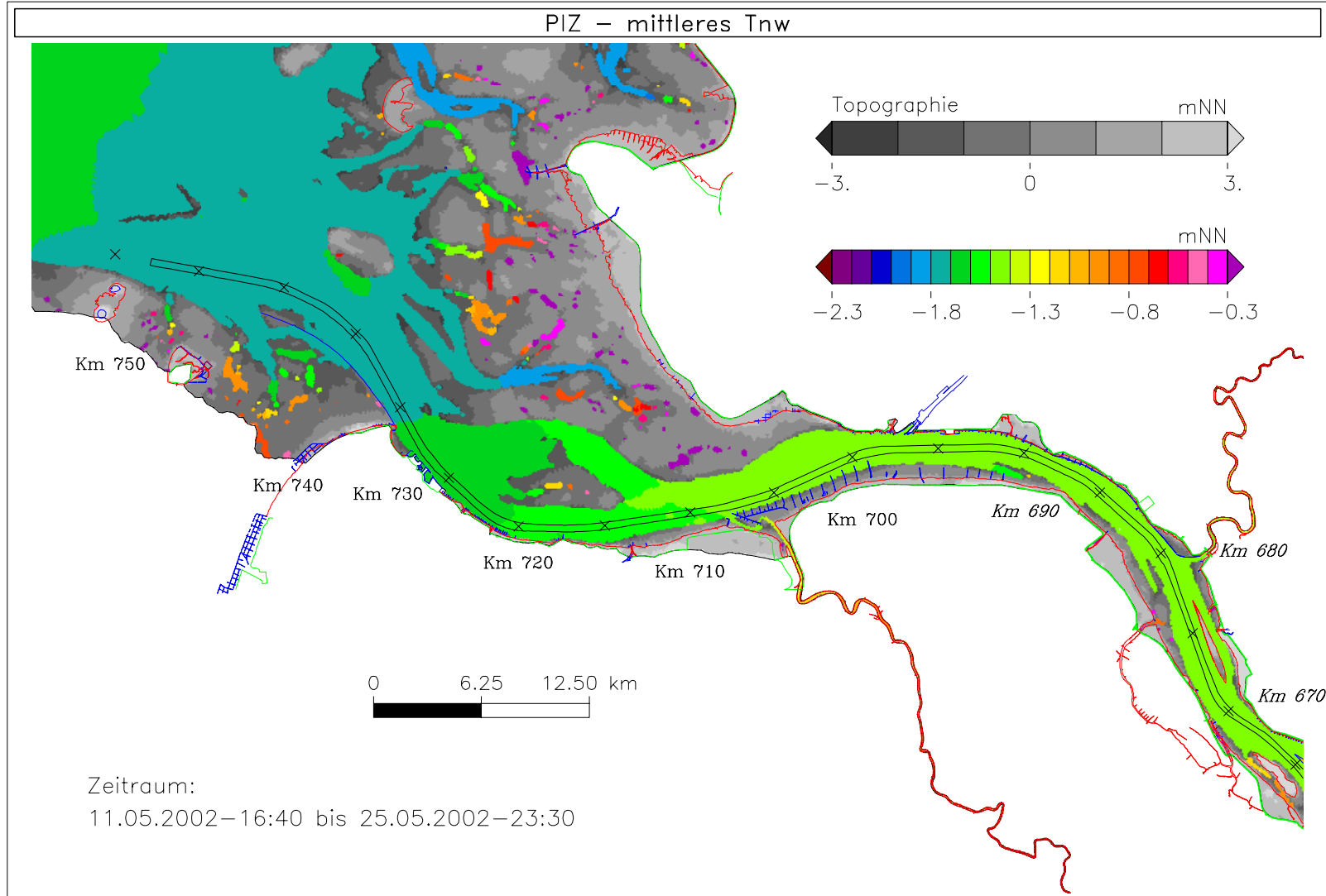


Bild 5: Tideniedrigwasser bei niedrigem Oberwasser, Teilgebiet West

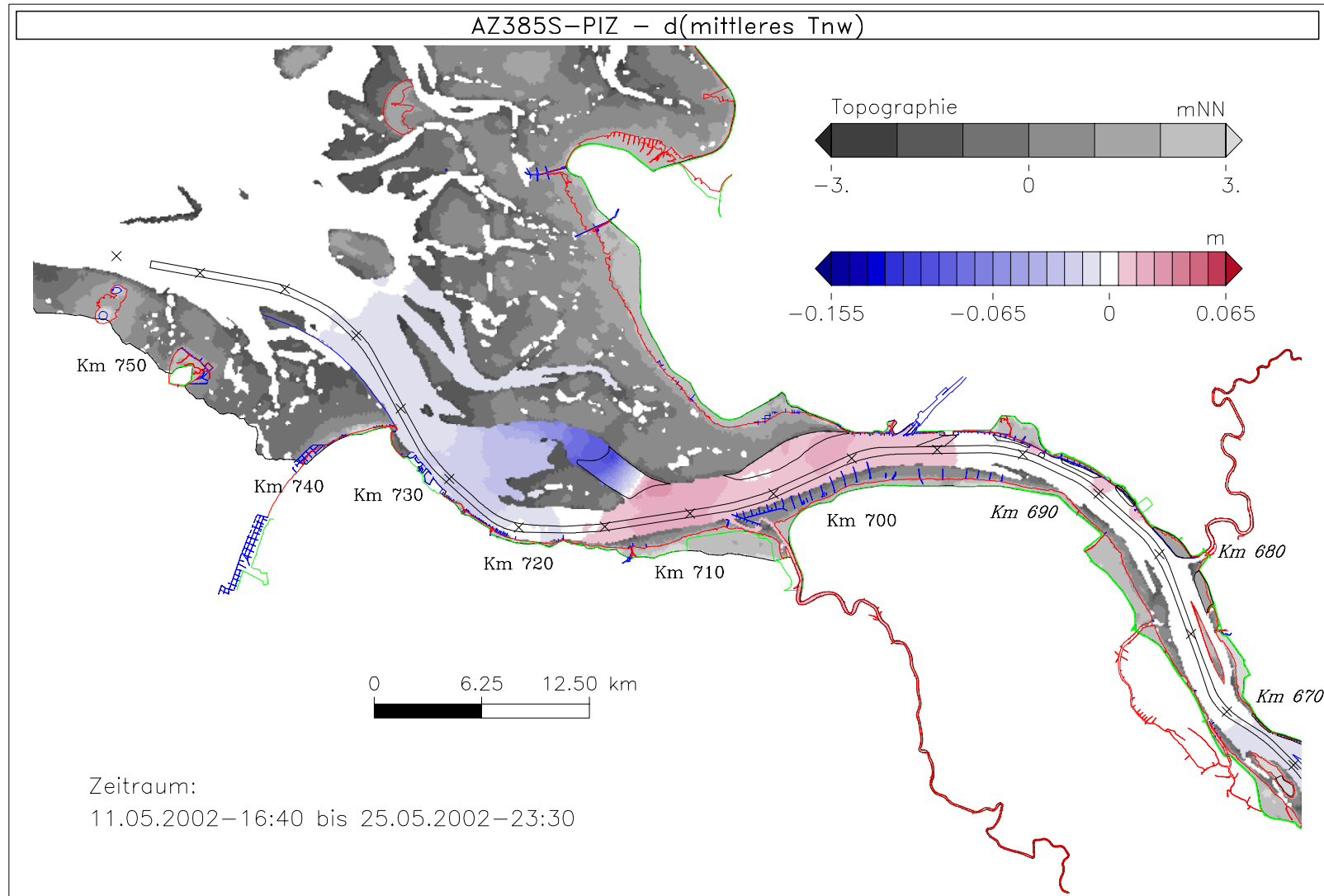


Bild 6: Differenz des Tideniedrigwassers (AZ385S - PIZ) bei niedrigem Oberwasser, Teilgebiet West

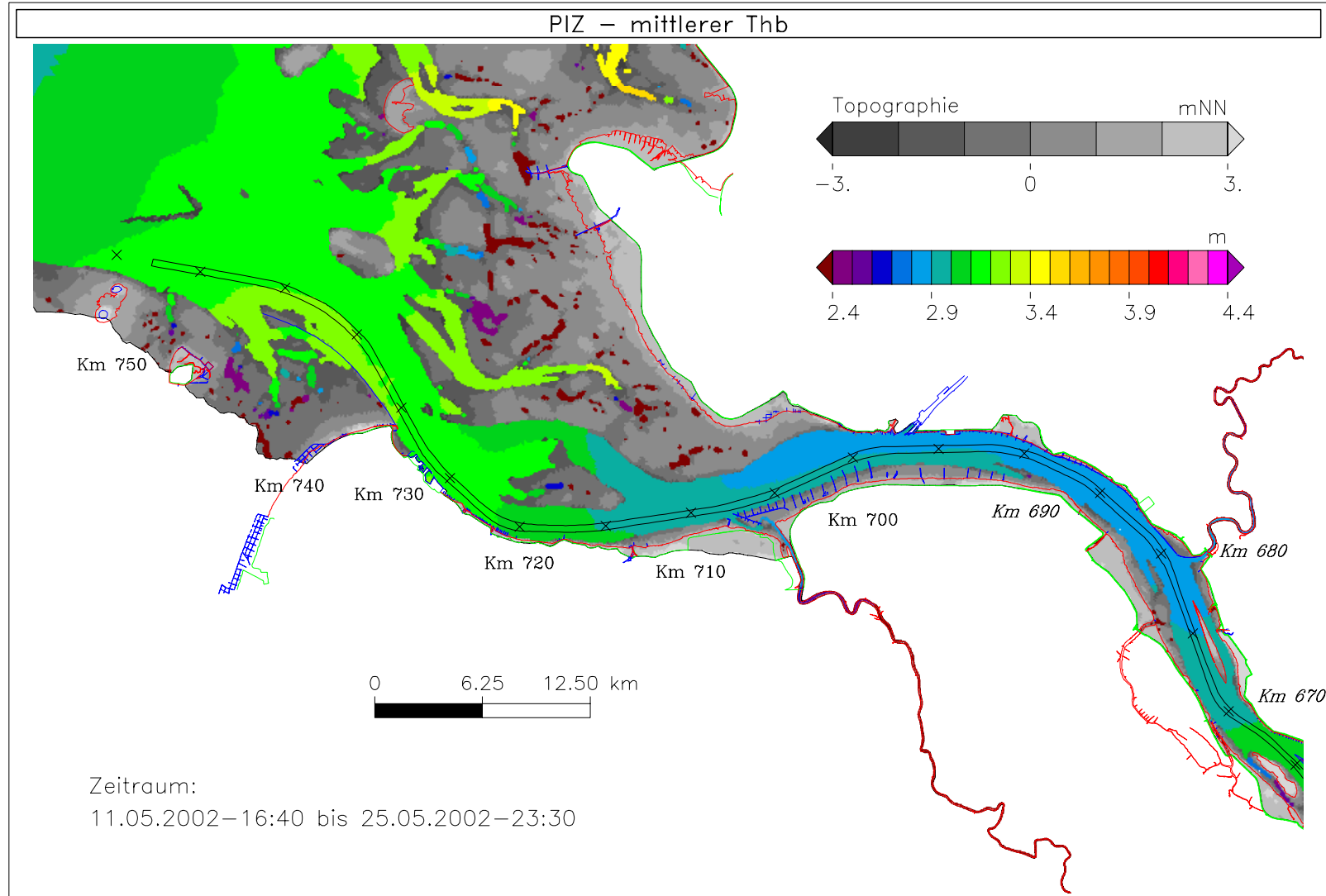
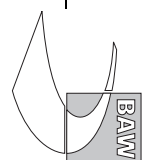


Bild 7: Tidehub bei niedrigem Oberwasser, Teilgebiet West



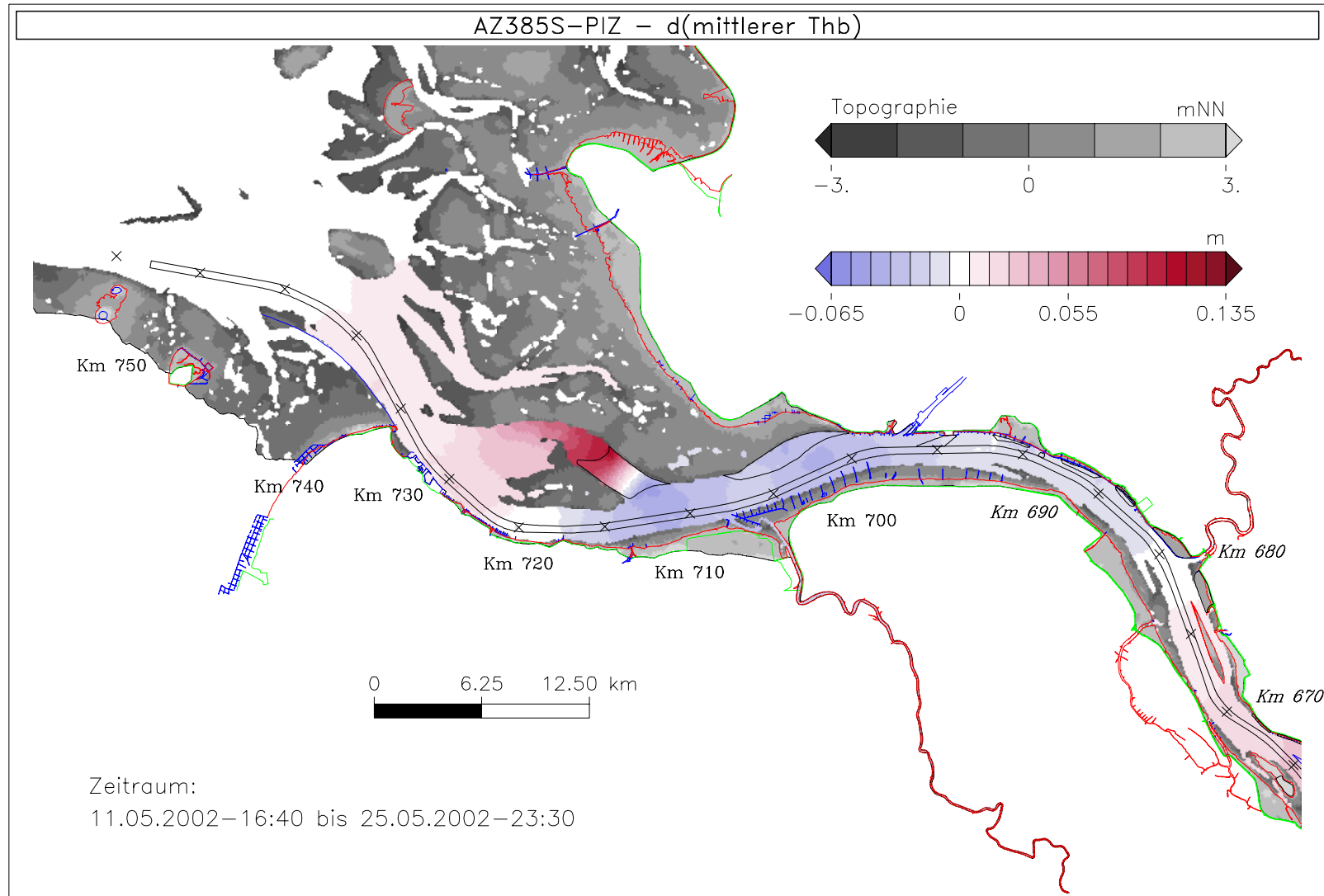


Bild 8: Differenz des Tidehubs (AZ385S - PIZ) bei niedrigem Oberwasser, Teilgebiet West

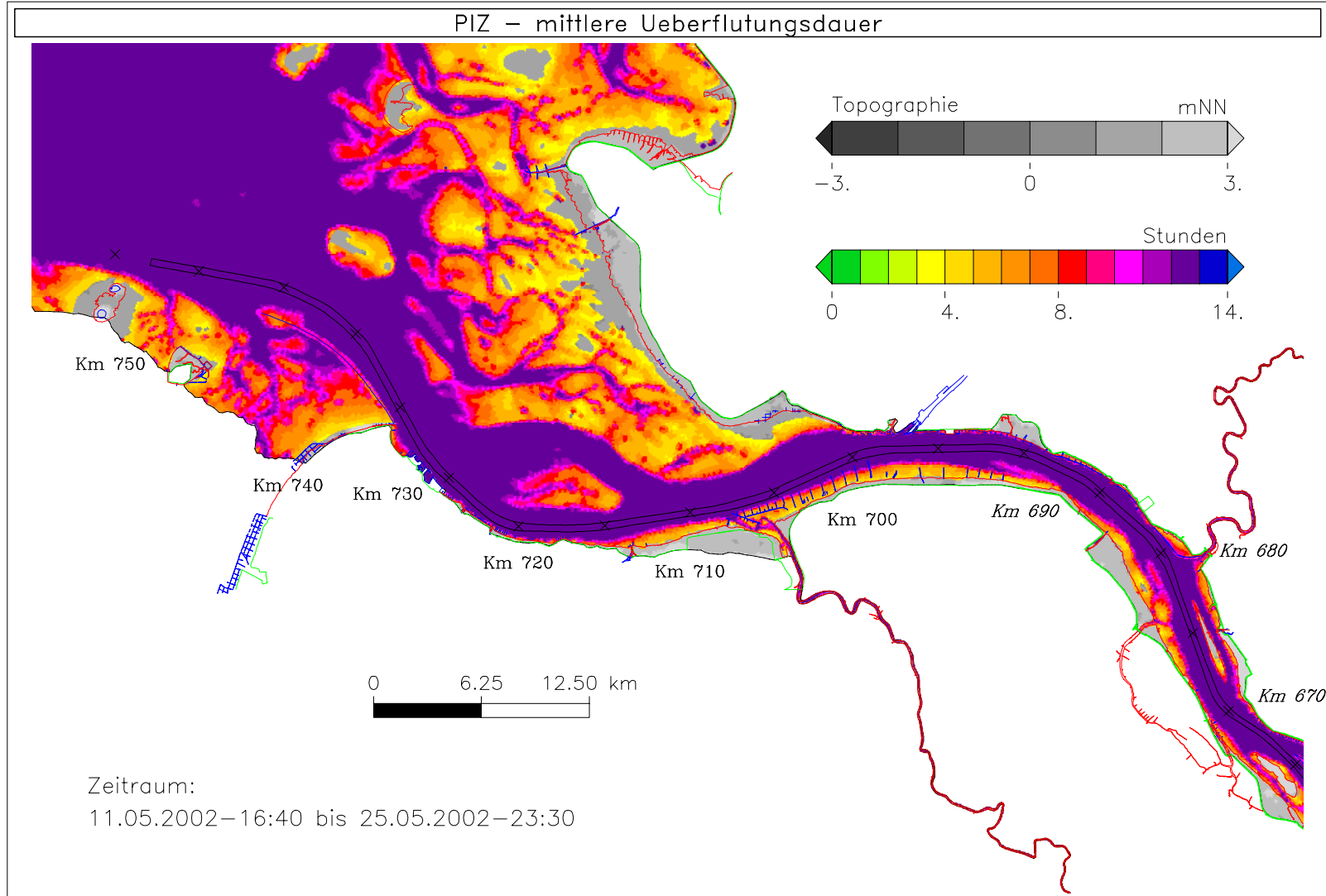
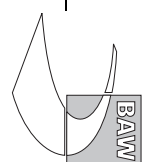


Bild 9: Überflutungsdauern bei niedrigem Oberwasser, Teilgebiet West



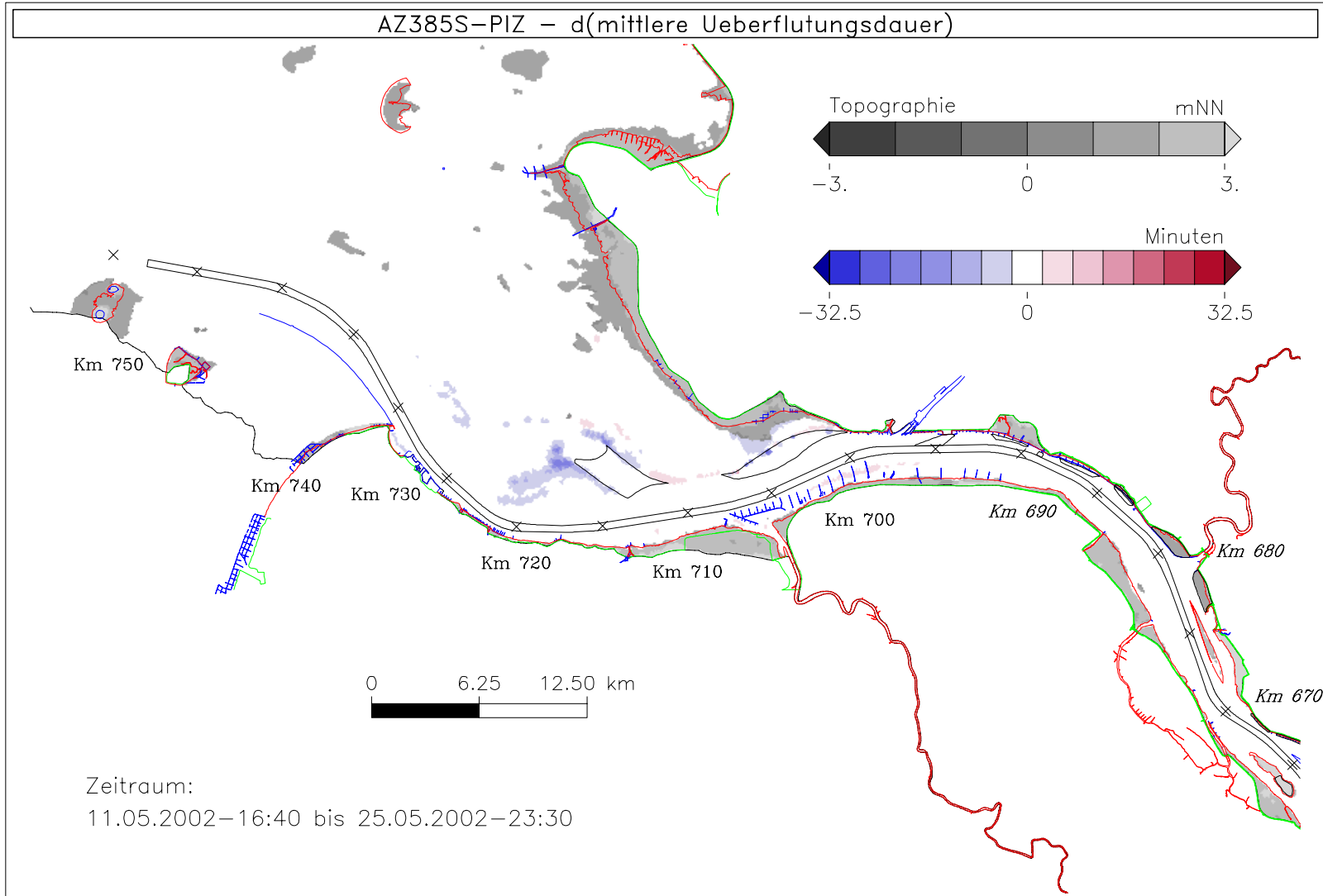


Bild 10: Differenz der Überflutungsdauern (AZ385S - PIZ) bei niedrigem Oberwasser, Teilgebiet West

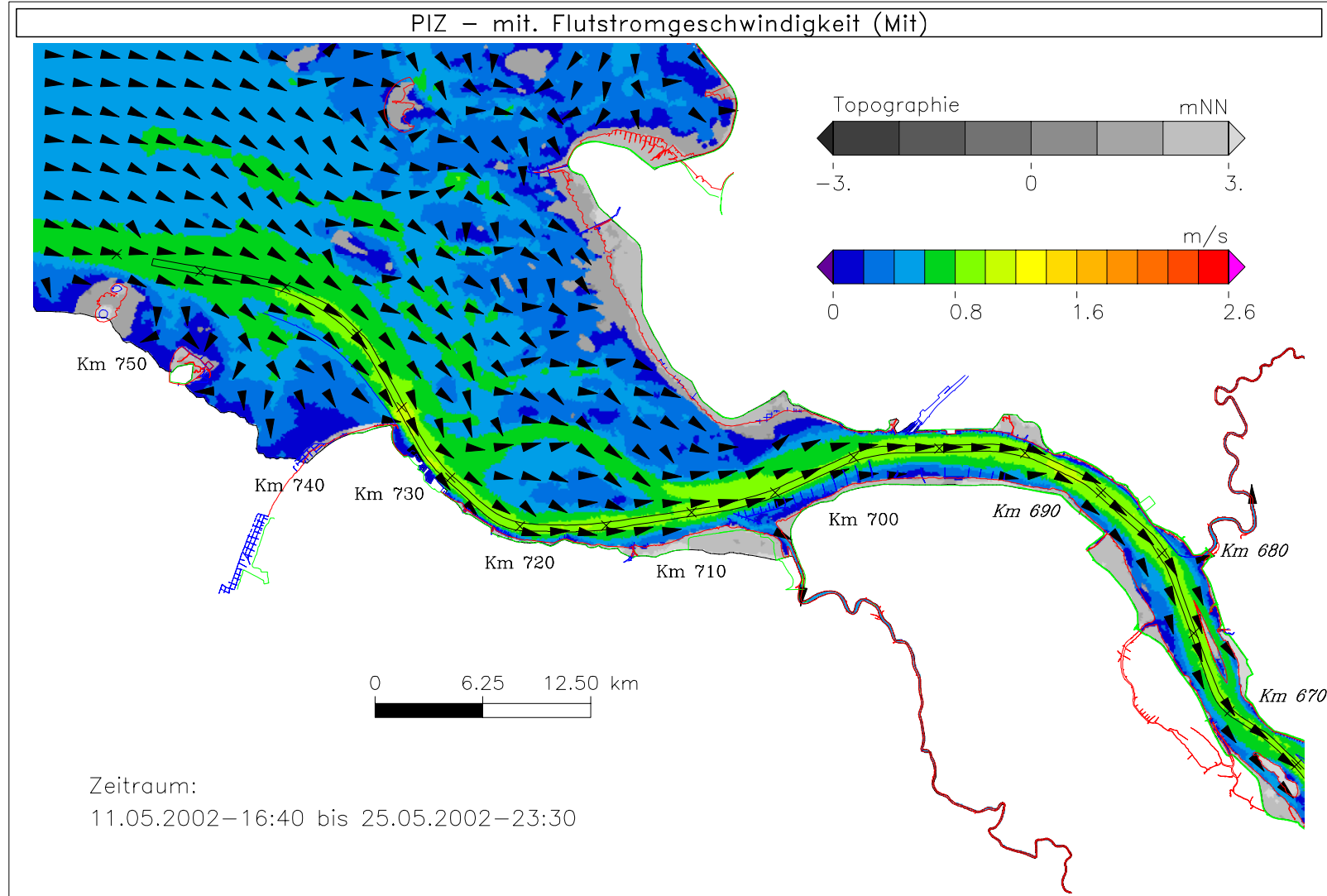


Bild 11: Mittlere Flutstromgeschwindigkeit bei niedrigem Oberwasser, Teilgebiet West

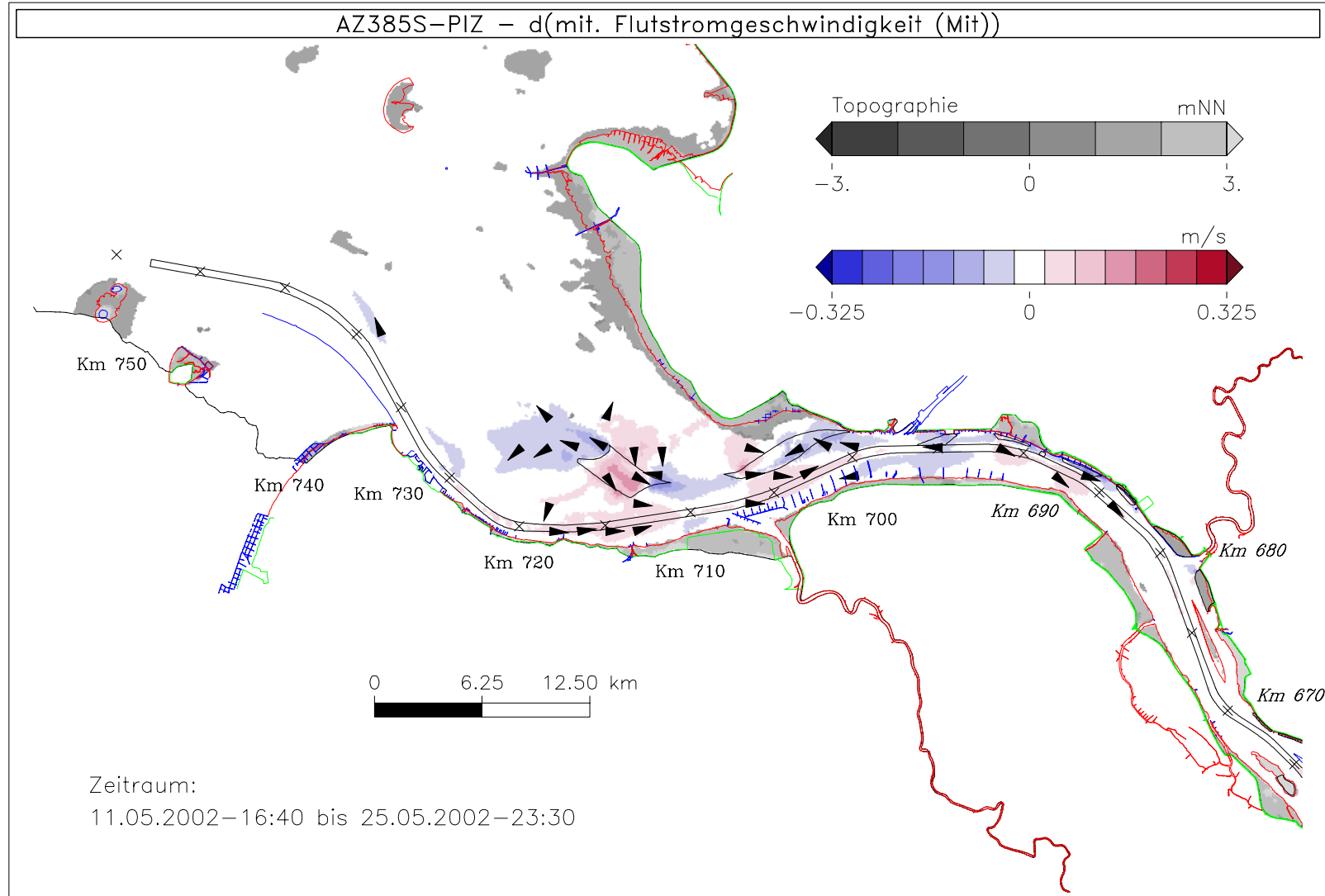


Bild 12: Differenz der mittleren Flutstromgeschwindigkeit (AZ385S - PIZ) bei niedrigem Oberwasser, Teilgebiet West

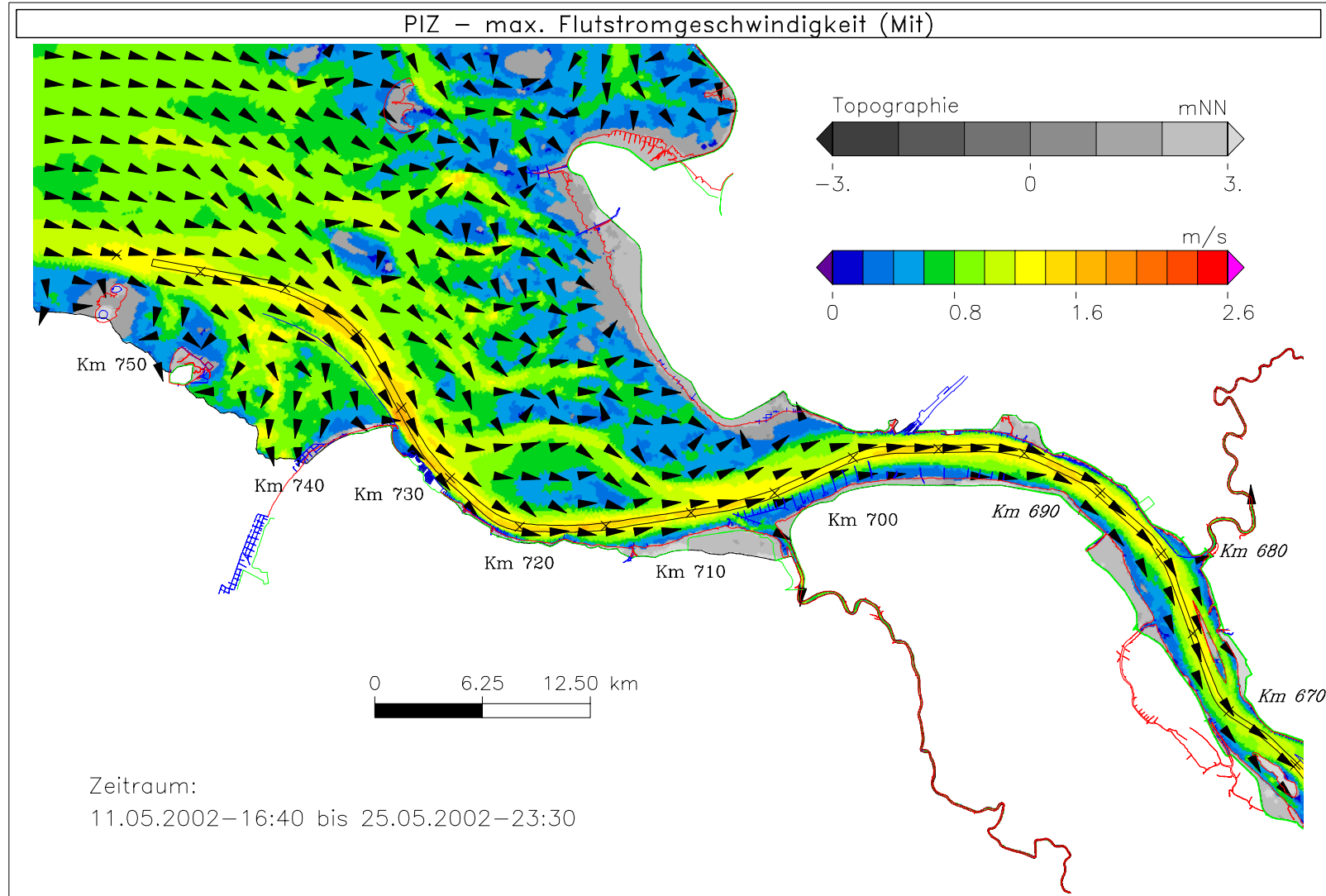


Bild 13: Maximale Flutstromgeschwindigkeit bei niedrigem Oberwasser, Teilgebiet West

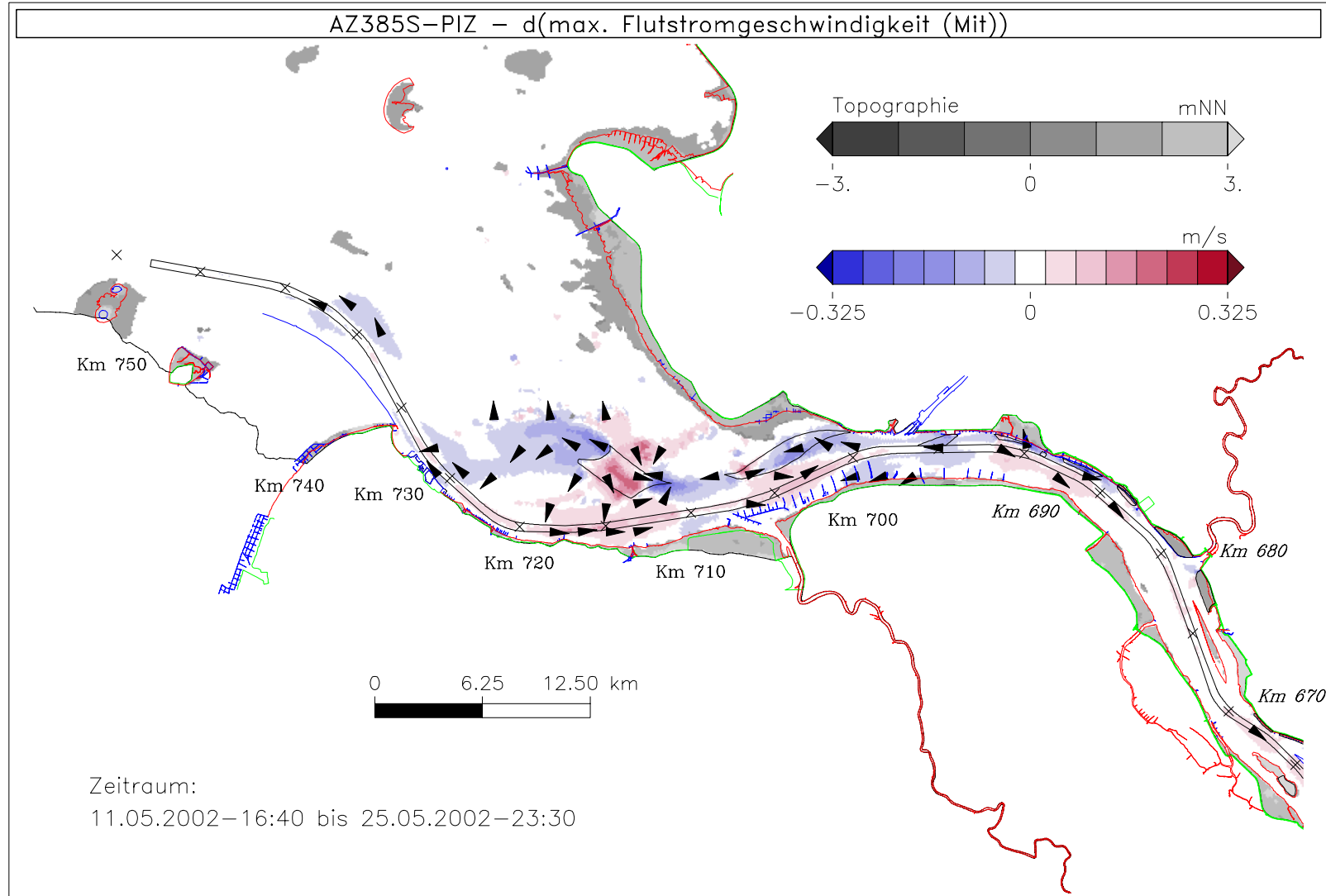


Bild 14: Differenz der maximalen Flutstromgeschwindigkeit (AZ385S - PIZ) bei niedrigem Oberwasser, Teilgebiet West

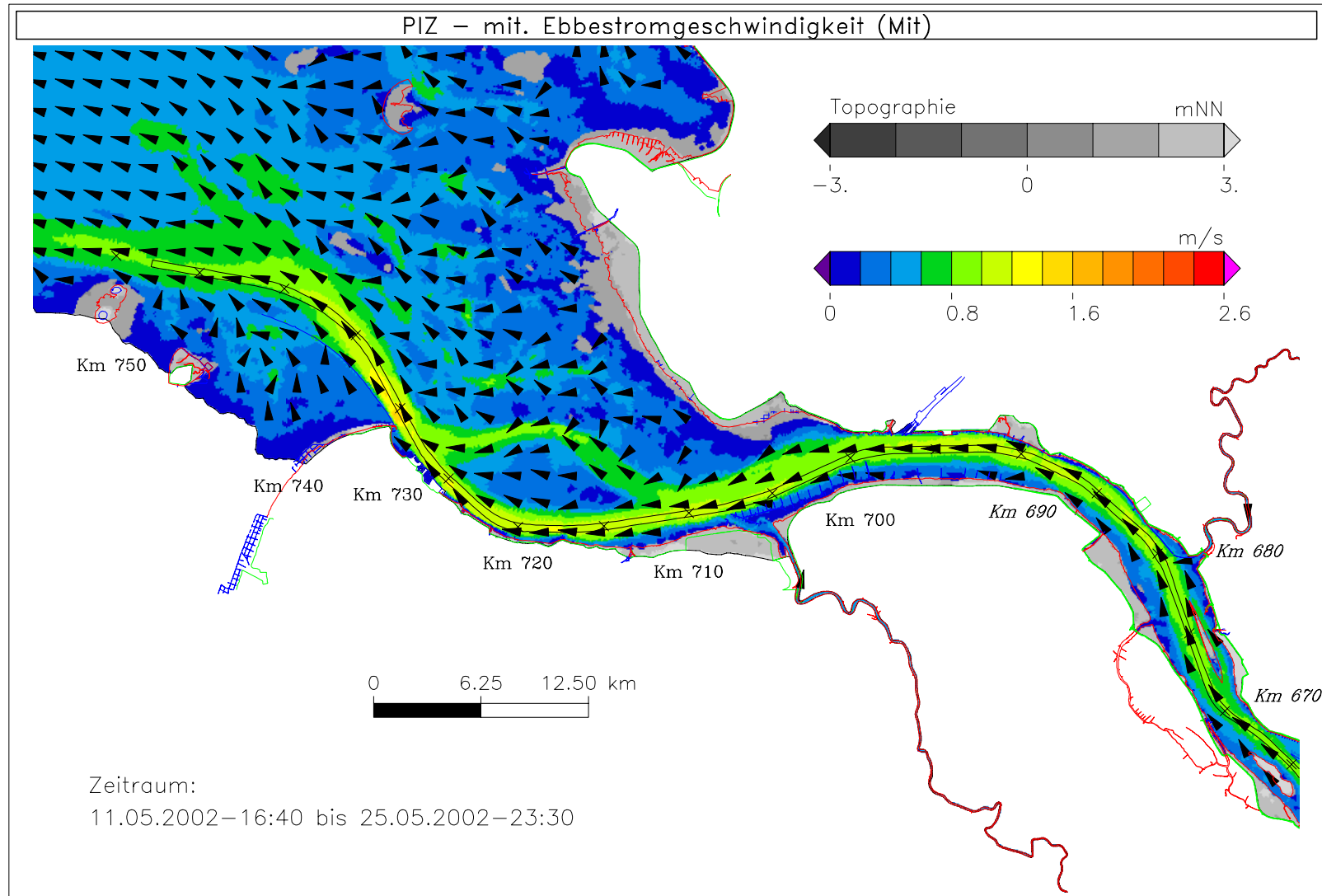


Bild 15: Mittlere Ebbestromgeschwindigkeit bei niedrigem Oberwasser, Teilgebiet West

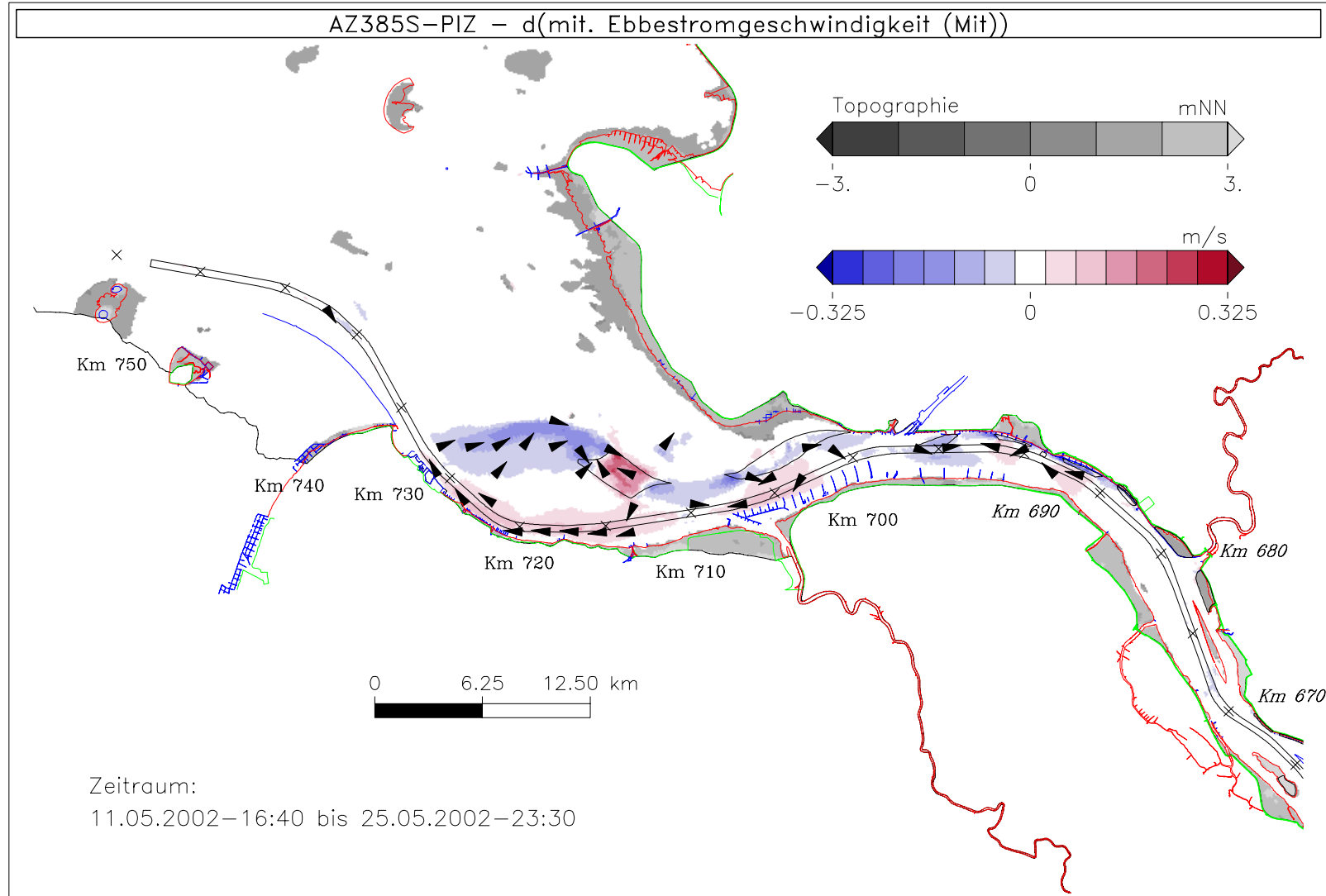


Bild 16: Differenz der mittleren Ebbestromgeschwindigkeit (AZ385S - PIZ) bei niedrigem Oberwasser, Teilgebiet West

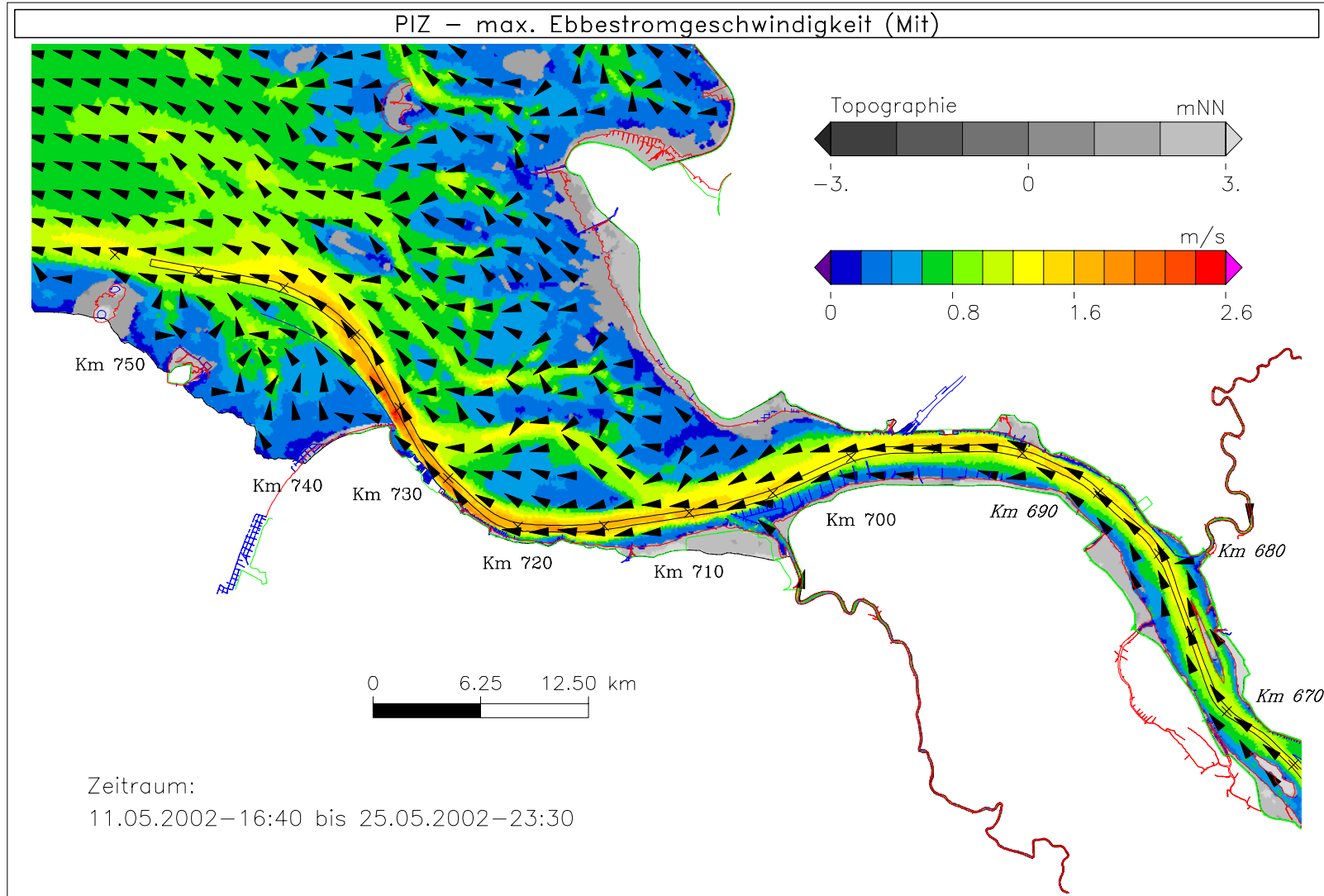


Bild 17: Maximale Ebbestromgeschwindigkeit bei niedrigem Oberwasser, Teilgebiet West

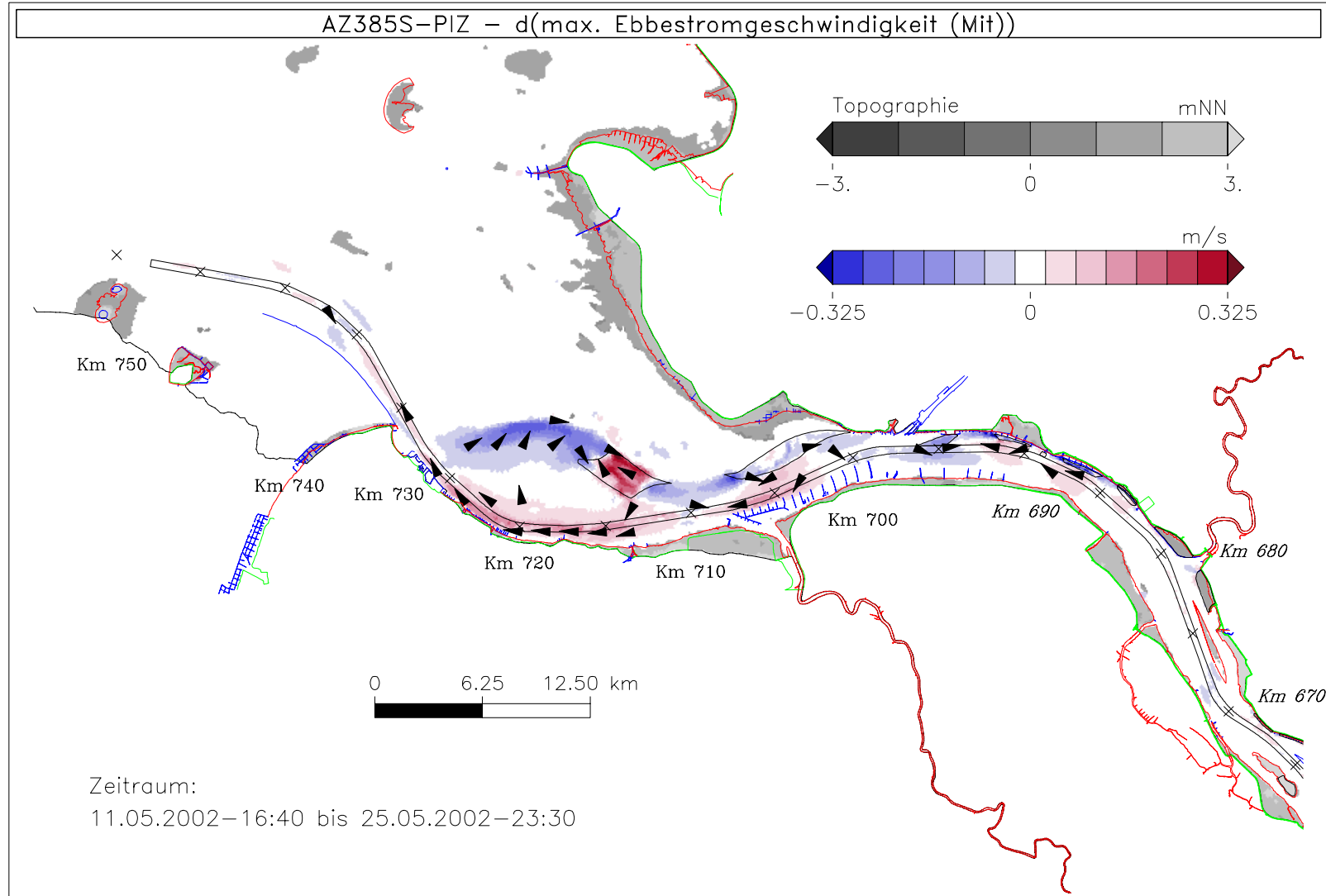


Bild 18: Differenz der maximalen Ebbestromgeschwindigkeit (AZ385S - PIZ) bei niedrigem Oberwasser, Teilgebiet West

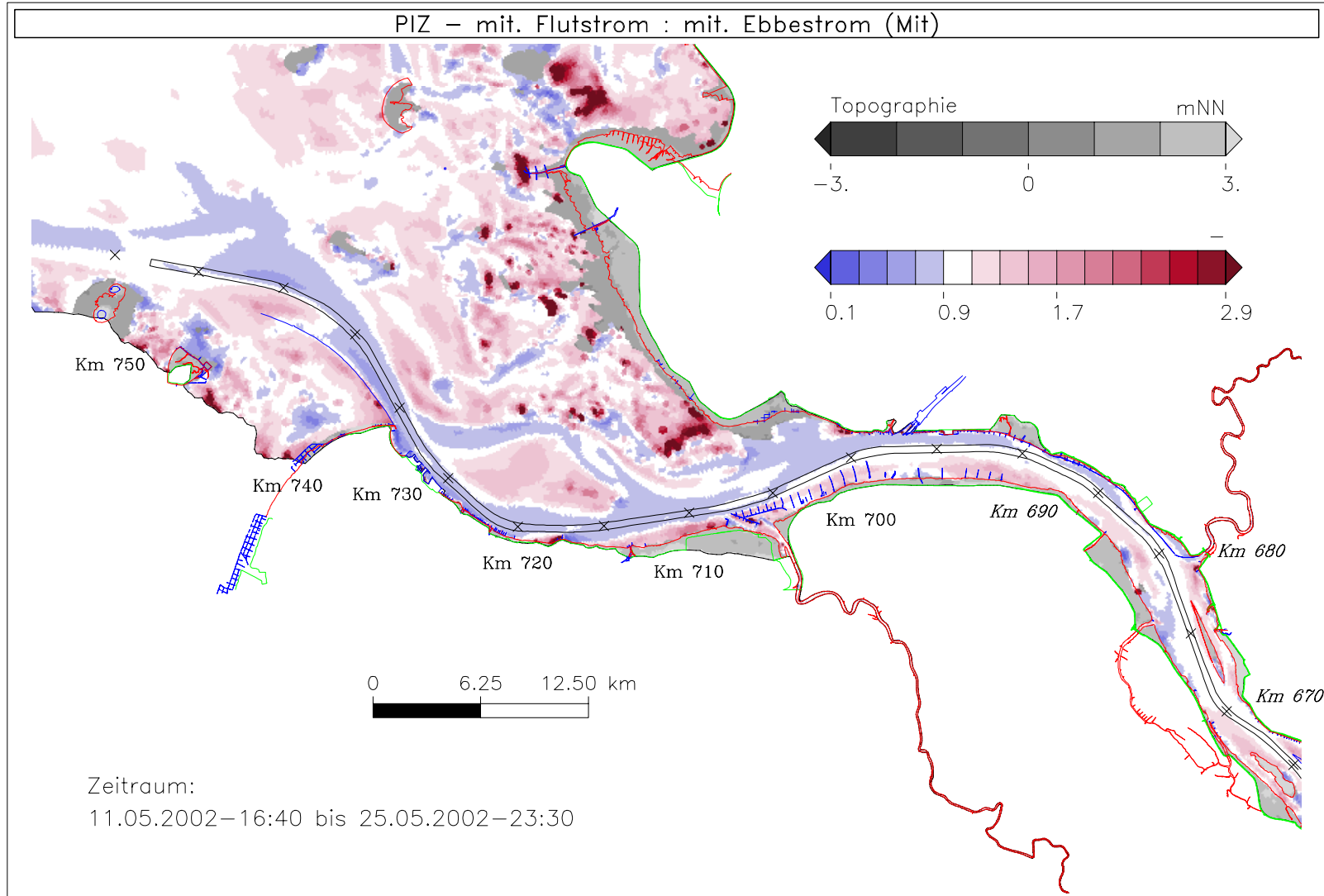


Bild 19: Verhältnis der mittleren Flut- zu Ebbestromgeschwindigkeit bei niedrigem Oberwasser, Teilgebiet West

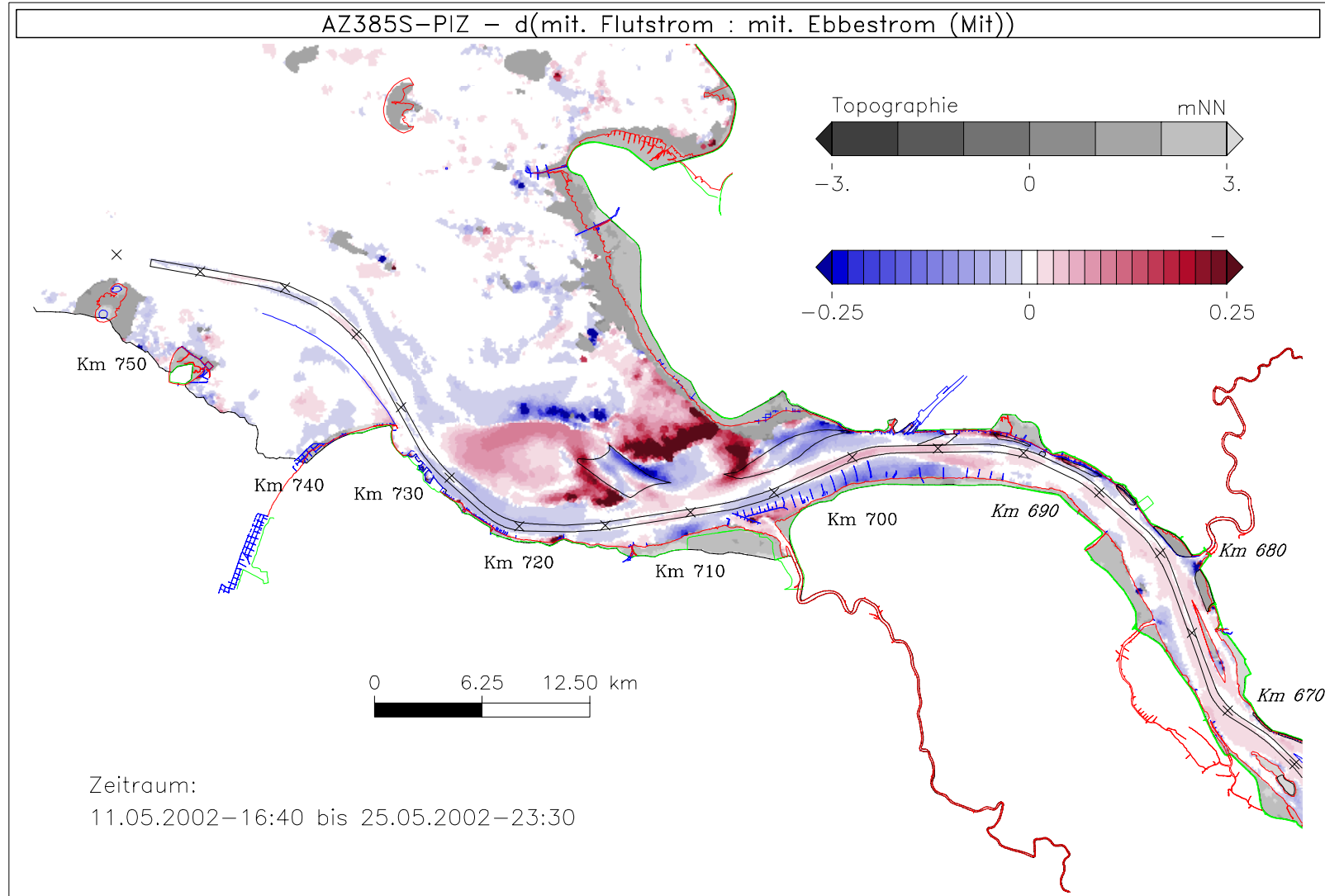


Bild 20: Differenz des Verhältnis der mittleren Flut- zu Ebbestromgeschwindigkeit (AZ385S - PIZ) bei niedrigem Oberwasser, Teilgebiet West

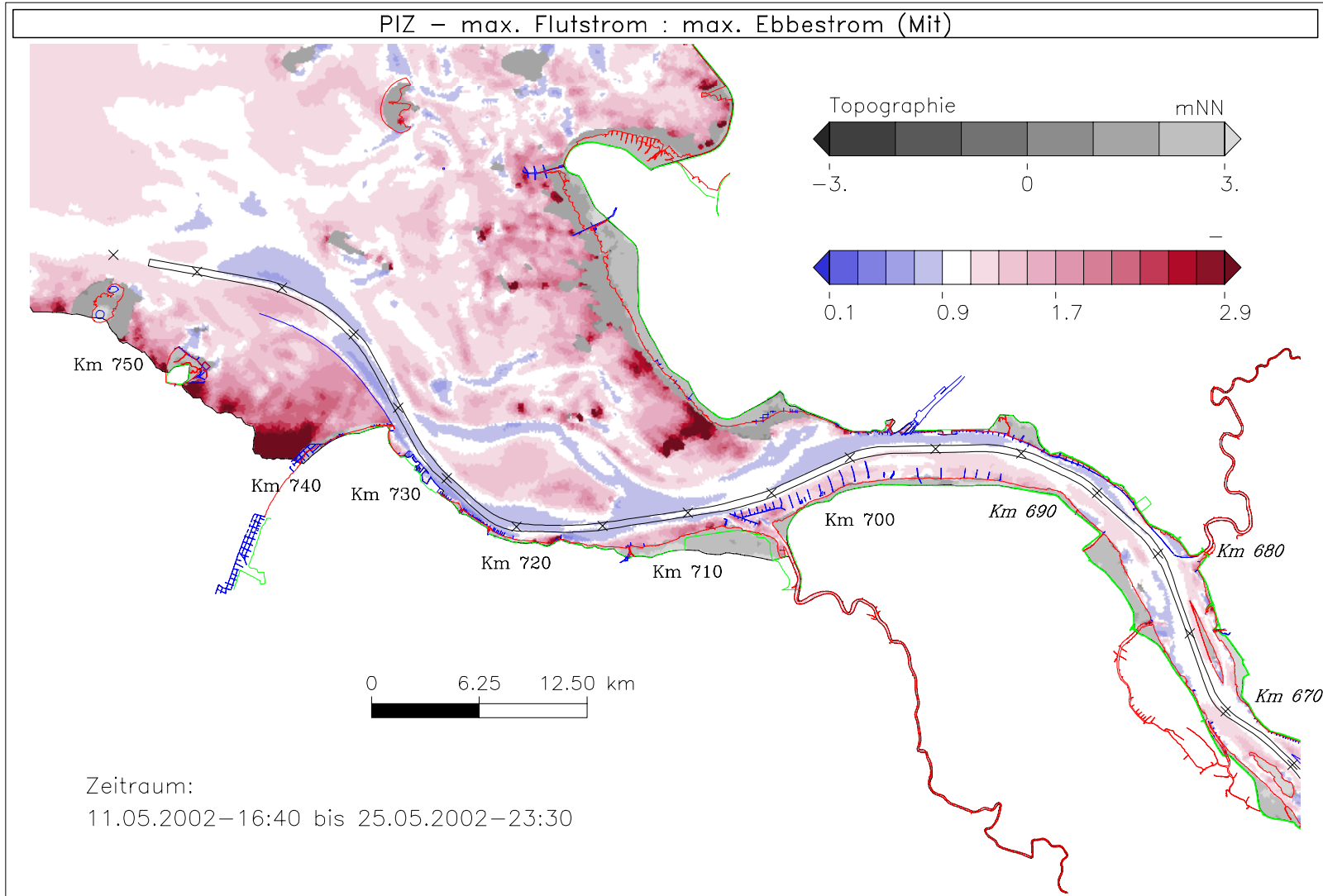


Bild 21: Verhältnis der maximalen Flut- zu Ebbestromgeschwindigkeit bei niedrigem Oberwasser, Teilgebiet West

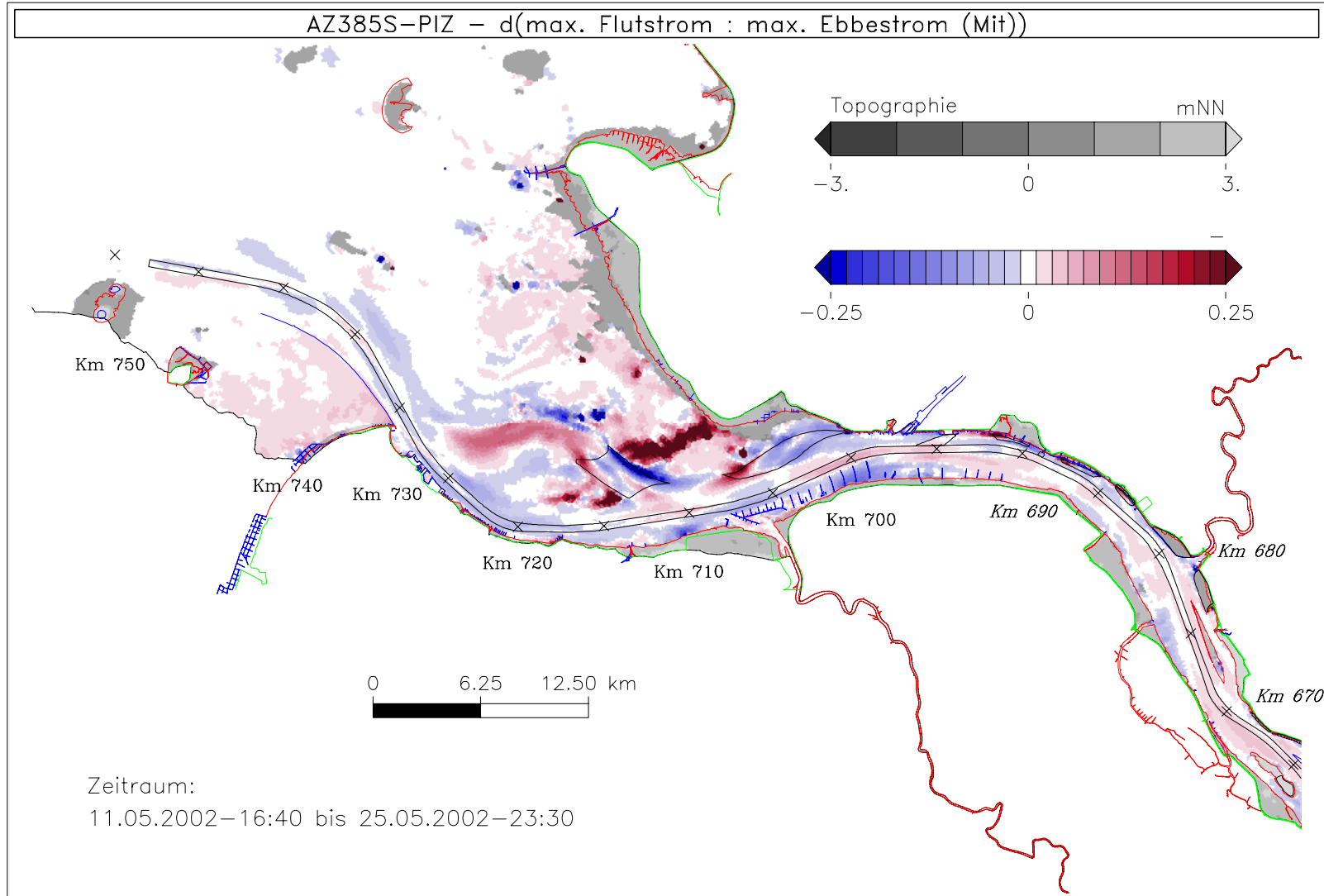


Bild 22: Differenz des Verhältnisses der maximalen Flut- zu Ebbestromgeschwindigkeit (AZ385S - PIZ) bei niedrigem Oberwasser, Teilgebiet West

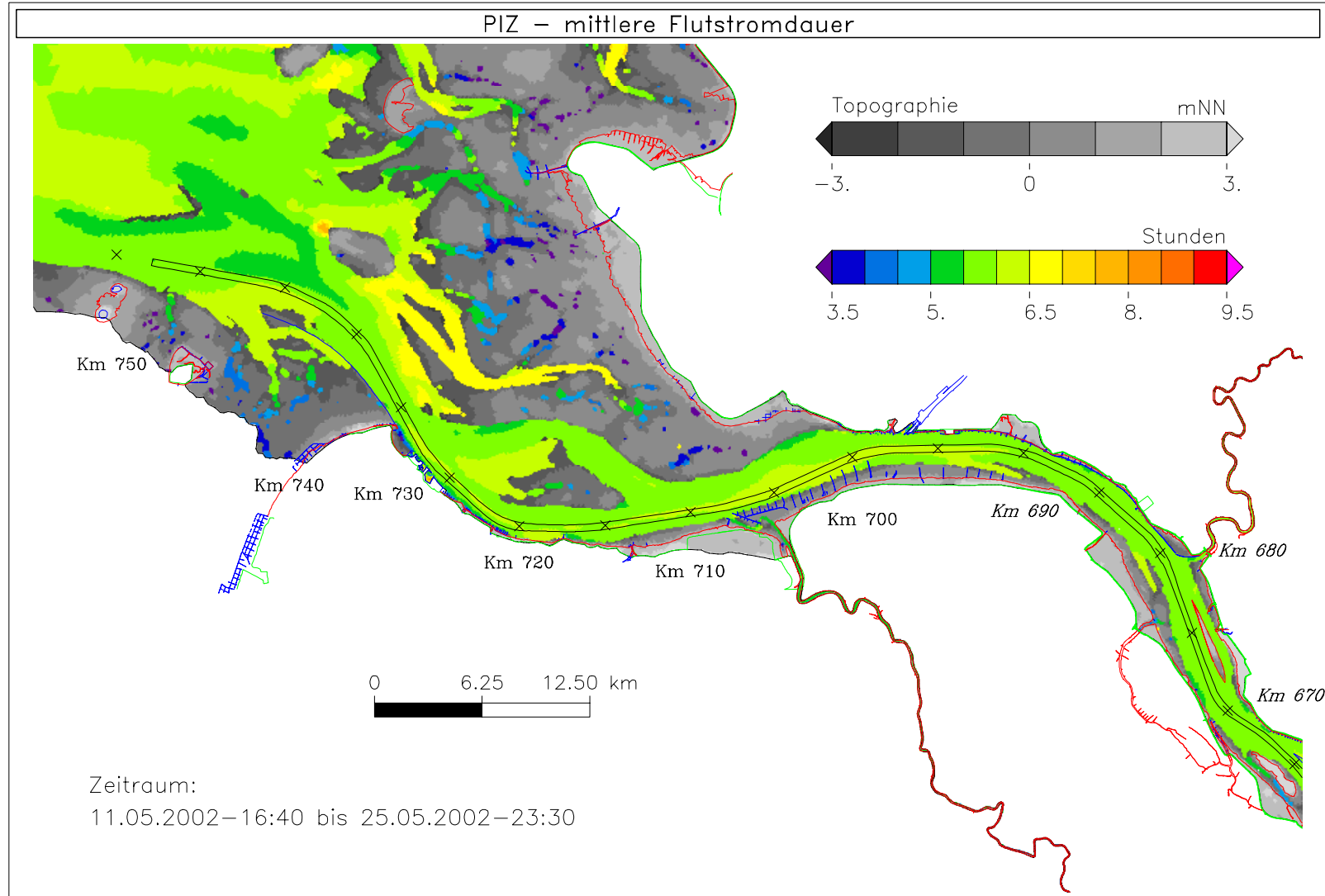


Bild 23: Mittlere Flutstromdauer bei niedrigem Oberwasser, Teilgebiet West

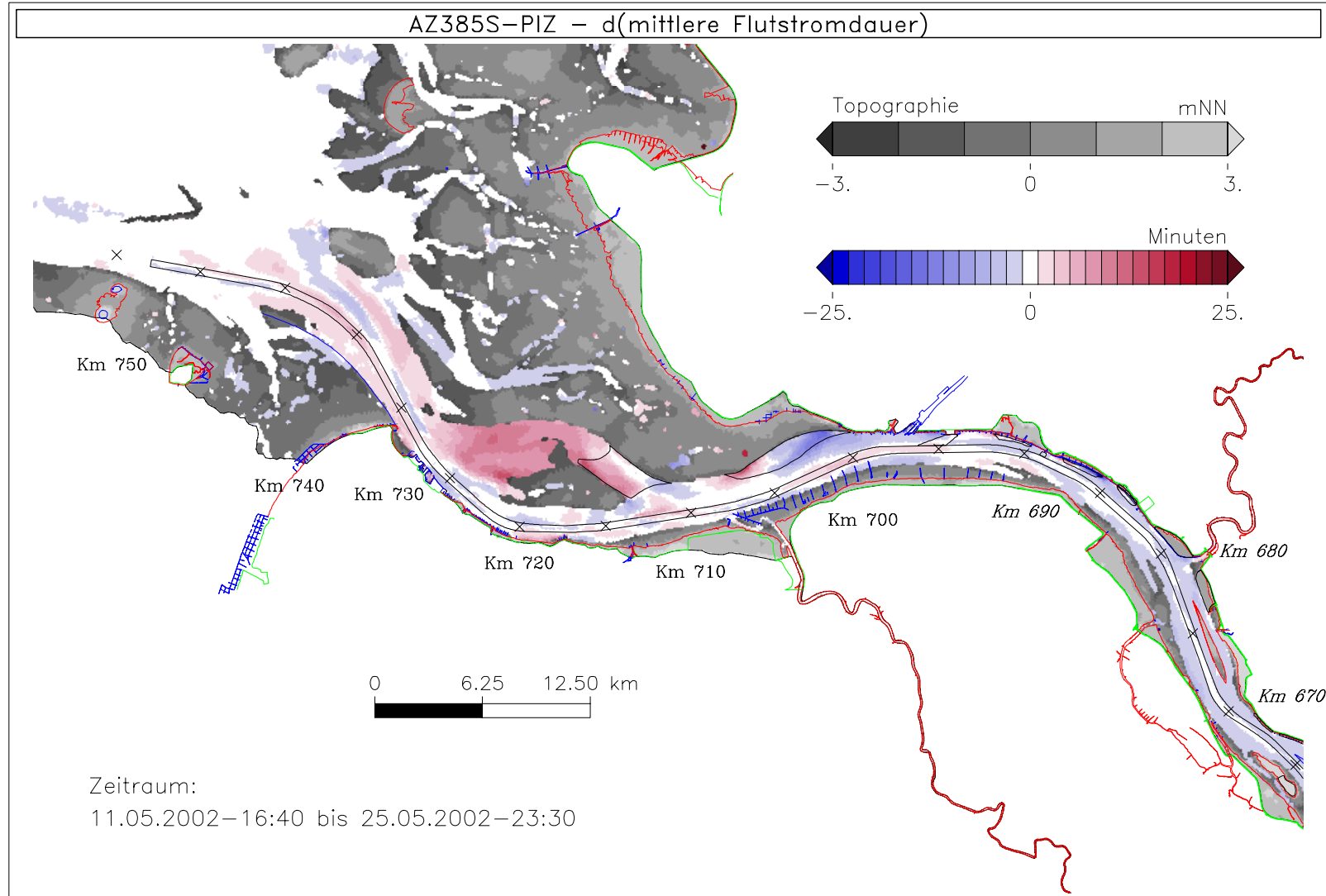


Bild 24: Differenz der mittleren Flutstromdauer (AZ385S - PIZ) bei niedrigem Oberwasser, Teilgebiet West

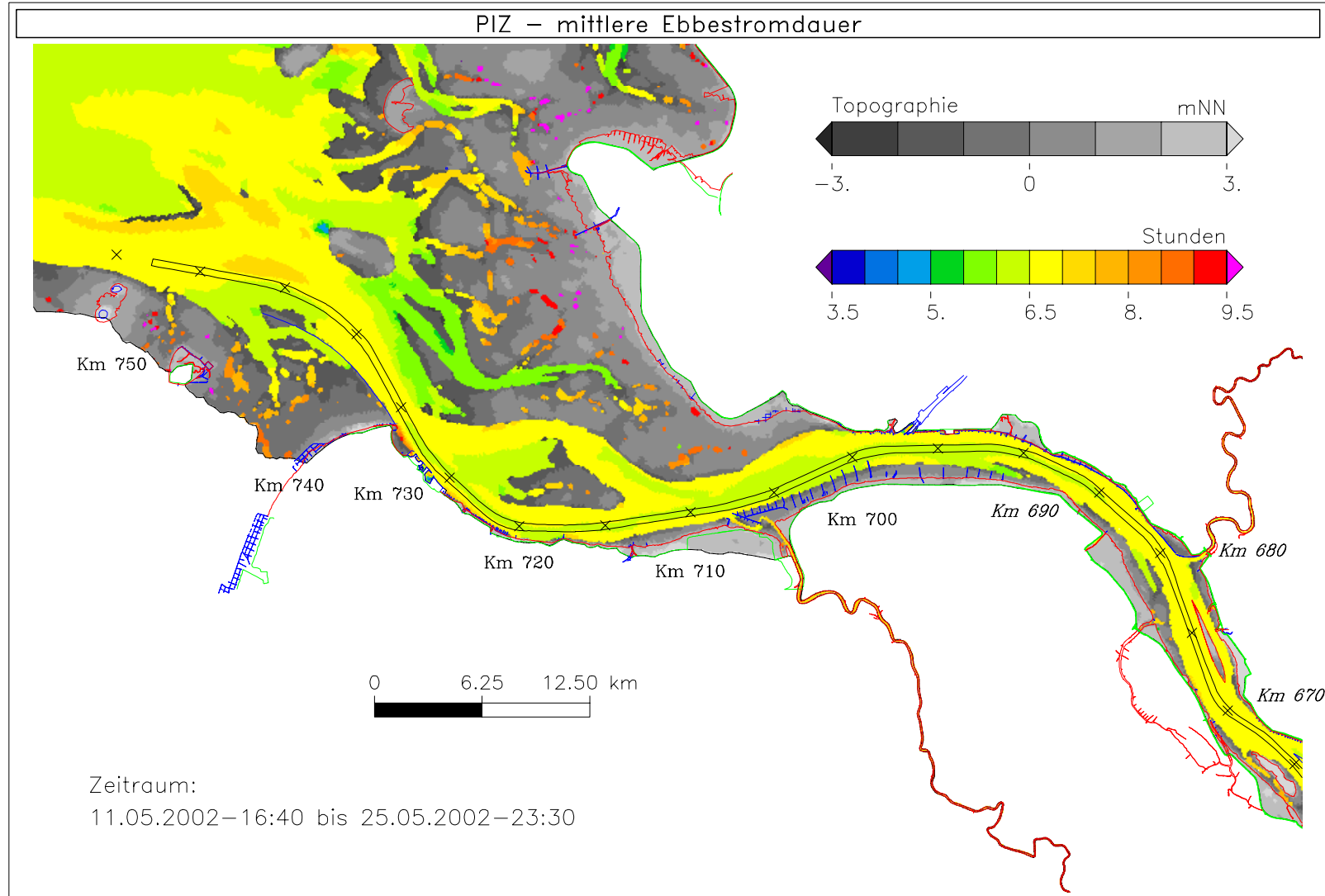


Bild 25: Mittlere Ebbestromdauer bei niedrigem Oberwasser, Teilgebiet West

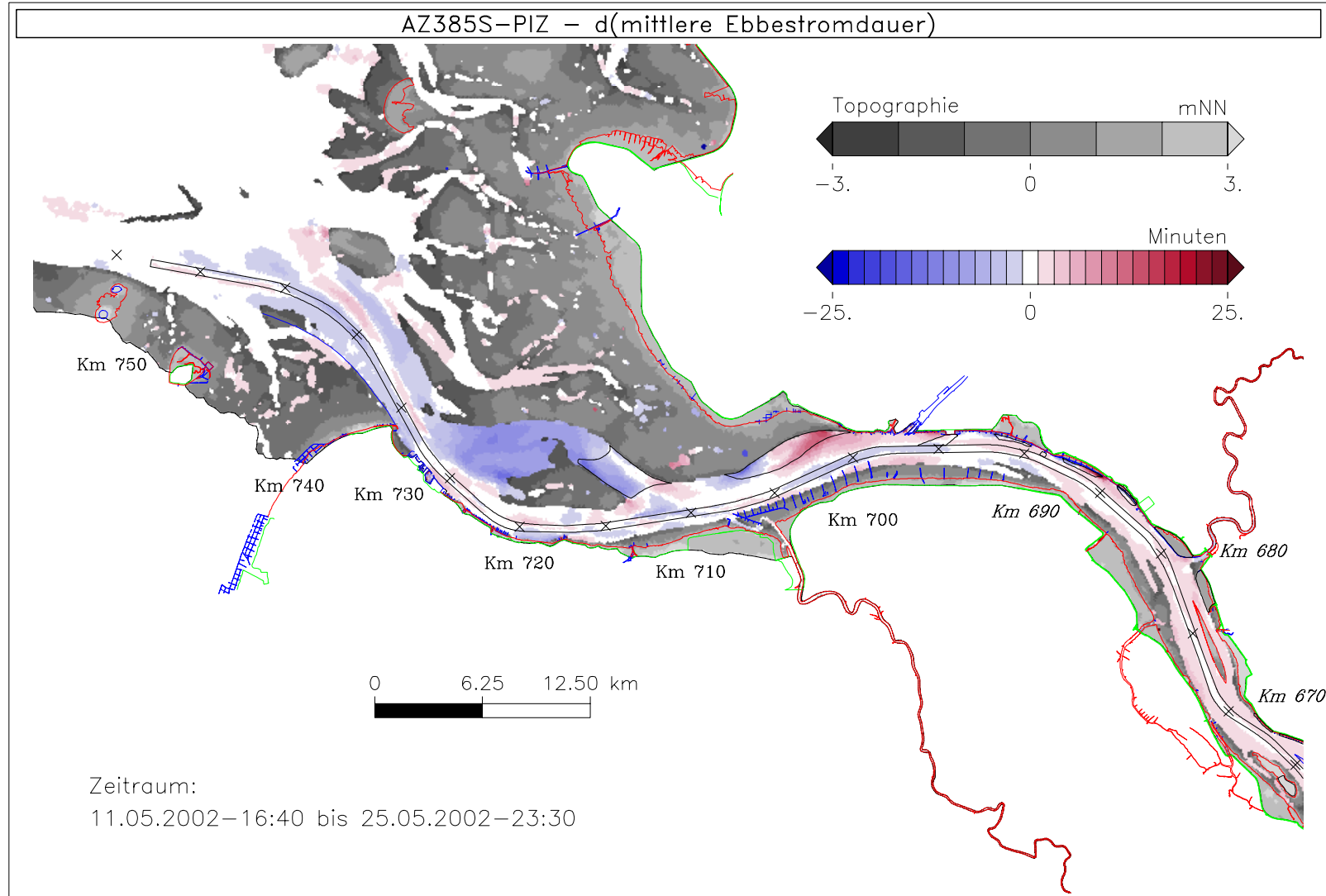


Bild 26: Differenz der mittleren Ebbestromdauer (AZ385S - PIZ) bei niedrigem Oberwasser, Teilgebiet West

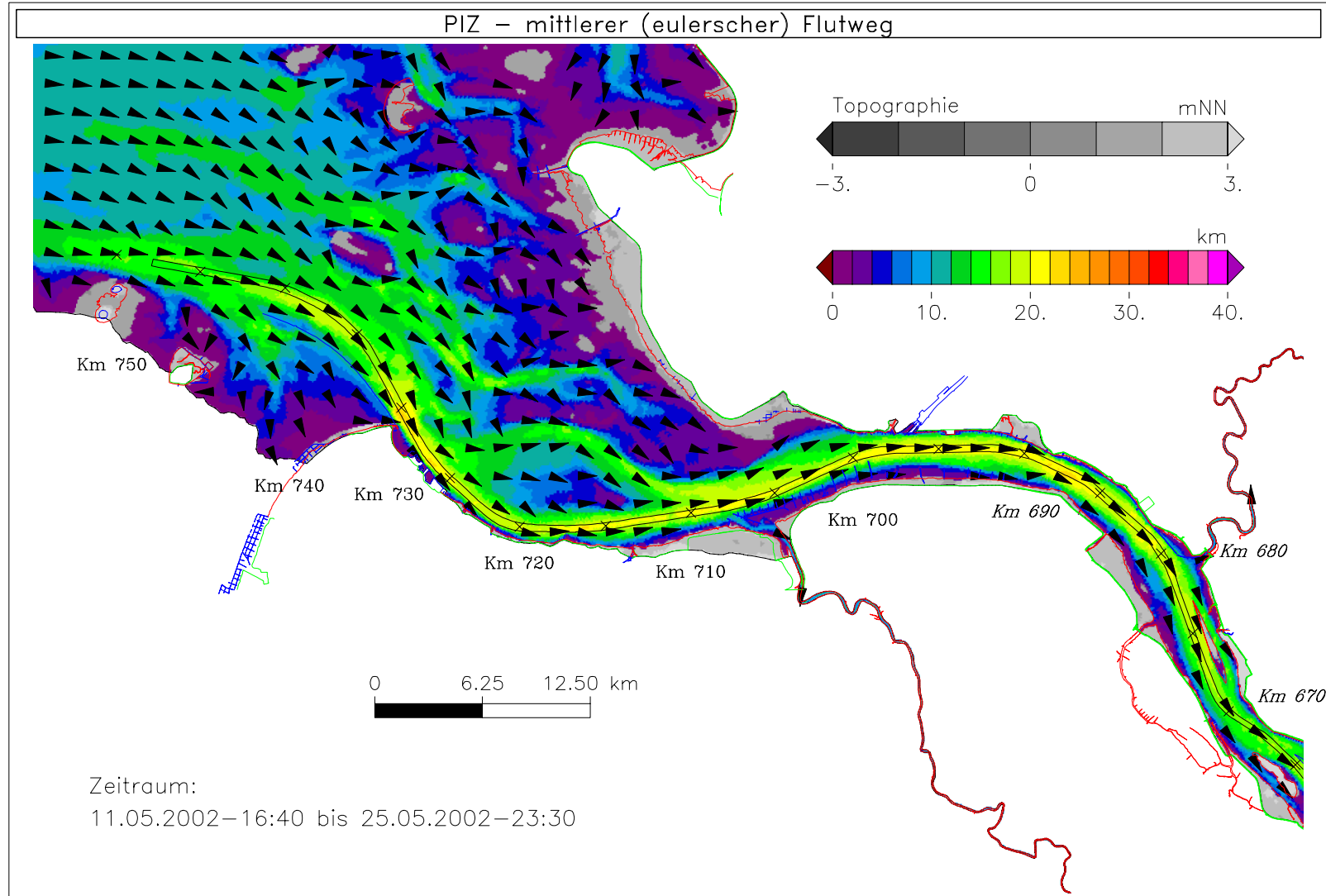


Bild 27: Mittlerer Eulerscher Flutweg bei niedrigem Oberwasser, Teilgebiet West

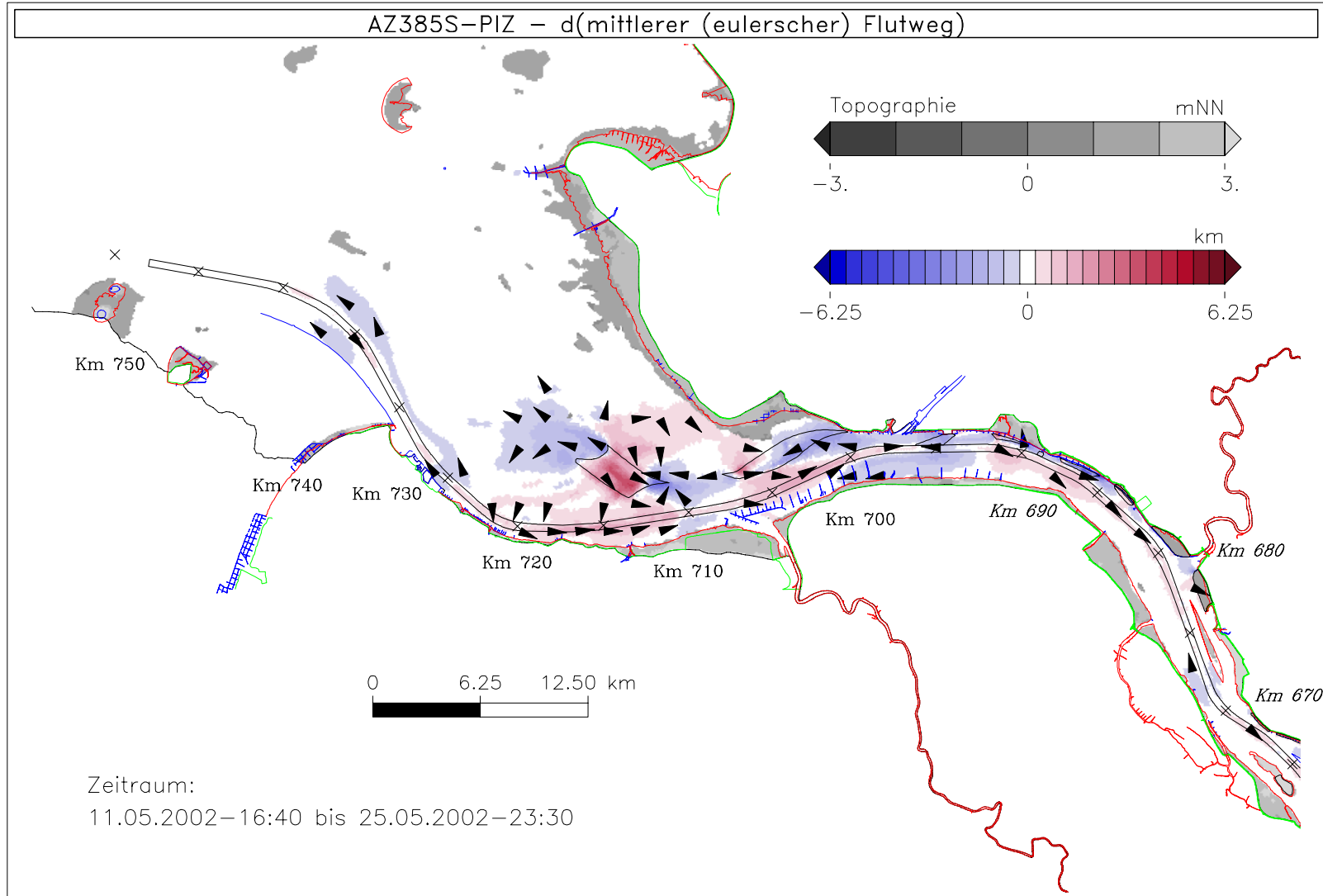


Bild 28: Differenz des mittleren Eulerschen Flutweges (AZ385S - PIZ) bei niedrigem Oberwasser, Teilgebiet West

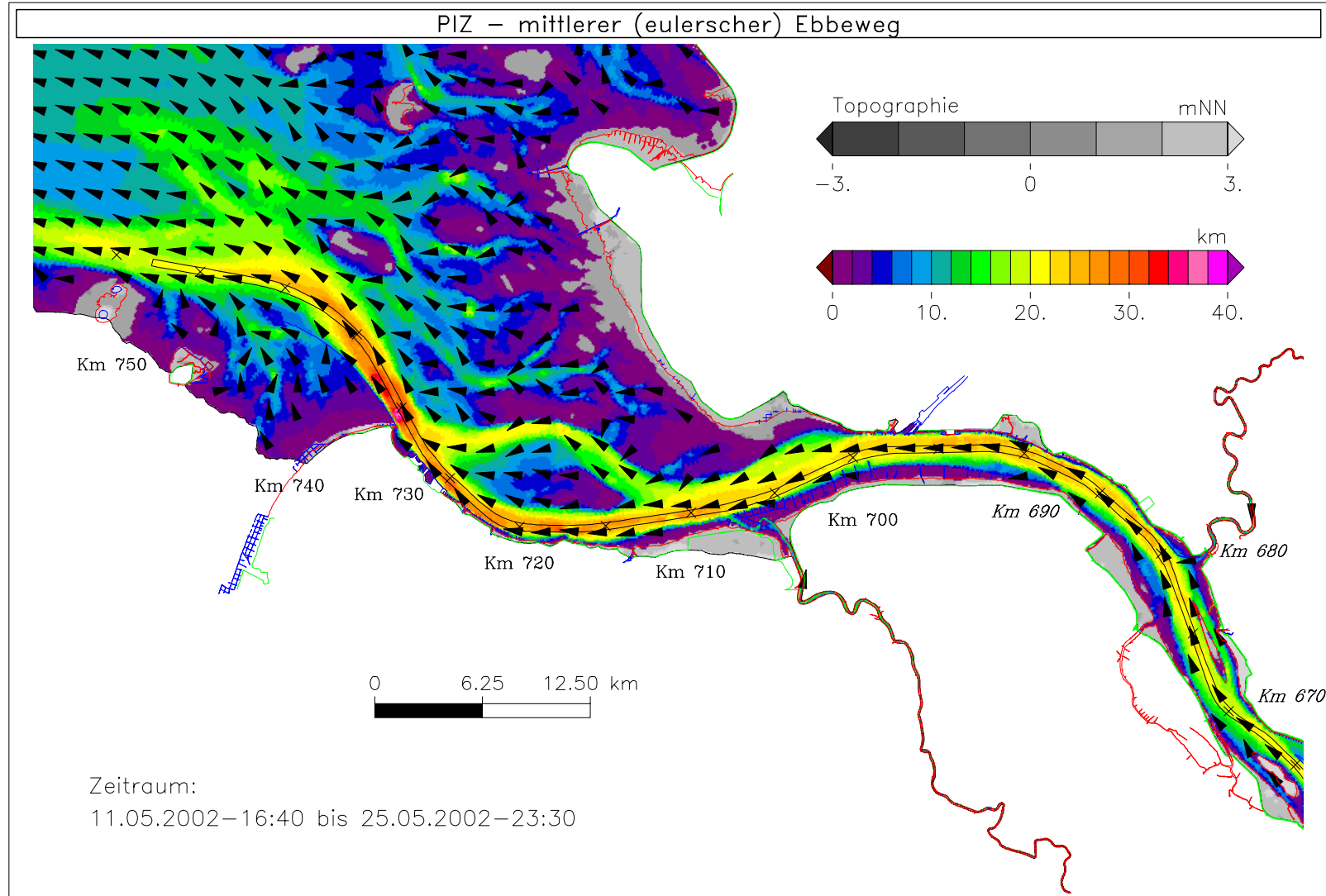


Bild 29: Mittlerer Eulerscher Ebbeweg bei niedrigem Oberwasser, Teilgebiet West

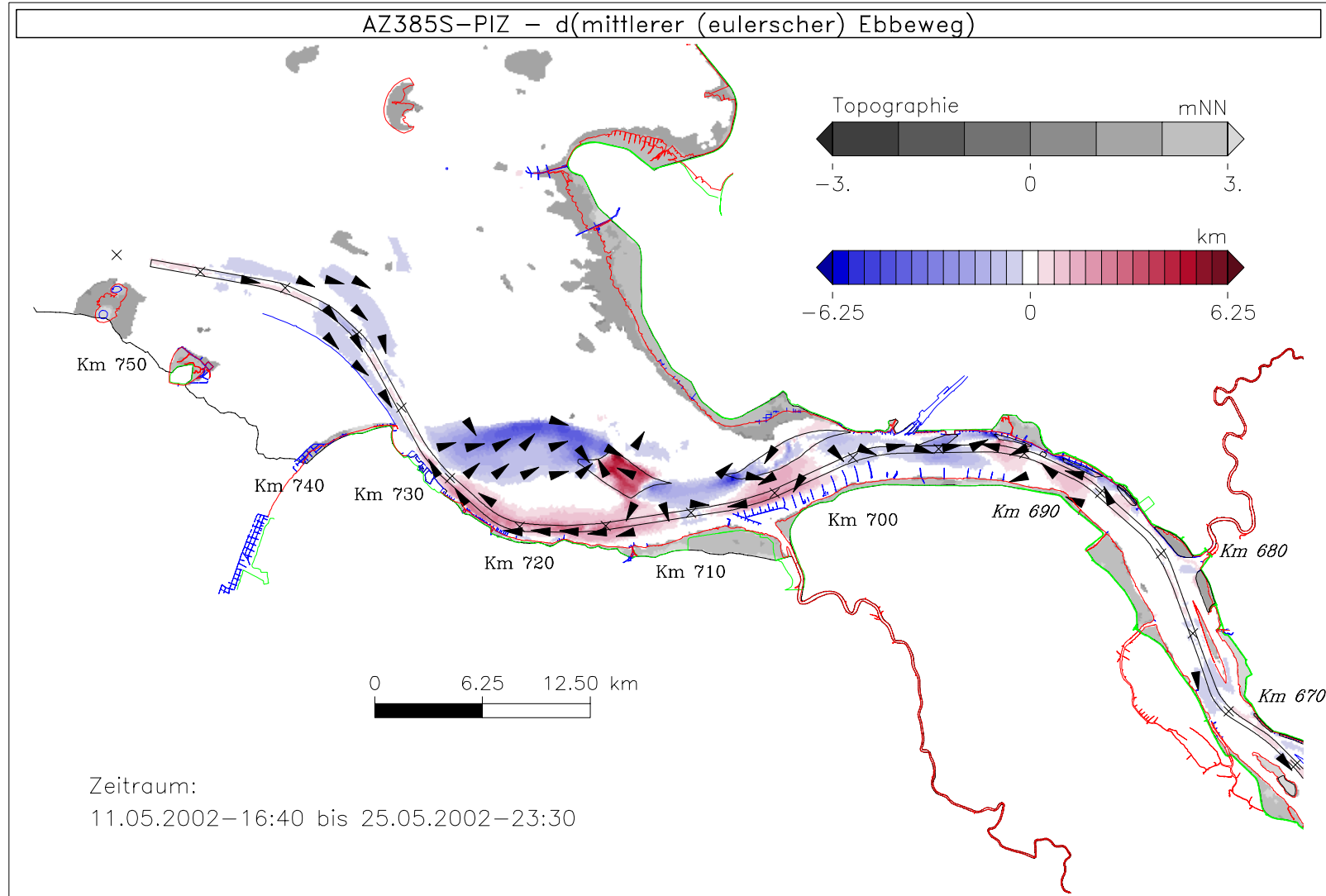


Bild 30: Differenz des mittleren Eulerschen Ebbeweges (AZ385S - PIZ) bei niedrigem Oberwasser, Teilgebiet West

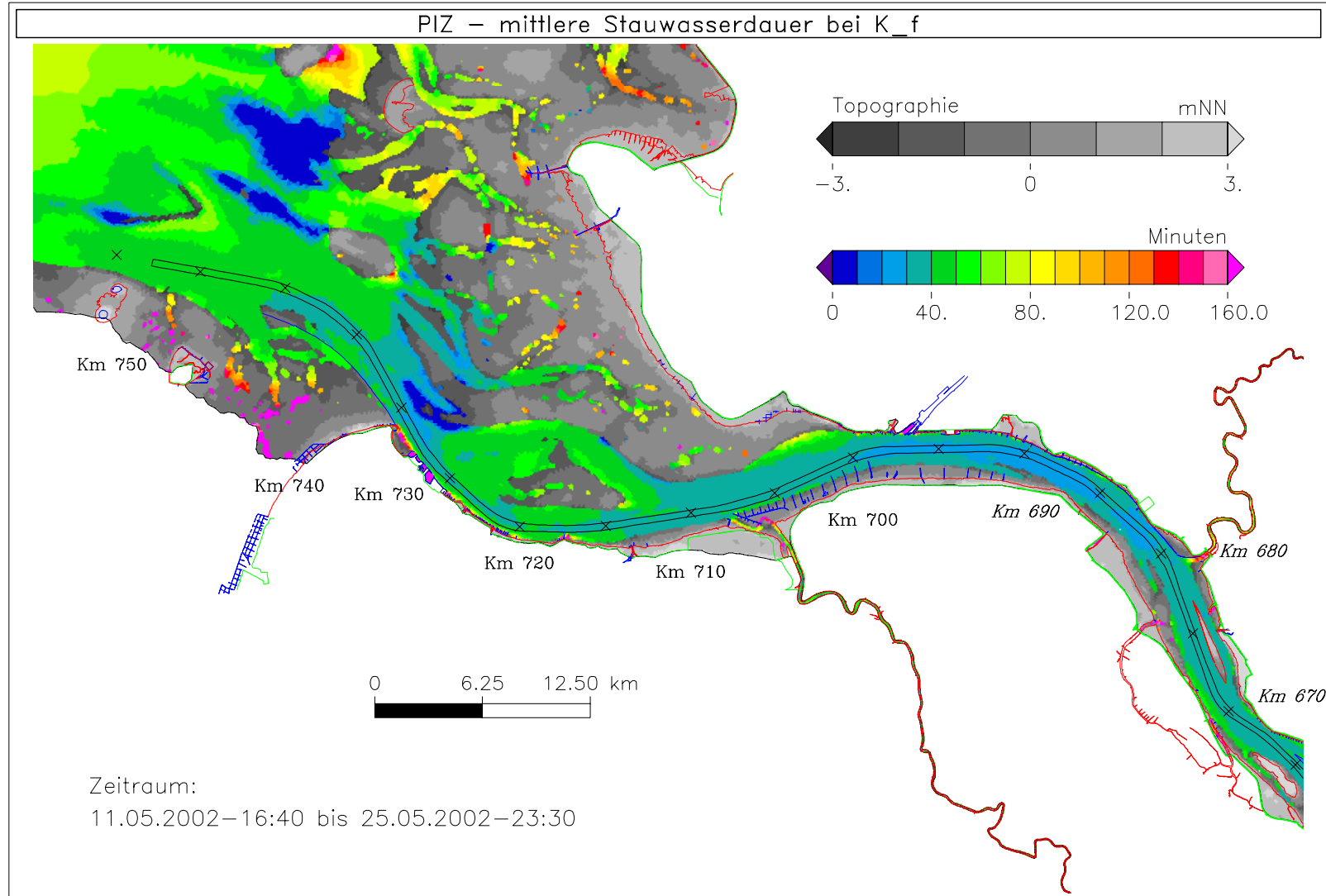


Bild 31: Mittlere Stauwasserdauer bei Kenterpunkt Flut bei niedrigem Oberwasser, Teilgebiet West

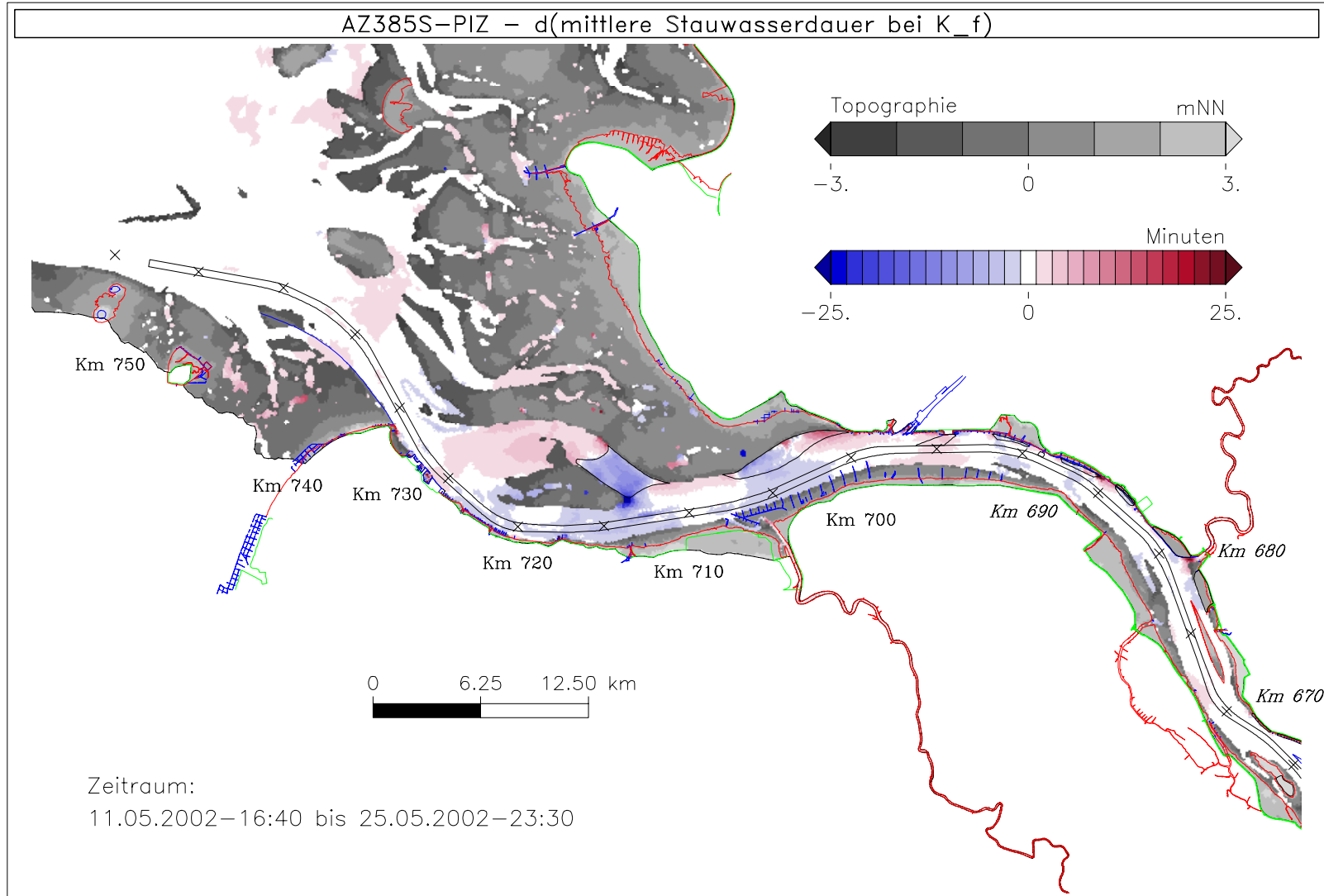


Bild 32: Differenz der mittleren Stauwasserdauer bei Kenterpunkt Flut (AZ385S - PIZ) bei niedrigem Oberwasser, Teilgebiet West

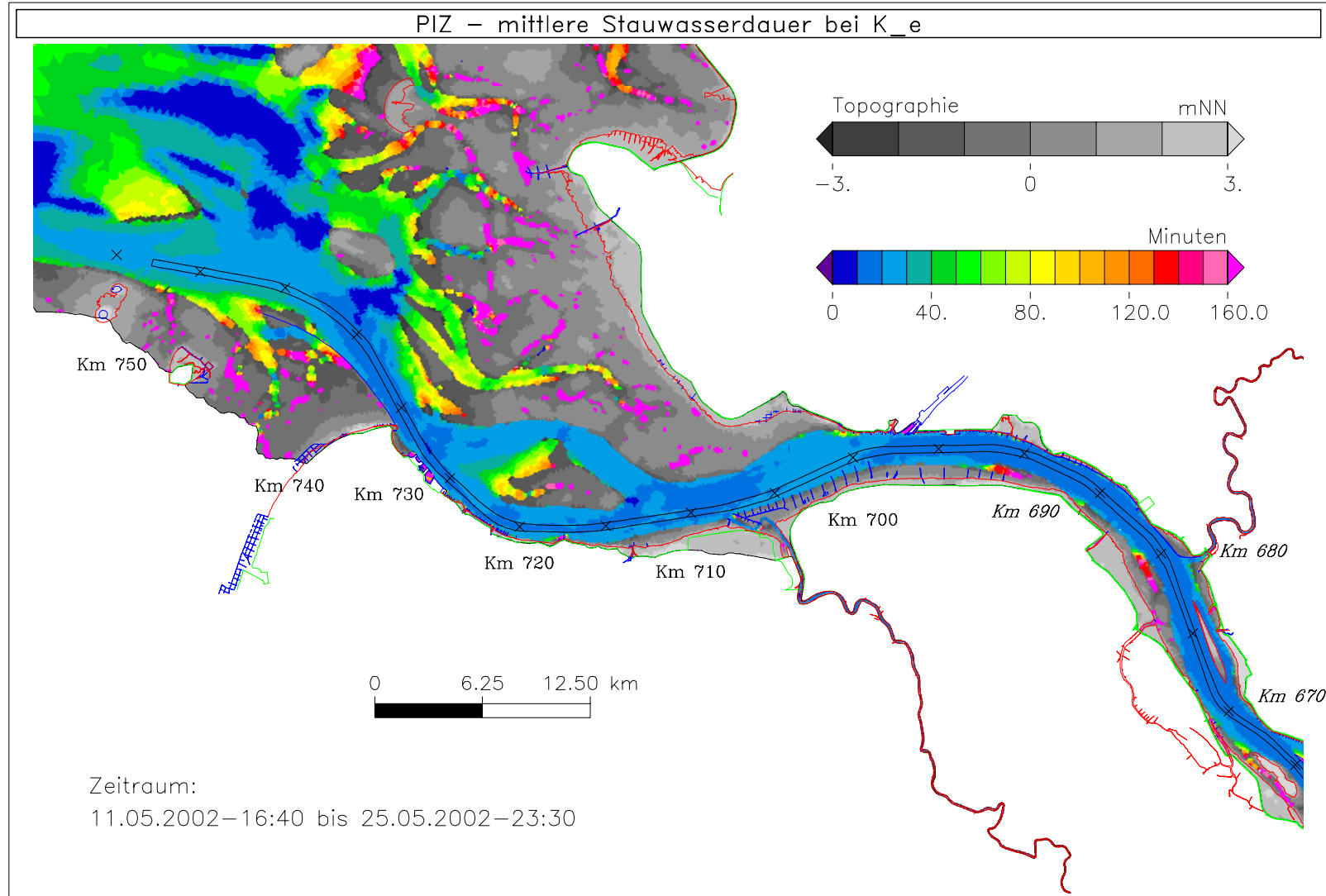


Bild 33: Mittlere Stauwasserdauer bei Kenterpunkt Ebbe bei niedrigem Oberwasser, Teilgebiet West

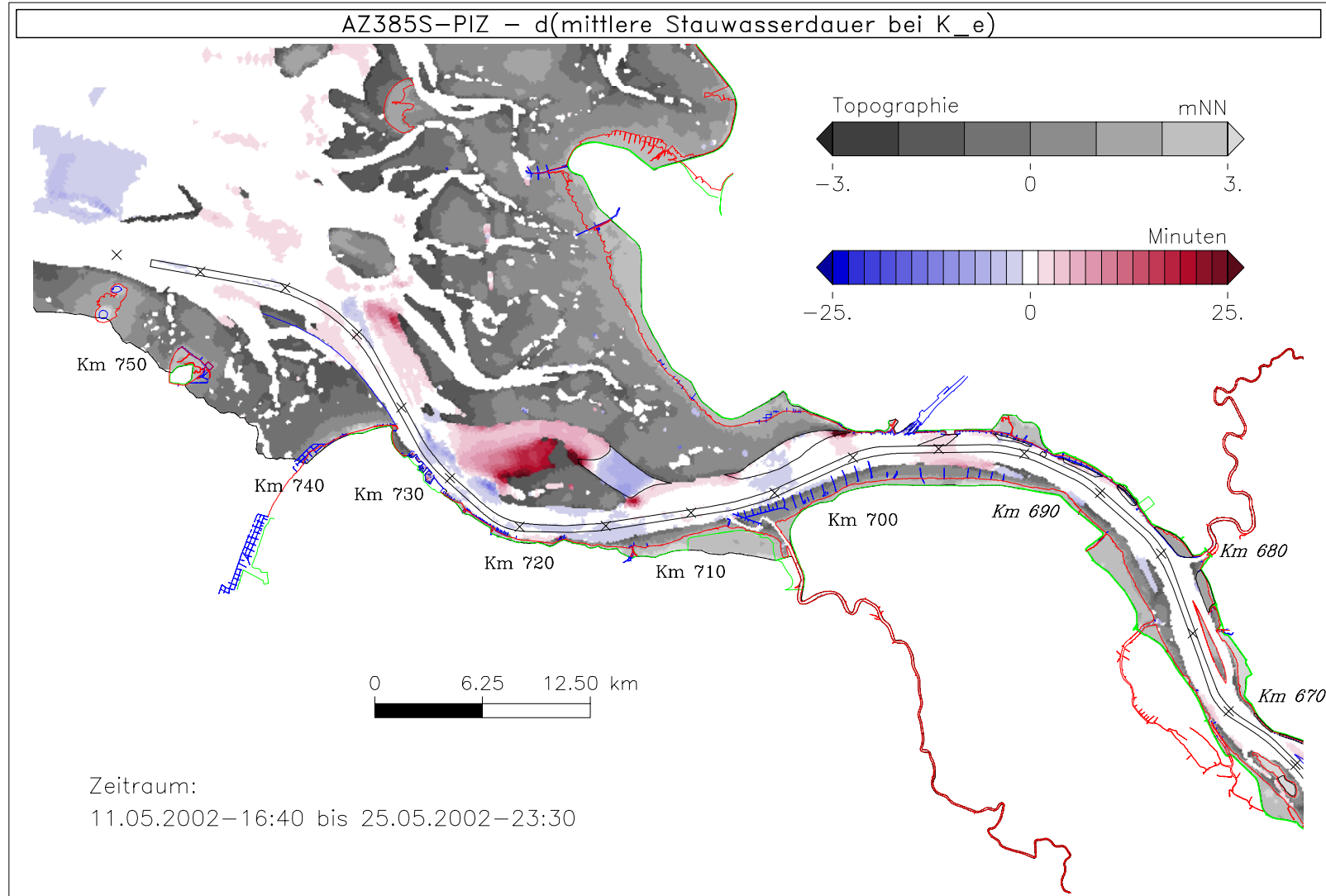


Bild 34: Differenz der mittleren Stauwasserdauer bei Kenterpunkt Ebbe (AZ385S - PIZ) bei niedrigem Oberwasser, Teilgebiet West

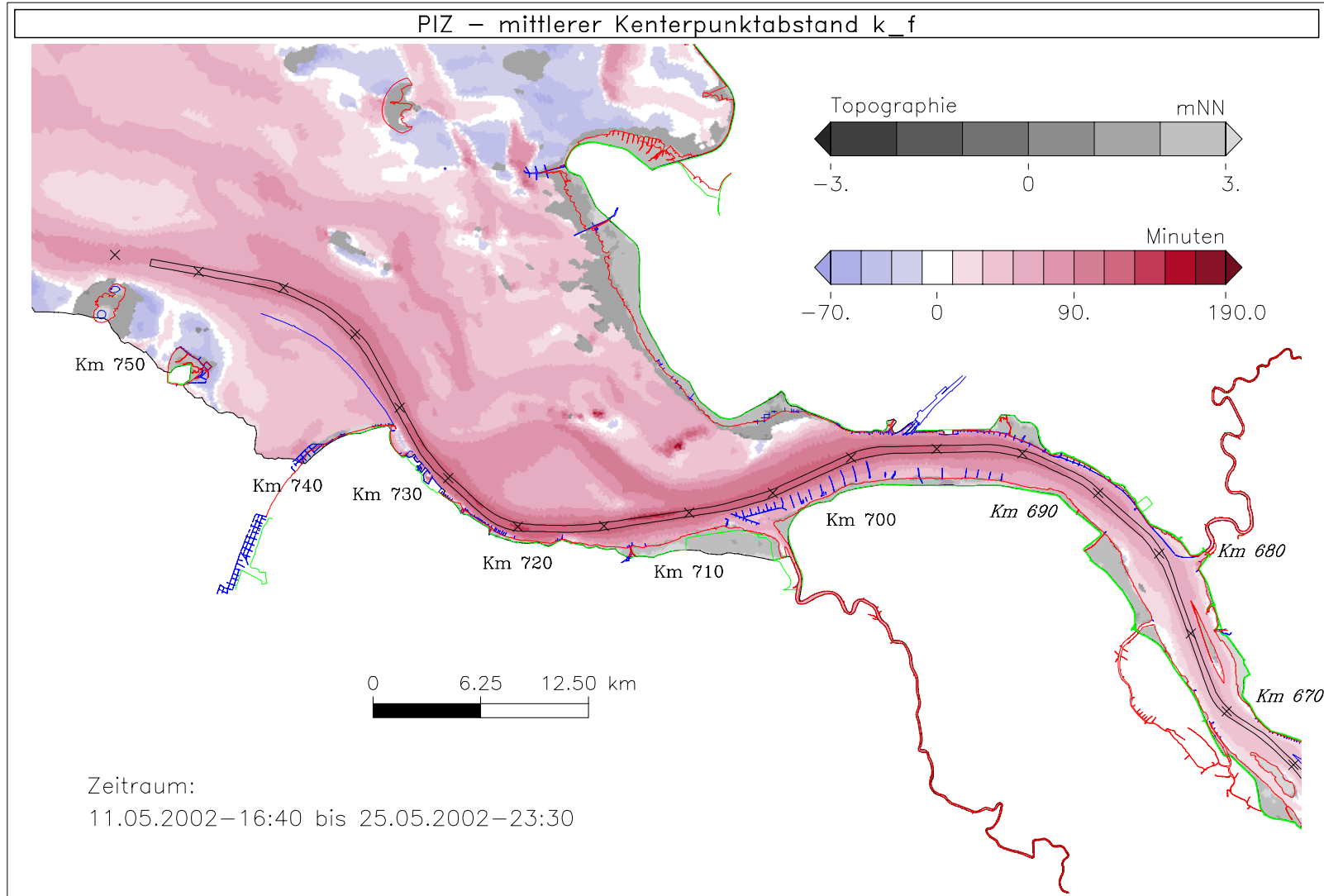


Bild 35: Mittlerer Kenterpunktabstand bei Kenterpunkt Flut bei niedrigem Oberwasser, Teilgebiet West

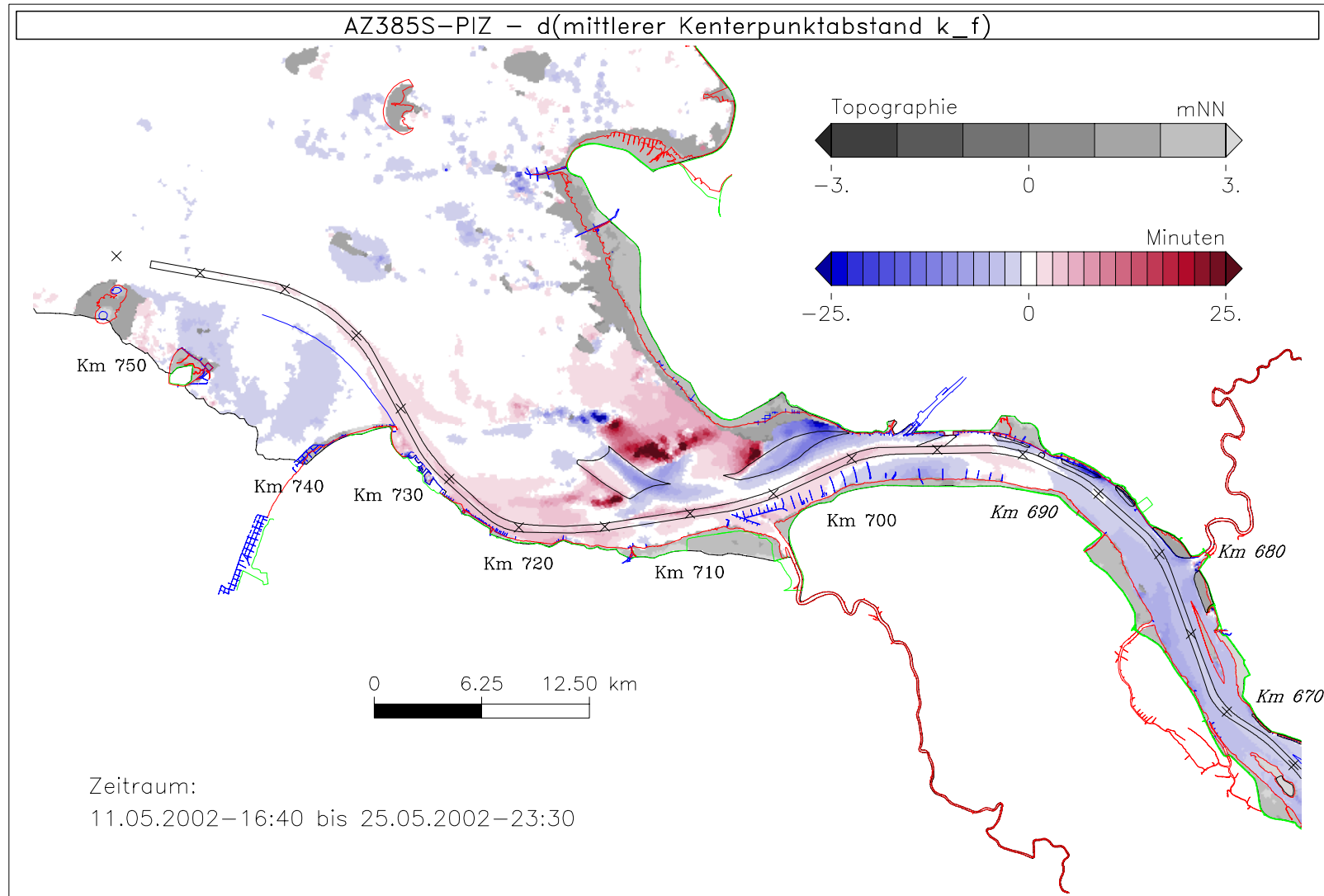


Bild 36: Differenz des mittleren Kenterpunktabstandes bei Kenterpunkt Flut (AZ385S - PIZ) bei niedrigem Oberwasser, Teilgebiet West

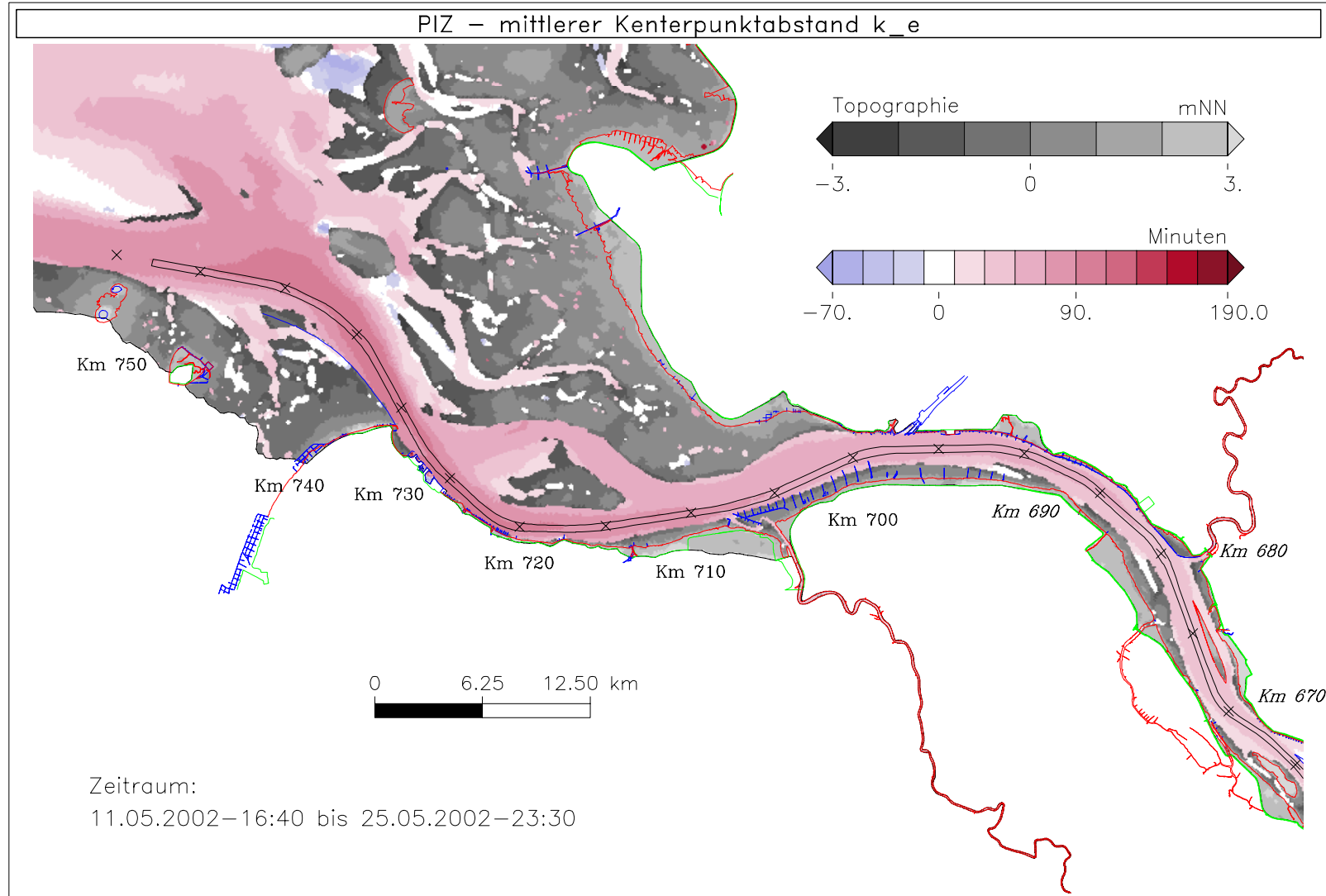


Bild 37: Mittlerer Kenterpunktabstand bei Kenterpunkt Ebbe bei niedrigem Oberwasser, Teilgebiet West

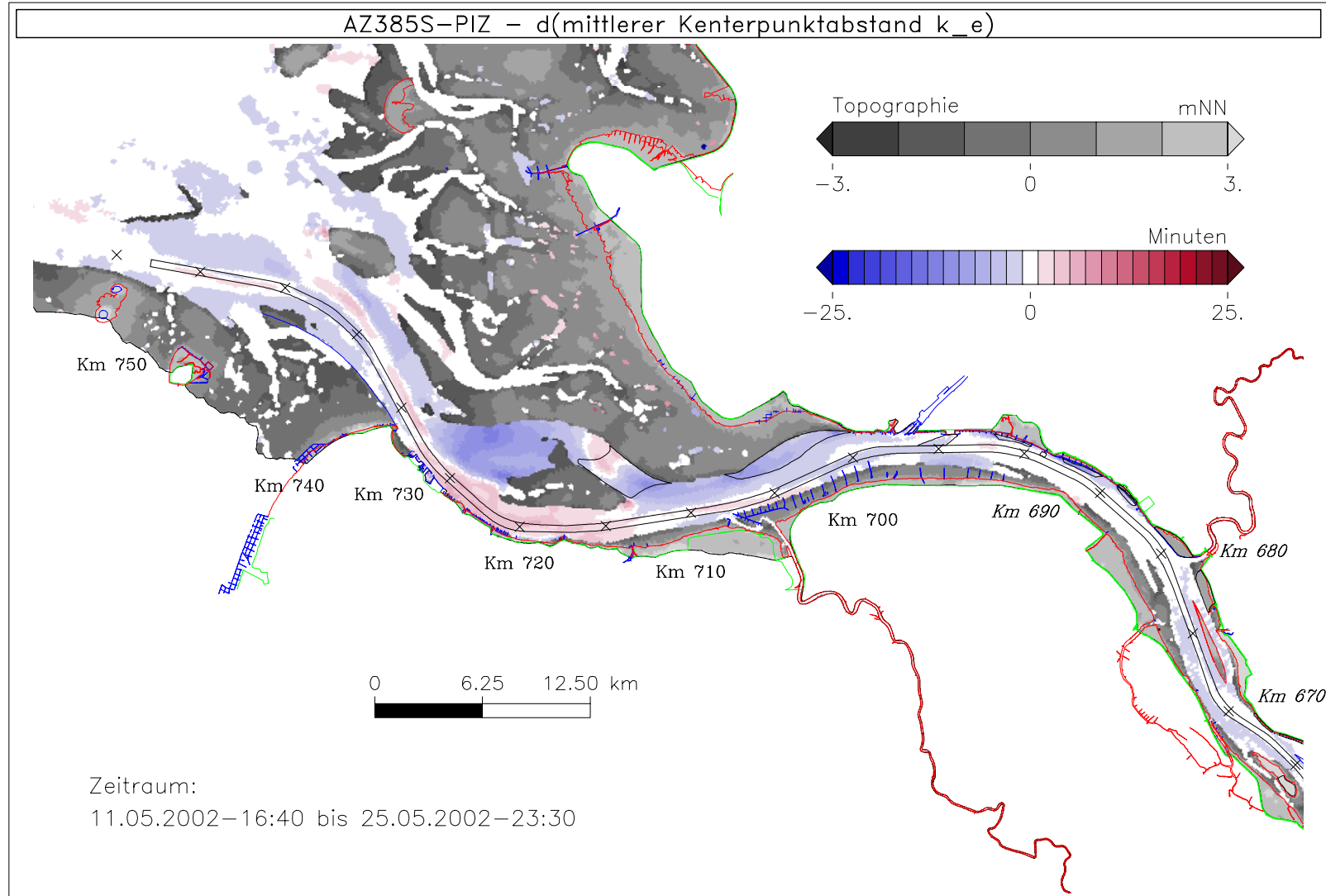


Bild 38: Differenz des mittleren Kenterpunktabstandes bei Kenterpunkt Ebbe (AZ385S - PIZ) bei niedrigem Oberwasser, Teilgebiet West

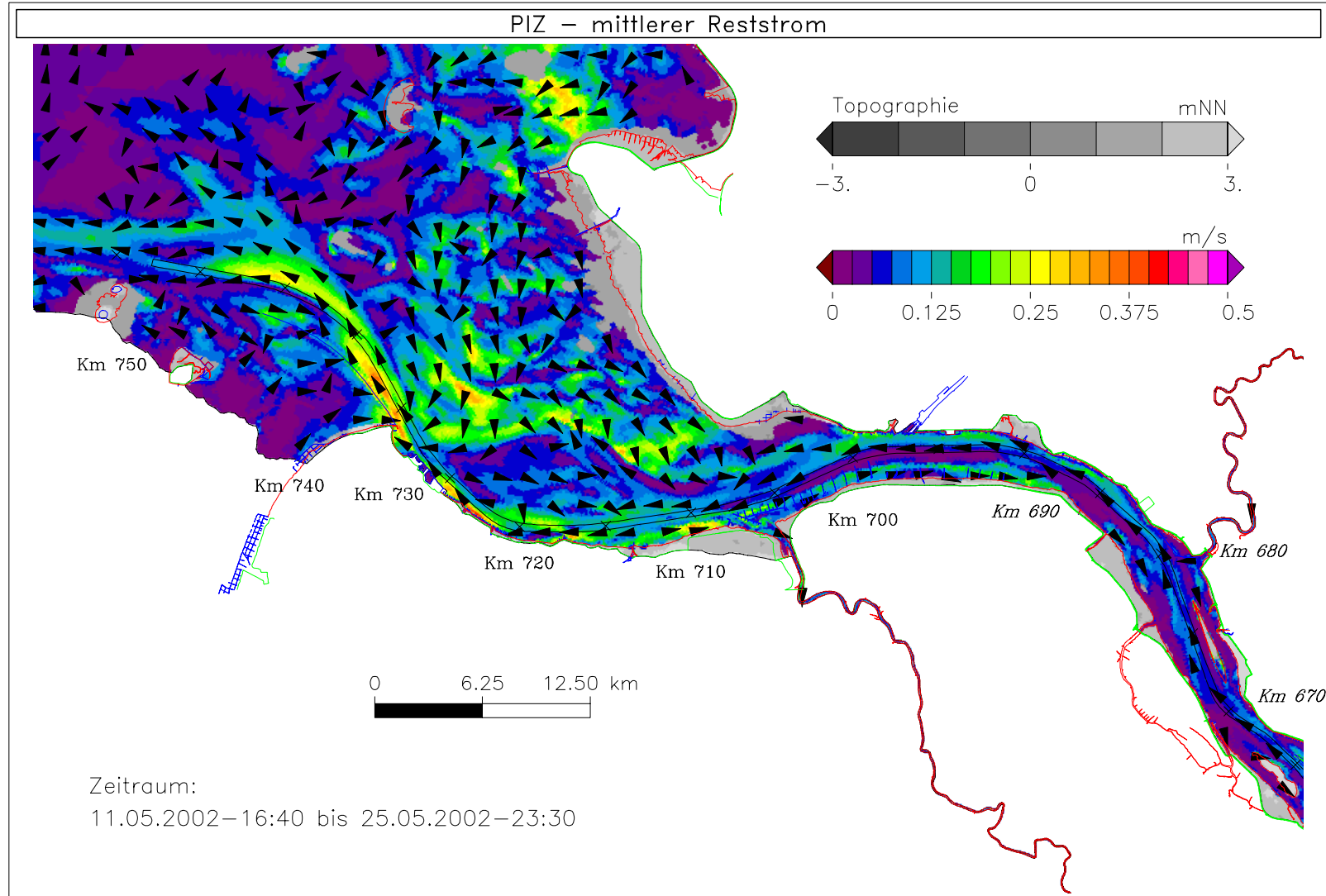


Bild 39: Reststromgeschwindigkeit bei niedrigem Oberwasser, Teilgebiet West

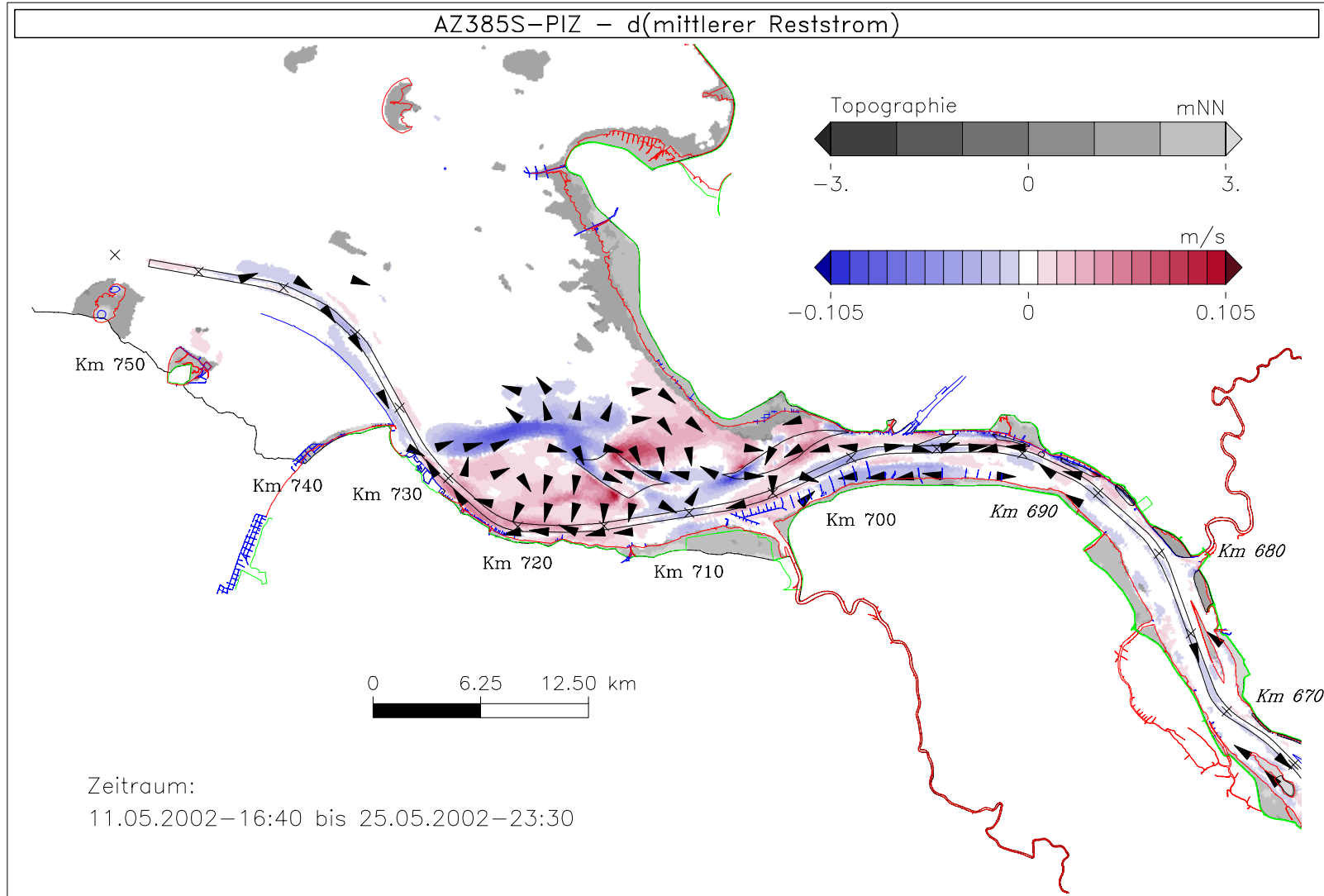


Bild 40: Differenz der Reststromgeschwindigkeit (AZ385S - PIZ) bei niedrigem Oberwasser, Teilgebiet West

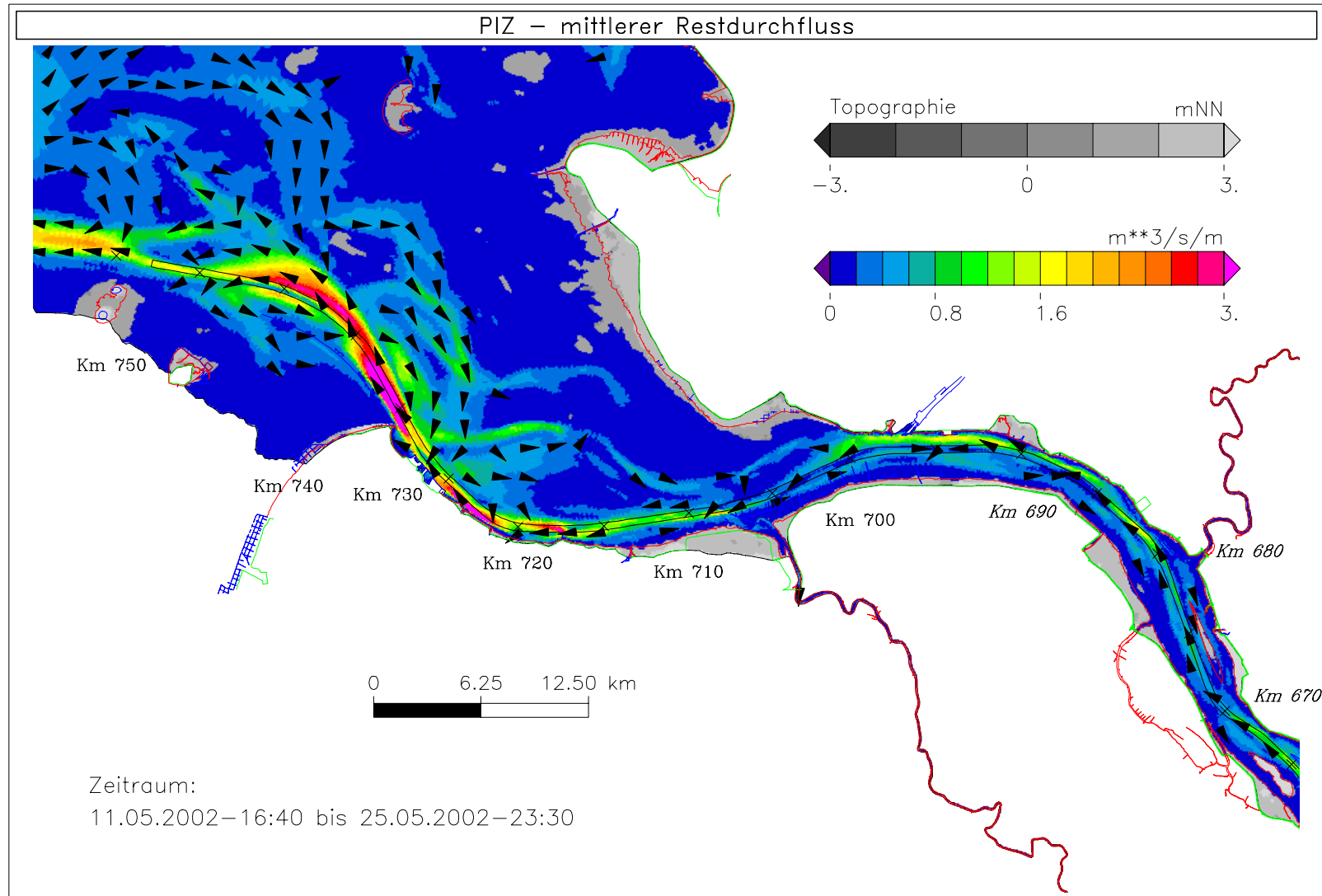
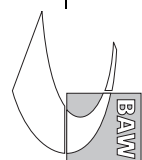


Bild 41: Restdurchfluss bei niedrigem Oberwasser, Teilgebiet West



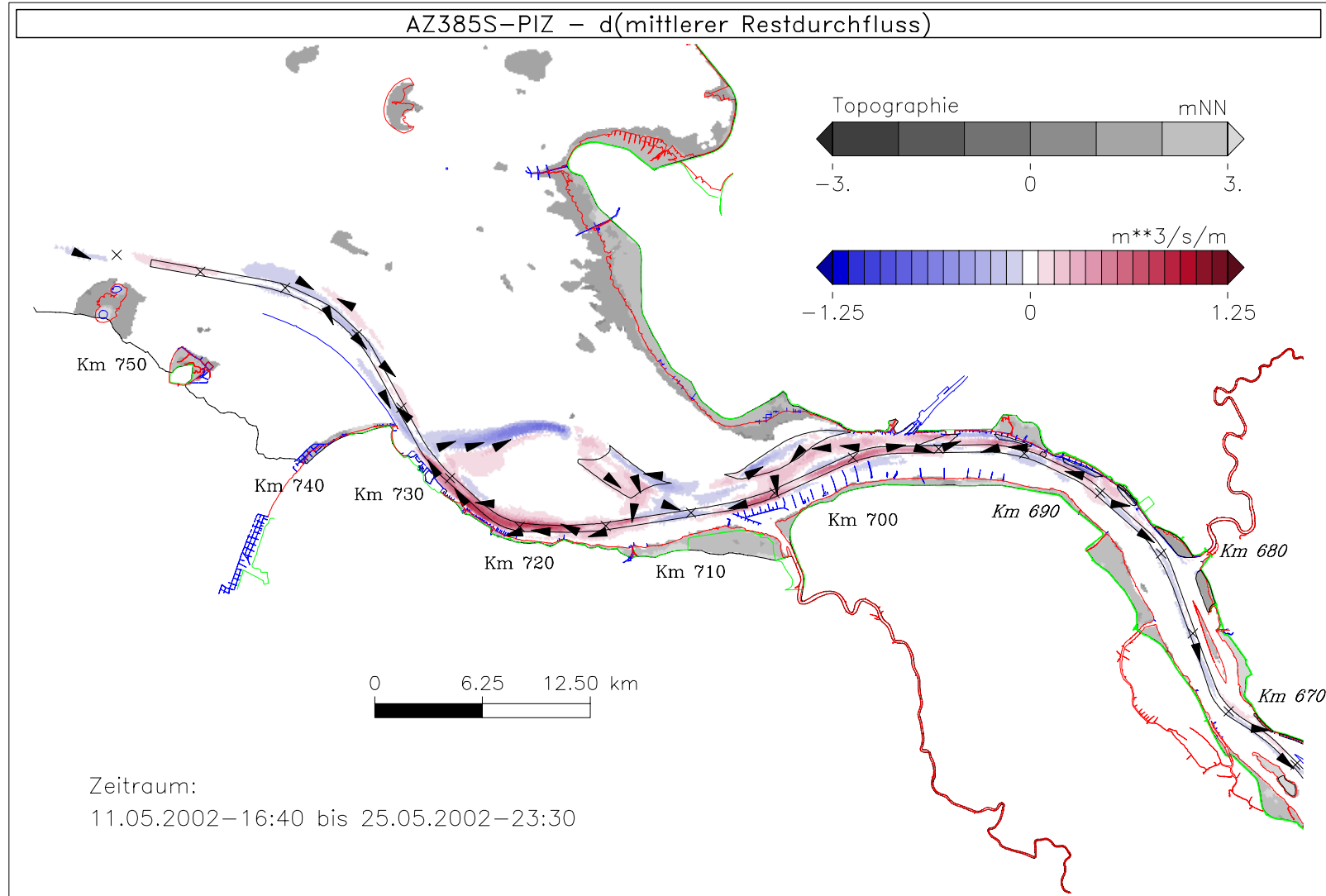


Bild 42: Differenz des Restdurchflusses (AZ385S - PIZ) bei niedrigem Oberwasser, Teilgebiet West

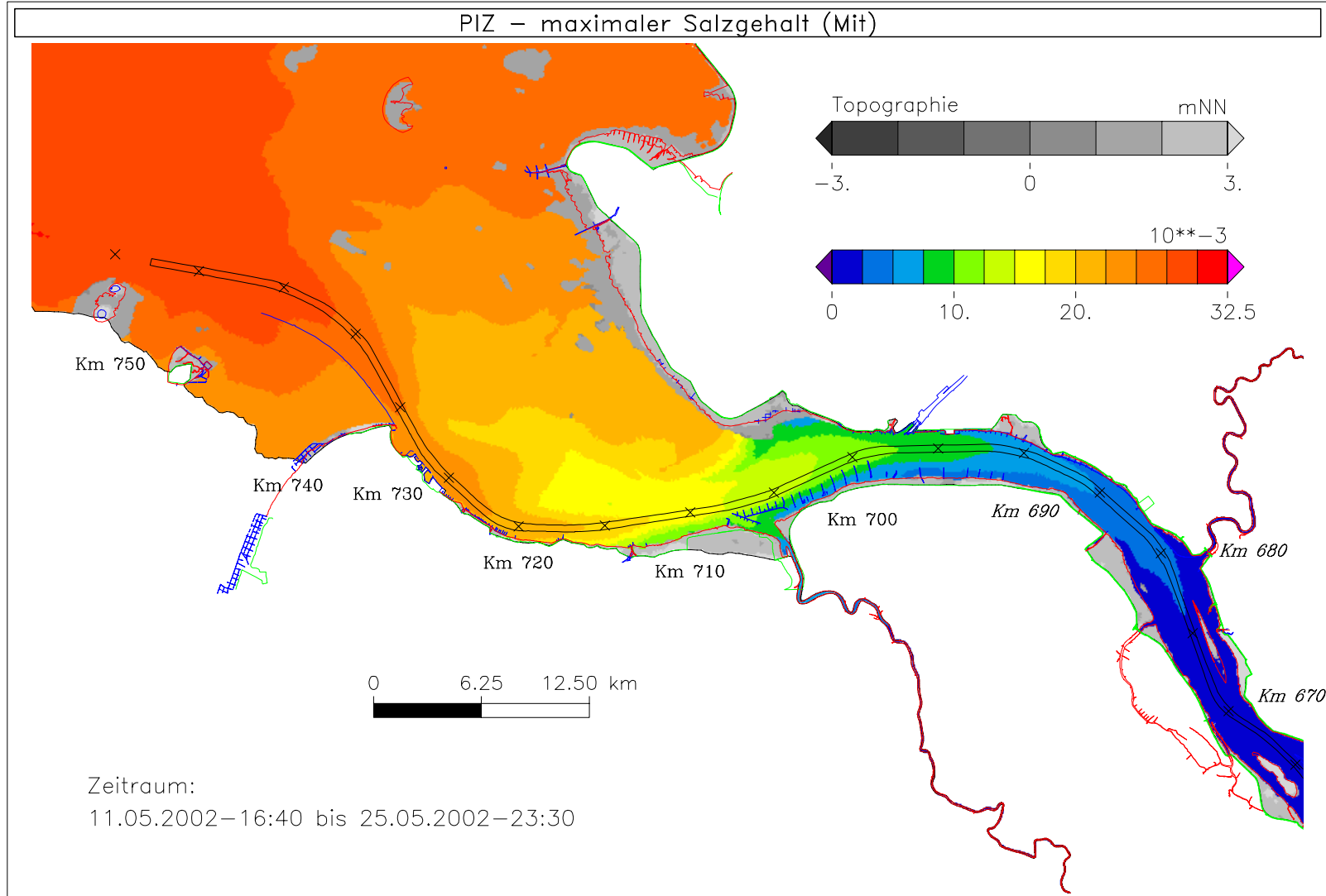


Bild 43: Maximaler Salzgehalt bei niedrigem Oberwasser, Teilgebiet West

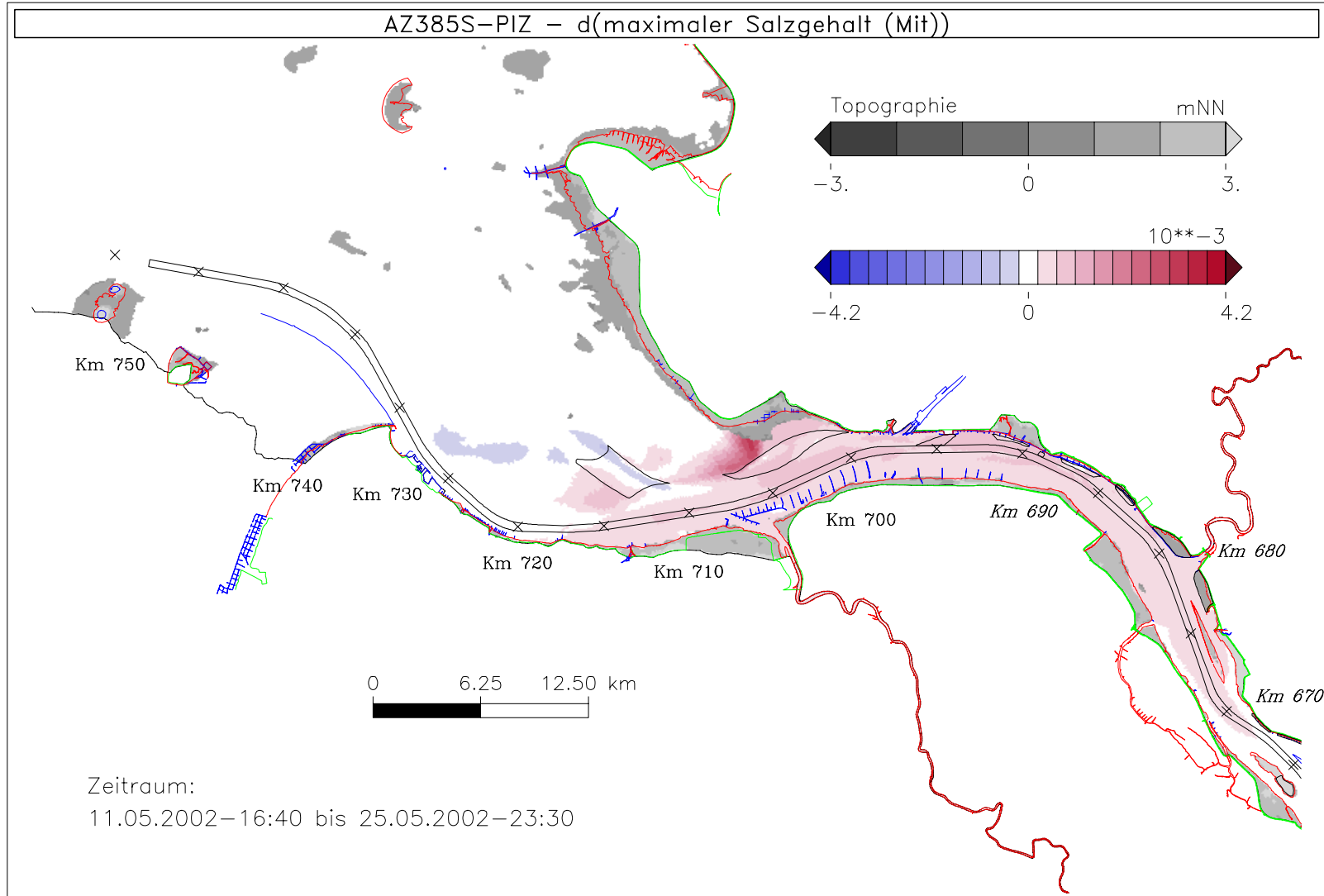


Bild 44: Differenz des max. Salzgehaltes (AZ385S - PIZ) bei niedrigem Oberwasser, Teilgebiet West

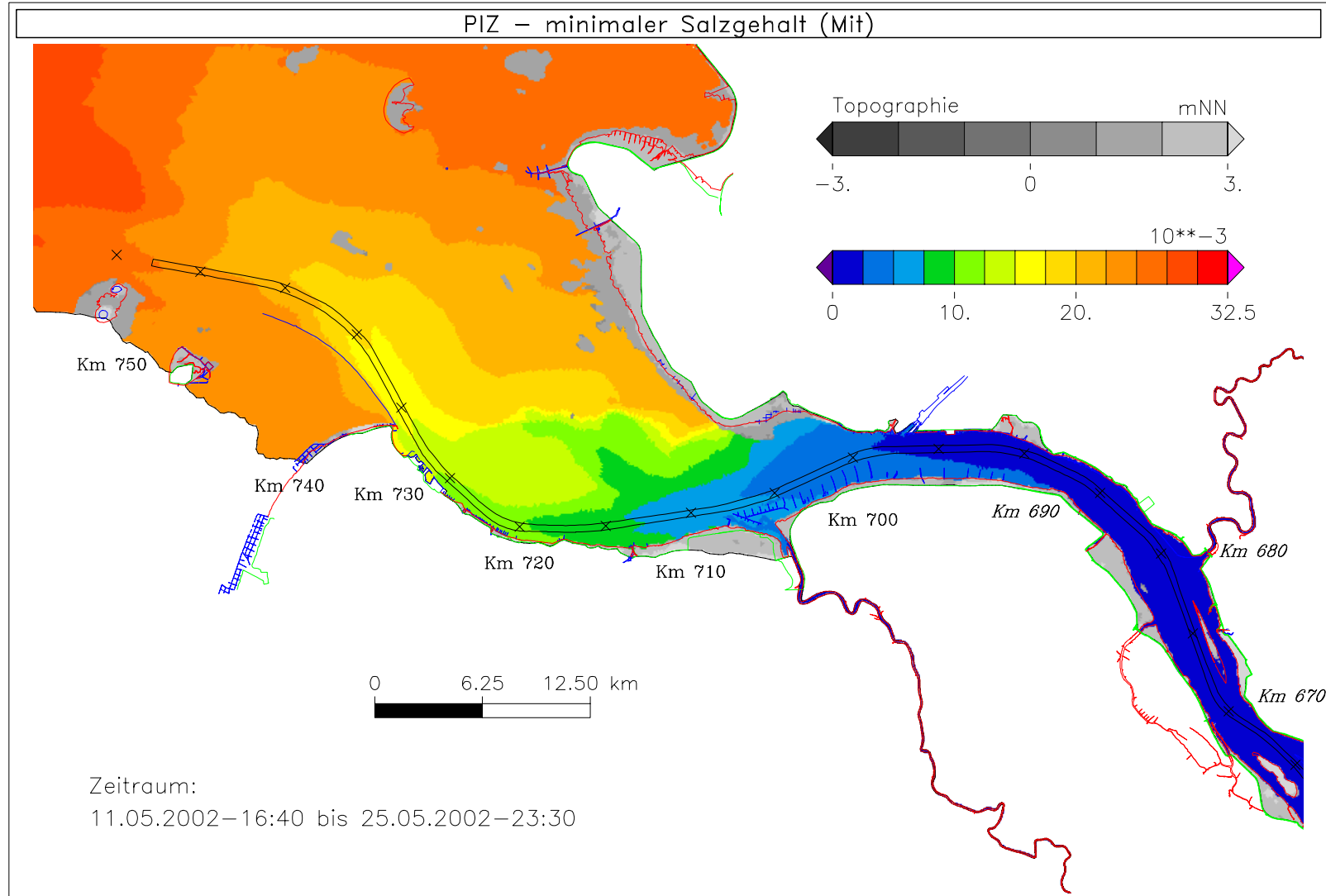


Bild 45: Minimaler Salzgehalt bei niedrigem Oberwasser, Teilgebiet West

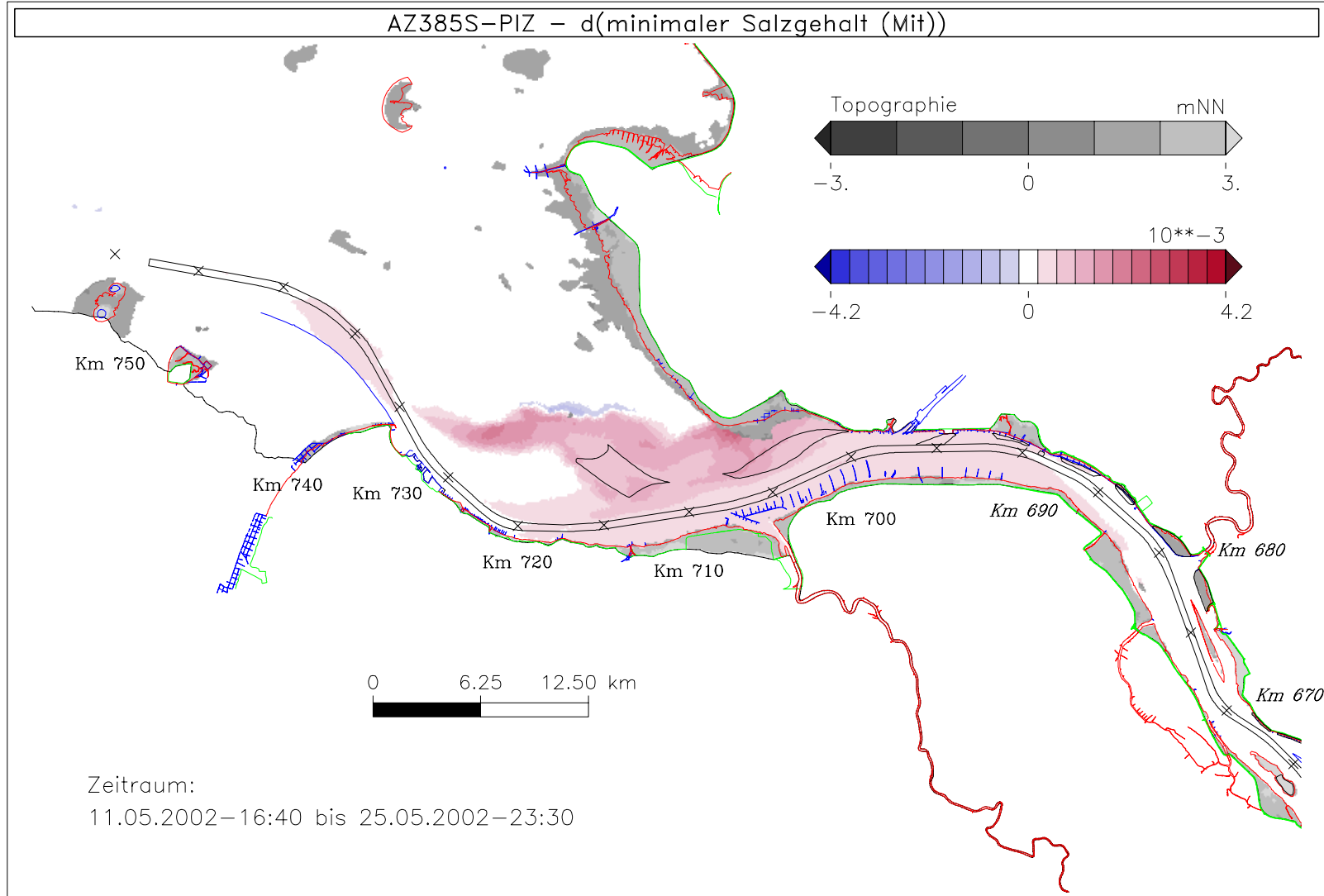


Bild 46: Differenz des min. Salzgehaltes (AZ385S - PIZ) bei niedrigem Oberwasser, Teilgebiet West

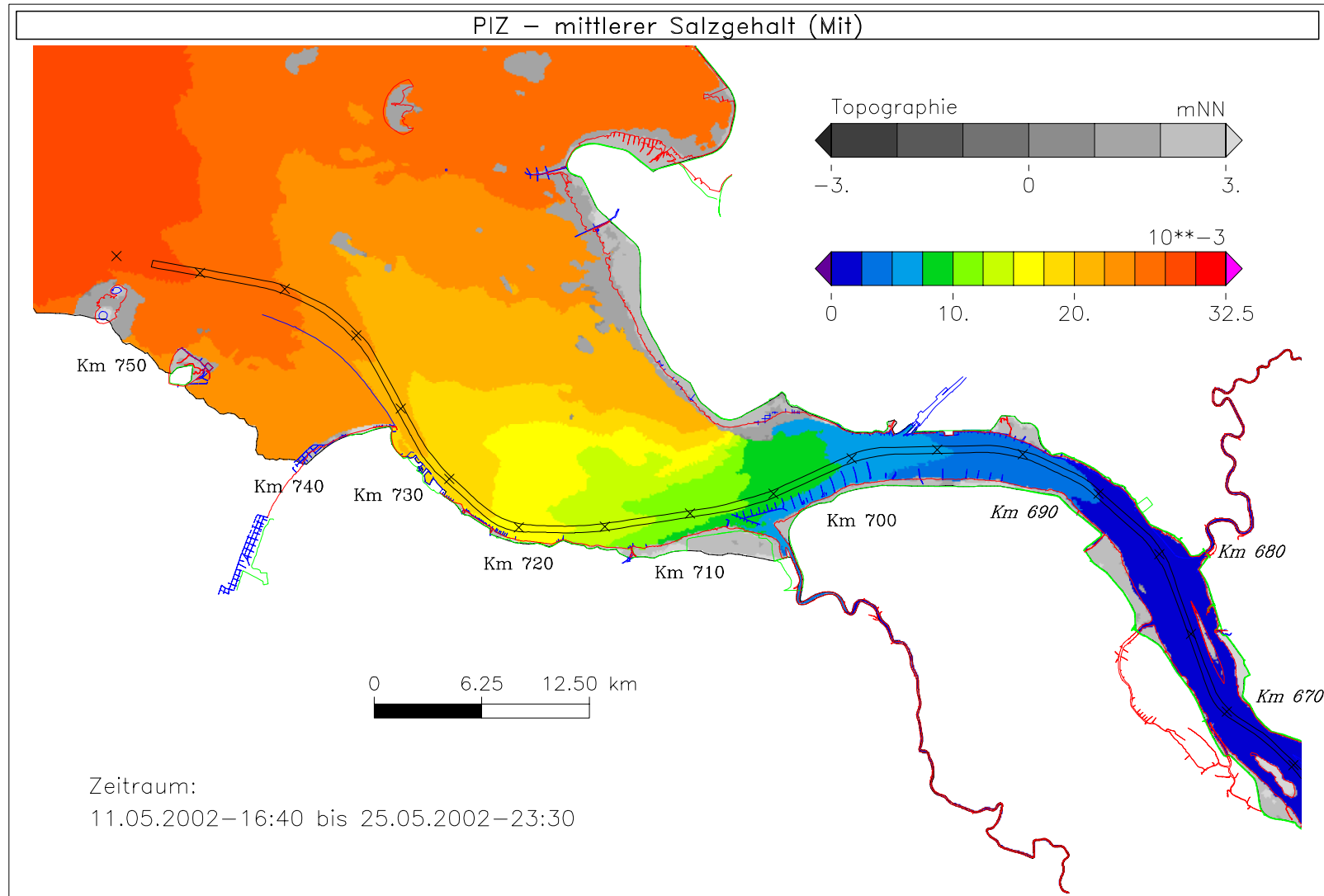
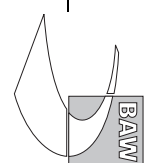


Bild 47: Mittlerer Salzgehalt bei niedrigem Oberwasser, Teilgebiet West



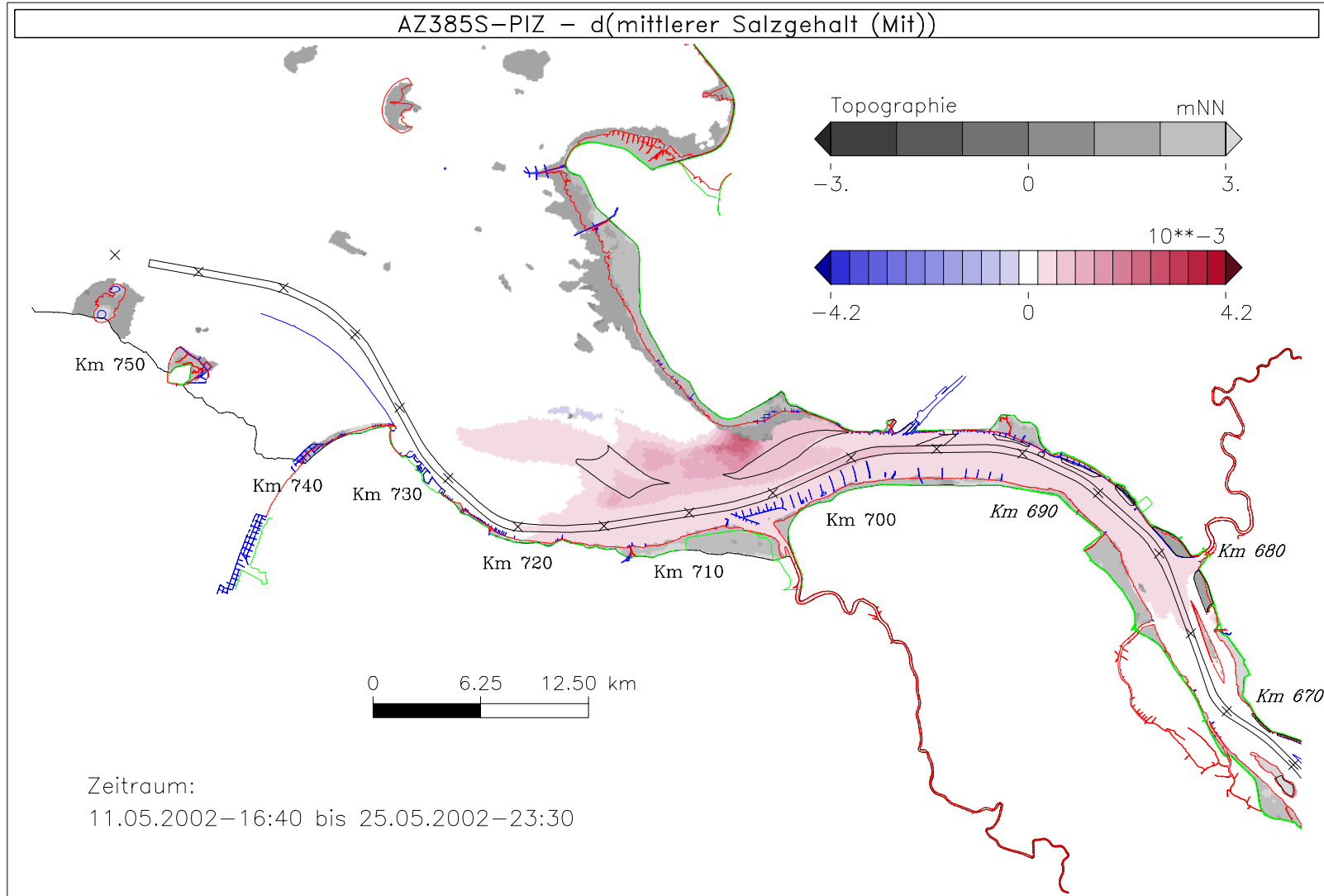


Bild 48: Differenz des mittl. Salzgehaltes (AZ385S - PIZ) bei niedrigem Oberwasser, Teilgebiet West

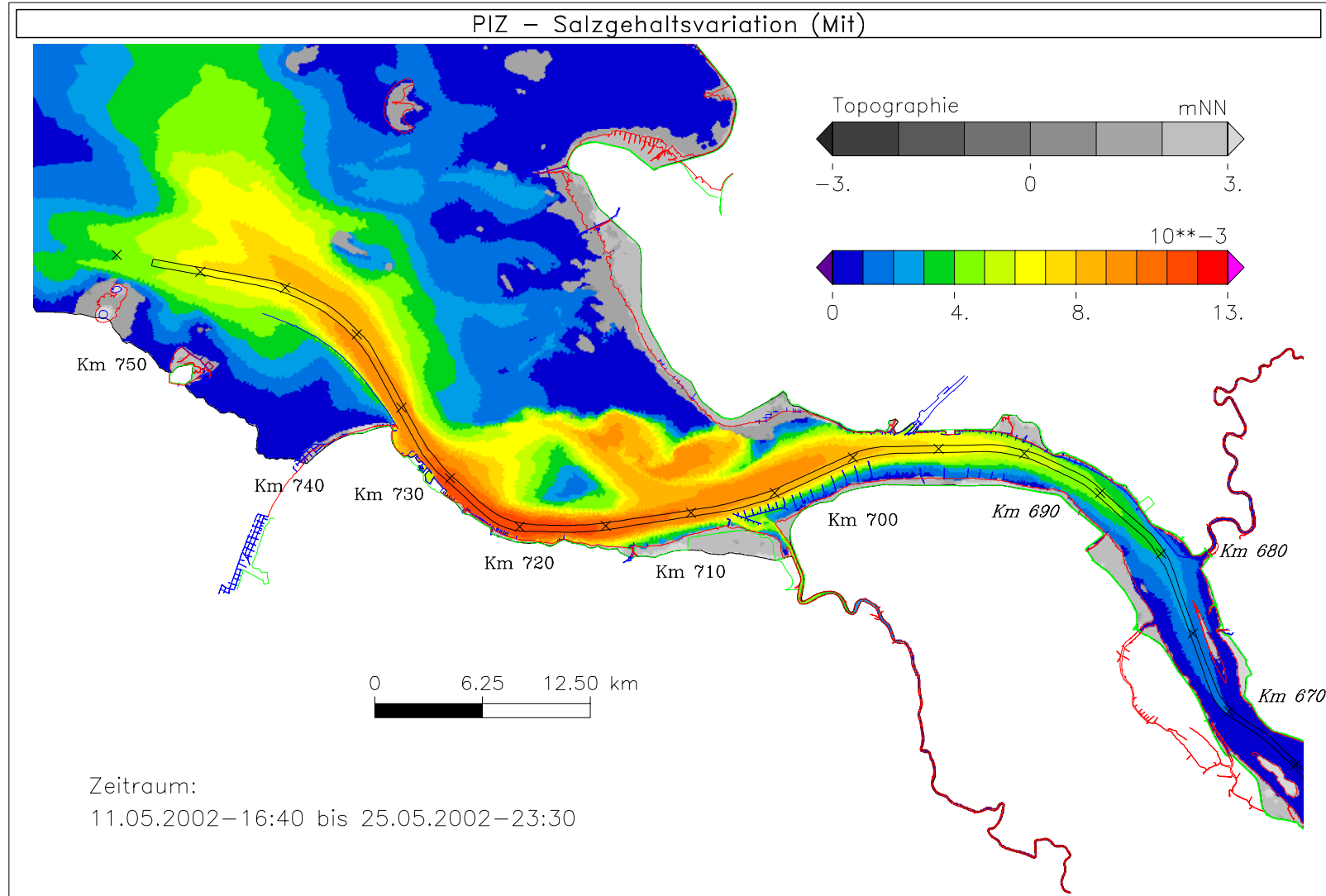


Bild 49: Salzgehaltsvariation bei niedrigem Oberwasser, Teilgebiet West

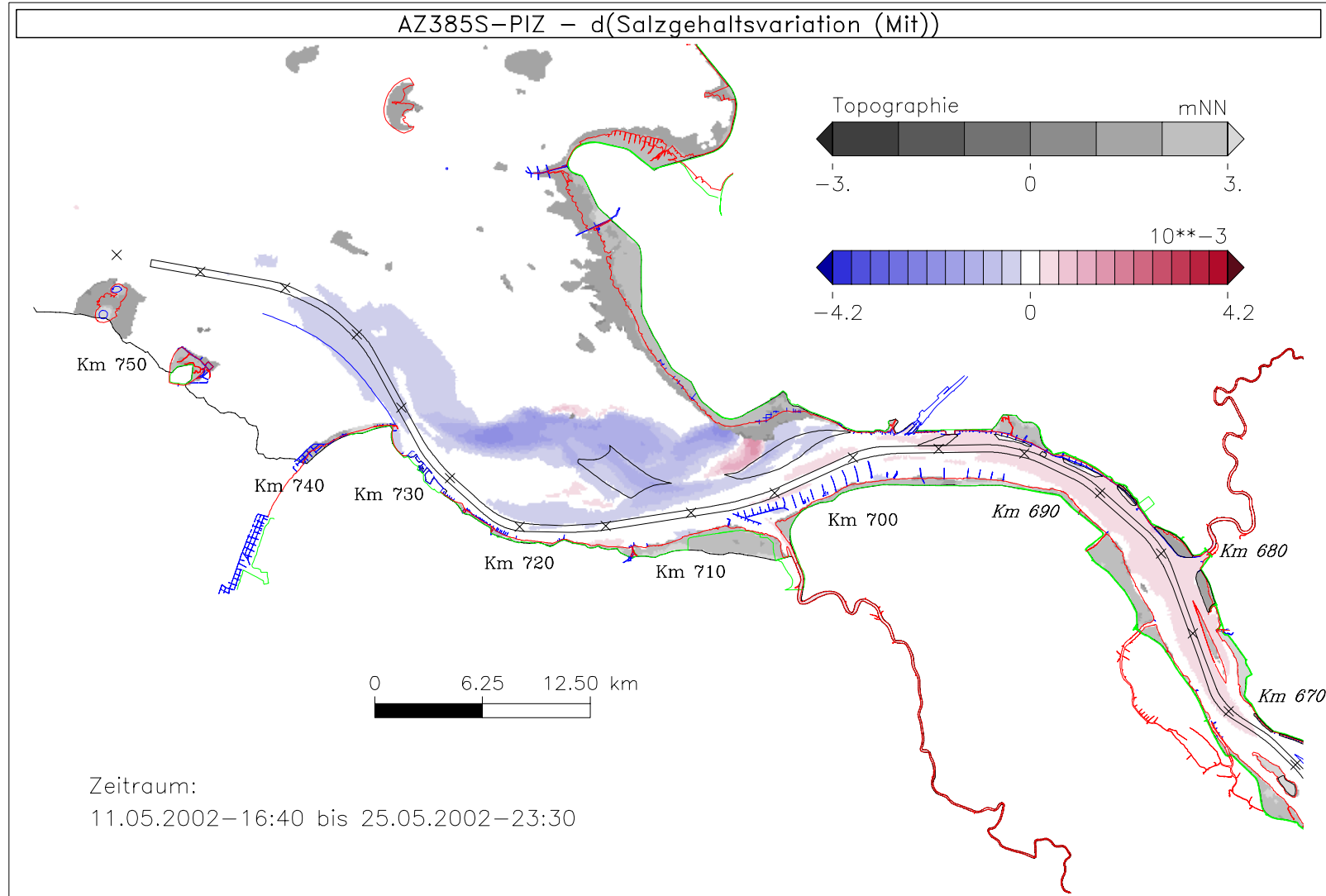


Bild 50: Differenz der Salzgehaltsvariation (AZ385S - PIZ) bei niedrigem Oberwasser, Teilgebiet West

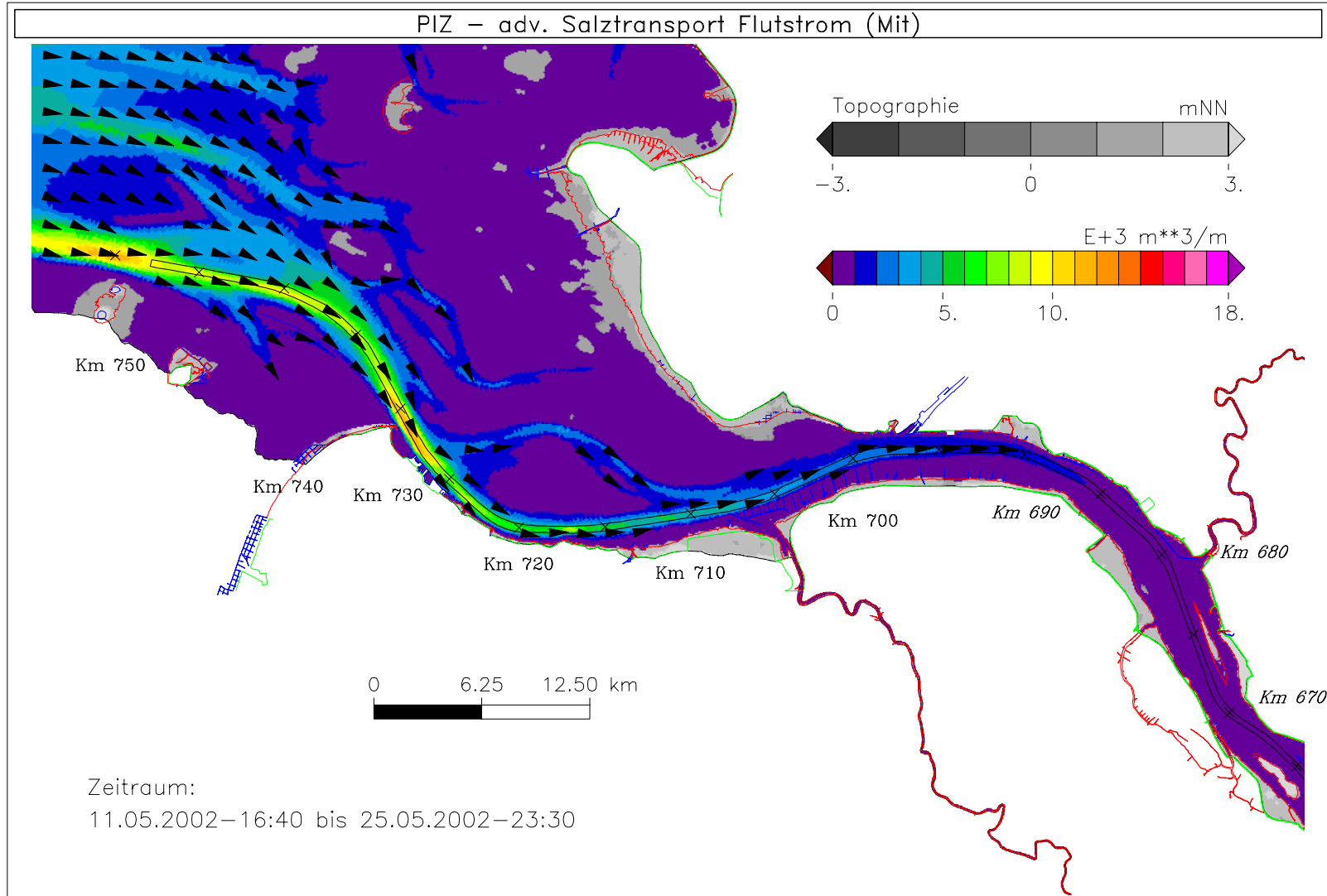
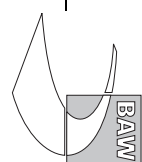


Bild 51: Advektiver Salztransport Flutstrom bei niedrigem Oberwasser, Teilgebiet West



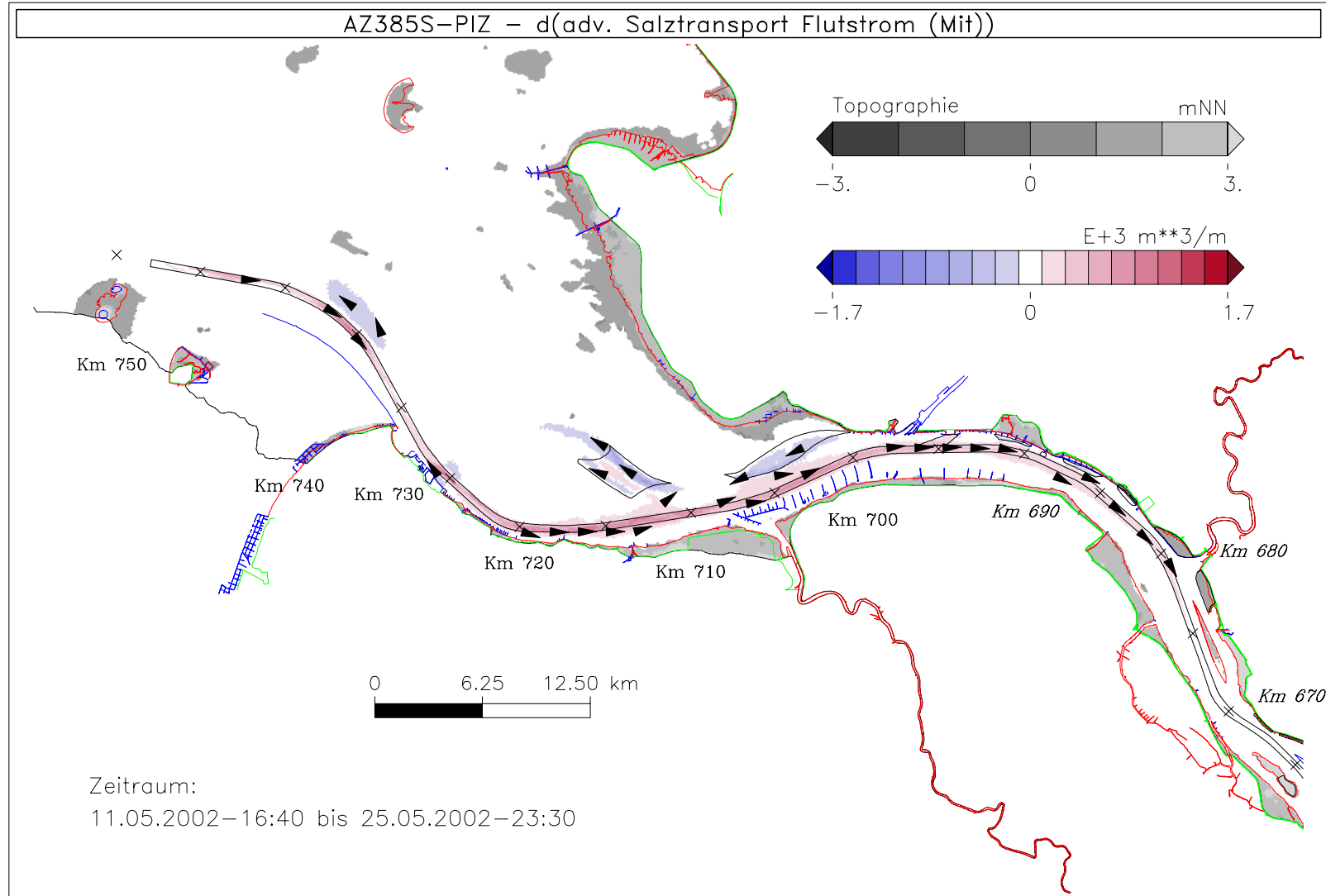


Bild 52: Differenz des adv. Salztransports Flutstrom (AZ385S - PIZ) bei niedrigem Oberwasser, Teilgebiet West

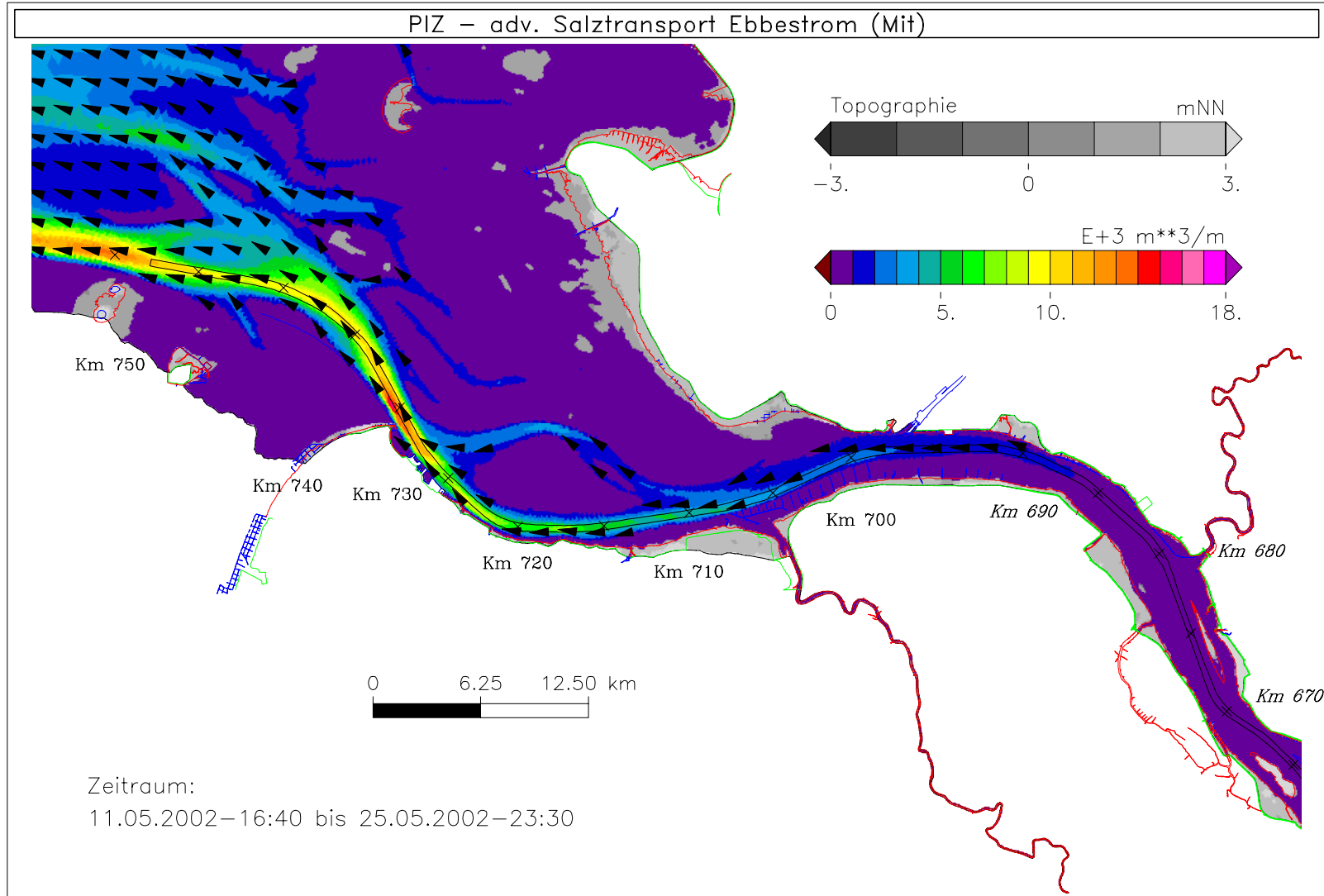


Bild 53: Advektiver Salztransport Ebbestrom bei niedrigem Oberwasser, Teilgebiet West

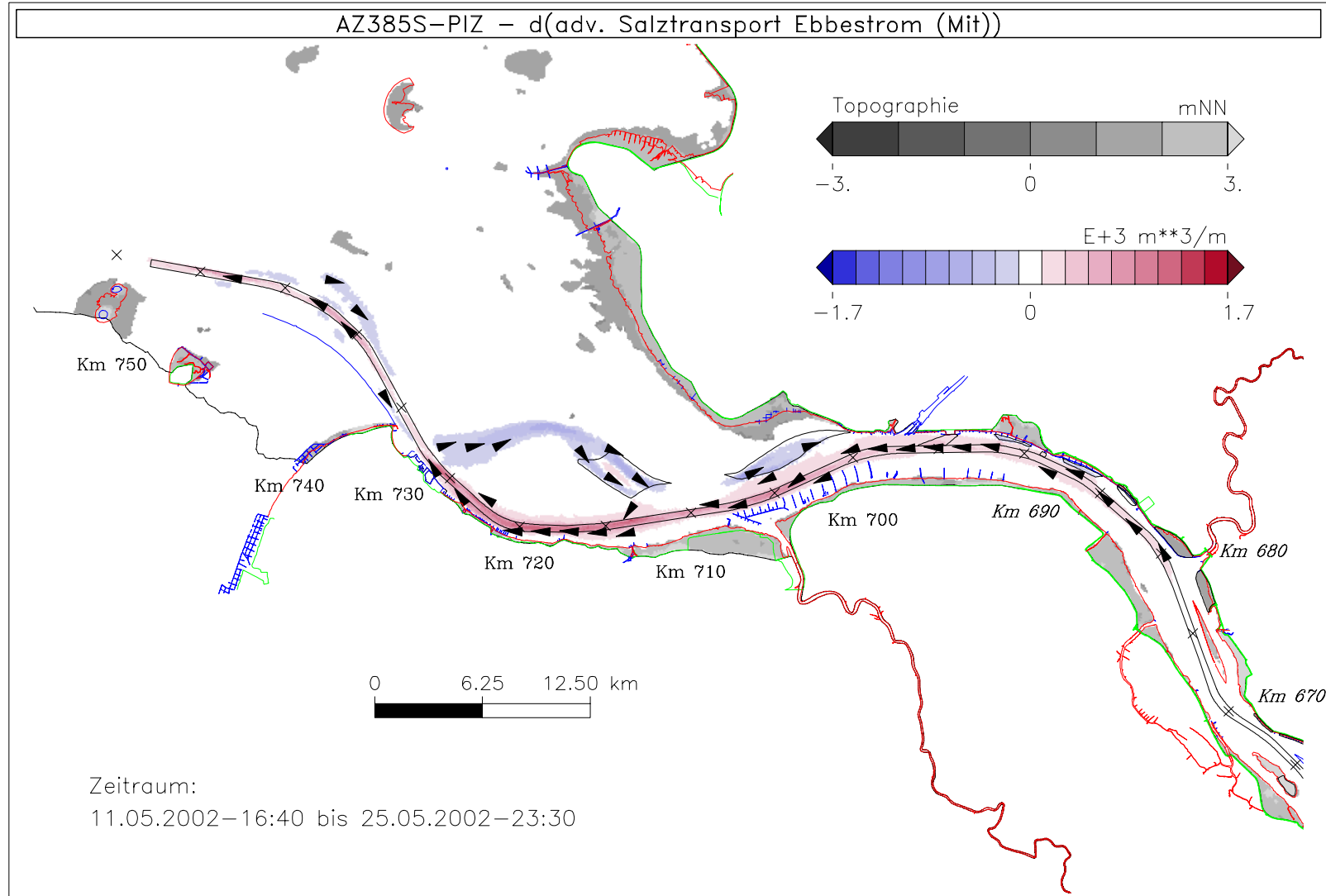


Bild 54: Differenz des adv. Salztransports Ebbstrom (AZ385S - PIZ) bei niedrigem Oberwasser, Teilgebiet West

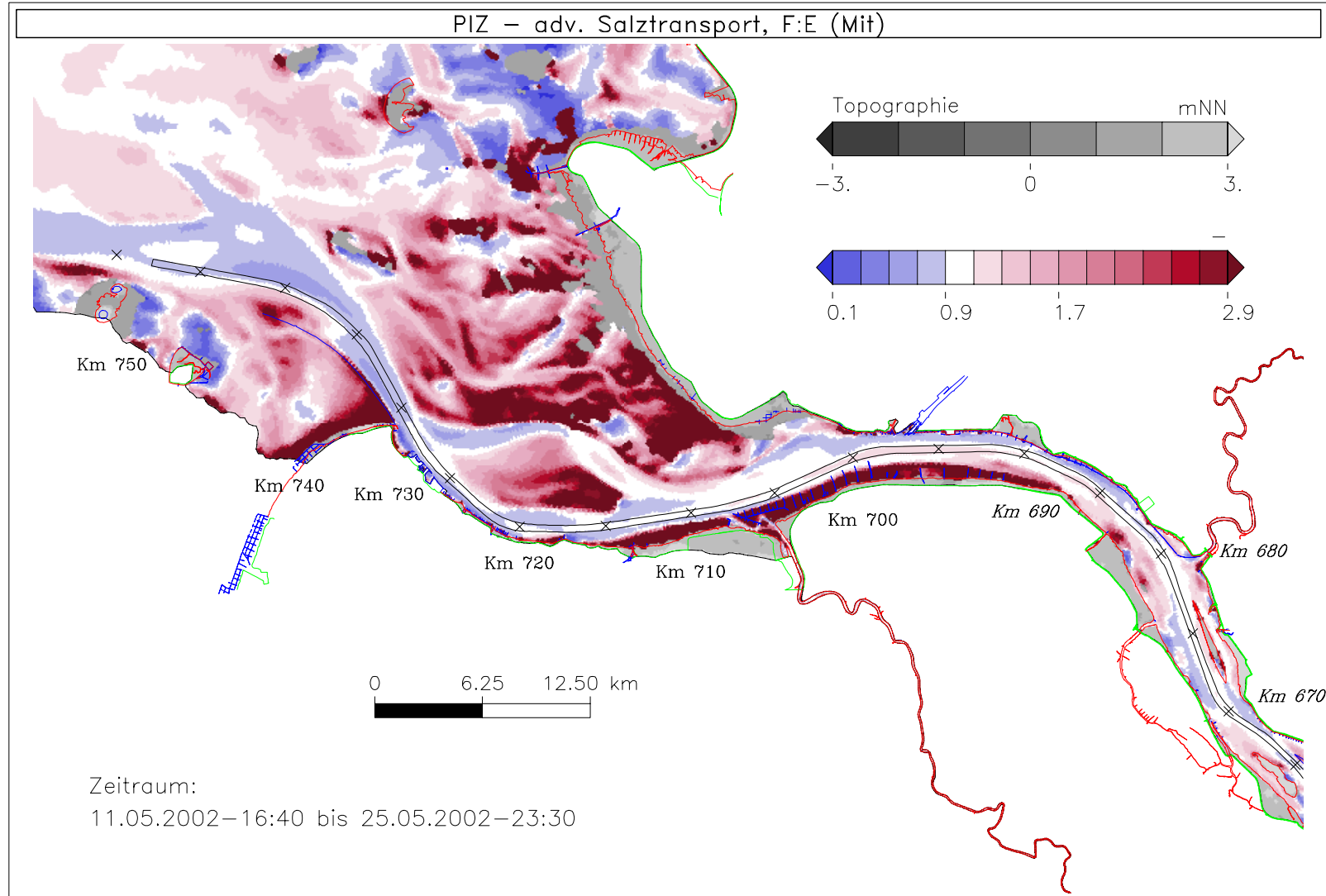


Bild 55: Verhältnis des adv. Salztransports Flut- zu Ebbstrom (AZ385S - PIZ) bei niedrigem Oberwasser, Teilgebiet West

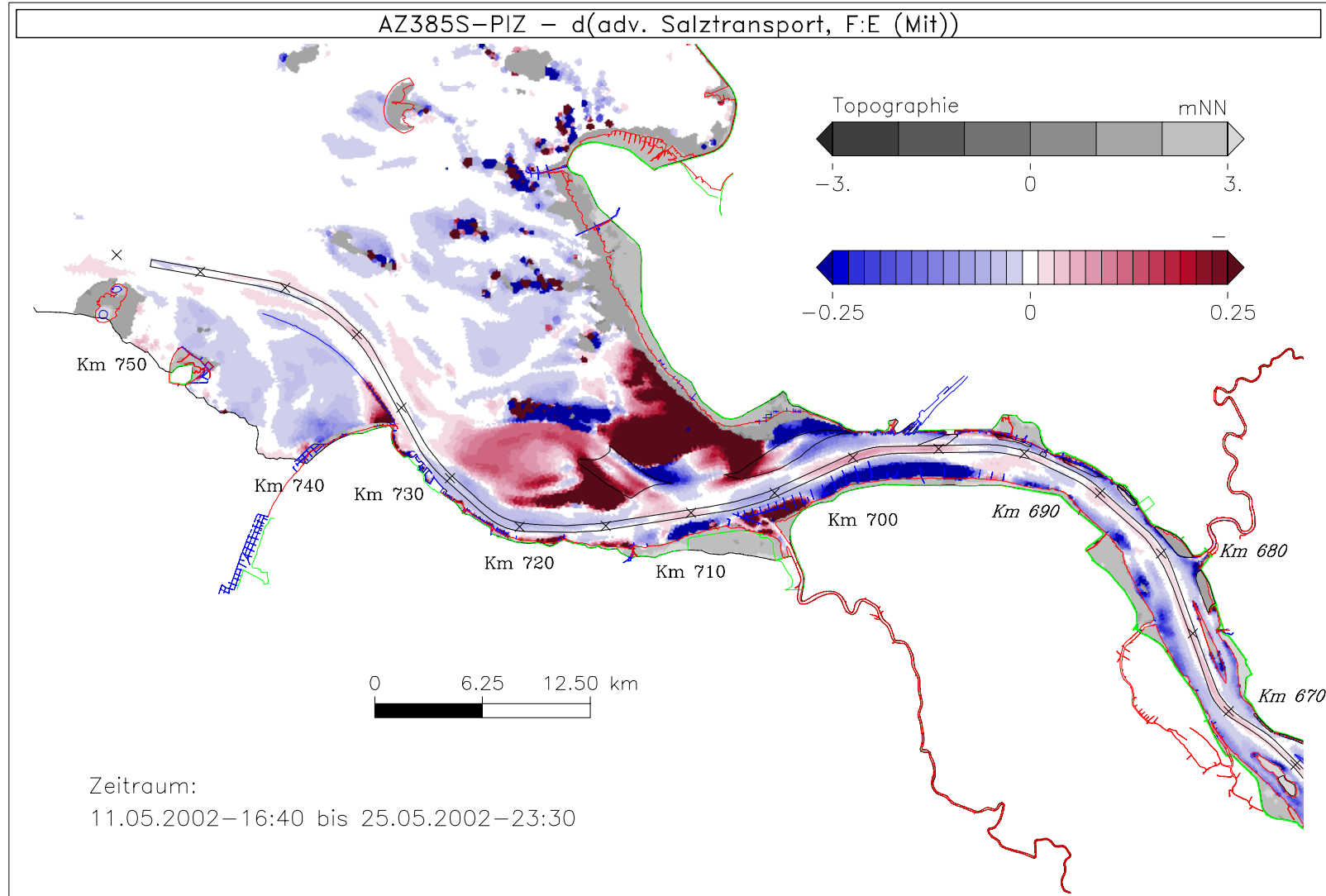


Bild 56: Differenz des Verhältnisses des adv. Salztransportes Flut- zu Ebbstrom (AZ385S - PIZ) bei niedrigem Oberwasser, Teilgebiet West

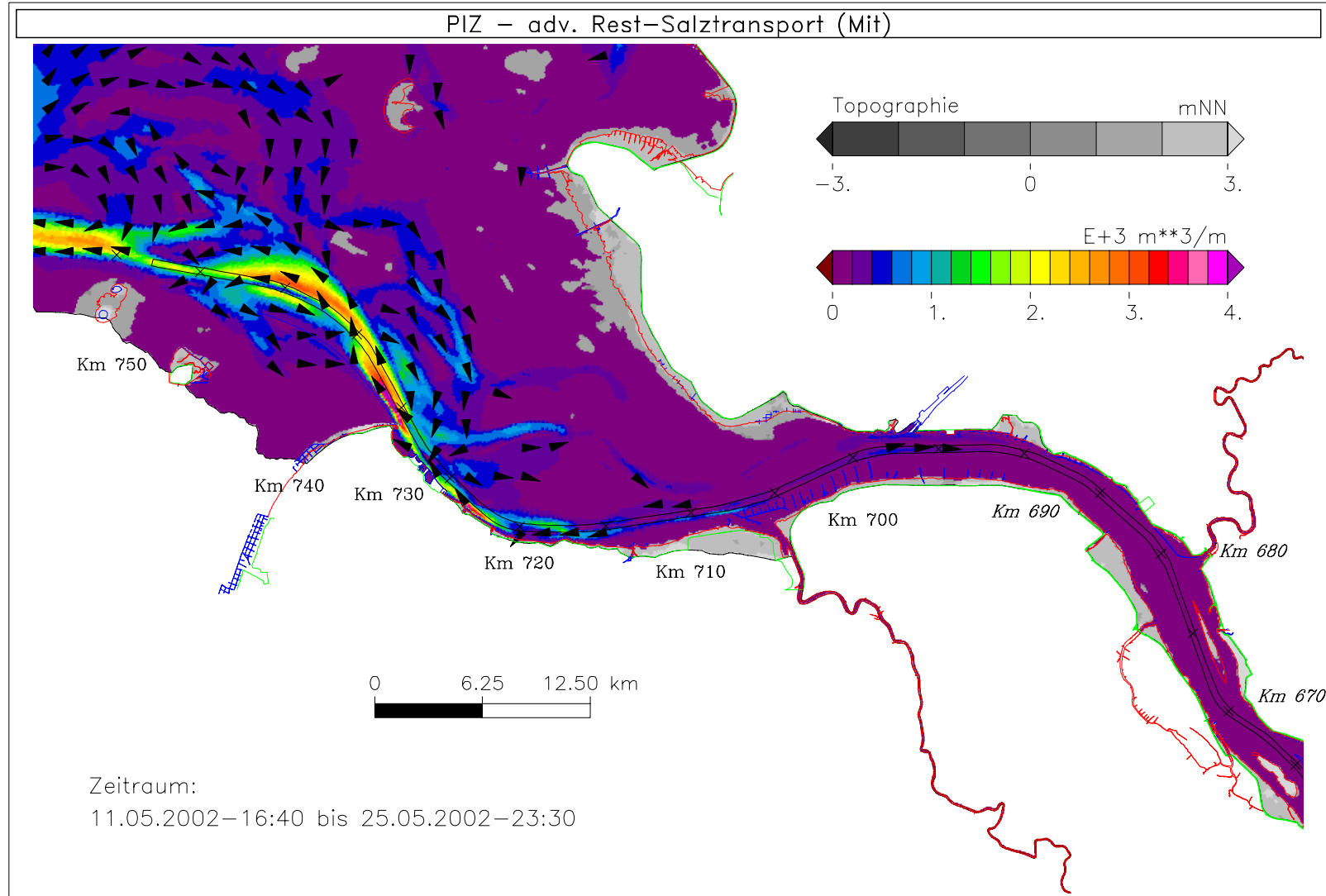


Bild 57: Advektiver Rest-Salztransport bei niedrigem Oberwasser, Teilgebiet West

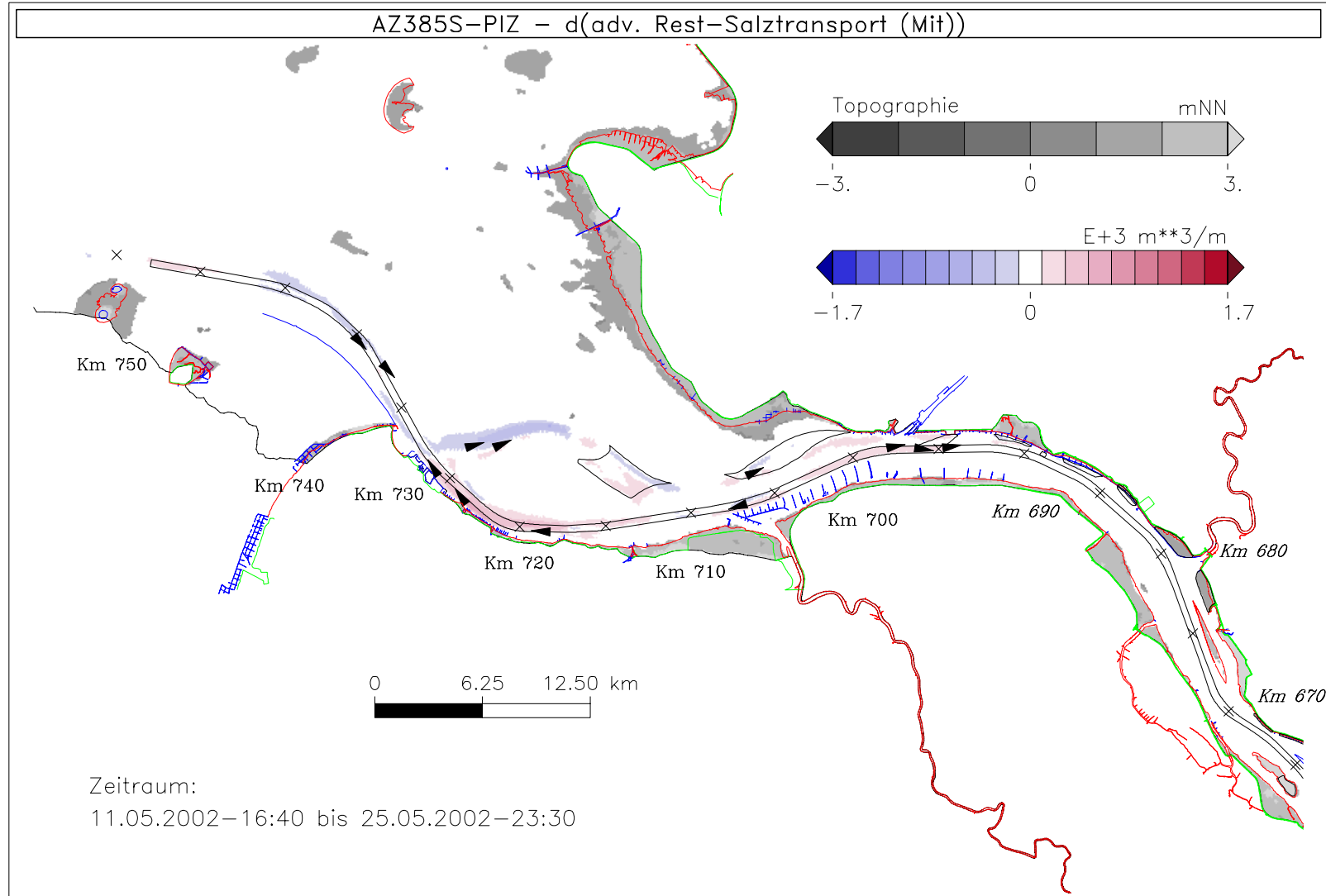
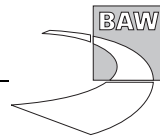
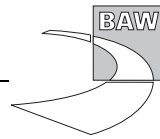


Bild 58: Differenz des adv. Rest-Salztransports (AZ385S - PIZ) bei niedrigem Oberwasser, Teilgebiet West





A.2 Teilgebiet 4

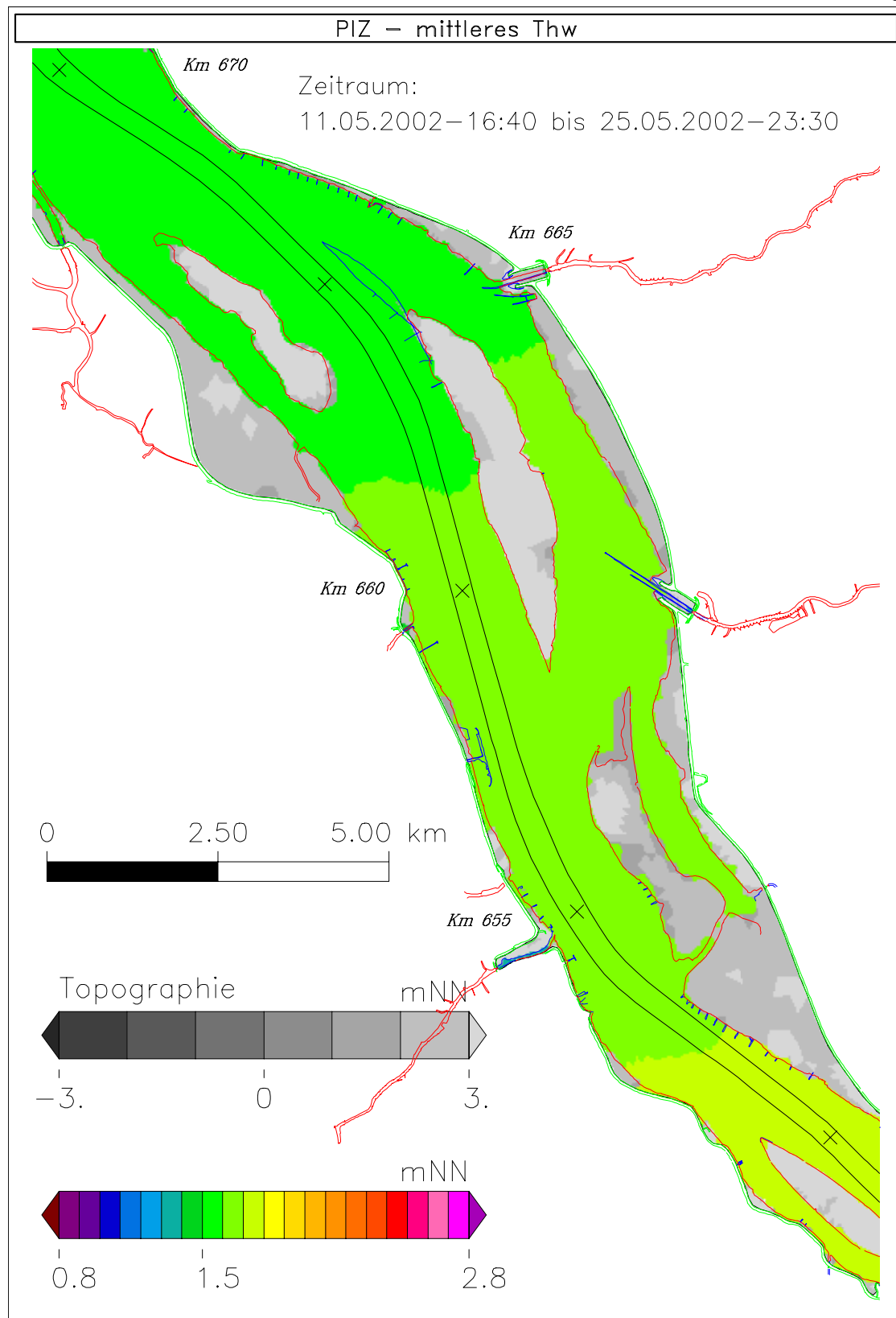
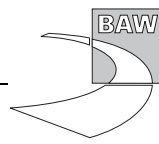


Bild 59: Tidehochwasser bei niedrigem Oberwasser, Teilgebiet 4

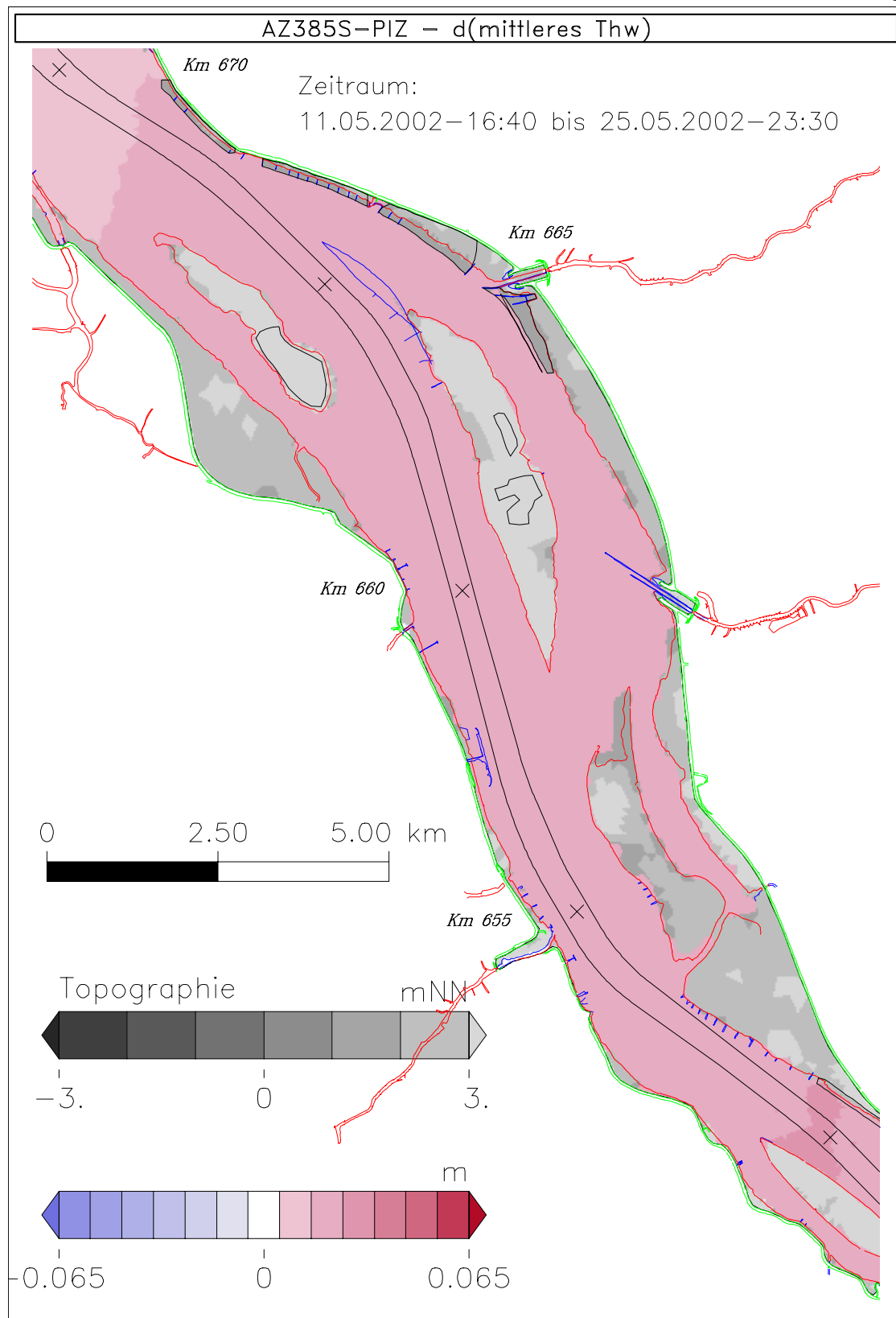
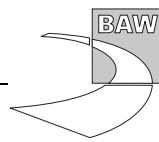


Bild 60: Differenz des Tidehochwassers (AZ385S - PIZ) bei niedrigem Oberwasser, Teilgebiet 4

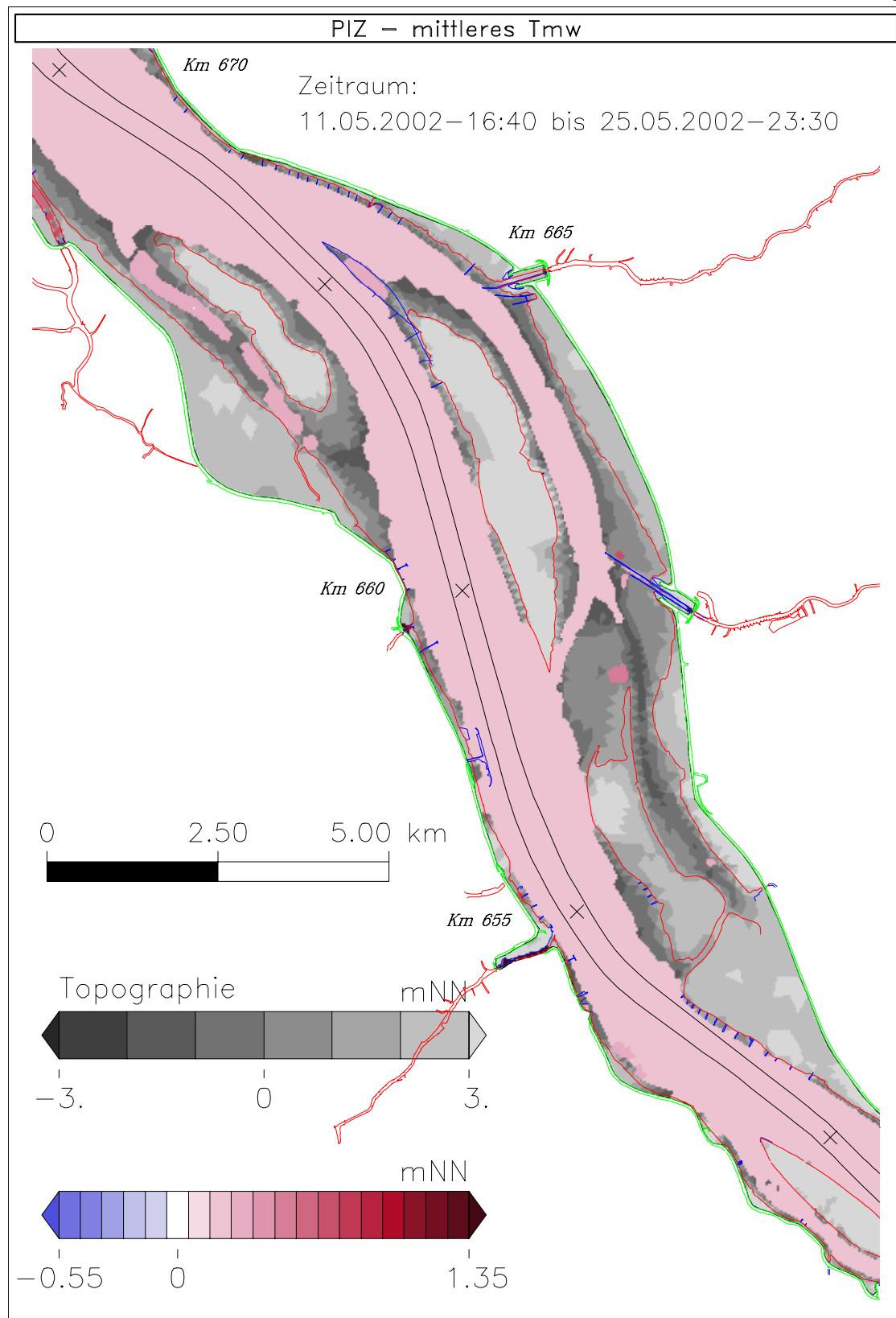
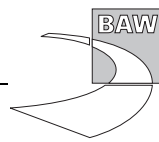


Bild 61: Tidemittelwasser bei niedrigem Oberwasser, Teilgebiet 4

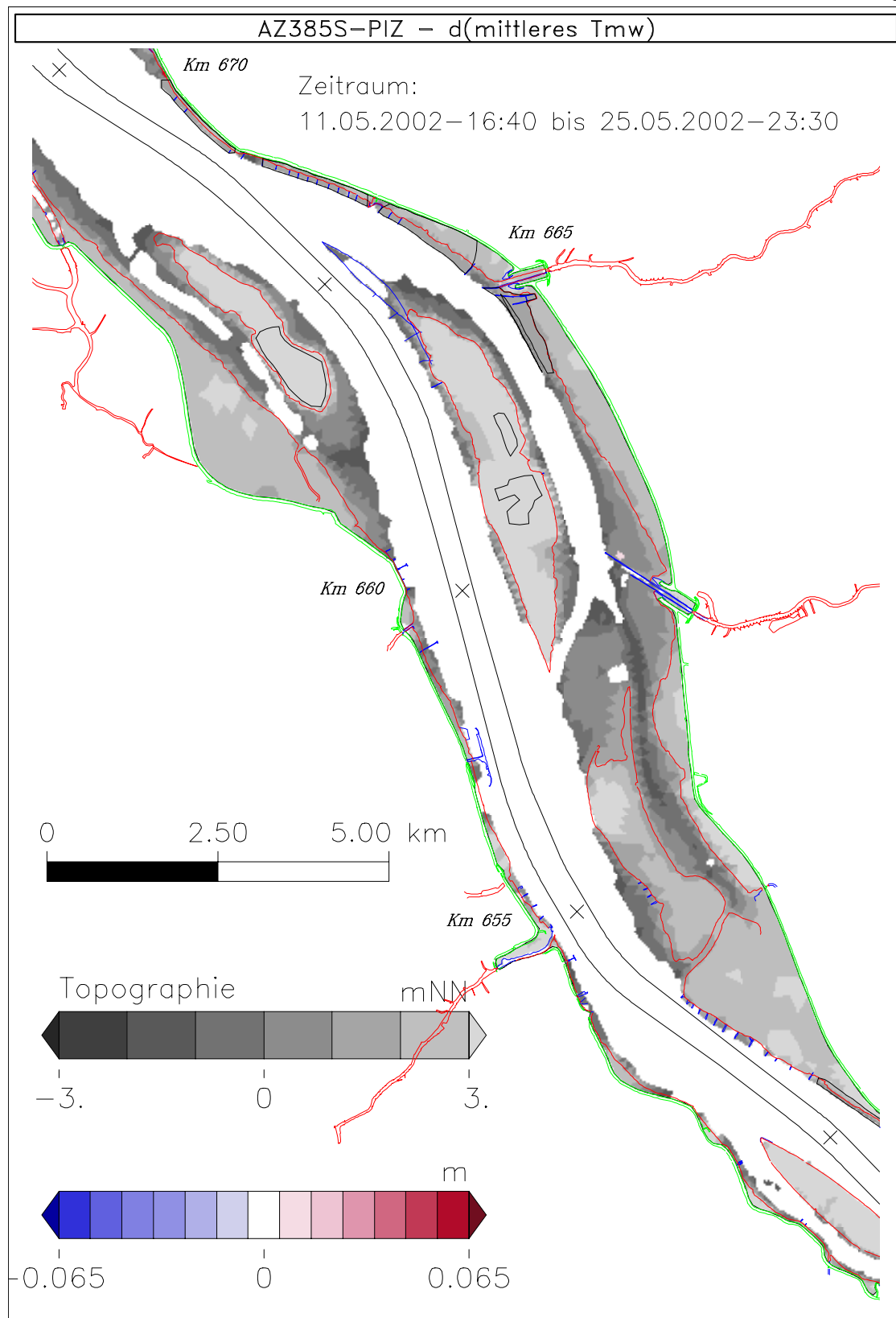
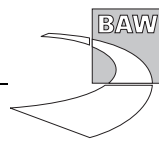


Bild 62: Differenz des Tidemittelwassers (AZ385S - PIZ) bei niedrigem Oberwasser, Teilgebiet 4

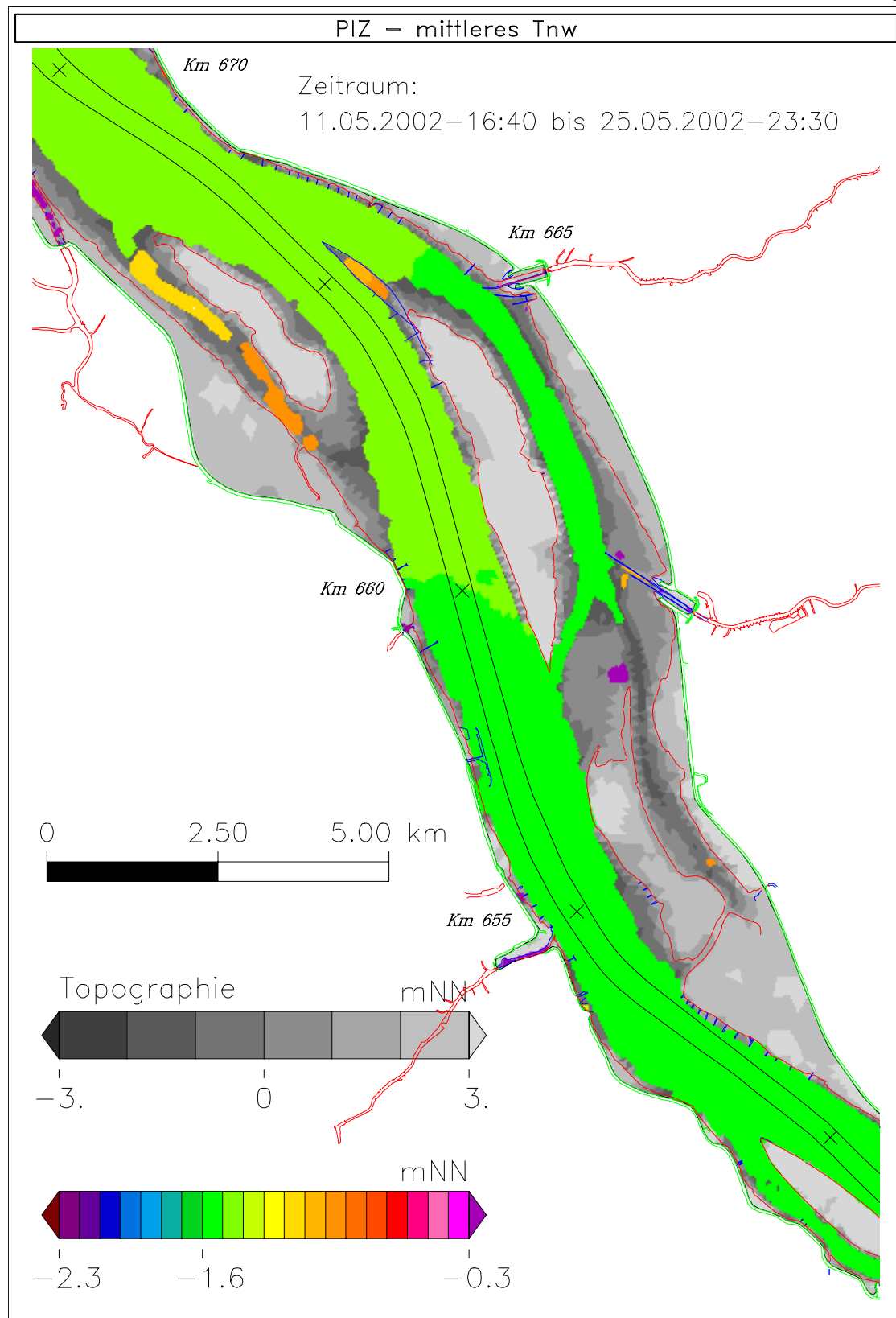
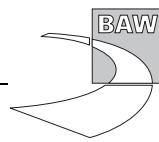


Bild 63: Tideniedrigwasser bei niedrigem Oberwasser, Teilgebiet 4

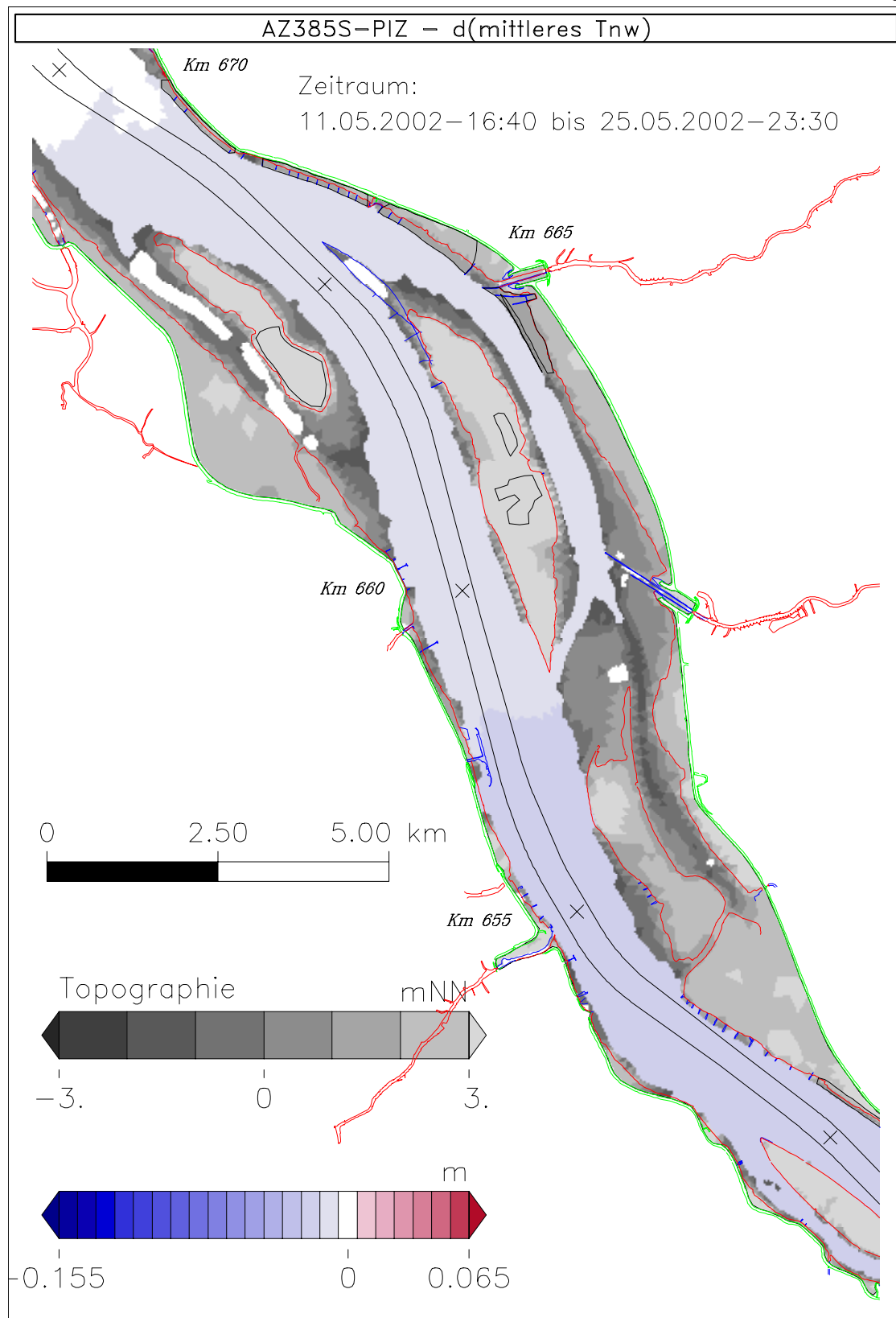
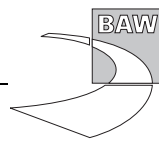


Bild 64: Differenz des Tideniedrigwassers (AZ385S - PIZ) bei niedrigem Oberwasser, Teilgebiet 4

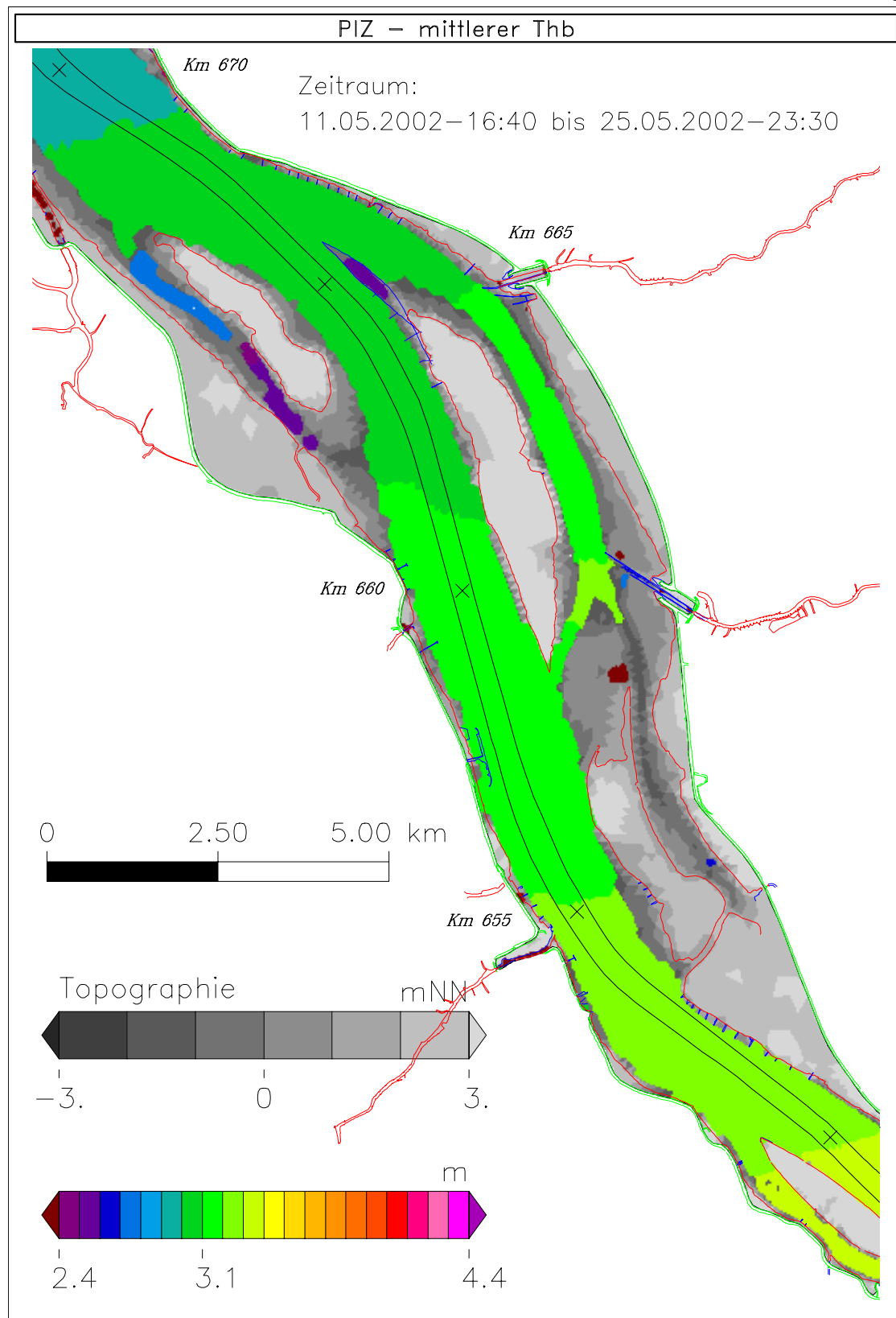
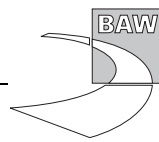


Bild 65: Tidehub bei niedrigem Oberwasser, Teilgebiet 4

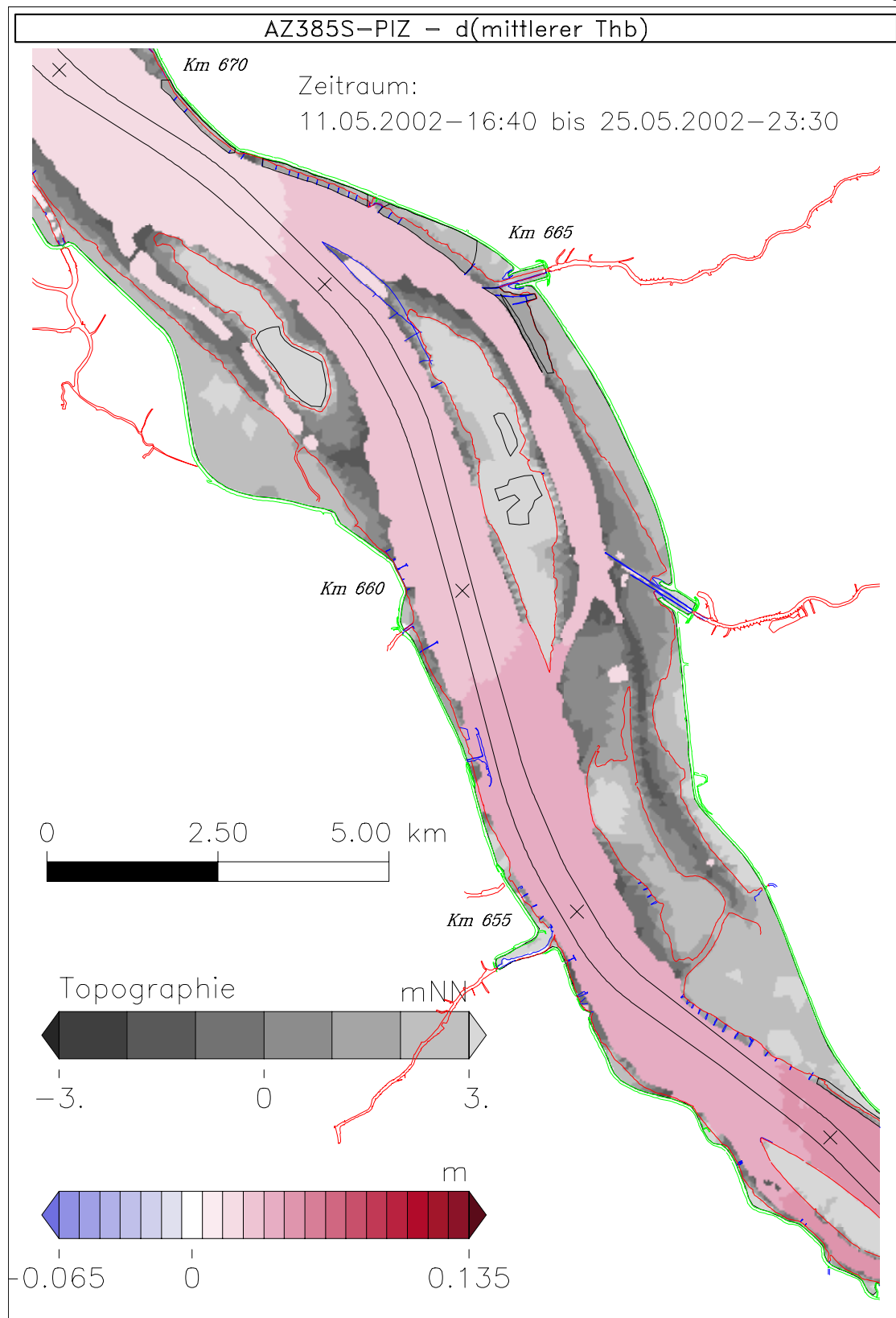
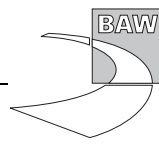


Bild 66: Differenz des Tidehubs (AZ385S - PIZ) bei niedrigem Oberwasser, Teilgebiet 4

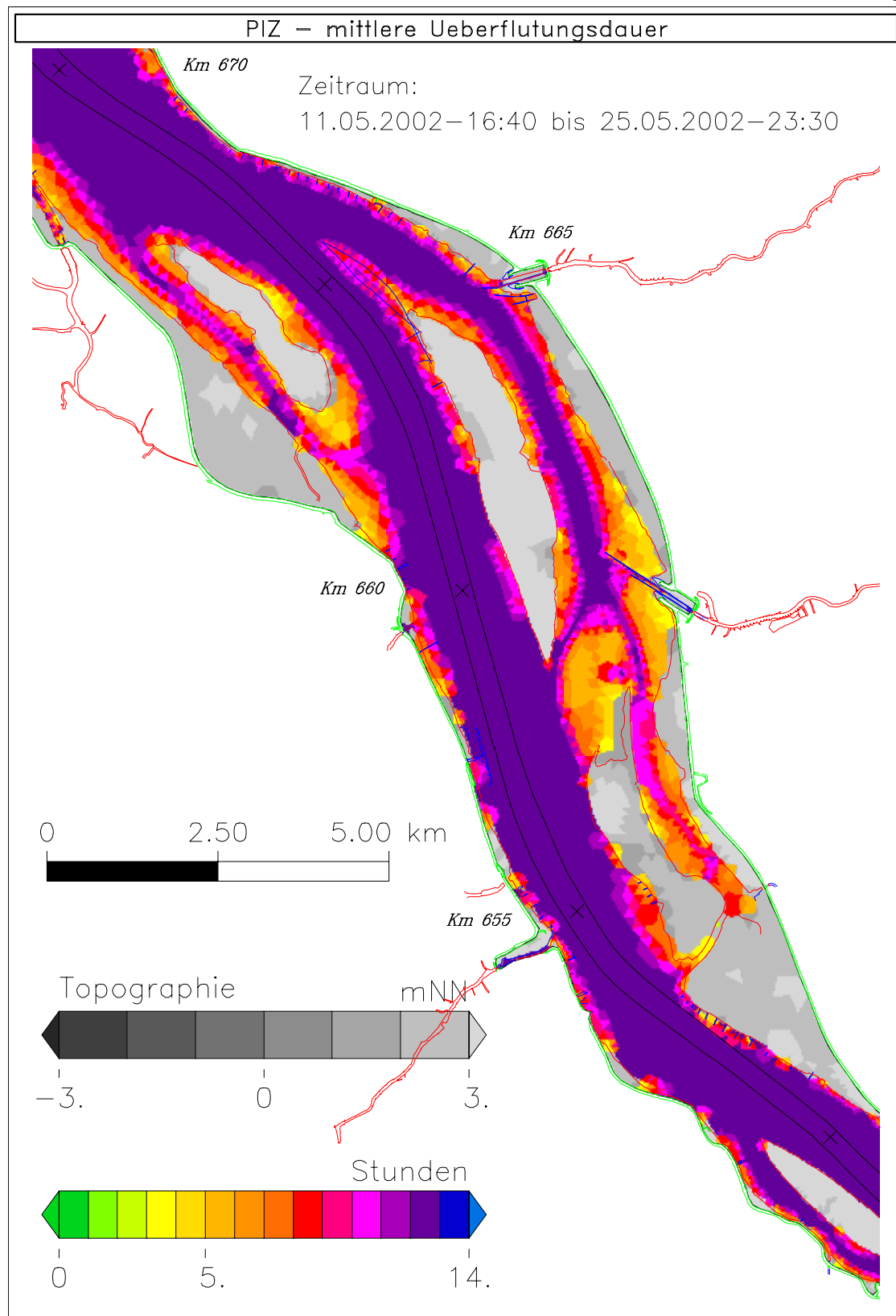
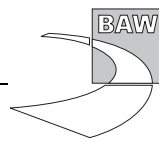


Bild 67: Überflutungsdauer bei niedrigem Oberwasser, Teilgebiet 4

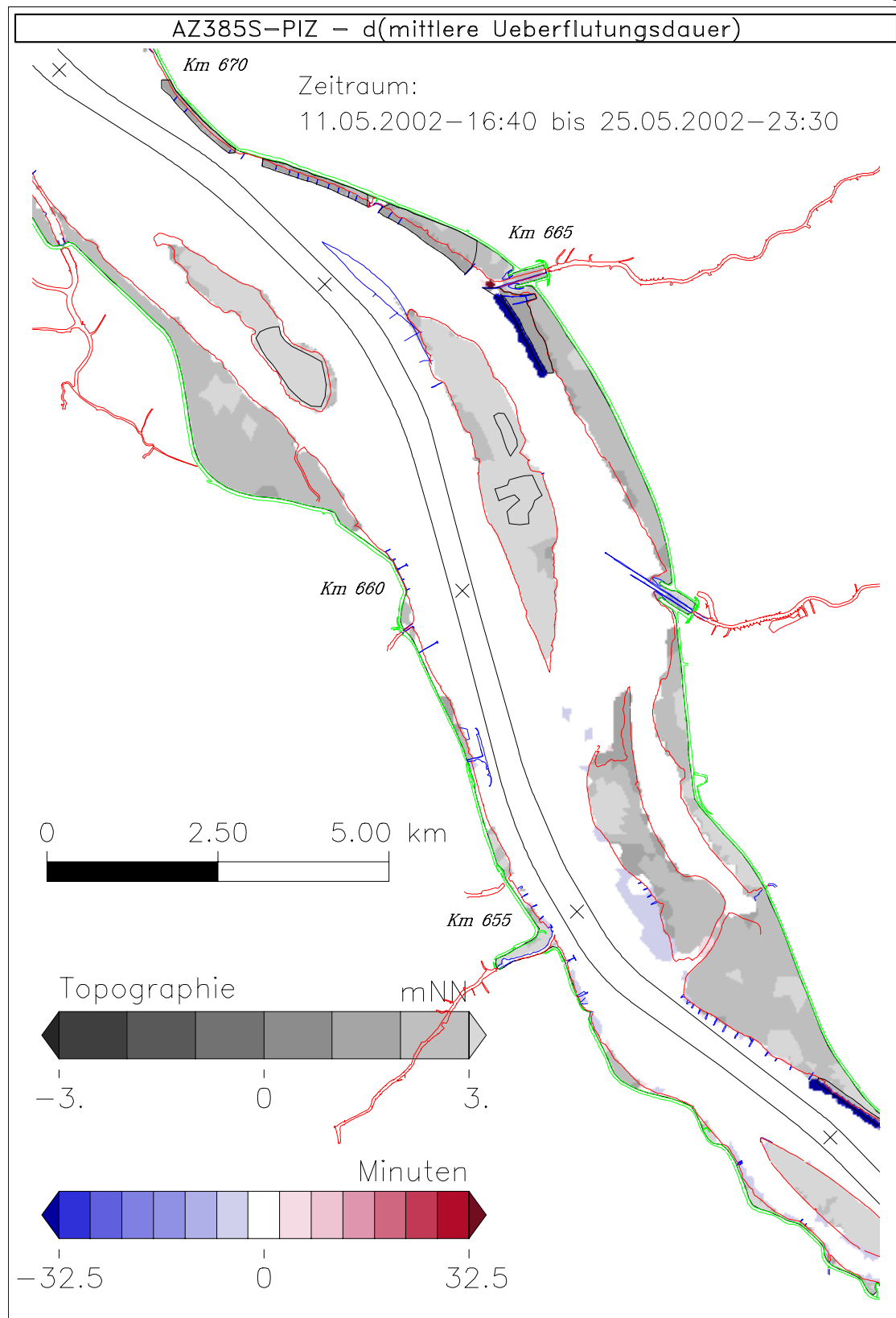
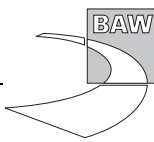


Bild 68: Differenz der Überflutungsdauer (AZ385S - PIZ) bei niedrigem Oberwasser, Teilgebiet 4

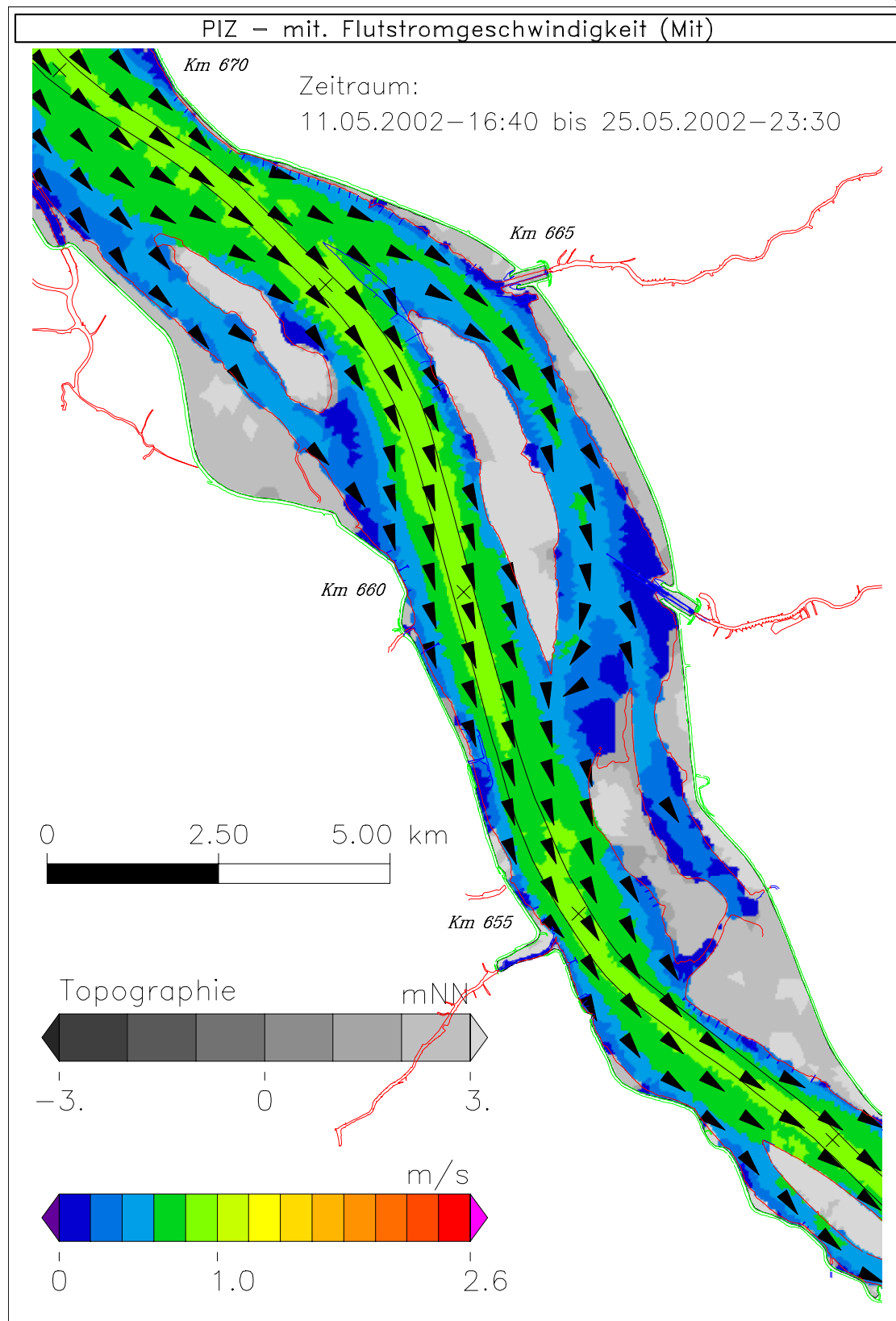
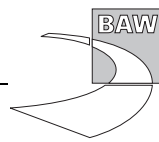


Bild 69: Mittlere Flutstromgeschwindigkeit bei niedrigem Oberwasser, Teilgebiet 4

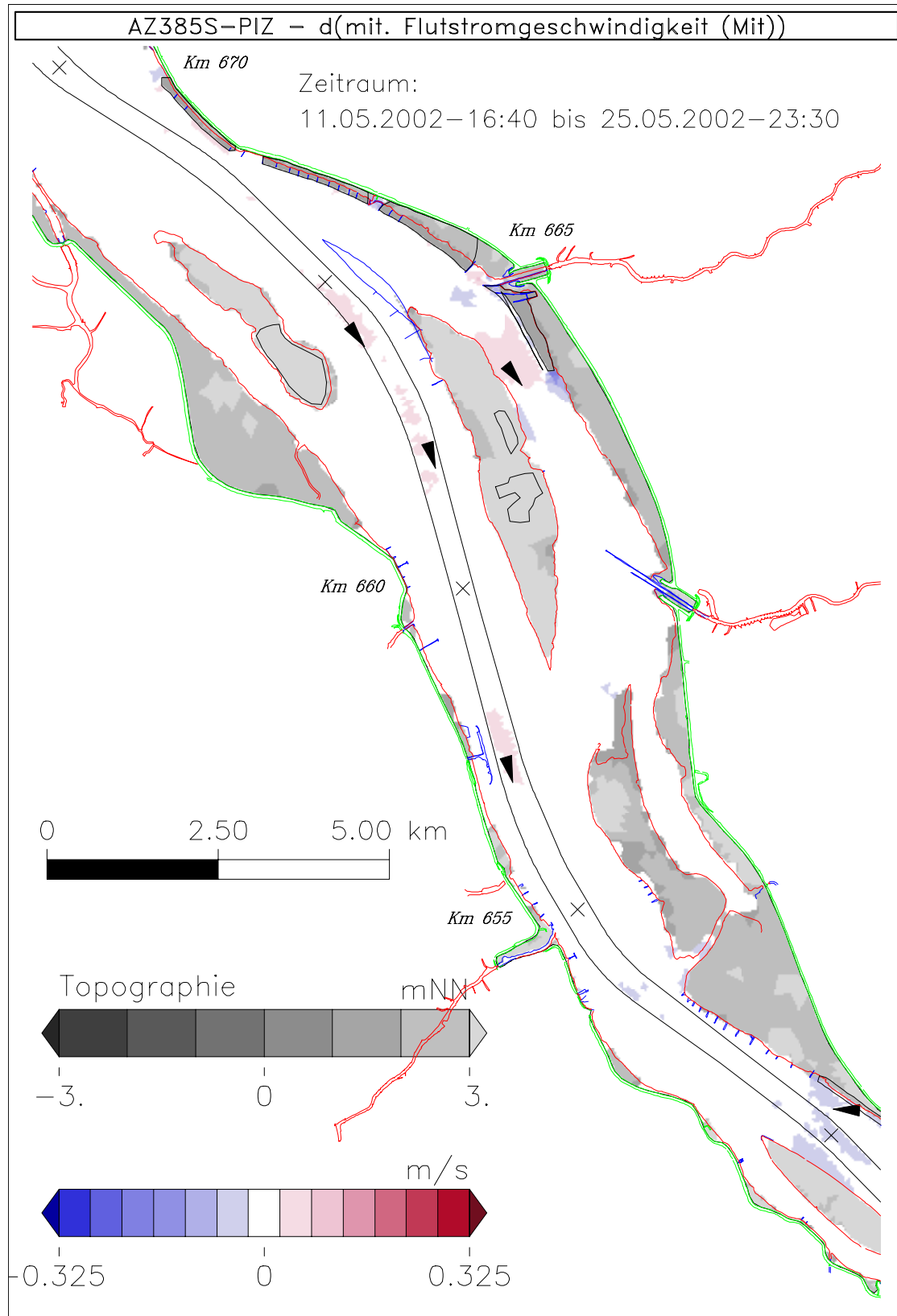


Bild 70: Diff. der mittleren Flutstromgeschwindigkeit (AZ385S - PIZ) bei niedrigem Oberwasser, Teilg. 4

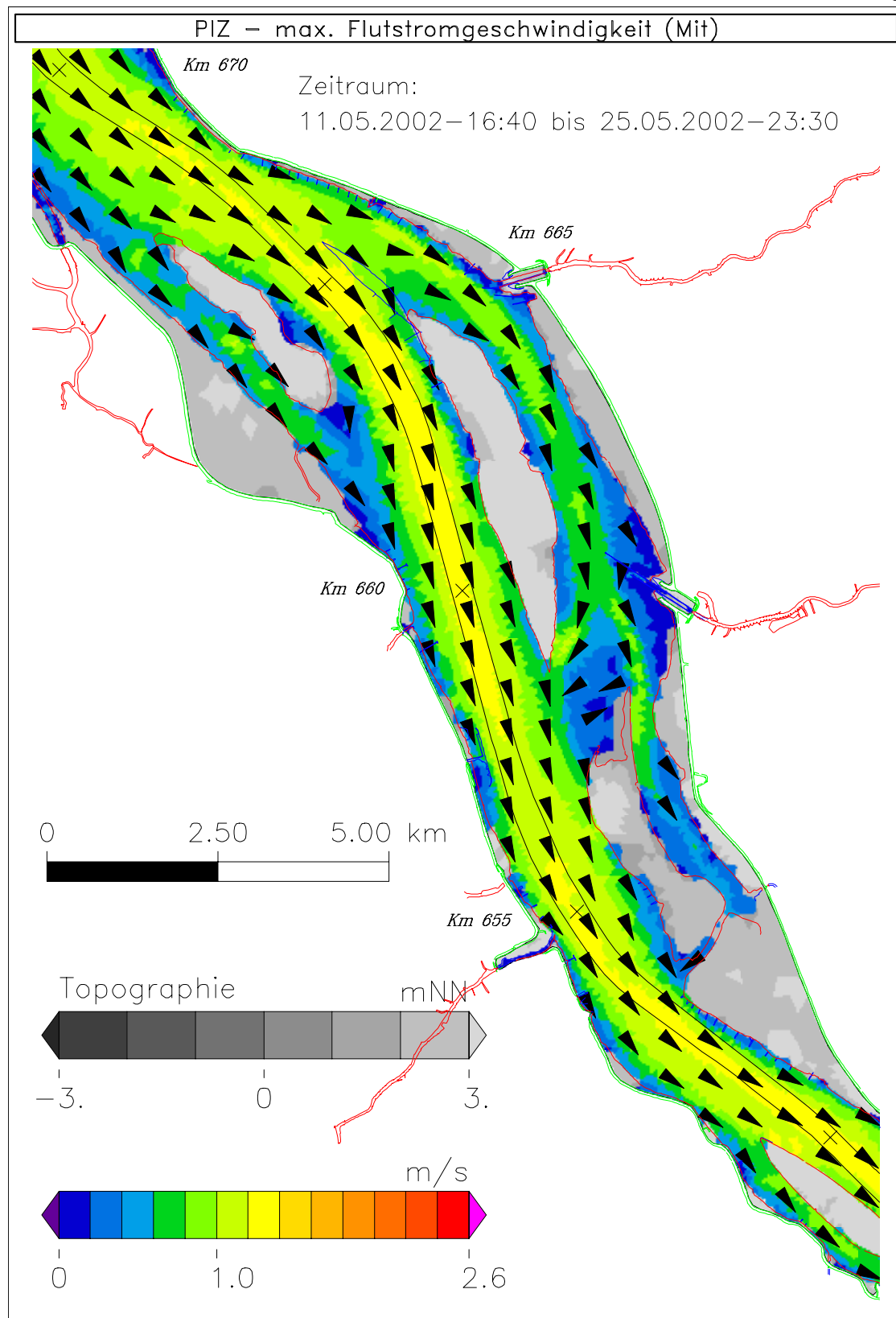
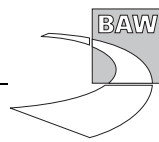


Bild 71: Maximale Flutstromgeschwindigkeit bei niedrigem Oberwasser, Teilgebiet 4

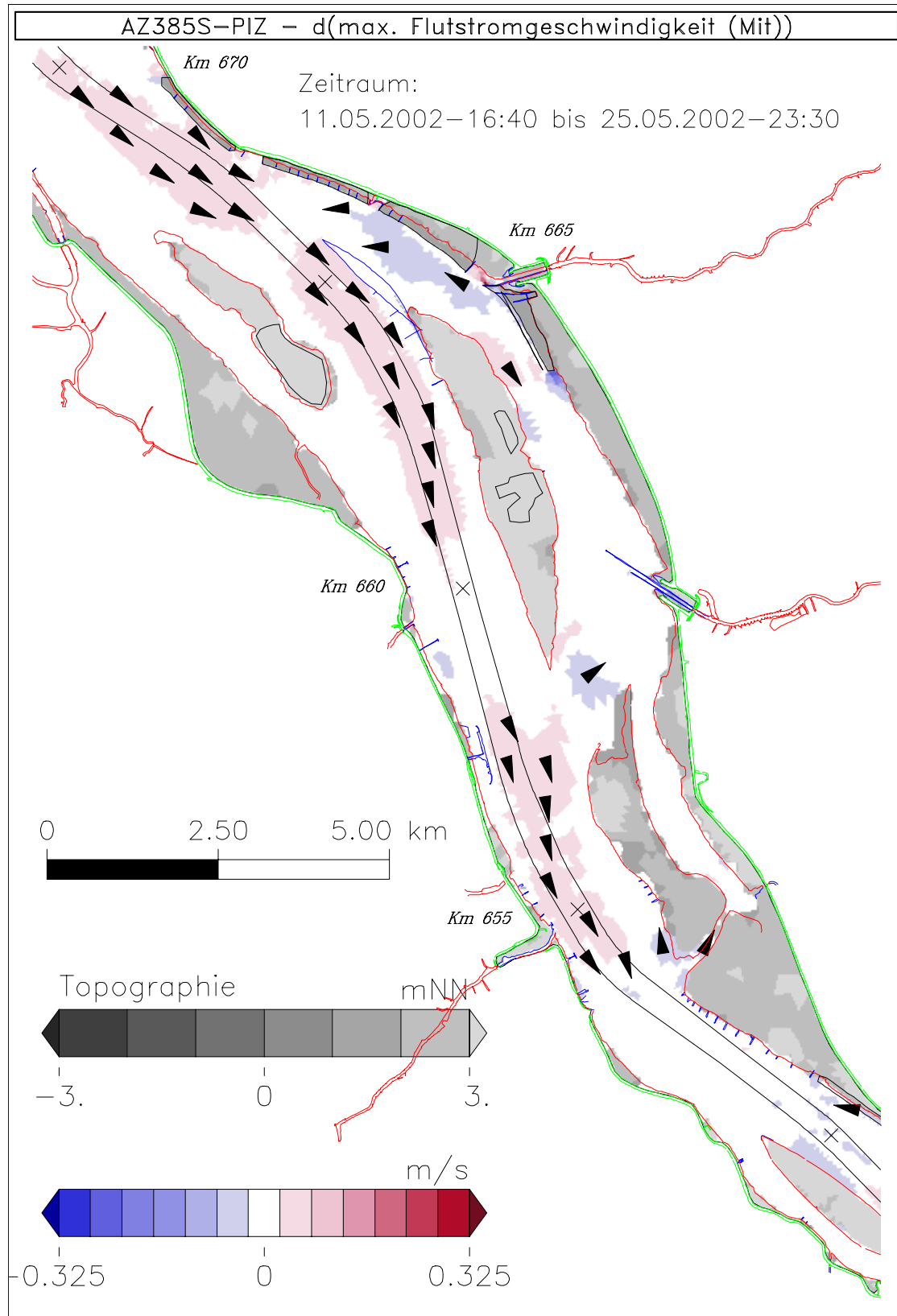
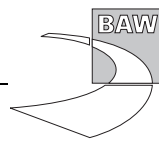


Bild 72: Diff. der max. Flutstromgeschwindigkeit (AZ385S - PIZ) bei niedrigem Oberwasser, Teilgebiet 4

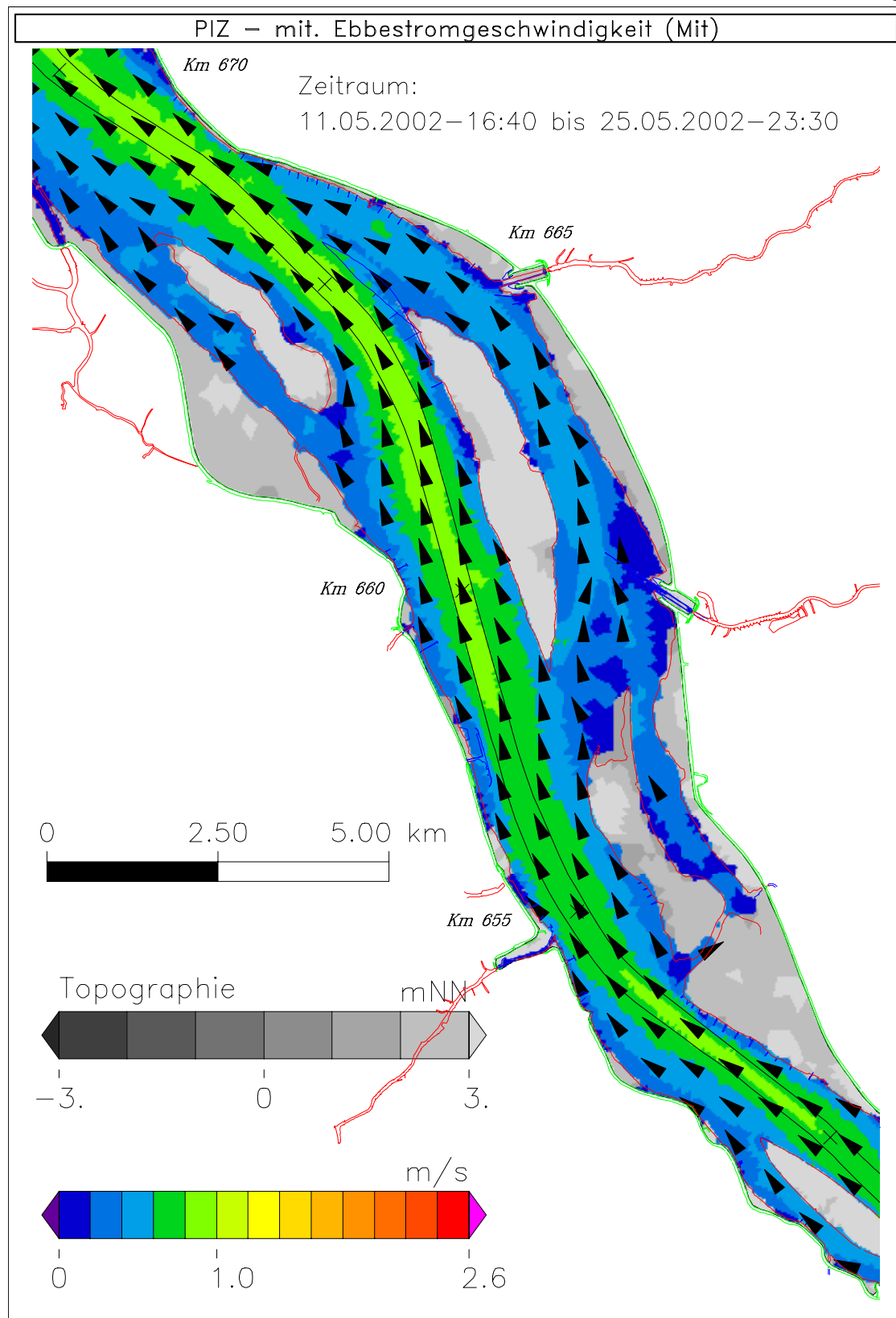
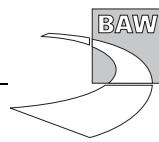


Bild 73: Mittlere Ebbestromgeschwindigkeit bei niedrigem Oberwasser, Teilgebiet 4

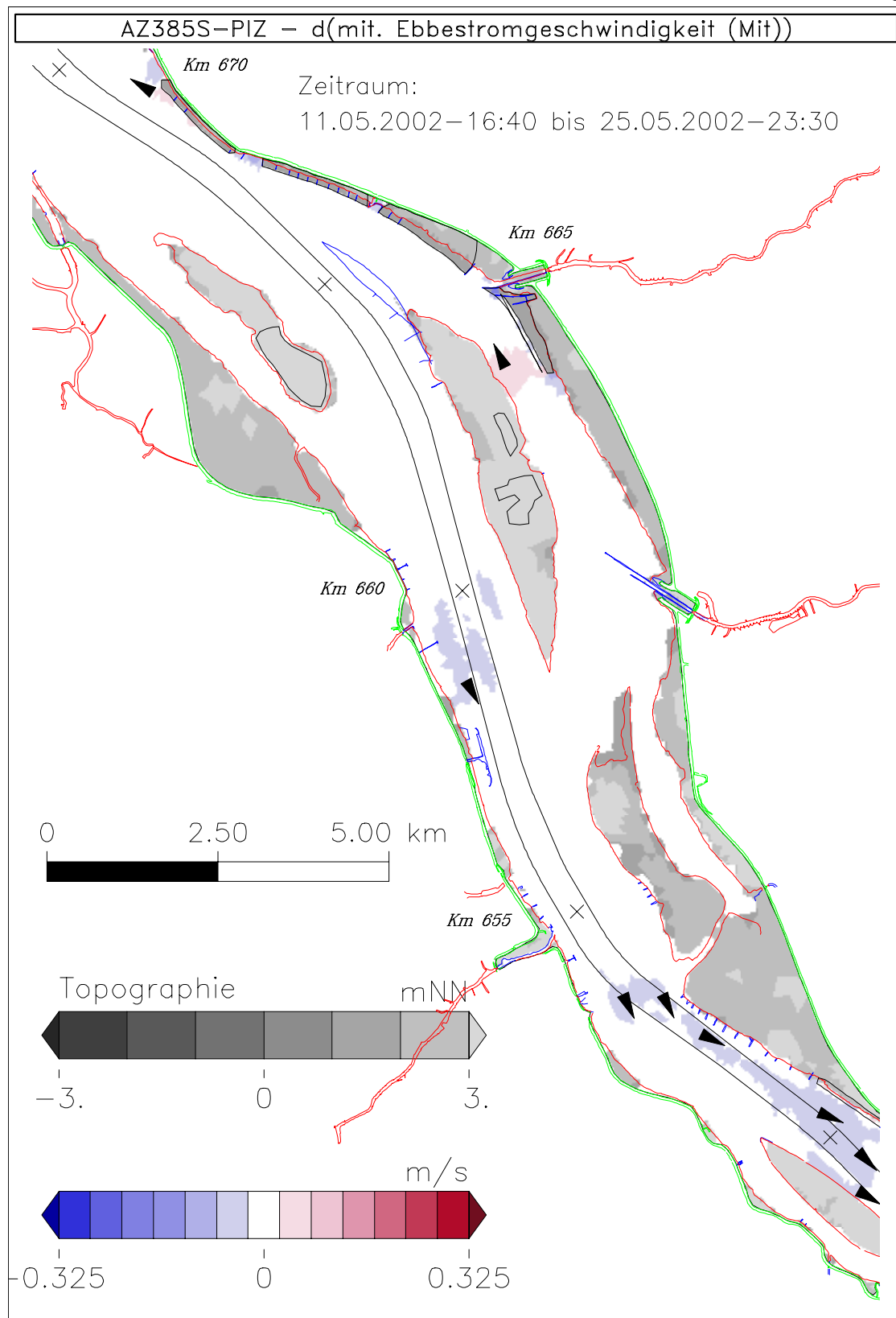
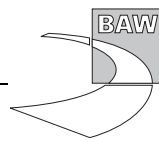


Bild 74: Diff. der mittl. Ebbstromgeschwindigkeit (AZ385S - PIZ) bei niedrigem Oberwasser, Teilgebiet 4

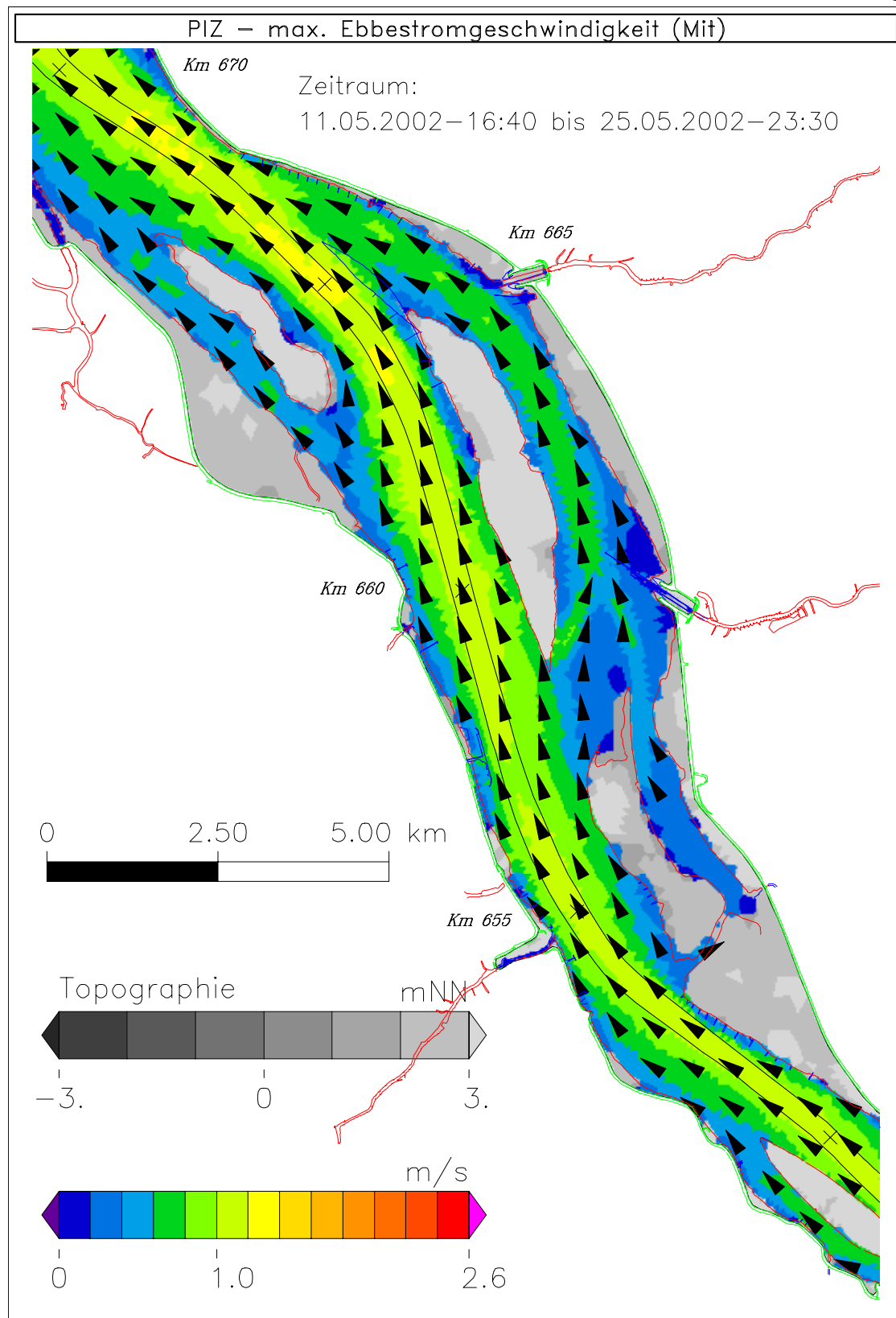
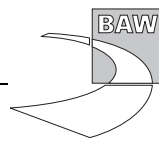


Bild 75: Maximale Ebbestromgeschwindigkeit bei niedrigem Oberwasser, Teilgebiet 4

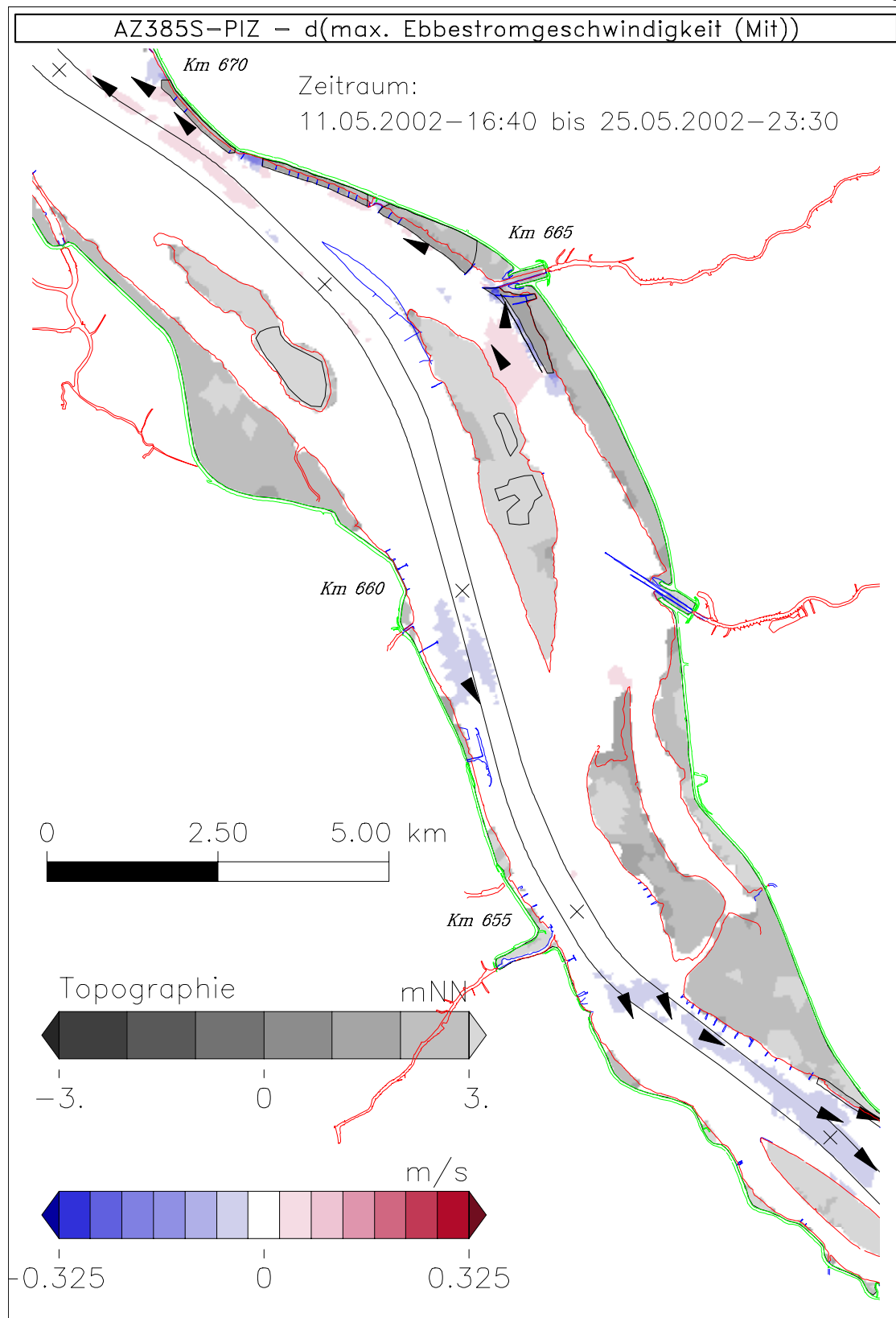
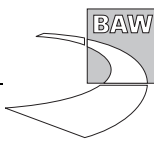


Bild 76: Diff. der max. Ebbestromgeschwindigkeit (AZ385S - PIZ) bei niedrigem Oberwasser, Teilgebiet 4

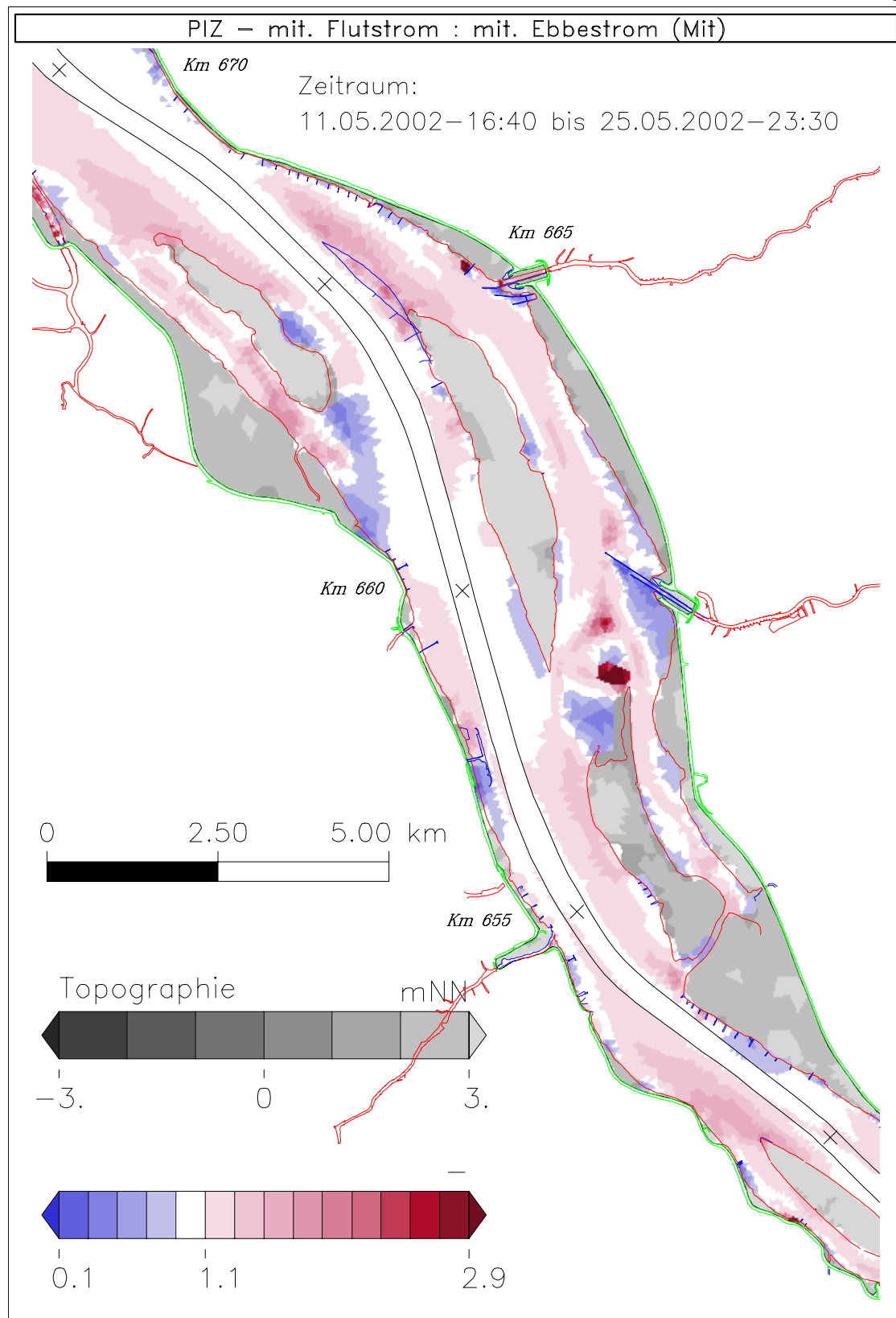
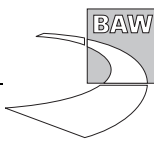


Bild 77: Verhältnis der mittleren Flut- zu Ebbstromgeschwindigkeit bei niedrigem Oberwasser, Teilg. 4

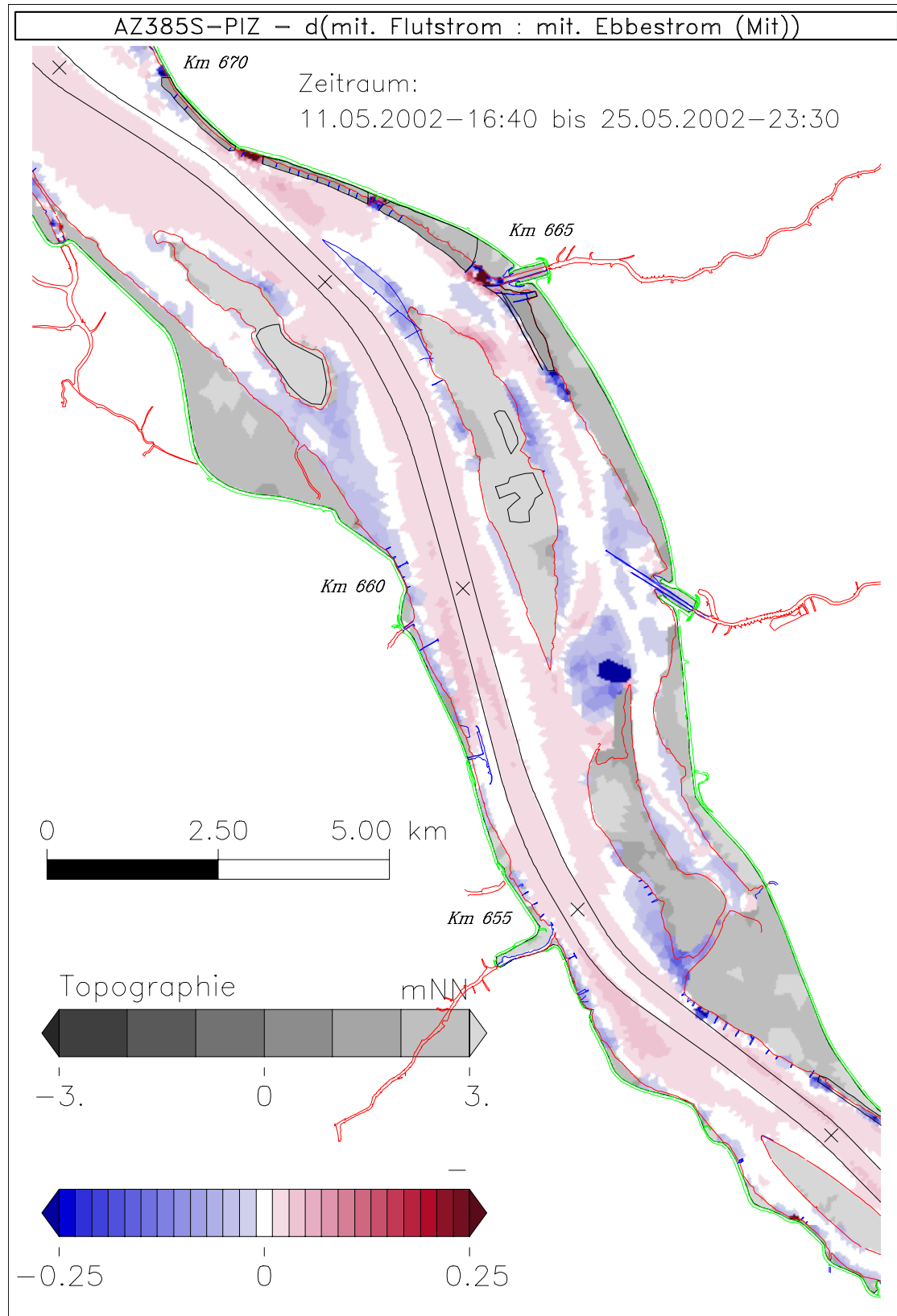


Bild 78: Diff. d. Verhältnisses d. mittl. Flut- zu Ebbestromgeschwindigkeit, niedr. Obw., Teilg. 4

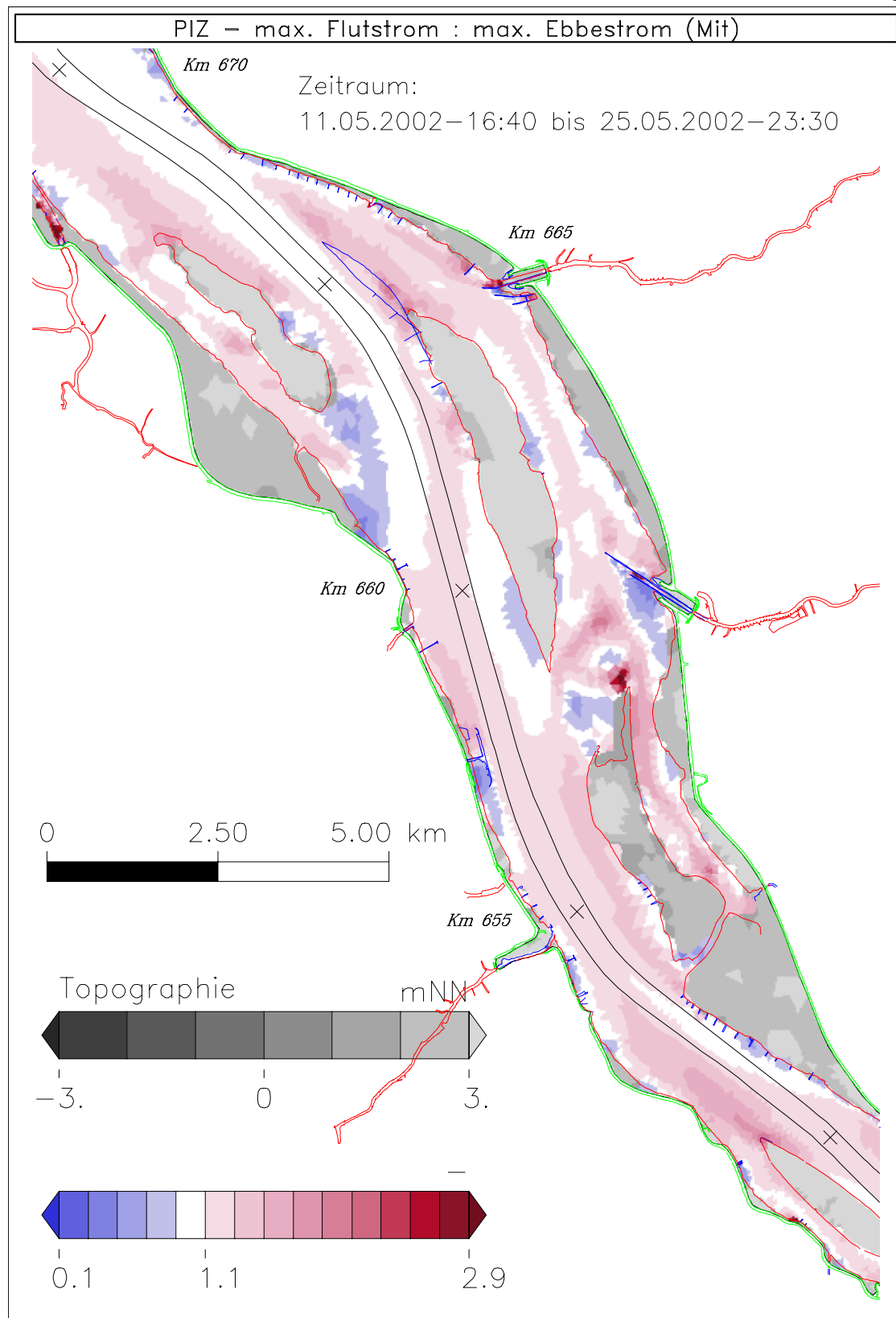
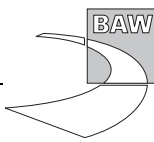


Bild 79: Verhältnis der max. Flut- zu Ebbestromgeschwindigkeit bei niedrigem Oberwasser, Teilgebiet 4

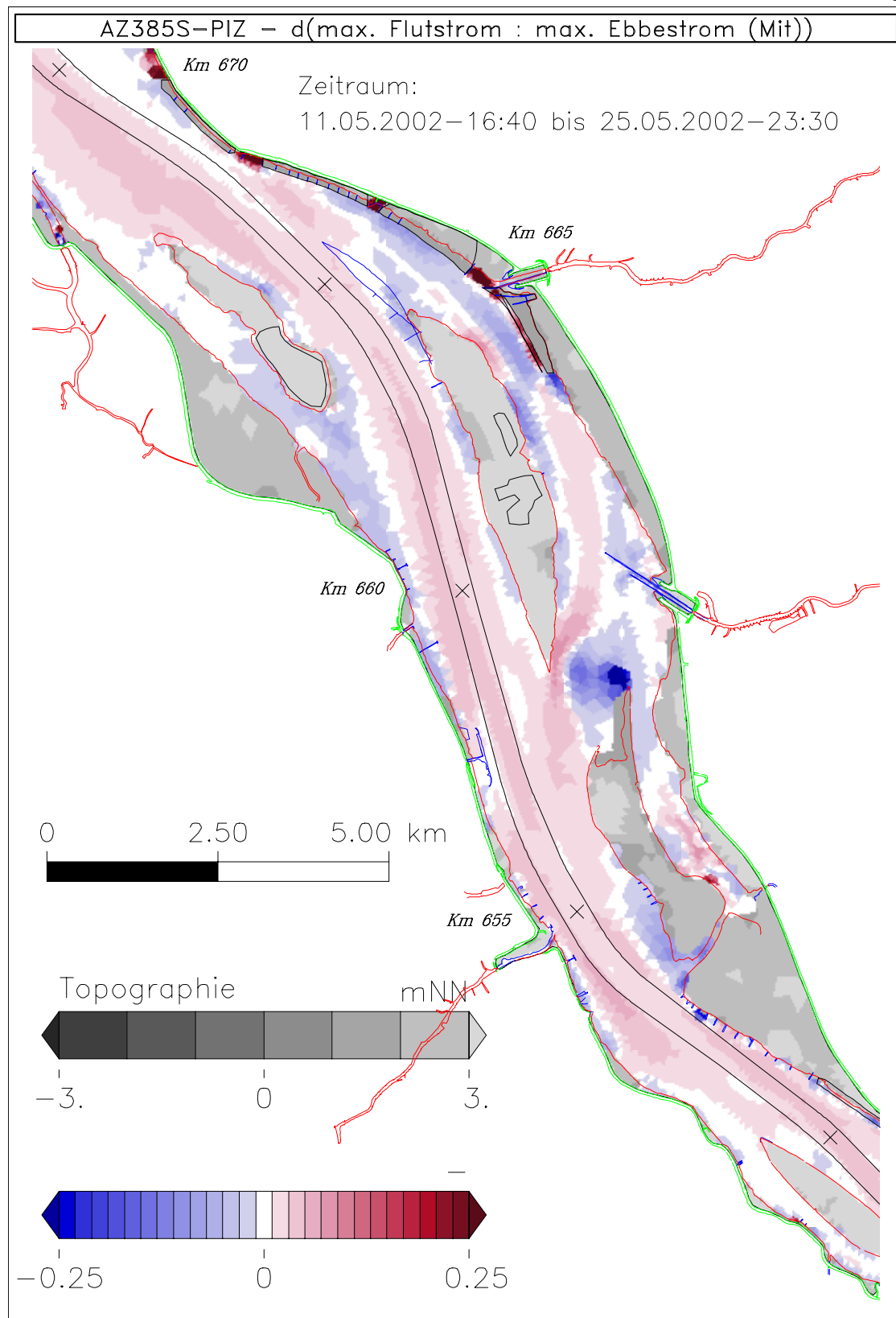
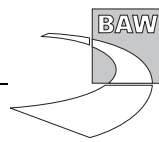


Bild 80: Diff. d. Verhältnisses der max. Flut- zu Ebbestromgeschwindigkeit, niedrig. Obw., Teilg. 4

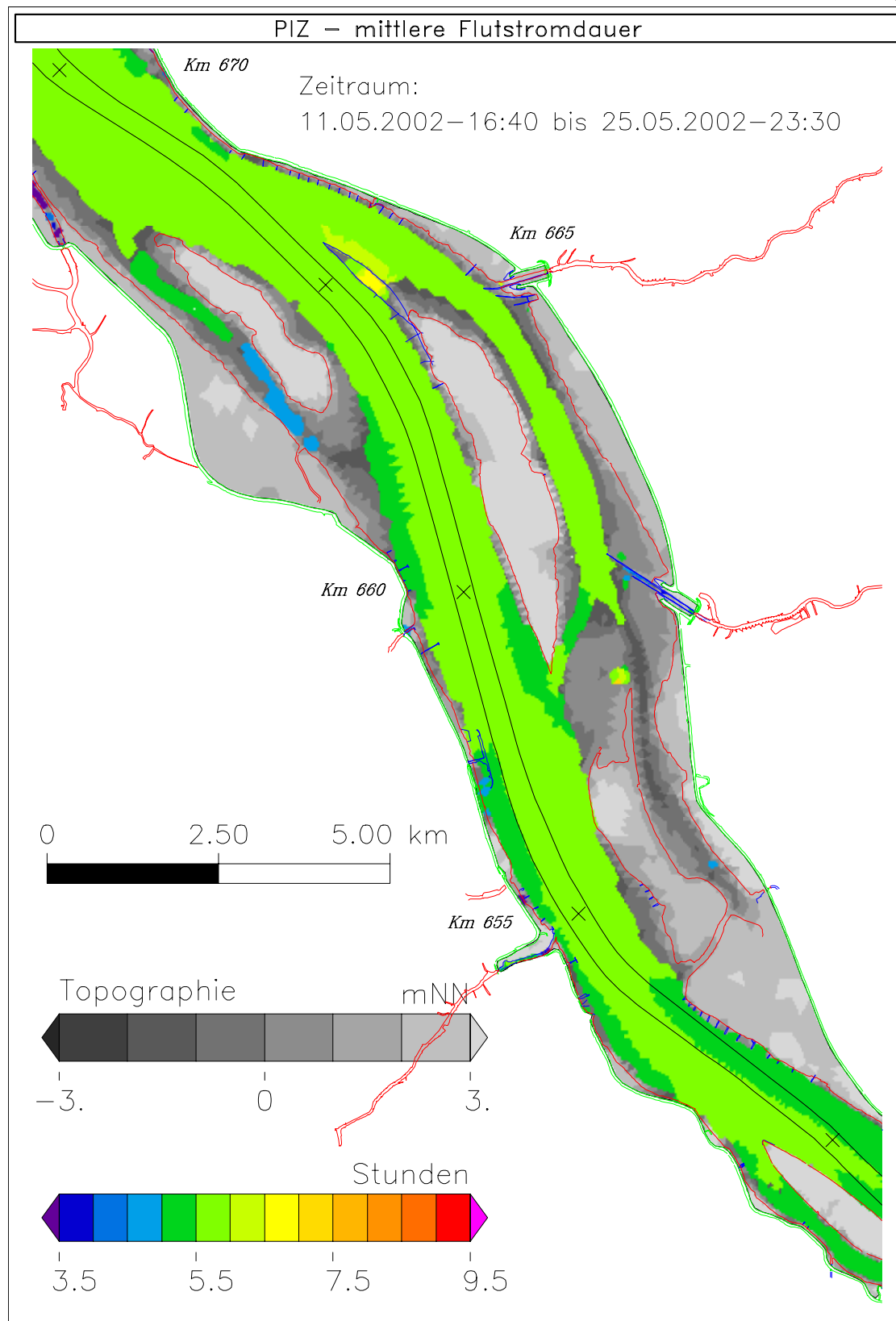
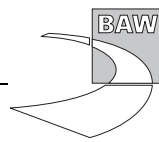


Bild 81: Flutstromdauer bei niedrigem Oberwasser, Teilgebiet 4

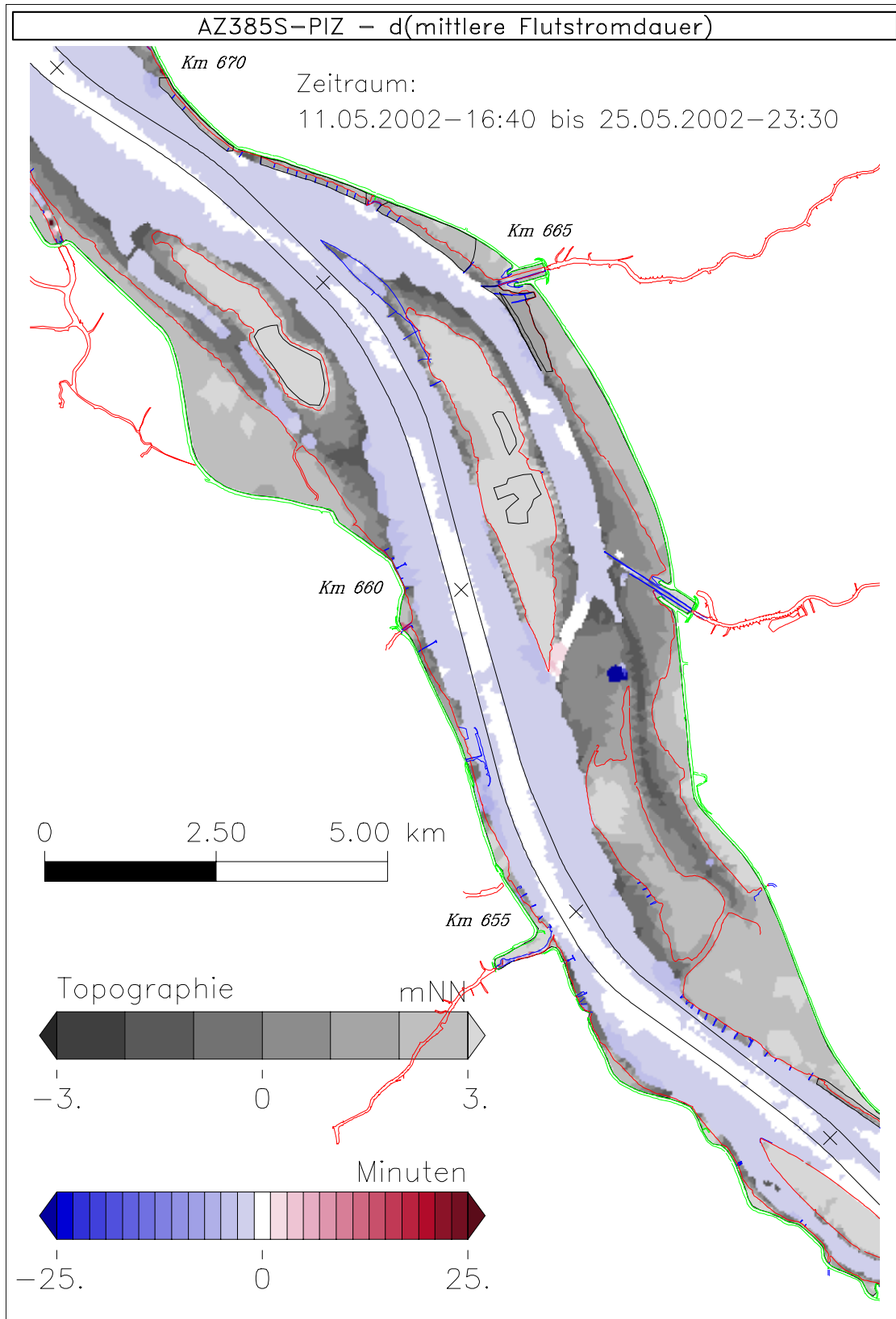


Bild 82: Diff. der Flutstromdauer (AZ385S - PIZ) bei niedrigem Oberwasser, Teilgebiet 4

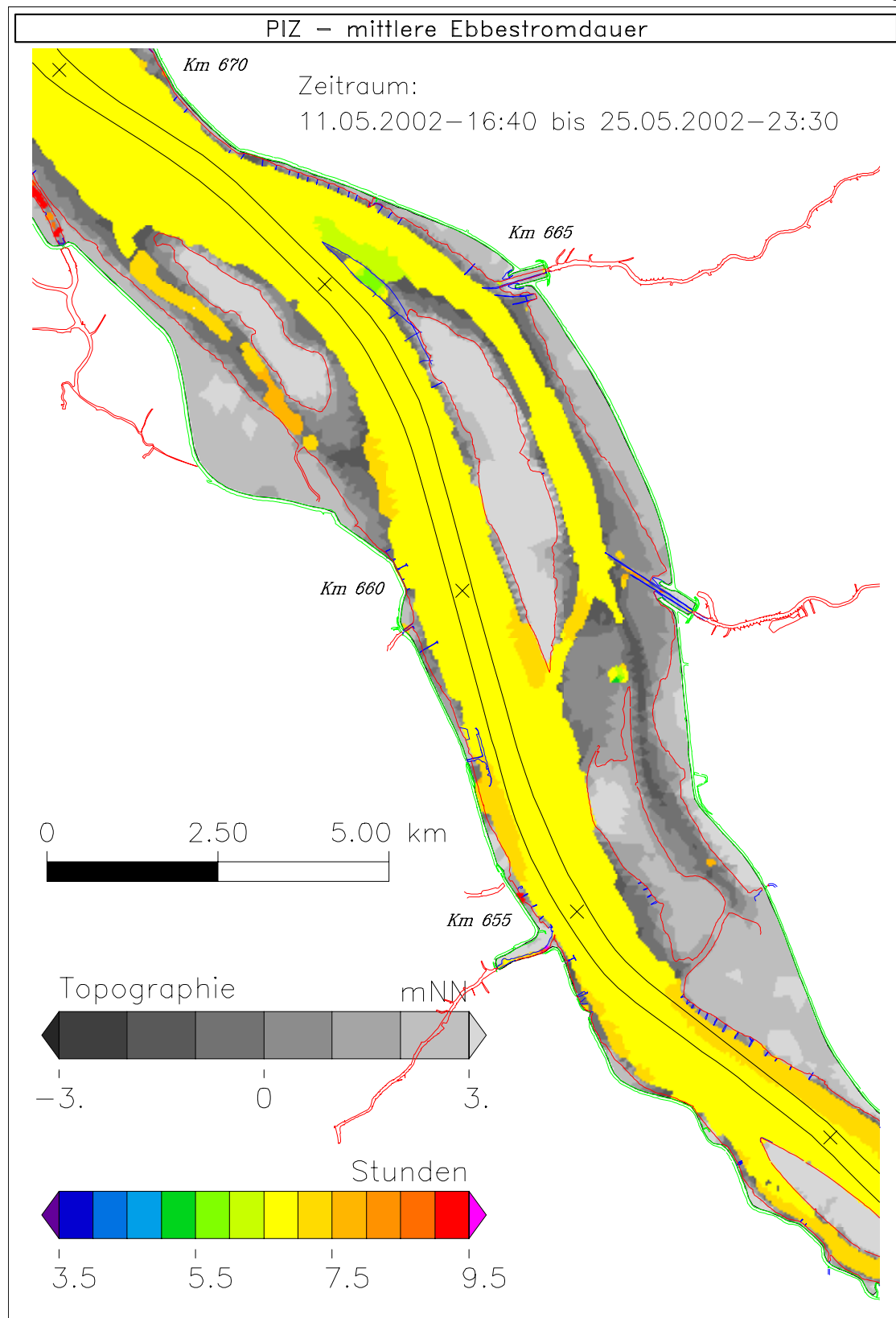
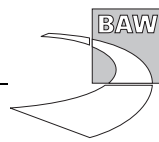


Bild 83: Ebbestromdauer bei niedrigem Oberwasser, Teilgebiet 4

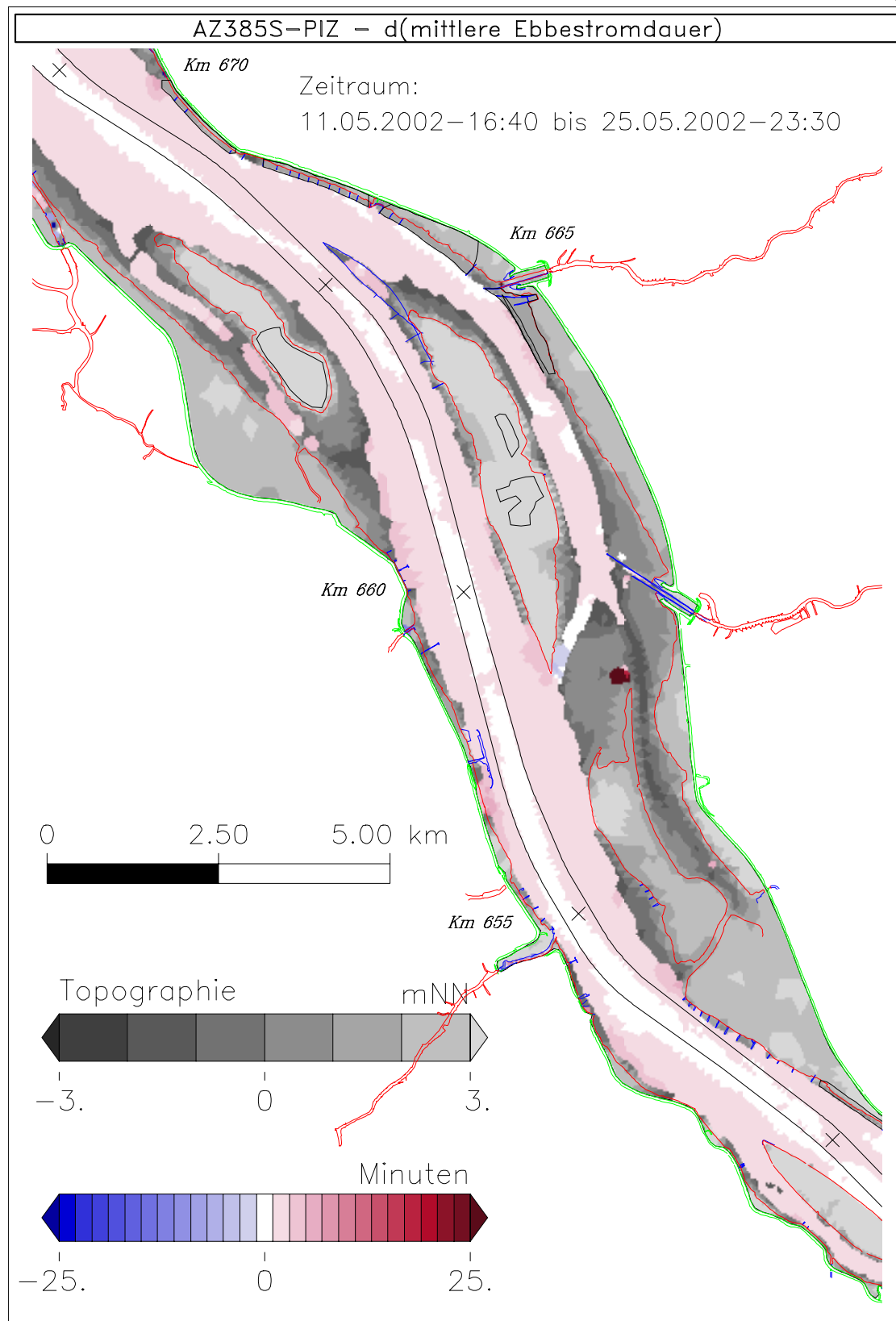
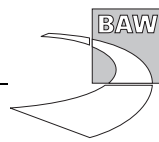


Bild 84: Diff. der Ebbestromdauer (AZ385S - PIZ) bei niedrigem Oberwasser, Teilgebiet 4

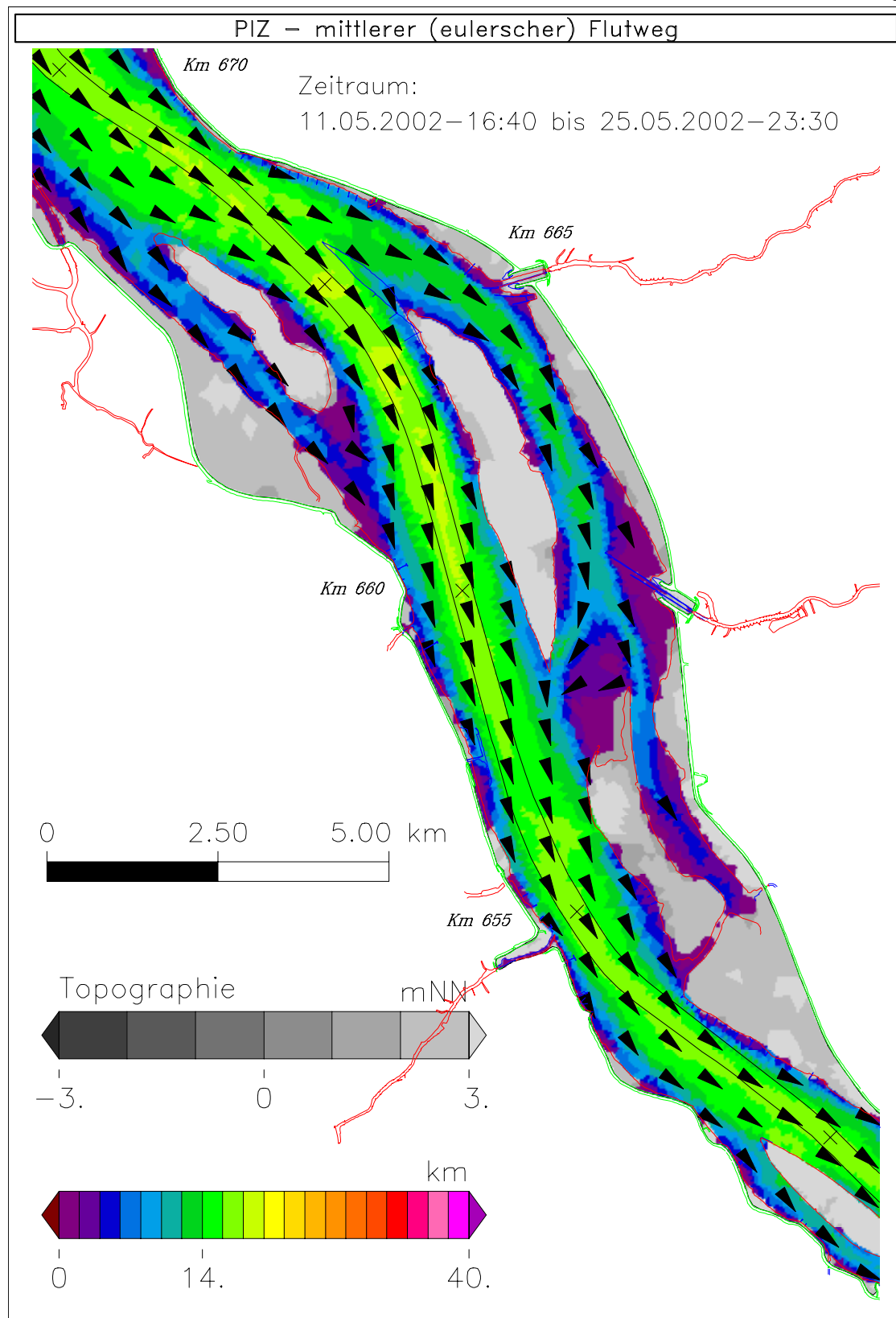
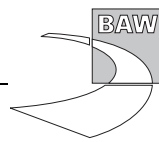


Bild 85: Eulerscher Flutweg bei niedrigem Oberwasser, Teilgebiet 4

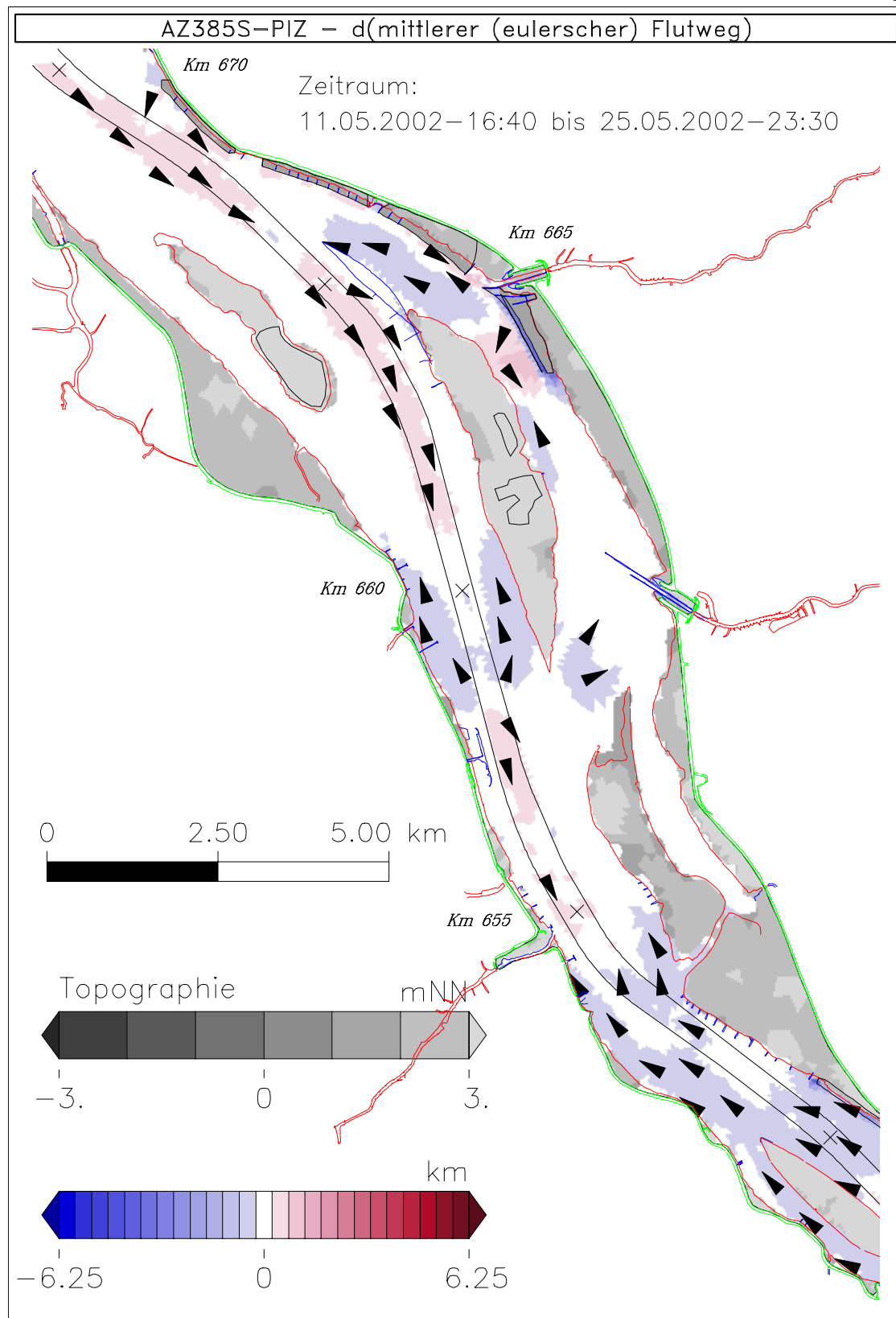
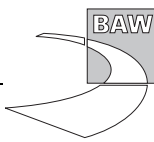


Bild 86: Differenz des Eulerschen Flutweges (AZ385S - PIZ) bei niedrigem Oberwasser, Teilgebiet 4

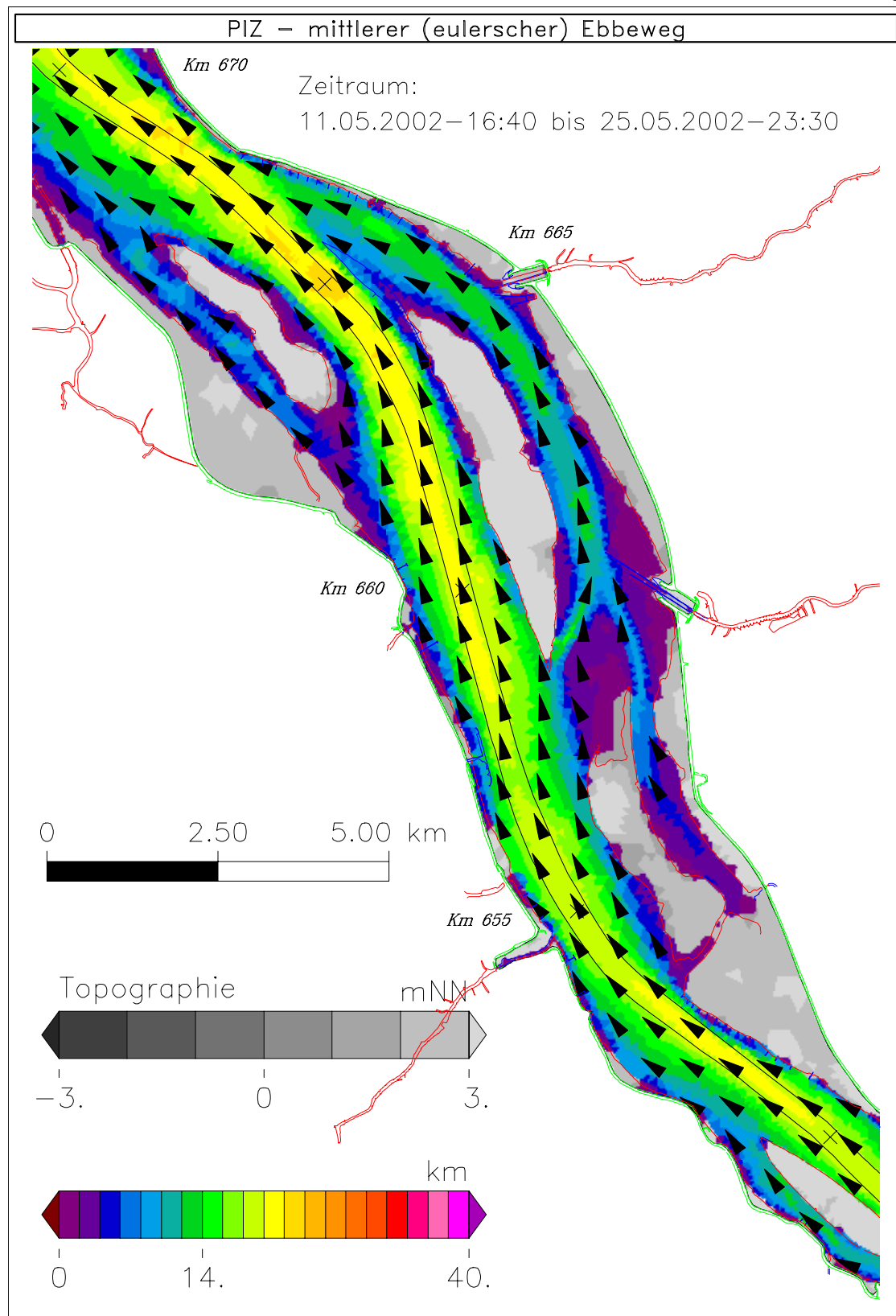
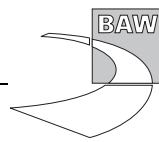


Bild 87: Eulerscher Ebbeweg bei niedrigem Oberwasser, Teilgebiet 4

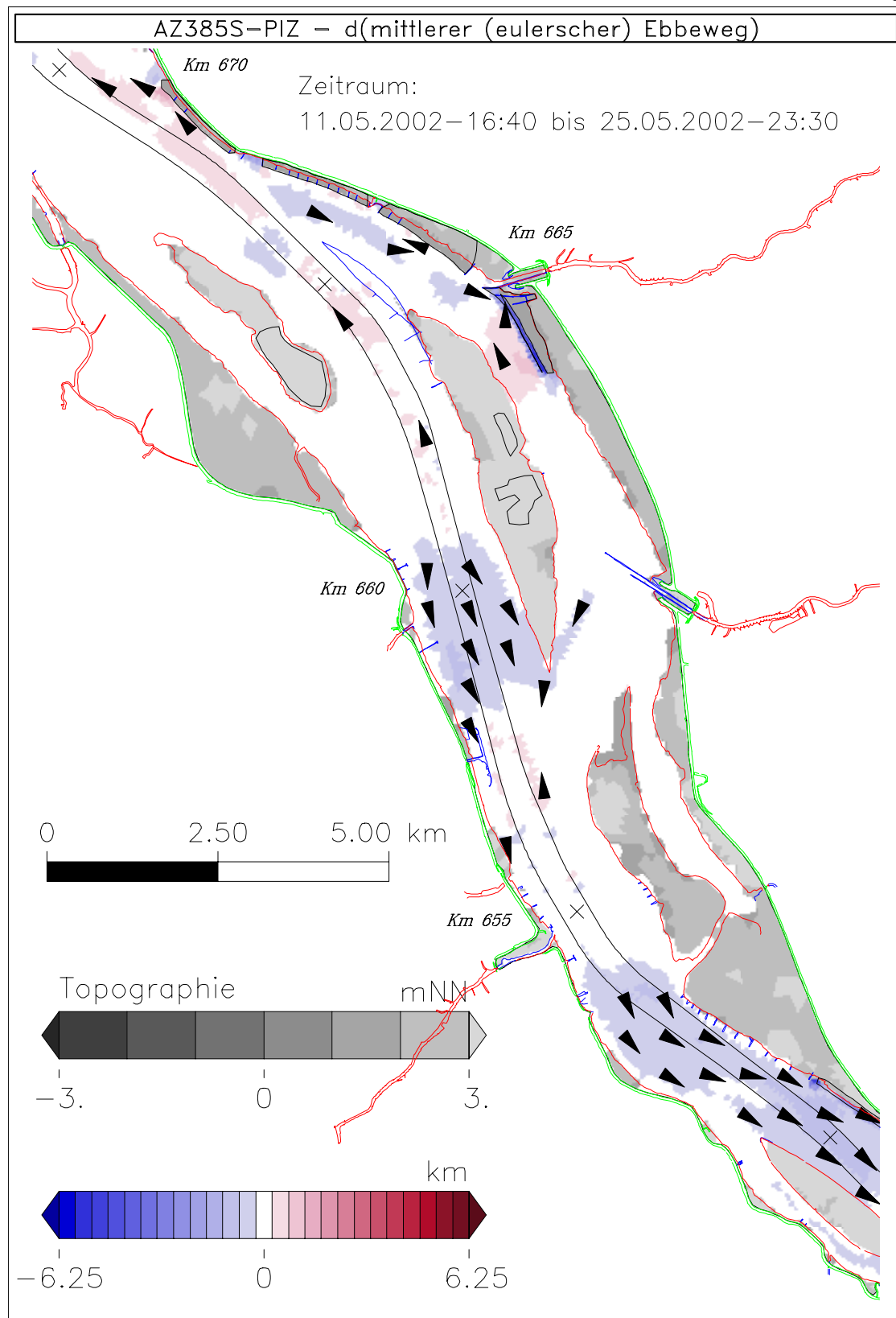
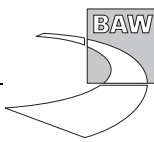


Bild 88: Differenz des Eulerschen Ebbeweges (AZ385S - PIZ) bei niedrigem Oberwasser, Teilgebiet 4

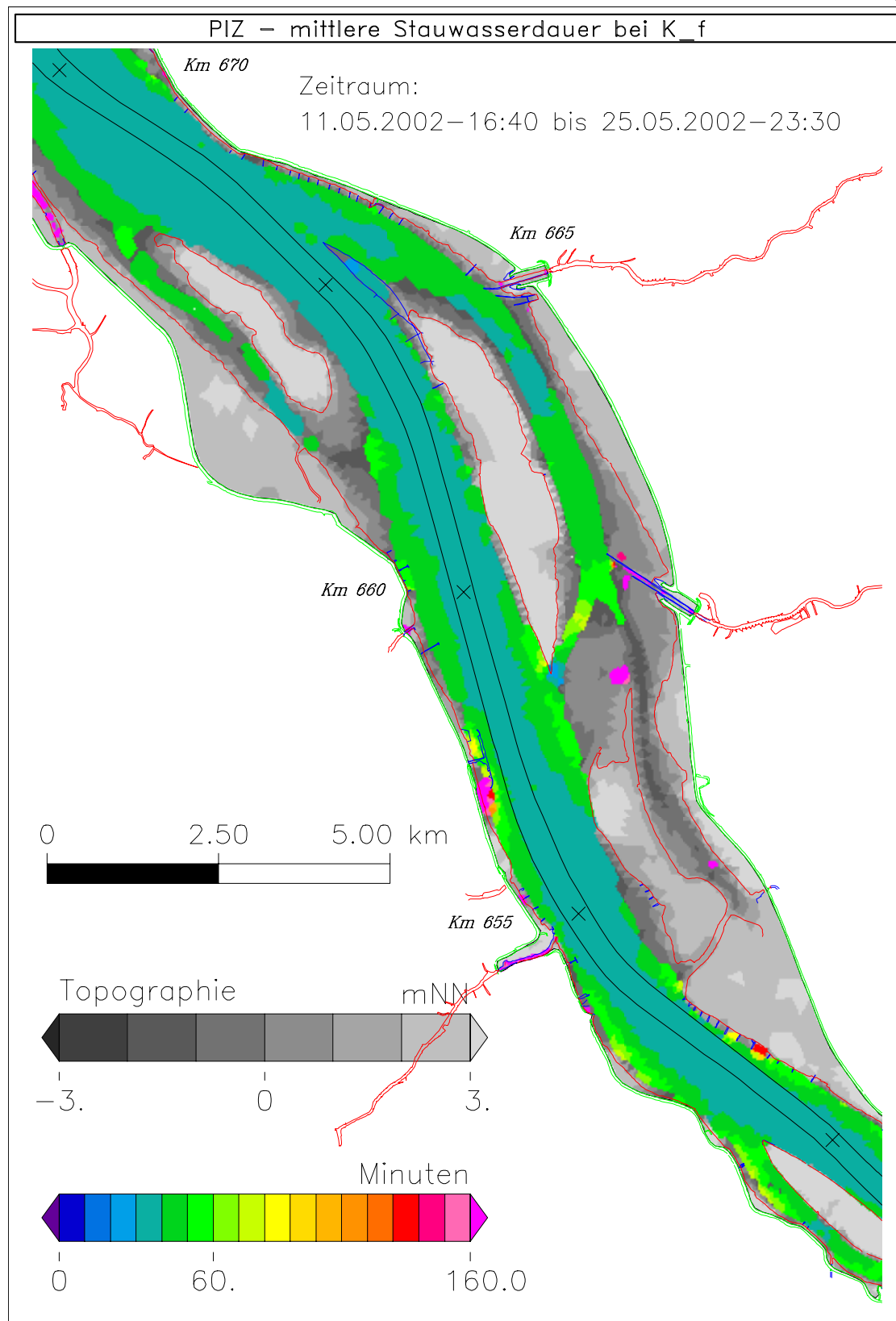
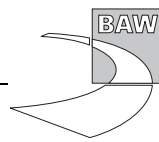


Bild 89: Stauwasserdauer bei Kenterpunkt Flut bei niedrigem Oberwasser, Teilgebiet 4

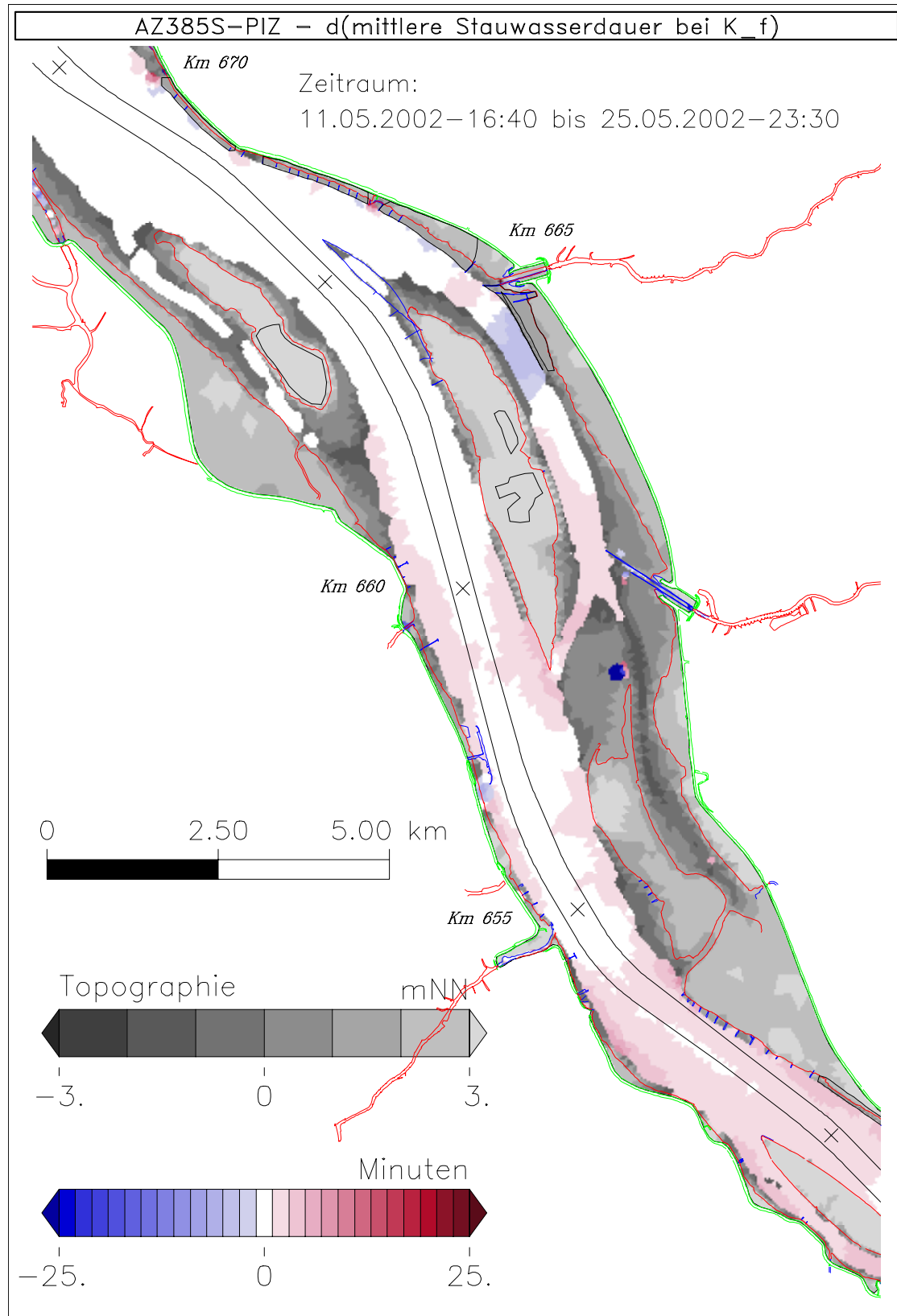
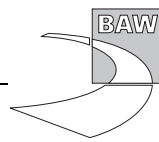


Bild 90: Diff. der Stauwasserdauer bei Kenterpunkt Flut (AZ385S - PIZ) bei niedrigem Oberwasser, Teilg. 4

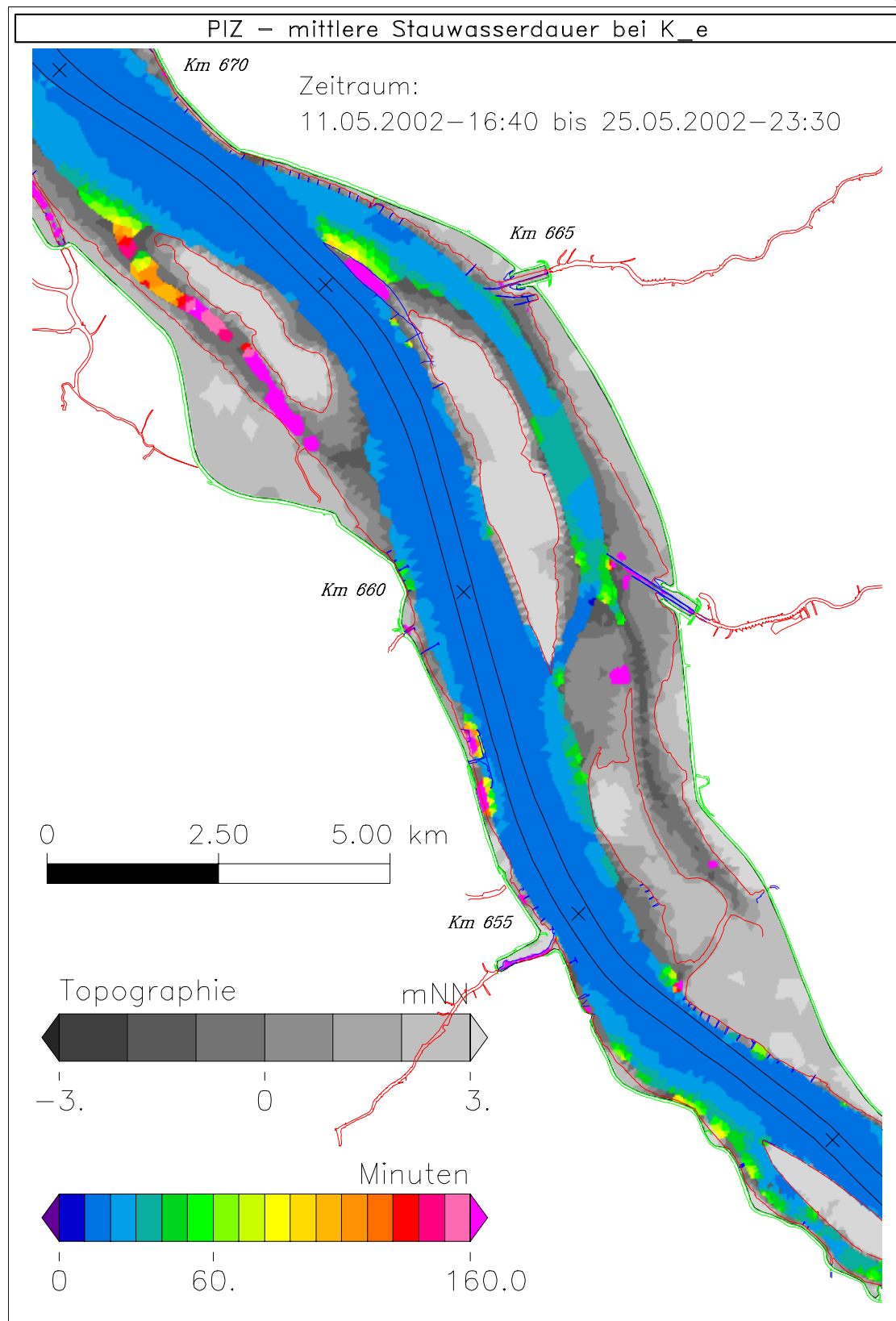
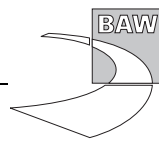


Bild 91: Stauwasserdauer bei Kenterpunkt Ebbe bei niedrigem Oberwasser, Teilgebiet 4

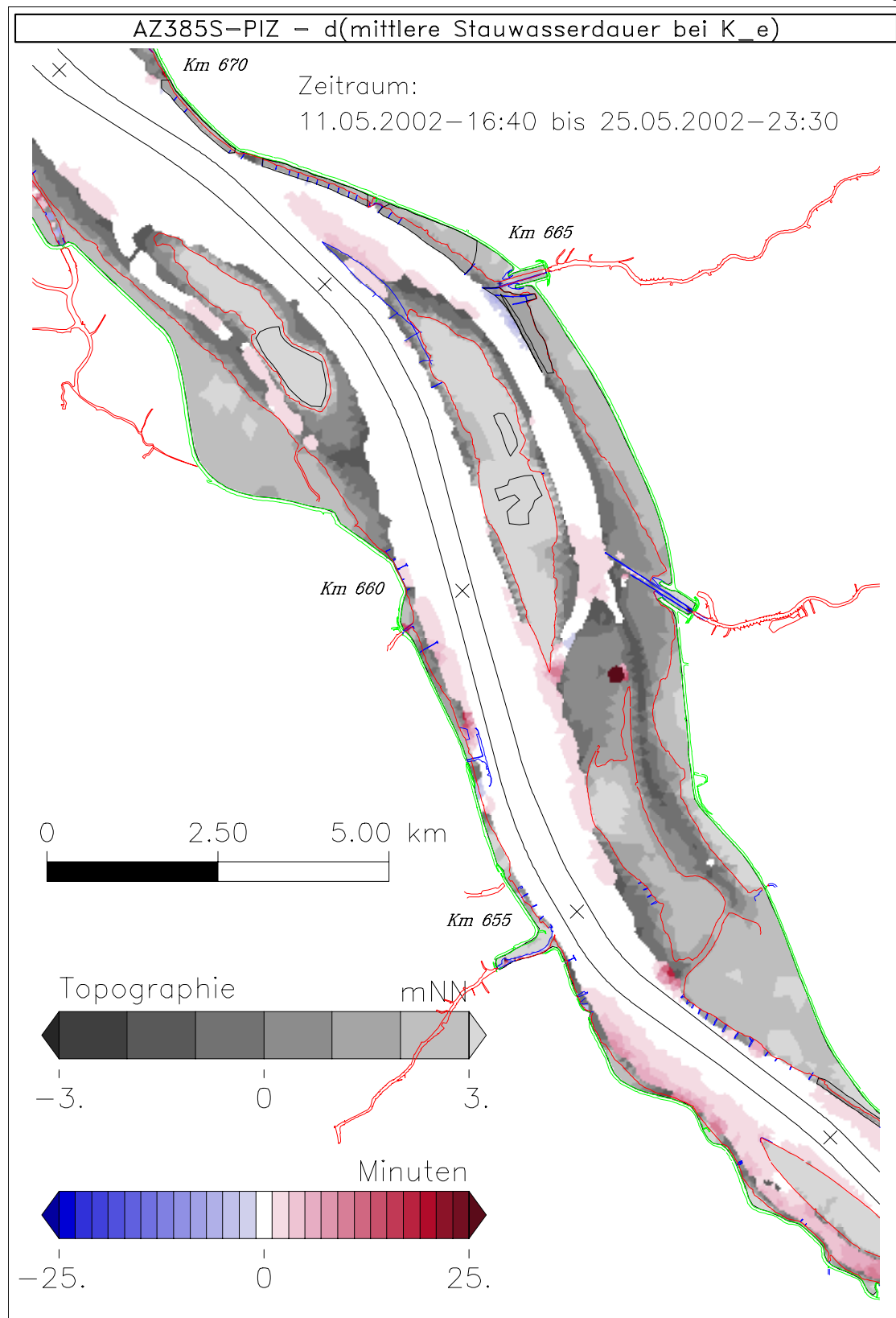
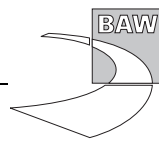


Bild 92: Diff. der Stauwasserdauer bei Kenterpunkt Ebbe (AZ385S - PIZ) bei niedrigem Oberwasser, Teilg. 4

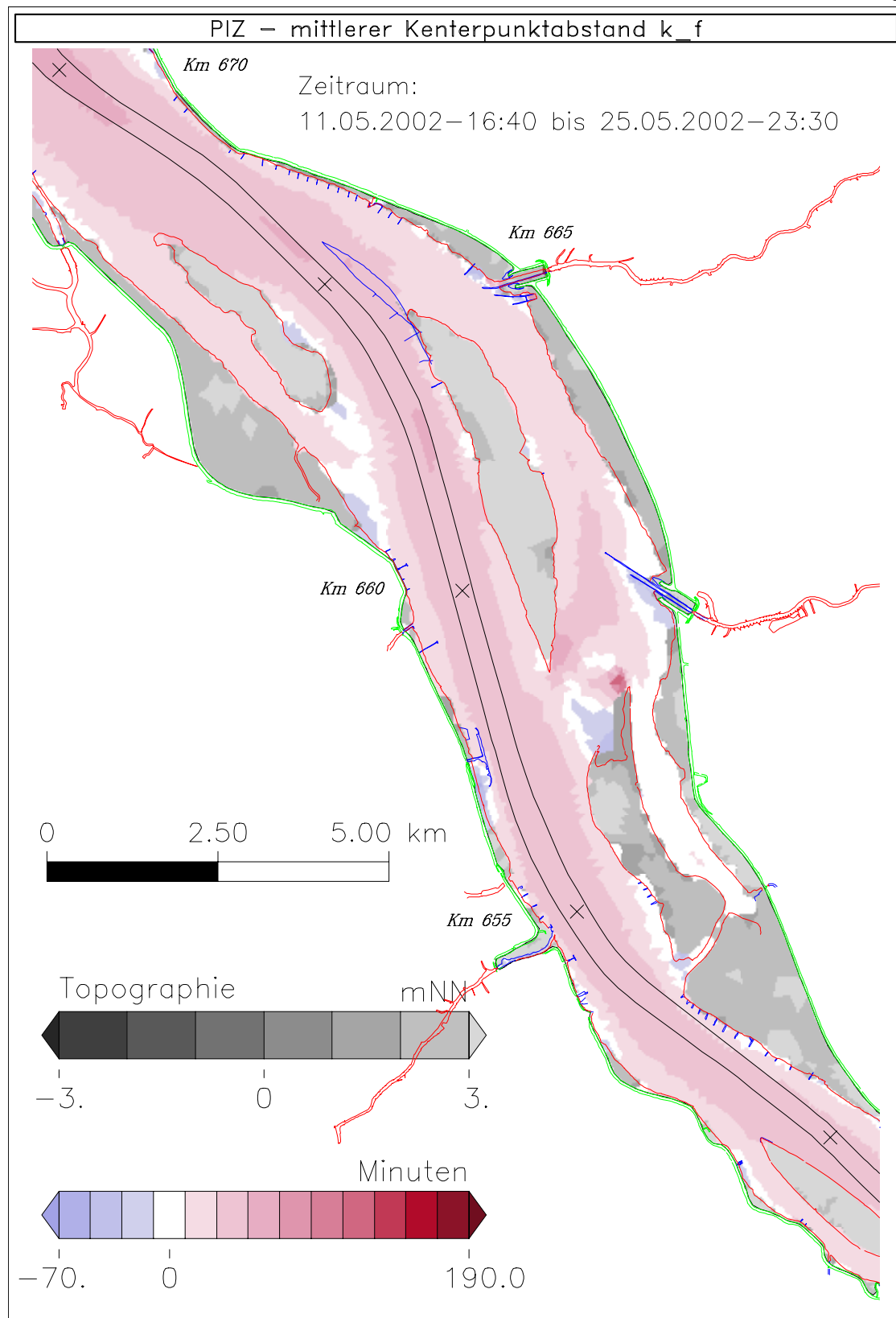
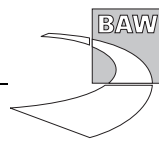


Bild 93: Kenterpunktabstand bei Kenterpunkt Flut bei niedrigem Oberwasser, Teilgebiet 4

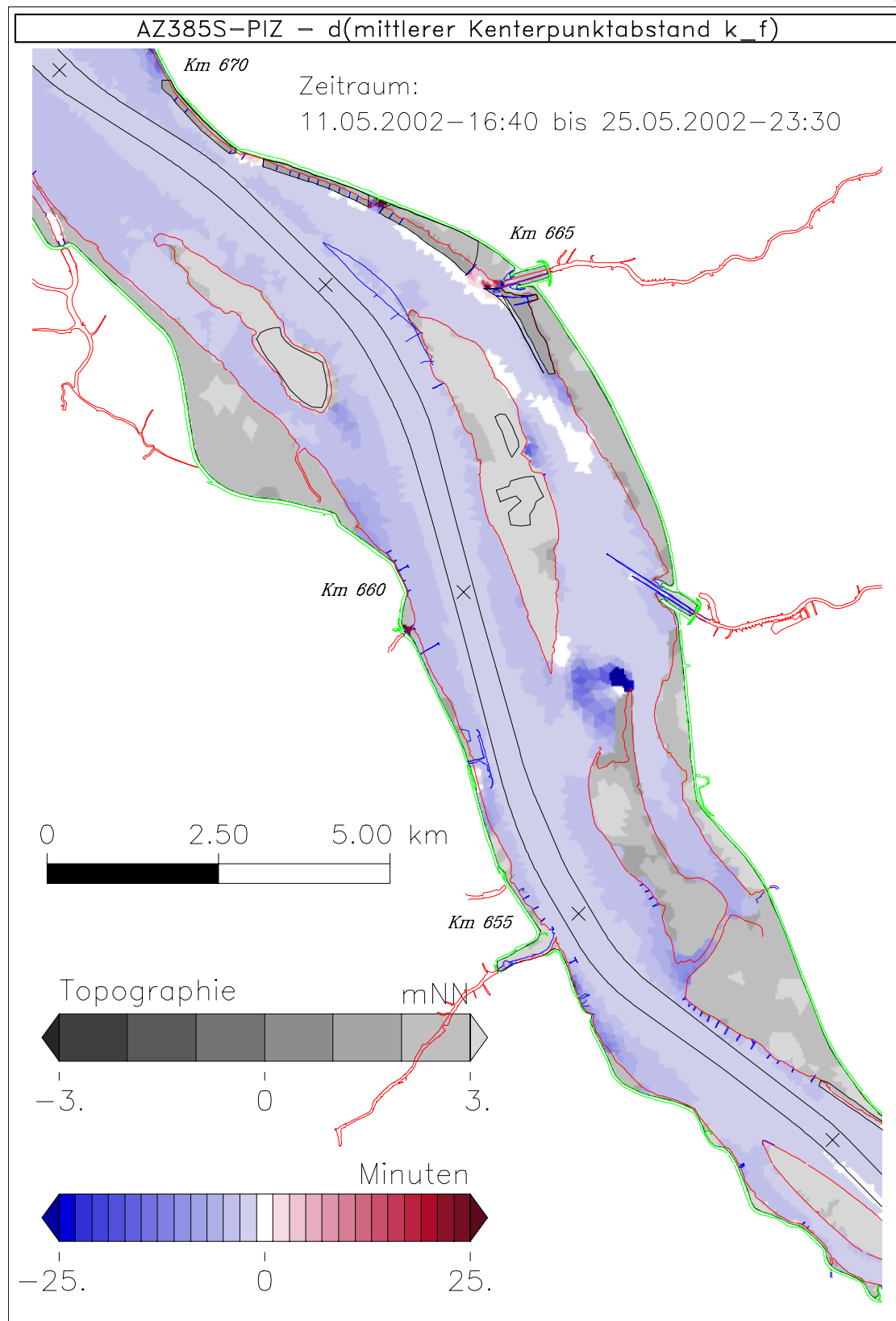
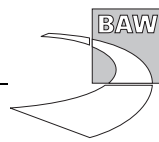


Bild 94: Diff. d. Kenterpunktabstandes bei Kenterp. Flut (AZ385S - PIZ), niedrig. Obw., Teilg. 4

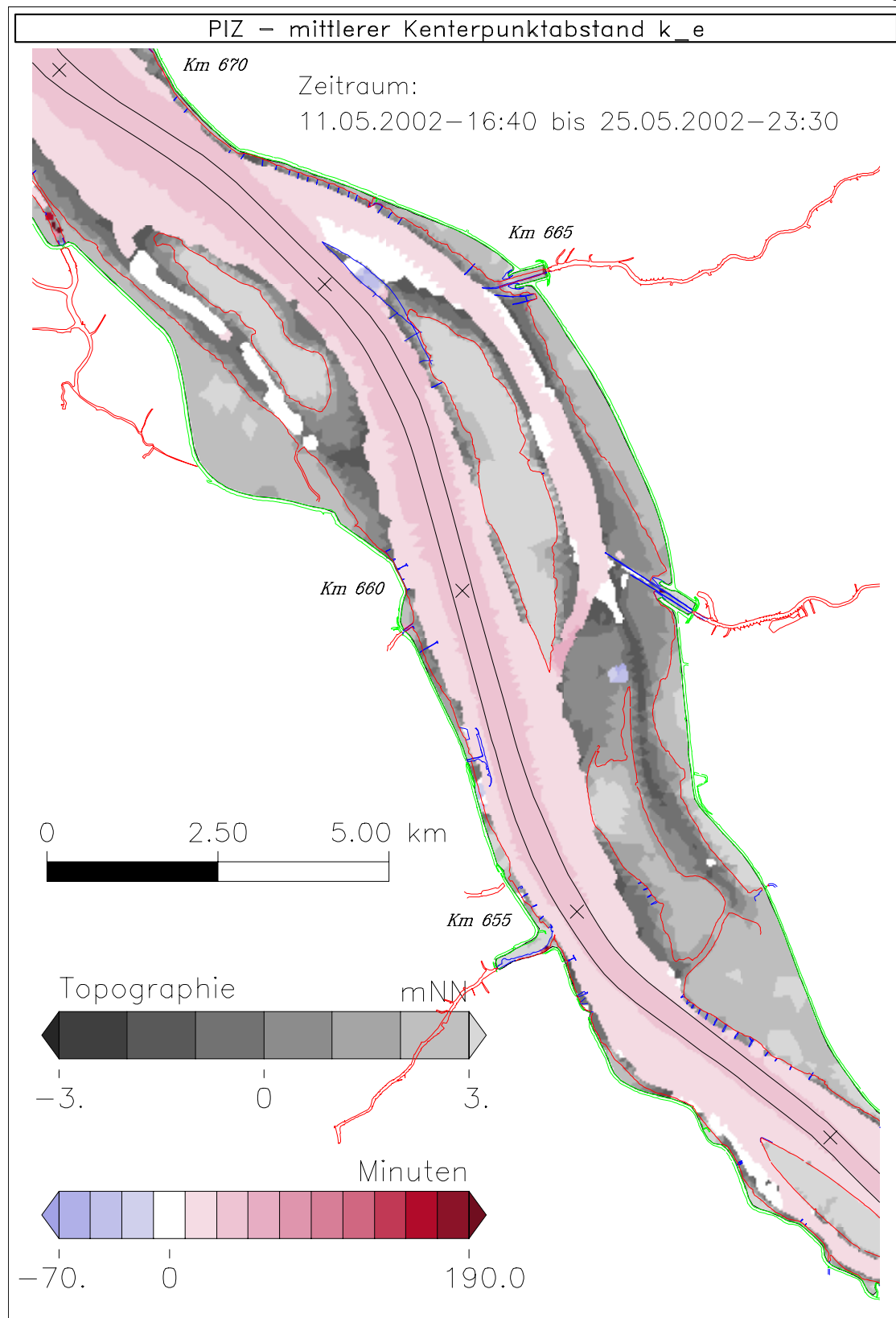
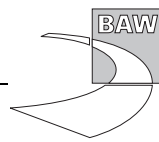


Bild 95: Kenterpunktabstand bei Kenterpunkt Ebbe bei niedrigem Oberwasser, Teilgebiet 4

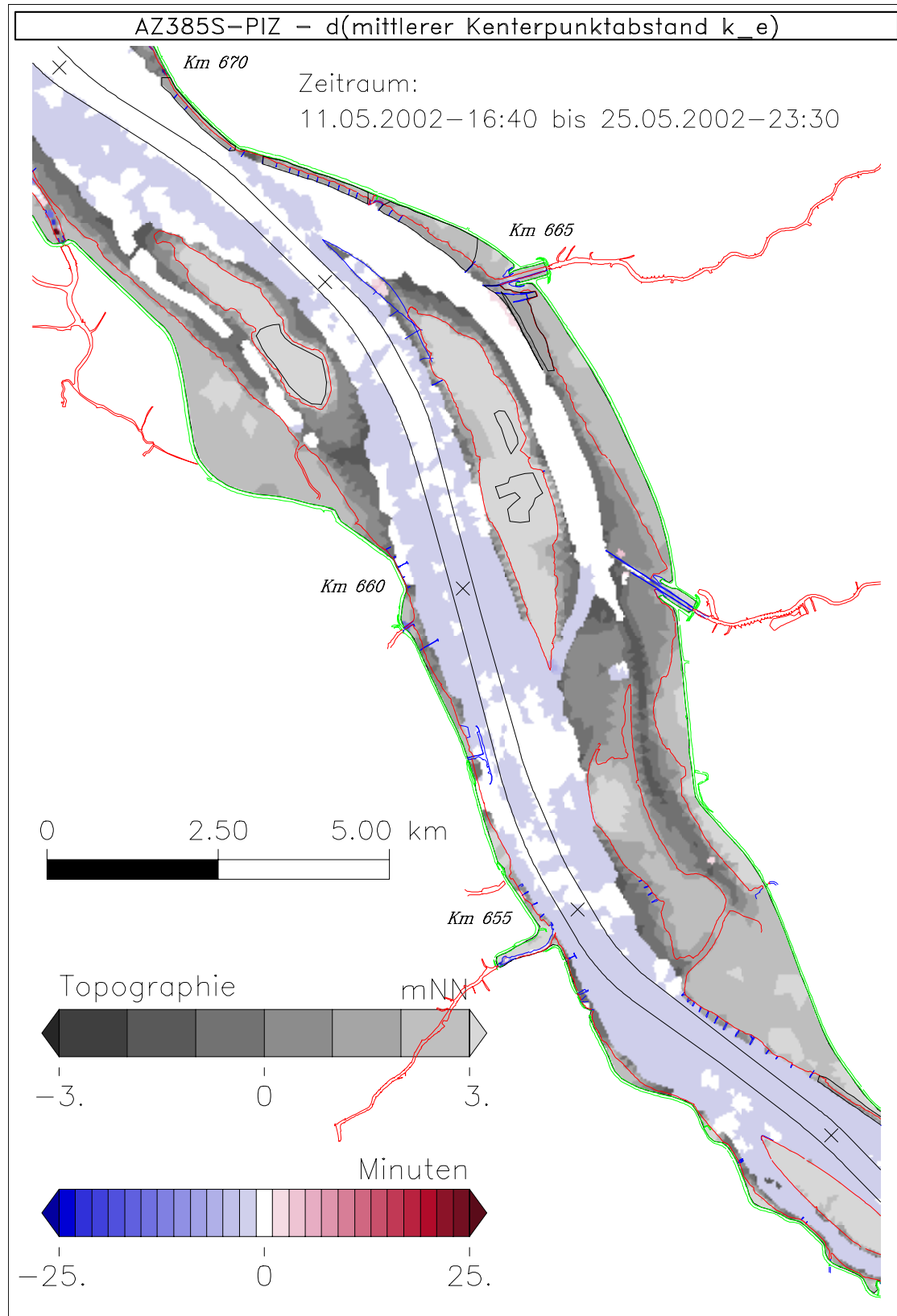
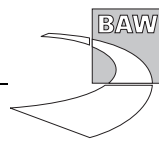


Bild 96: Diff. d. Kenterpunktabstandes bei Kenterp. Ebbe (AZ385S - PIZ), niedrig. Obw., Teilg. 4

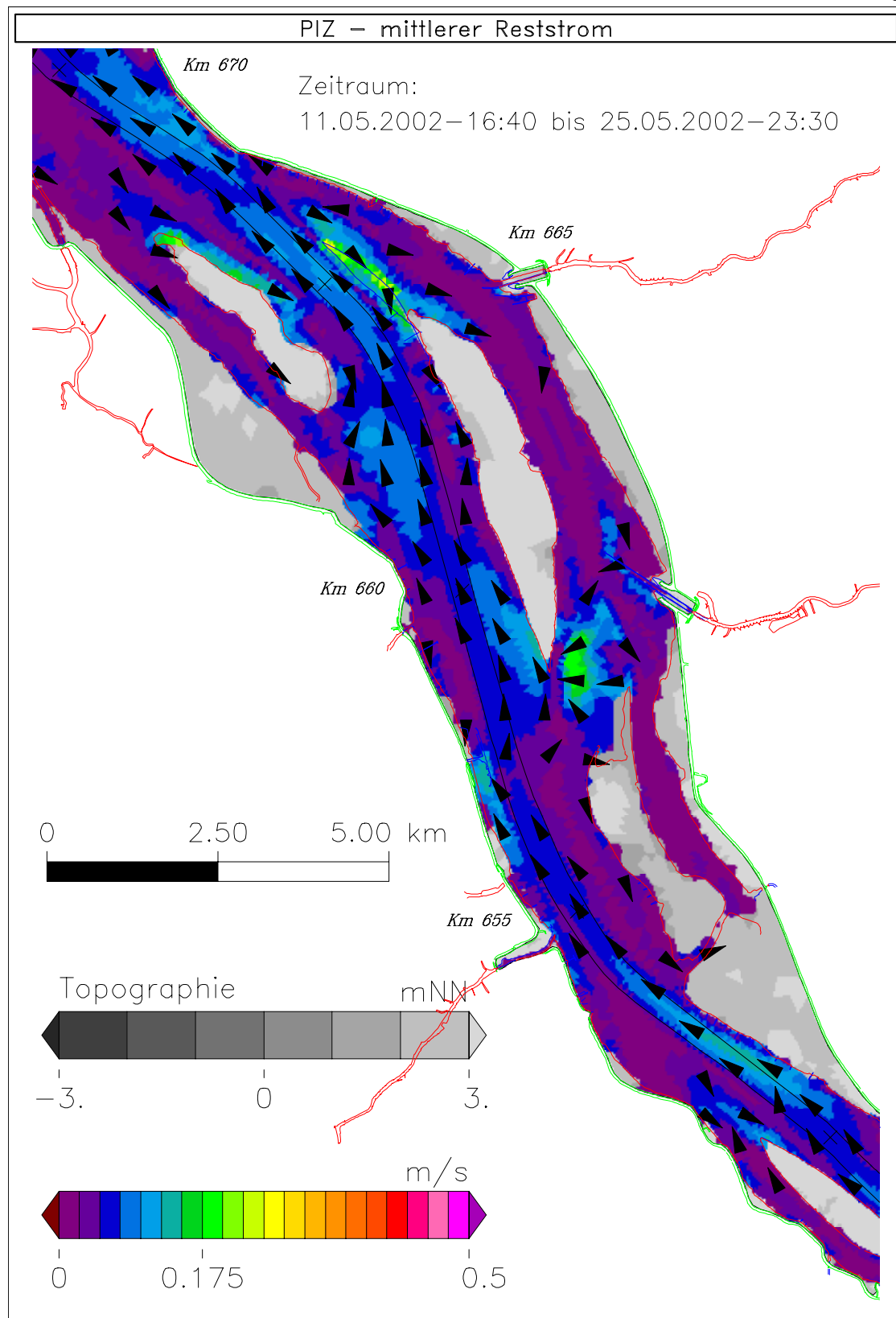
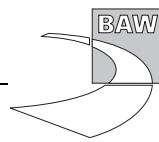


Bild 97: Reststromgeschwindigkeit bei niedrigem Oberwasser, Teilgebiet 4

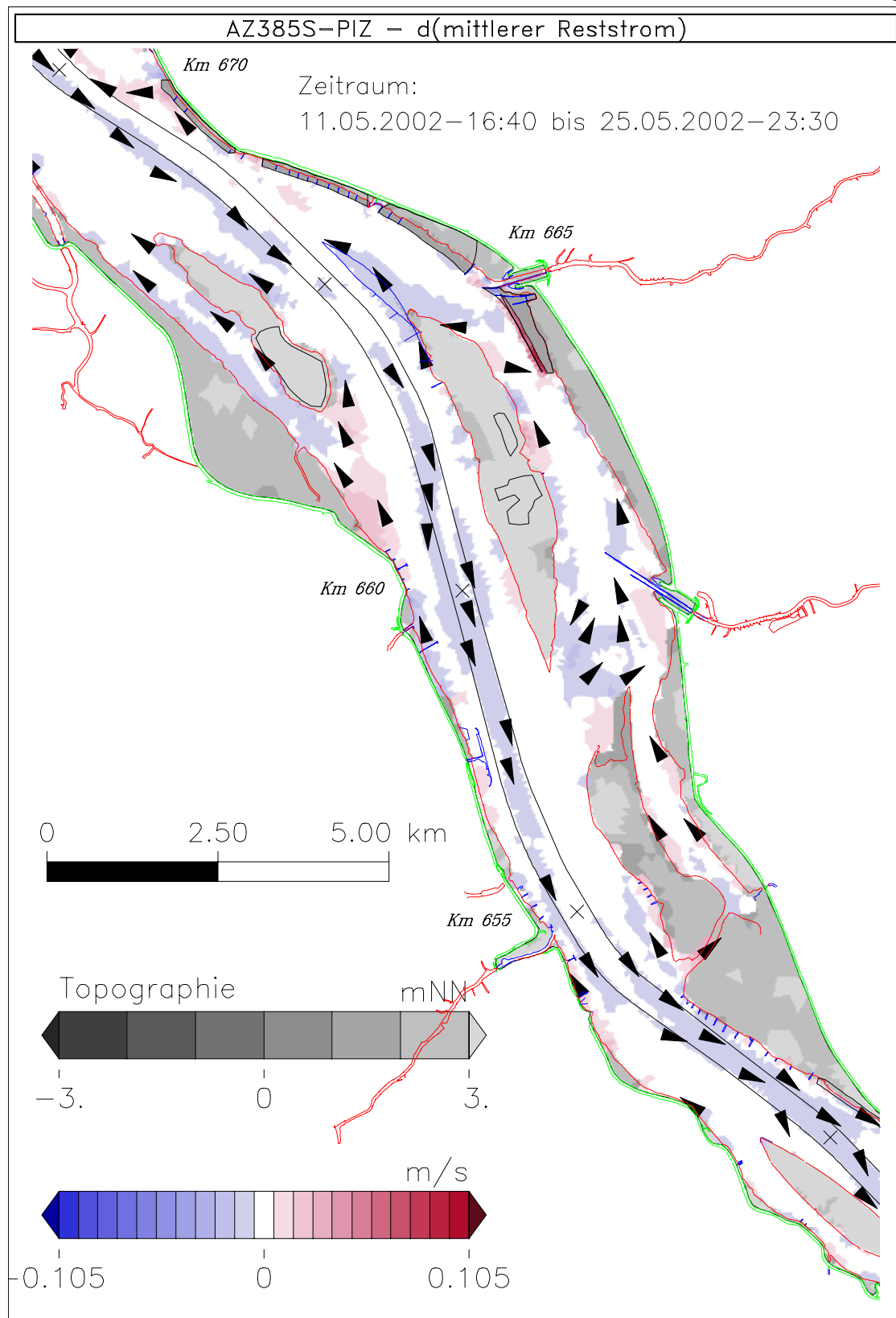
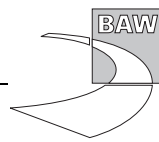


Bild 98: Differenz der Reststromgeschwindigkeit (AZ385S - PIZ) bei niedrigem Oberwasser, Teilgebiet 4

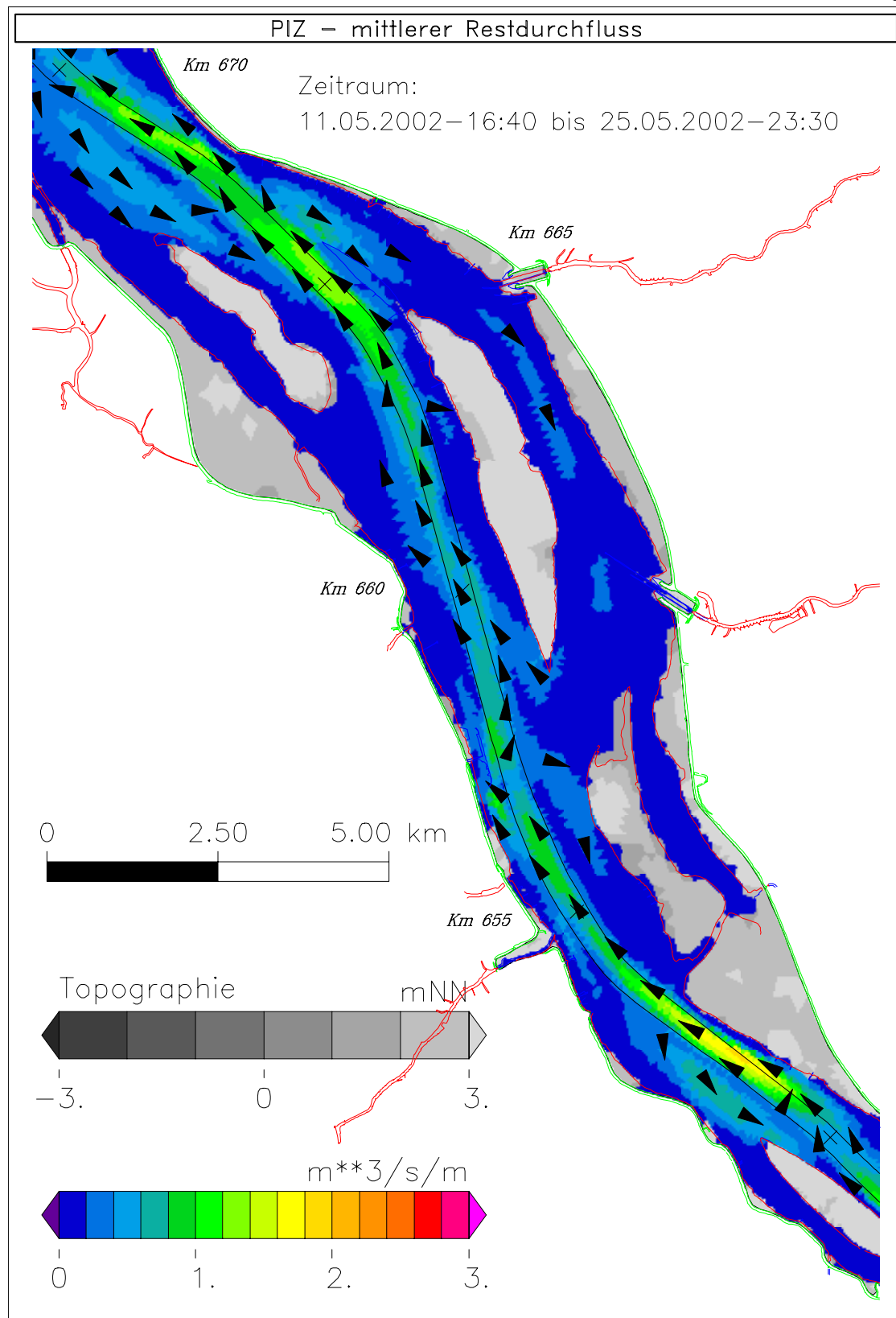
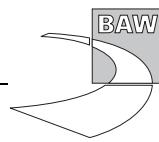


Bild 99: Restdurchfluss bei niedrigem Oberwasser, Teilgebiet 4

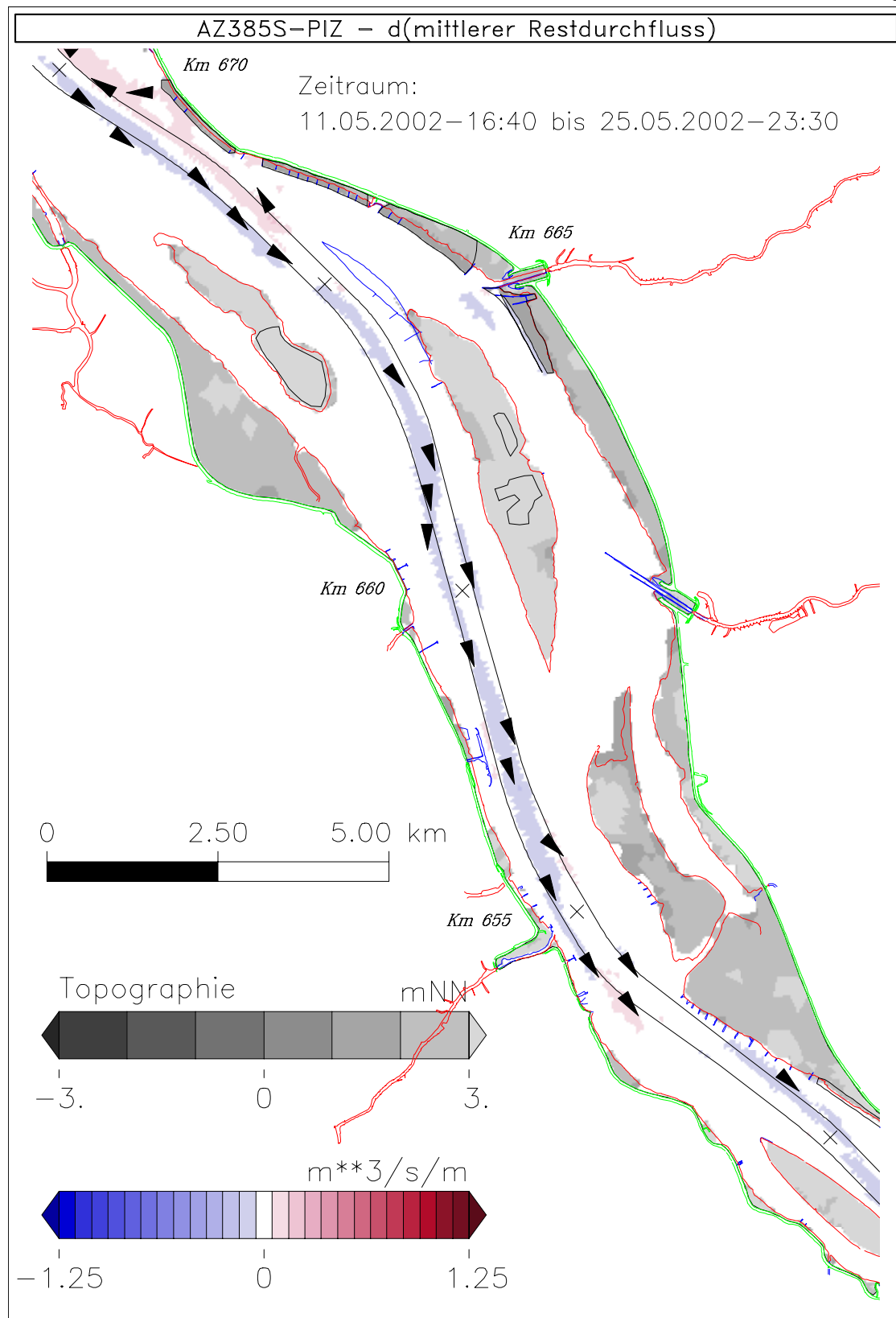
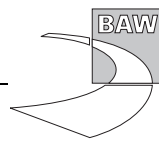


Bild 100: Differenz des Restdurchflusses (AZ385S - PIZ) bei niedrigem Oberwasser, Teilgebiet 4

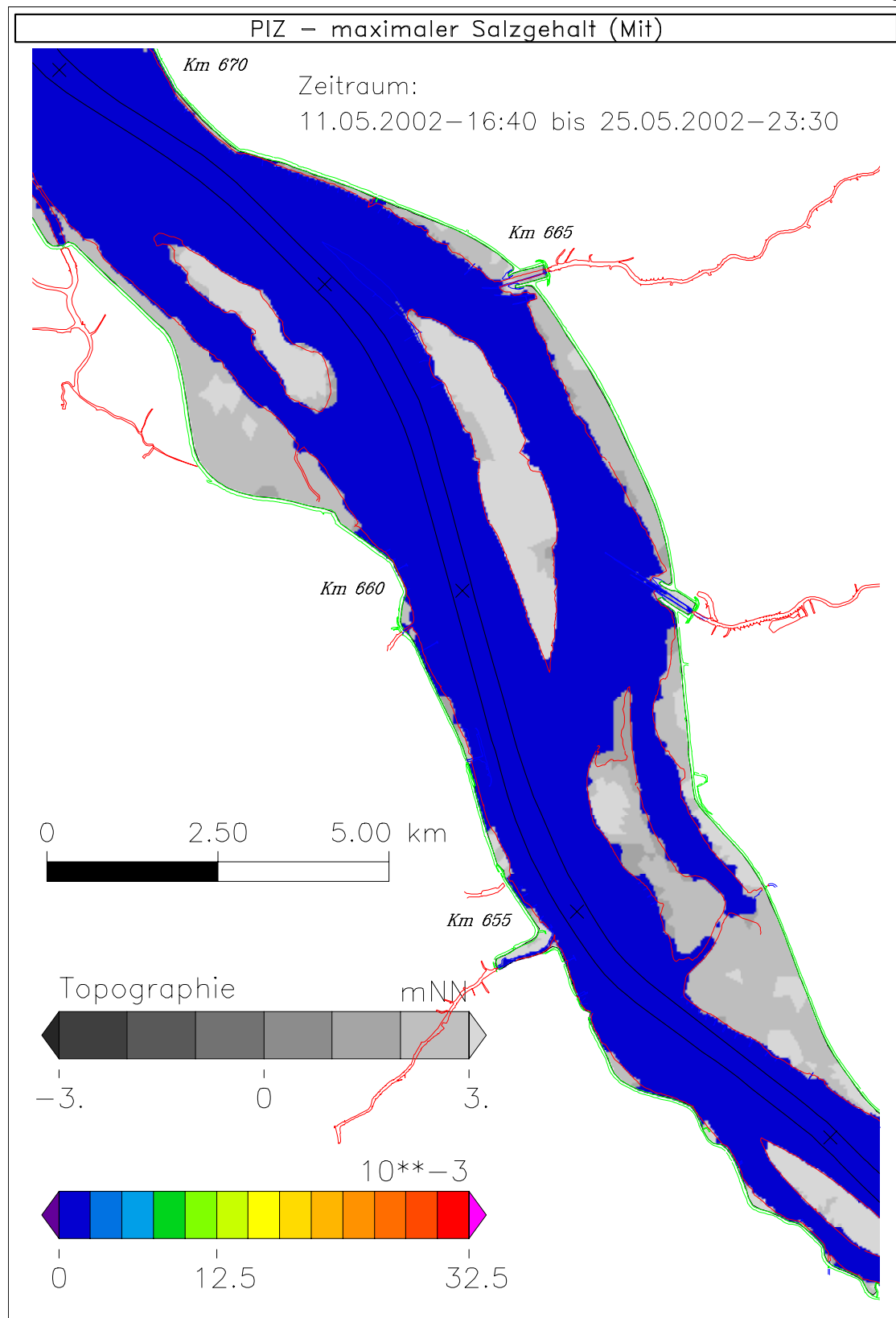
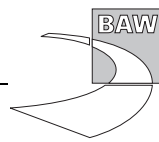


Bild 101: Maximaler Salzgehalt bei niedrigem Oberwasser, Teilgebiet 4

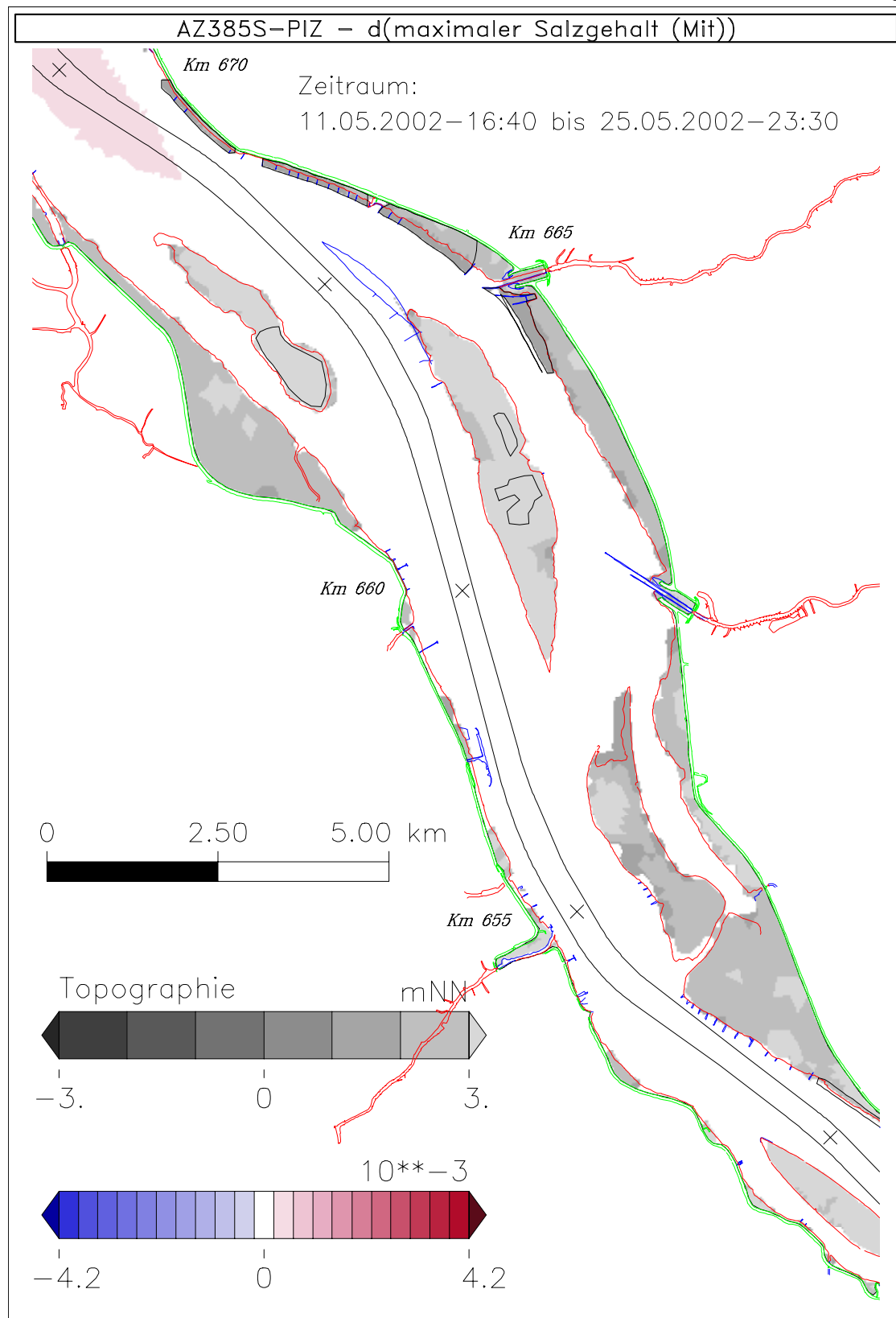
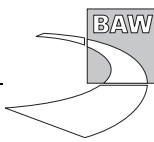


Bild 102: Differenz des max. Salzgehaltes (AZ385S - PIZ) bei niedrigem Oberwasser, Teilgebiet 4

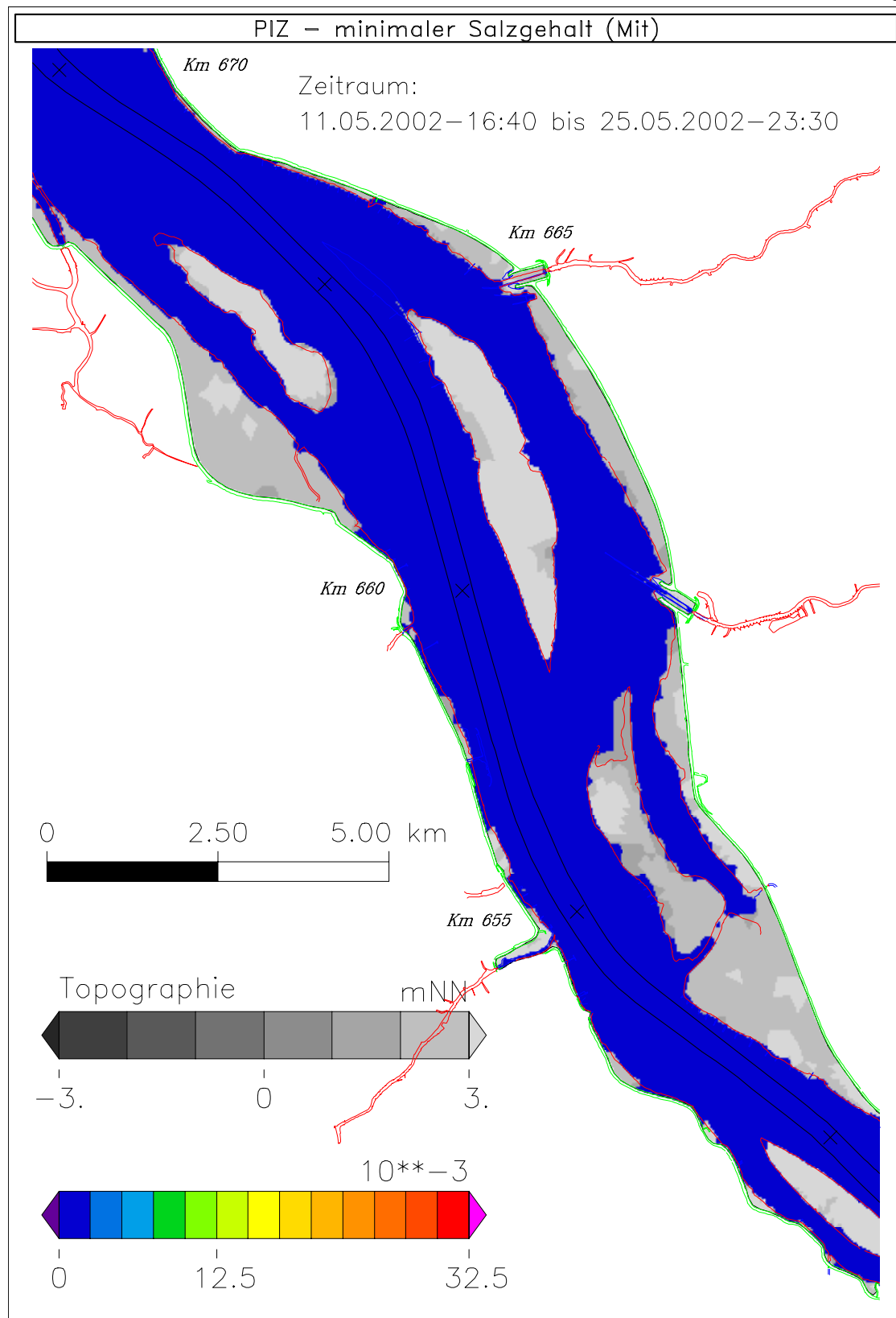
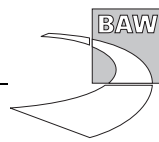


Bild 103: Minimaler Salzgehalt bei niedrigem Oberwasser, Teilgebiet 4

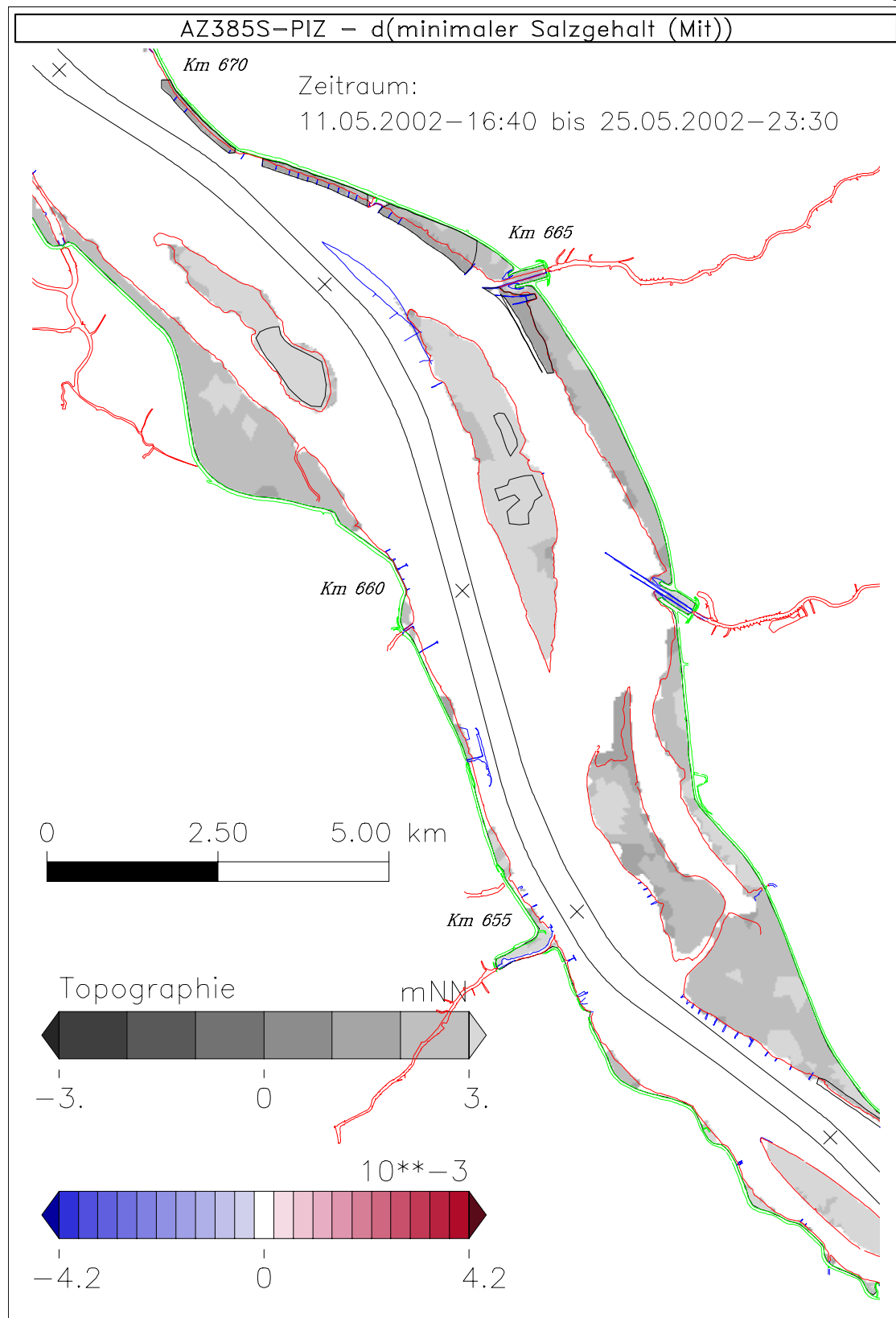
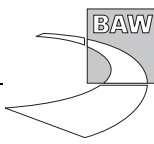


Bild 104: Differenz des min. Salzgehaltes (AZ385S - PIZ) bei niedrigem Oberwasser, Teilgebiet 4

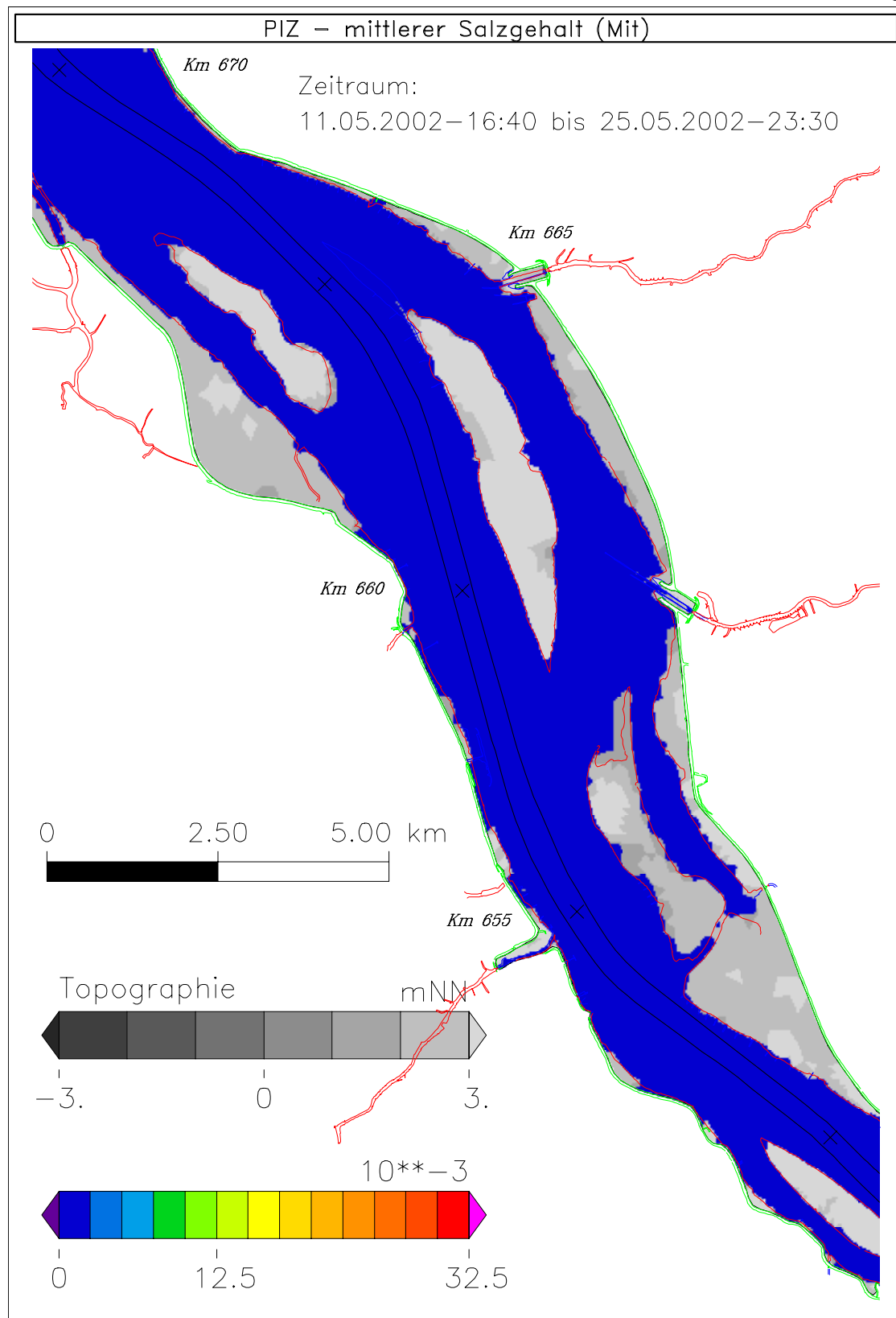
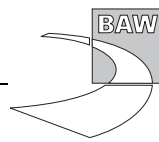


Bild 105: Mittlerer Salzgehalt bei niedrigem Oberwasser, Teilgebiet 4

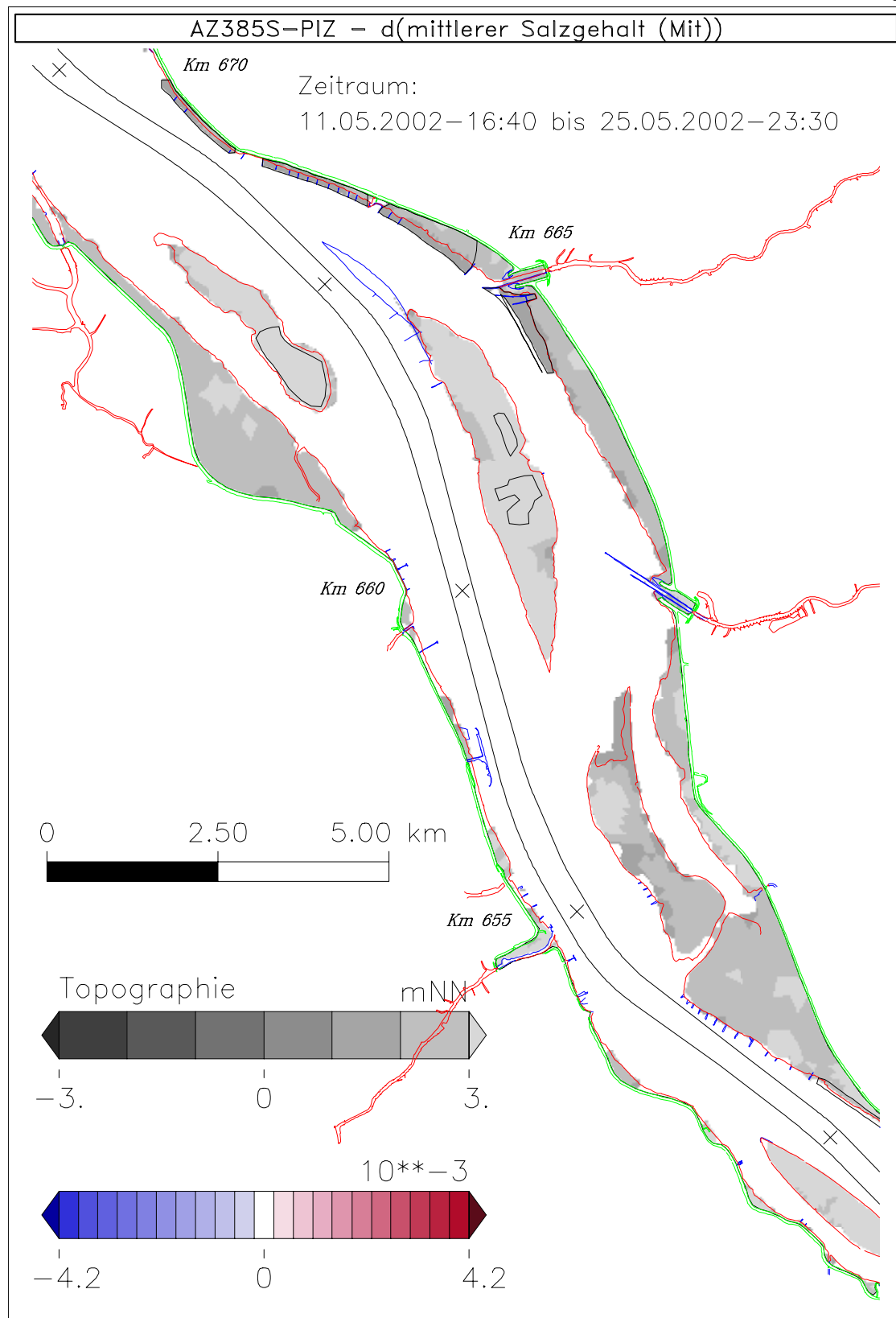


Bild 106: Differenz des mittl. Salzgehaltes (AZ385S - PIZ) bei niedrigem Oberwasser, Teilgebiet 4

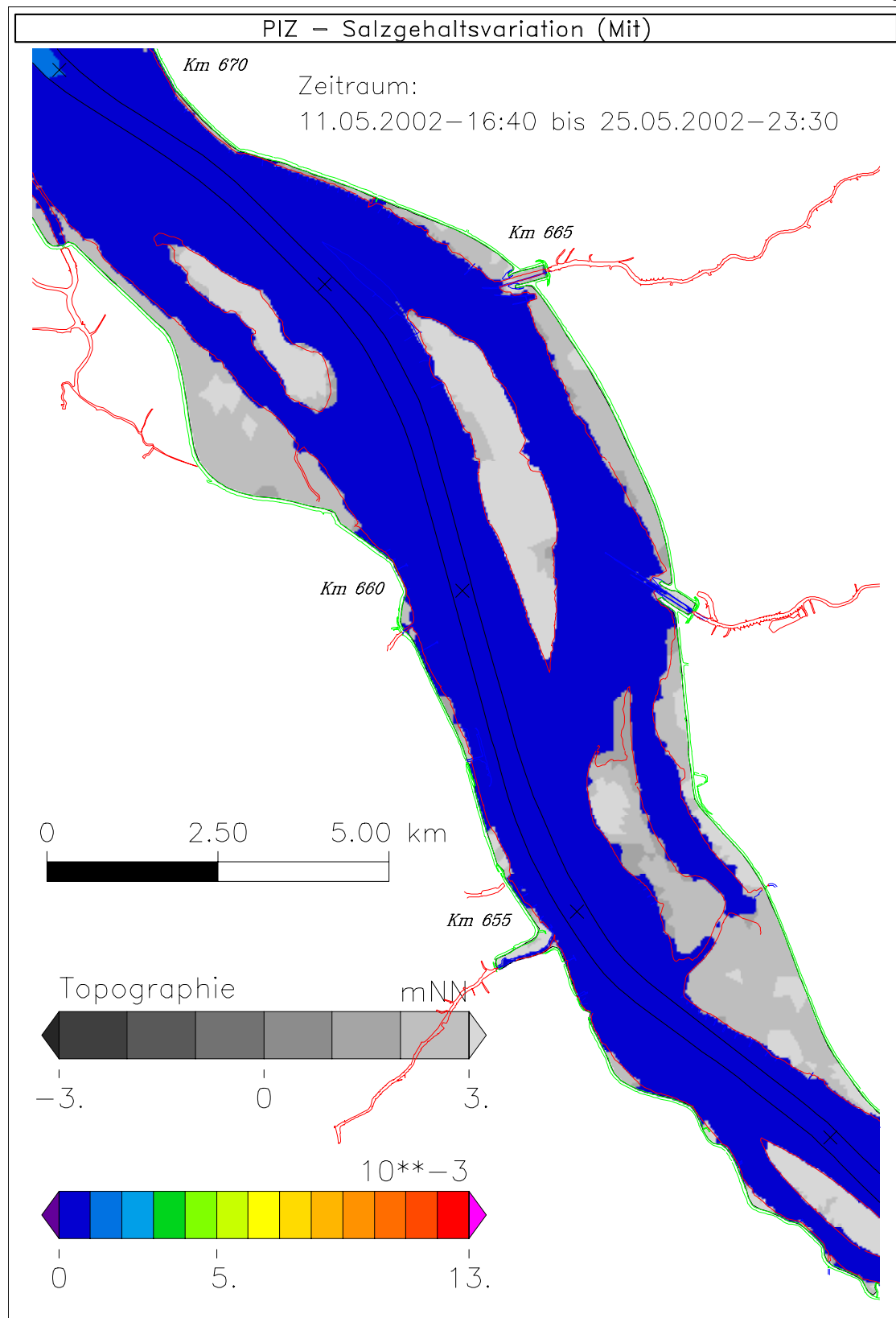
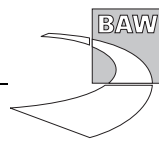


Bild 107: Salzgehaltsvariation bei niedrigem Oberwasser, Teilgebiet 4

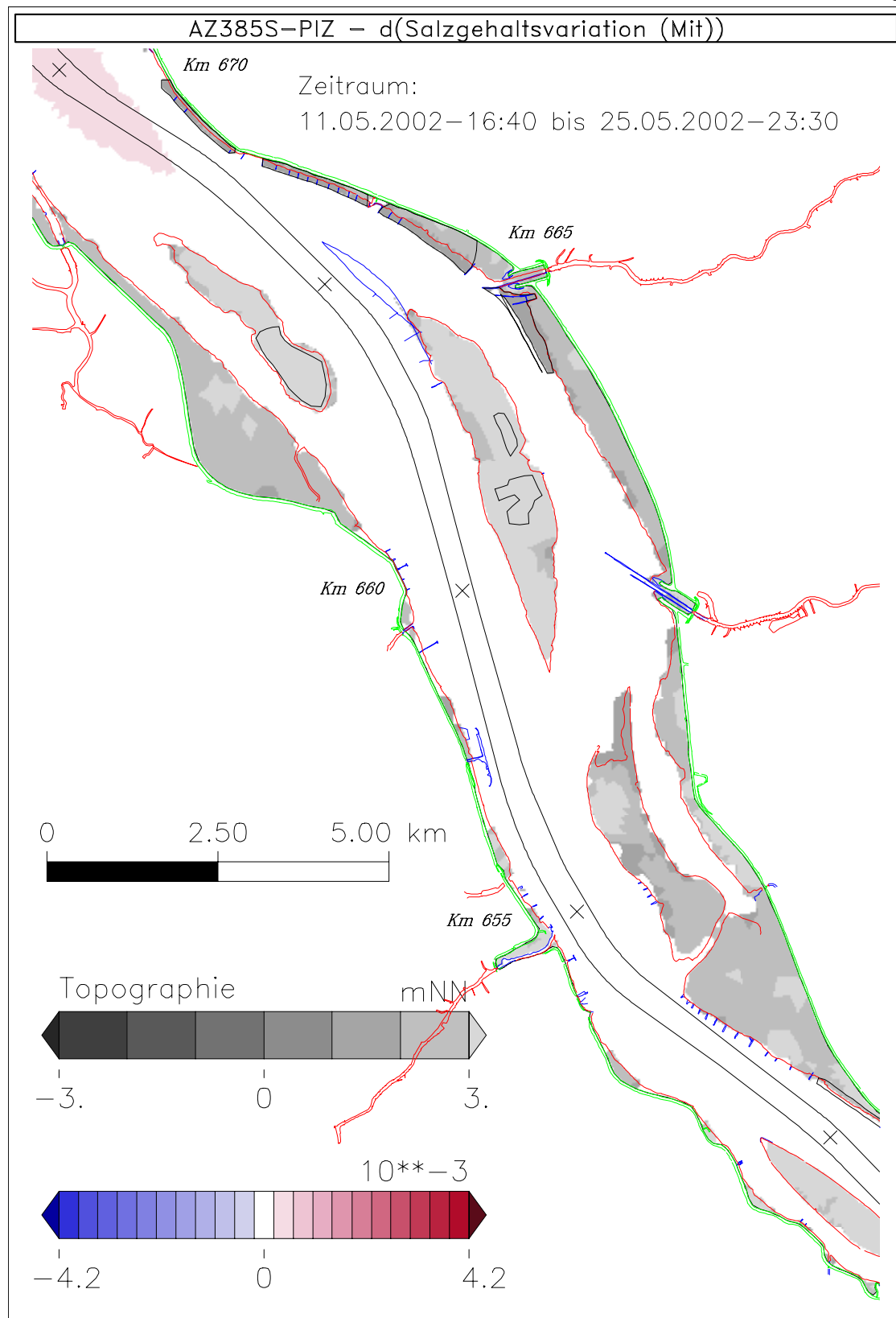
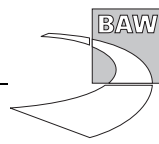


Bild 108: Differenz der Salzgehaltsvariation (AZ385S - PIZ) bei niedrigem Oberwasser, Teilgebiet 4

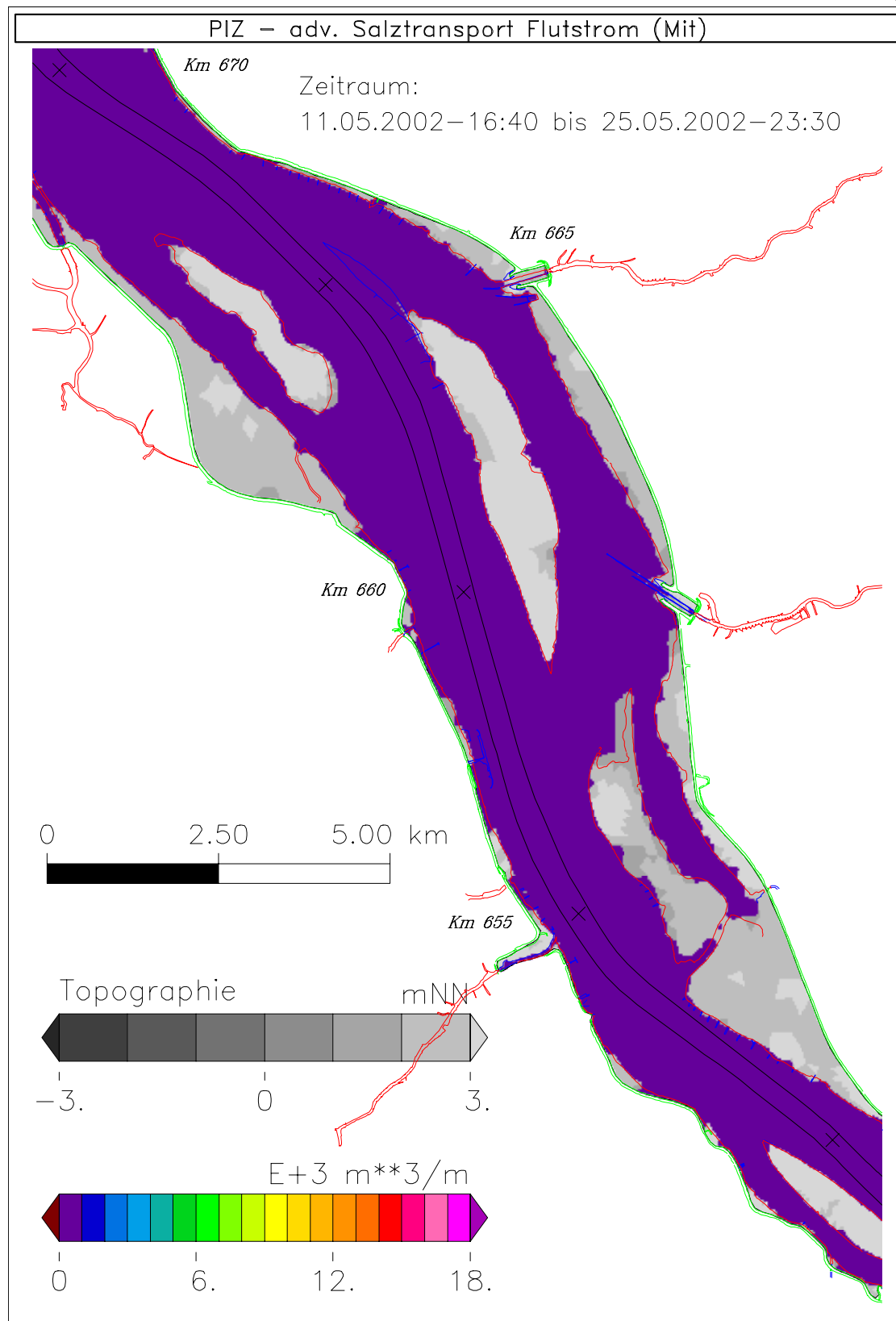
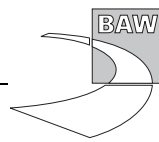


Bild 109: Advektiver Salztransport Flutstrom bei niedrigem Oberwasser, Teilgebiet 4

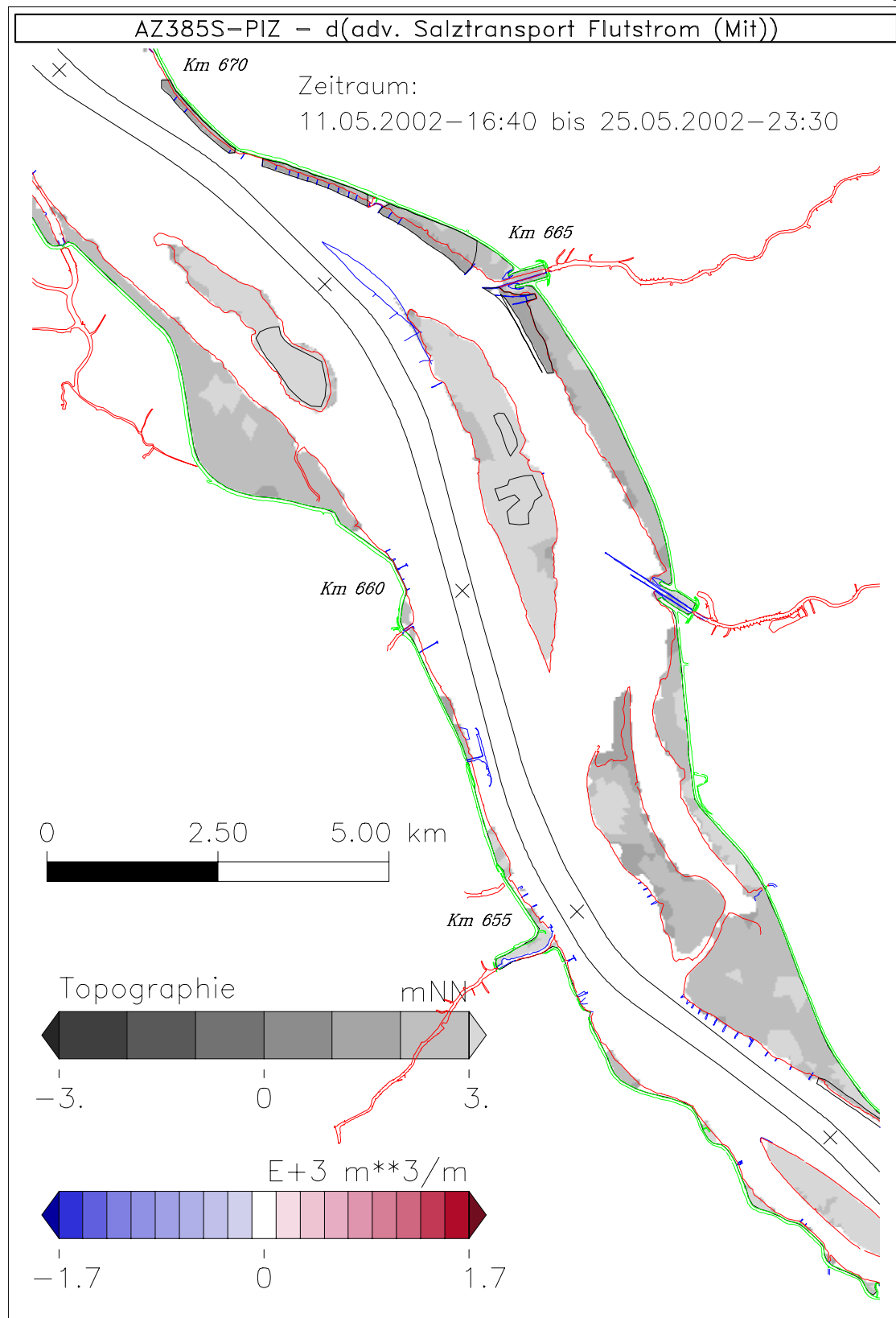


Bild 110: Differenz des adv. Salztransportes Flutstrom (AZ385S - PIZ) bei niedrigem Oberwasser, Teilgebiet
A. Anlage 4 Seite 114

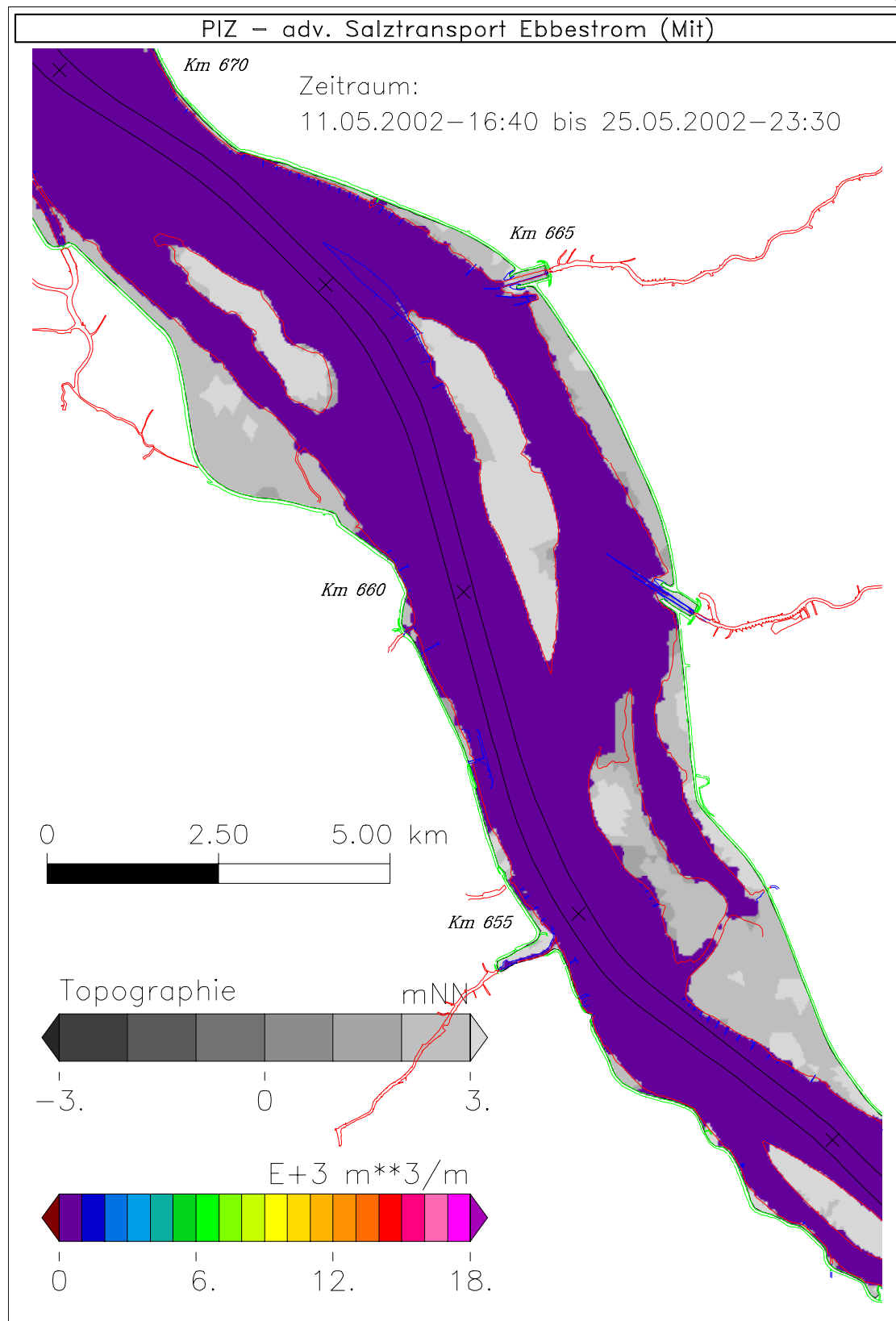
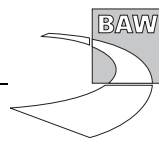


Bild 111: Advektiver Salztransport Ebbestrom bei niedrigem Oberwasser, Teilgebiet 4

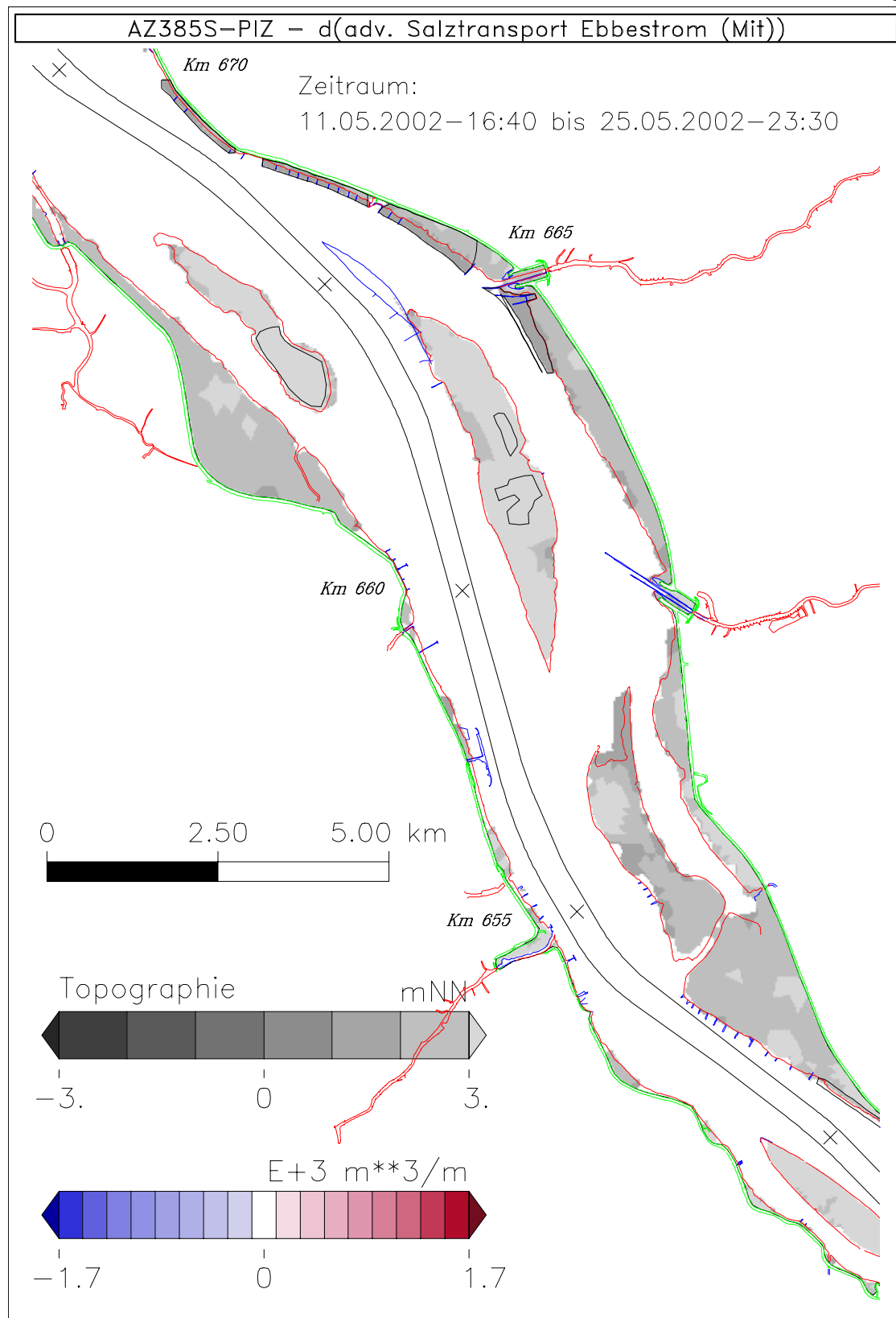


Bild 112: Differenz des adv. Salztransportes Ebbestrom (AZ385S - PIZ) bei niedrigem Oberwasser, Teilgebiet
A. Anlage 4 Seite 116

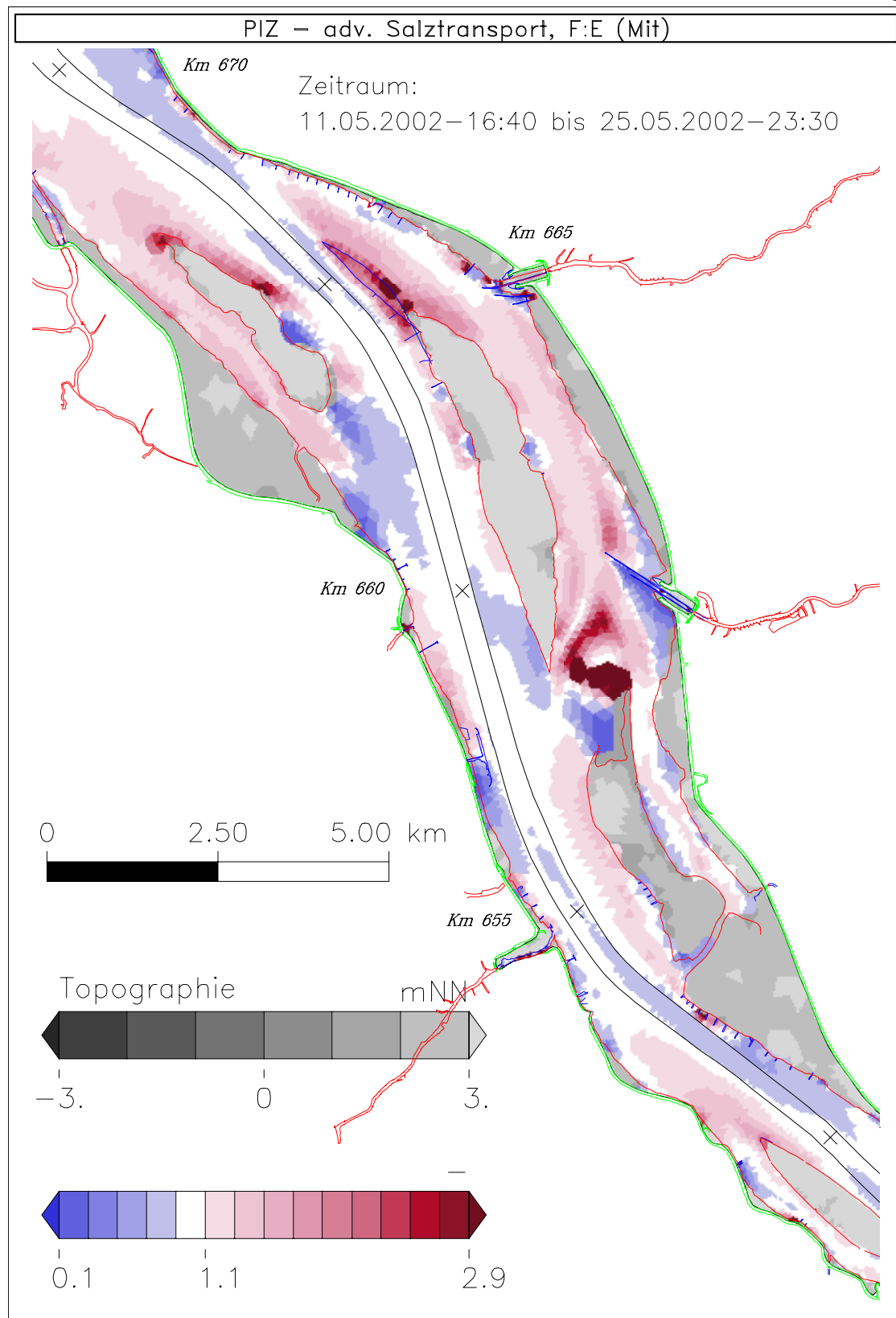
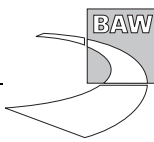


Bild 113: Verhältnis des adv. Salztransportes Flut- zu Ebbstrom (AZ385S - PIZ), niedriges Obw., Teilg. 4

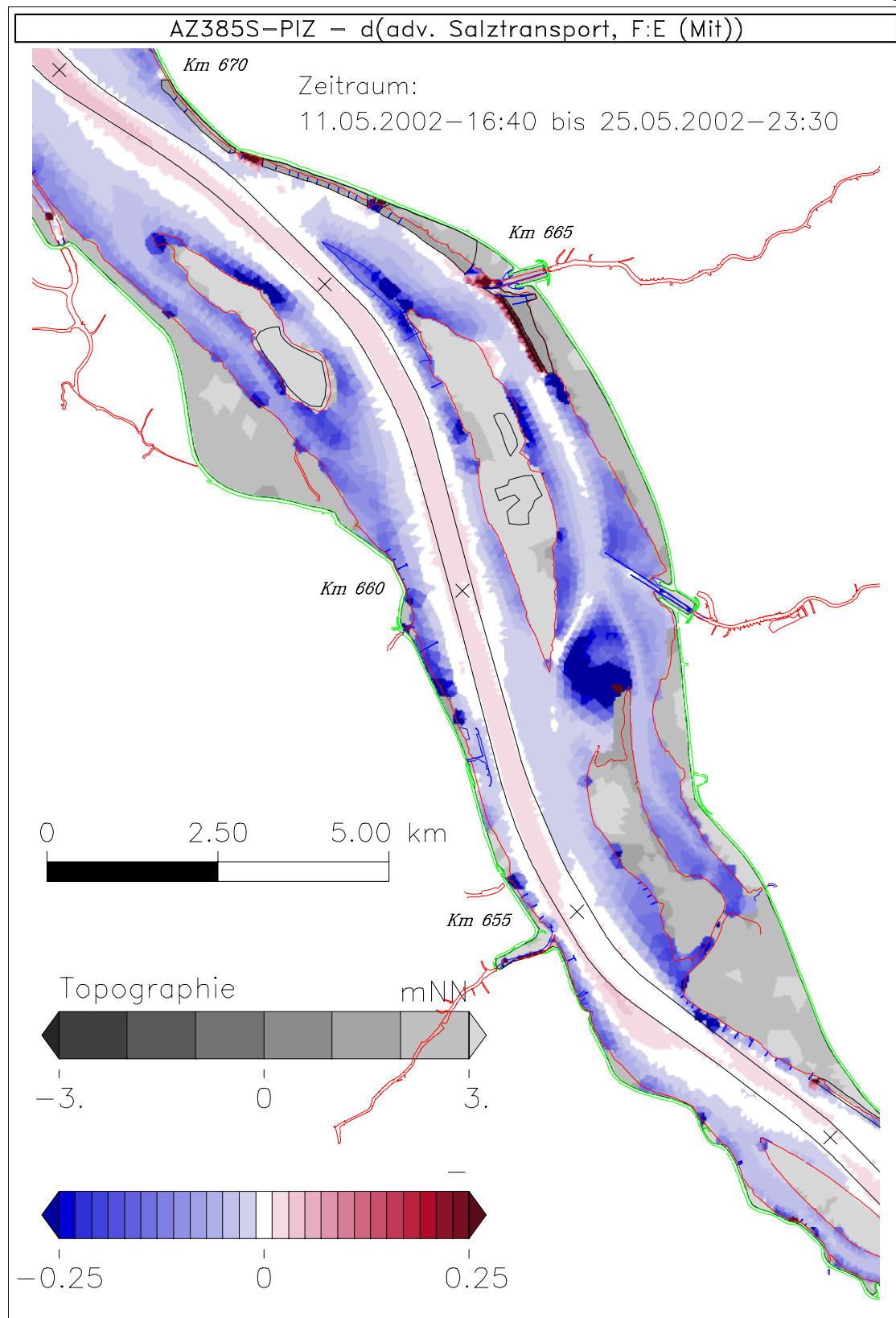
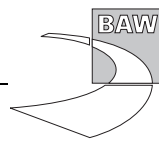


Bild 114: Diff. d. Verhältnisses adv. Salztransport Flut- zu Ebbstrom (AZ385S-PIZ), niedrig. Obw., Tg. 4

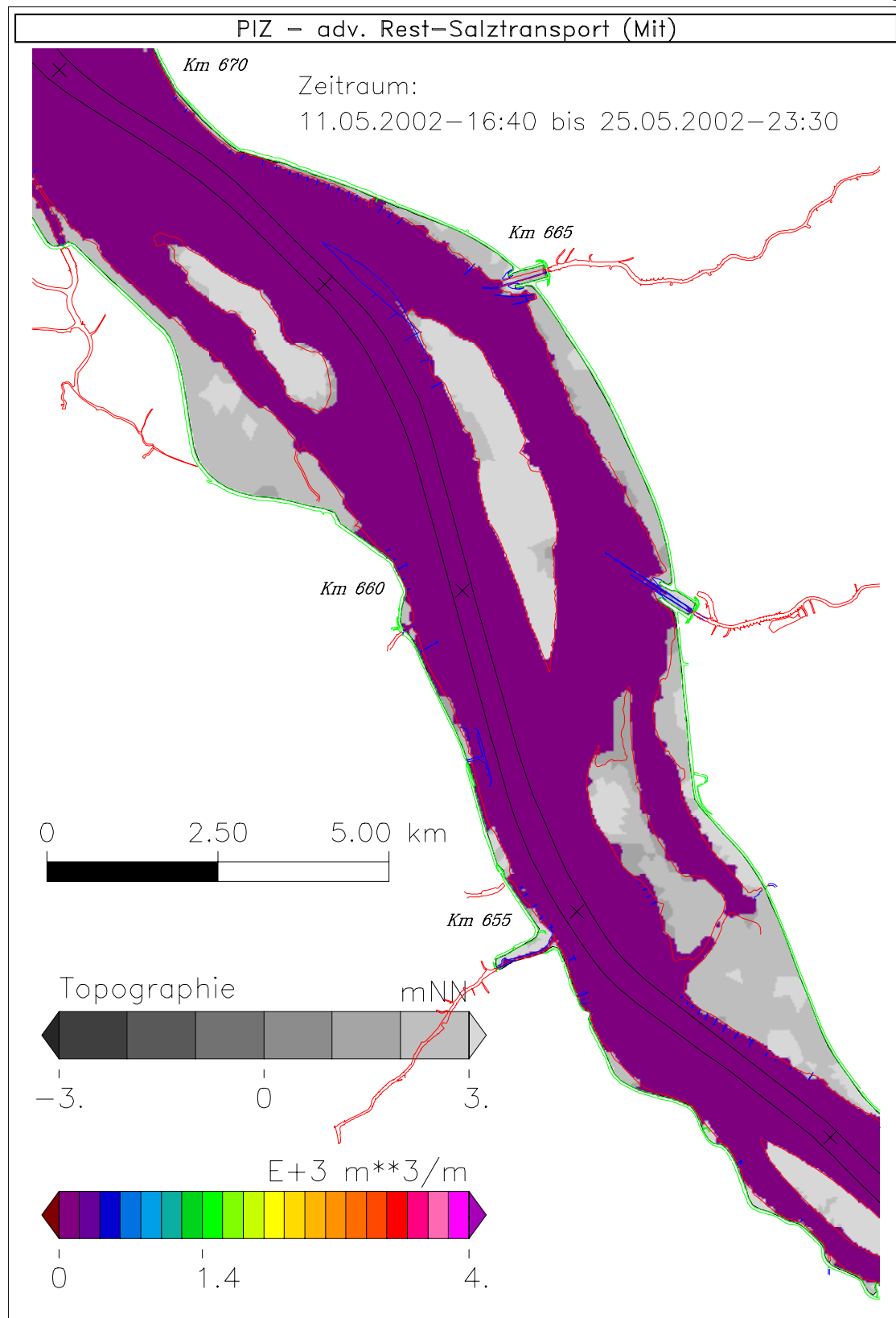
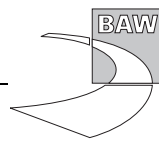


Bild 115: Advektiver Rest-Salztransport bei niedrigem Oberwasser, Teilgebiet 4

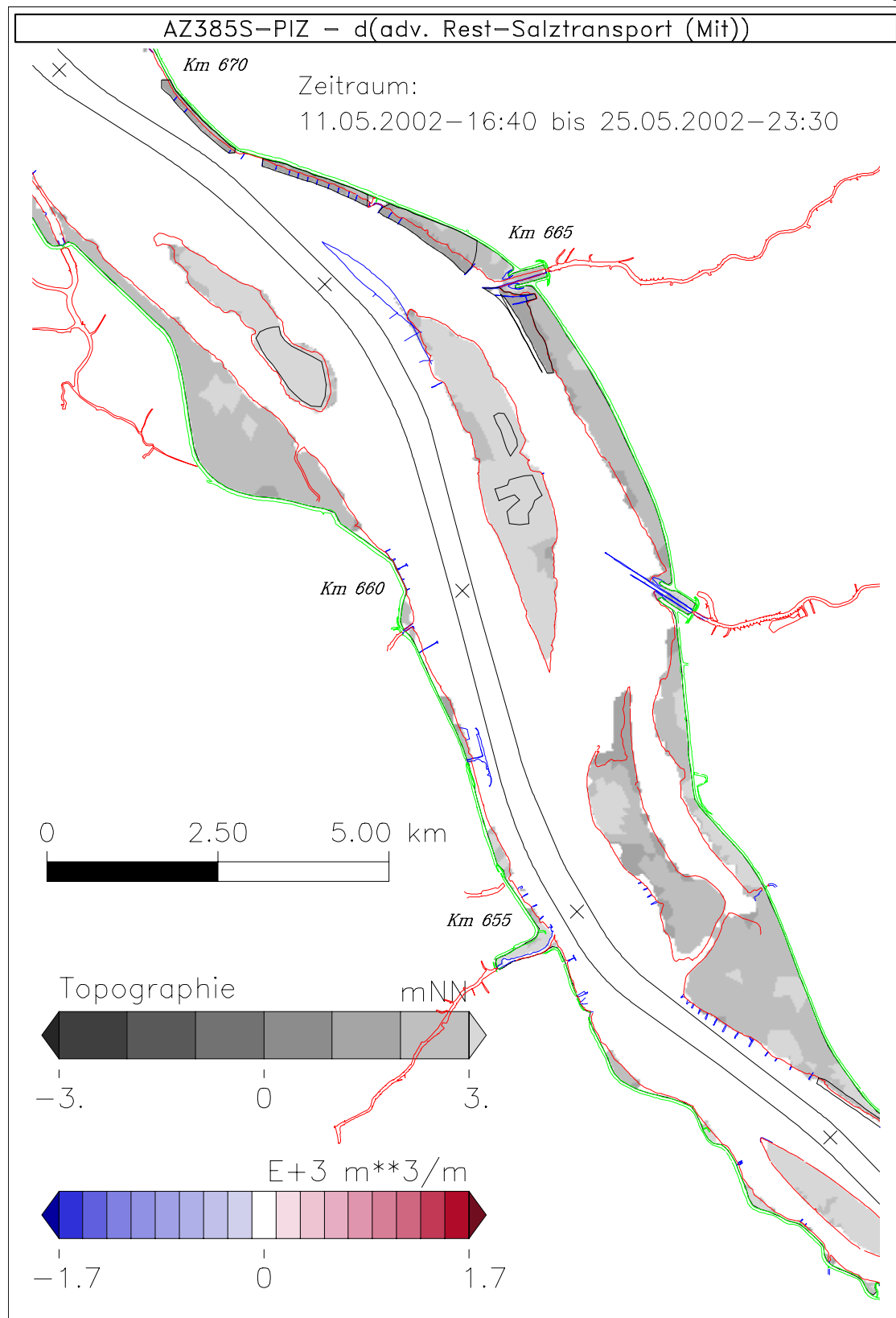
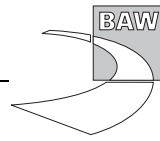
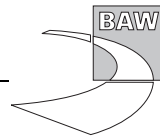


Bild 116: Differenz des adv. Rest-Salztransportes (AZ385S - PIZ) bei niedrigem Oberwasser, Teilgebiet 4





A.3 Teilgebiet 3

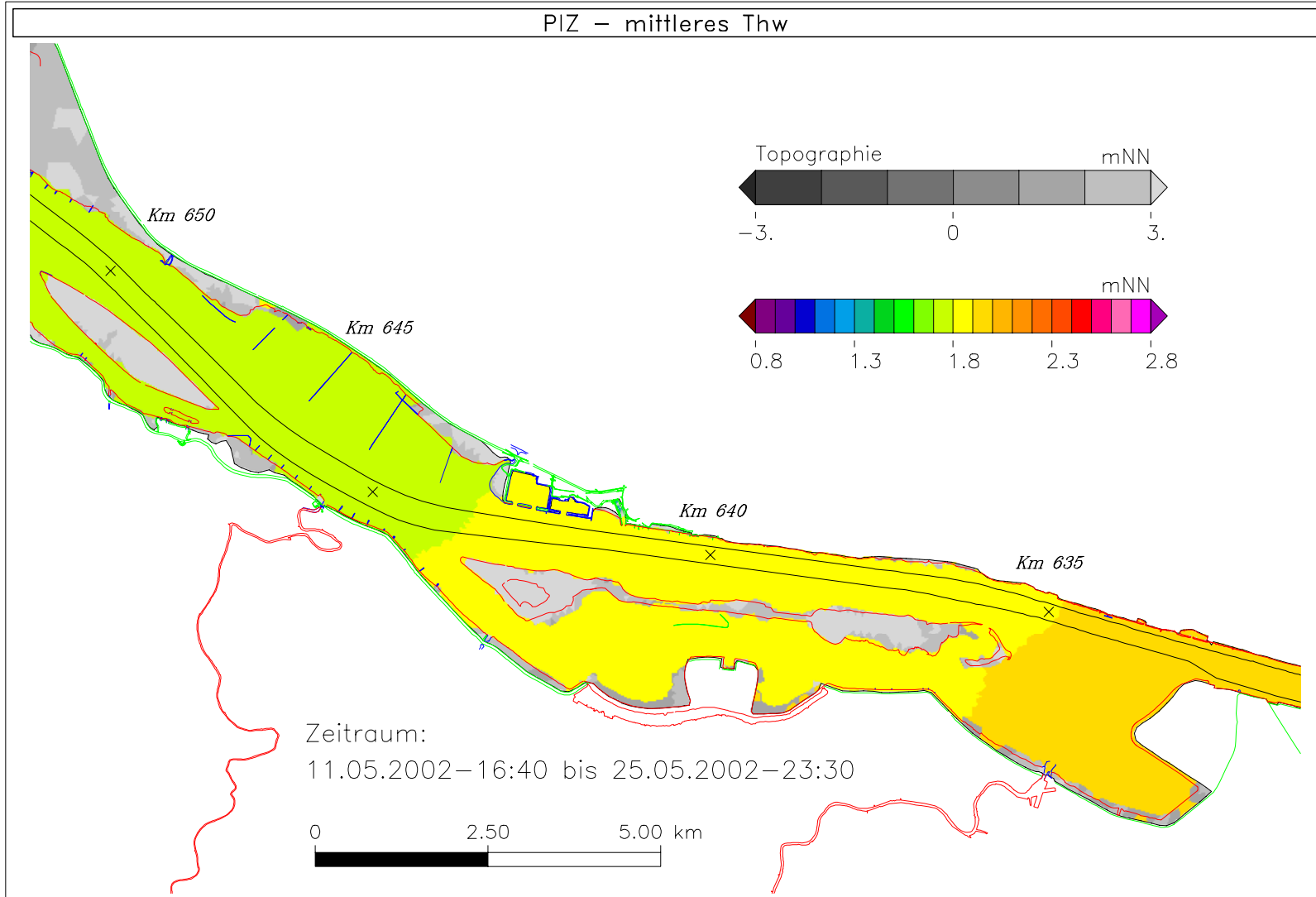


Bild 117: Tidehochwasser bei niedrigem Oberwasser, Teilgebiet 3

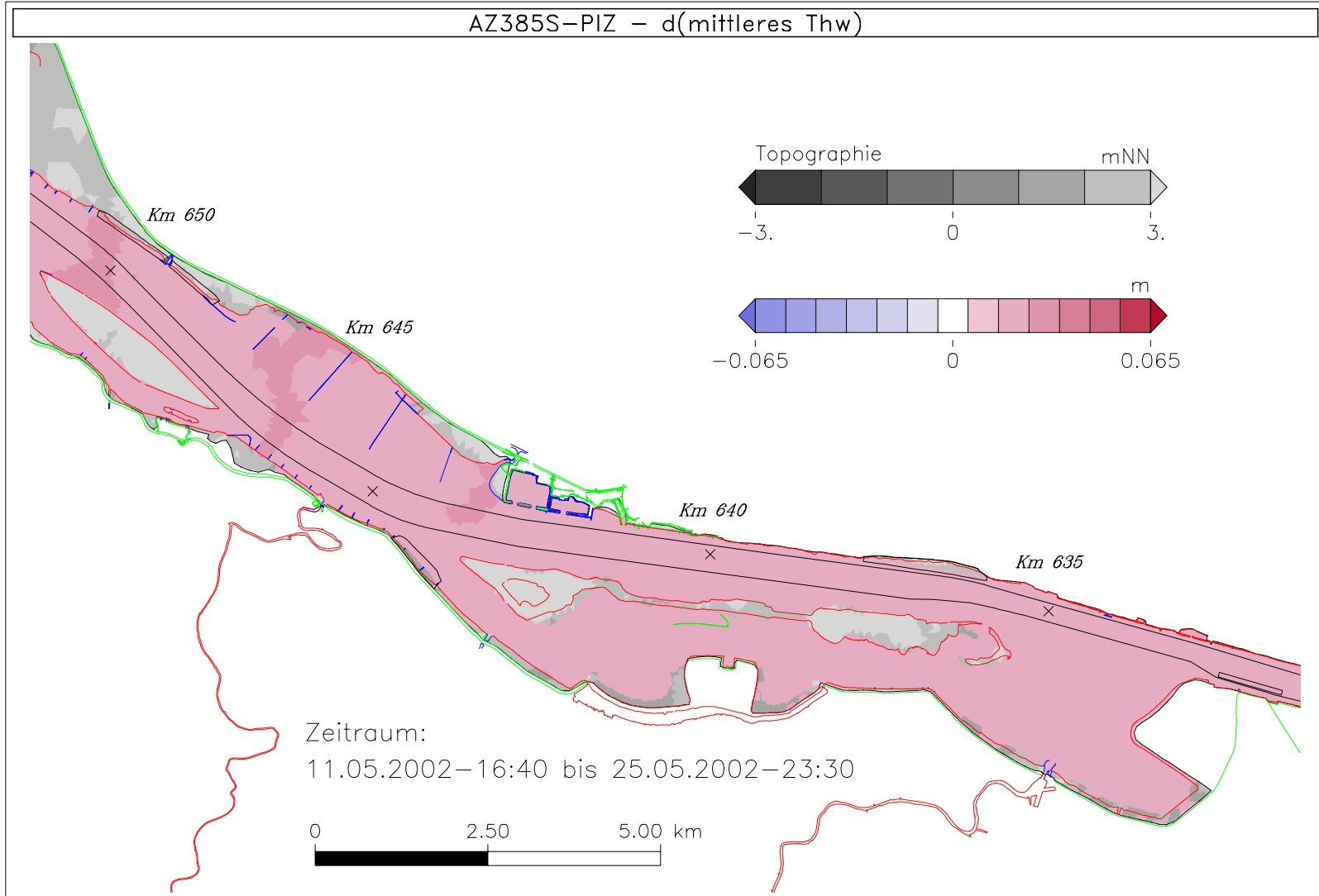


Bild 118: Differenz des Tidehochwassers (AZ385S - PIZ) bei niedrigem Oberwasser, Teilgebiet 3

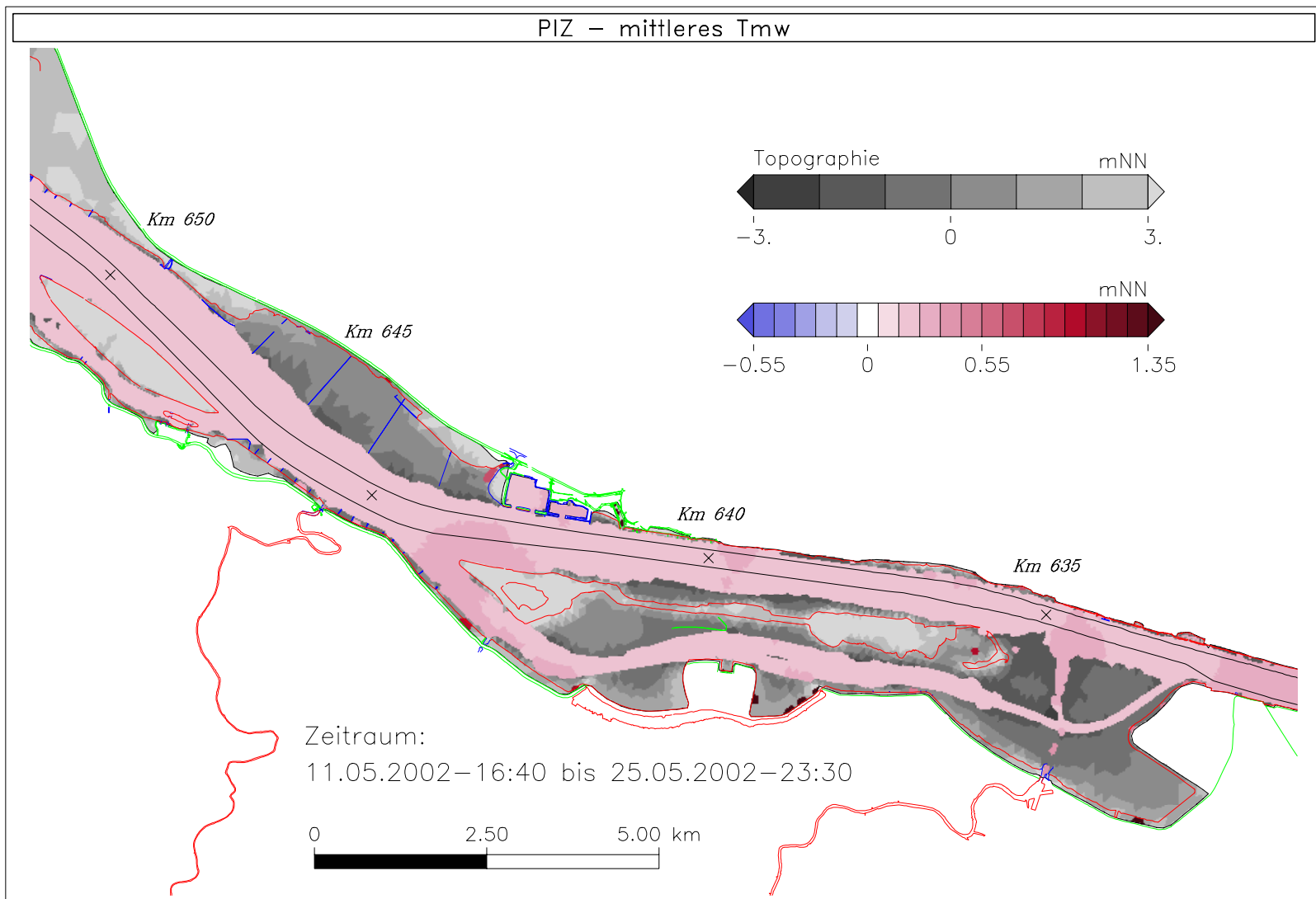
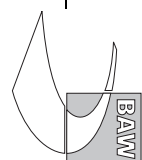


Bild 119: Tidemittelwasser bei niedrigem Oberwasser, Teilgebiet 3



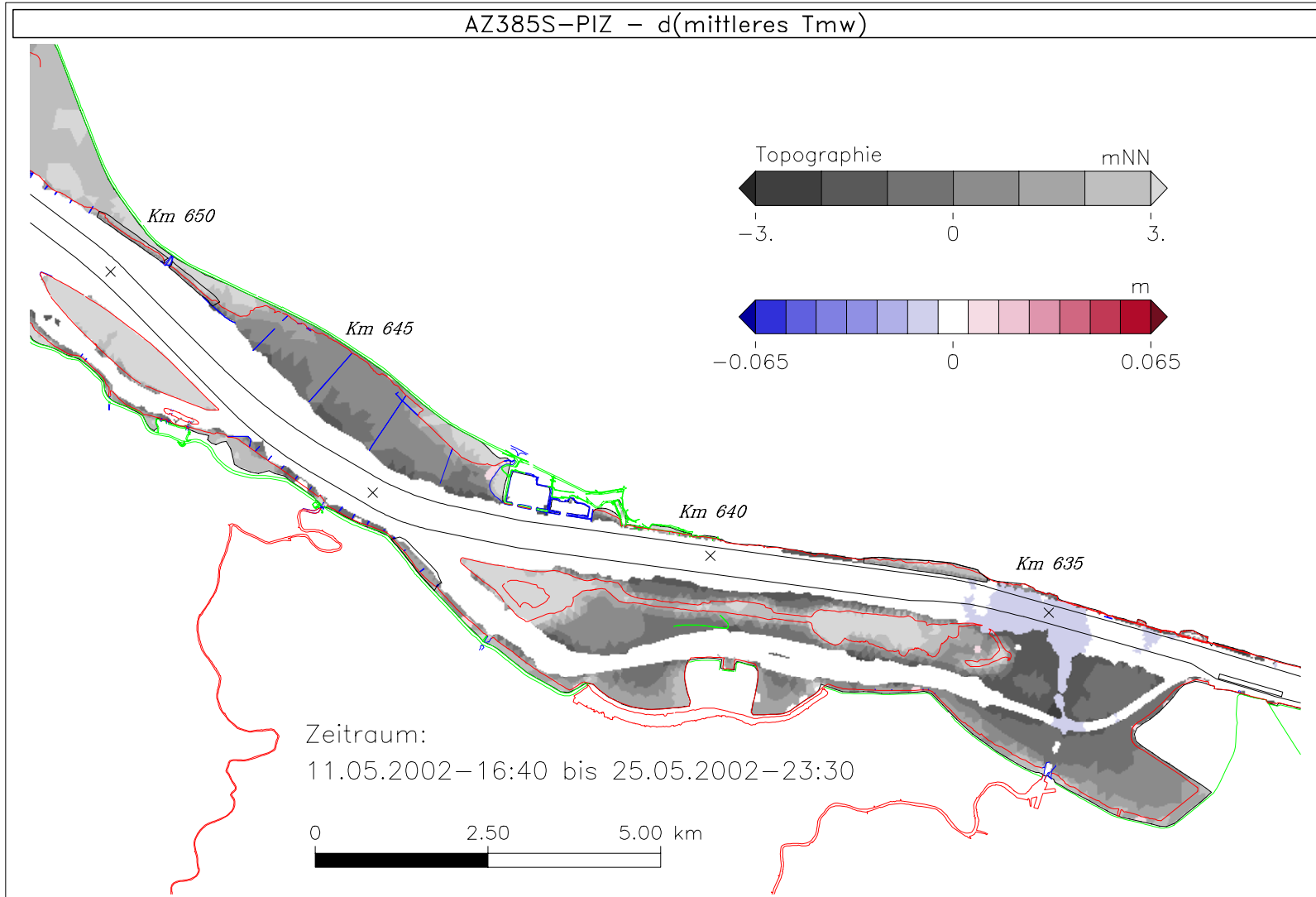


Bild 120: Differenz des Tidemittelwassers (AZ385S - PIZ) bei niedrigem Oberwasser, Teilgebiet 3

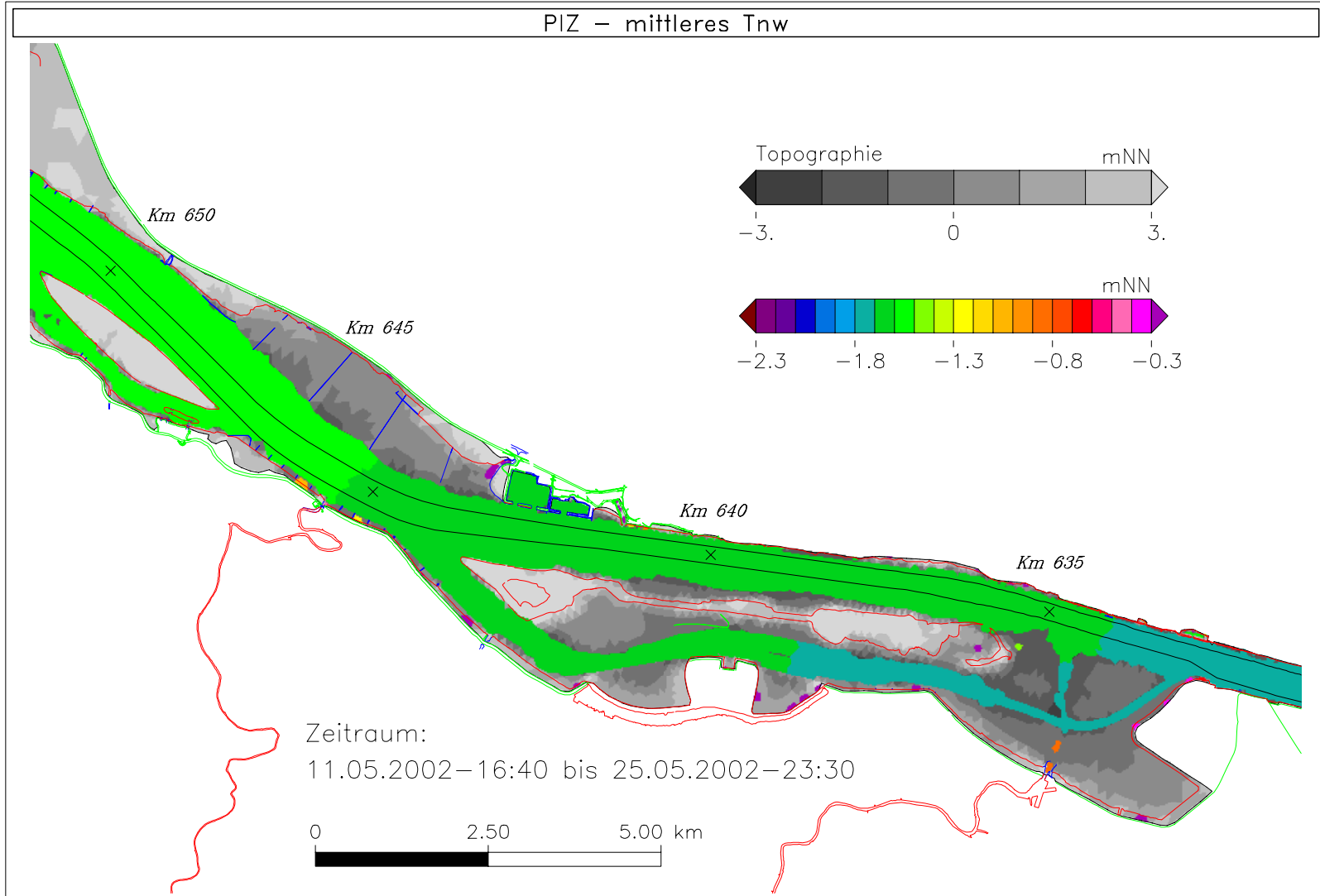
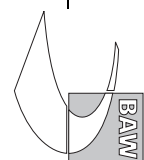


Bild 121: Tideniedrigwasser bei niedrigem Oberwasser, Teilgebiet 3



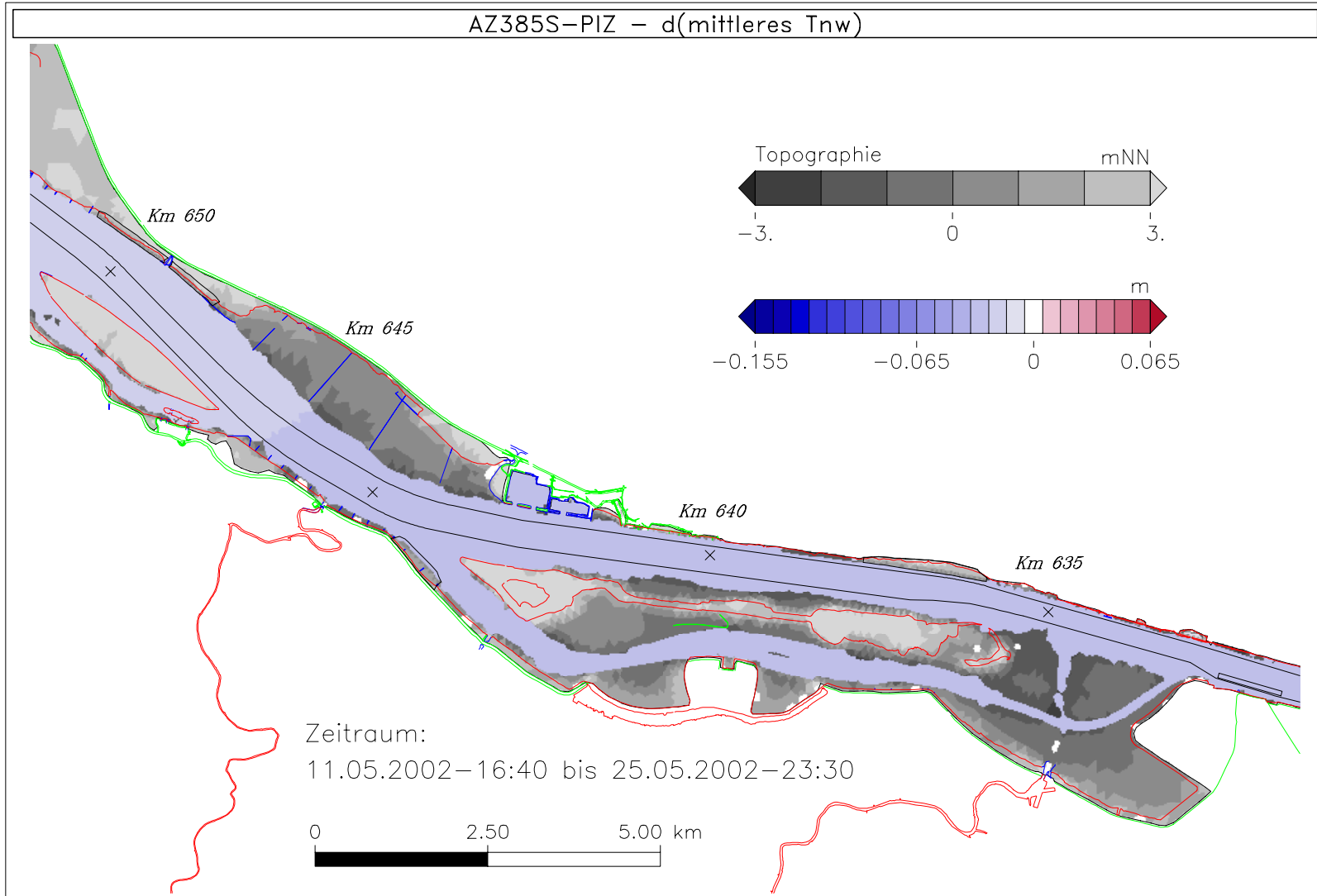


Bild 122: Differenz des Tideniedrigwassers (AZ385S - PIZ) bei niedrigem Oberwasser, Teilgebiet 3

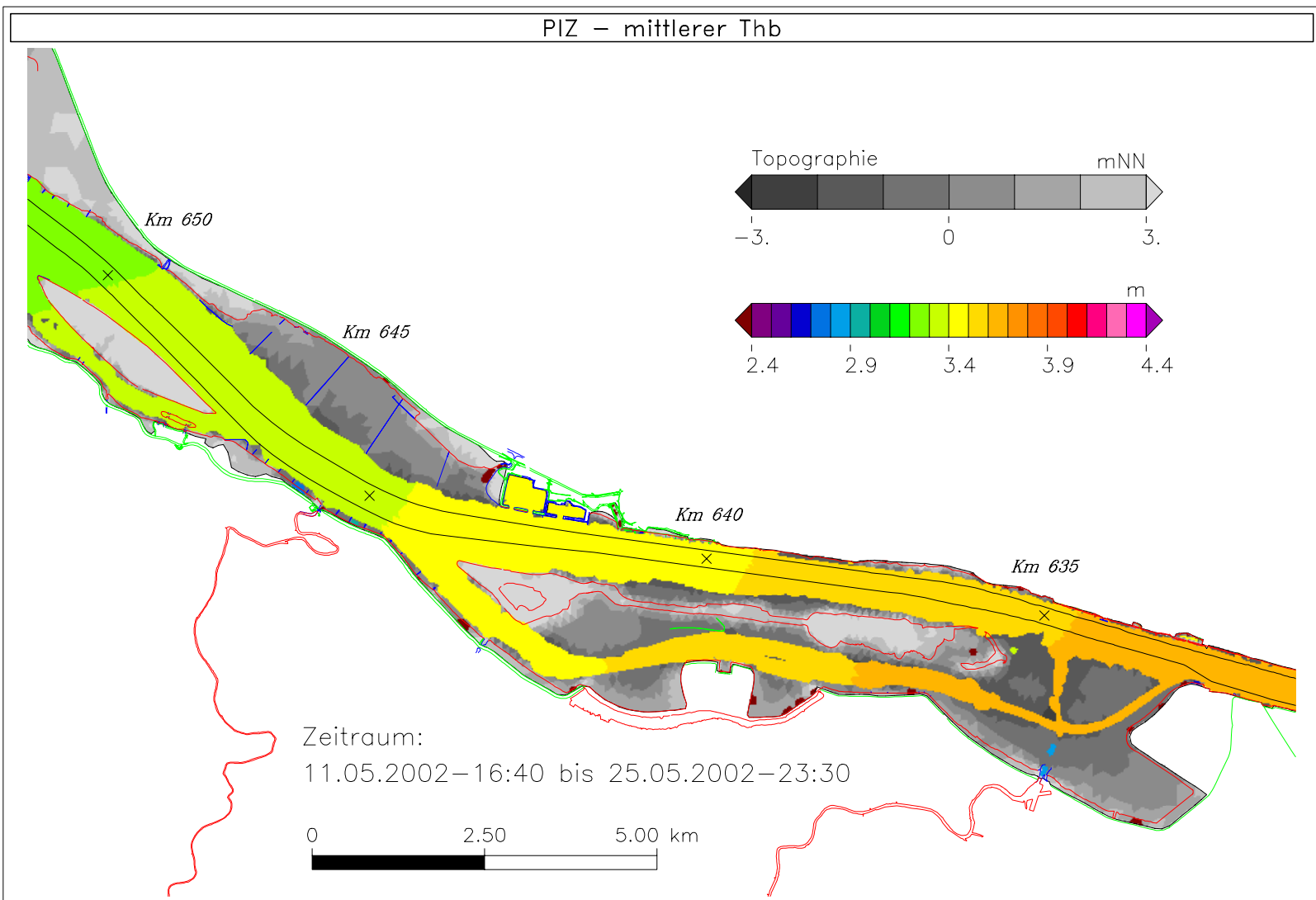
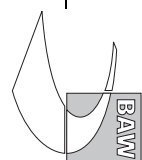


Bild 123: Tidehub bei niedrigem Oberwasser, Teilgebiet 3



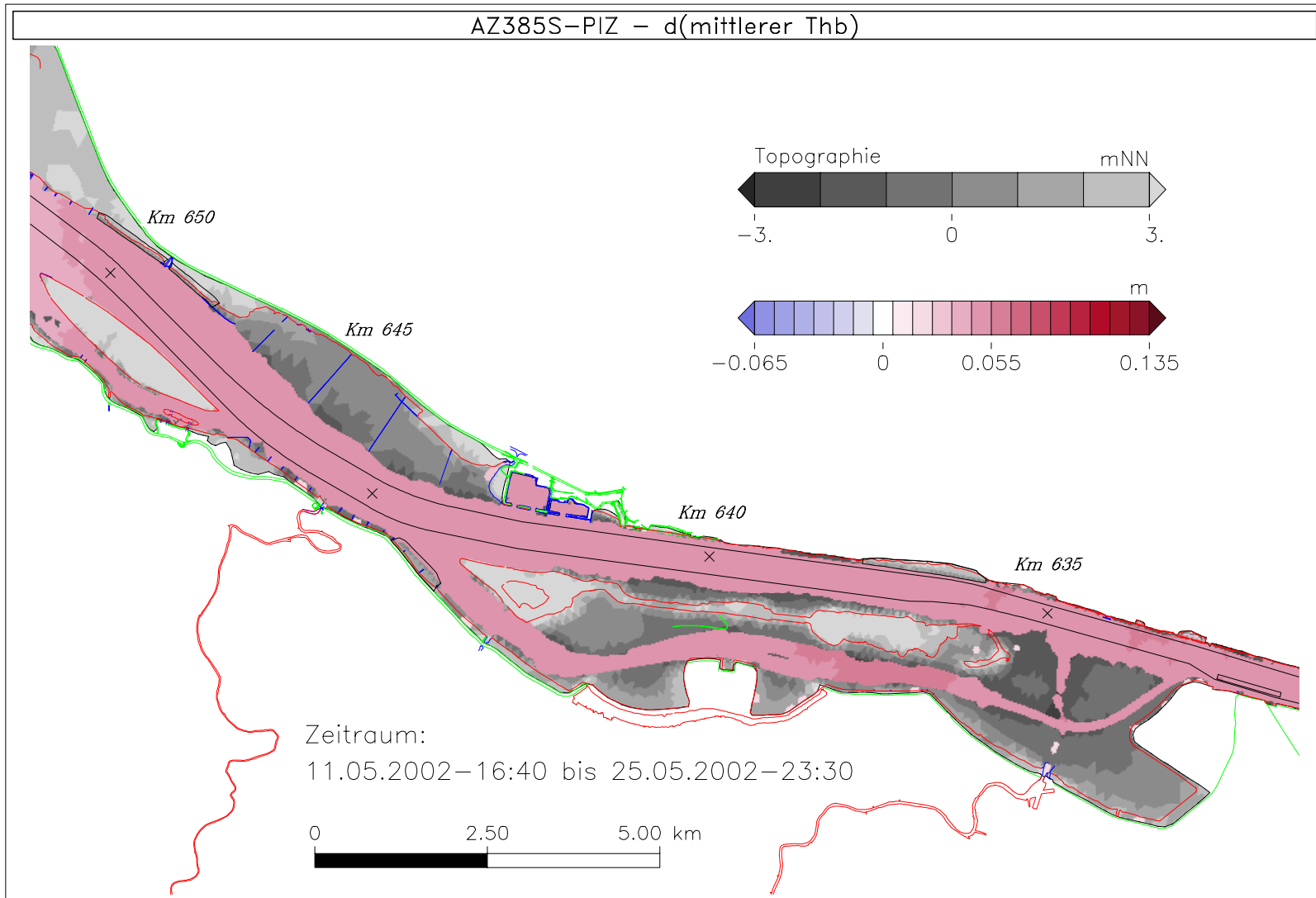
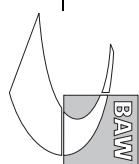


Bild 124: Differenz des Tidehubs (AZ385S - PIZ) bei niedrigem Oberwasser, Teilgebiet 3



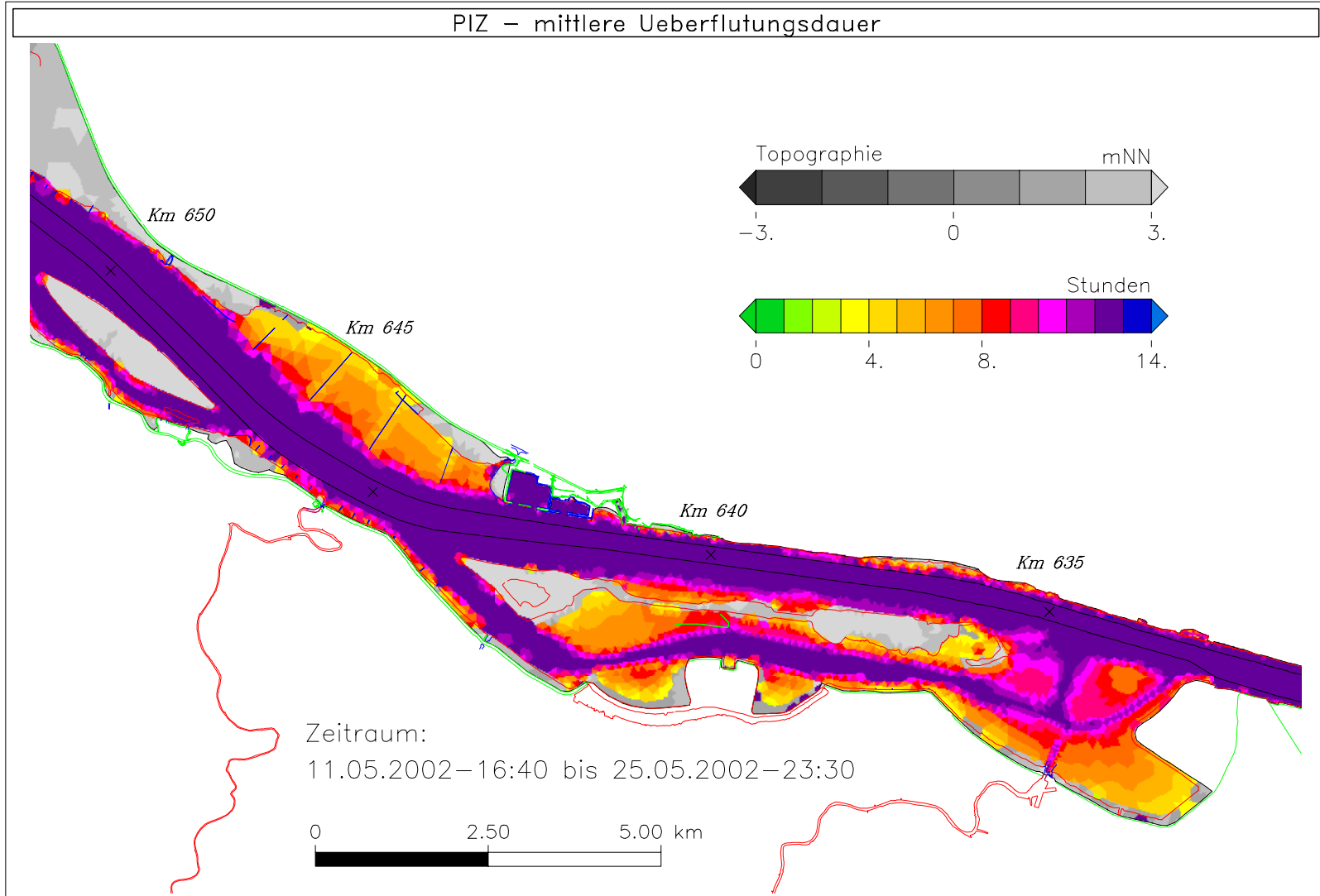


Bild 125: Überflutungsdauer bei niedrigem Oberwasser, Teilgebiet 3

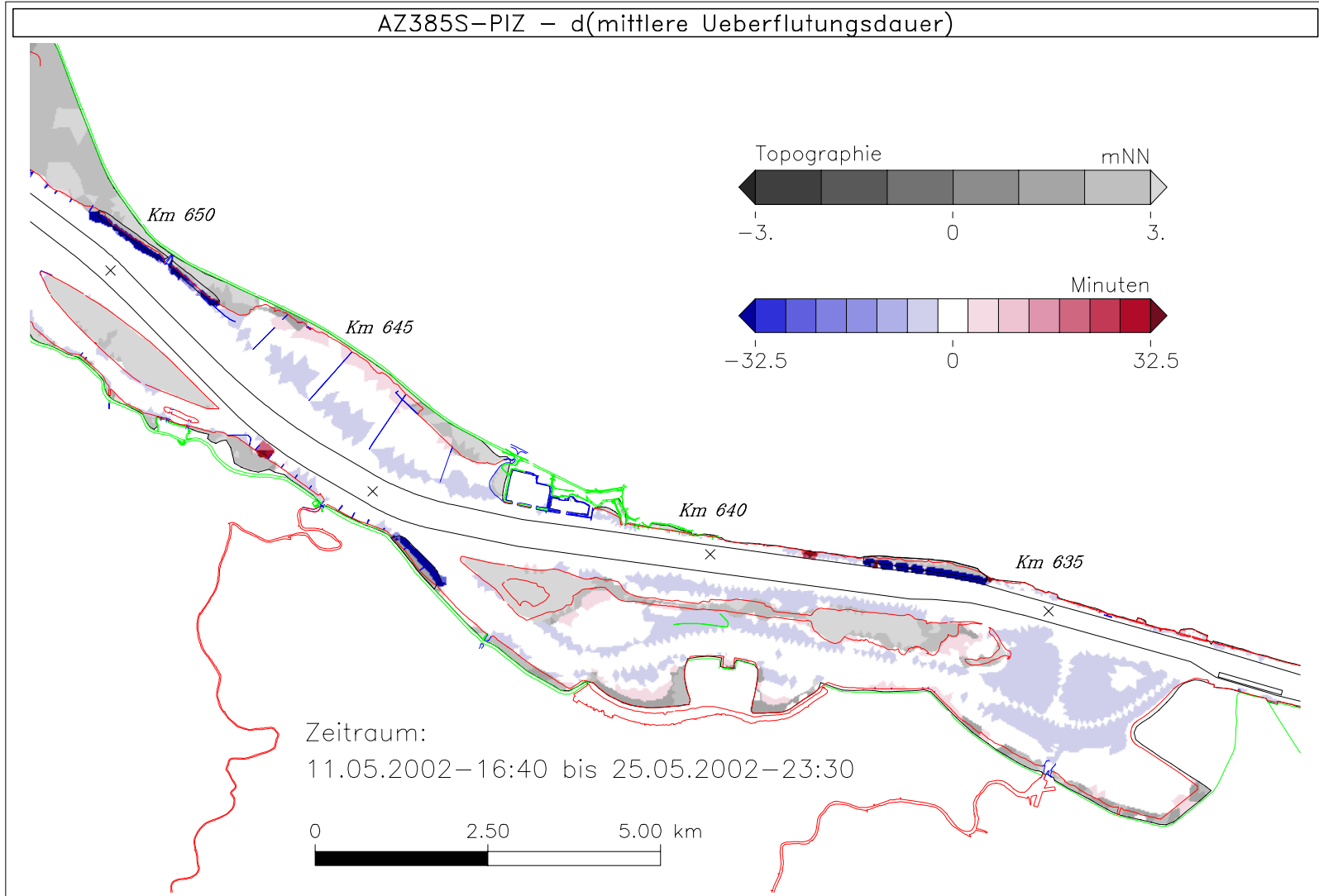
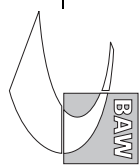


Bild 126: Differenz der Überflutungsdauer (AZ385S - PIZ) bei niedrigem Oberwasser, Teilgebiet 3



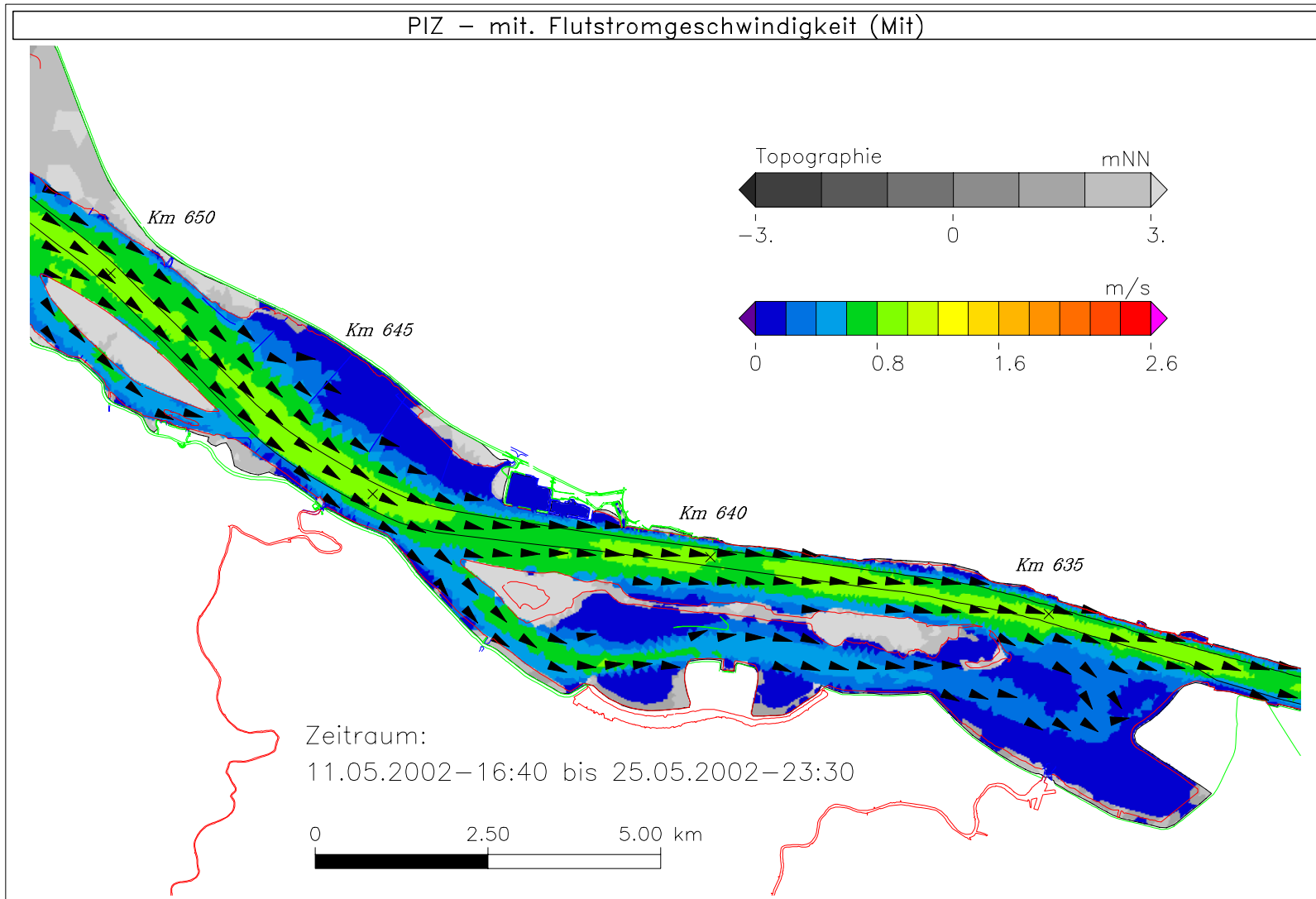


Bild 127: Mittlere Flutstromgeschwindigkeit bei niedrigem Oberwasser, Teilgebiet 3

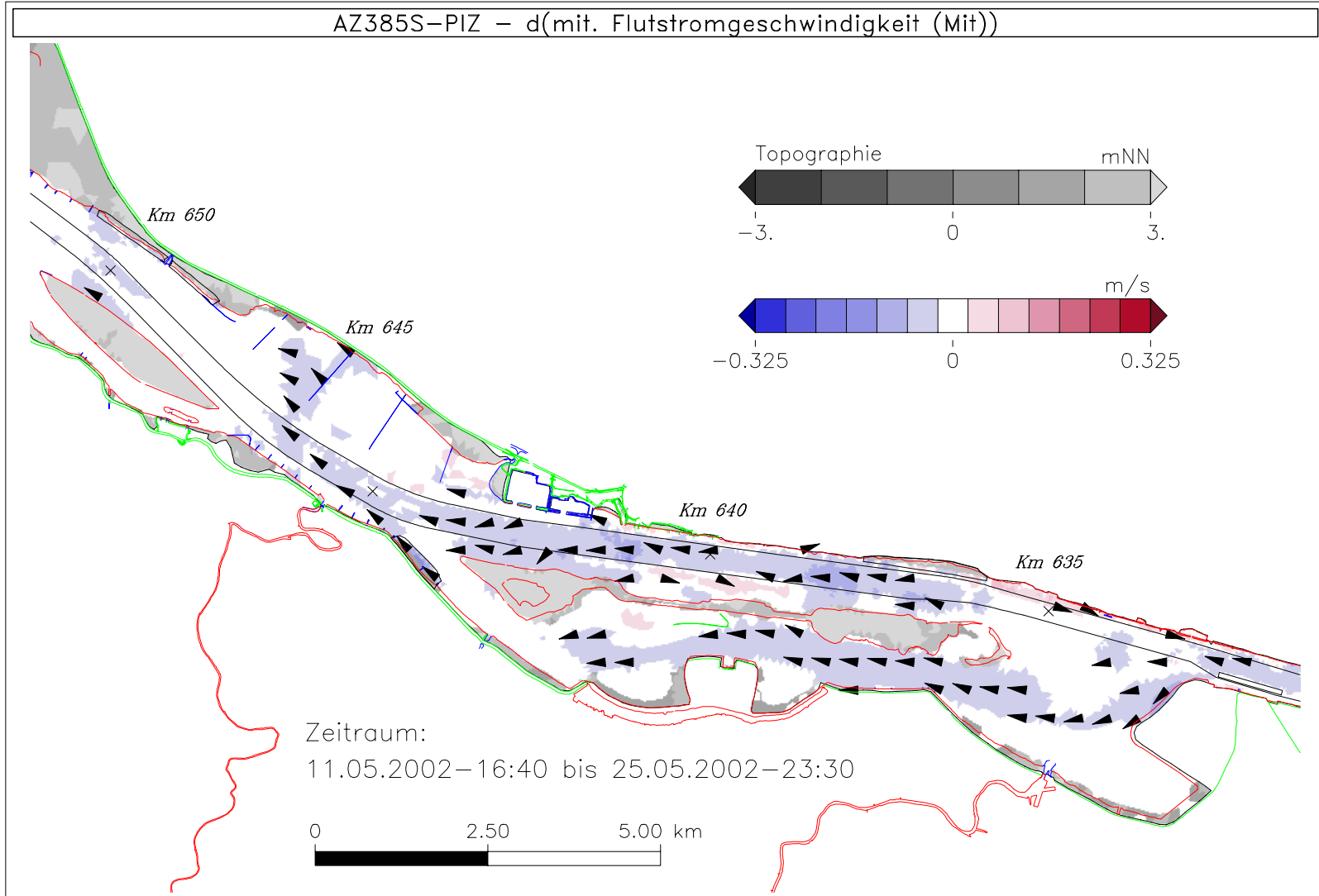
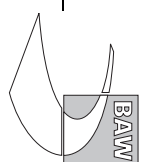


Bild 128: Differenz der mittleren Flutstromgeschwindigkeit (AZ385S - PIZ) bei niedrigem Oberwasser, Teilgebiet 3



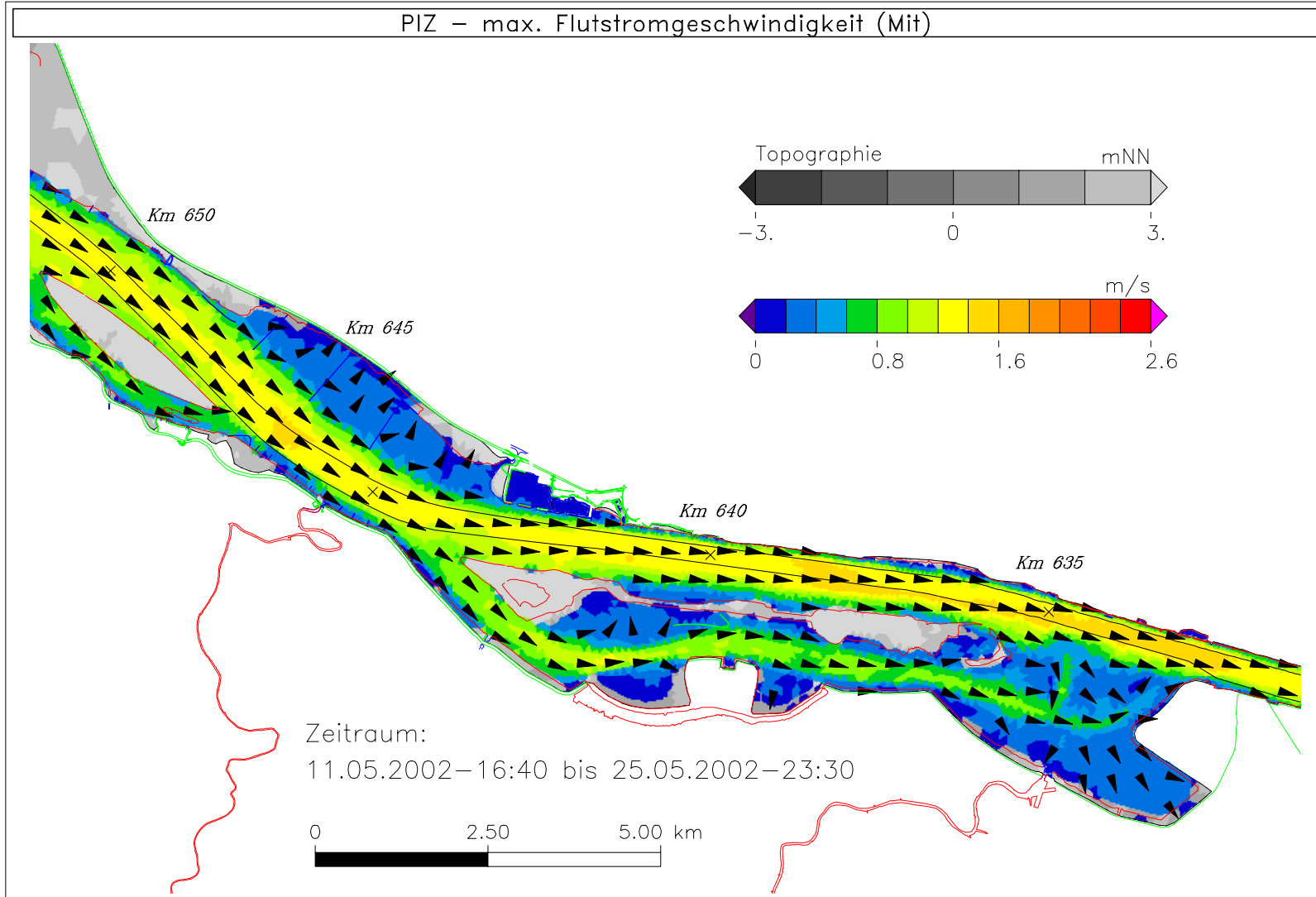


Bild 129: Maximale Flutstromgeschwindigkeit bei niedrigem Oberwasser, Teilgebiet 3

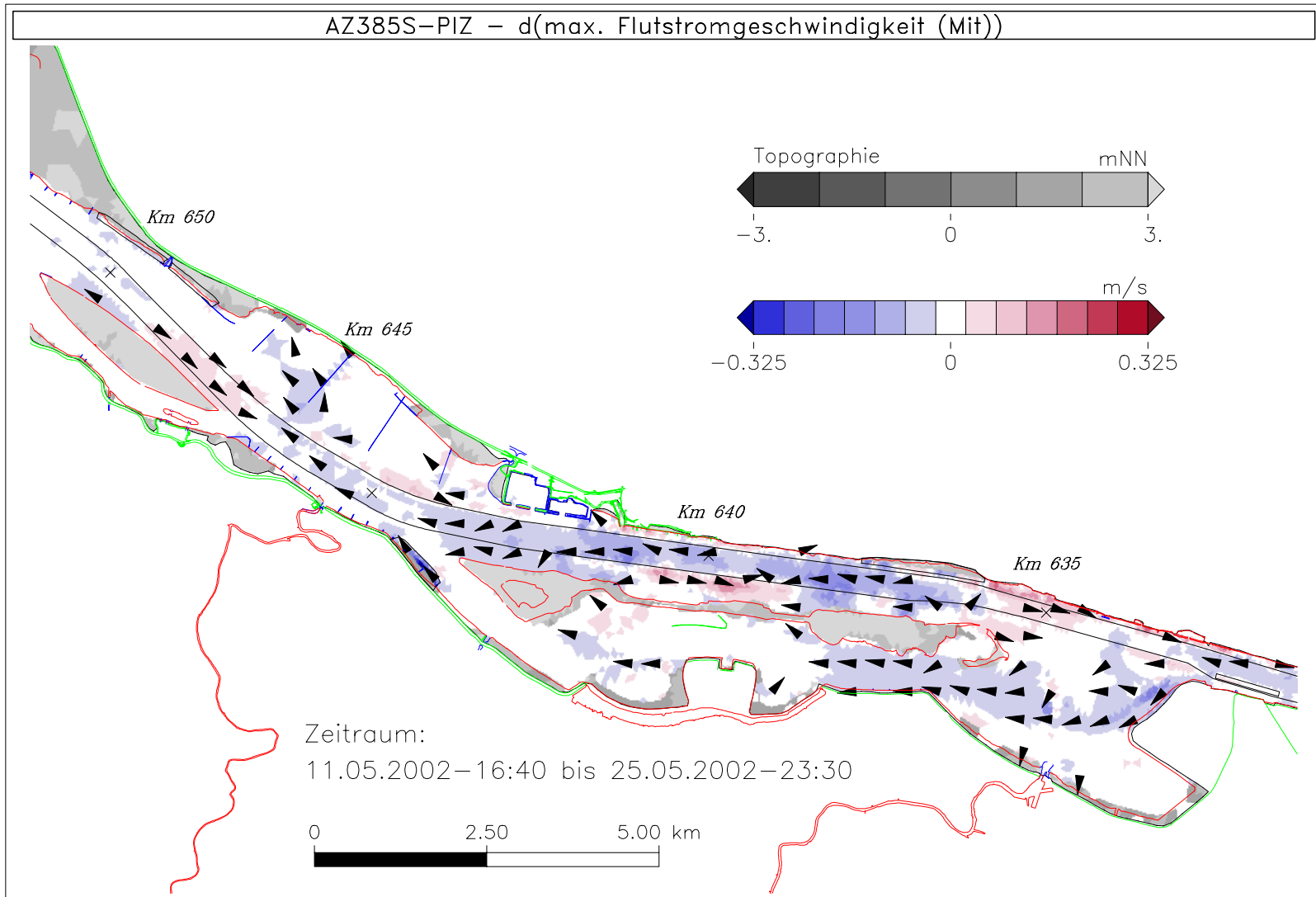


Bild 130: Differenz der maximalen Flutstromgeschwindigkeit (AZ385S - PIZ) bei niedrigem Oberwasser, Teilgebiet 3

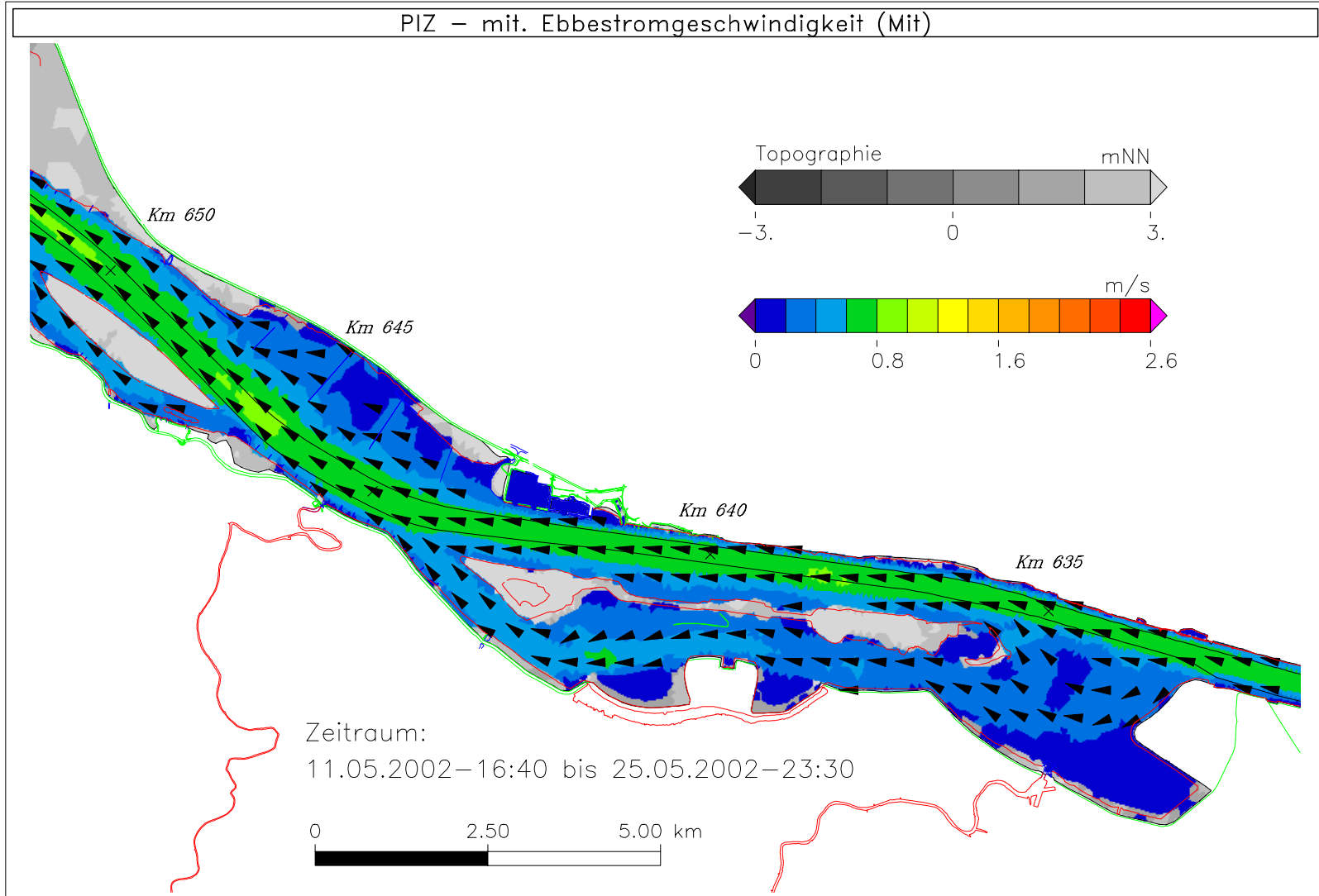


Bild 131: Mittlere Ebbestromgeschwindigkeit bei niedrigem Oberwasser, Teilgebiet 3

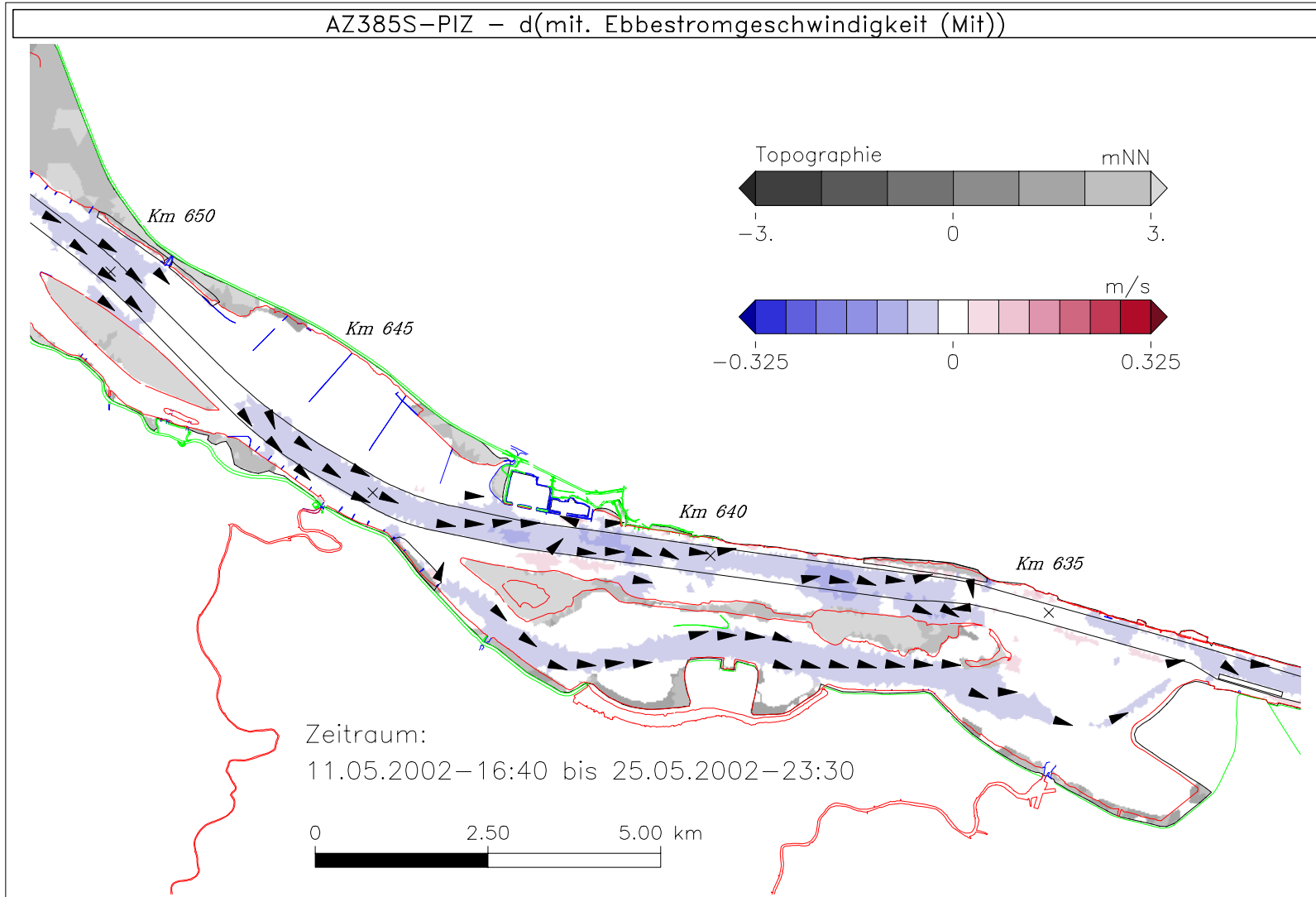
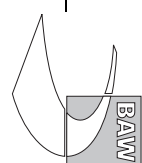


Bild 132: Differenz der mittleren Ebbestromgeschwindigkeit (AZ385S - PIZ) bei niedrigem Oberwasser, Teilgebiet 3



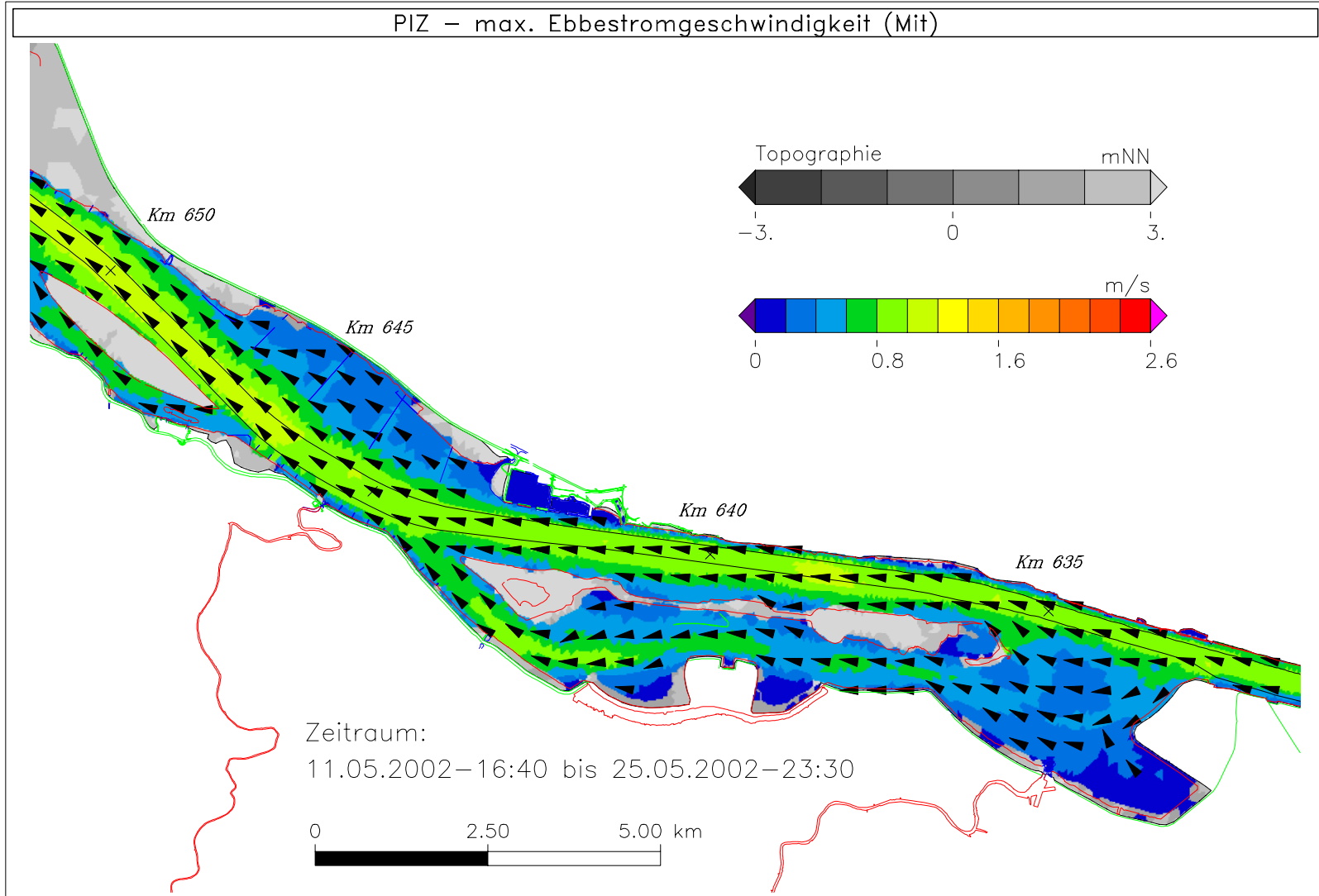


Bild 133: Maximale Ebbestromgeschwindigkeit bei niedrigem Oberwasser, Teilgebiet 3

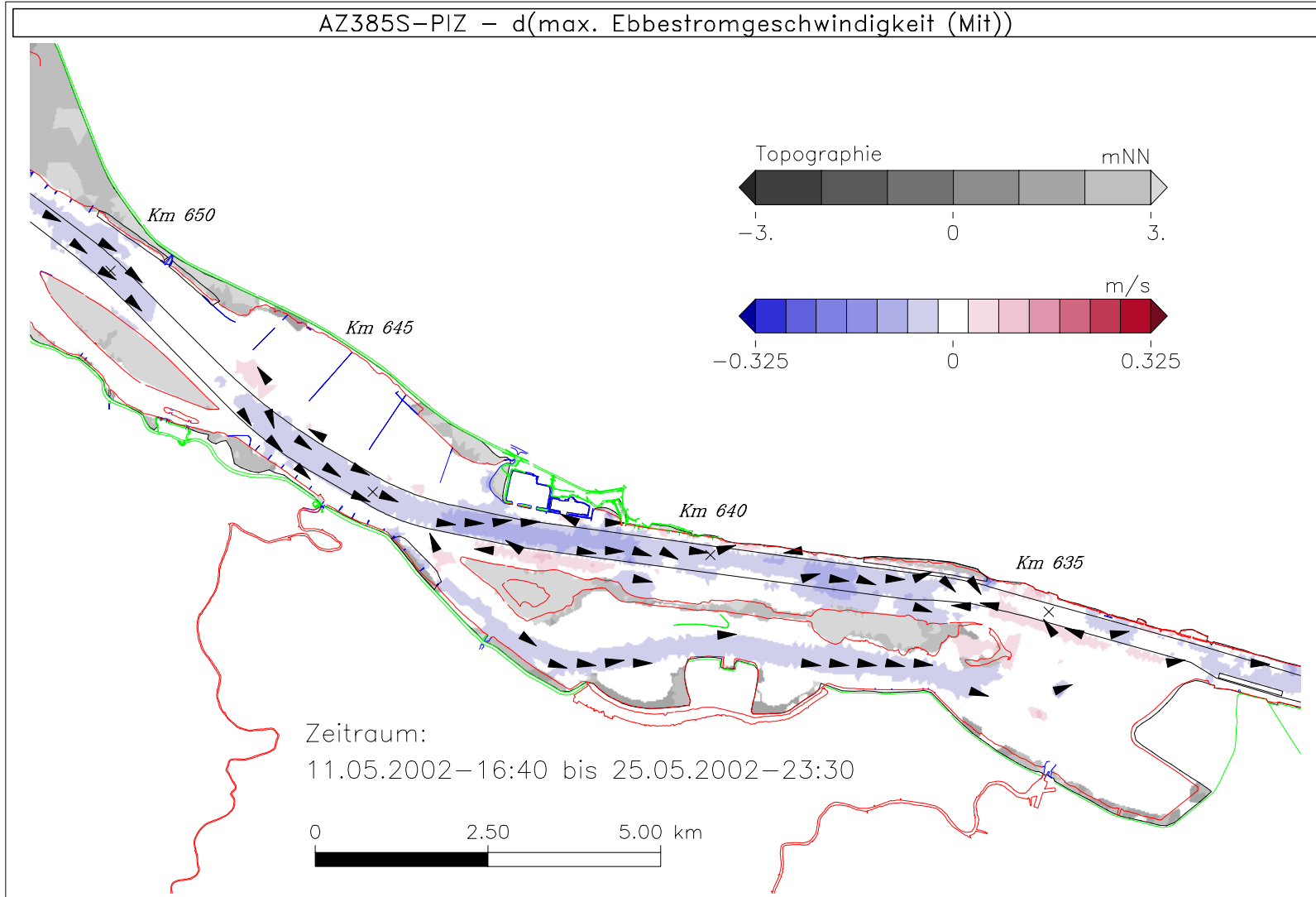


Bild 134: Differenz der maximalen Ebbestromgeschwindigkeit (AZ385S - PIZ) bei niedrigem Oberwasser, Teilgebiet 3

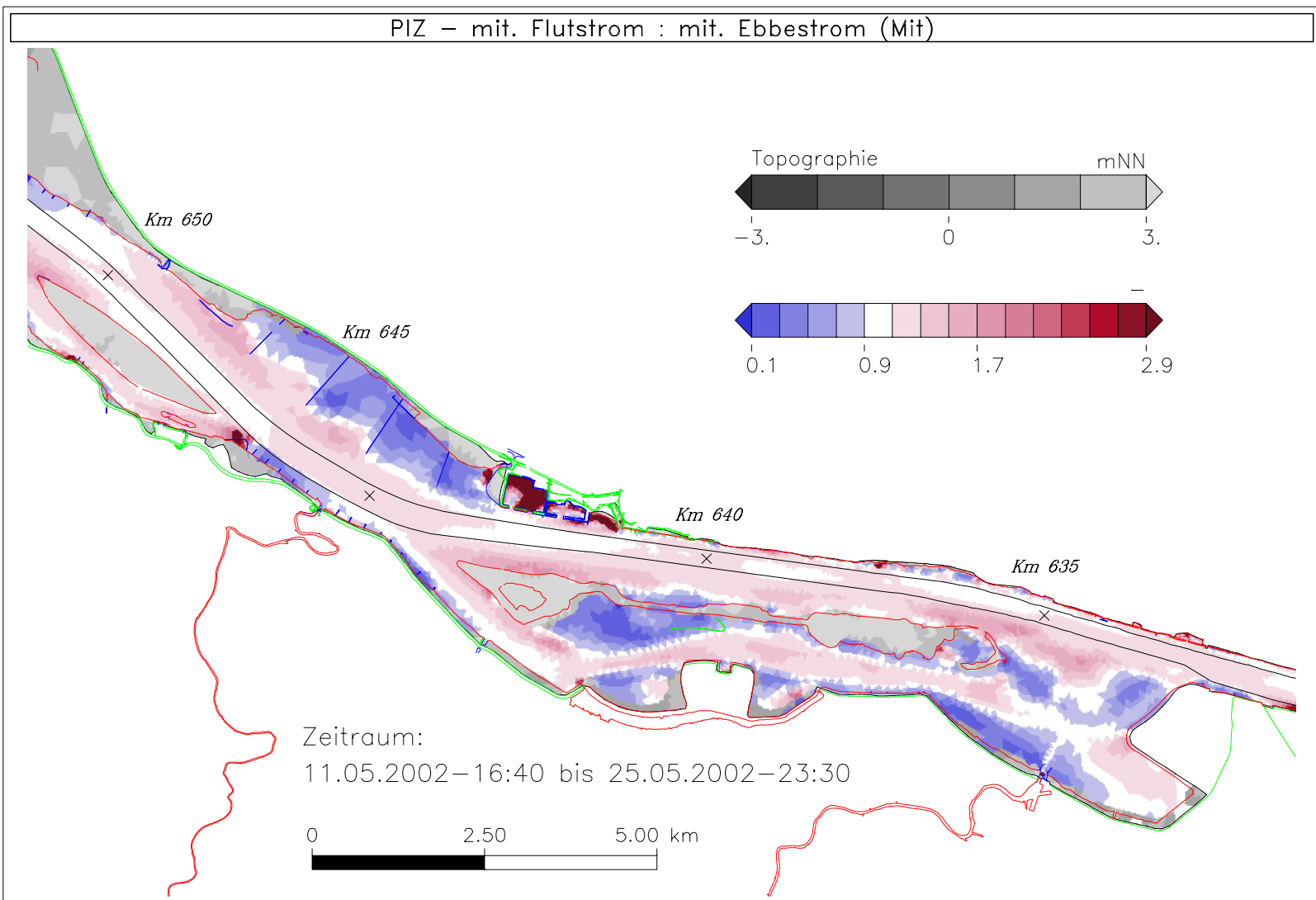
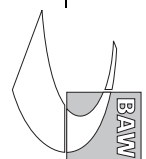


Bild 135: Verhältnis der mittleren Flut- zu Ebbestromgeschwindigkeit bei niedrigem Oberwasser, Teilgebiet 3

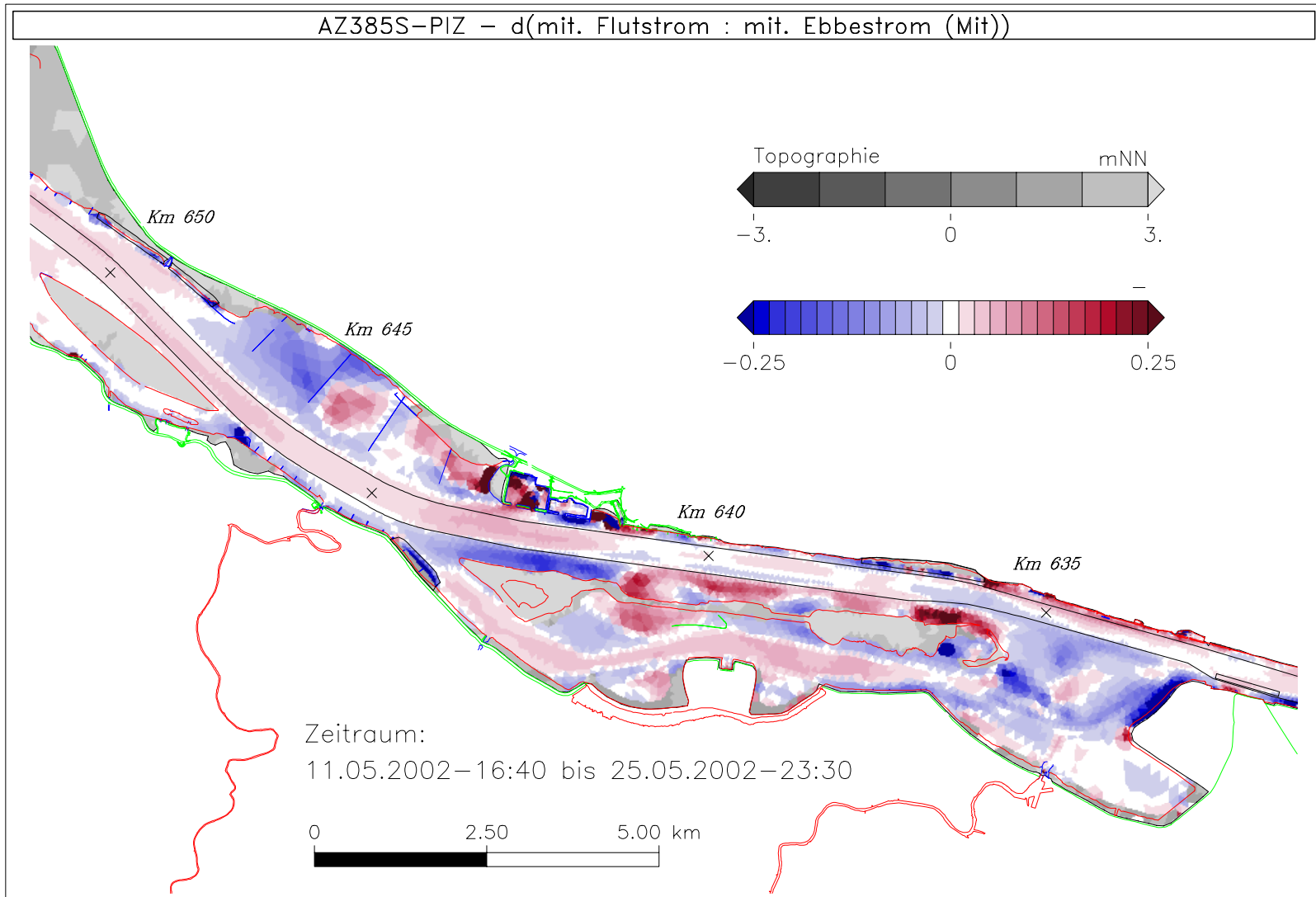


Bild 136: Differenz des Verhältnis der mittleren Flut- zu Ebbestromgeschwindigkeit (AZ385S - PIZ) bei niedrigem Oberwasser, Teilgebiet 3

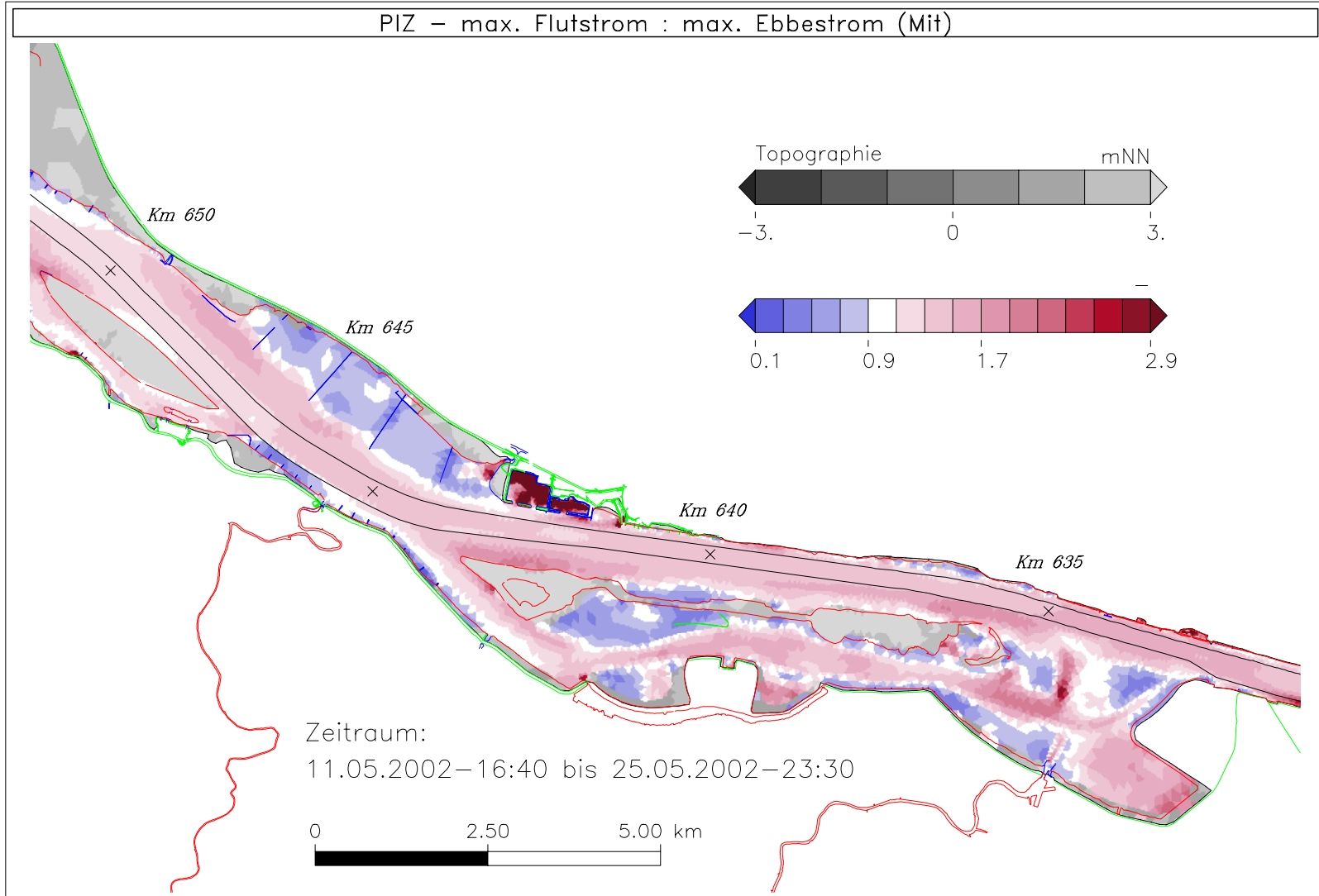


Bild 137: Verhältnis der maximalen Flut- zu Ebbstromgeschwindigkeit bei niedrigem Oberwasser, Teilgebiet 3

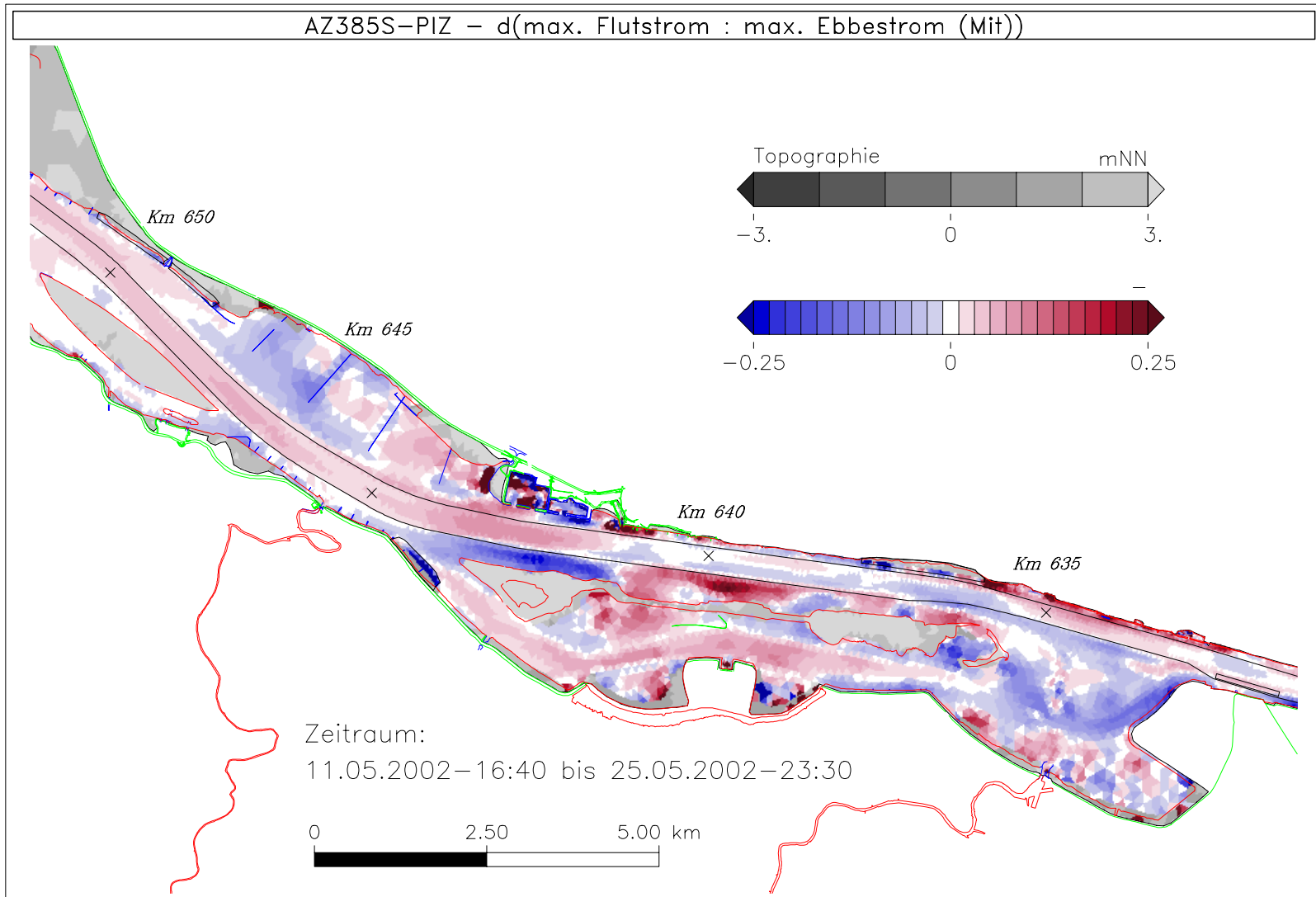


Bild 138: Differenz des Verhältnis der maximalen Flut- zu Ebbestromgeschwindigkeit (AZ385S - PIZ) bei niedrigem Oberwasser, Teilgebiet 3

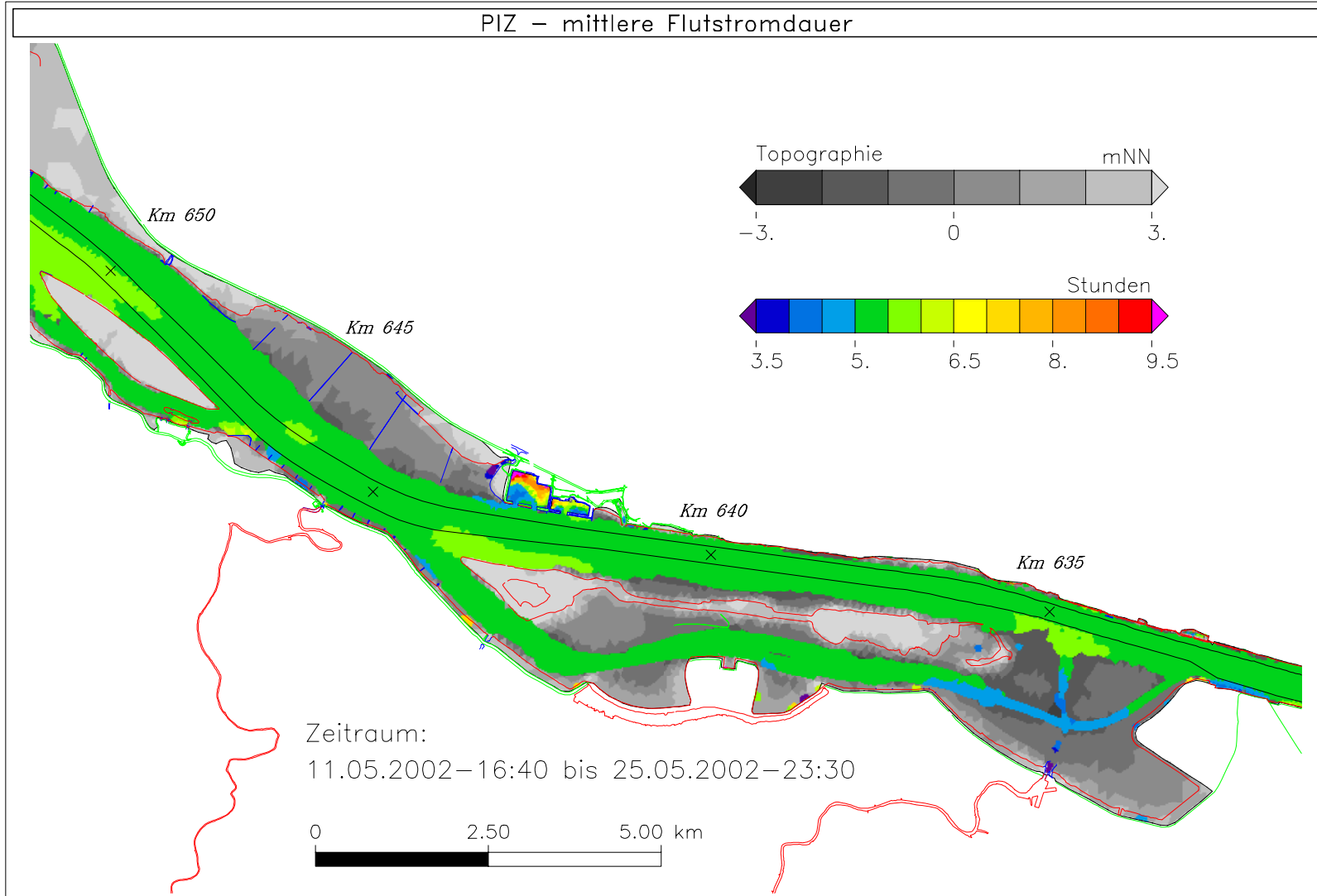


Bild 139: Mittlere Flutstromdauer bei niedrigem Oberwasser, Teilgebiet 3

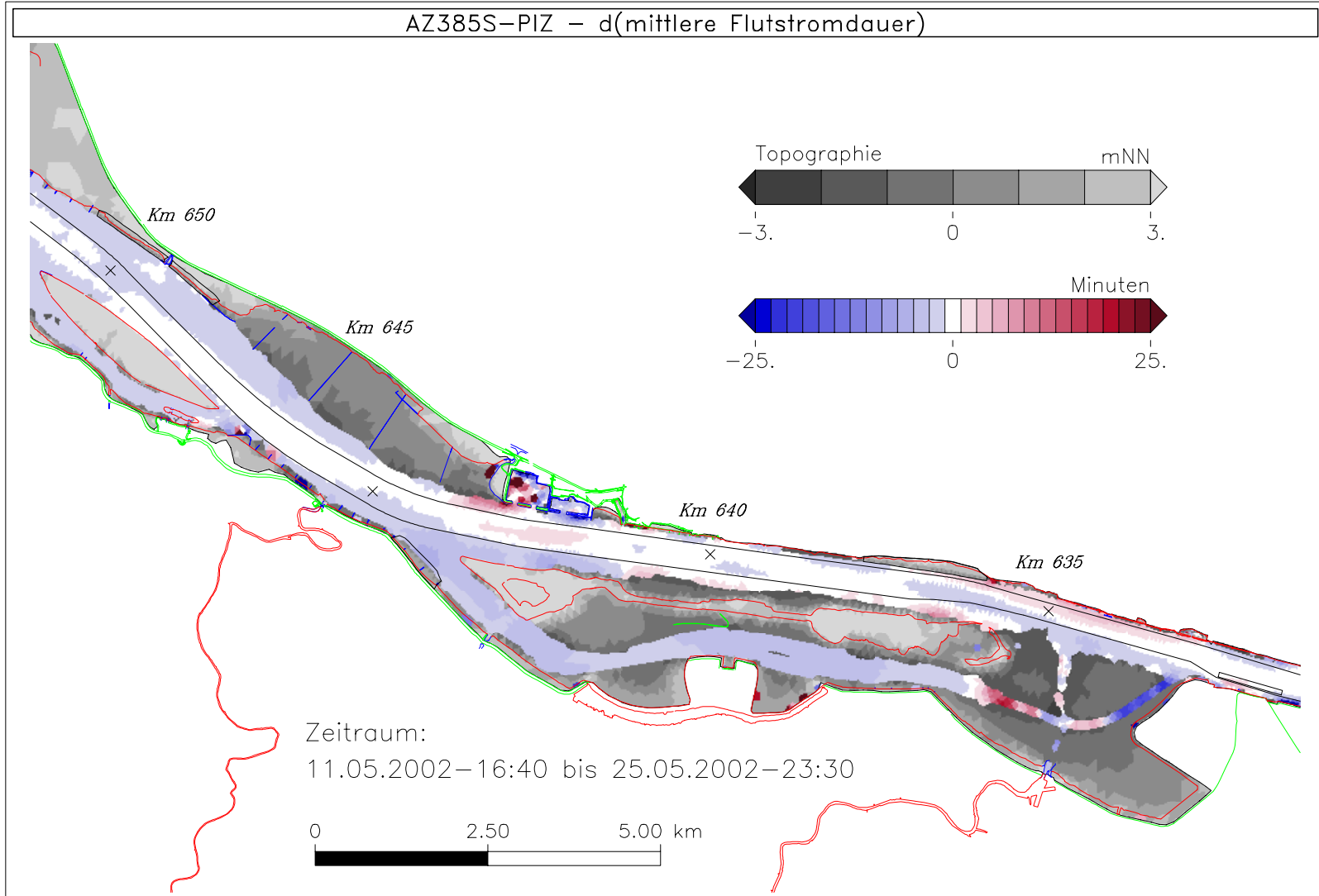


Bild 140: Differenz der mittleren Flutstromdauer (AZ385S - PIZ) bei niedrigem Oberwasser, Teilgebiet 3

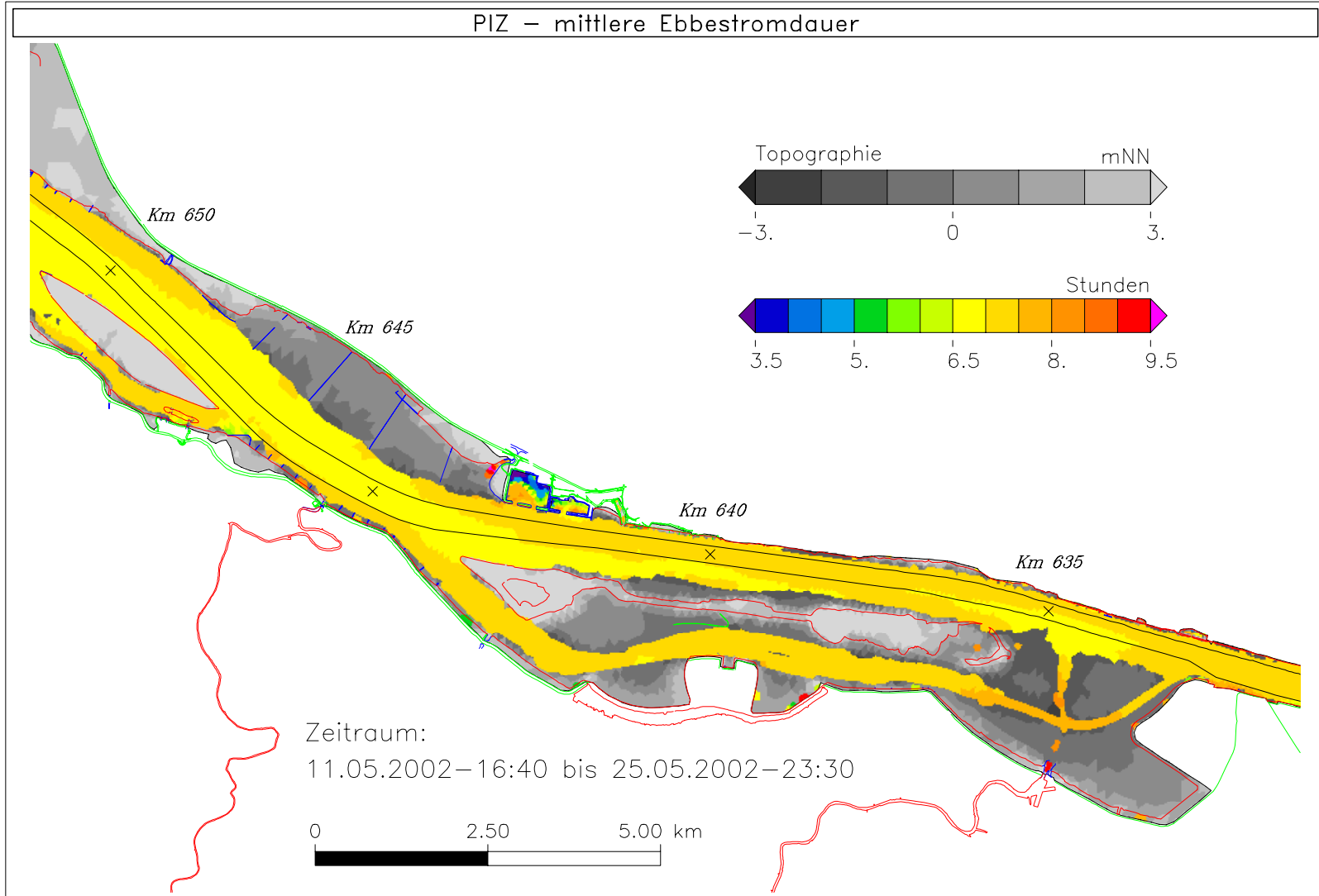


Bild 141: Mittlere Ebbestromdauer bei niedrigem Oberwasser, Teilgebiet 3

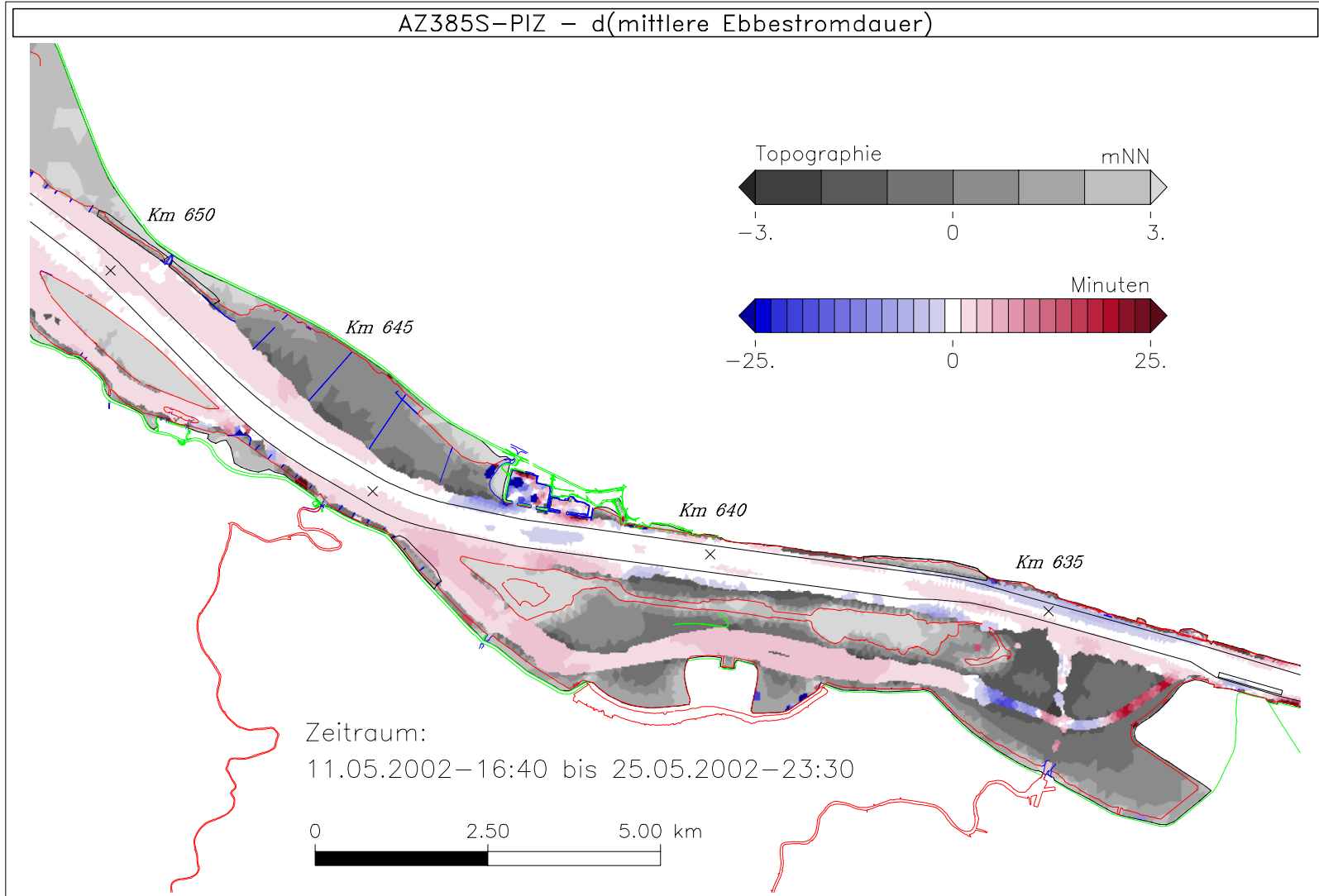


Bild 142: Differenz der mittleren Ebbestromdauer (AZ385S - PIZ) bei niedrigem Oberwasser, Teilgebiet 3

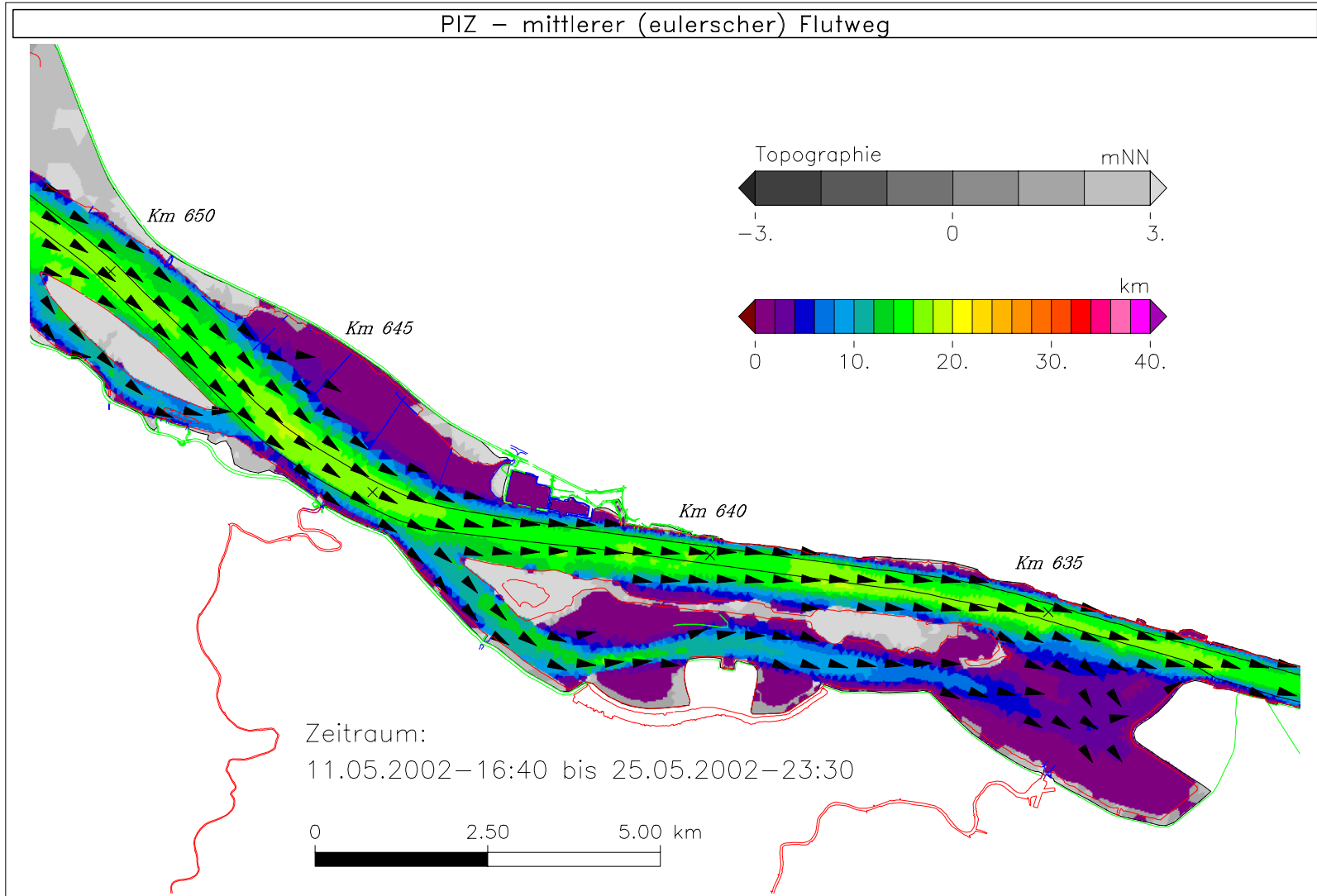


Bild 143: Mittlerer Eulerscher Flutweg bei niedrigem Oberwasser, Teilgebiet 3

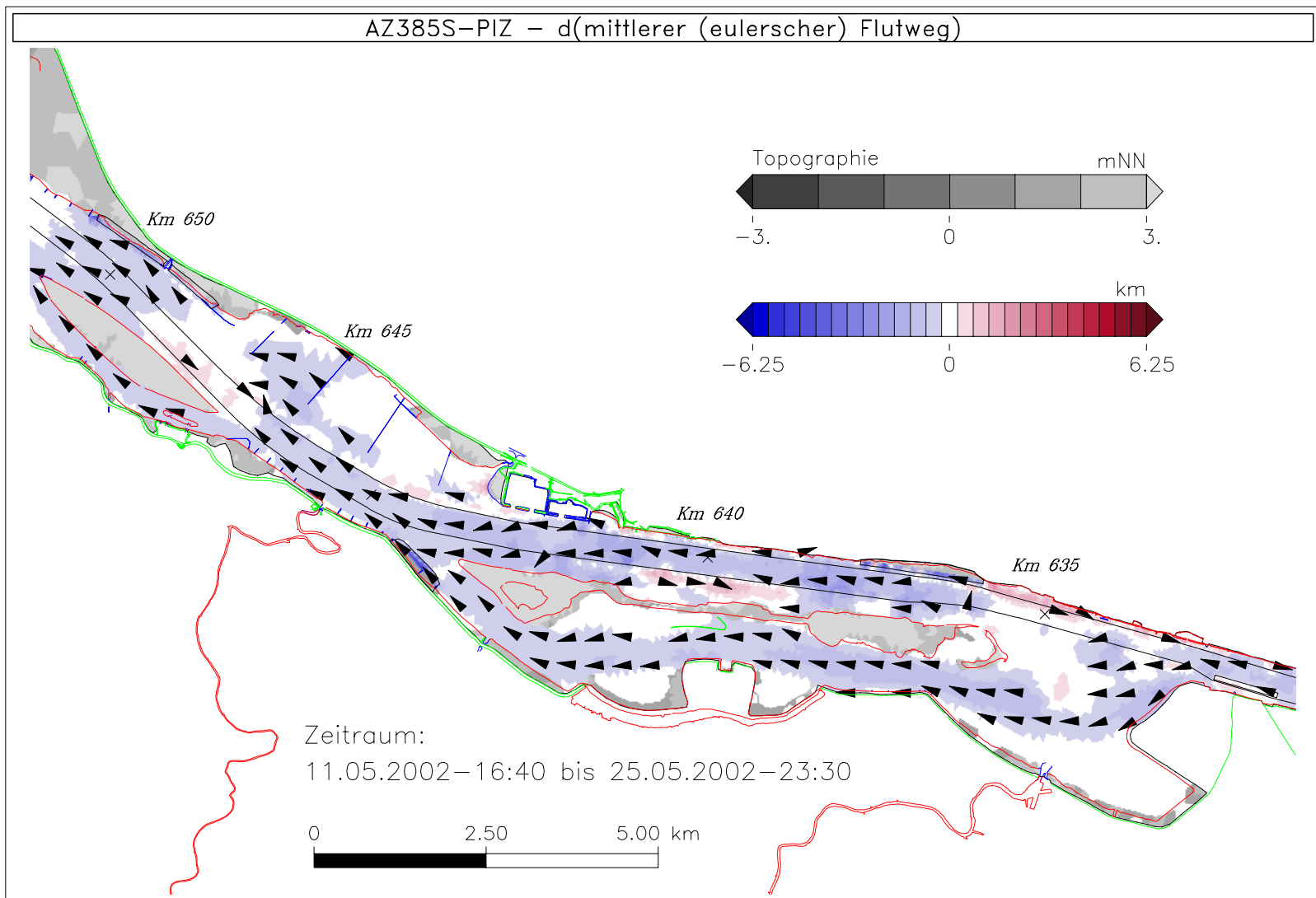


Bild 144: Differenz des mittleren Eulerschen Flutweges (AZ385S - PIZ) bei niedrigem Oberwasser, Teilgebiet 3

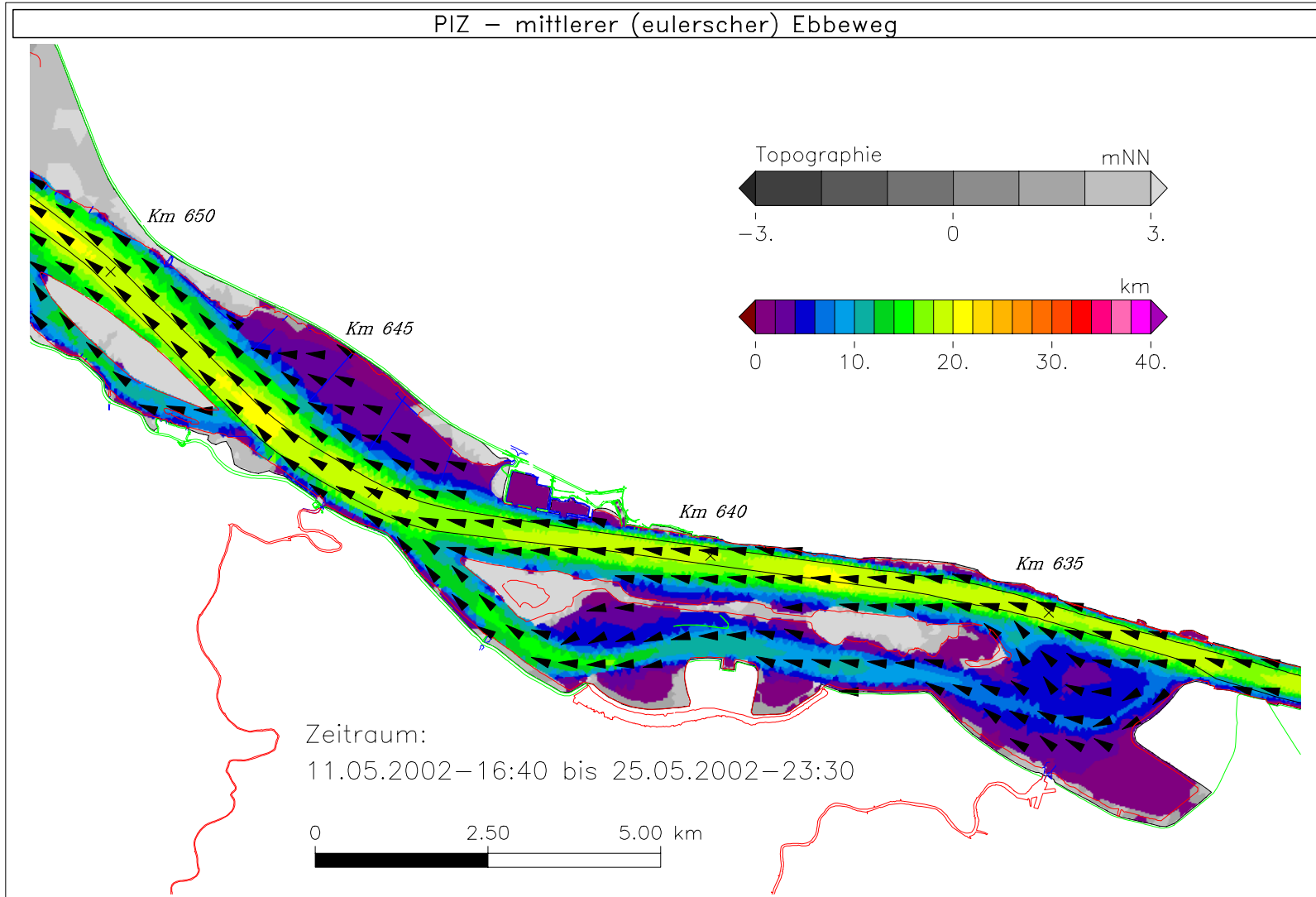


Bild 145: Mittlerer Eulerscher Ebbeweg bei niedrigem Oberwasser, Teilgebiet 3

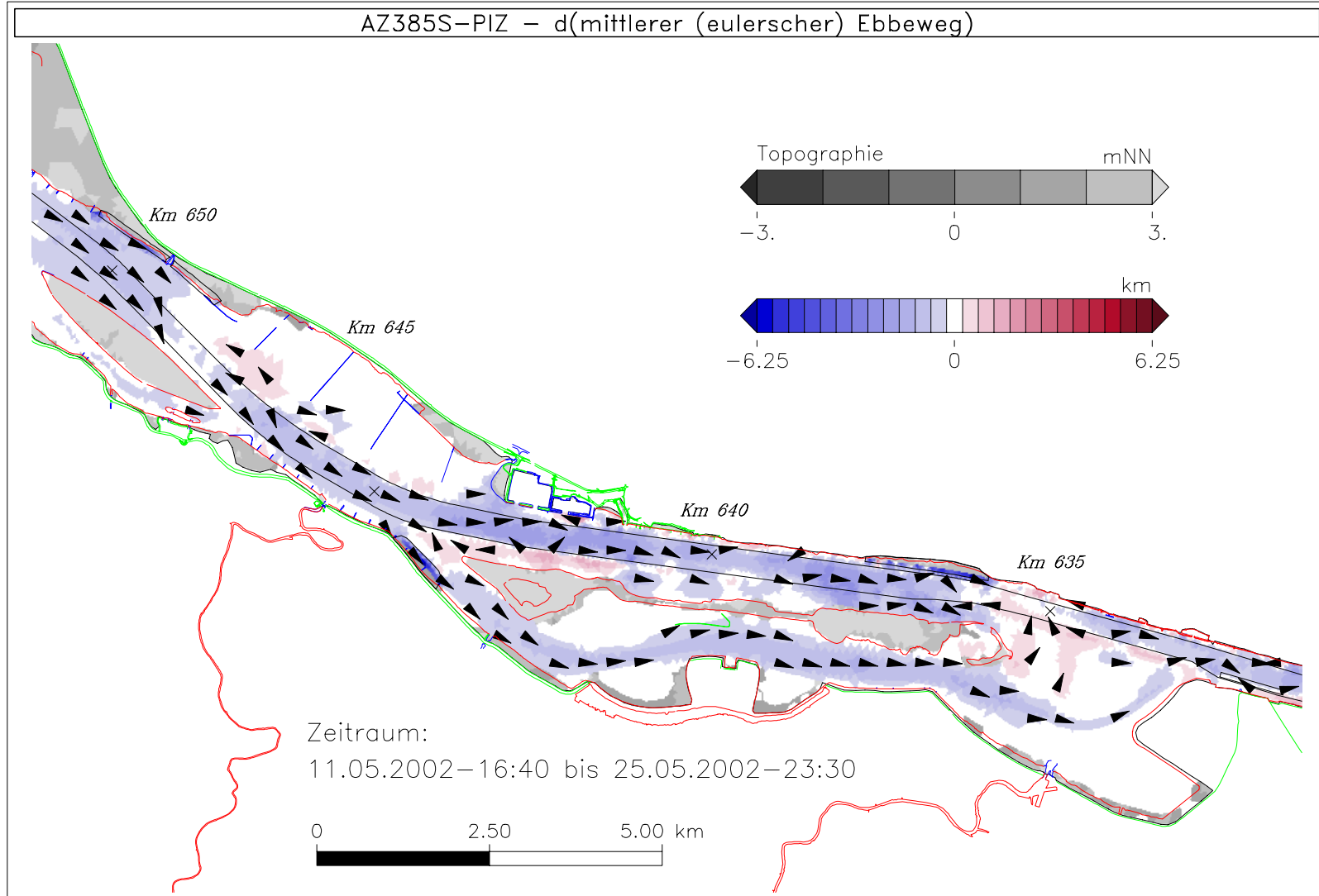


Bild 146: Differenz des mittleren Eulerschen Ebbeweges (AZ385S - PIZ) bei niedrigem Oberwasser, Teilgebiet 3

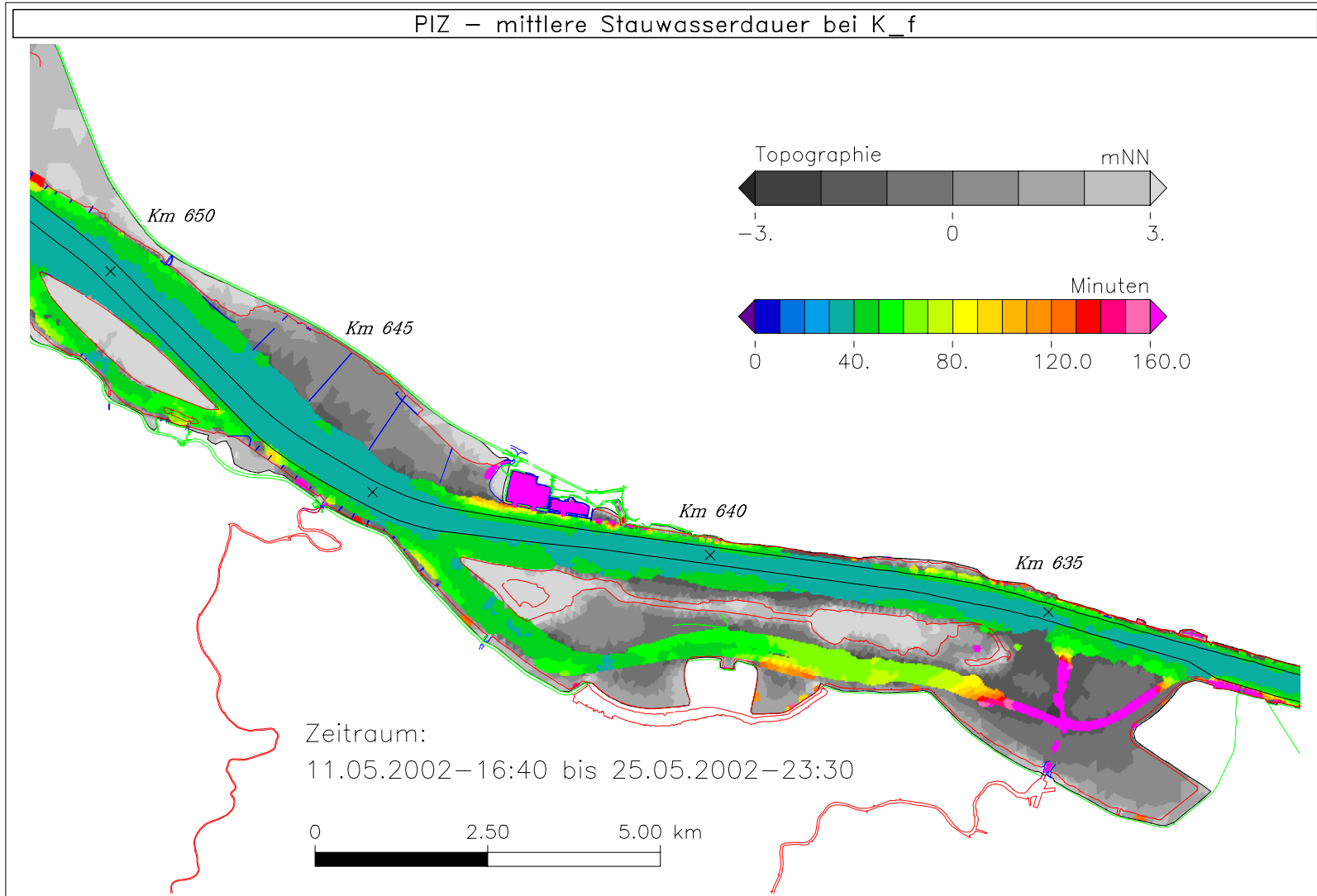
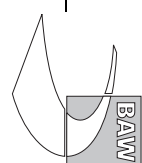


Bild 147: Mittlere Stauwasserdauer bei Kenterpunkt Flut bei niedrigem Oberwasser, Teilgebiet 3



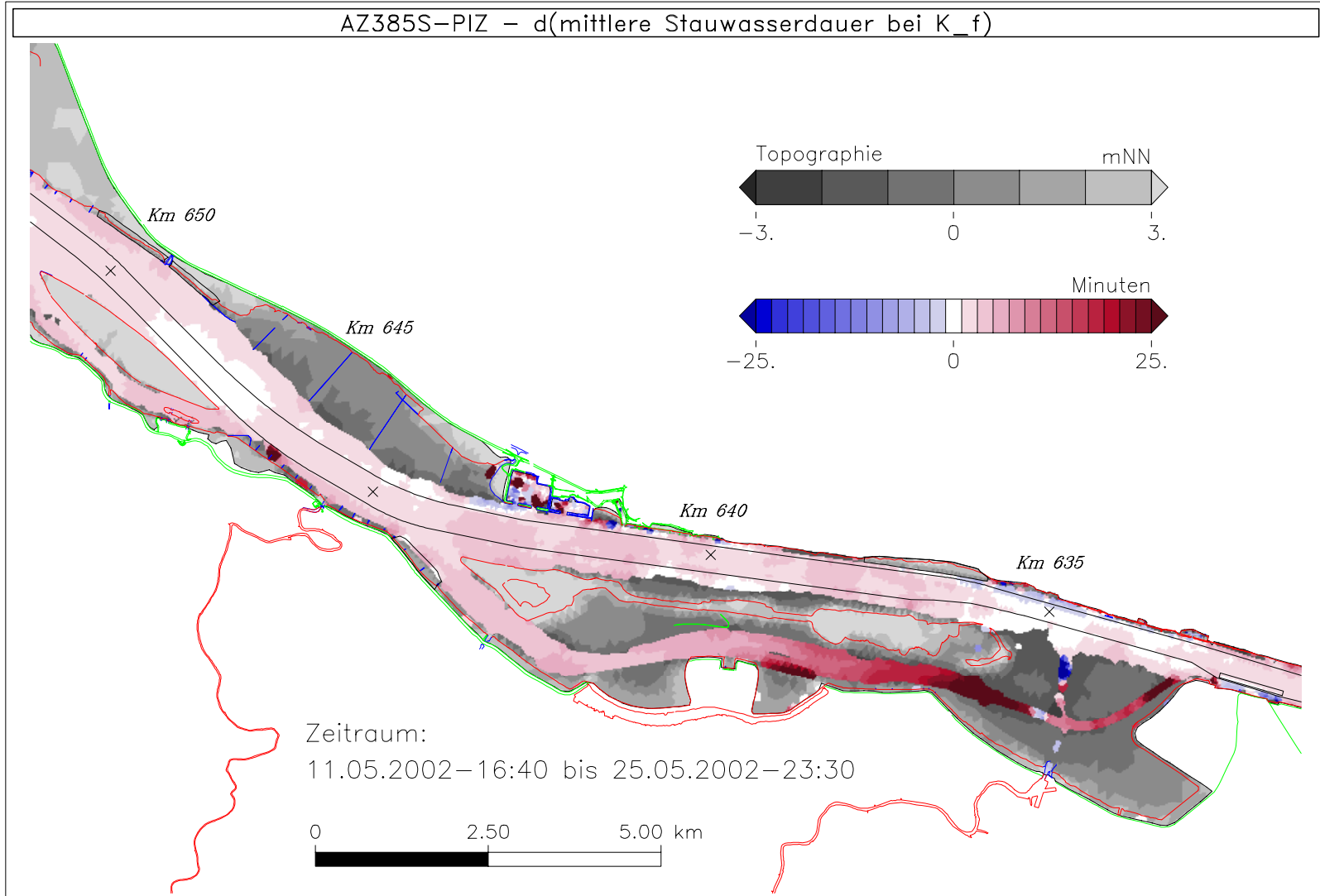


Bild 148: Differenz der mittleren Stauwasserdauer bei Kenterpunkt Flut (AZ385S - PIZ) bei niedrigem Oberwasser, Teilgebiet 3

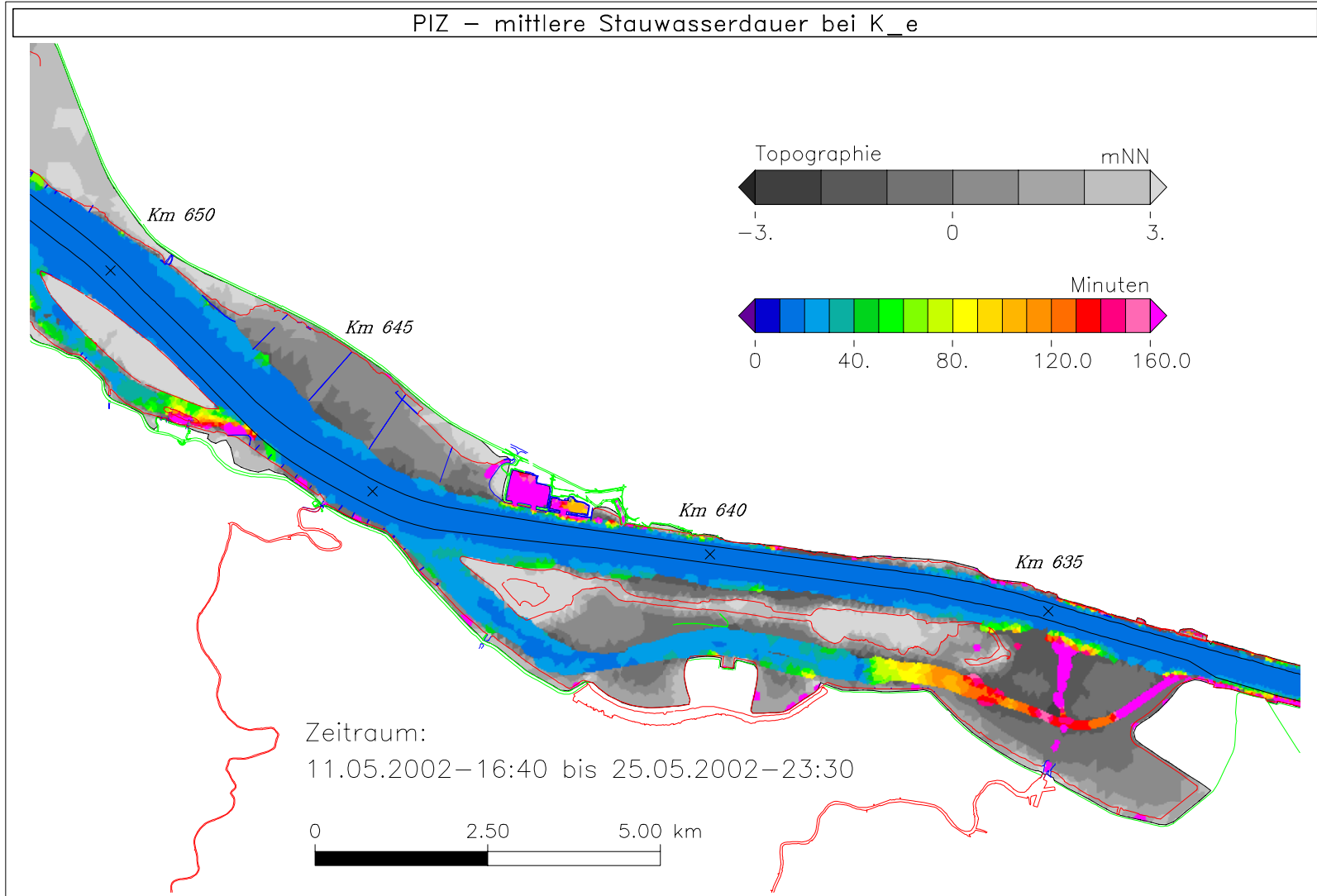


Bild 149: Mittlere Stauwasserdauer bei Kenterpunkt Ebbe bei niedrigem Oberwasser, Teilgebiet 3

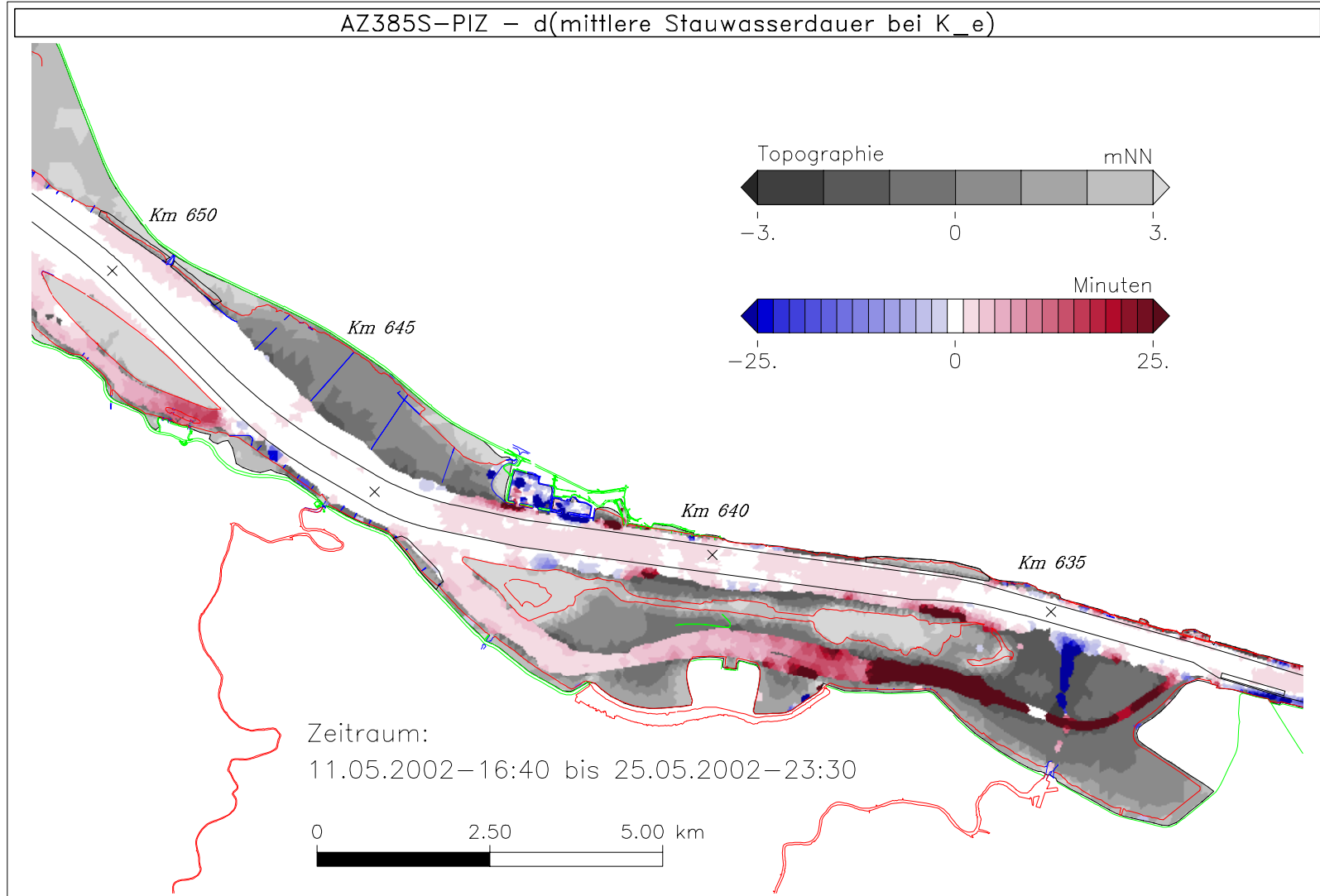


Bild 150: Differenz der mittleren Stauwasserdauer bei Kenterpunkt Ebbe (AZ385S - PIZ) bei niedrigem Oberwasser, Teilgebiet 3

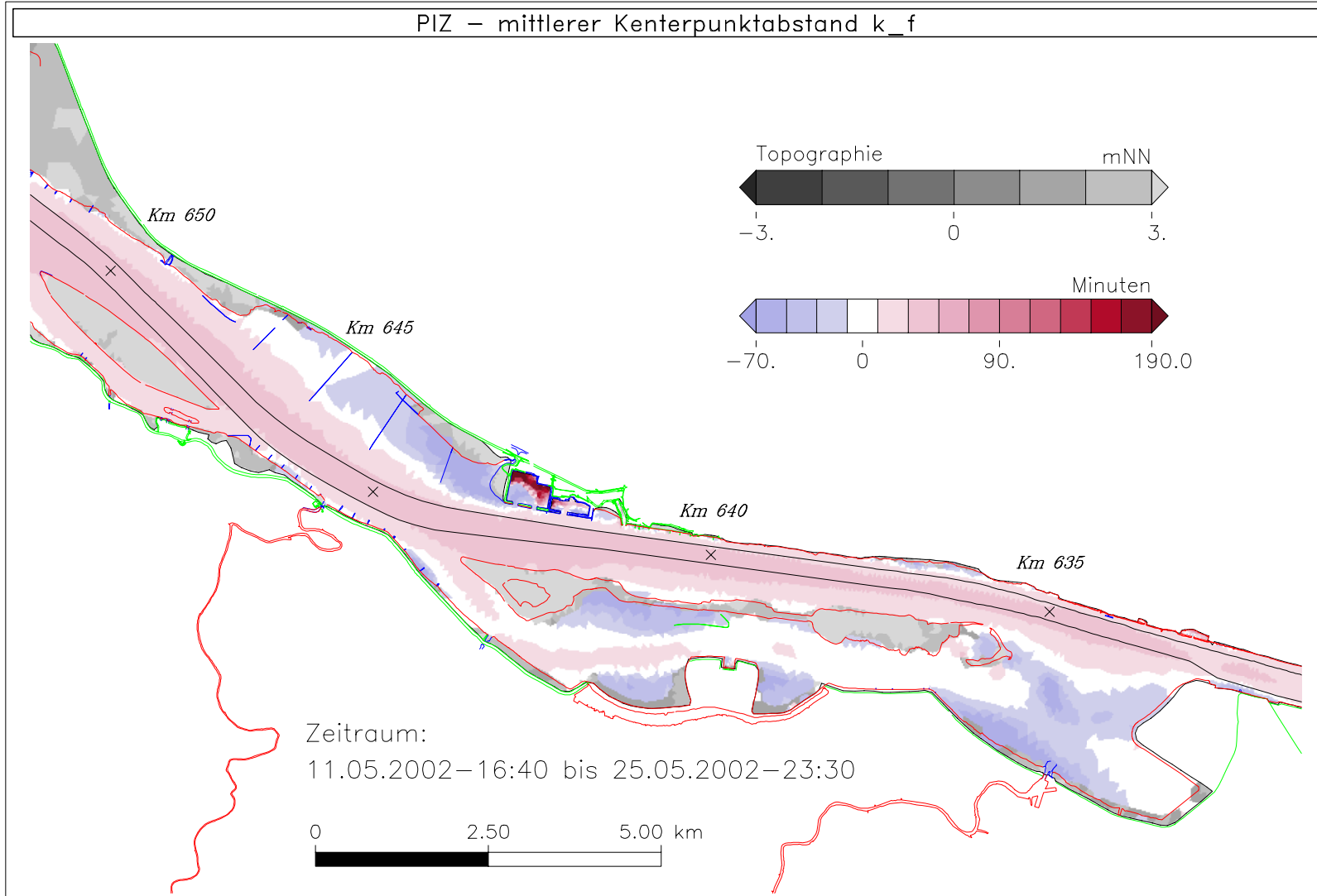


Bild 151: Mittlerer Kenterpunktabstand bei Kenterpunkt Flut bei niedrigem Oberwasser, Teilgebiet 3

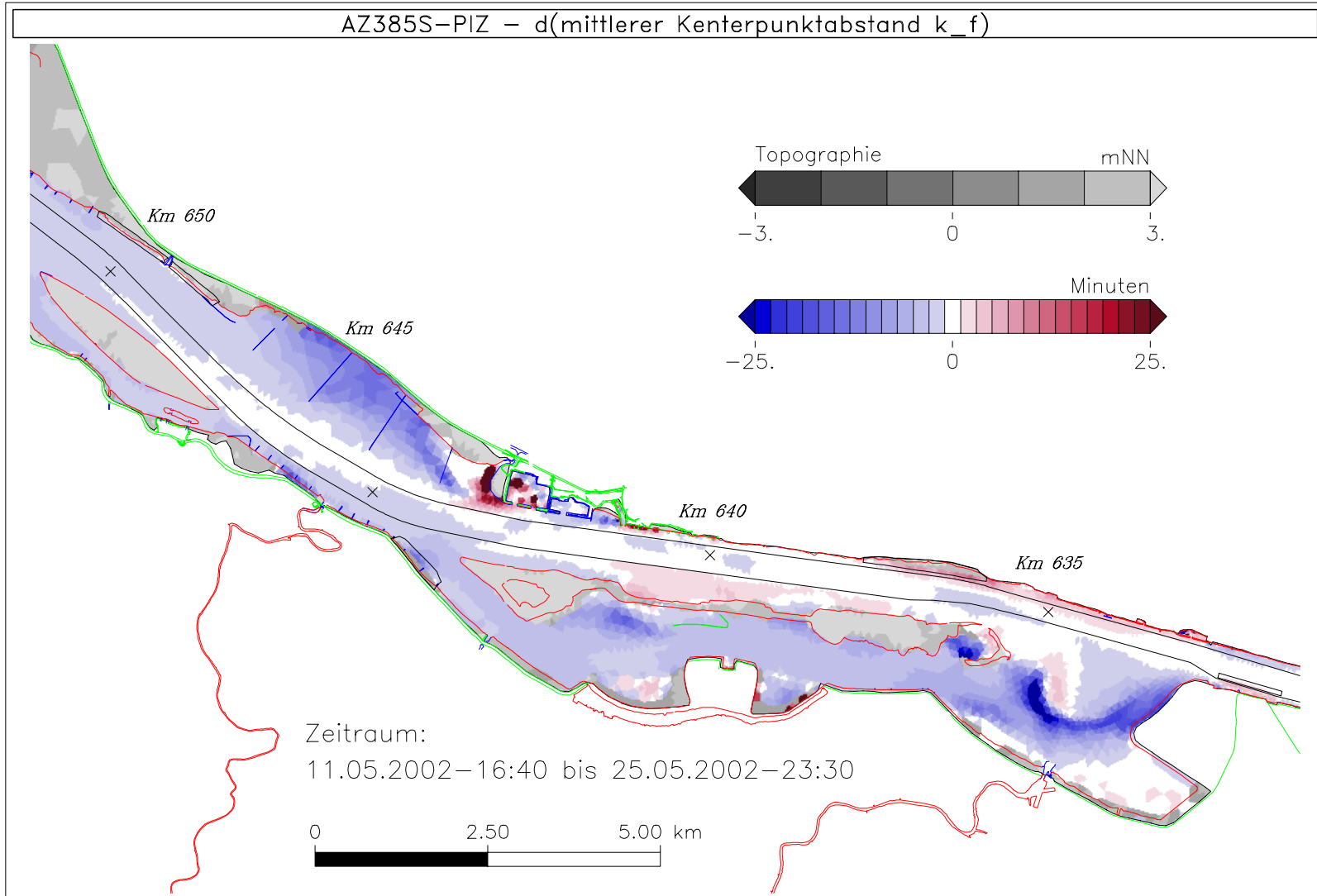


Bild 152: Differenz des mittleren Kenterpunktabstandes bei Kenterpunkt Flut (AZ385S - PIZ) bei niedrigem Oberwasser, Teilgebiet 3

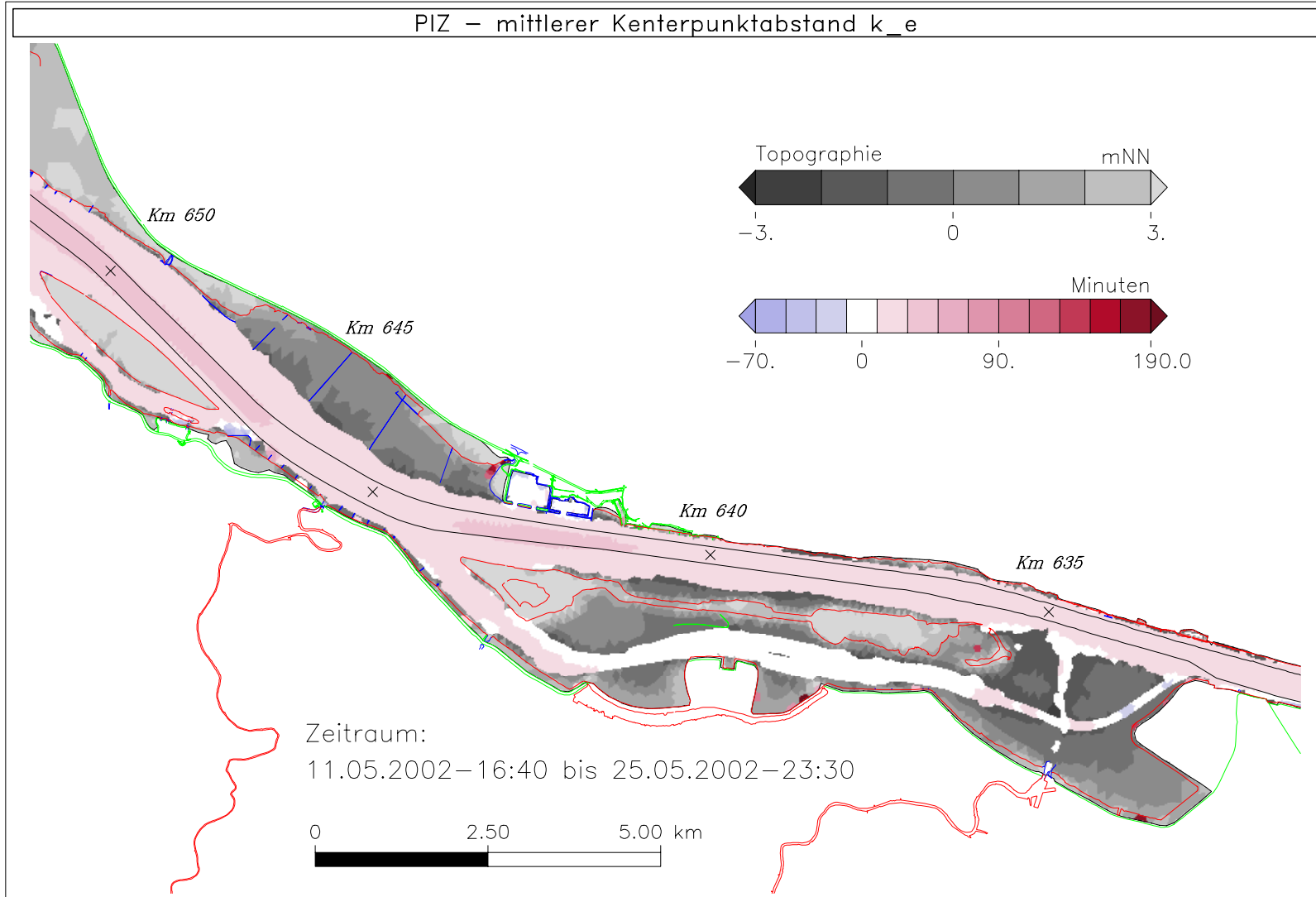
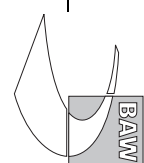


Bild 153: Mittlerer Kenterpunktabstand bei Kenterpunkt Ebbe bei niedrigem Oberwasser, Teilgebiet 3



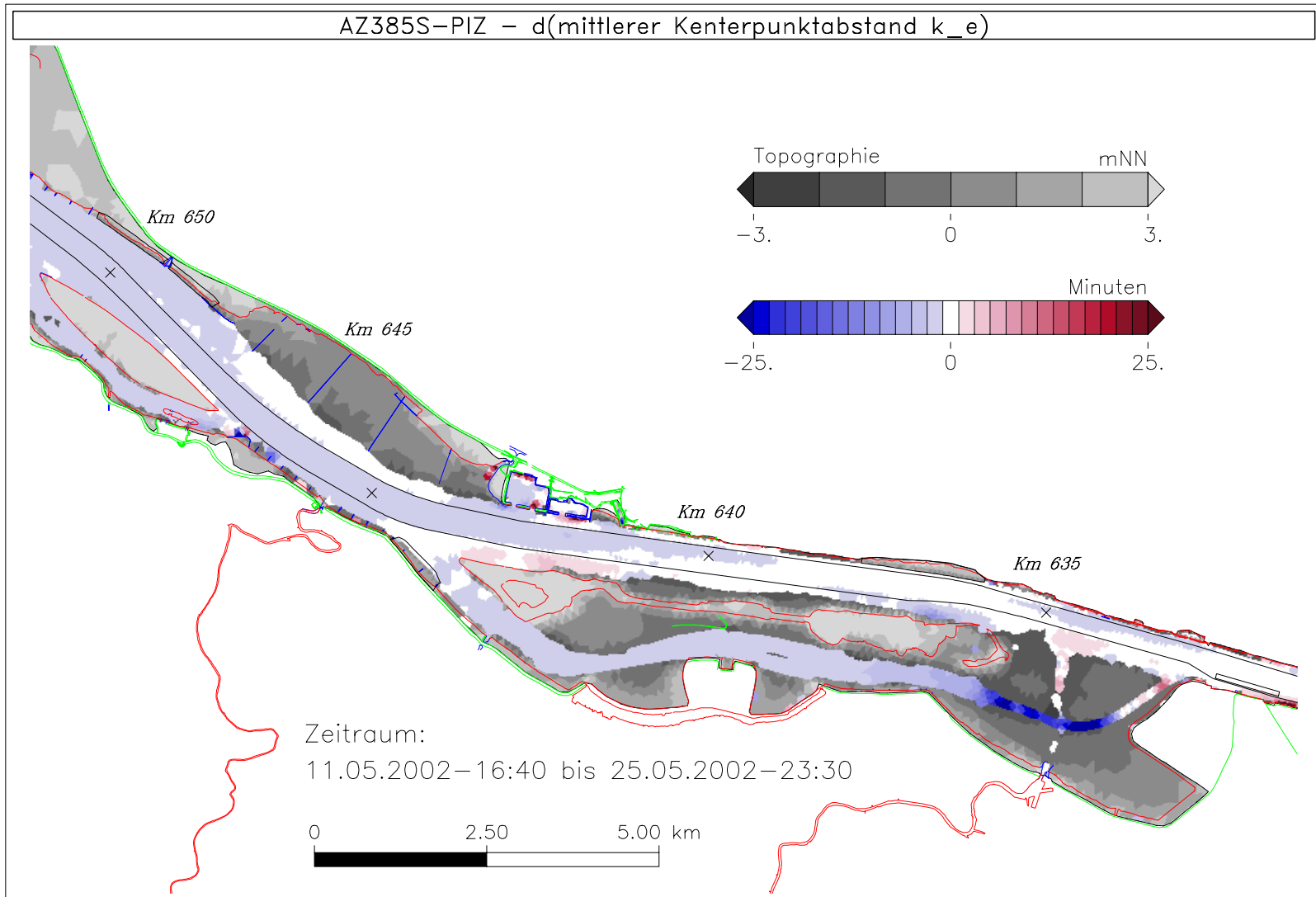


Bild 154: Differenz des mittleren Kenterpunktabstandes bei Kenterpunkt Ebbe (AZ385S - PIZ) bei niedrigem Oberwasser, Teilgebiet 3

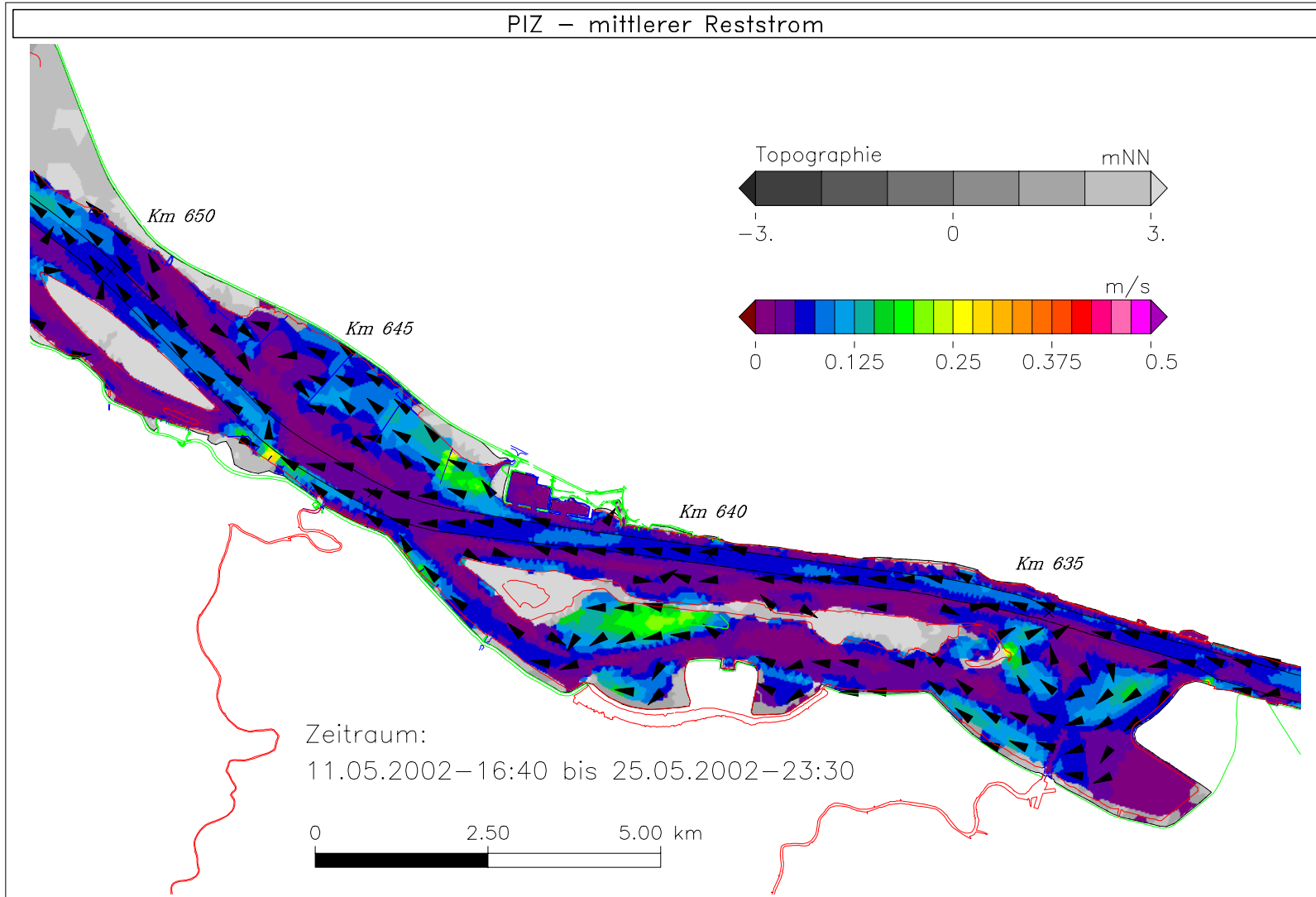
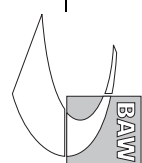


Bild 155: Reststromgeschwindigkeit bei niedrigem Oberwasser, Teilgebiet 3



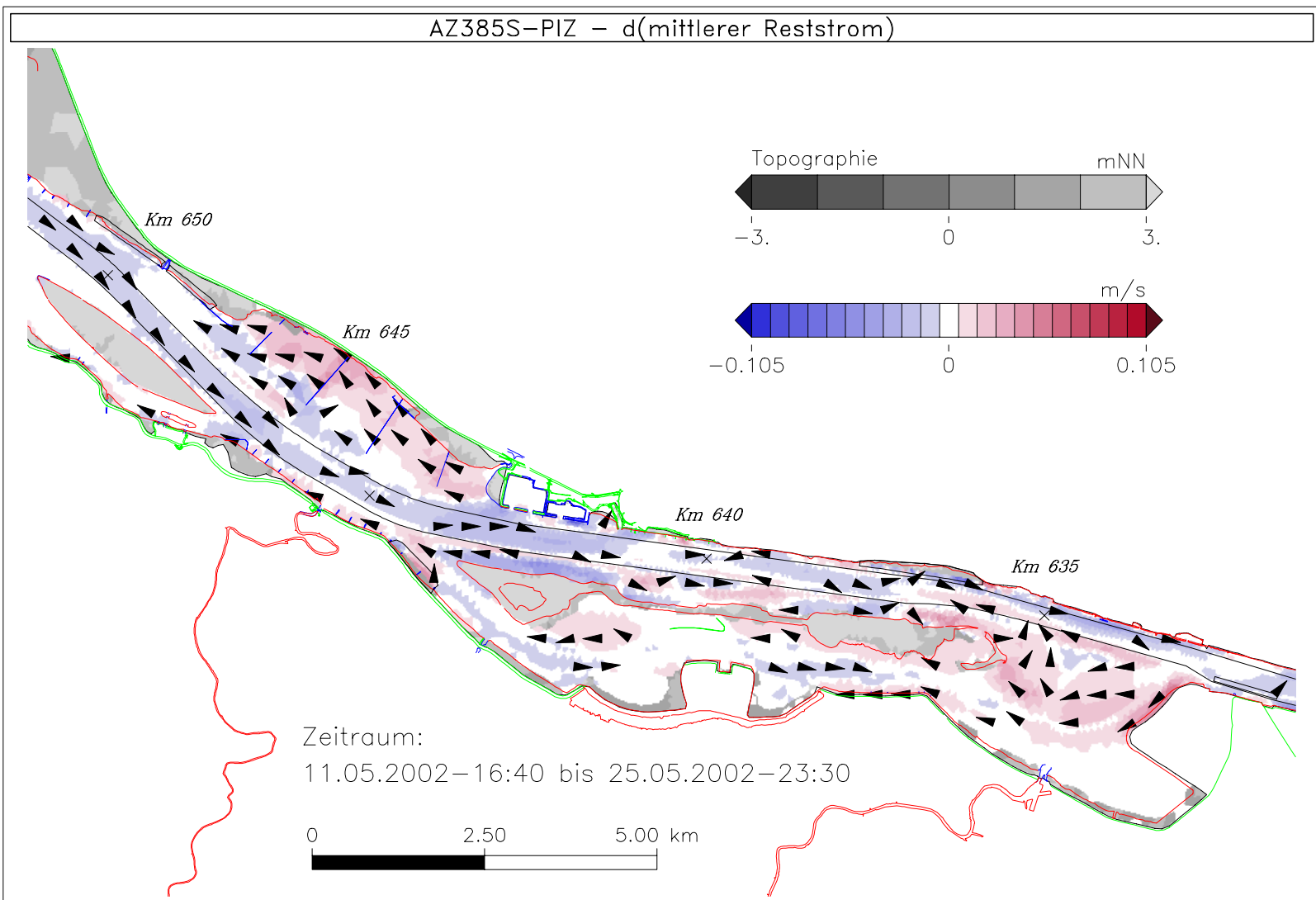


Bild 156: Differenz der Reststromgeschwindigkeit (AZ385S - PIZ) bei niedrigem Oberwasser, Teilgebiet 3

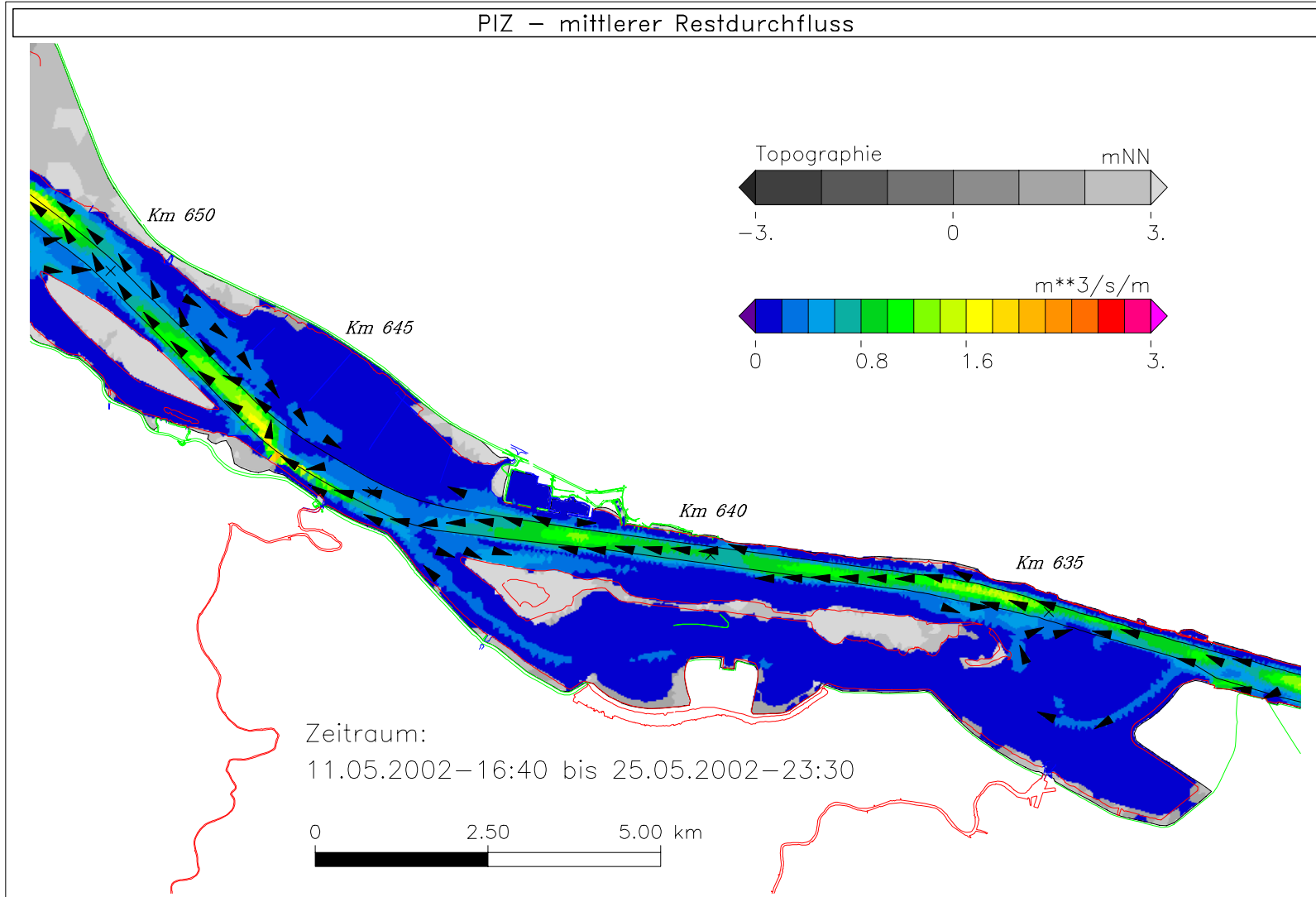
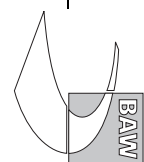


Bild 157: Restdurchfluss bei niedrigem Oberwasser, Teilgebiet 3



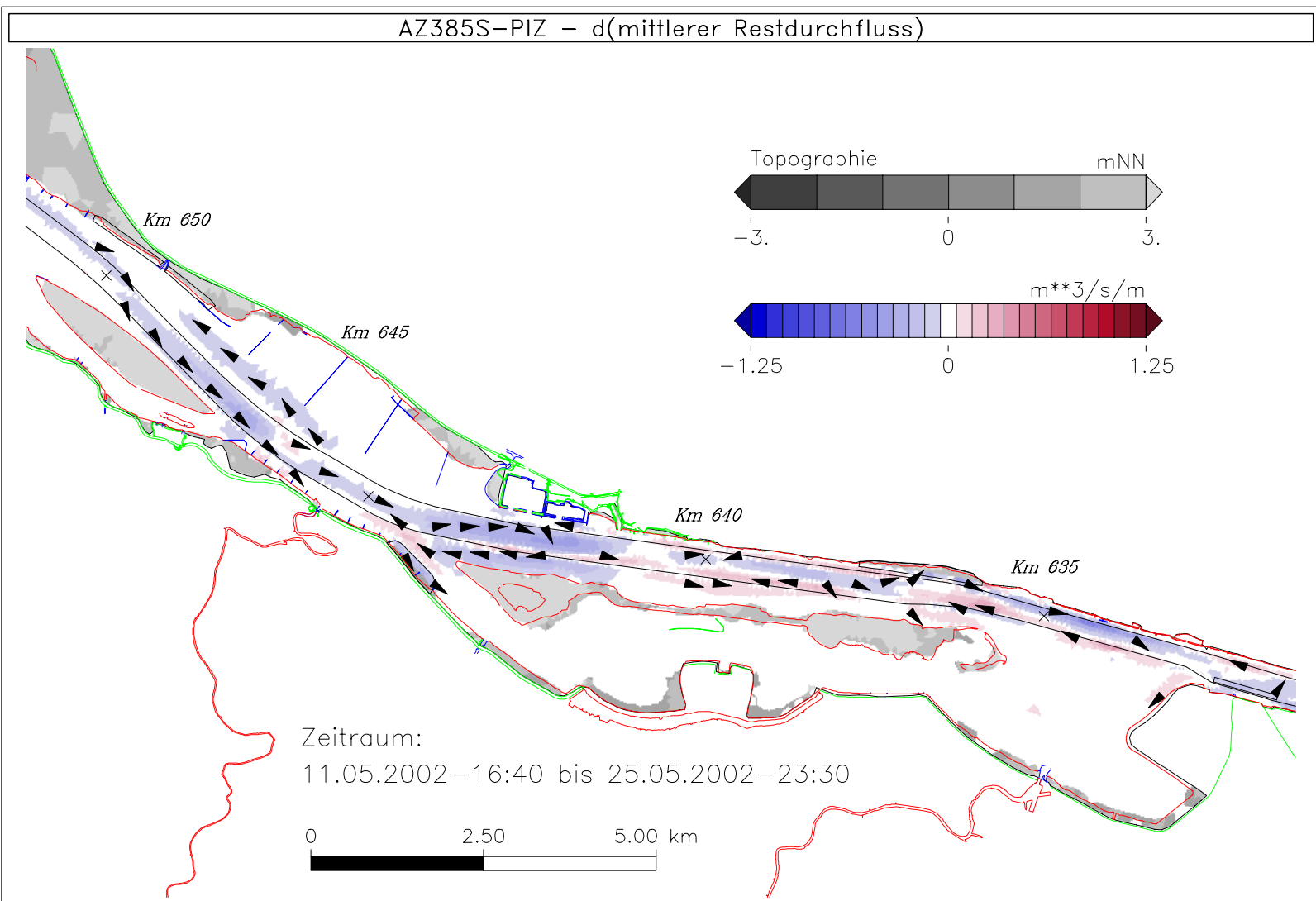
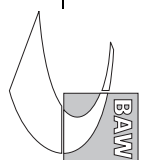
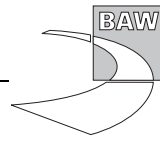
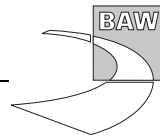


Bild 158: Differenz des Restdurchflusses (AZ385S - PIZ) bei niedrigem Oberwasser, Teilgebiet 3





A.4 Teilgebiet 2

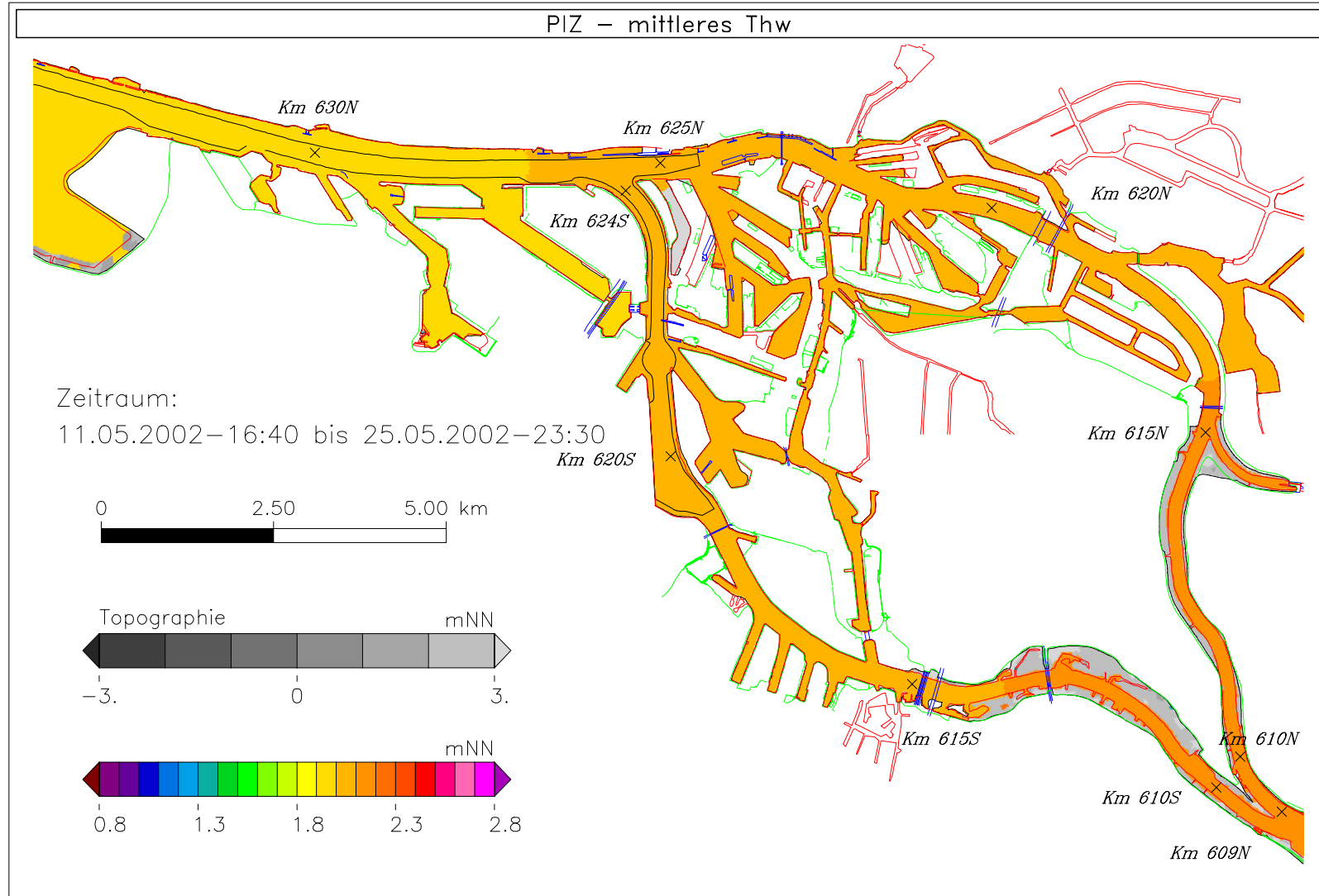


Bild 159: Tidehochwasser bei niedrigem Oberwasser, Teilgebiet 2

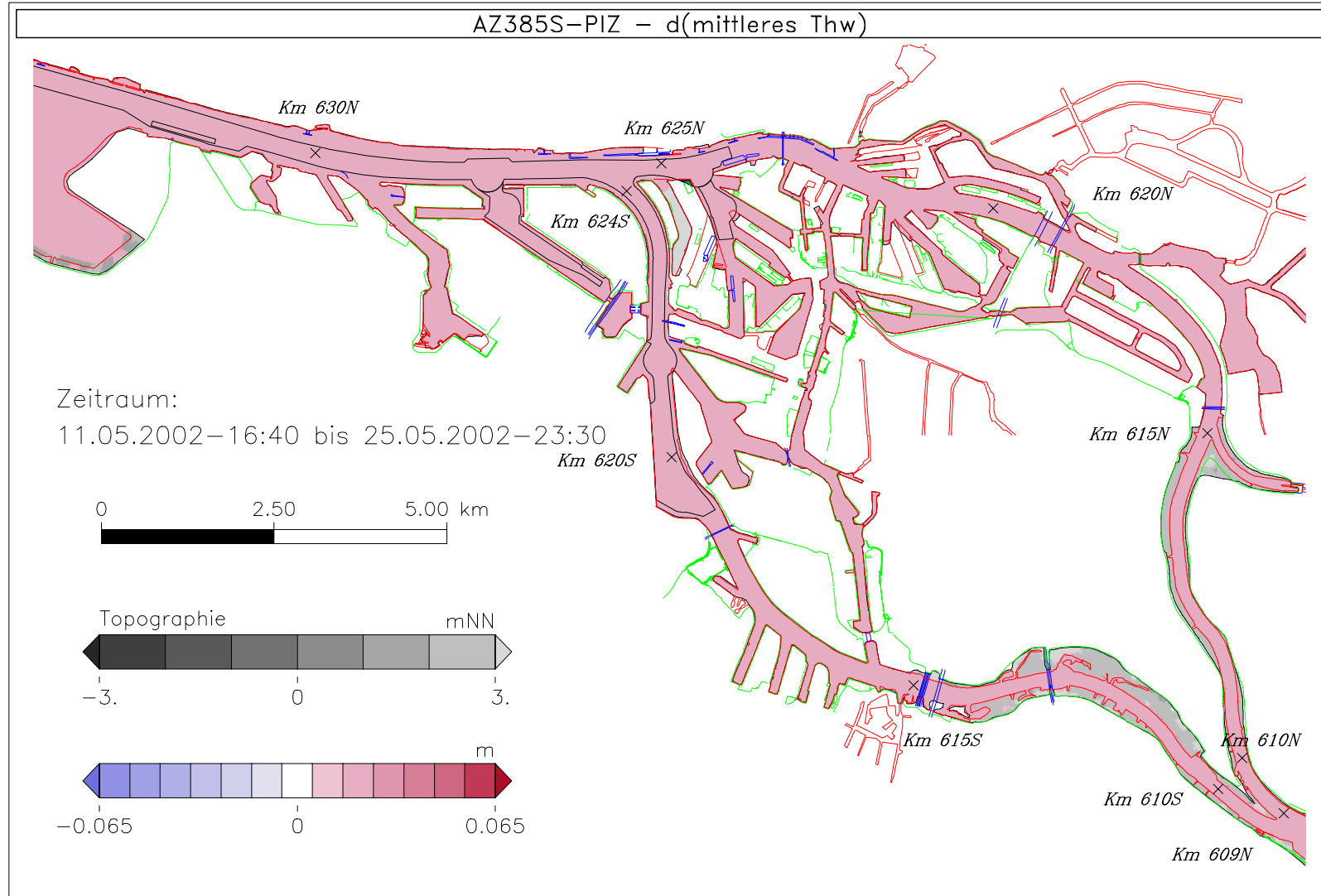


Bild 160: Differenz des Tidehochwassers (AZ385S - PIZ) bei niedrigem Oberwasser, Teilgebiet 2

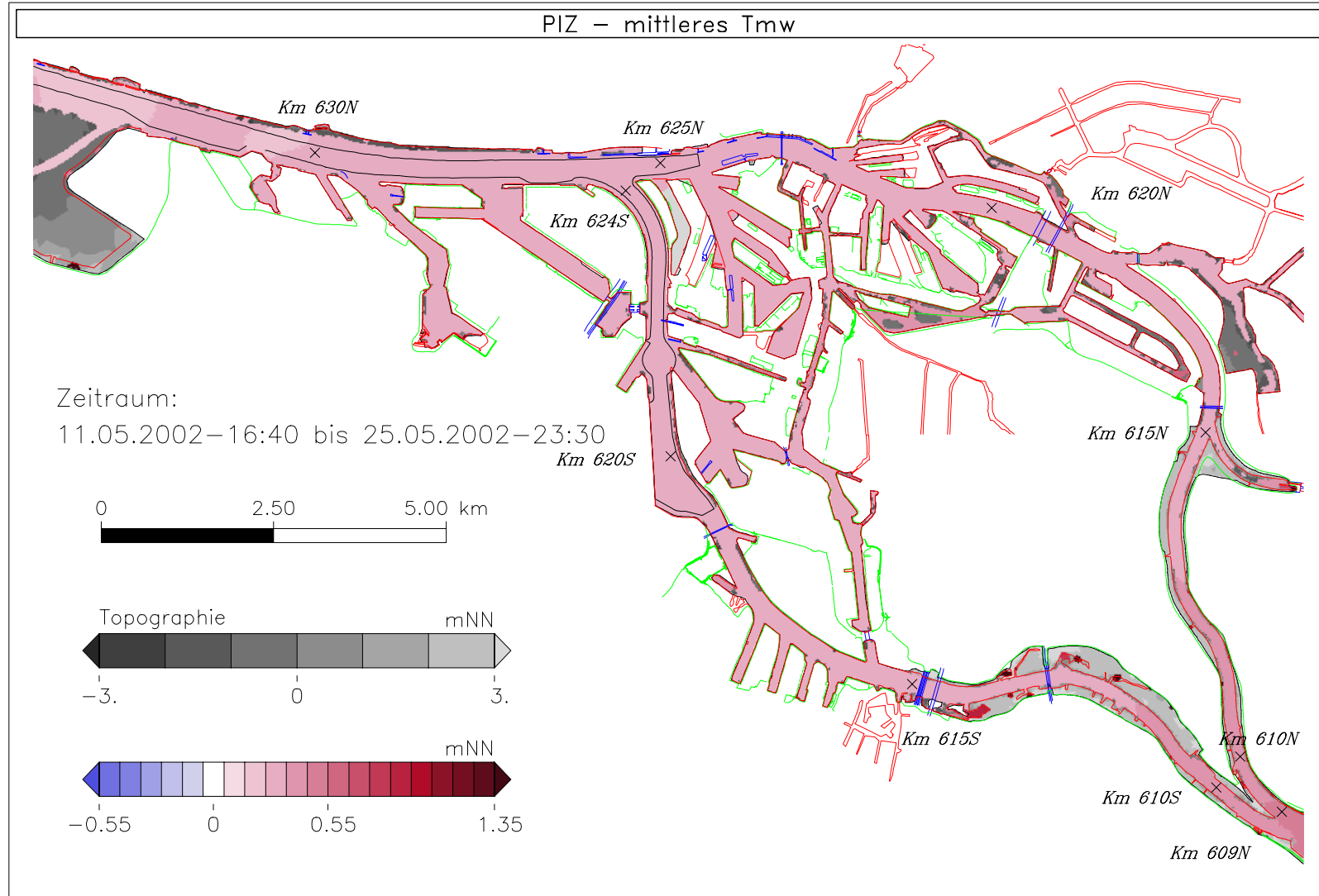
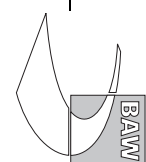


Bild 161: Tidemittelwasser bei niedrigem Oberwasser, Teilgebiet 2



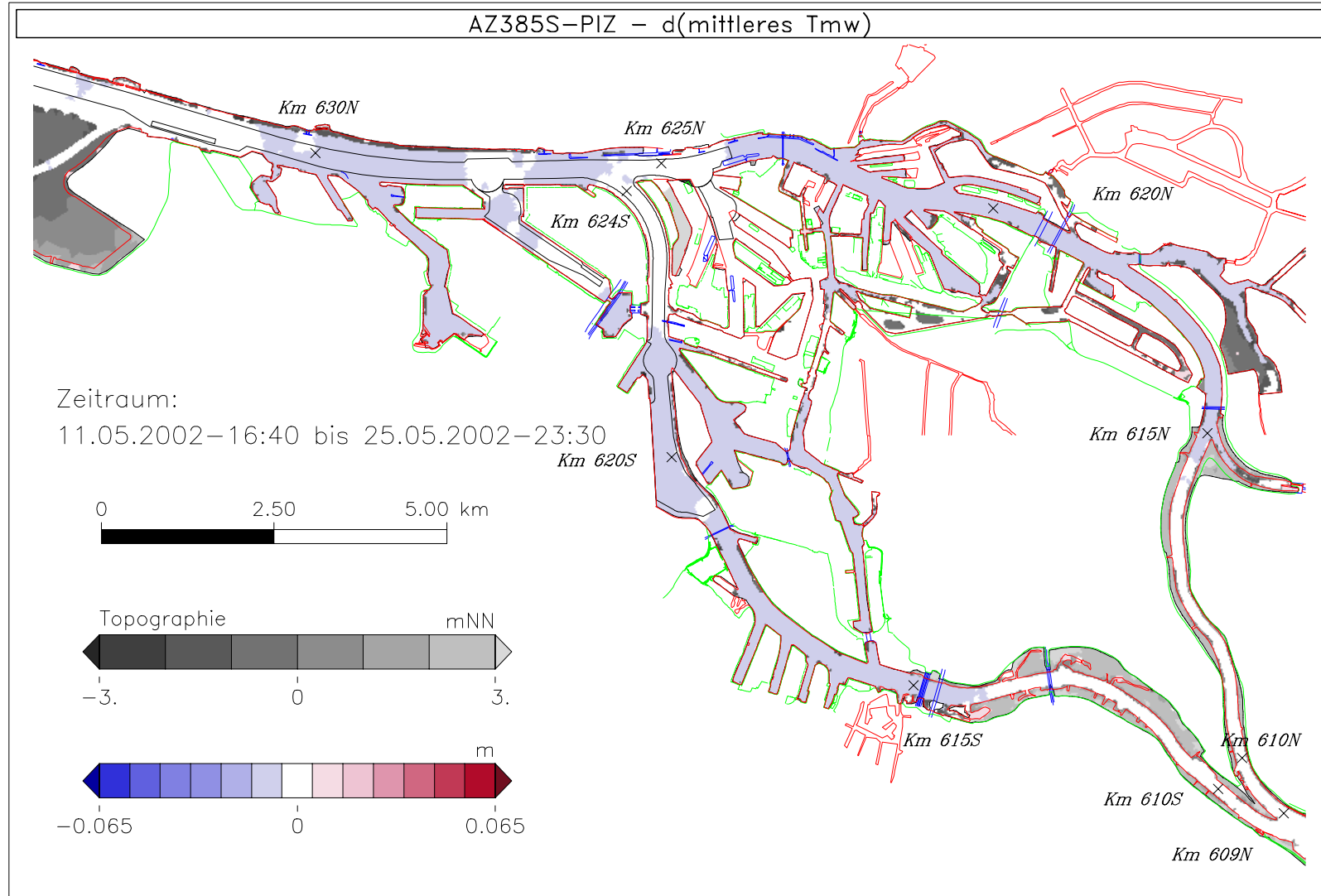


Bild 162: Differenz des Tidemittelwassers (AZ385S - PIZ) bei niedrigem Oberwasser, Teilgebiet 2

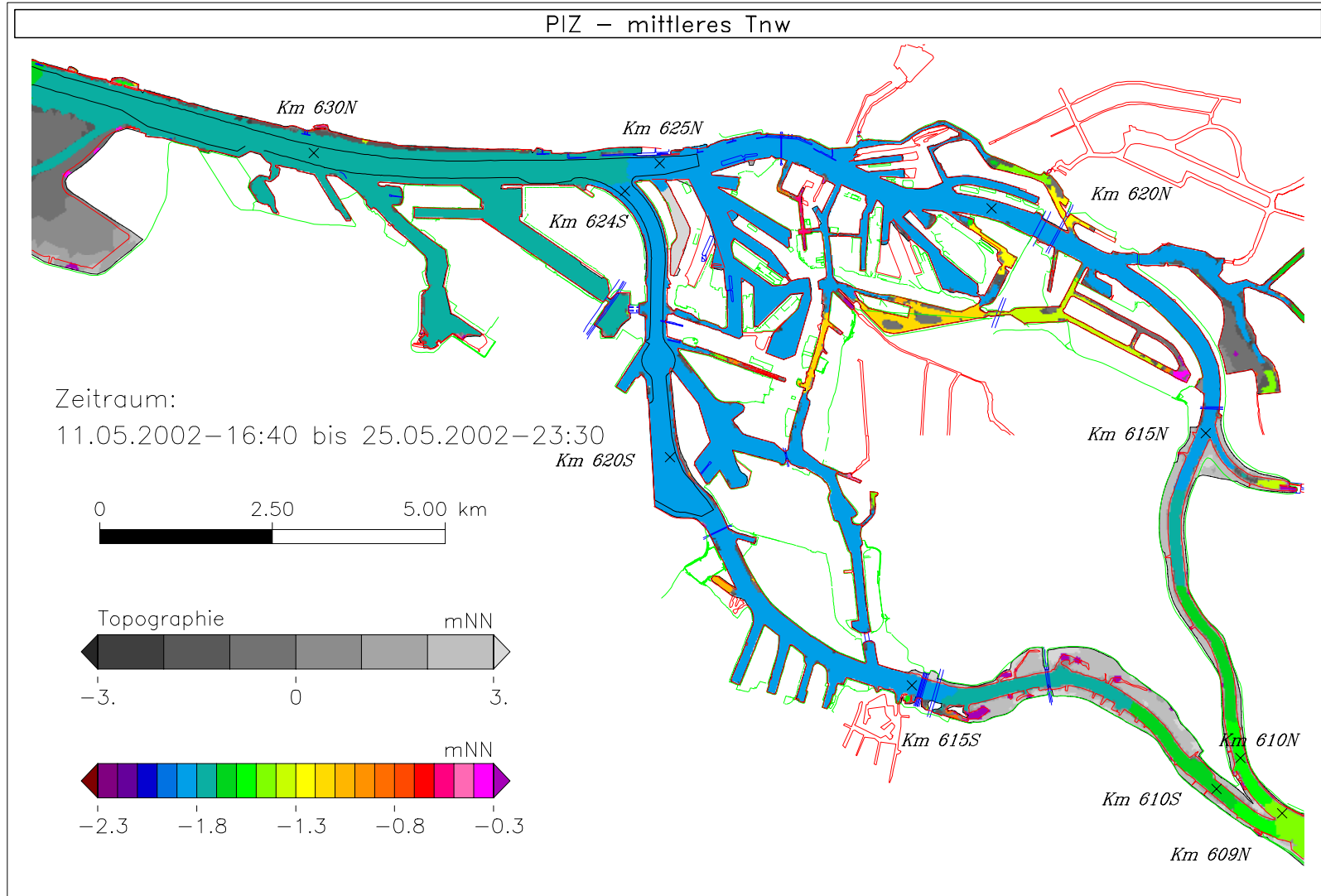
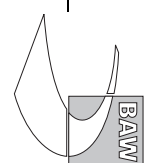


Bild 163: Tideniedrigwasser bei niedrigem Oberwasser, Teilgebiet 2



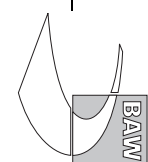
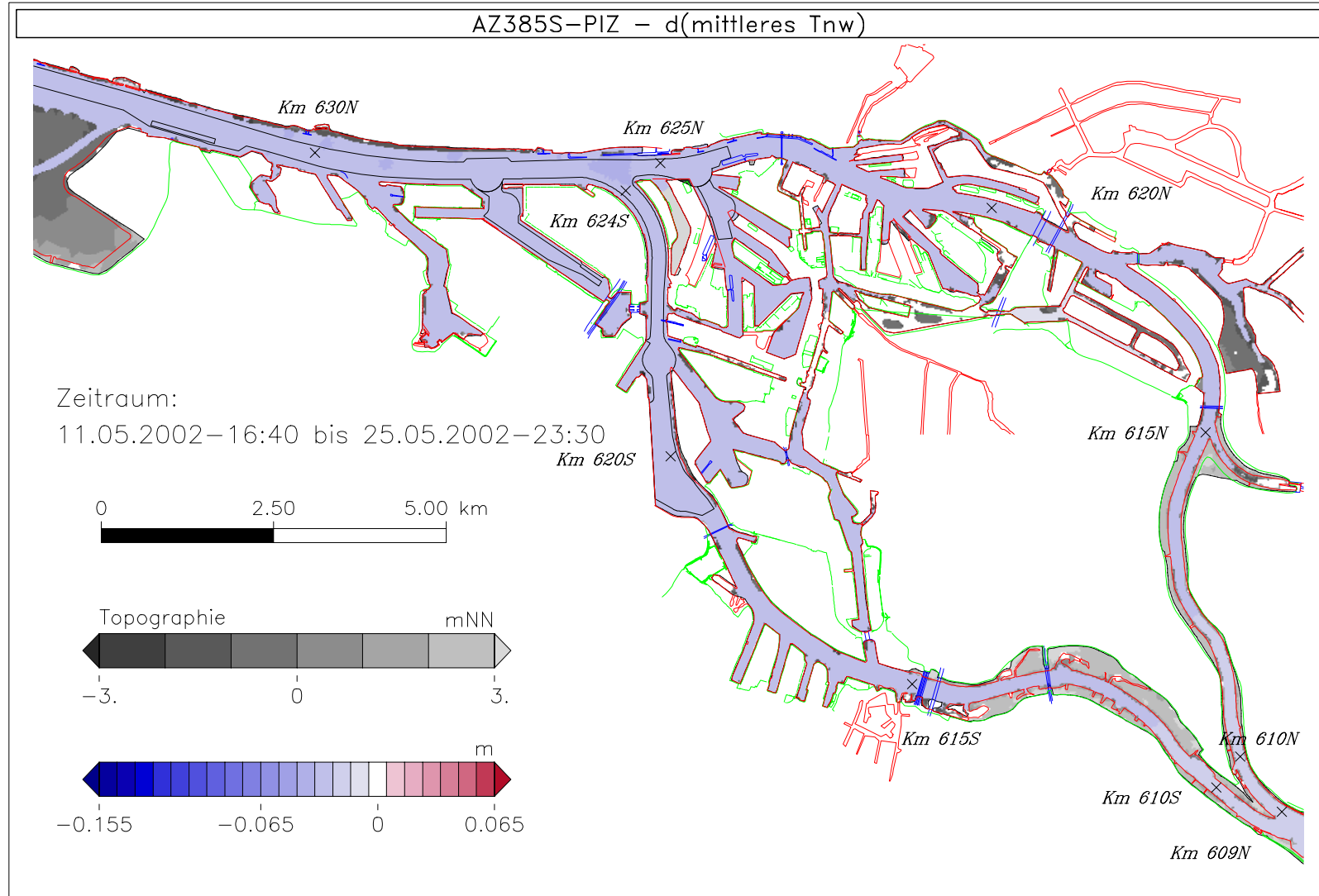


Bild 164: Differenz des Tideniedrigwassers (AZ385S - PIZ) bei niedrigem Oberwasser, Teilgebiet 2

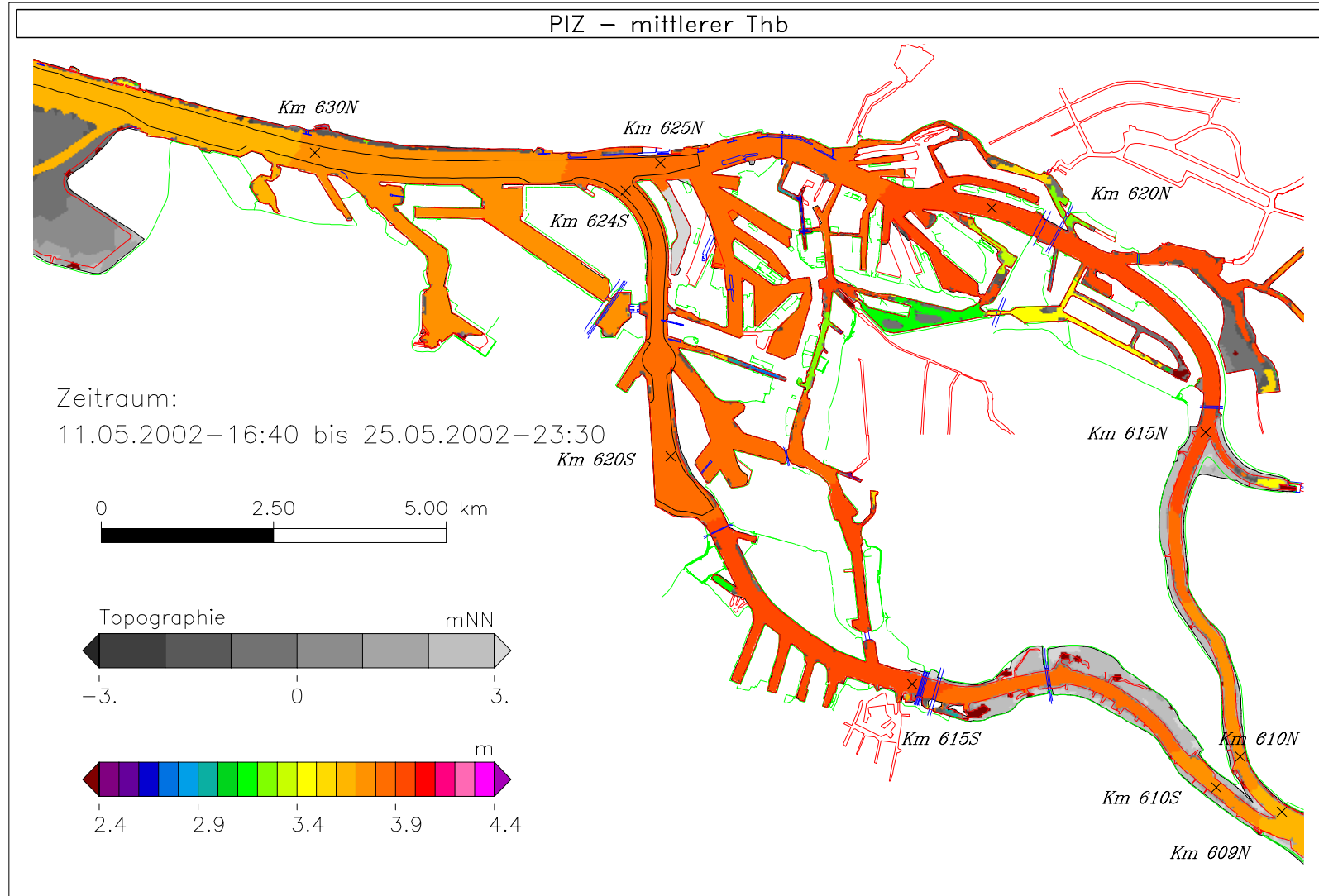
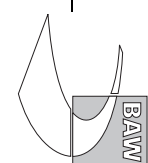


Bild 165: Tidehub bei niedrigem Oberwasser, Teilgebiet 2



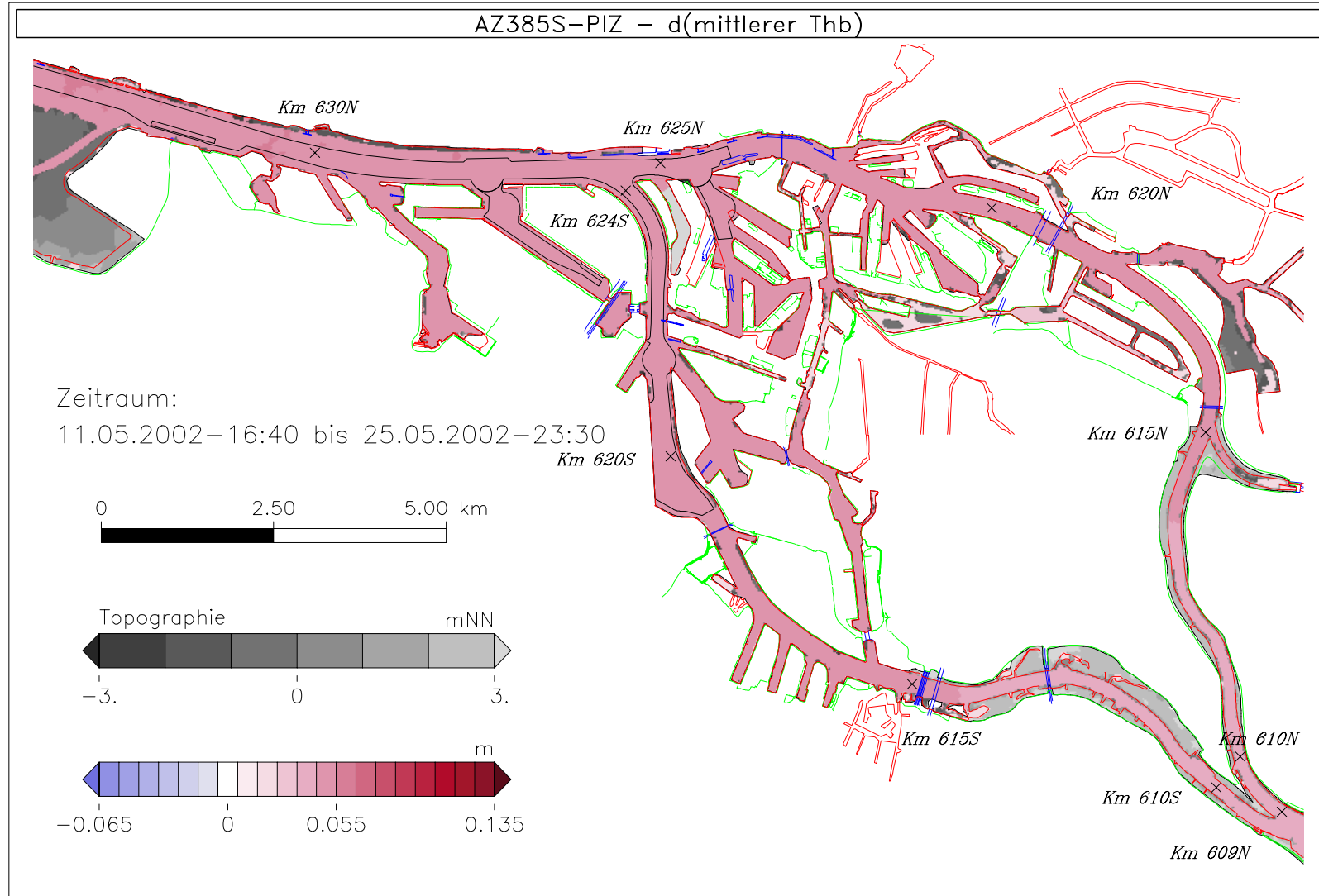


Bild 166: Differenz des Tidehubs (AZ385S - PIZ) bei niedrigem Oberwasser, Teilgebiet 2

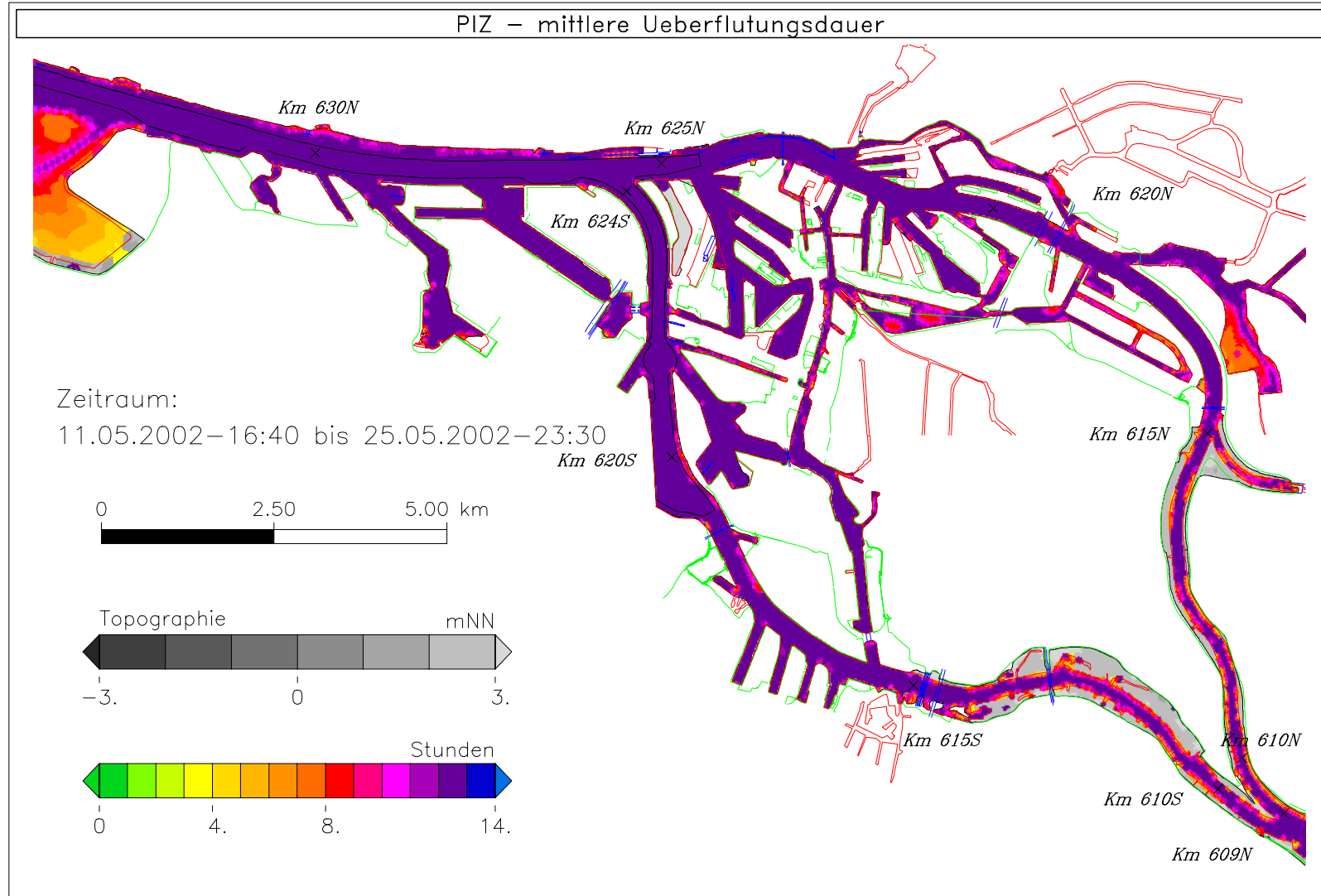


Bild 167: Überflutungsdauer bei niedrigem Oberwasser, Teilgebiet 2

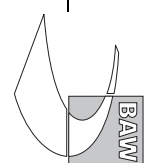
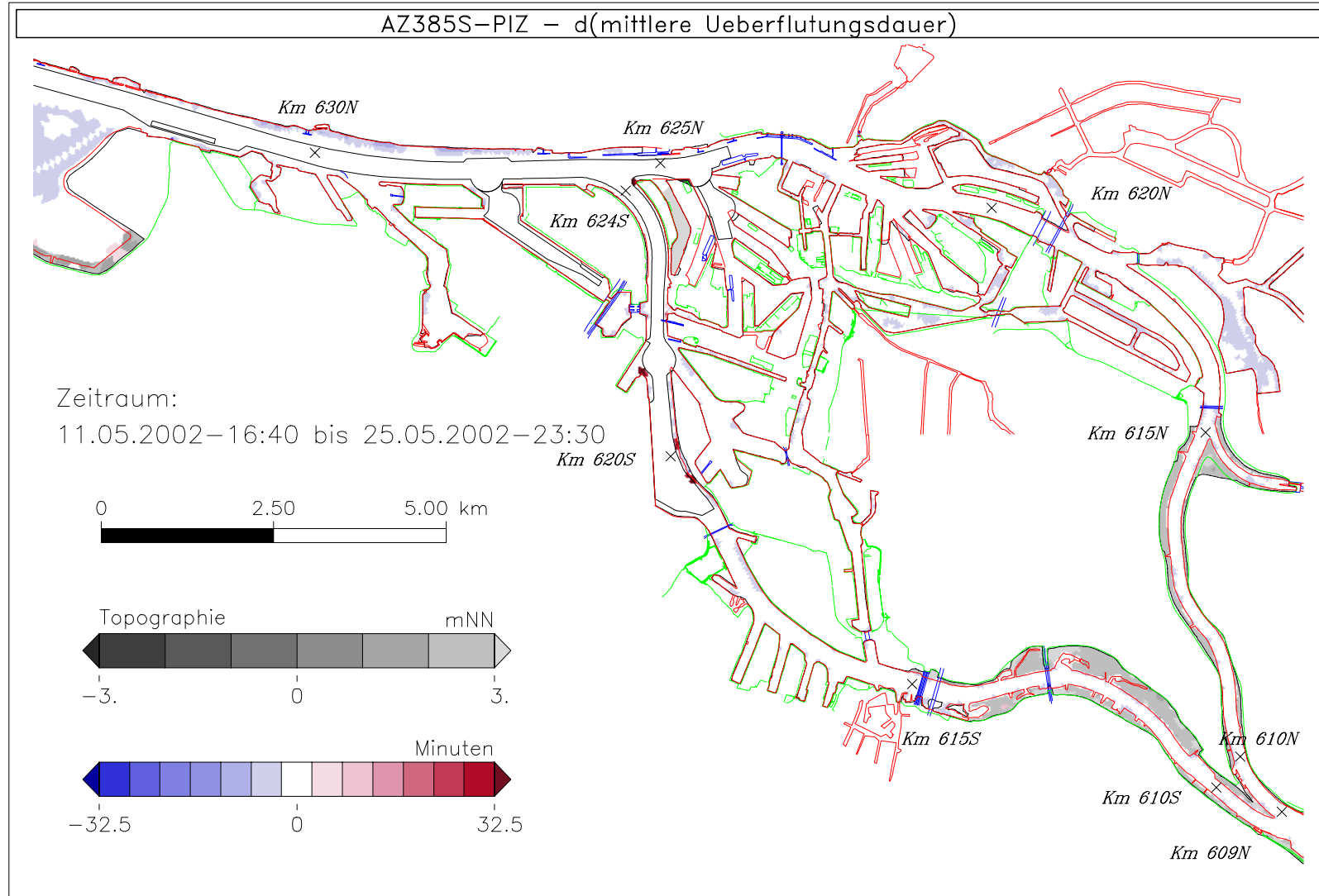


Bild 168: Differenz der Überflutungsdauer (AZ385S - PIZ) bei niedrigem Oberwasser, Teilgebiet 2

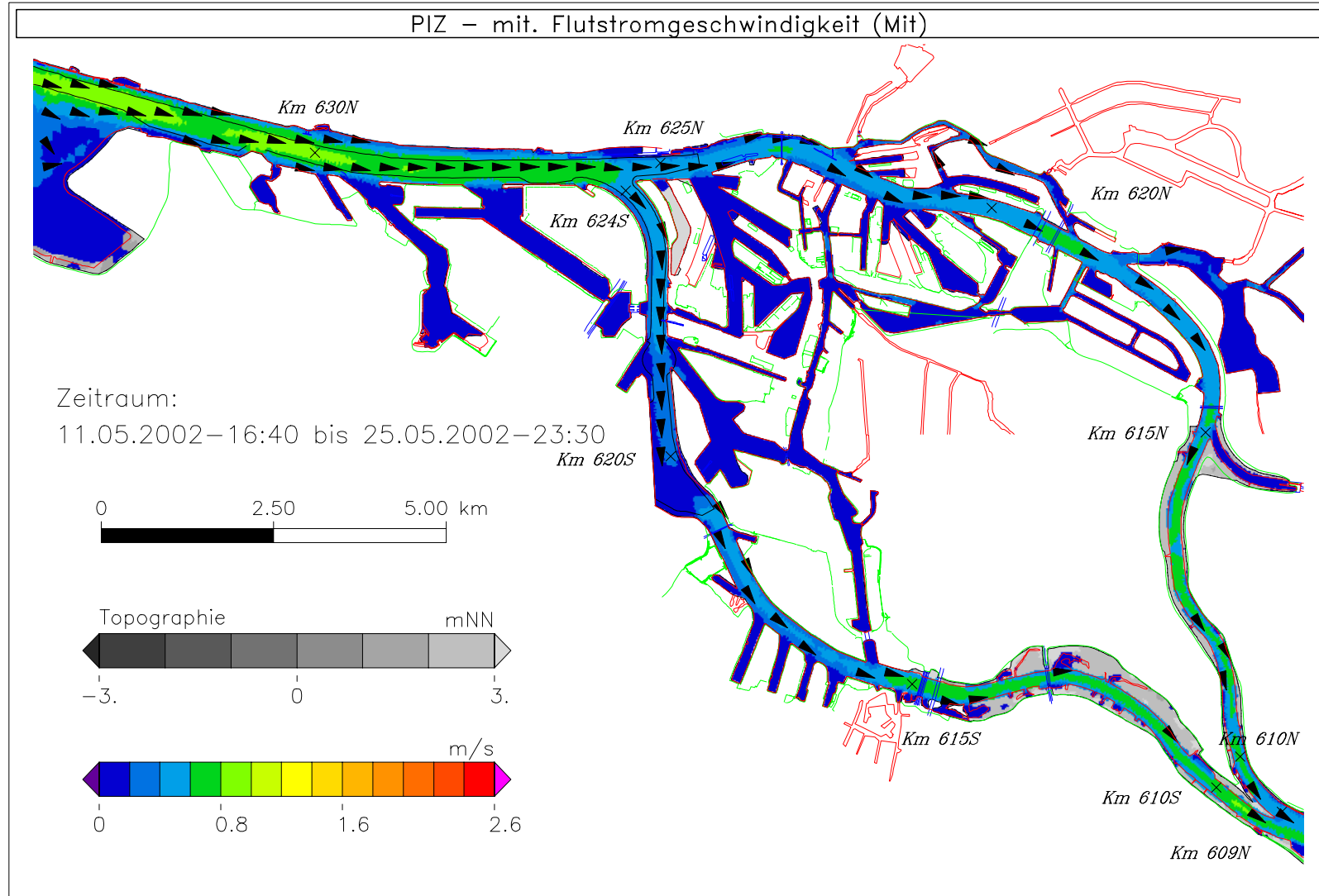


Bild 169: Mittlere Flutstromgeschwindigkeit bei niedrigem Oberwasser, Teilgebiet 2

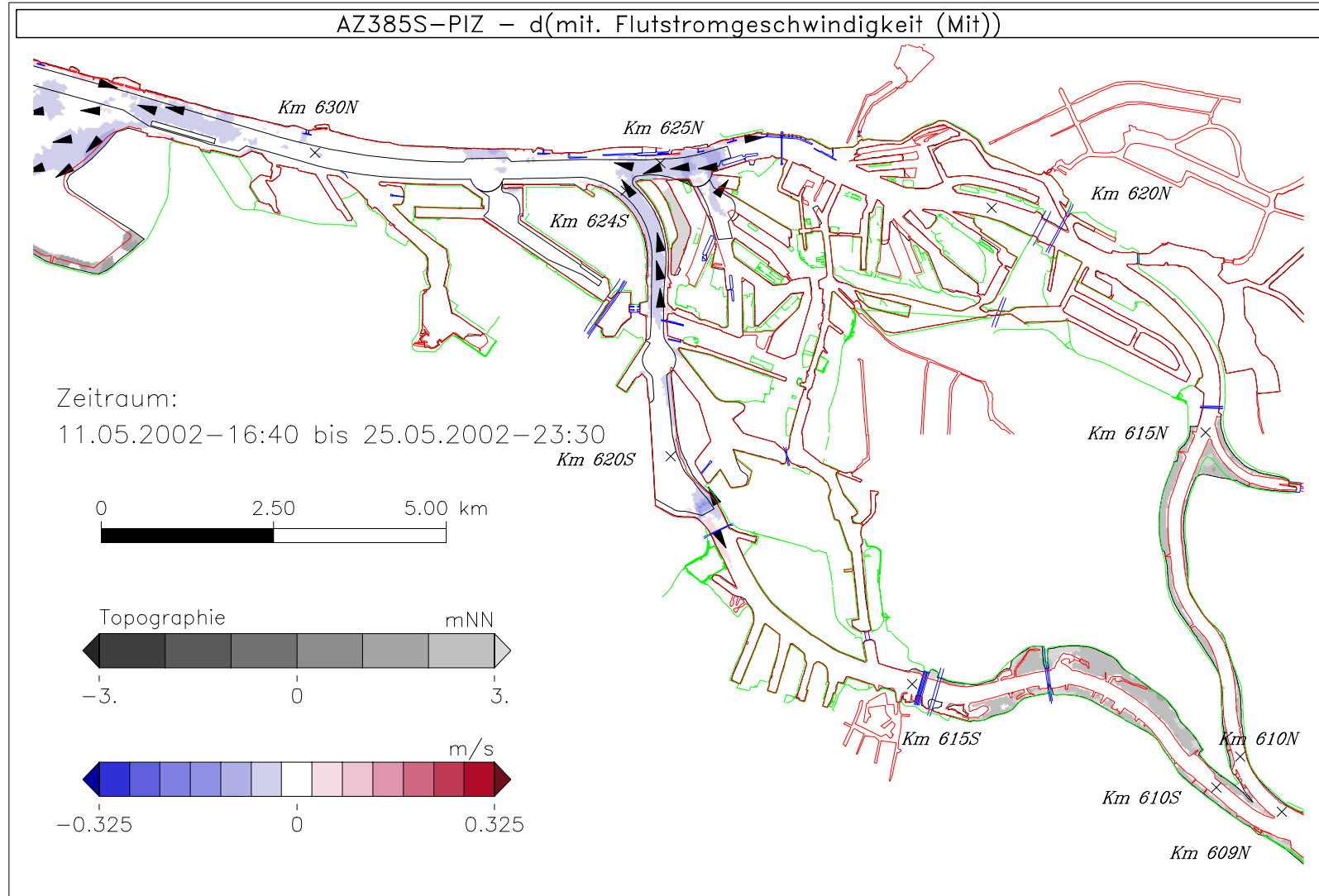
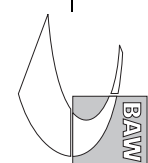


Bild 170: Differenz der mittleren Flutstromgeschwindigkeit (AZ385S - PIZ) bei niedrigem Oberwasser, Teilgebiet 2



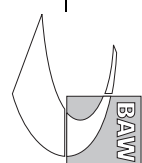
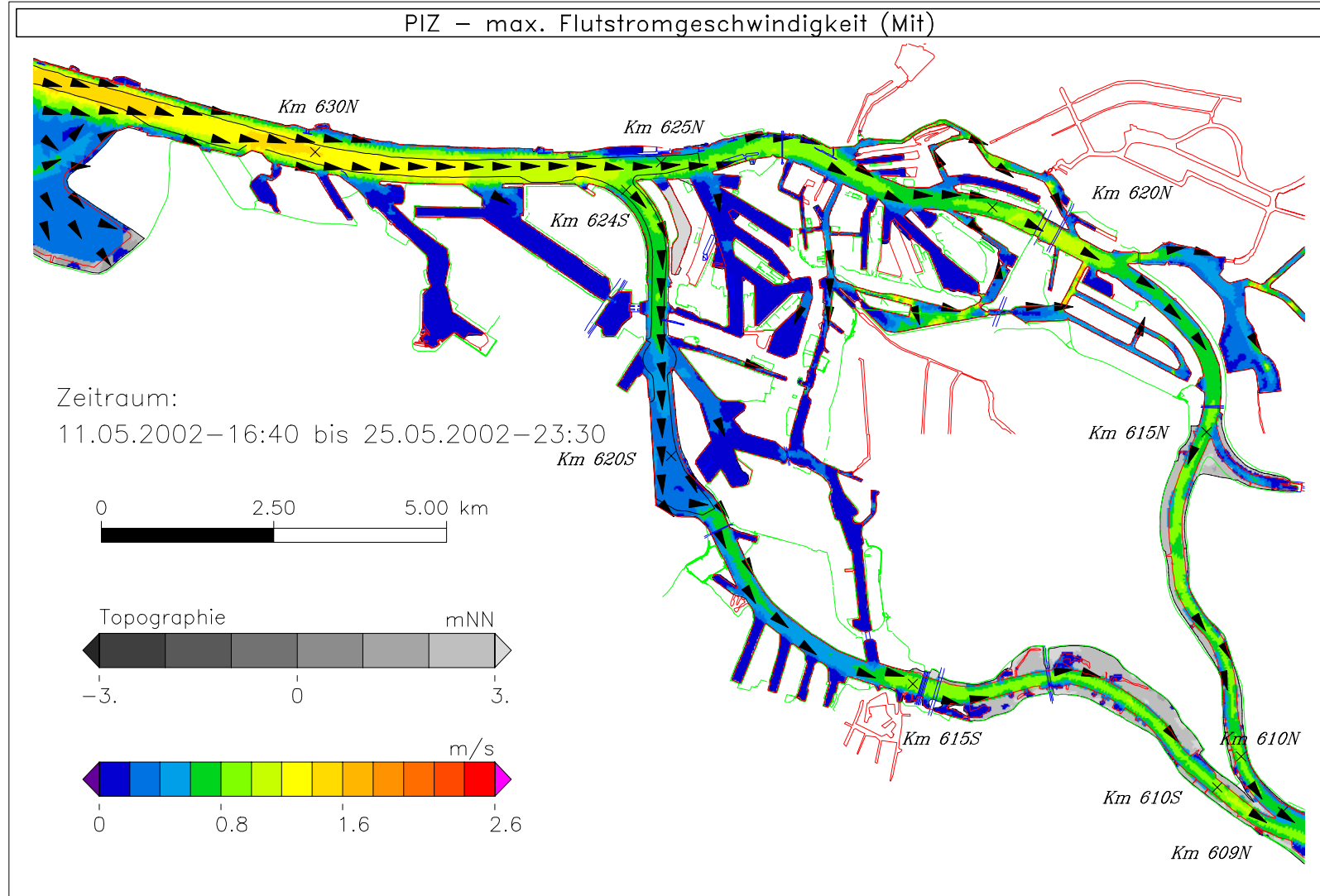


Bild 171: Maximale Flutstromgeschwindigkeit bei niedrigem Oberwasser, Teilgebiet 2

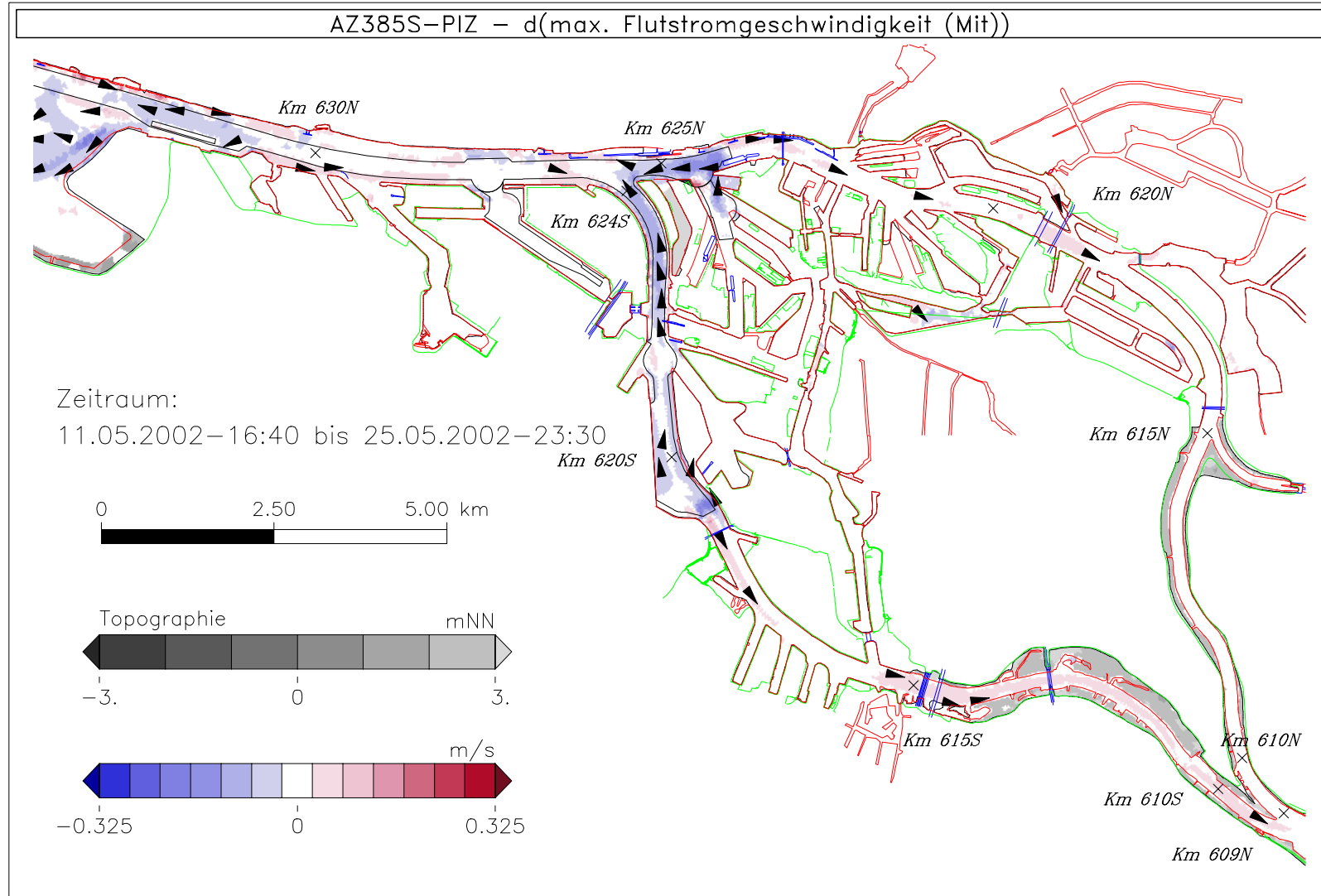
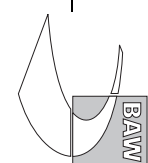


Bild 172: Differenz der maximalen Flutstromgeschwindigkeit (AZ385S - PIZ) bei niedrigem Oberwasser, Teilgebiet 2



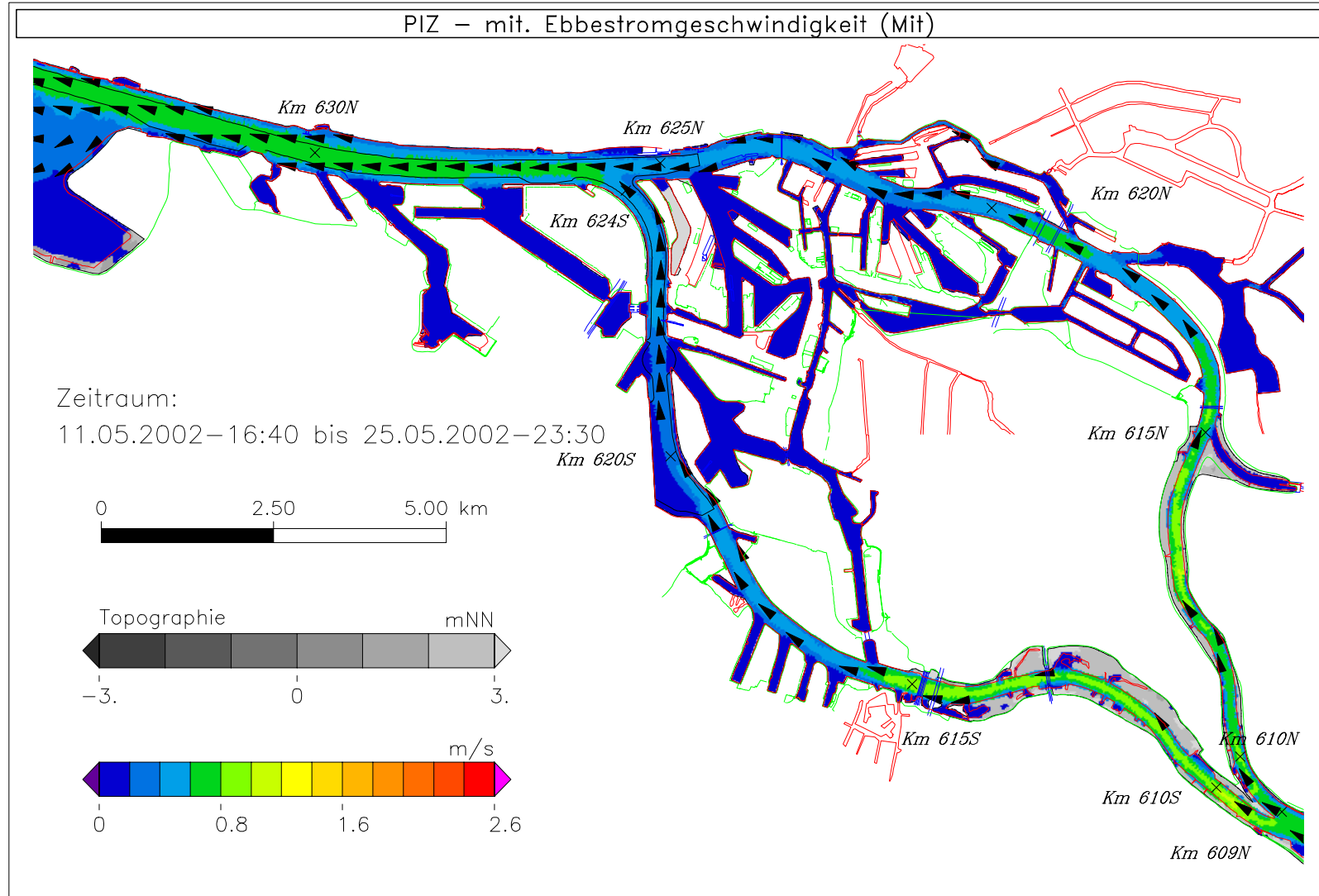
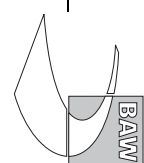


Bild 173: Mittlere Ebbestromgeschwindigkeit bei niedrigem Oberwasser, Teilgebiet 2



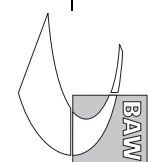
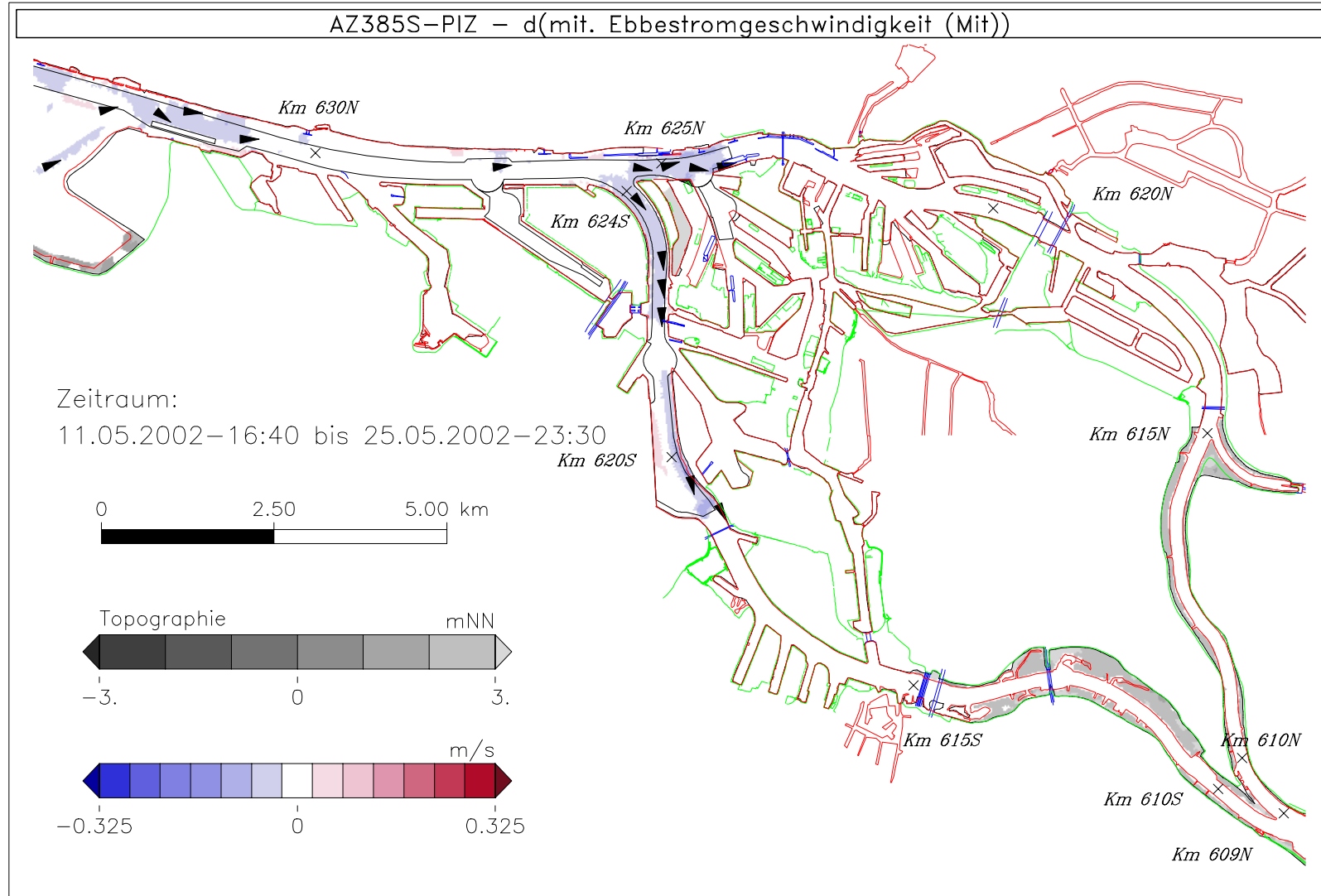


Bild 174: Differenz der mittleren Ebbestromgeschwindigkeit (AZ385S - PIZ) bei niedrigem Oberwasser, Teilgebiet 2

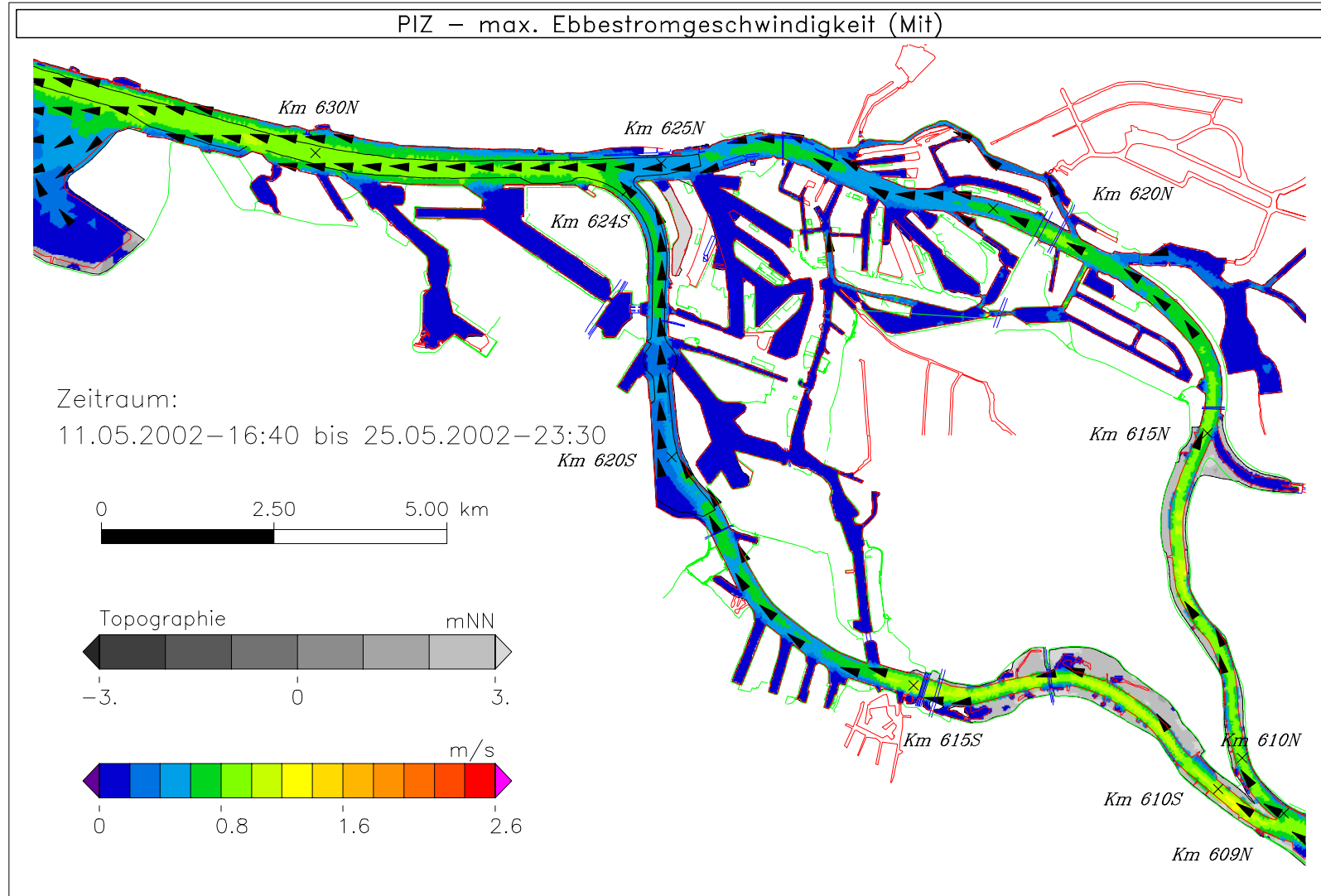


Bild 175: Maximale Ebbestromgeschwindigkeit bei niedrigem Oberwasser, Teilgebiet 2

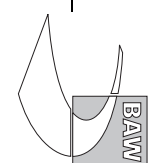
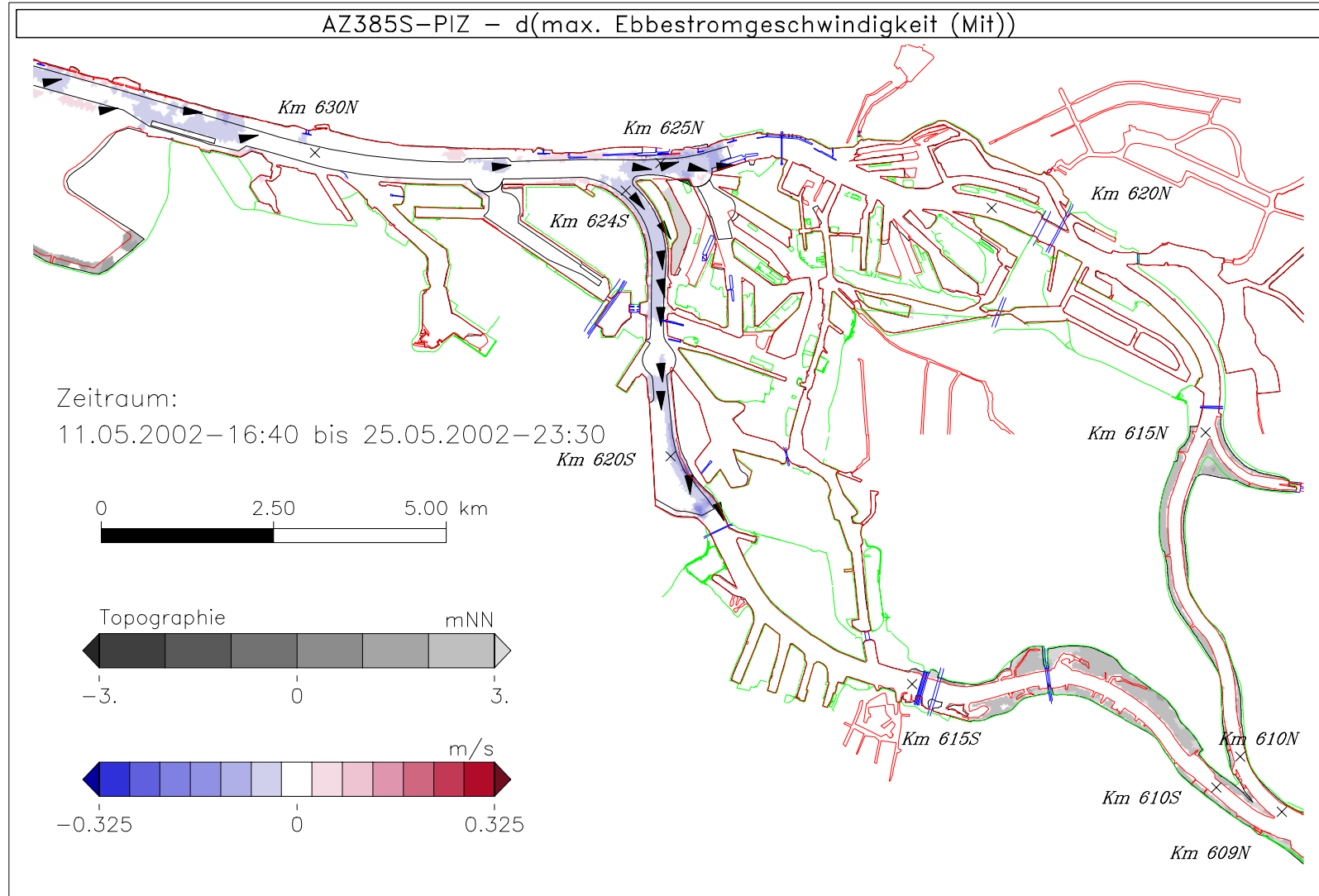


Bild 176: Differenz der maximalen Ebbestromgeschwindigkeit (AZ385S - PIZ) bei niedrigem Oberwasser, Teilgebiet 2

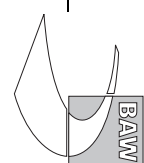
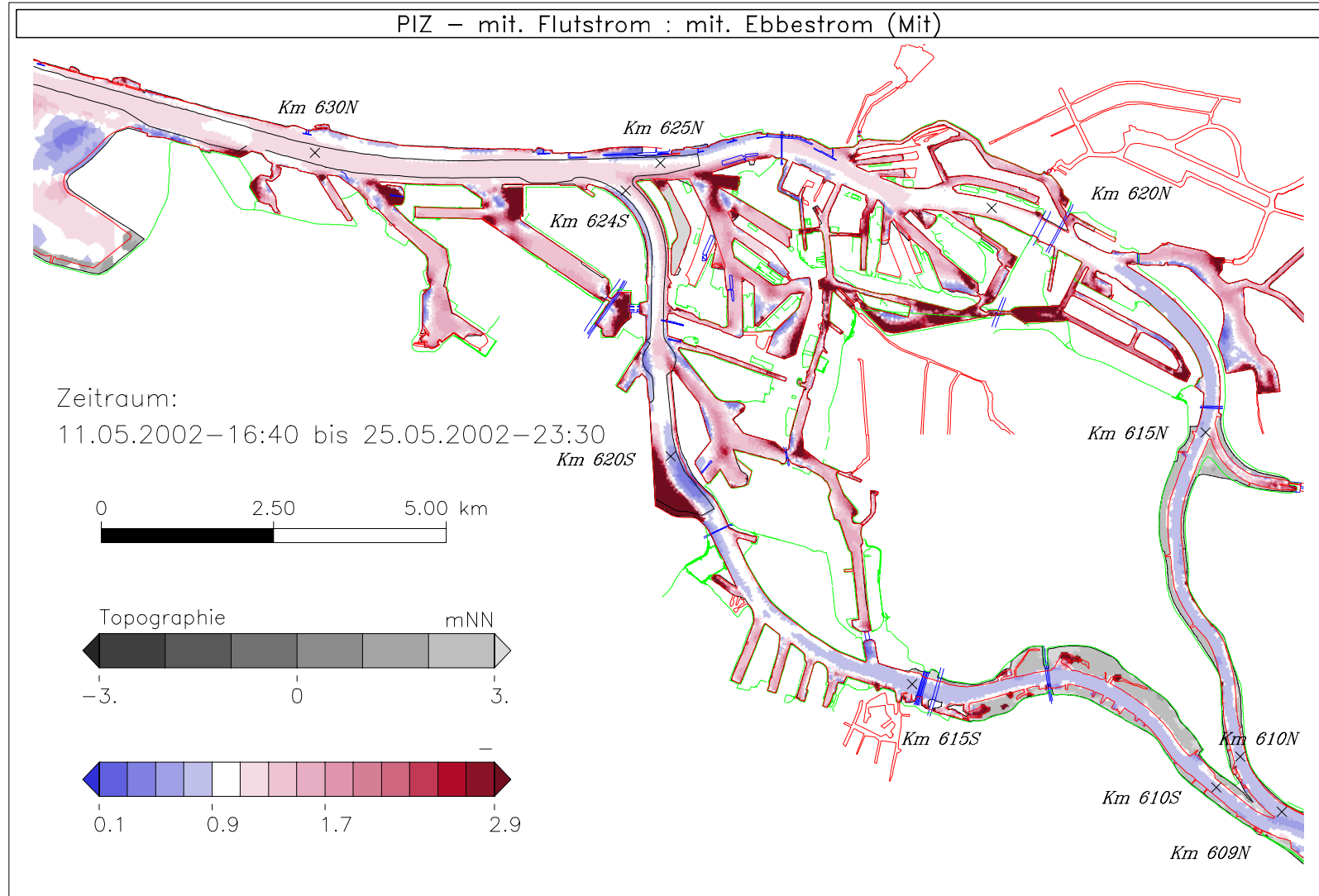


Bild 177: Verhältnis der mittleren Flut- zu Ebbestromgeschwindigkeit bei niedrigem Oberwasser, Teilgebiet 2

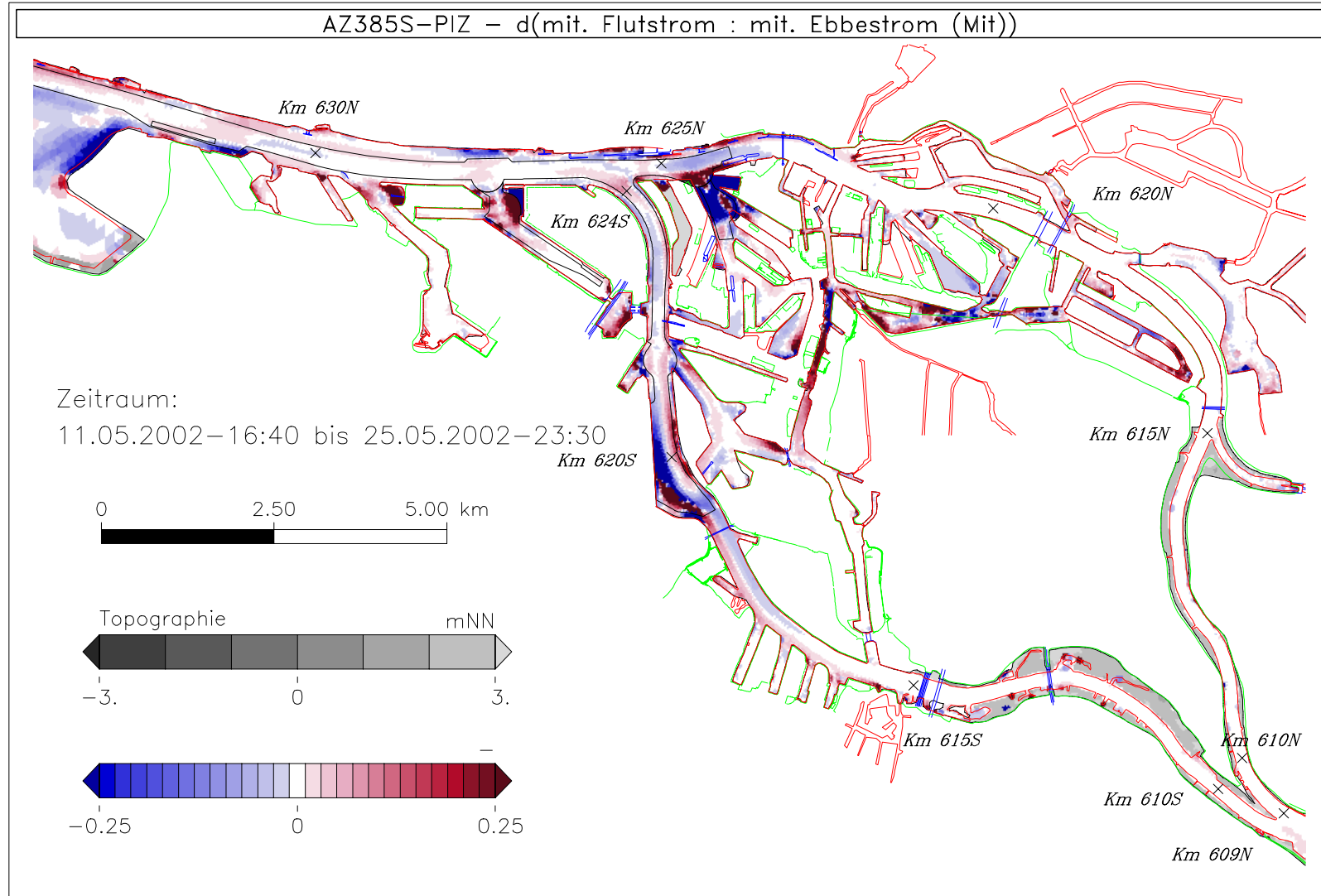


Bild 178: Differenz des Verhältnis der mittleren Flut- zu Ebbestromgeschwindigkeit (AZ385S - PIZ) bei niedrigem Oberwasser, Teilgebiet 2

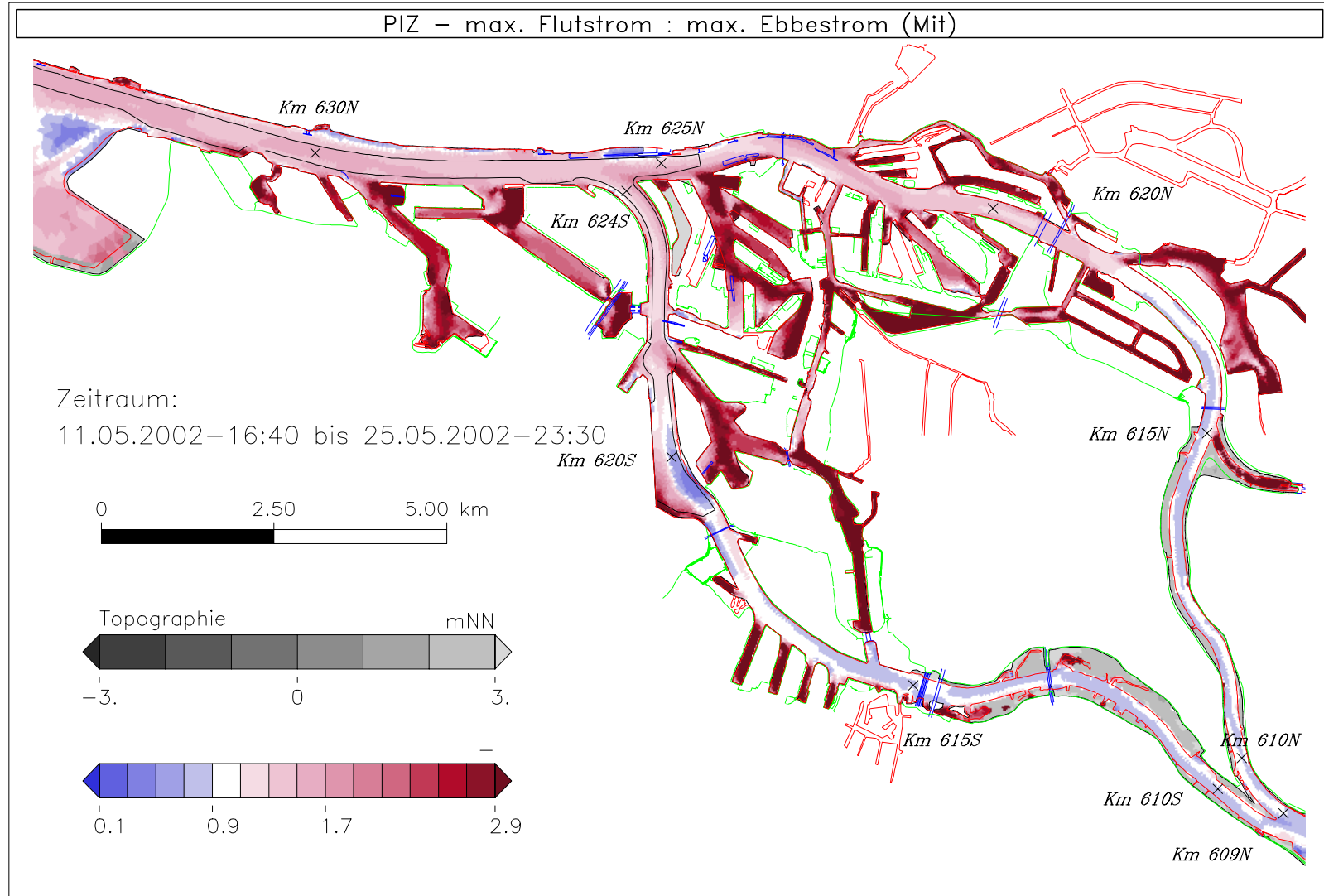


Bild 179: Verhältnis der maximalen Flut- zu Ebbstromgeschwindigkeit bei niedrigem Oberwasser, Teilgebiet 2

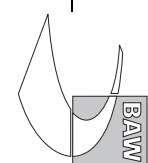
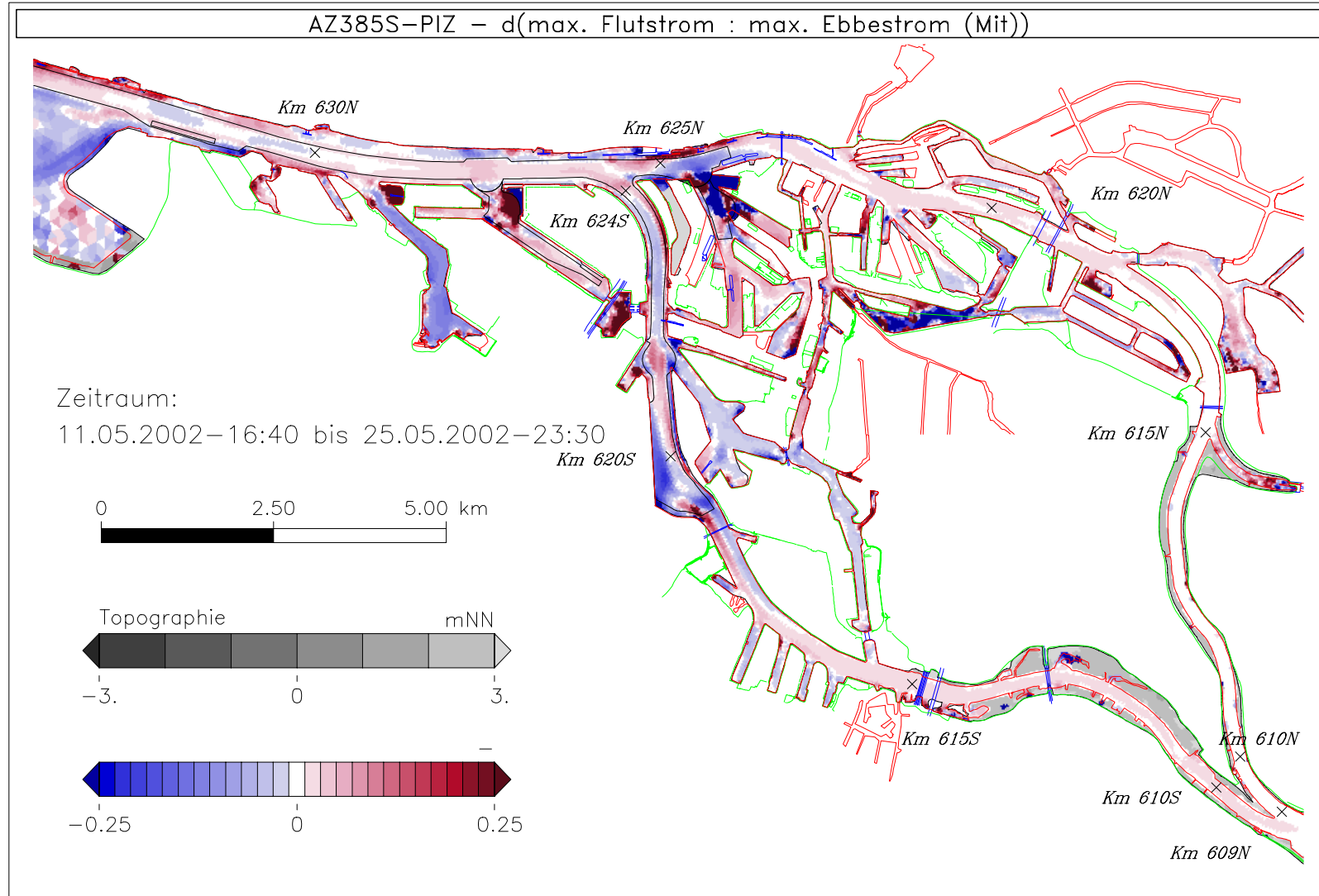


Bild 180: Differenz des Verhältnis der maximalen Flut- zu Ebbestromgeschwindigkeit (AZ385S - PIZ) bei niedrigem Oberwasser, Teilgebiet 2

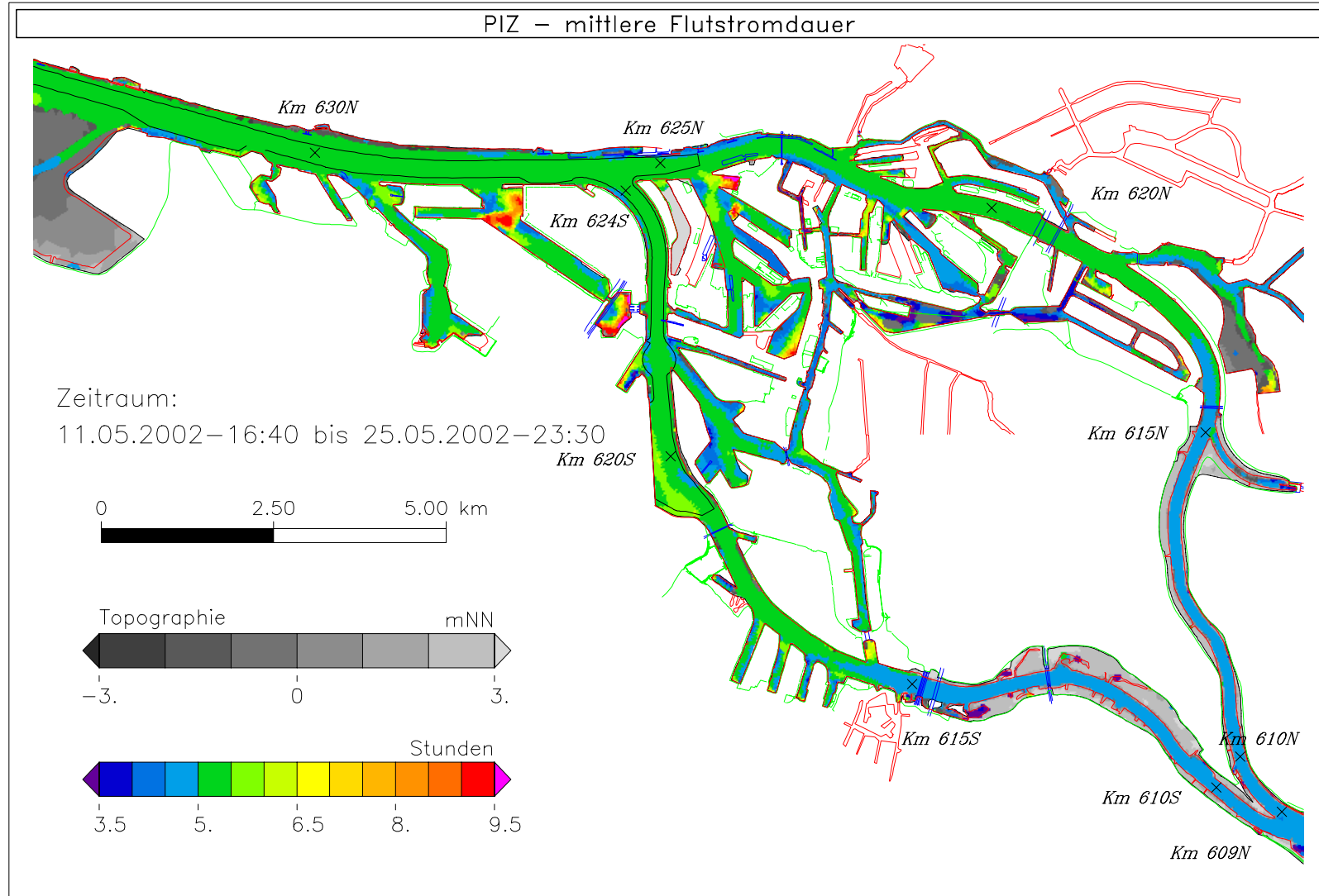
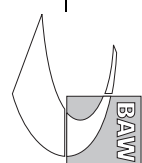


Bild 181: Mittlere Flutstromdauer bei niedrigem Oberwasser, Teilgebiet 2



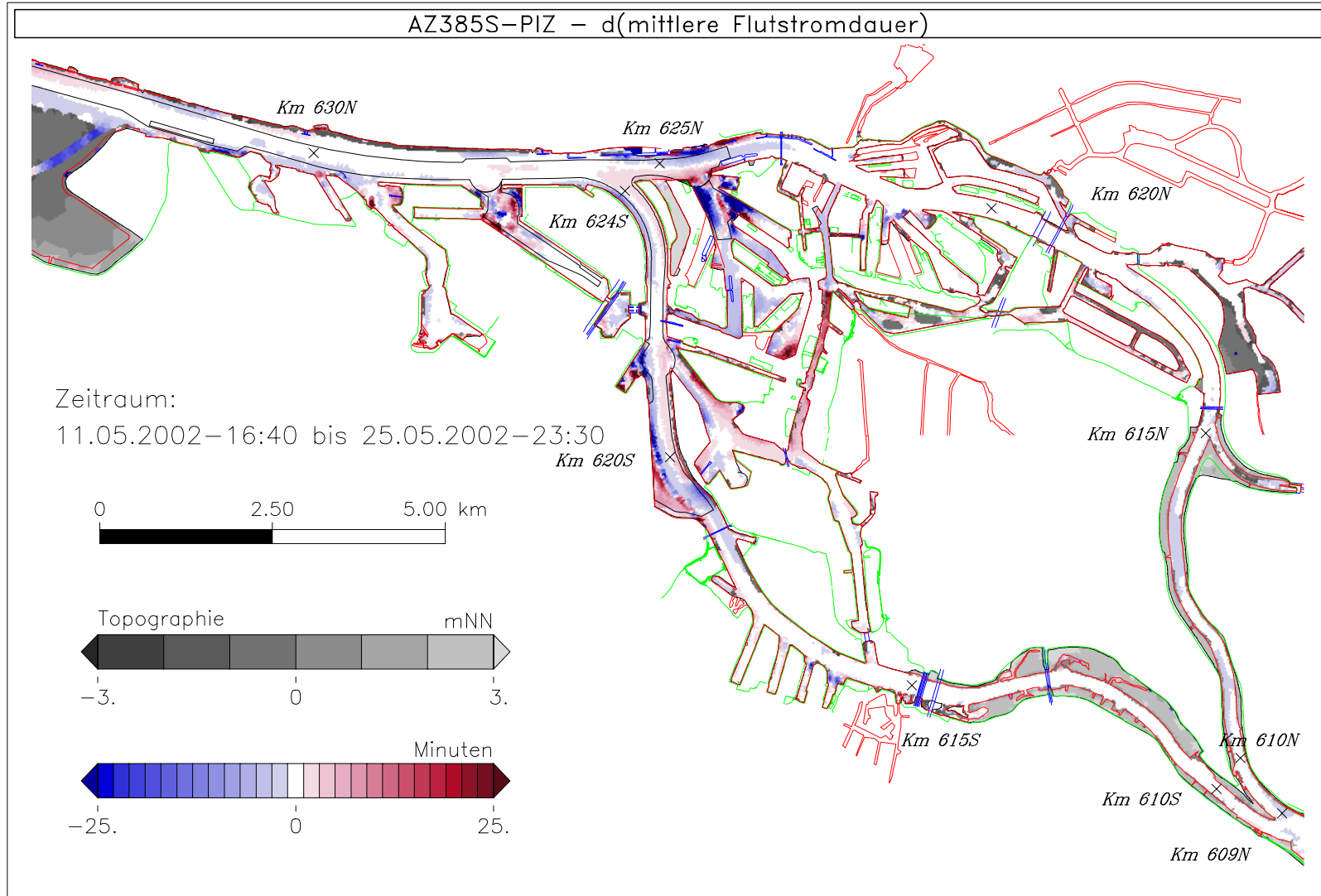


Bild 182: Differenz der mittleren Flutstromdauer (AZ385S - PIZ) bei niedrigem Oberwasser, Teilgebiet 2

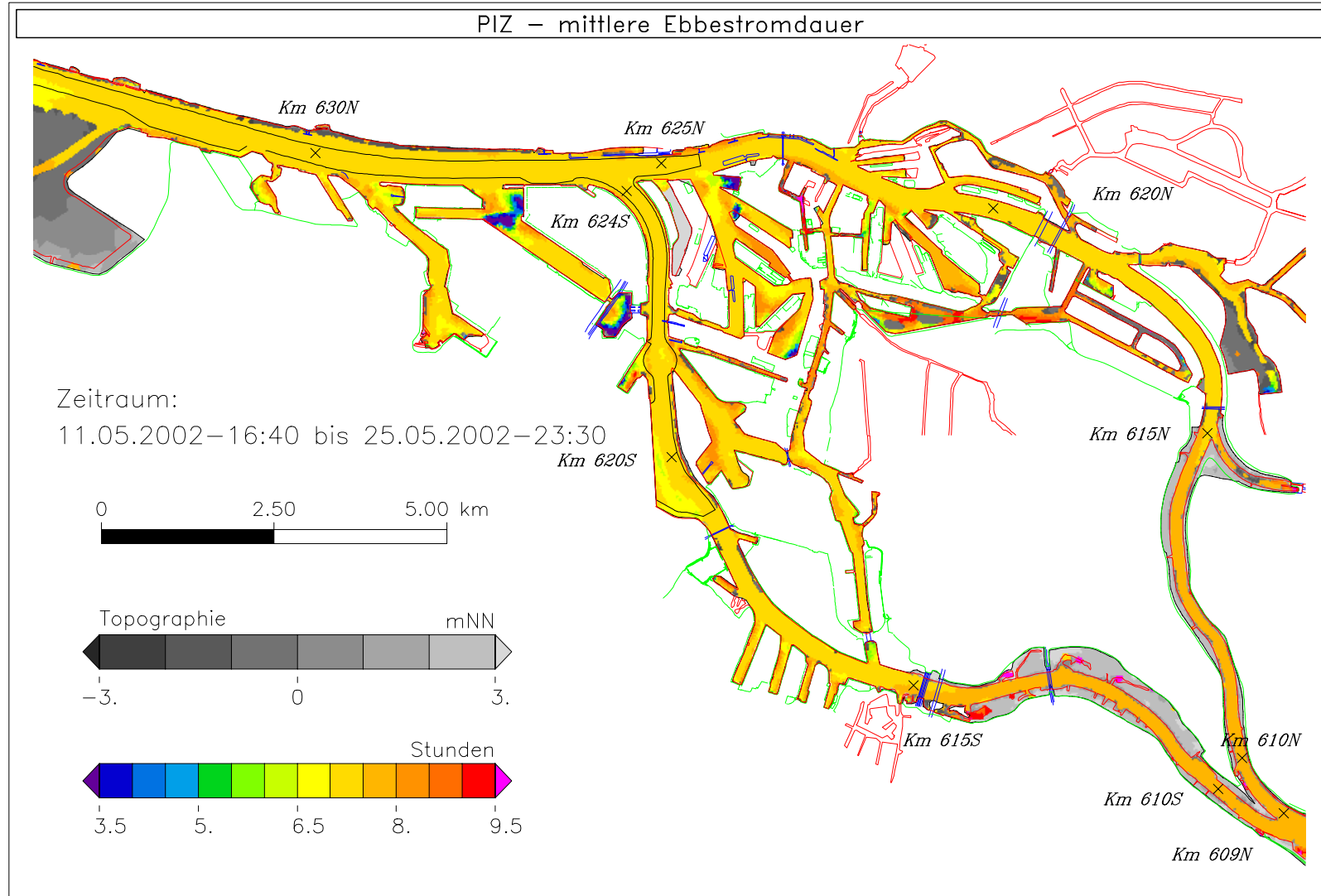


Bild 183: Mittlere Ebbestromdauer bei niedrigem Oberwasser, Teilgebiet 2

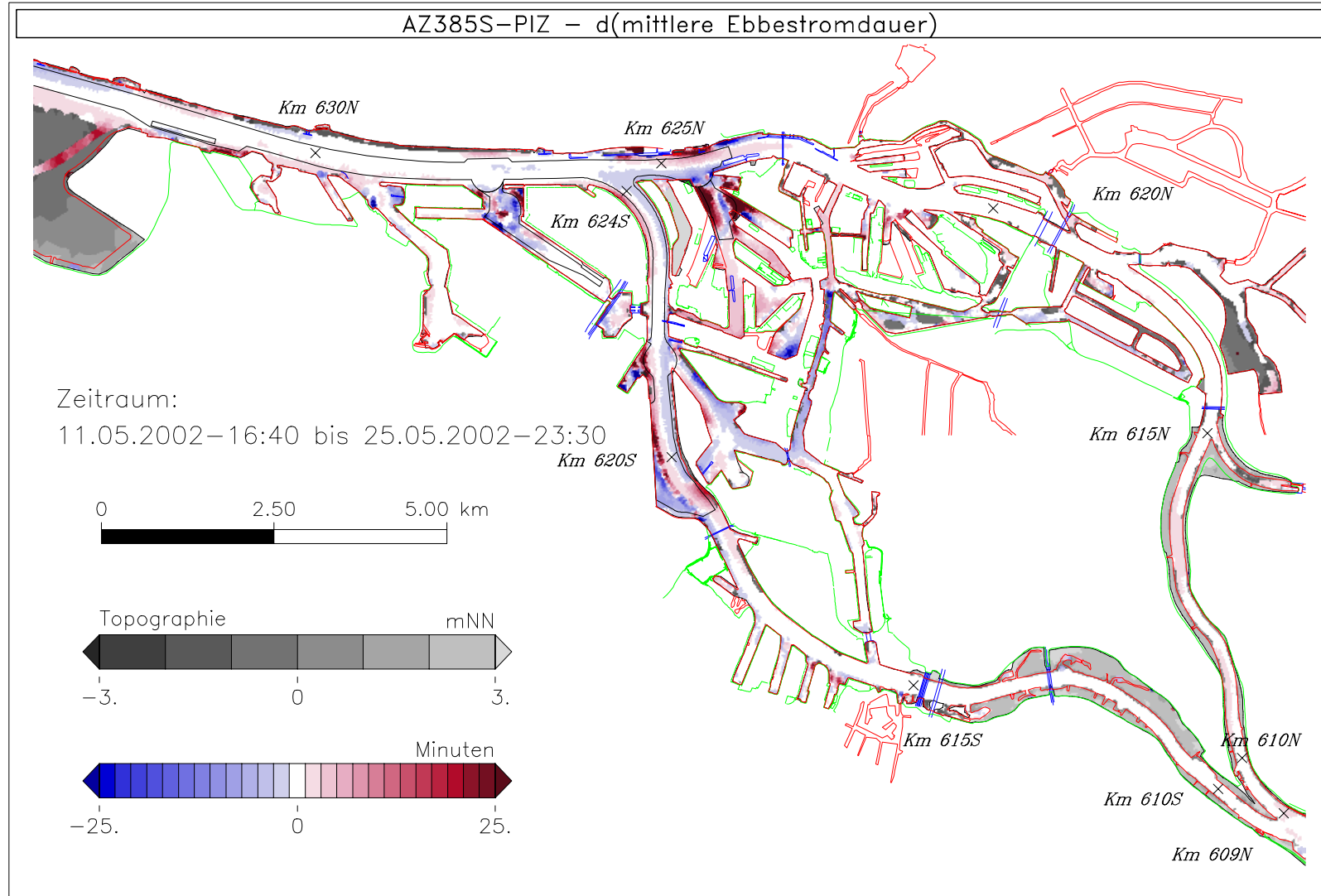
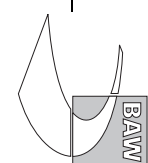


Bild 184: Differenz der mittleren Ebbestromdauer (AZ385S - PIZ) bei niedrigem Oberwasser, Teilgebiet 2



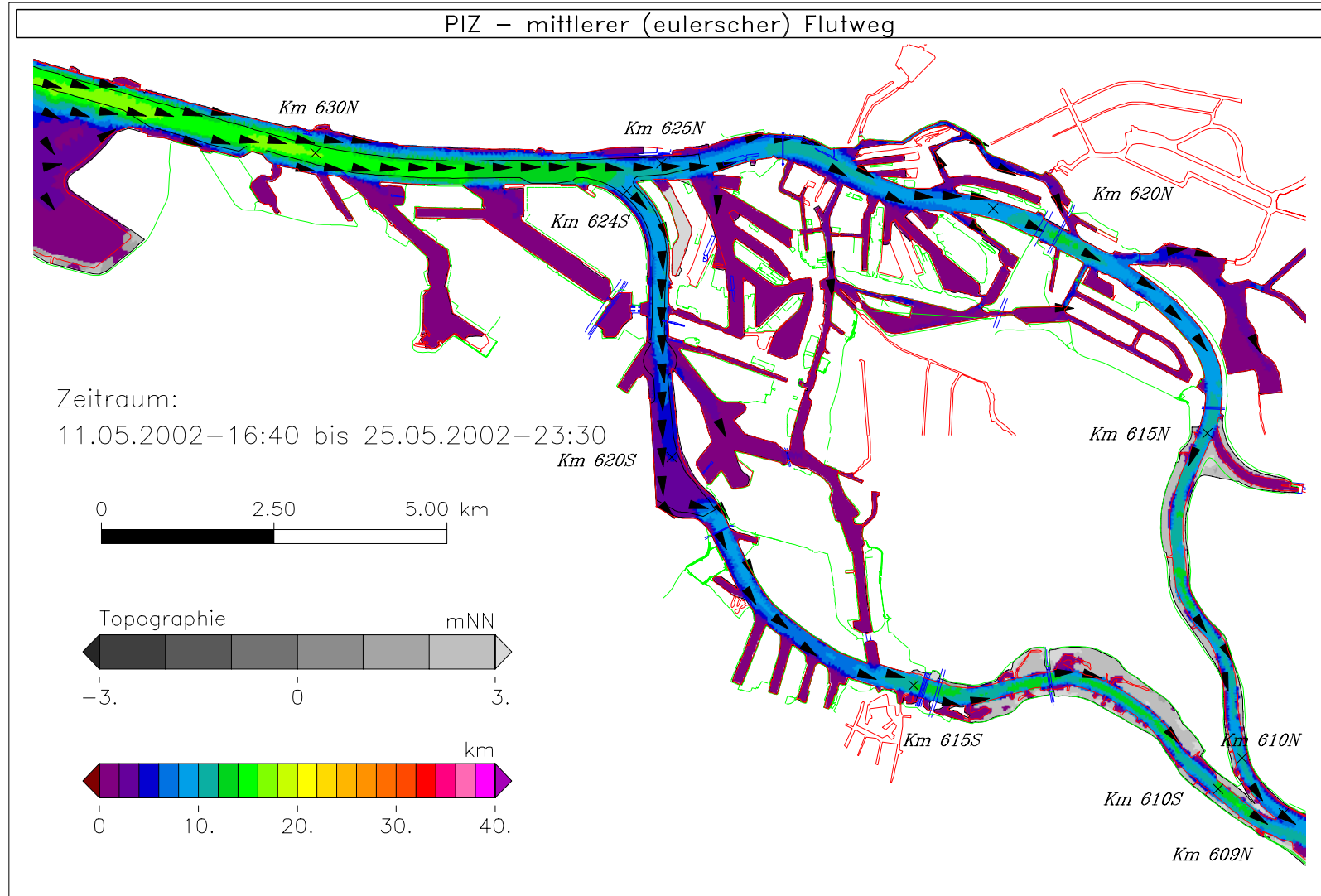


Bild 185: Mittlerer Eulerscher Flutweg bei niedrigem Oberwasser, Teilgebiet 2

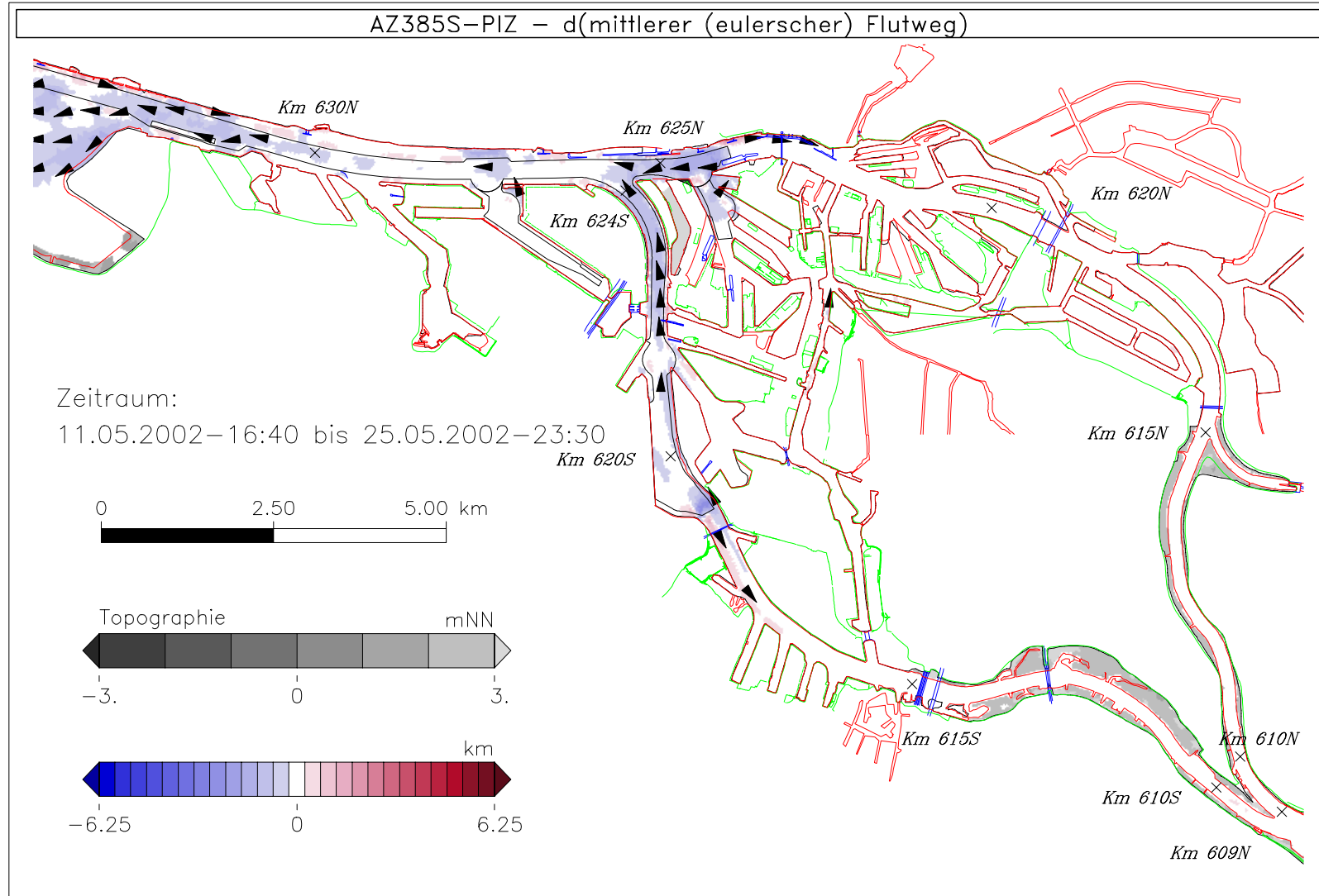


Bild 186: Differenz des mittleren Eulerschen Flutweges (AZ385S - PIZ) bei niedrigem Oberwasser, Teilgebiet 2

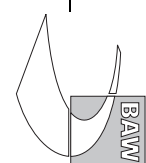
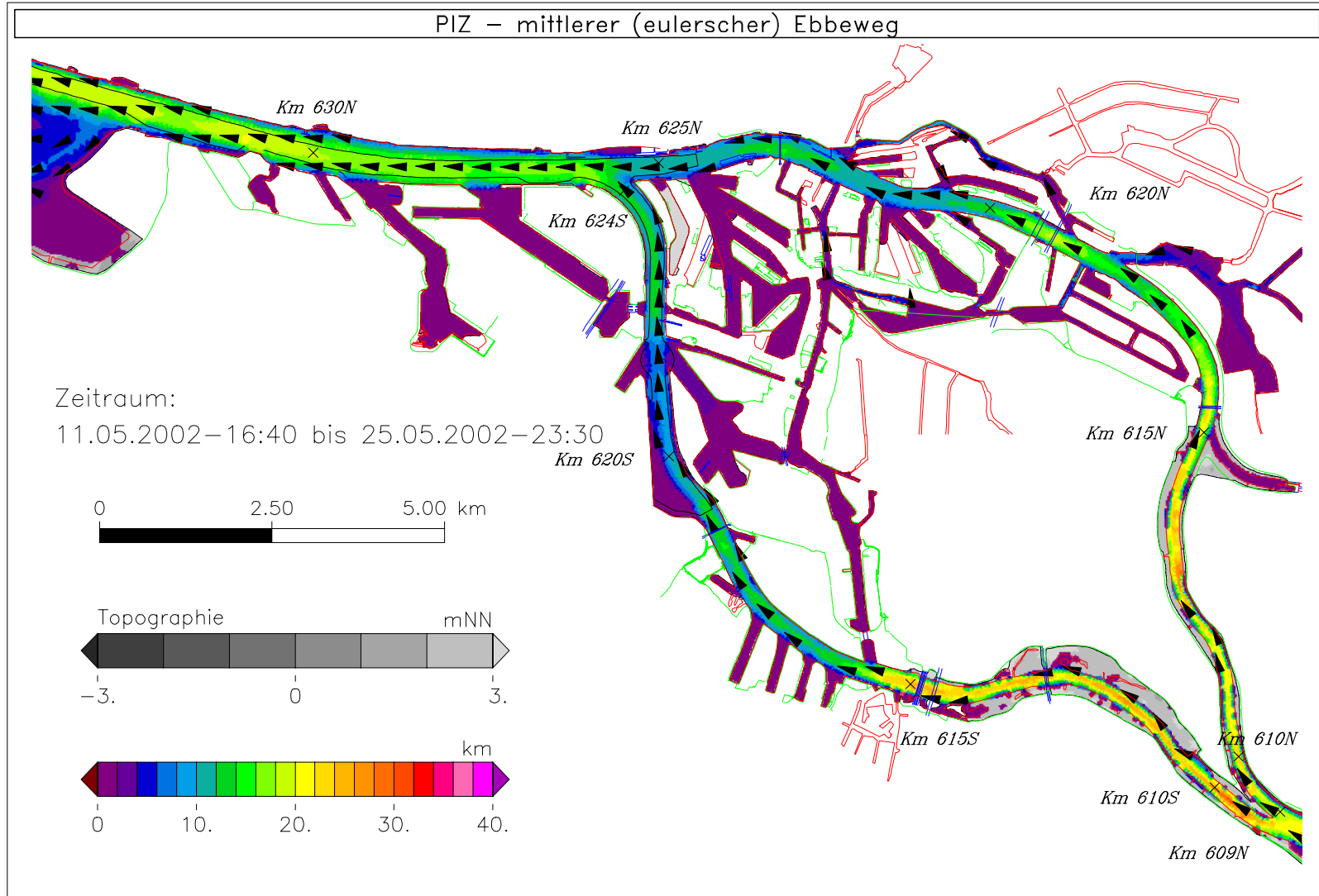


Bild 187: Mittlerer Eulerscher Ebbeweg bei niedrigem Oberwasser, Teilgebiet 2

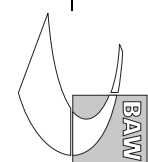
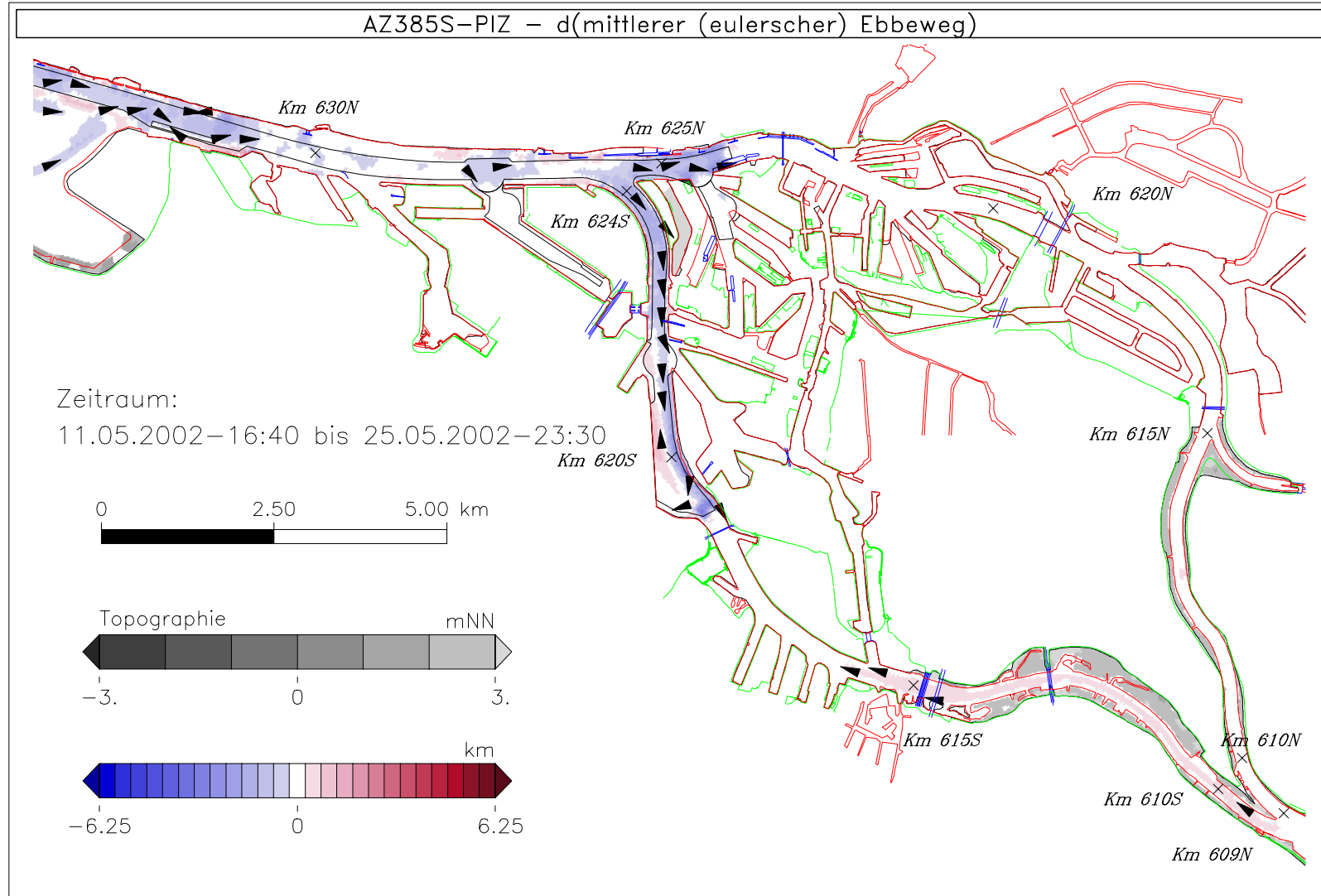


Bild 188: Differenz des mittleren Eulerschen Ebbeweges (AZ385S - PIZ) bei niedrigem Oberwasser, Teilgebiet 2

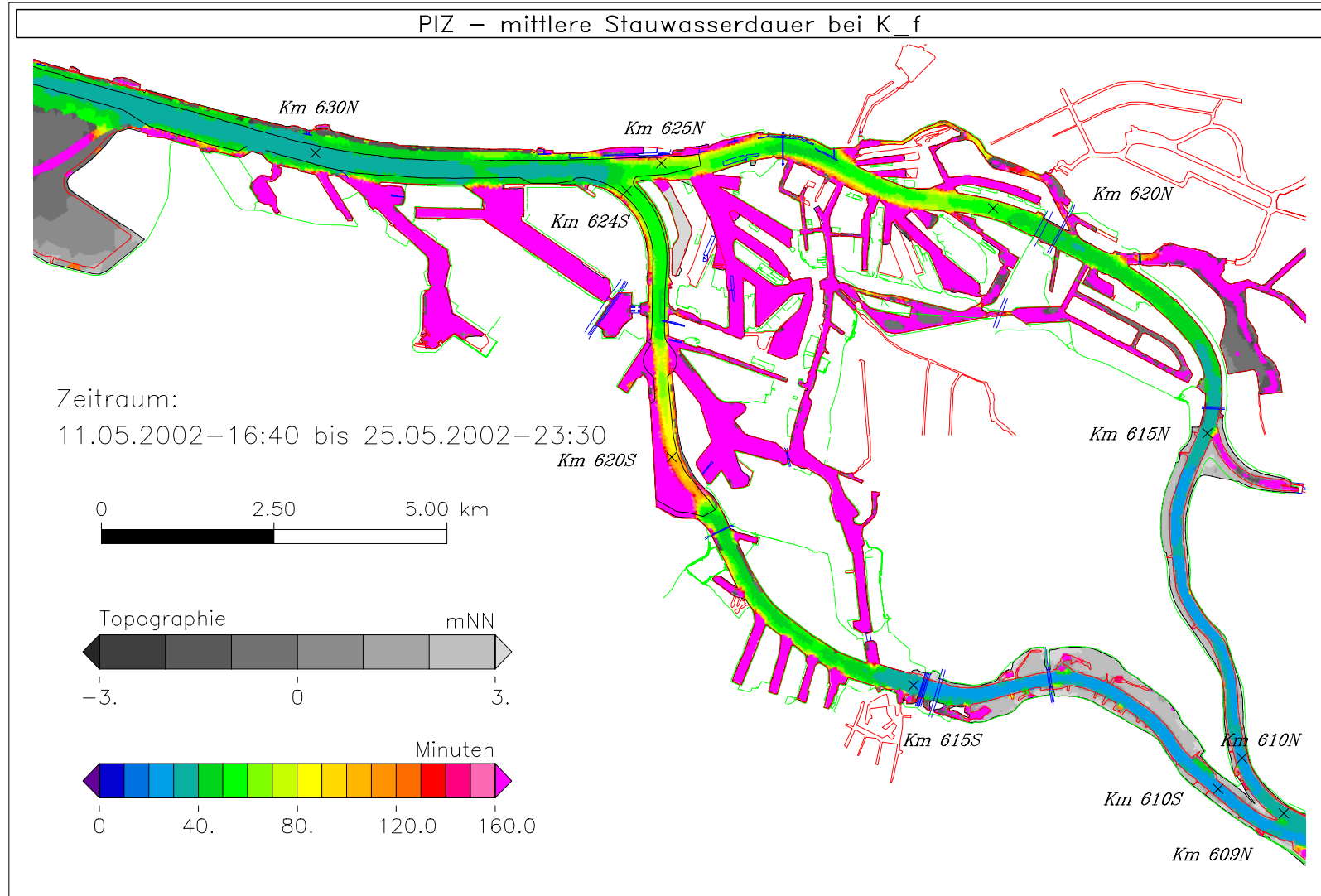


Bild 189: Mittlere Stauwasserdauer bei Kenterpunkt Flut bei niedrigem Oberwasser, Teilgebiet 2

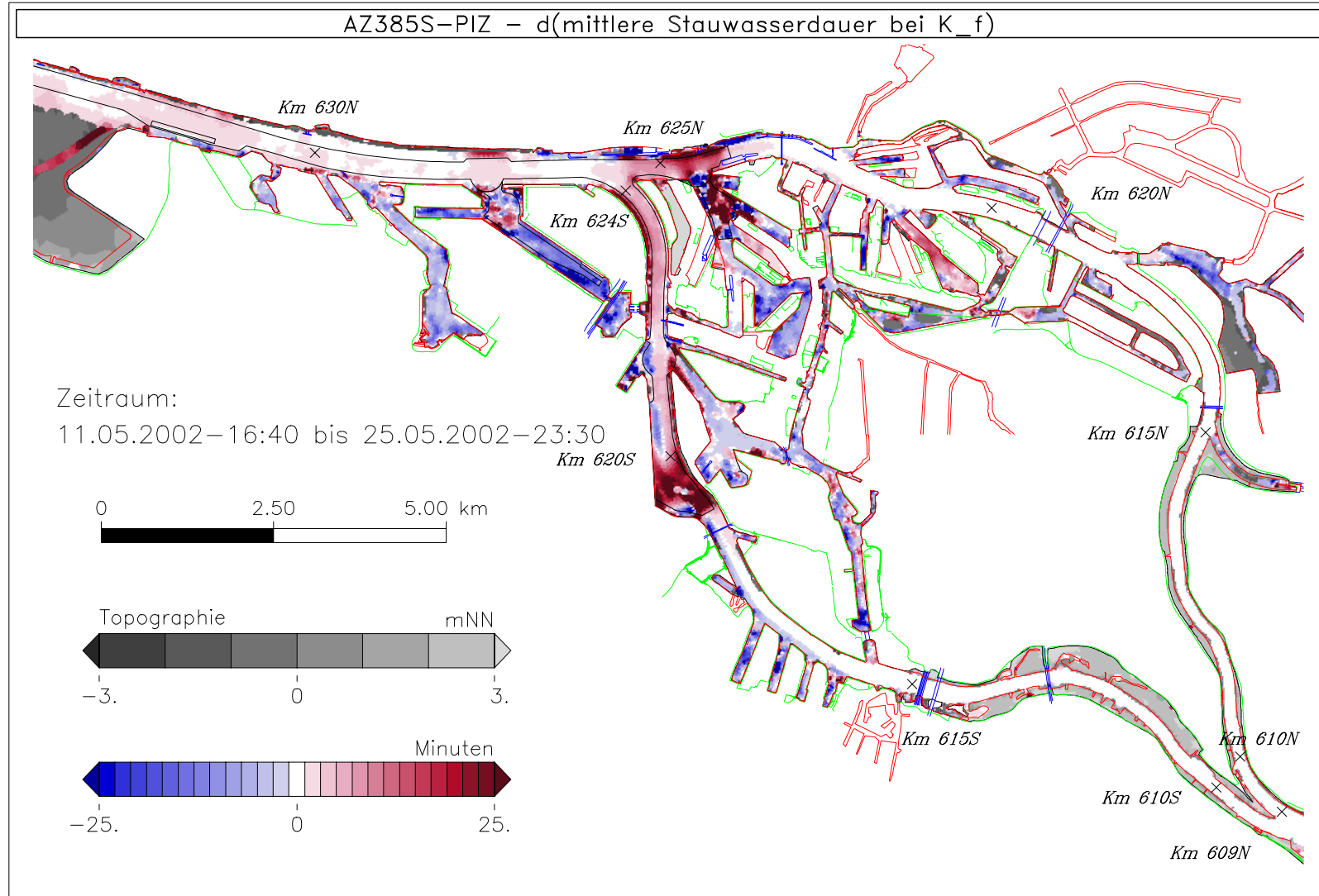


Bild 190: Differenz der mittleren Stauwasserdauer bei Kenterpunkt Flut (AZ385S - PIZ) bei niedrigem Oberwasser, Teilgebiet 2

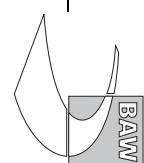
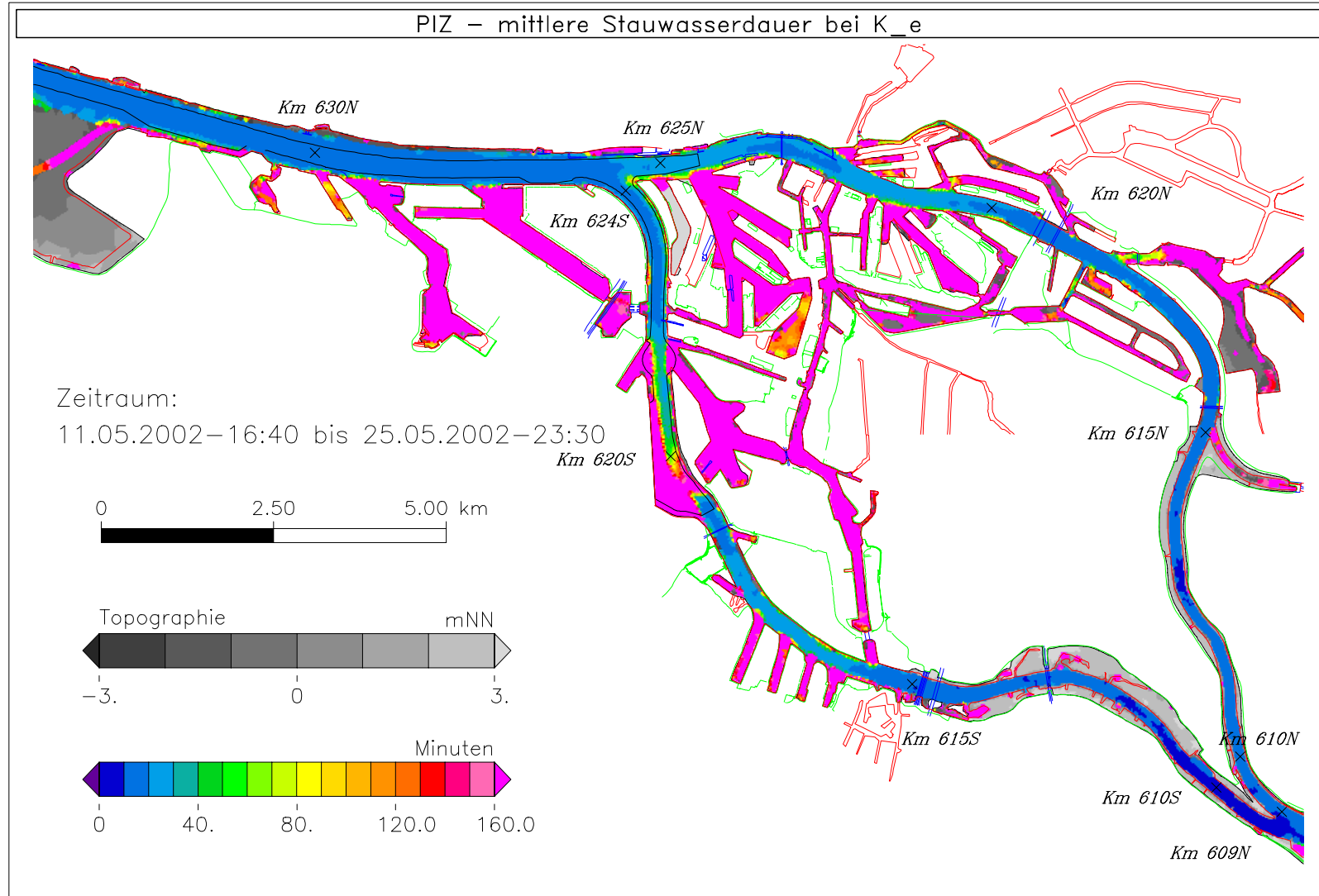


Bild 191: Mittlere Stauwasserdauer bei Kenterpunkt Ebbe bei niedrigem Oberwasser, Teilgebiet 2

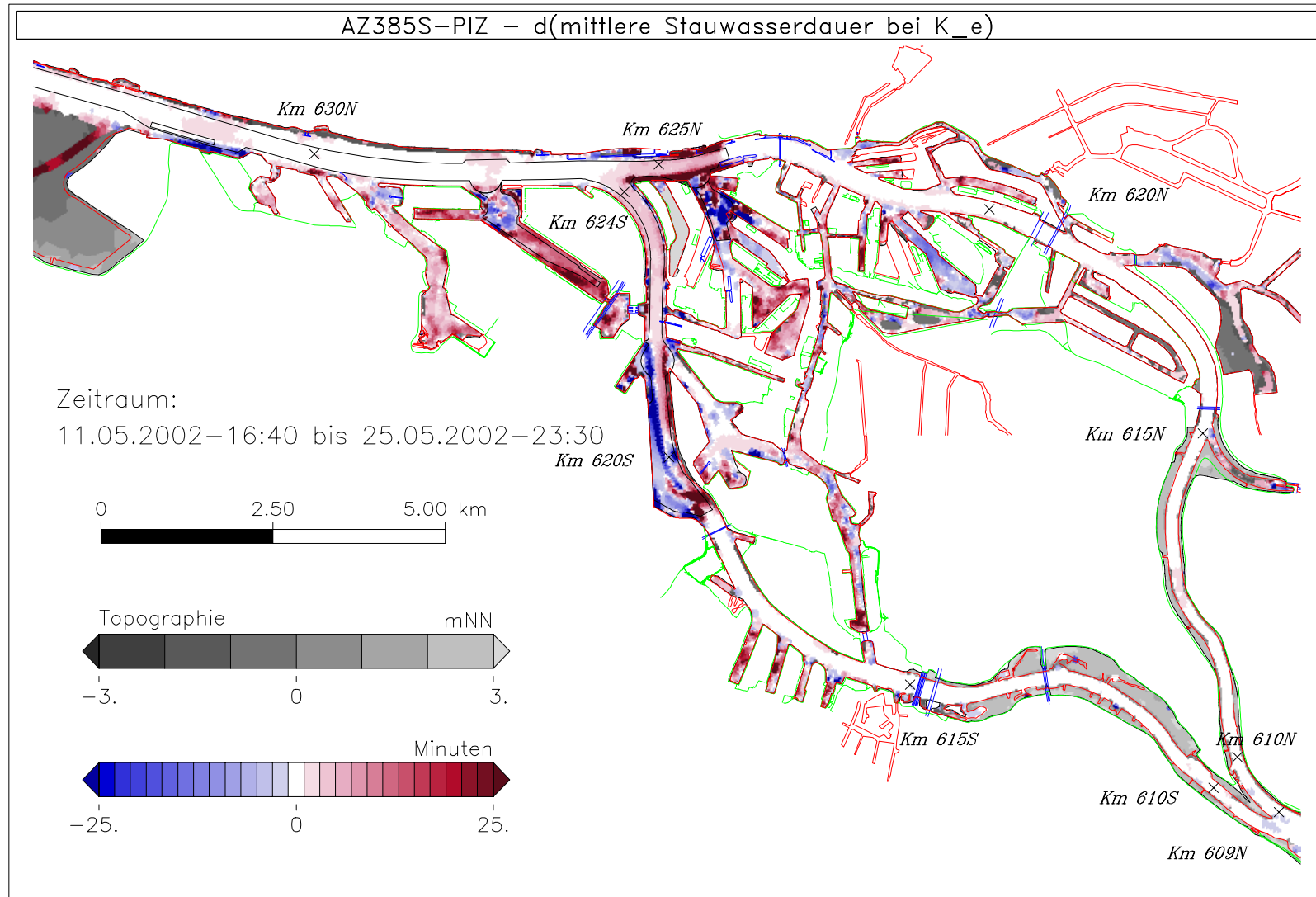


Bild 192: Differenz der mittleren Stauwasserdauer bei Kenterpunkt Ebbe (AZ385S - PIZ) bei niedrigem Oberwasser, Teilgebiet 2

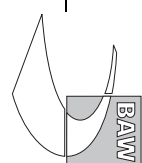
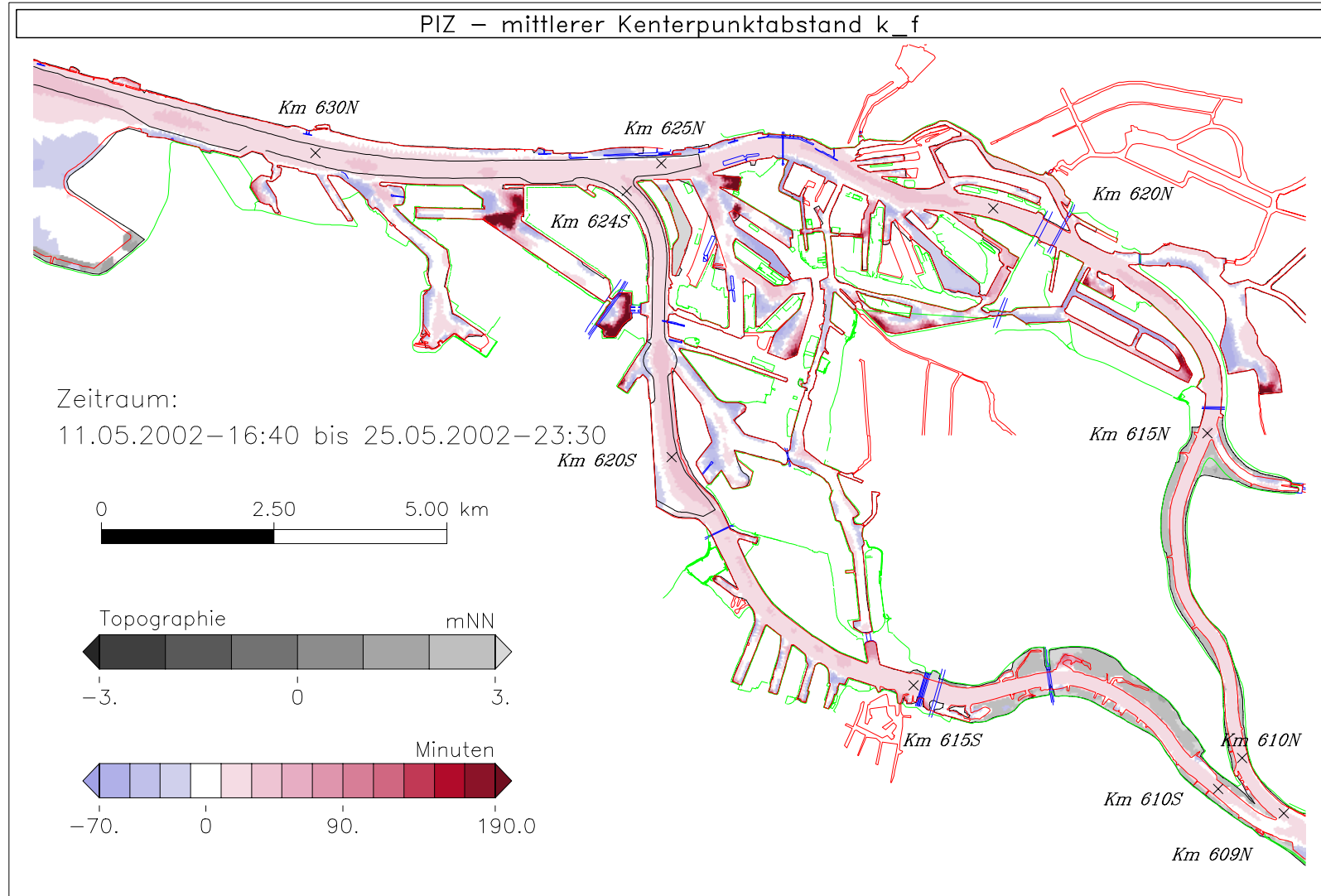


Bild 193: Mittlerer Kenterpunktabstand bei Kenterpunkt Flut bei niedrigem Oberwasser, Teilgebiet 2

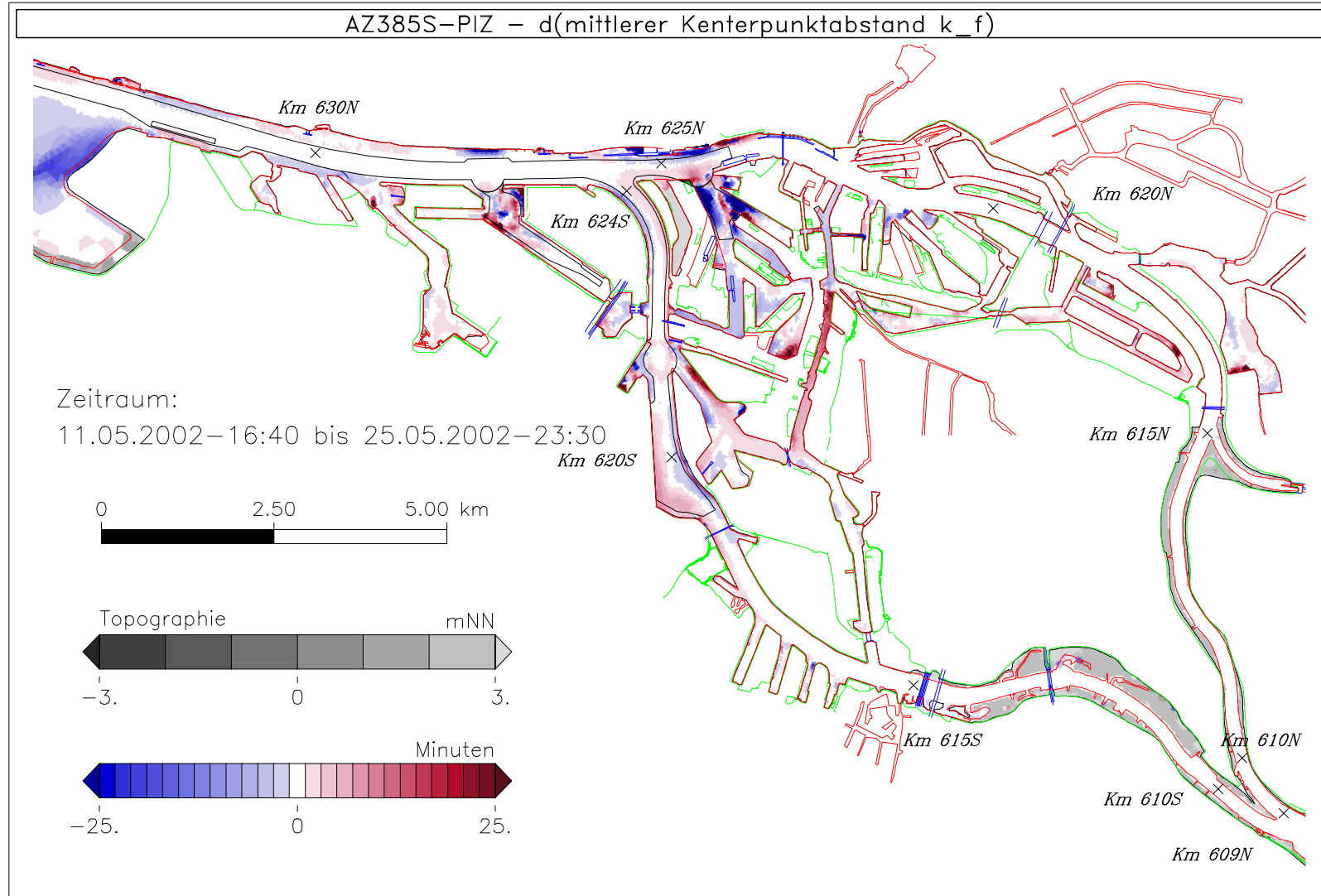


Bild 194: Differenz des mittleren Kenterpunktabstandes bei Kenterpunkt Flut (AZ385S - PIZ) bei niedrigem Oberwasser, Teilgebiet 2

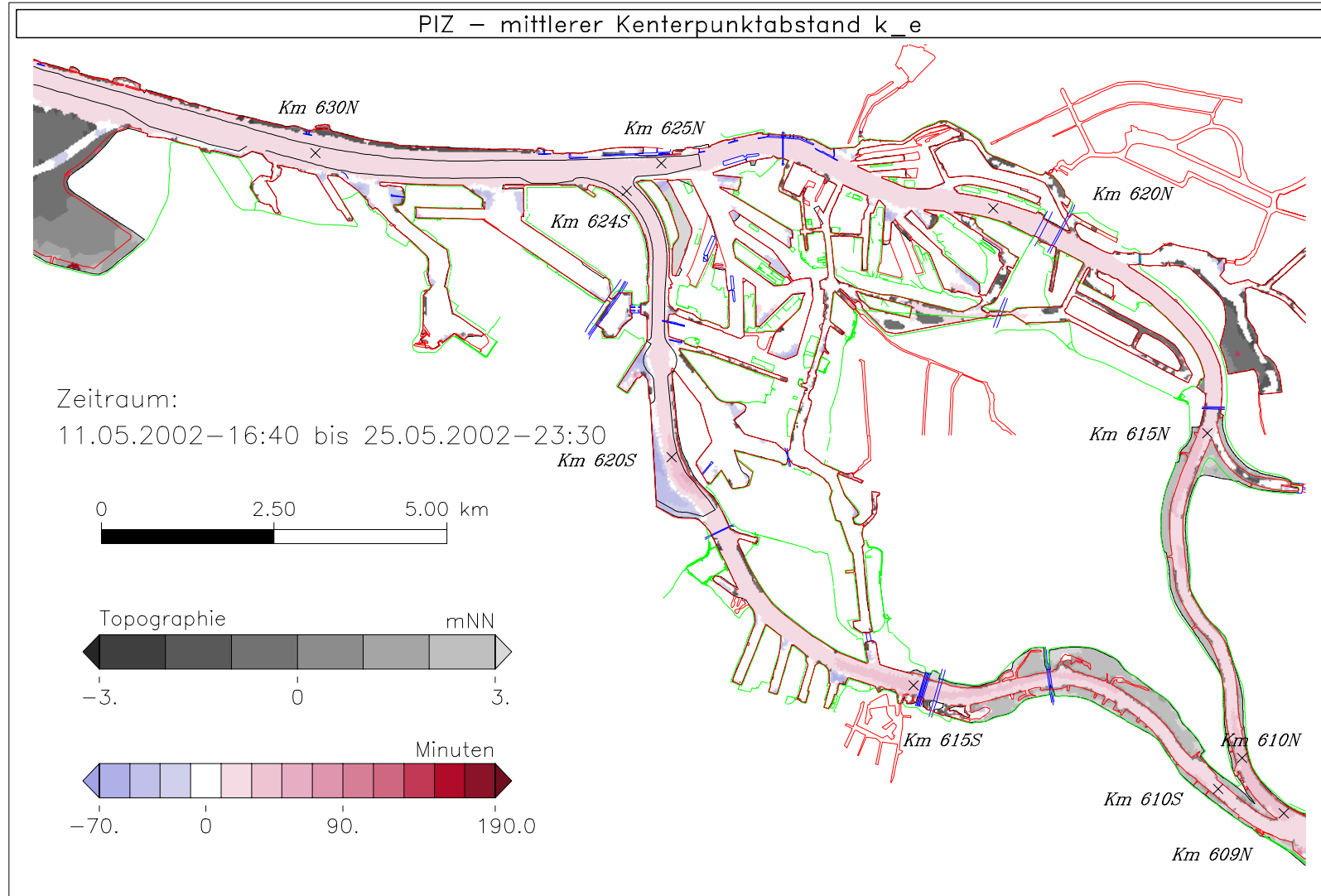
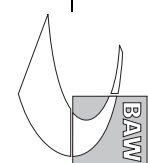


Bild 195: Mittlerer Kenterpunktabstand bei Kenterpunkt Ebbe bei niedrigem Oberwasser, Teilgebiet 2



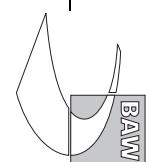
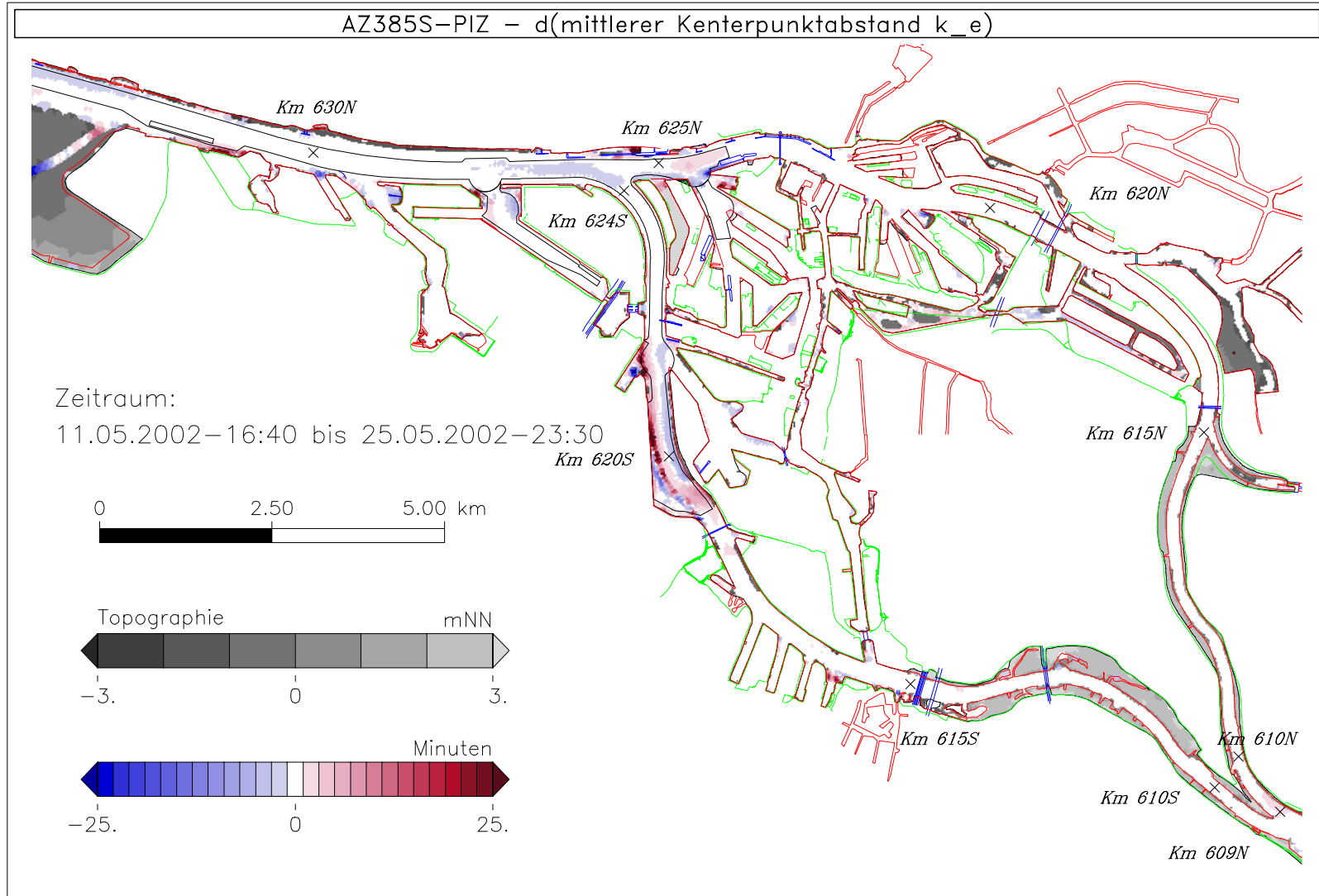


Bild 196: Differenz des mittleren Kenterpunktabstandes bei Kenterpunkt Ebbe (AZ385S - PIZ) bei niedrigem Oberwasser, Teilgebiet 2

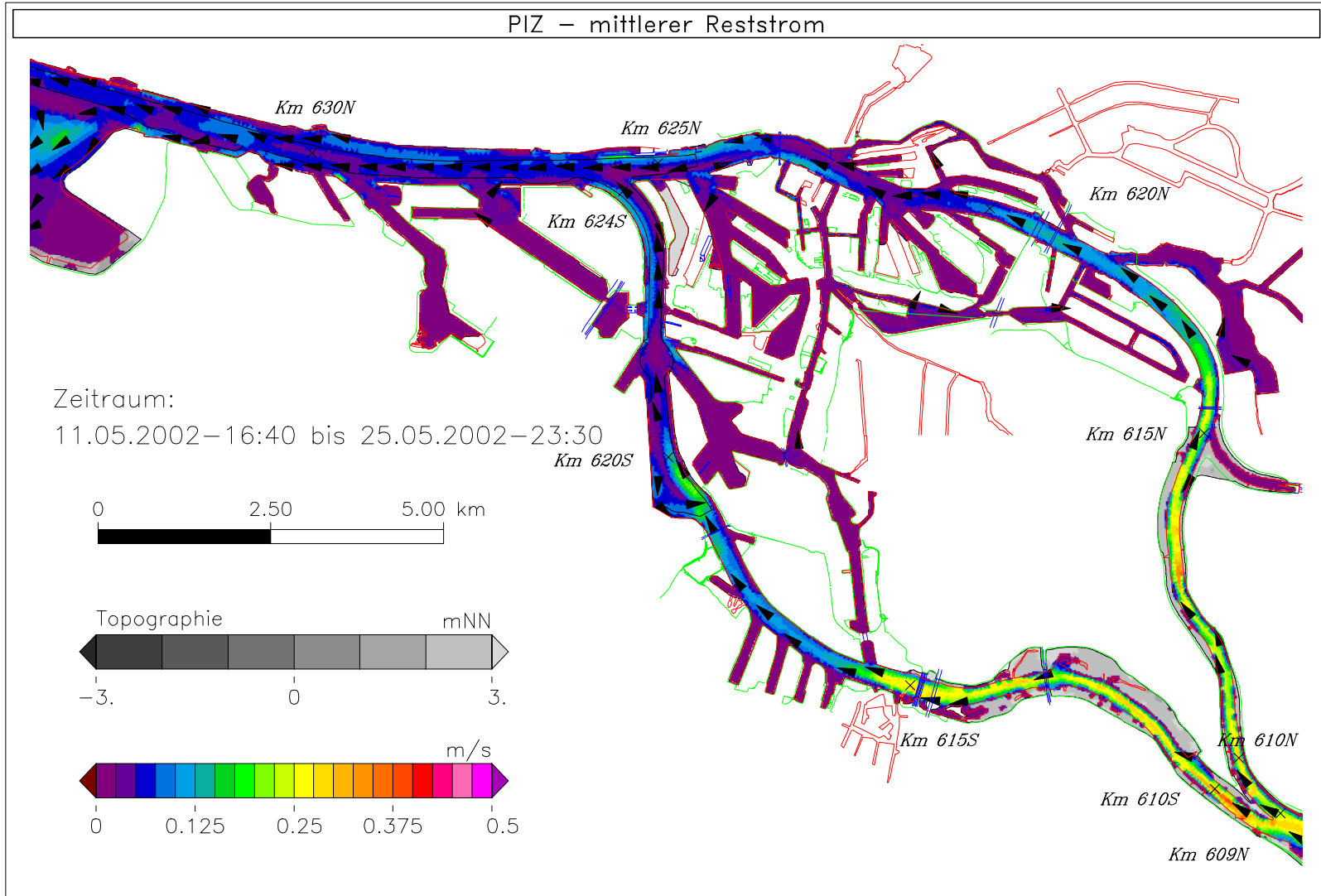


Bild 197: Reststromgeschwindigkeit bei niedrigem Oberwasser, Teilgebiet 2

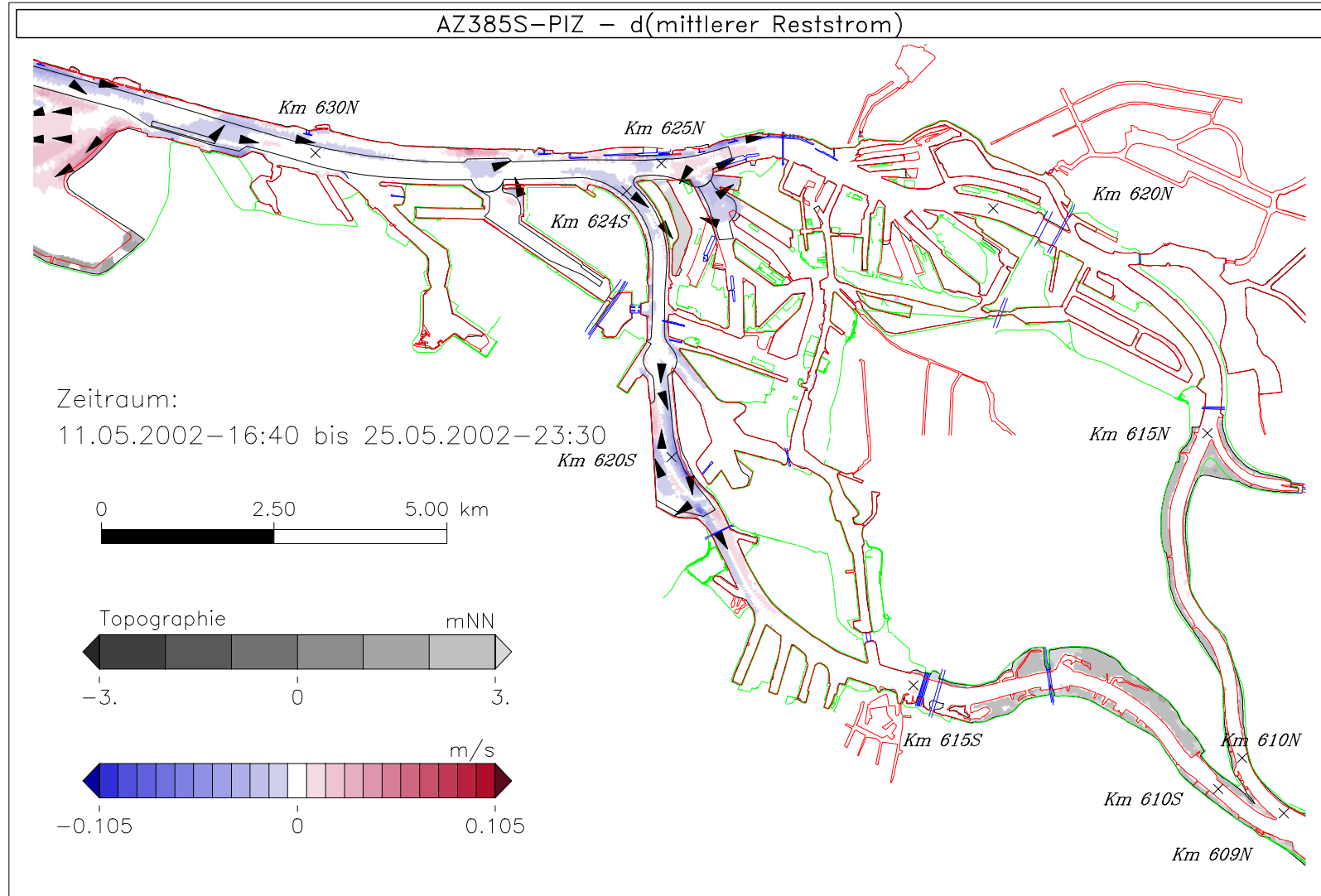
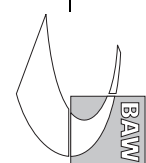


Bild 198: Differenz der Reststromgeschwindigkeit (AZ385S - PIZ) bei niedrigem Oberwasser, Teilgebiet 2



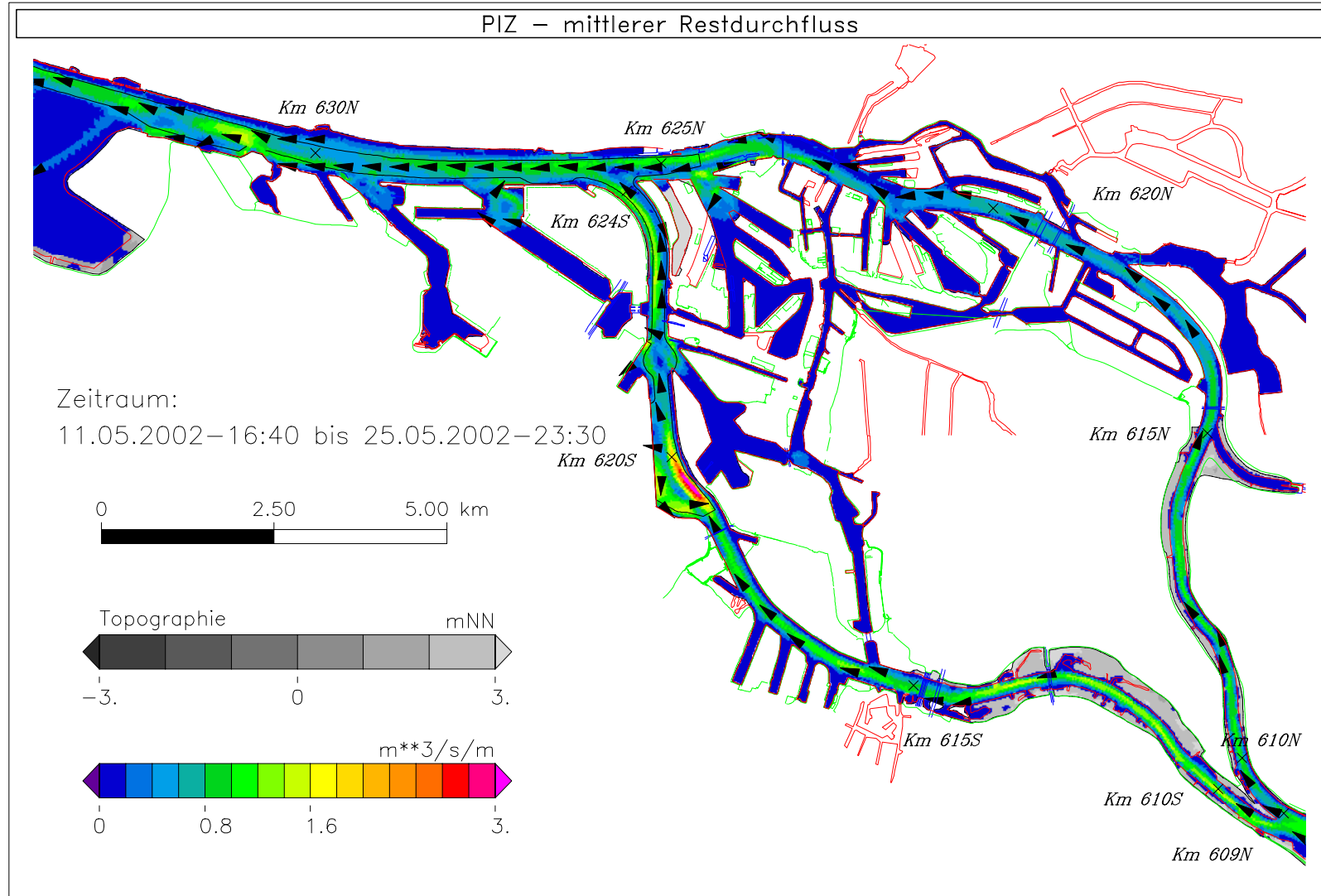


Bild 199: Restdurchfluss bei niedrigem Oberwasser, Teilgebiet 2

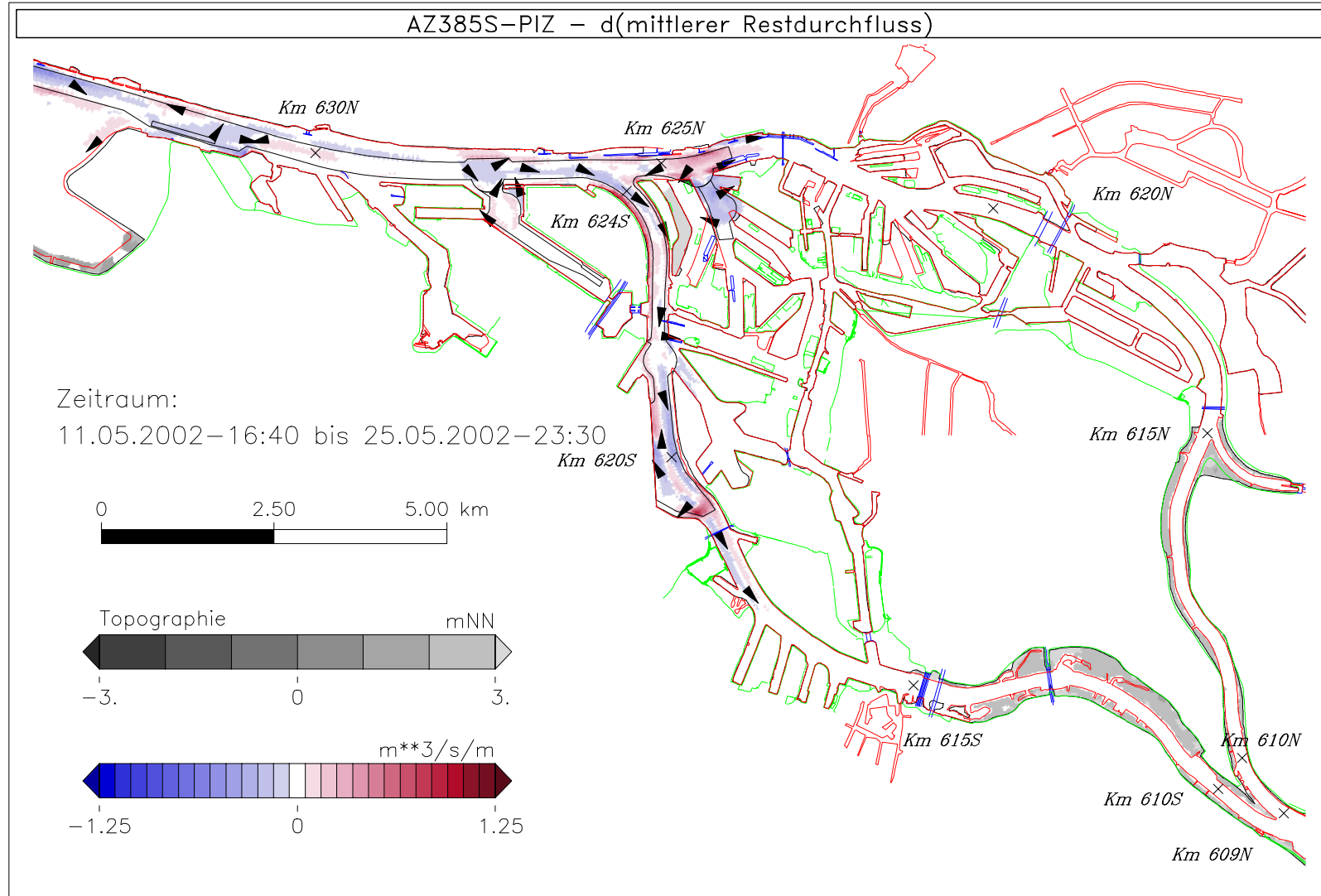
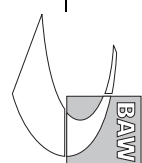
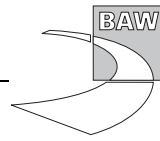
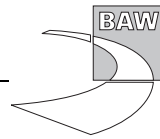


Bild 200: Differenz des Restdurchflusses (AZ385S - PIZ) bei niedrigem Oberwasser, Teilgebiet 2







A.5 Teilgebiet 1

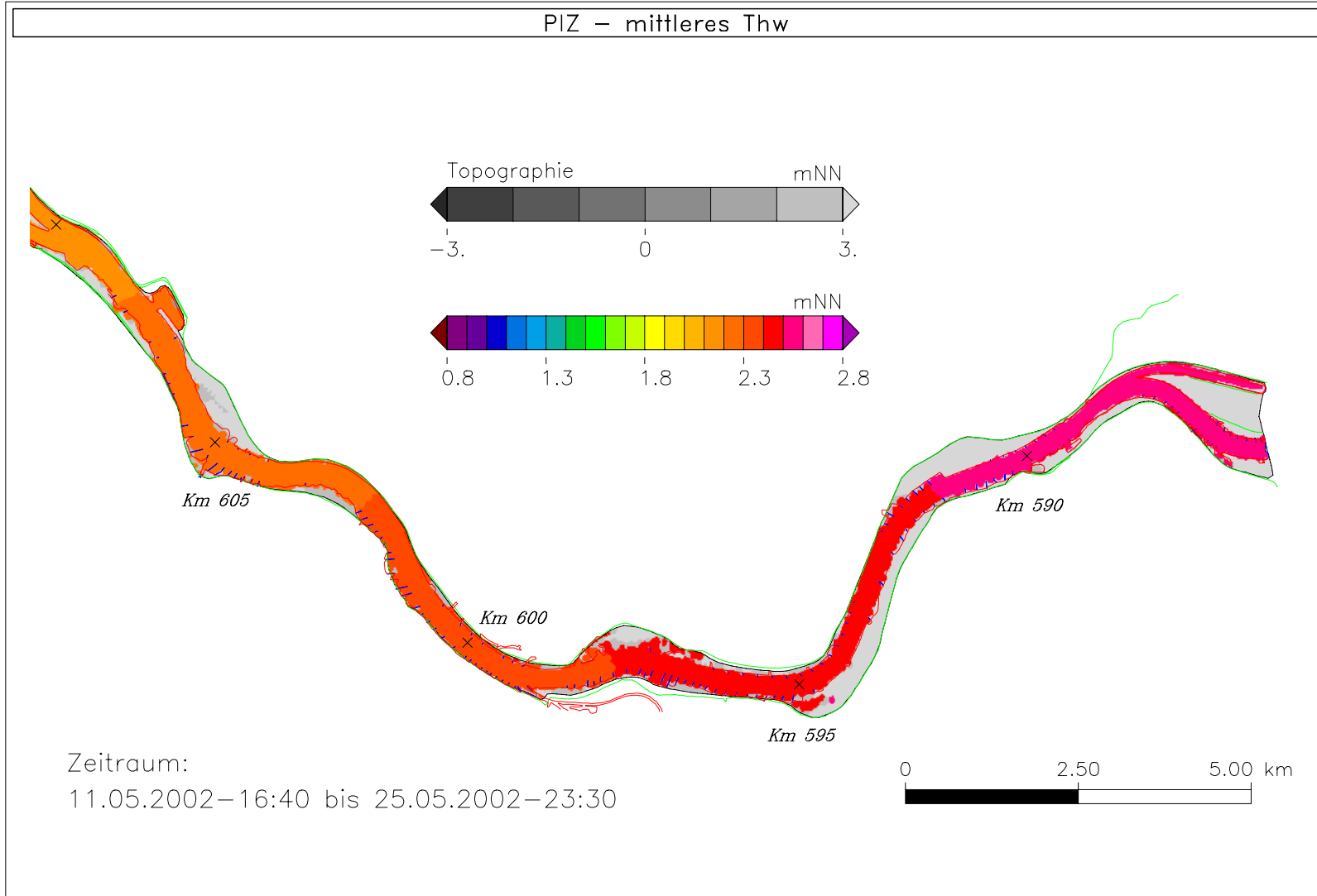


Bild 201: Tidehochwasser bei niedrigem Oberwasser, Teilgebiet 1

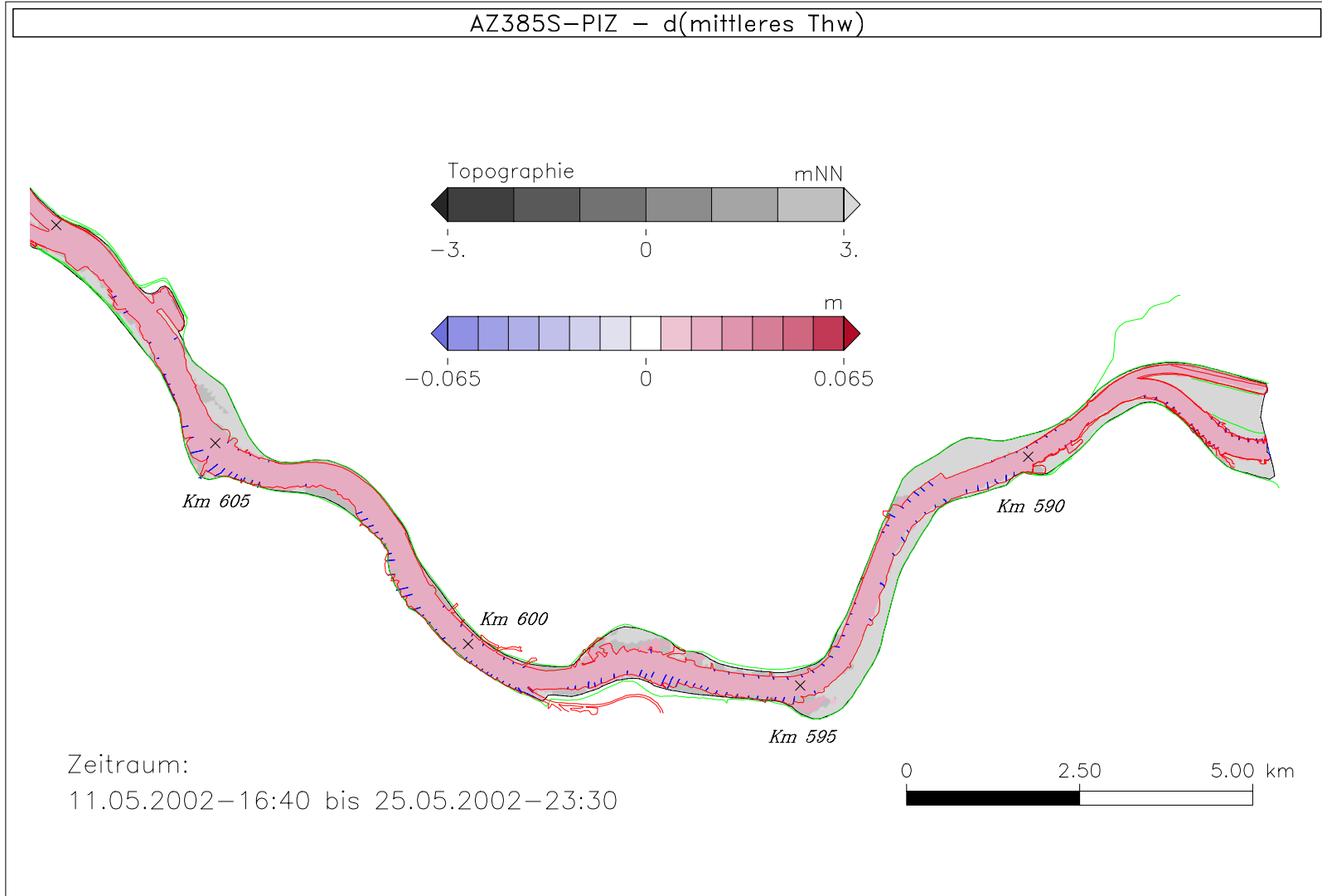


Bild 202: Differenz des Tidehochwassers (AZ385S - PIZ) bei niedrigem Oberwasser, Teilgebiet 1

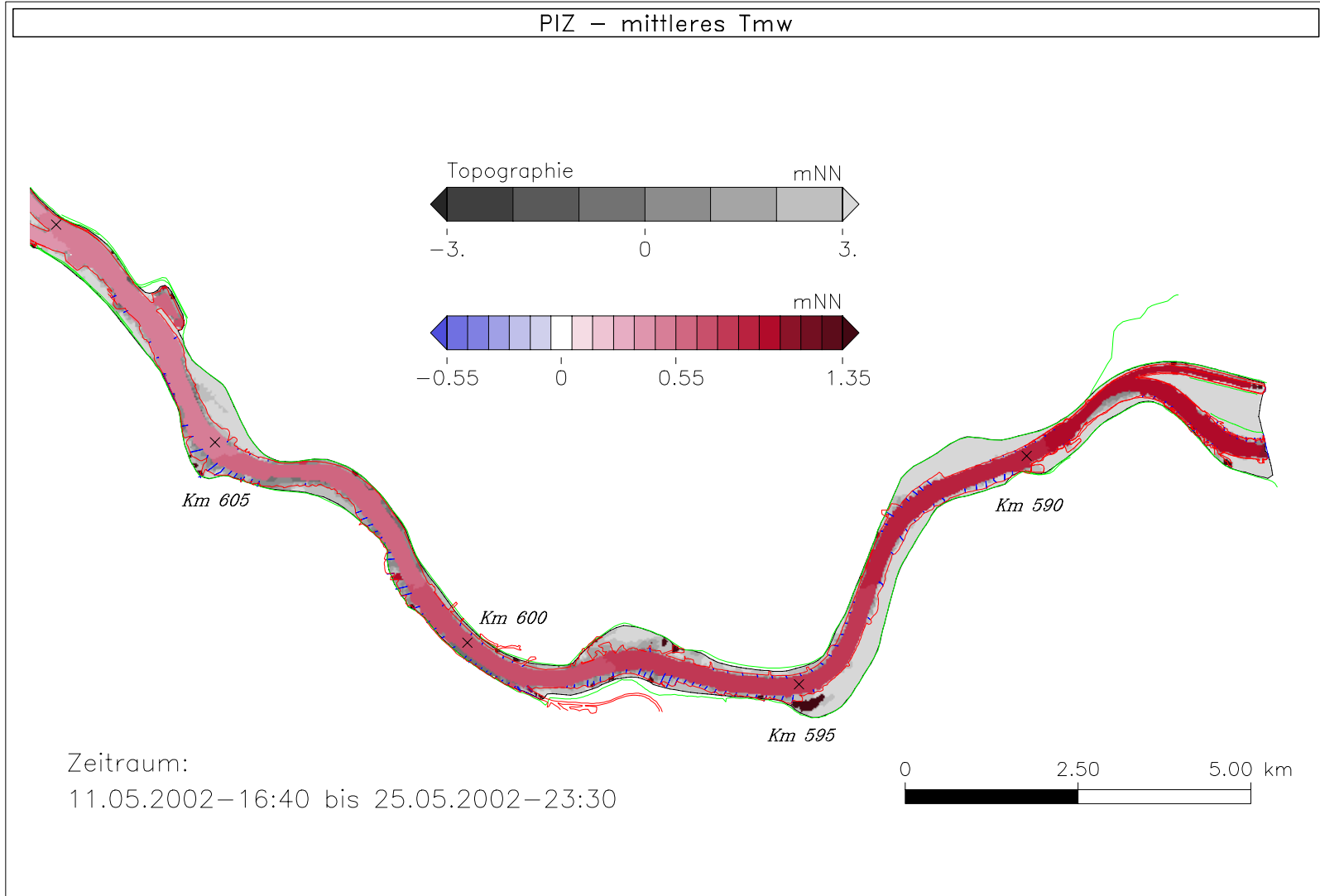


Bild 203: Tidemittelwasser bei niedrigem Oberwasser, Teilgebiet 1

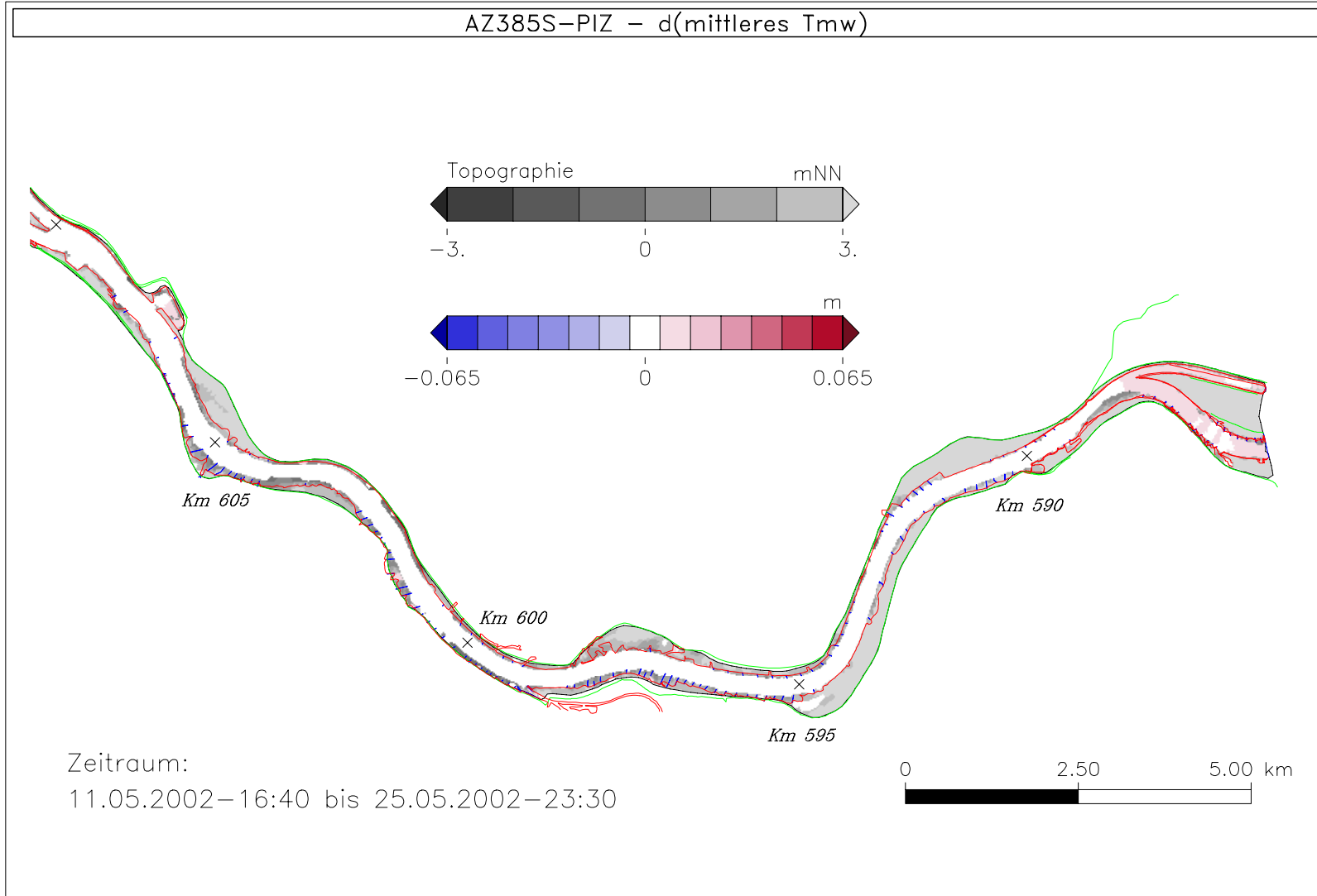


Bild 204: Differenz des Tidemittelwassers (AZ385S - PIZ) bei niedrigem Oberwasser, Teilgebiet 1

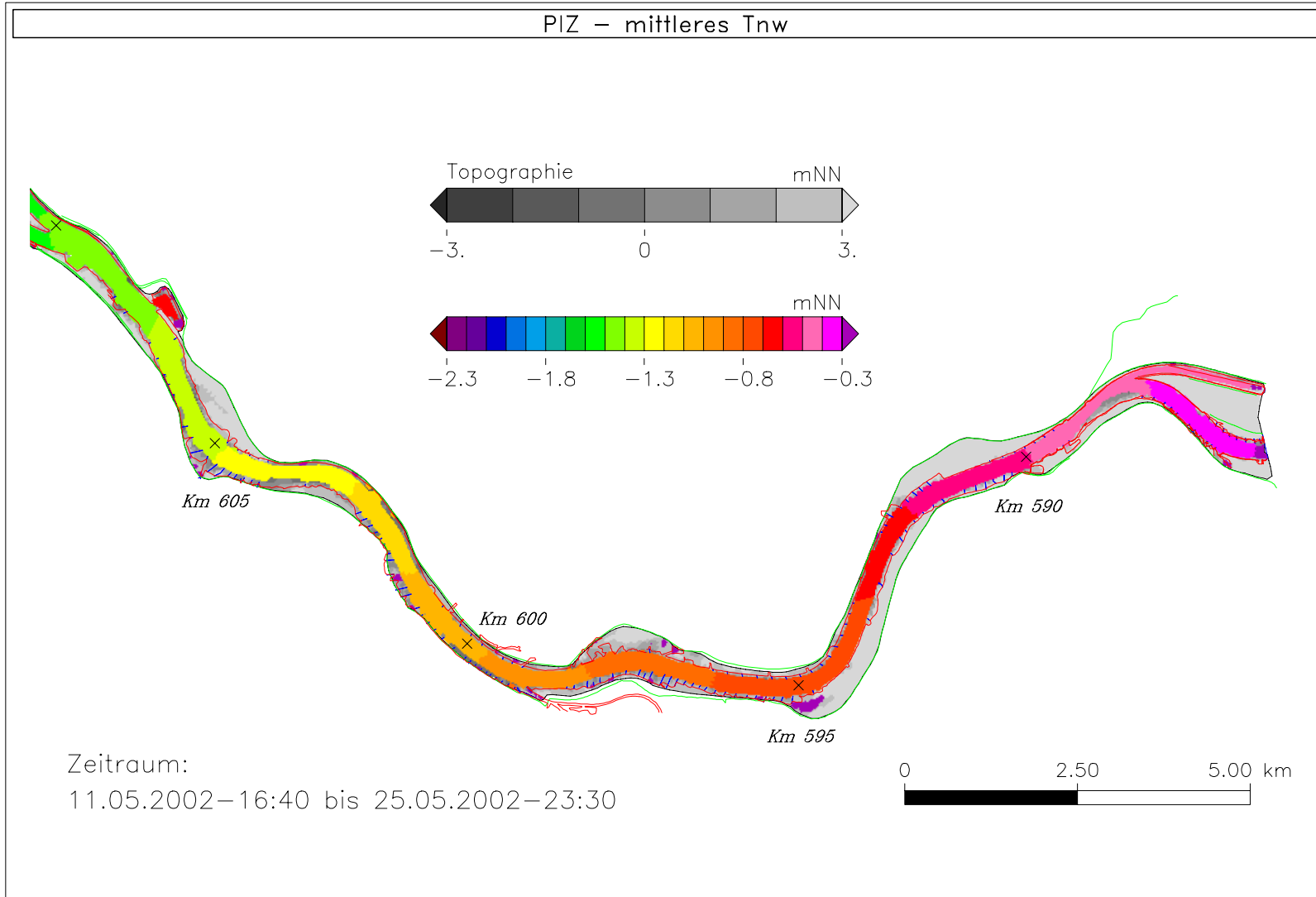


Bild 205: Tideniedrigwasser bei niedrigem Oberwasser, Teilgebiet 1

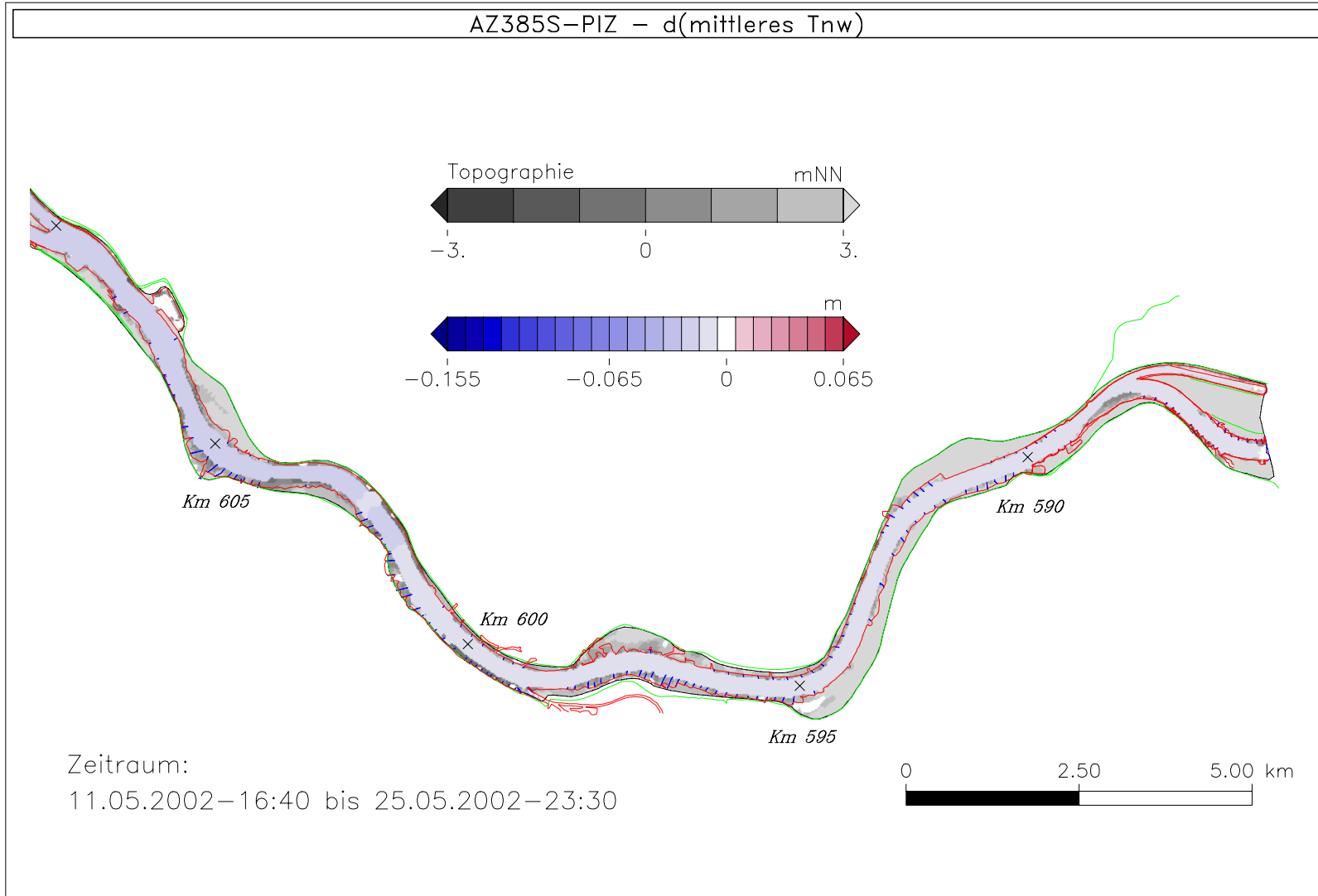


Bild 206: Differenz des Tideniedrigwassers (AZ385S - PIZ) bei niedrigem Oberwasser, Teilgebiet 1

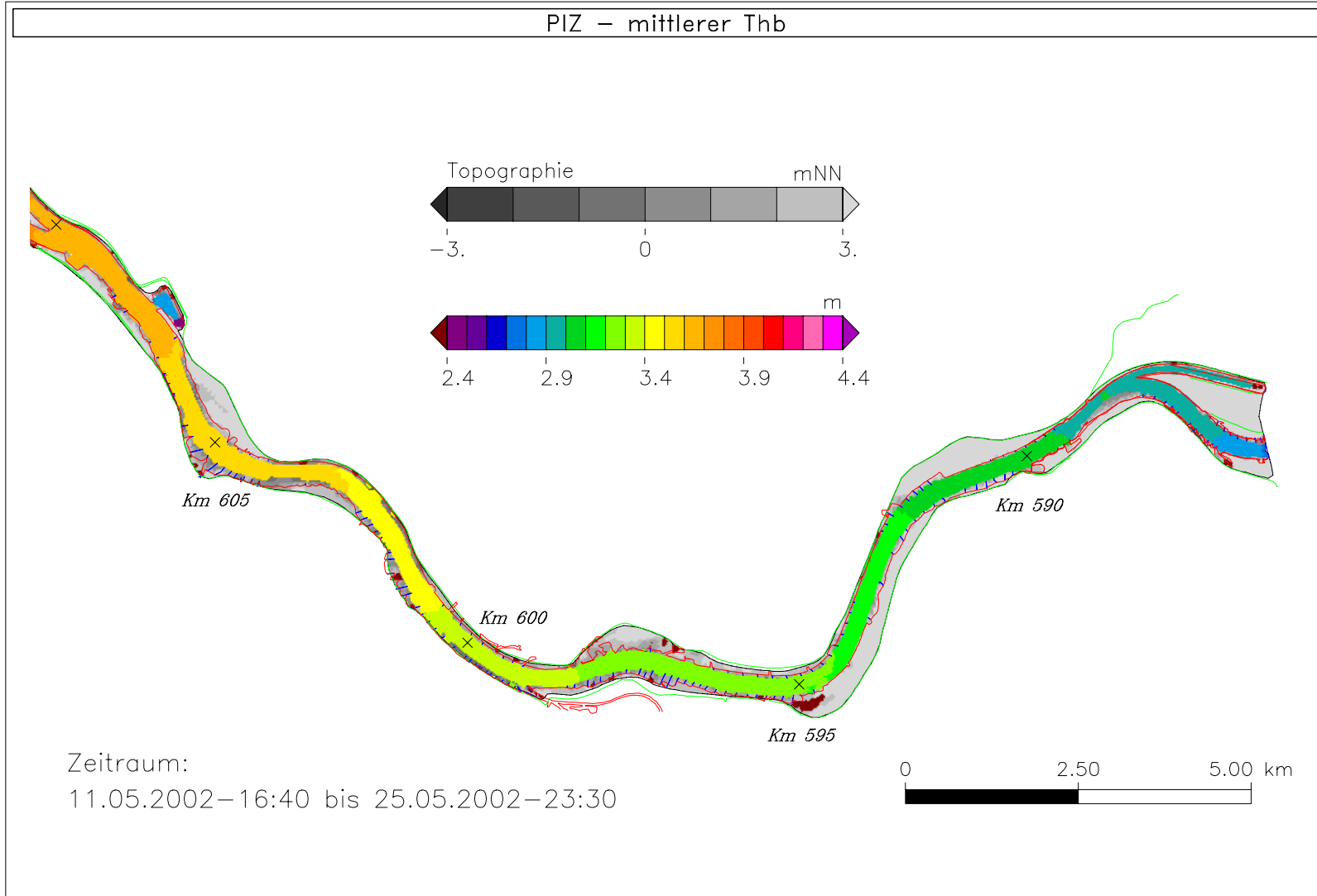


Bild 207: Tidehub bei niedrigem Oberwasser, Teilgebiet 1

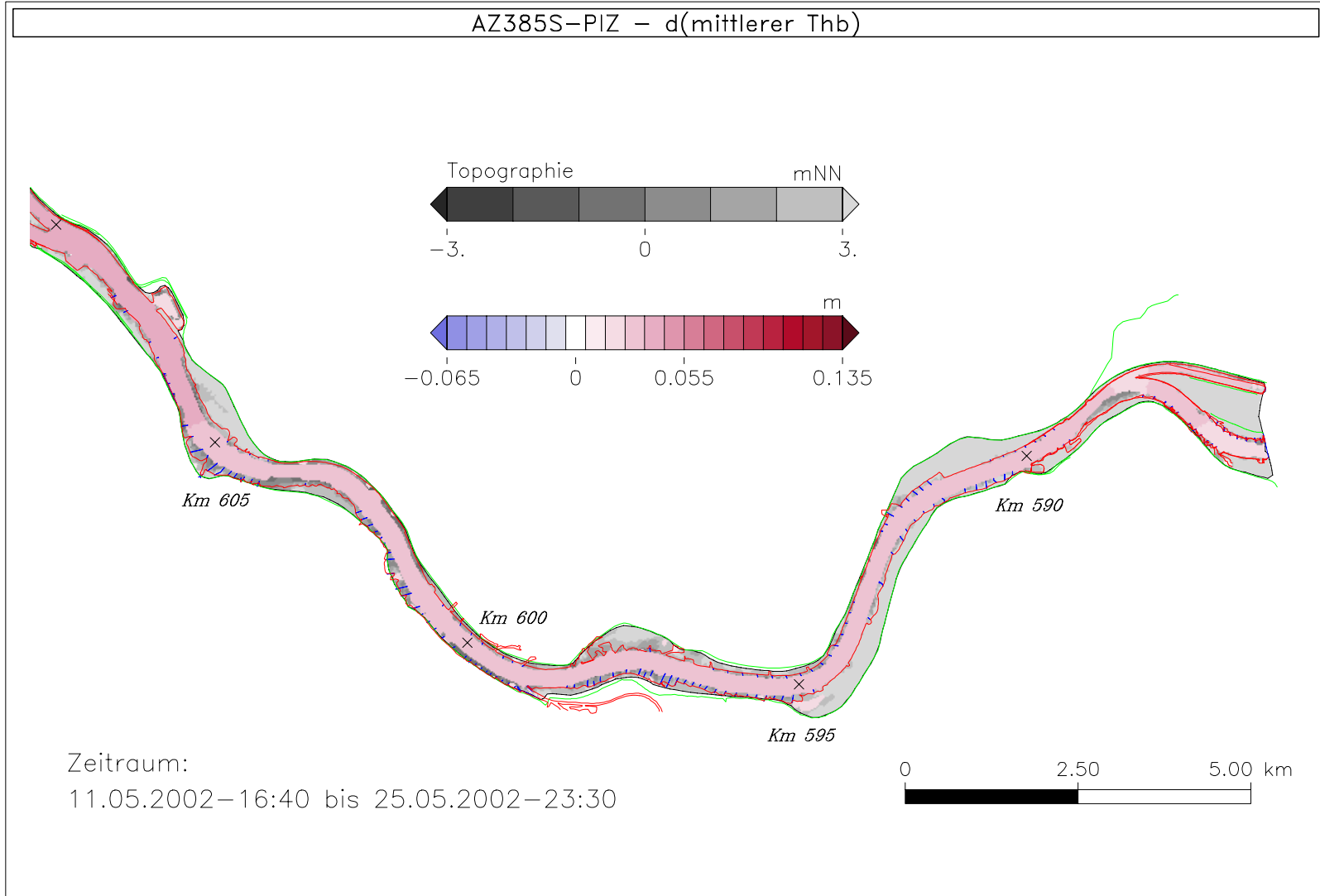


Bild 208: Differenz des Tidehubs (AZ385S - PIZ) bei niedrigem Oberwasser, Teilgebiet 1

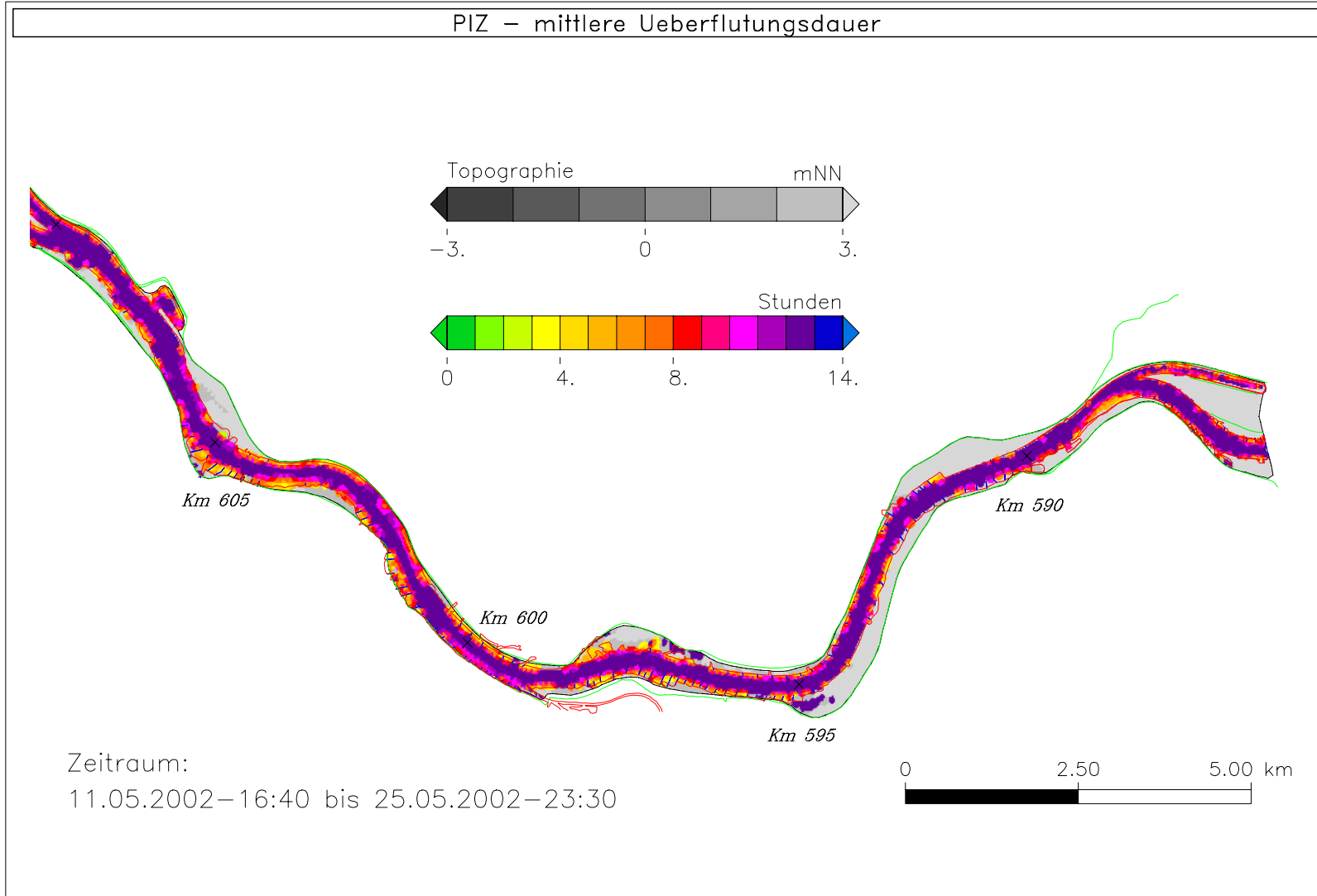


Bild 209: Überflutungsdauer bei niedrigem Oberwasser, Teilgebiet 1

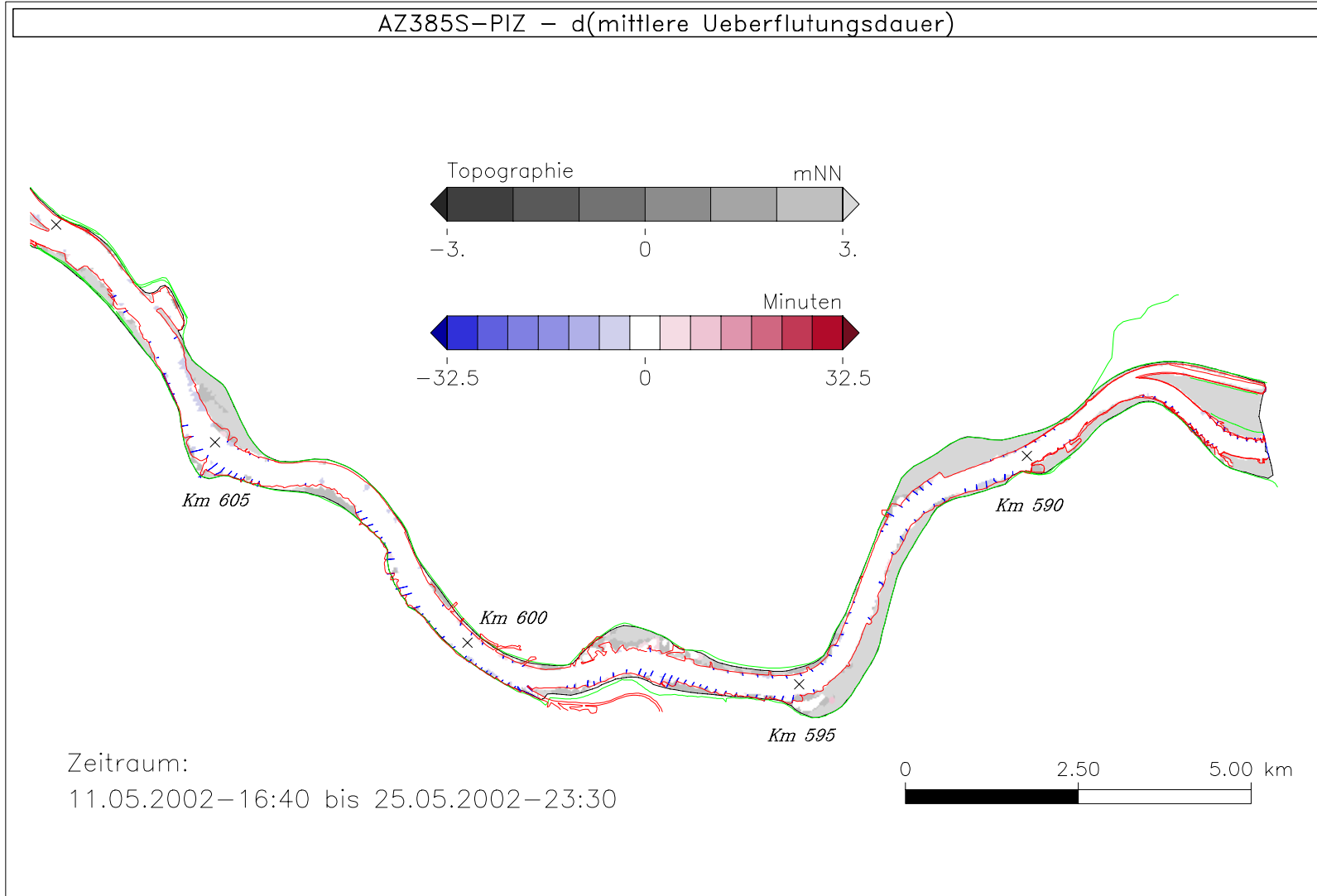


Bild 210: Differenz der Überflutungsdauer (AZ385S - PIZ) bei niedrigem Oberwasser, Teilgebiet 1

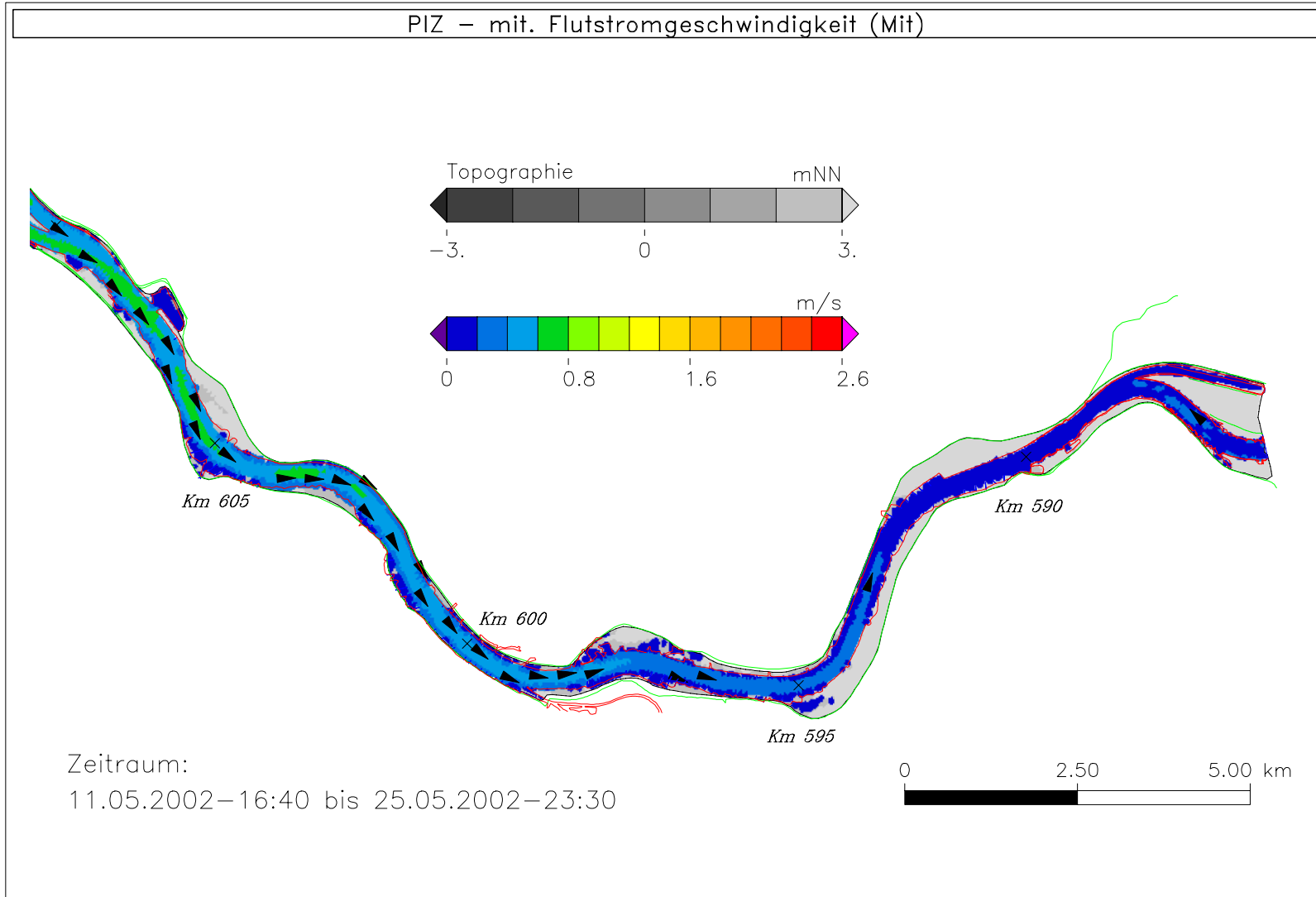


Bild 211: Mittlere Flutstromgeschwindigkeit bei niedrigem Oberwasser, Teilgebiet 1

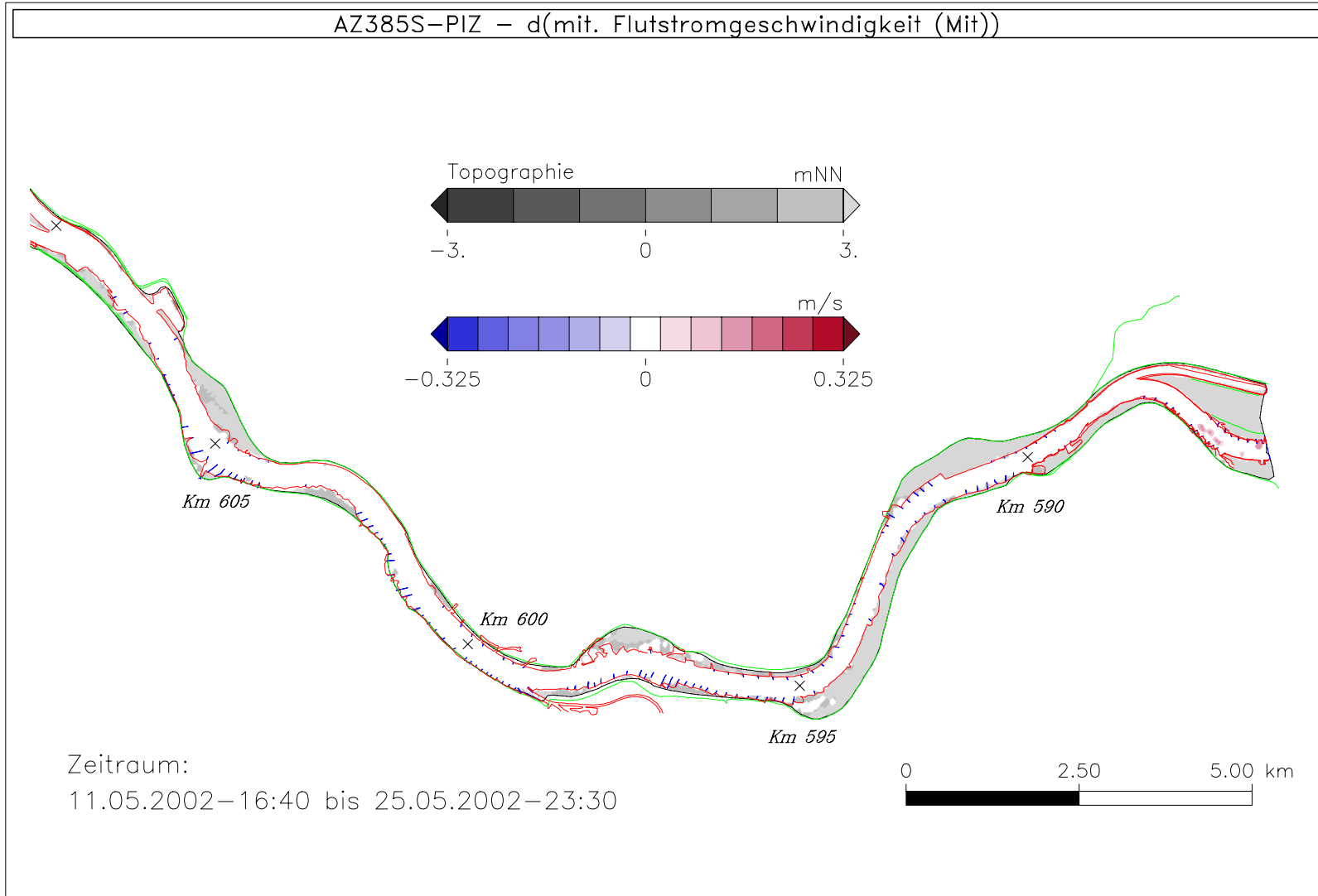


Bild 212: Differenz der mittleren Flutstromgeschwindigkeit (AZ385S - PIZ) bei niedrigem Oberwasser, Teilgebiet 1

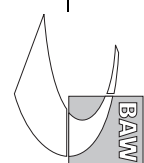
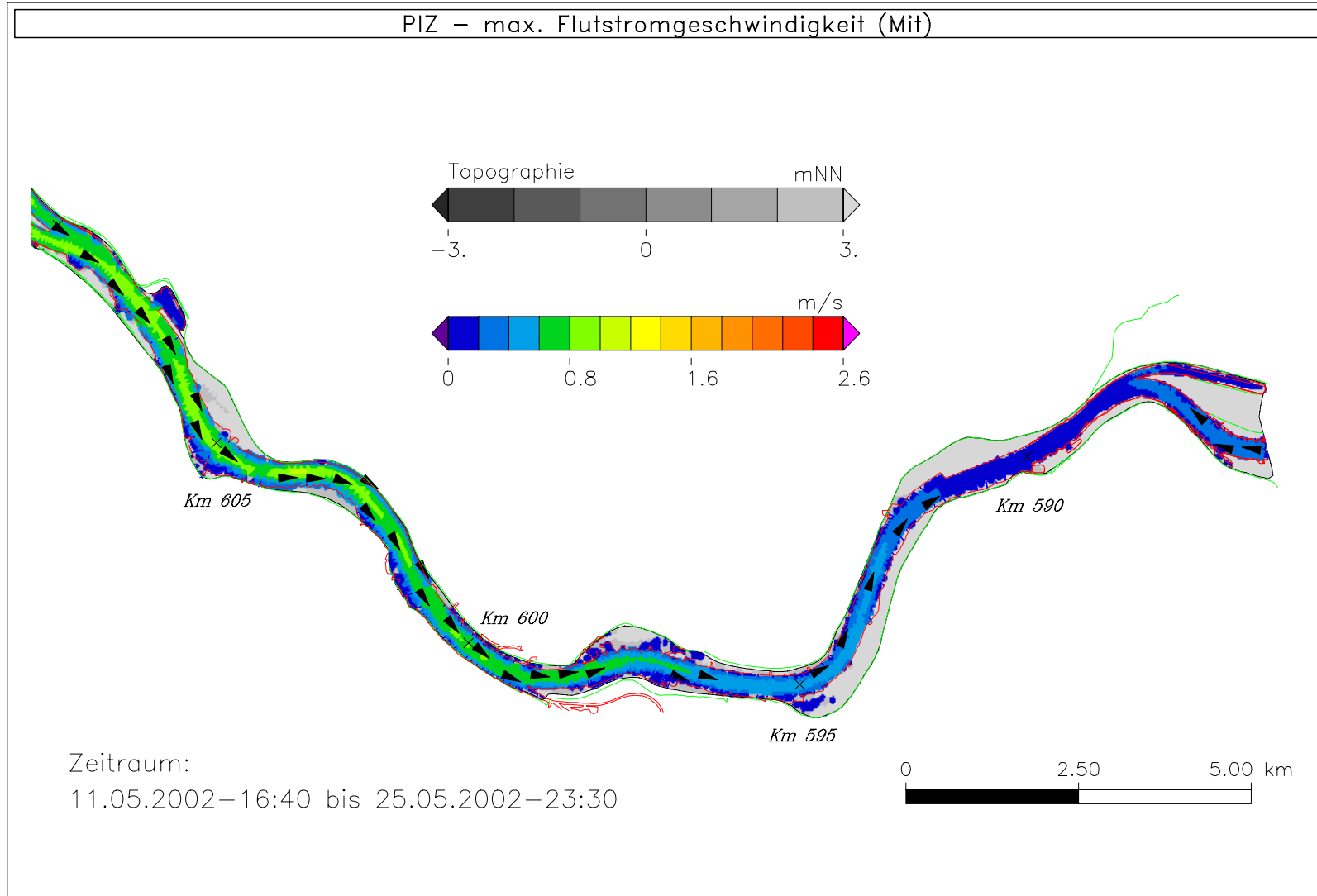


Bild 213: Maximale Flutstromgeschwindigkeit bei niedrigem Oberwasser, Teilgebiet 1

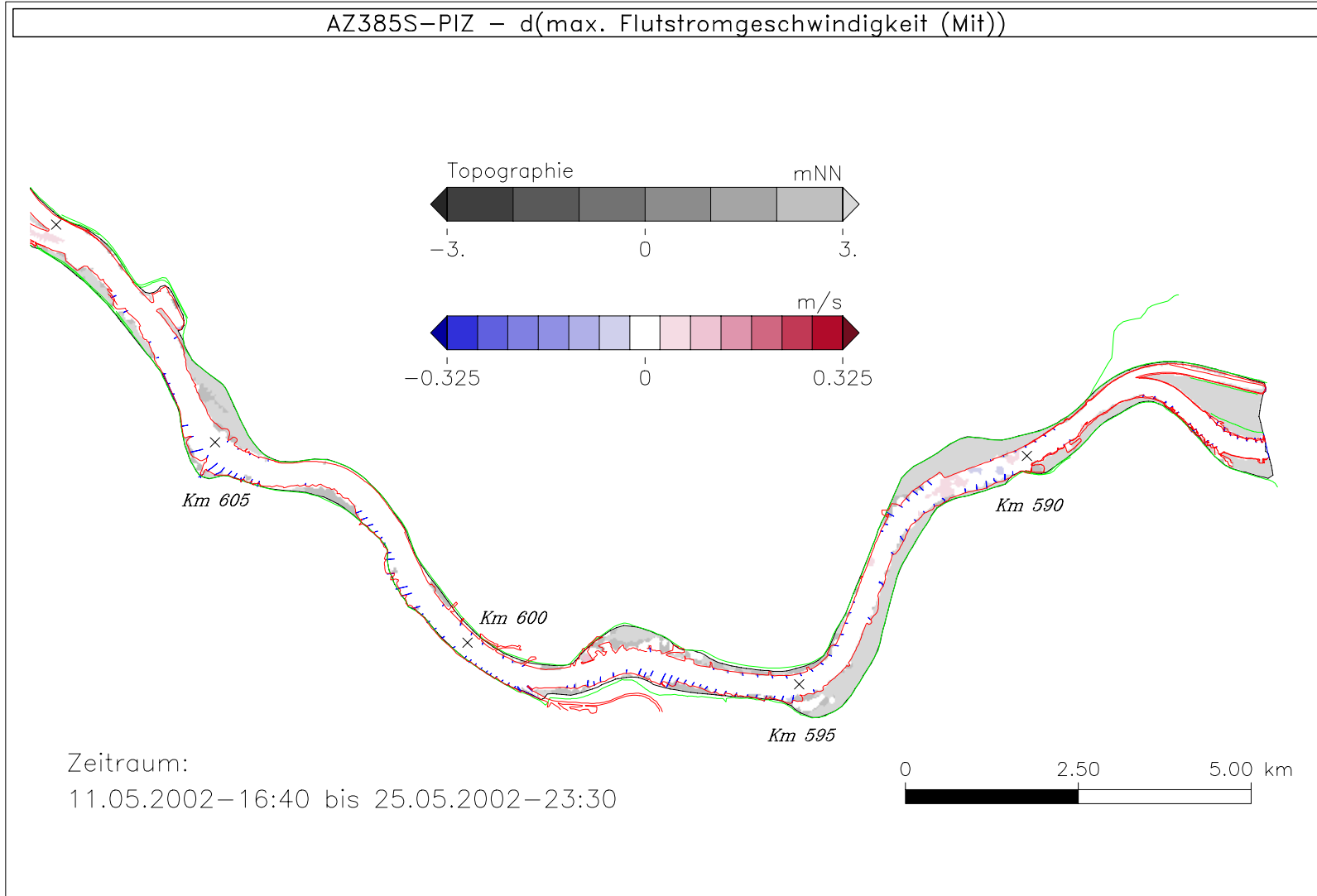


Bild 214: Differenz der maximalen Flutstromgeschwindigkeit (AZ385S - PIZ) bei niedrigem Oberwasser, Teilgebiet 1

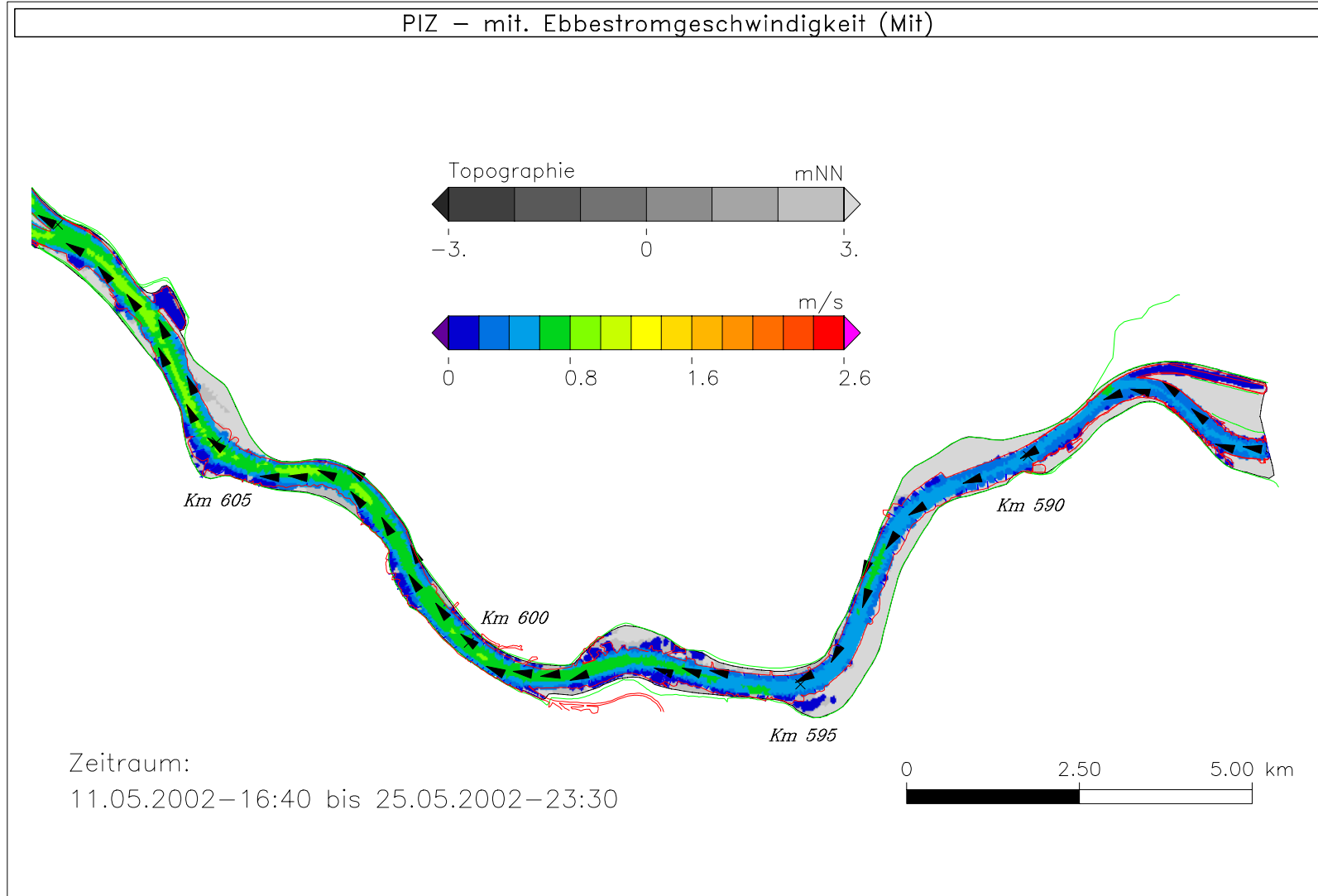


Bild 215: Mittlere Ebbestromgeschwindigkeit bei niedrigem Oberwasser, Teilgebiet 1

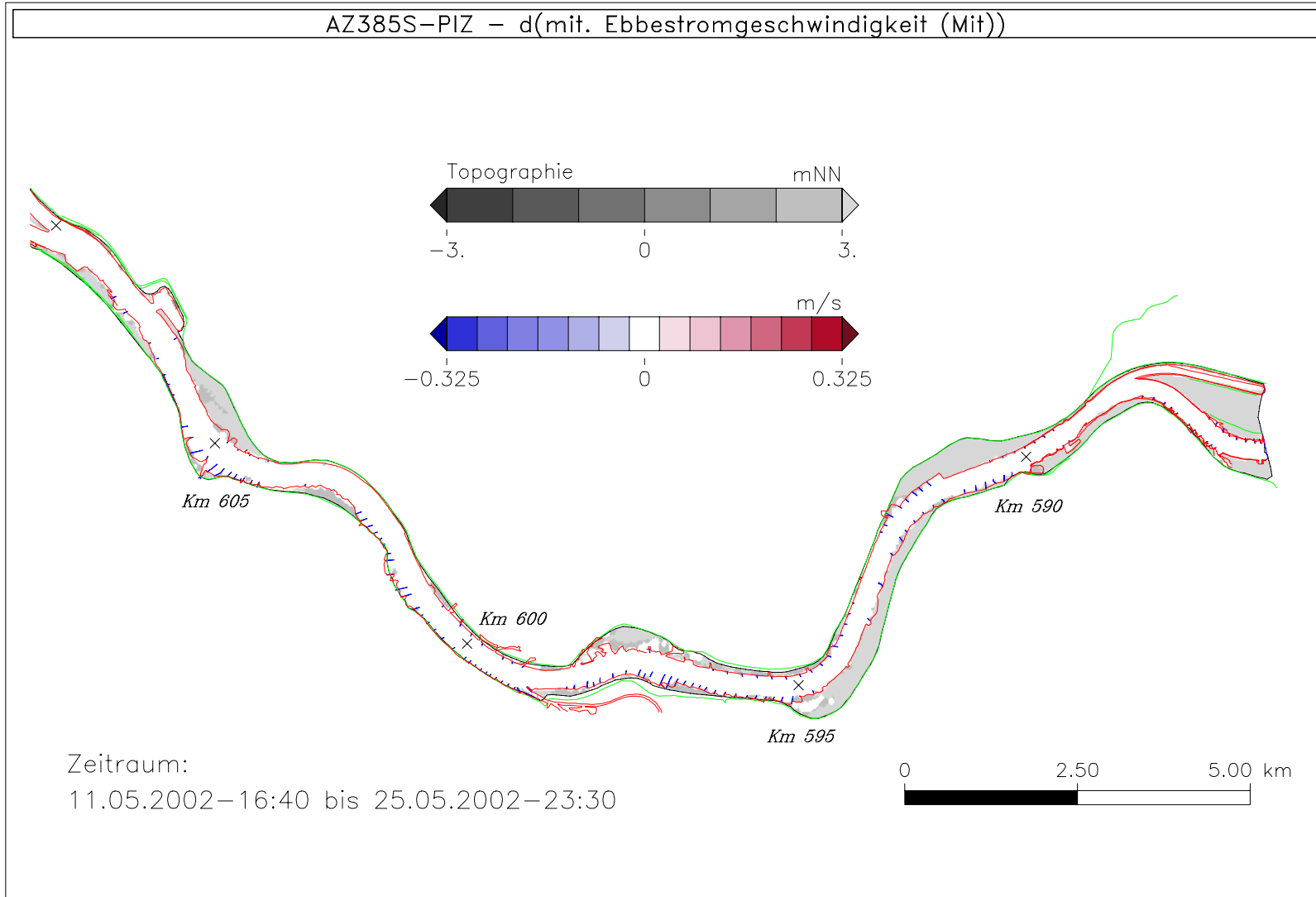


Bild 216: Differenz der mittleren Ebbestromgeschwindigkeit (AZ385S - PIZ) bei niedrigem Oberwasser, Teilgebiet 1

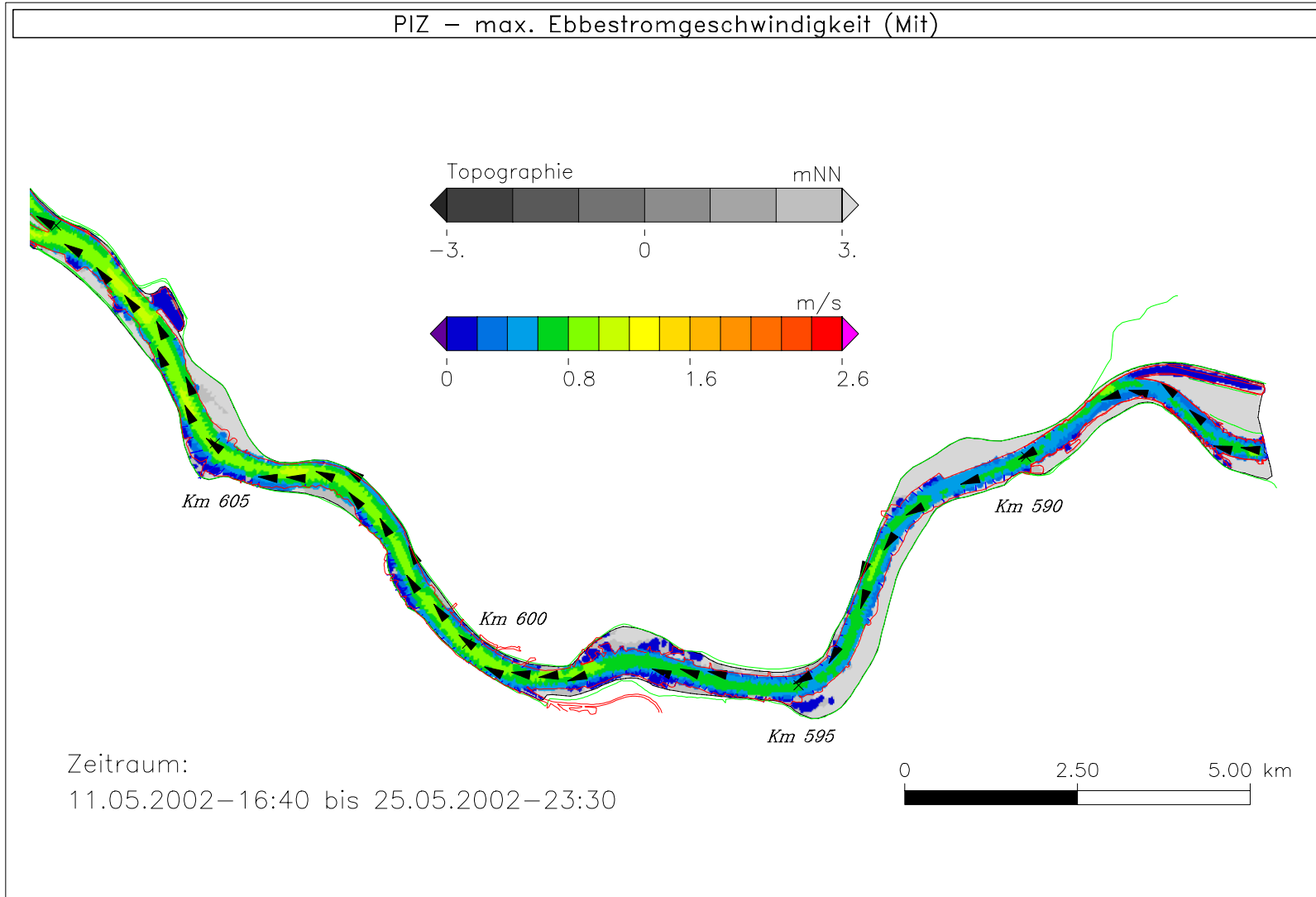


Bild 217: Maximale Ebbestromgeschwindigkeit bei niedrigem Oberwasser, Teilgebiet 1

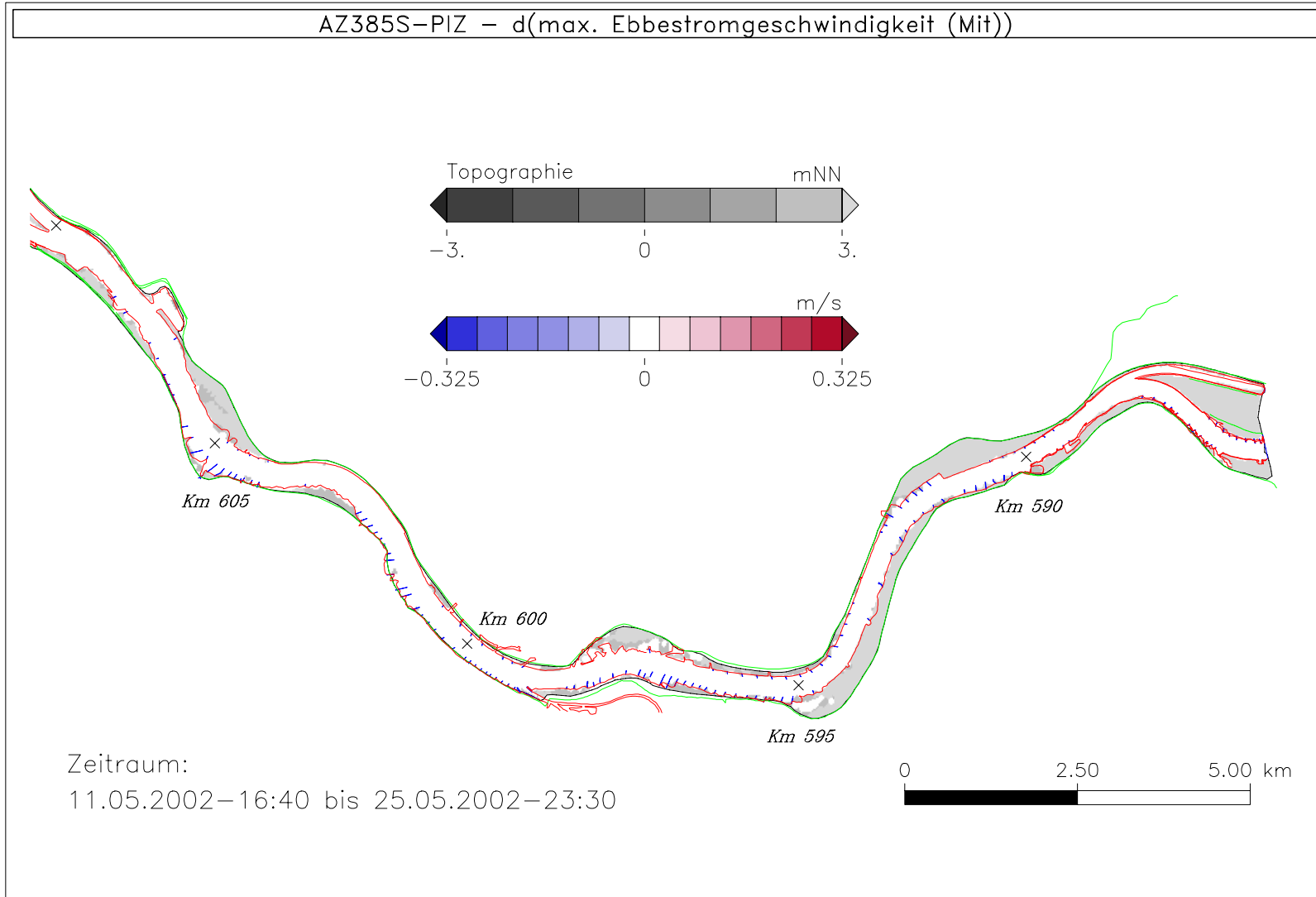


Bild 218: Differenz der maximalen Ebbestromgeschwindigkeit (AZ385S - PIZ) bei niedrigem Oberwasser, Teilgebiet 1

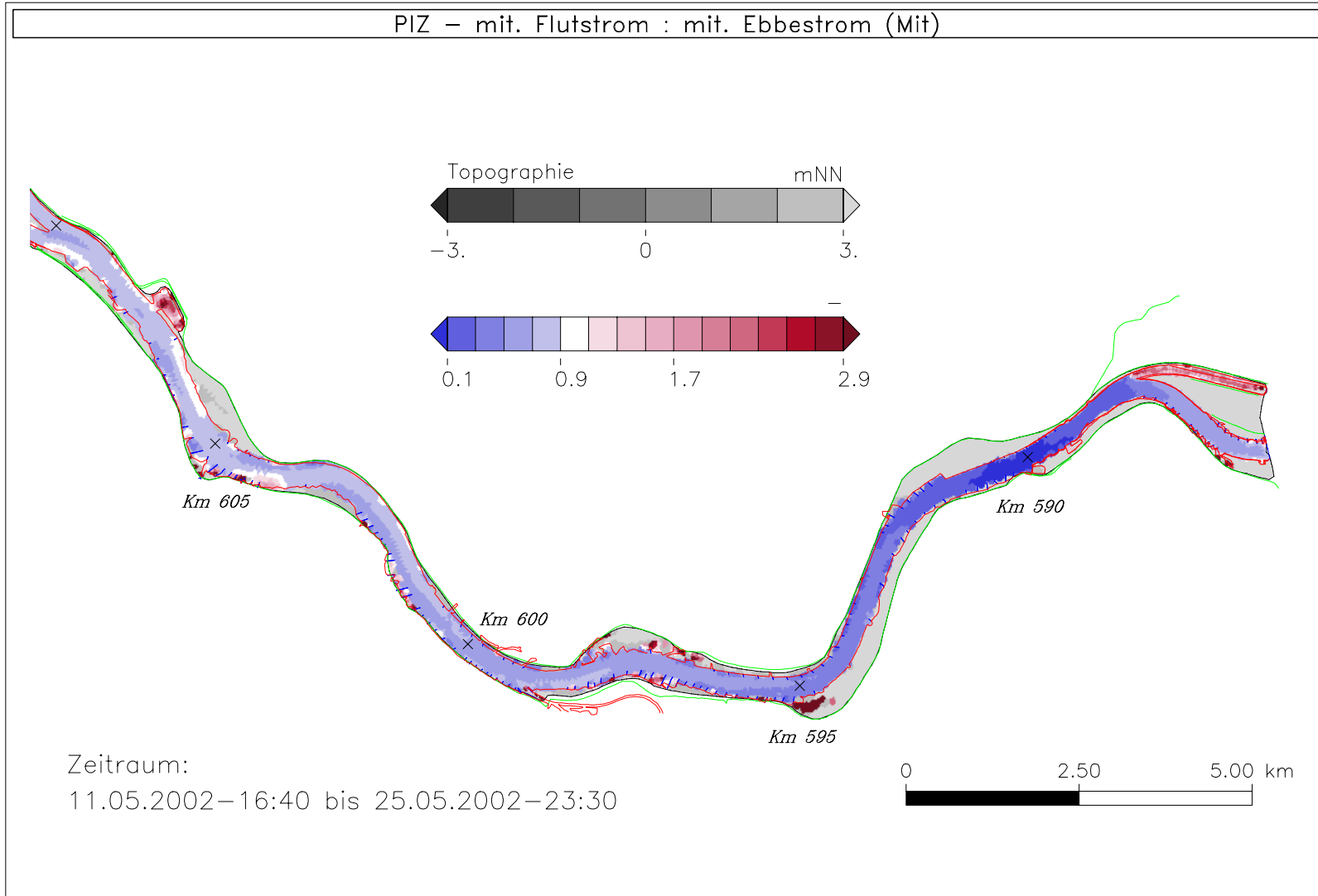


Bild 219: Verhältnis der mittleren Flut- zu Ebbestromgeschwindigkeit bei niedrigem Oberwasser, Teilgebiet 1

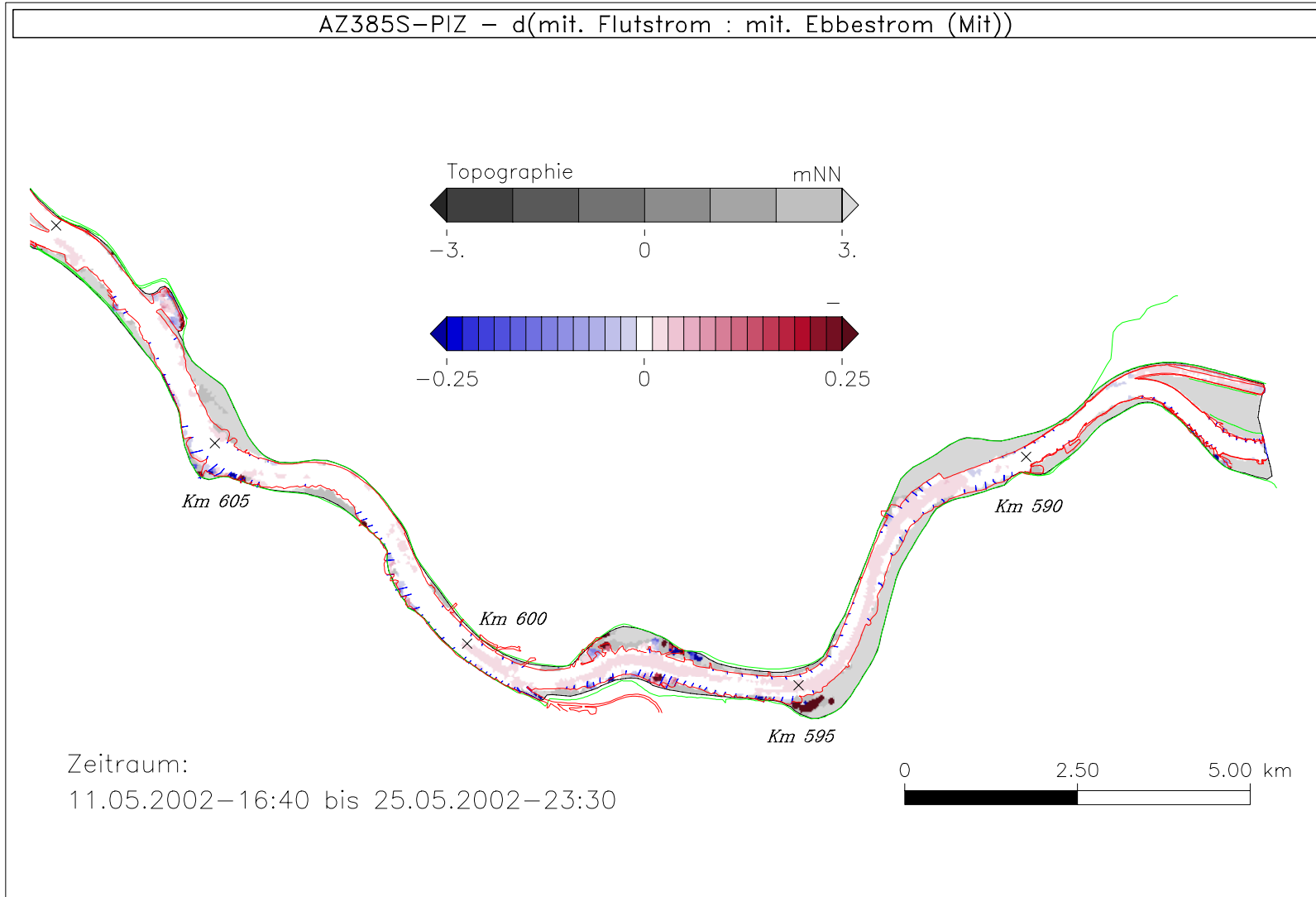


Bild 220: Differenz des Verhältnis der mittleren Flut- zu Ebbestromgeschwindigkeit (AZ385S - PIZ) bei niedrigem Oberwasser, Teilgebiet 1

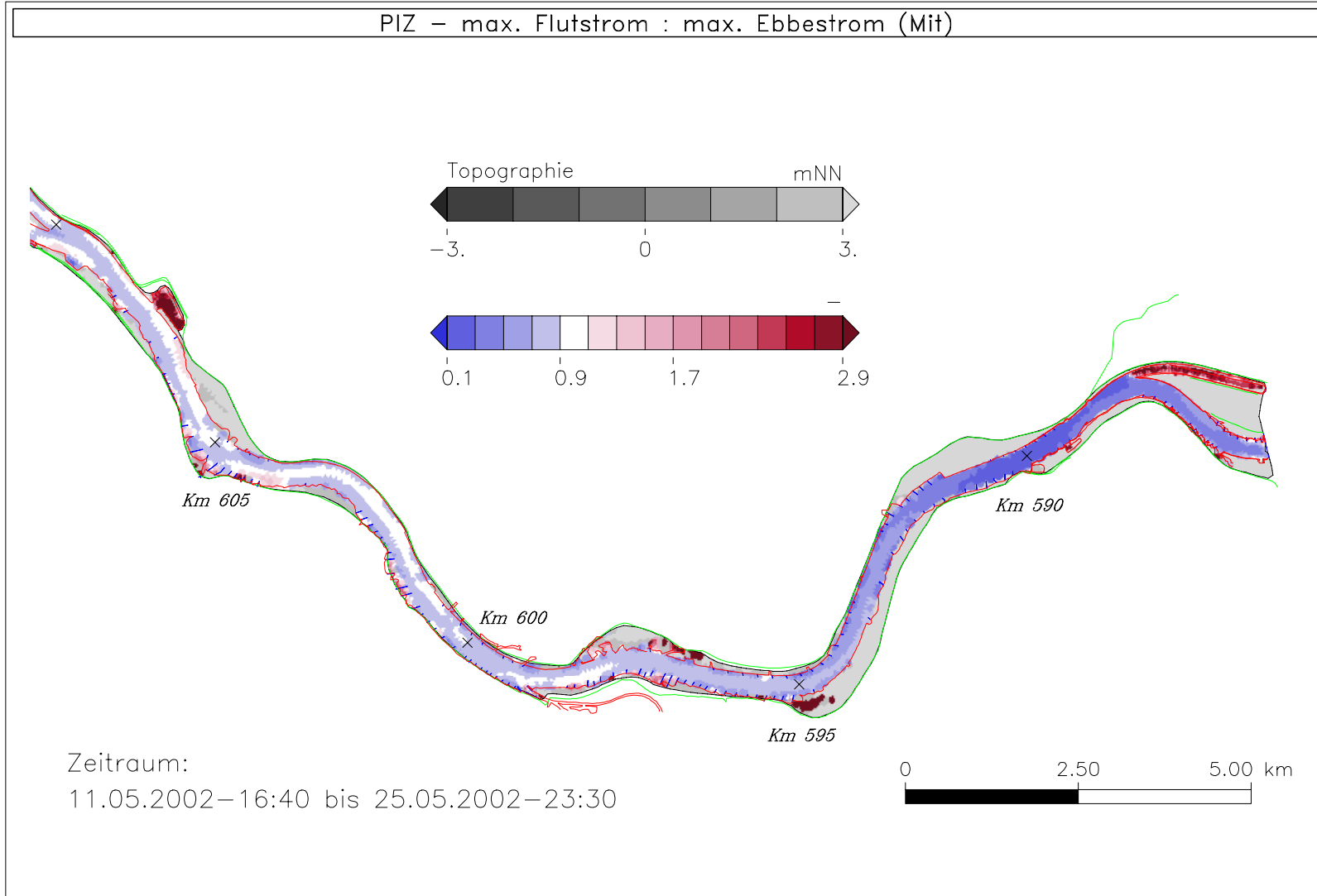


Bild 221: Verhältnis der maximalen Flut- zu Ebbestromgeschwindigkeit bei niedrigem Oberwasser, Teilgebiet 1

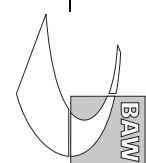
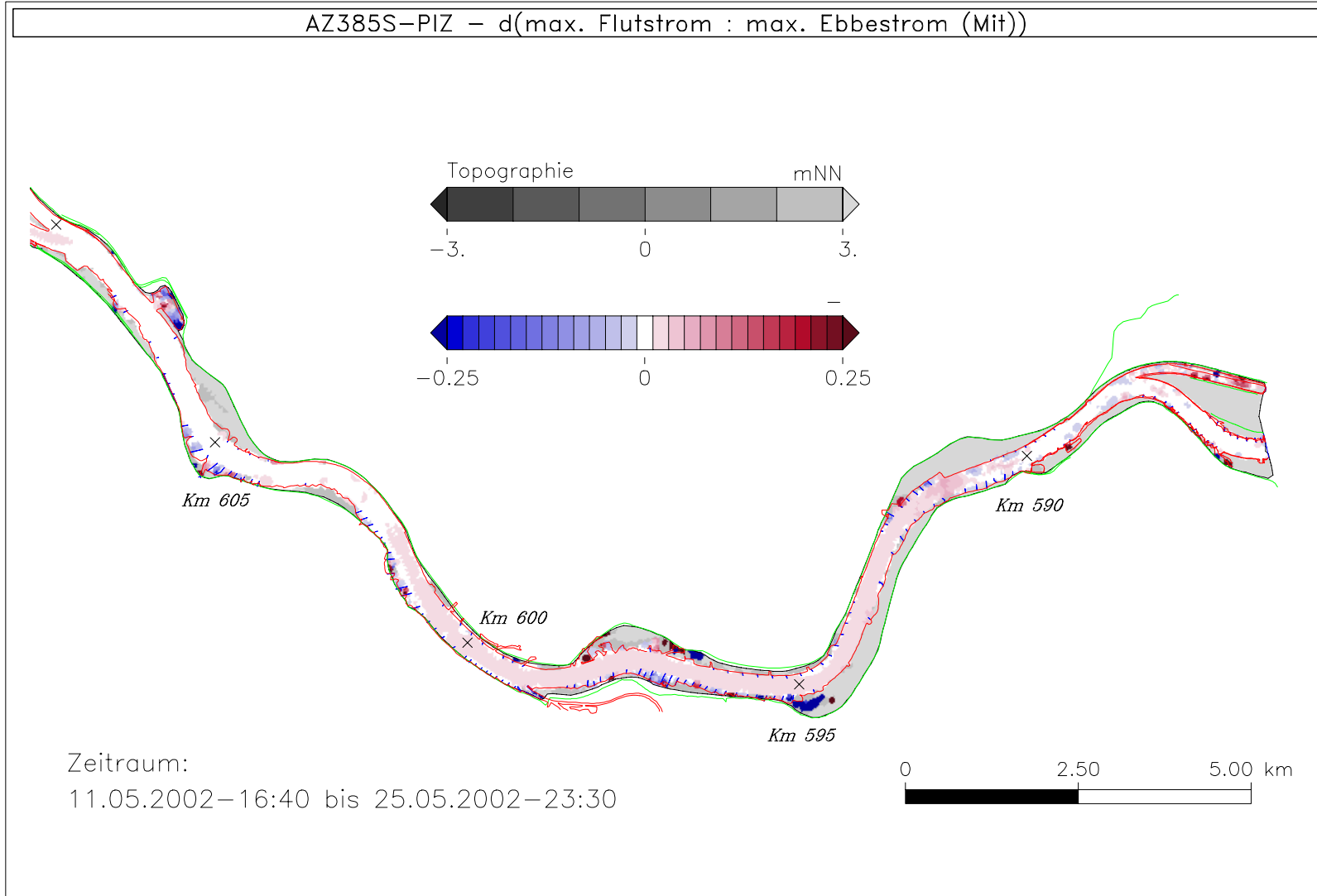


Bild 222: Differenz des Verhältnis der maximalen Flut- zu Ebbestromgeschwindigkeit (AZ385S - PIZ) bei niedrigem Oberwasser, Teilgebiet 1

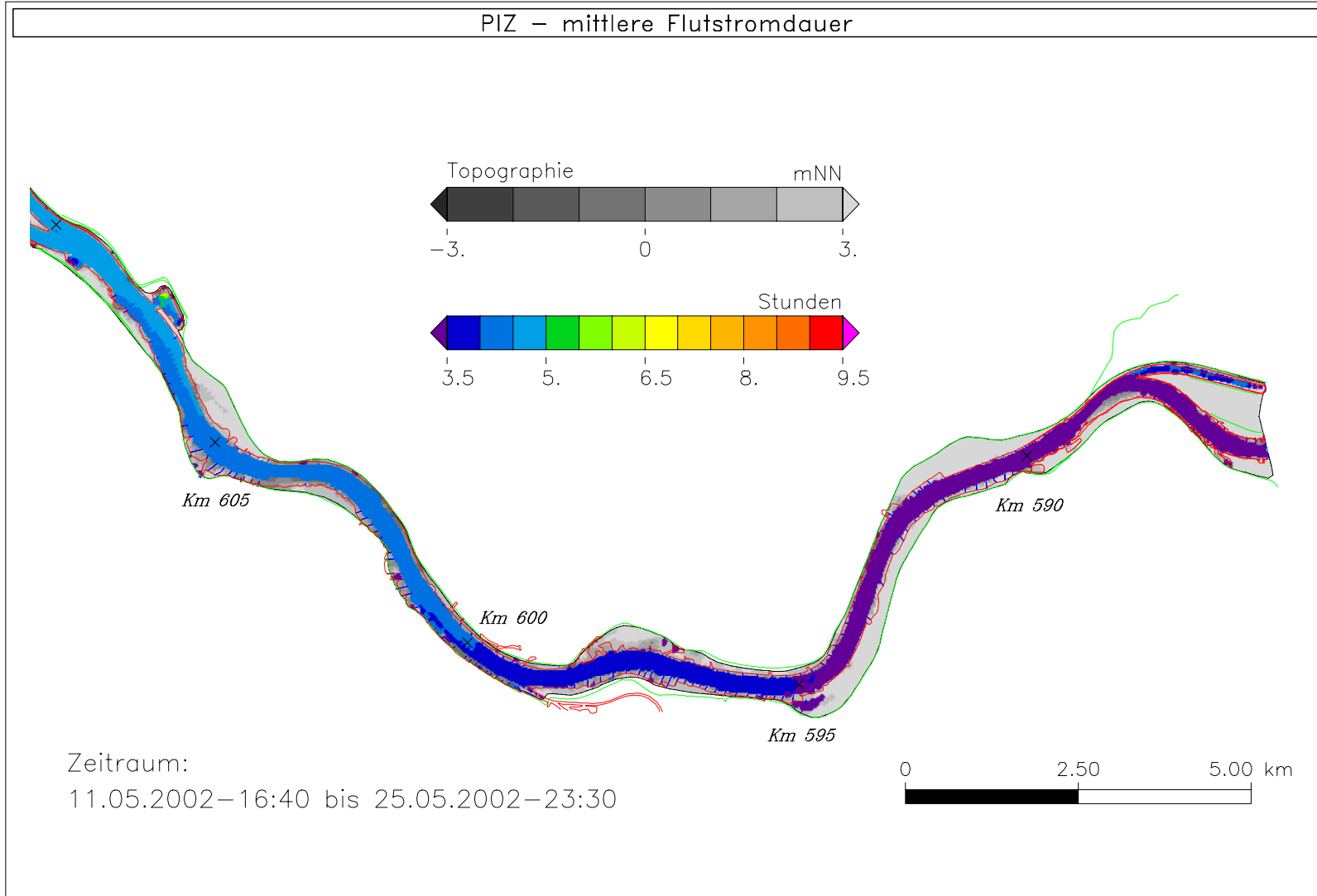


Bild 223: Mittlere Flutstromdauer bei niedrigem Oberwasser, Teilgebiet 1

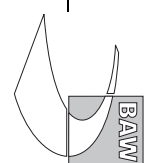
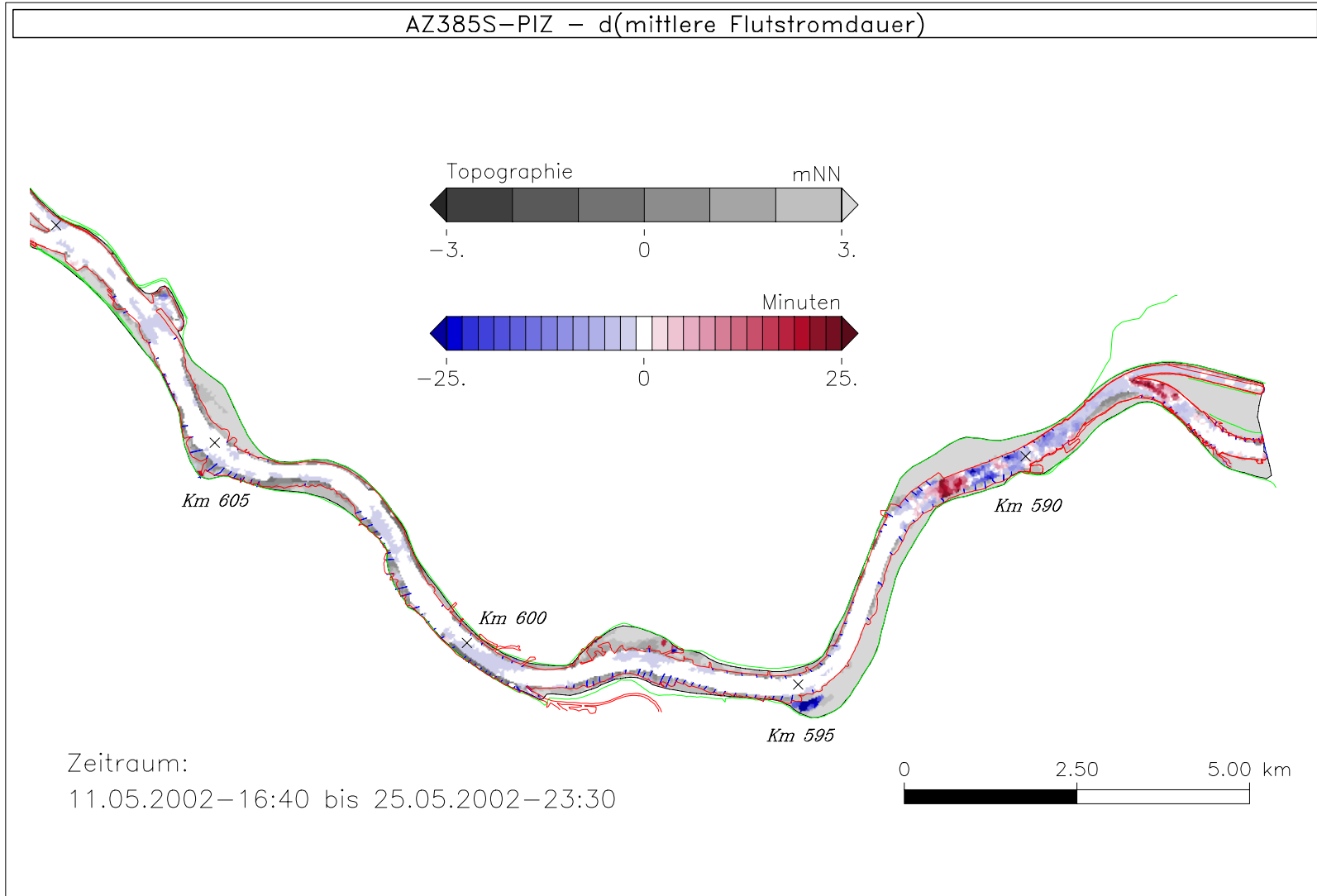


Bild 224: Differenz der mittleren Flutstromdauer (AZ385S - PIZ) bei niedrigem Oberwasser, Teilgebiet 1

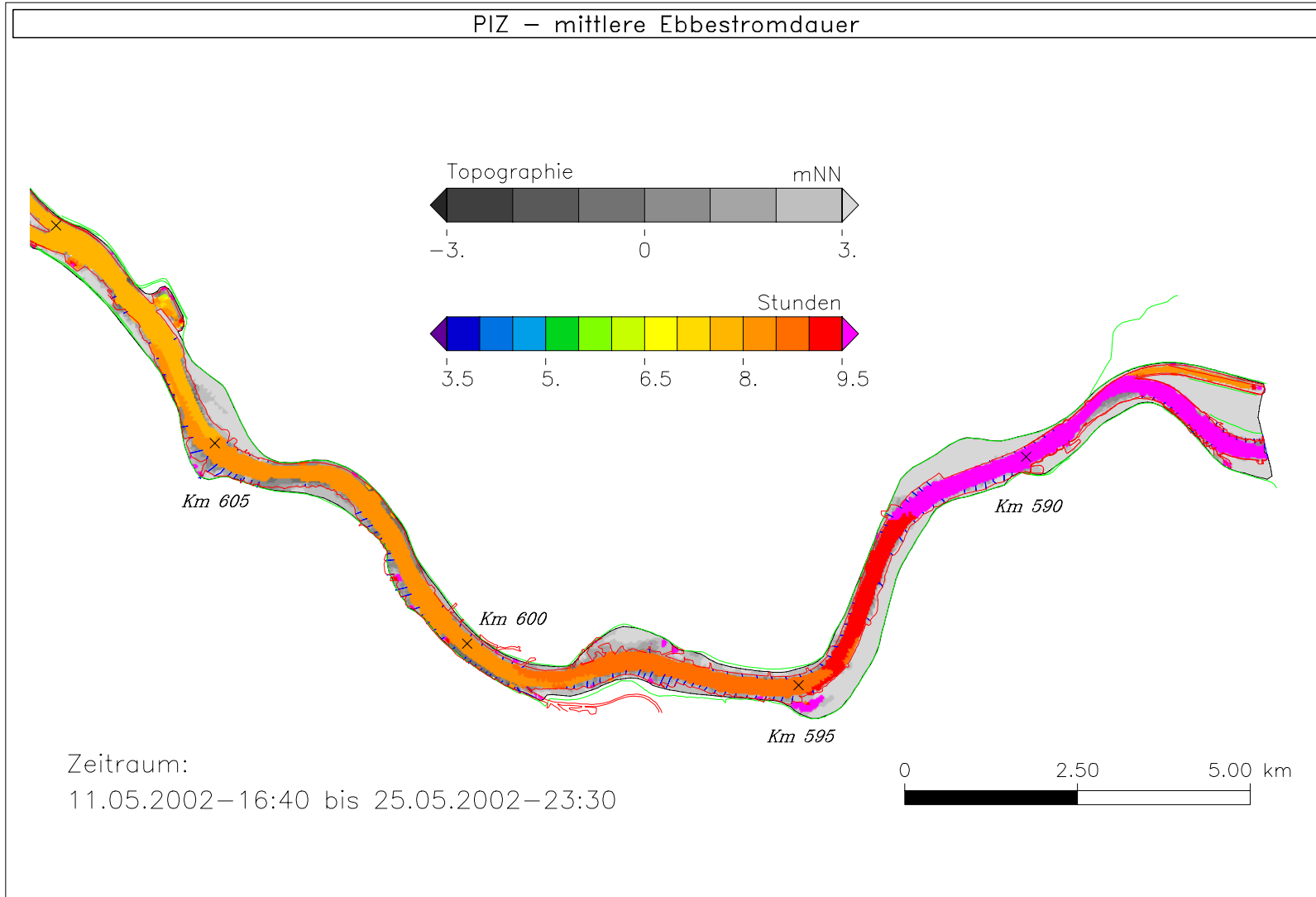


Bild 225: Mittlere Ebbestromdauer bei niedrigem Oberwasser, Teilgebiet 1

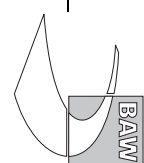
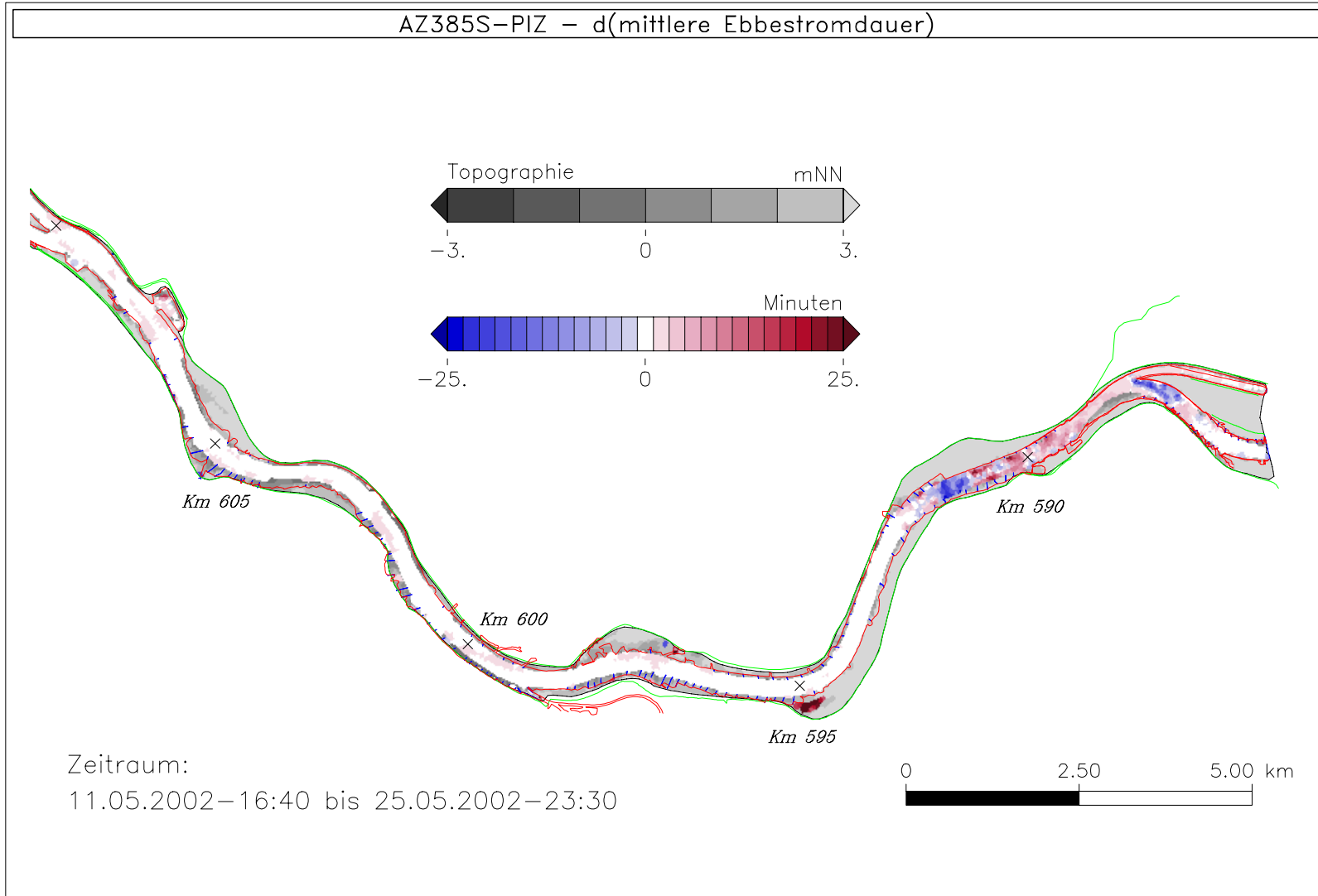


Bild 226: Differenz der mittleren Ebbestromdauer (AZ385S - PIZ) bei niedrigem Oberwasser, Teilgebiet 1

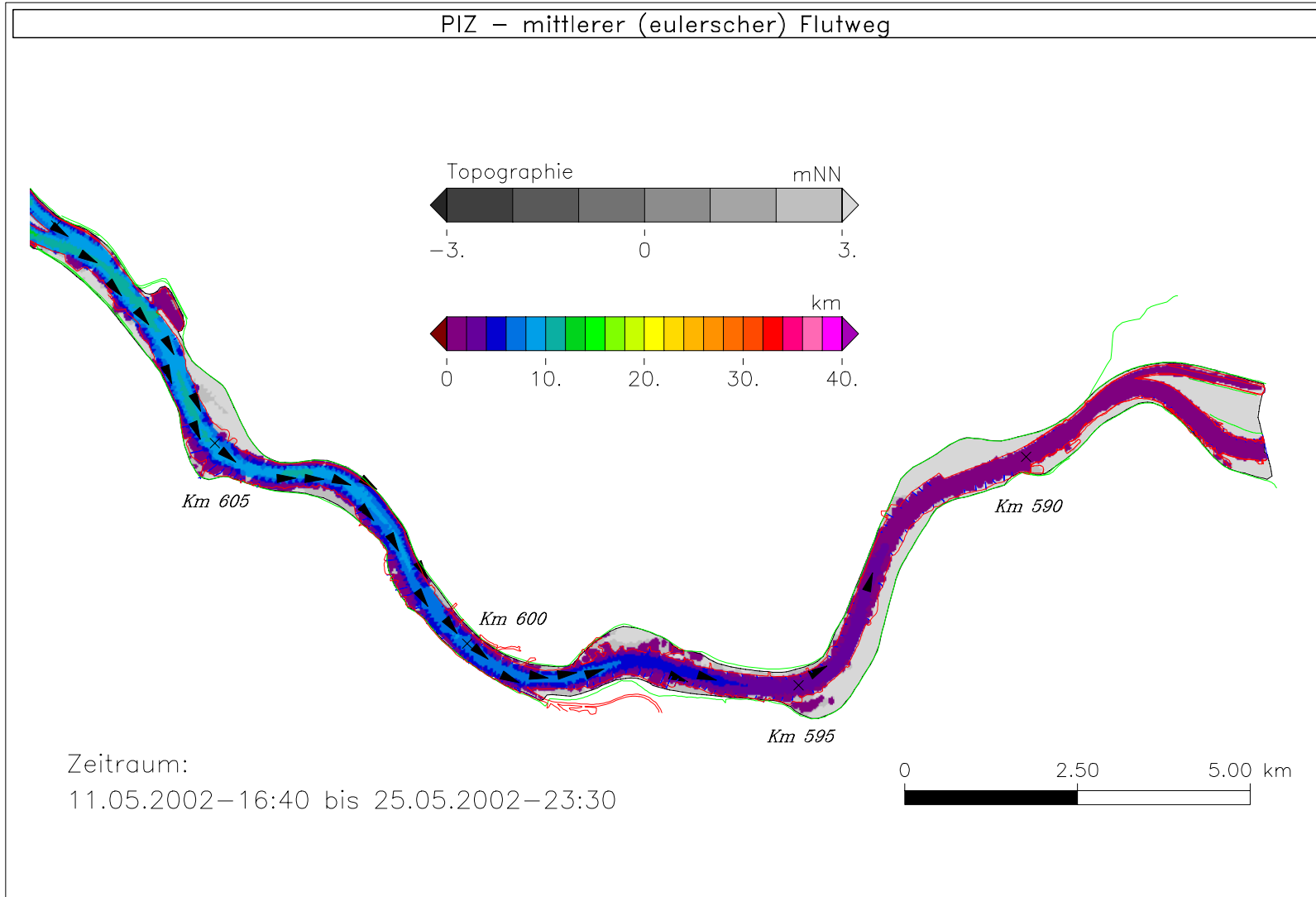


Bild 227: Mittlerer Eulerscher Flutweg bei niedrigem Oberwasser, Teilgebiet 1

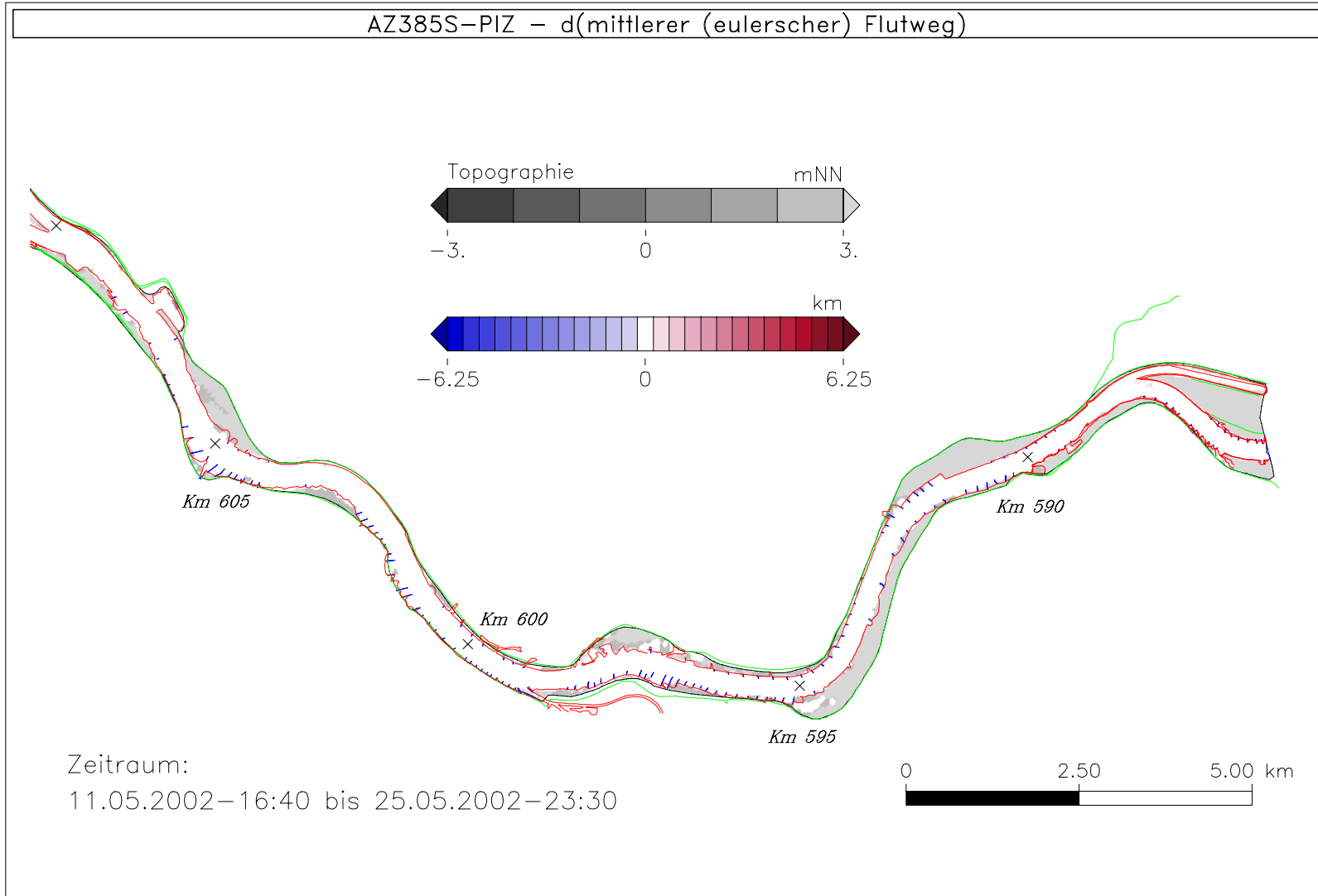


Bild 228: Differenz des mittleren Eulerschen Flutweges (AZ385S - PIZ) bei niedrigem Oberwasser, Teilgebiet 1

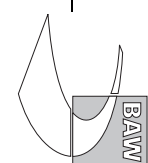
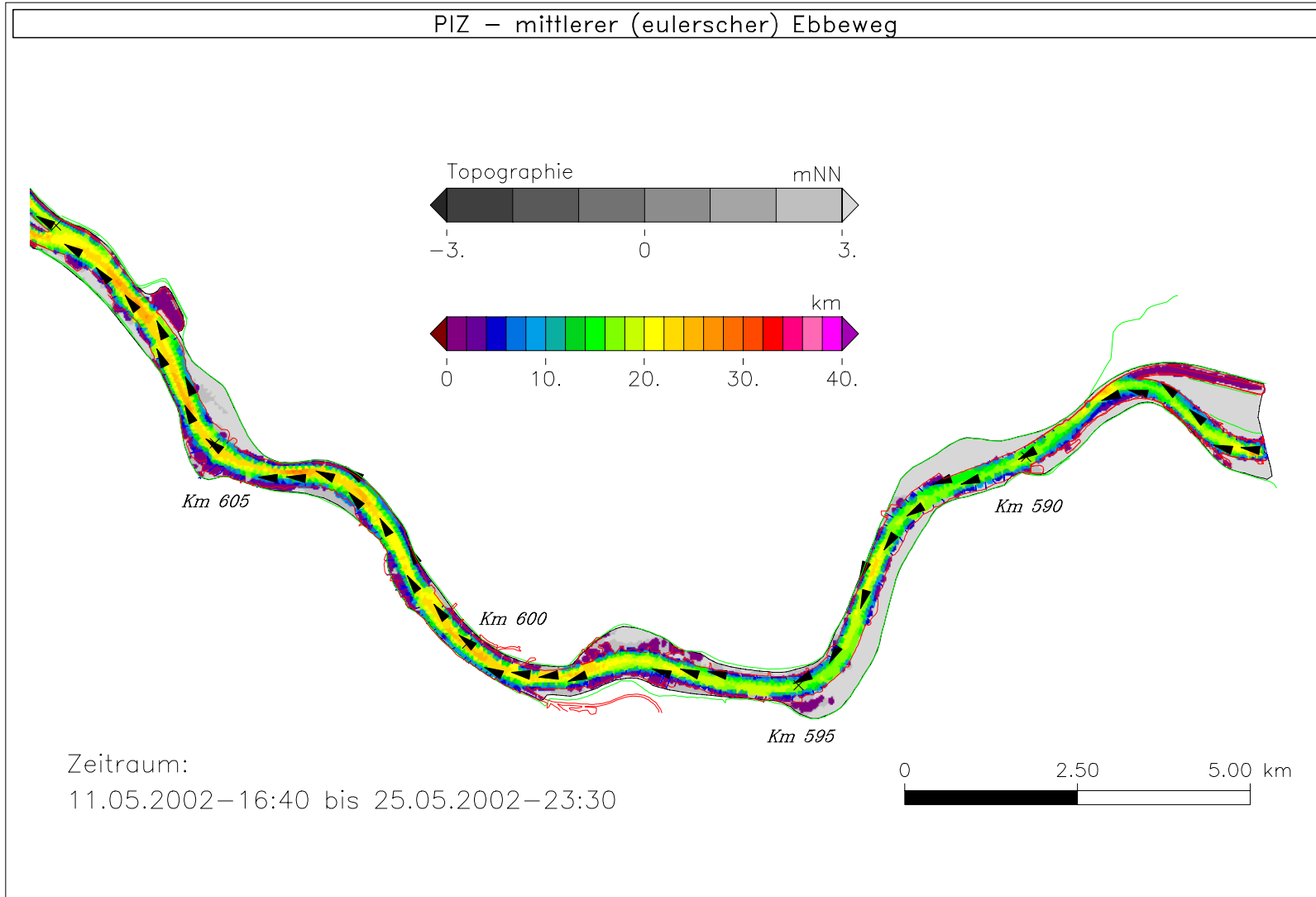


Bild 229: Mittlerer Eulerscher Ebbeweg bei niedrigem Oberwasser, Teilgebiet 1

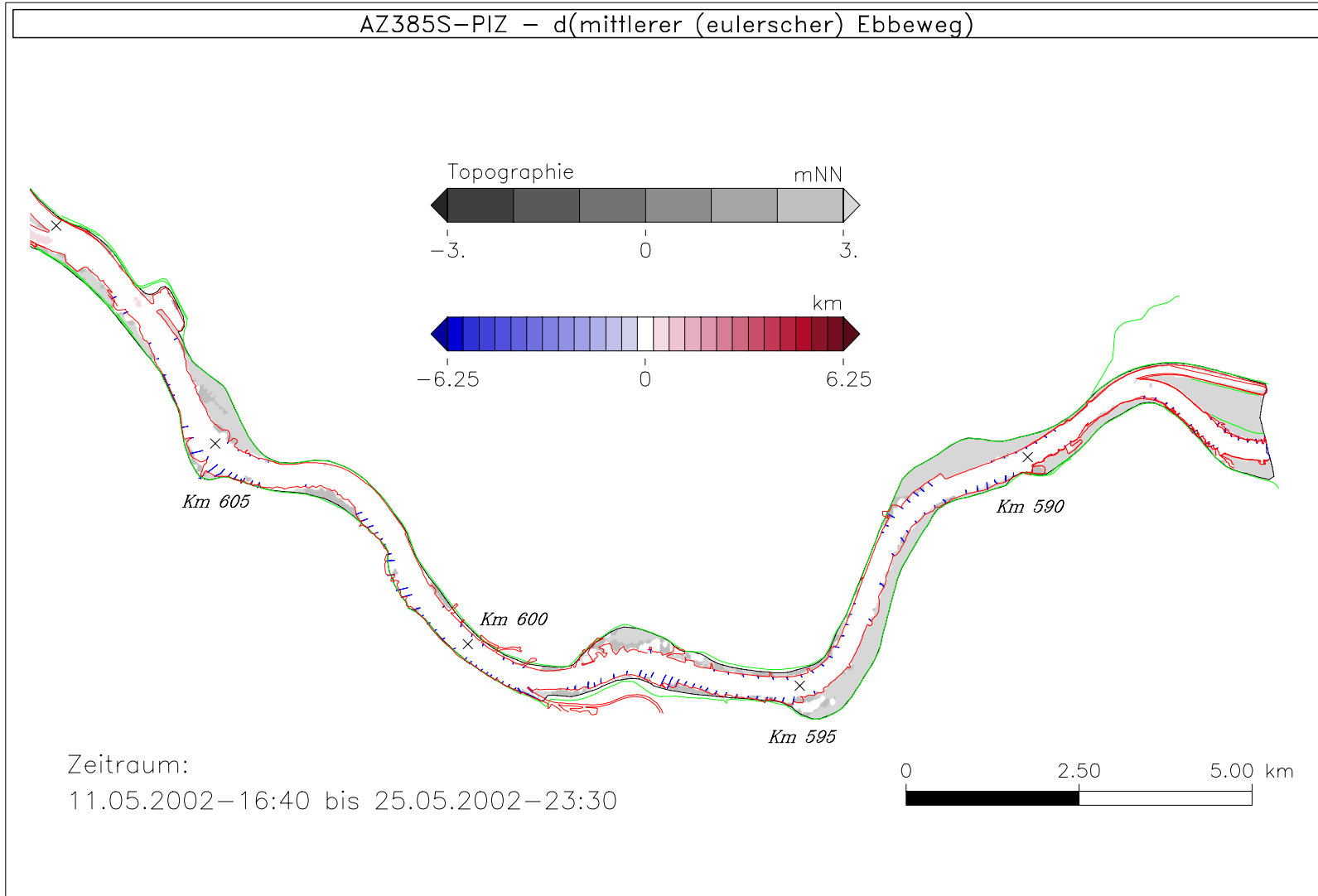


Bild 230: Differenz des mittleren Eulerschen Ebbeweges (AZ385S - PIZ) bei niedrigem Oberwasser, Teilgebiet 1

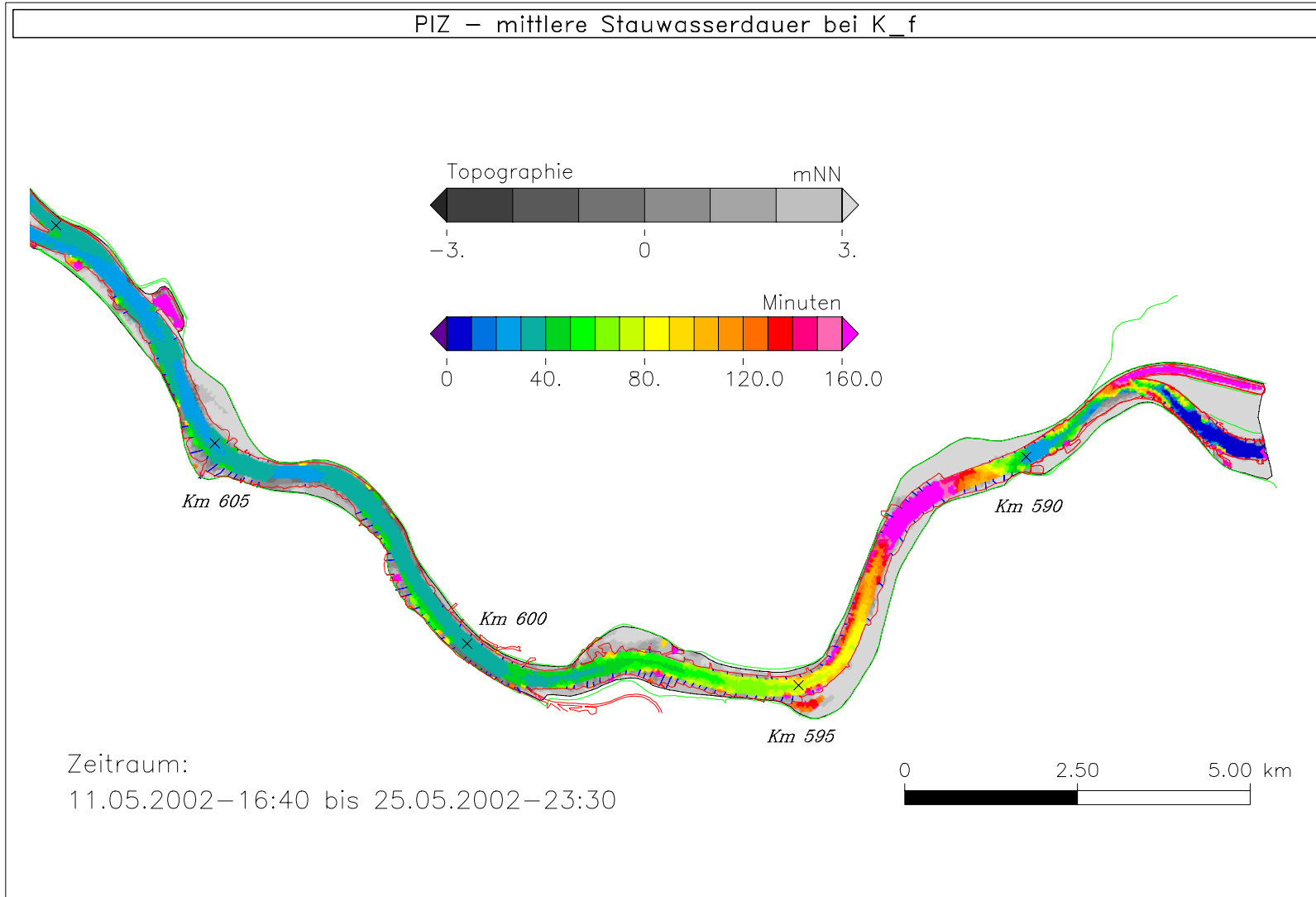


Bild 231: Mittlere Stauwasserdauer bei Kenterpunkt Flut bei niedrigem Oberwasser, Teilgebiet 1

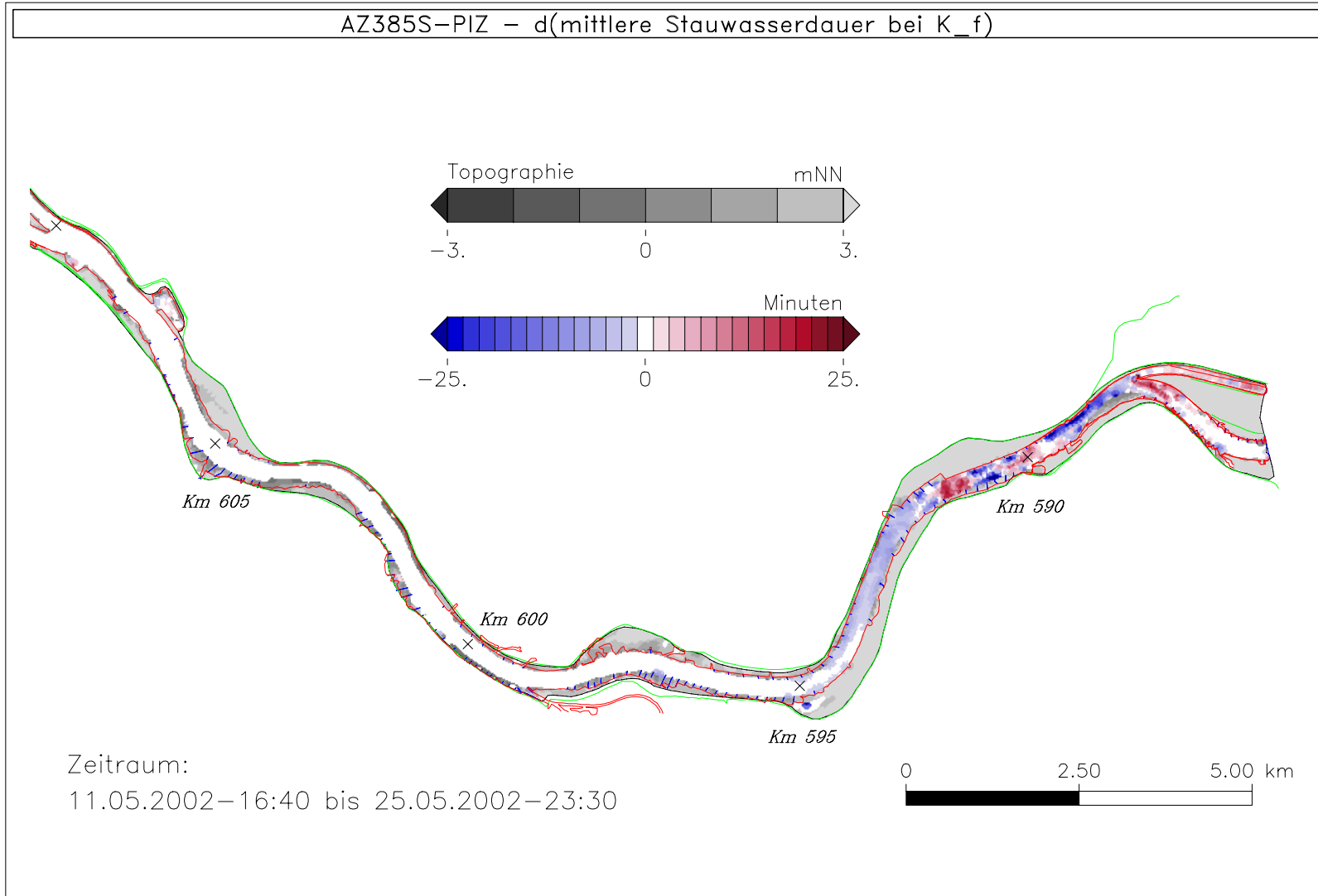


Bild 232: Differenz der mittleren Stauwasserdauer bei Kenterpunkt Flut (AZ385S - PIZ) bei niedrigem Oberwasser, Teilgebiet 1

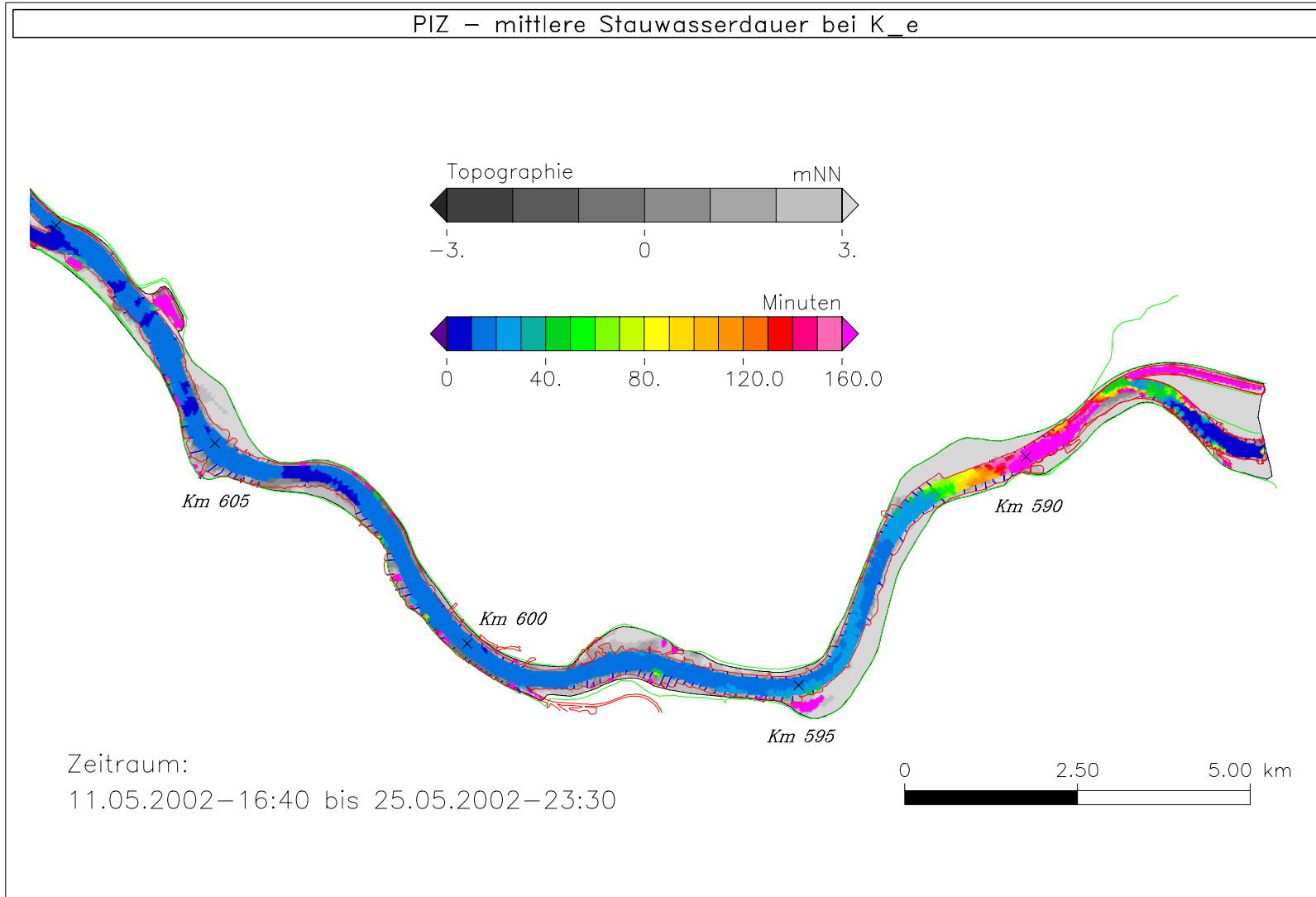


Bild 233: Mittlere Stauwasserdauer bei Kenterpunkt Ebbe bei niedrigem Oberwasser, Teilgebiet 1

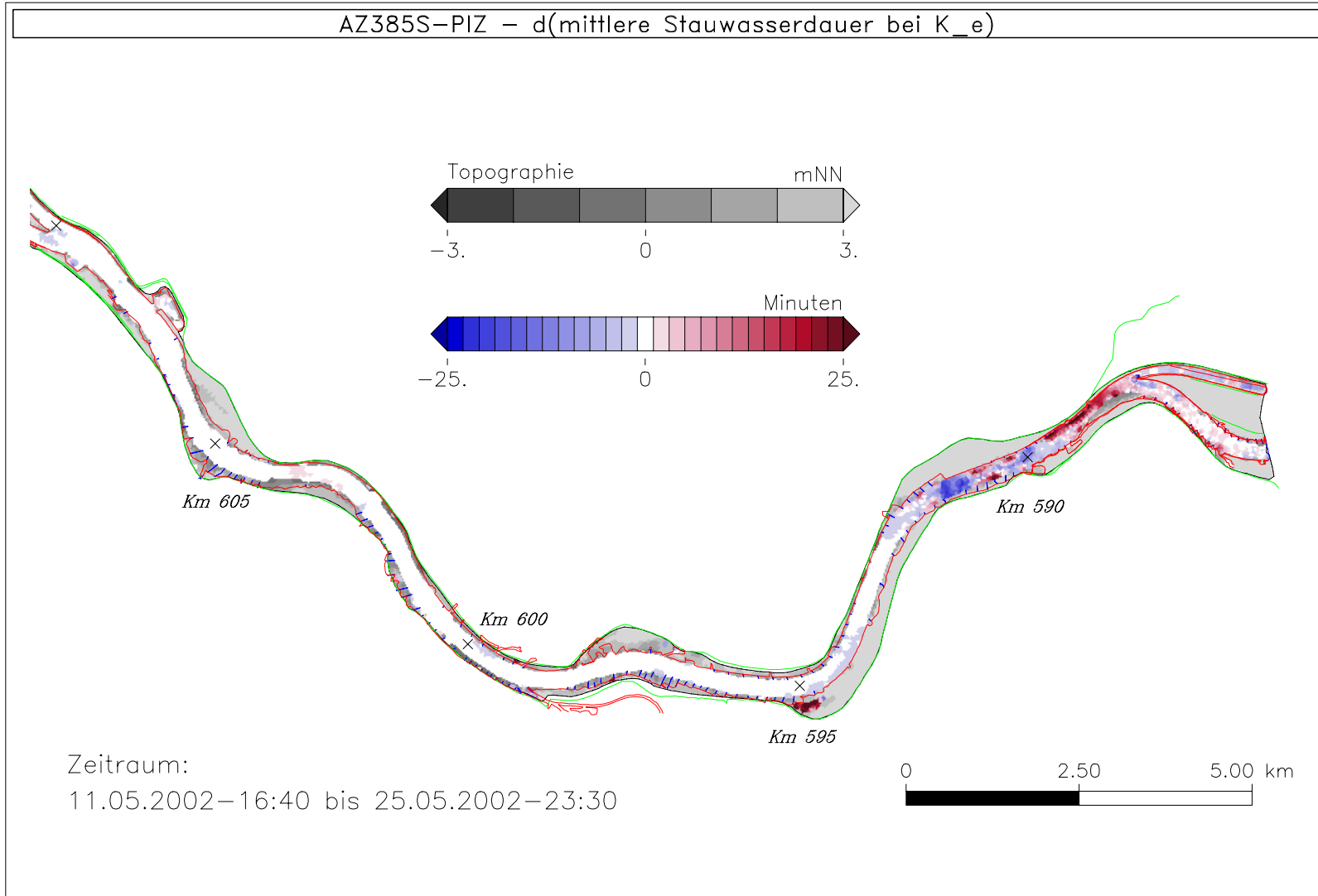


Bild 234: Differenz der mittleren Stauwasserdauer bei Kenterpunkt Ebbe (AZ385S - PIZ) bei niedrigem Oberwasser, Teilgebiet 1

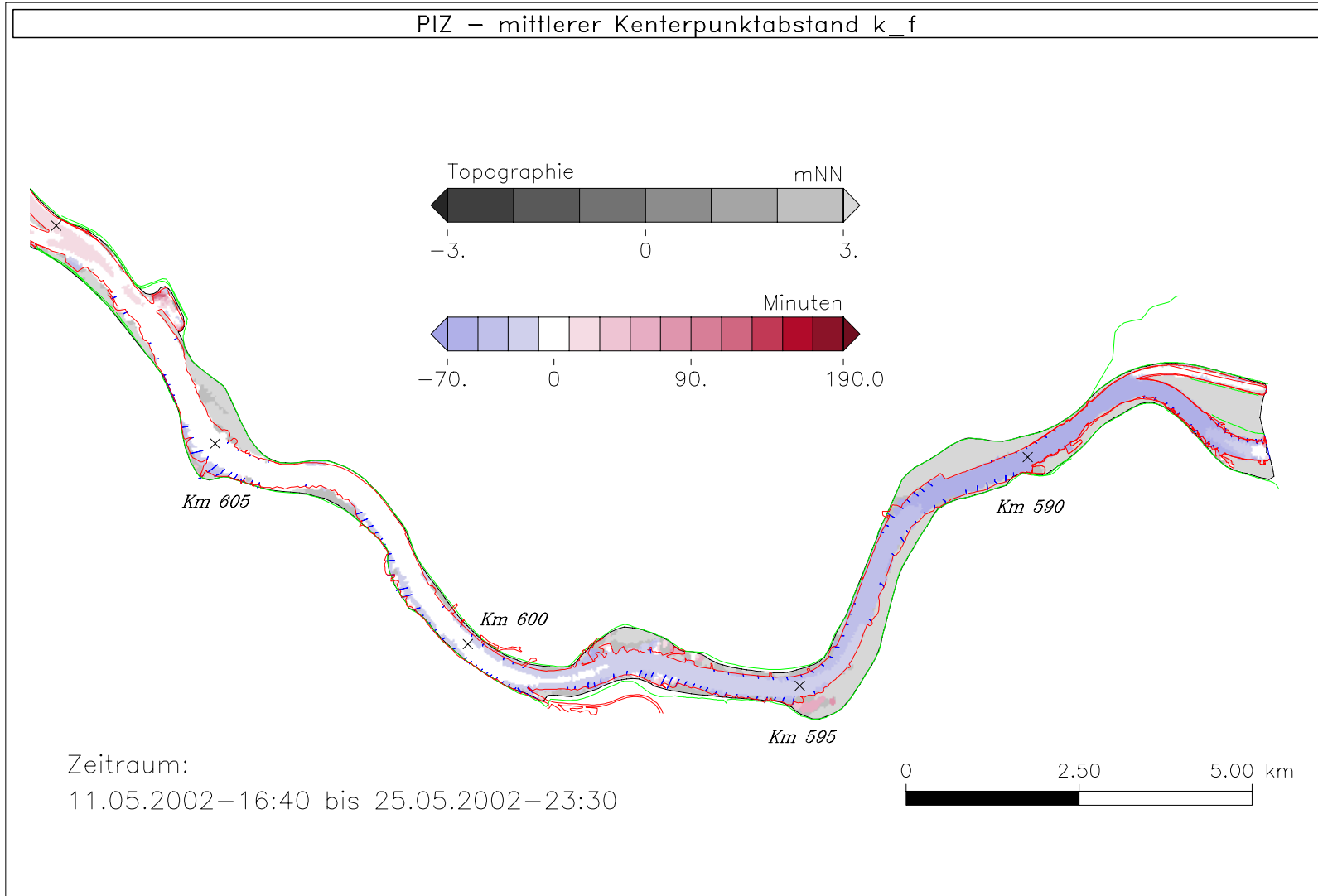


Bild 235: Mittlerer Kenterpunktabstand bei Kenterpunkt Flut bei niedrigem Oberwasser, Teilgebiet 1

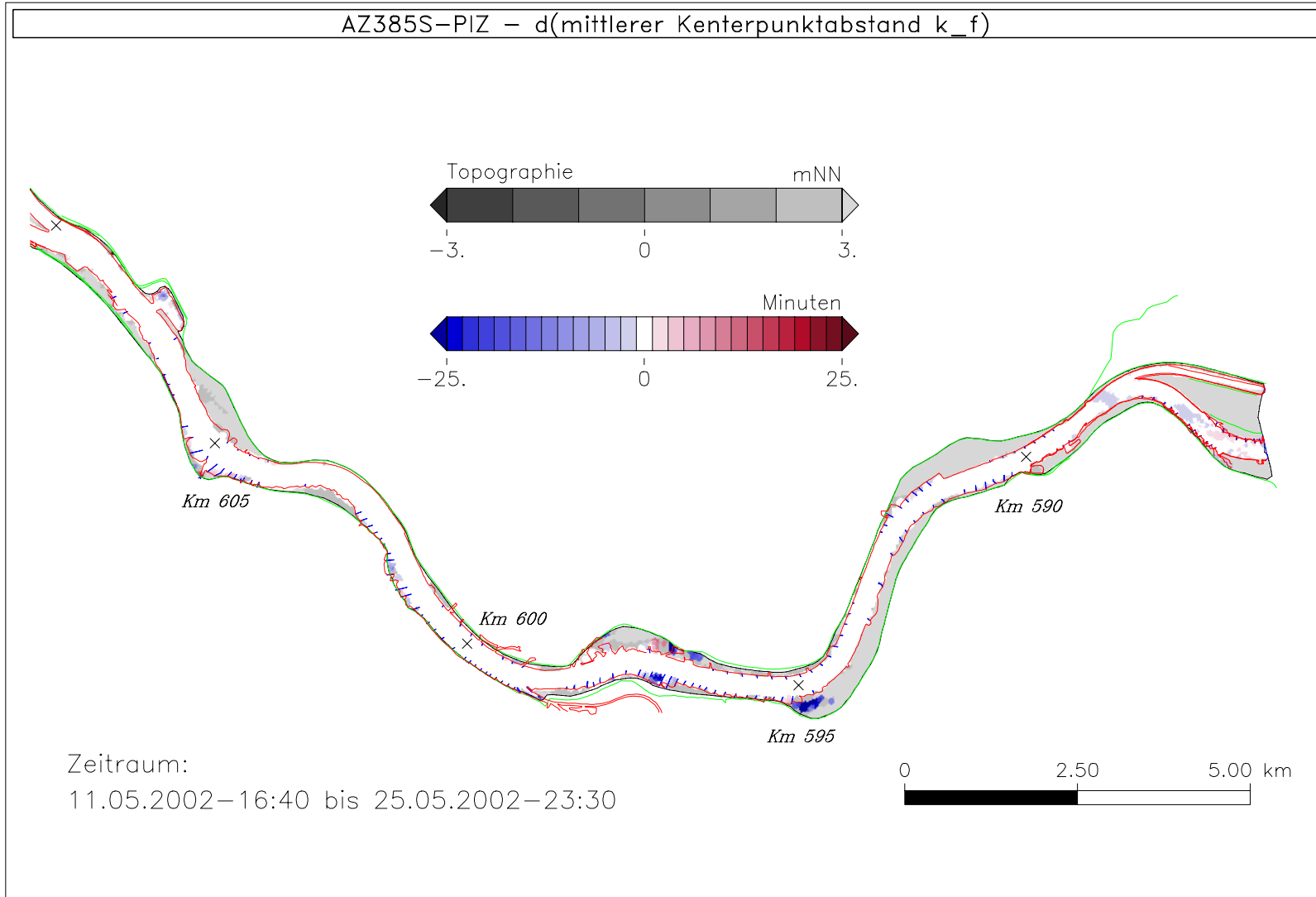


Bild 236: Differenz des mittleren Kenterpunktabstandes bei Kenterpunkt Flut (AZ385S - PIZ) bei niedrigem Oberwasser, Teilgebiet 1

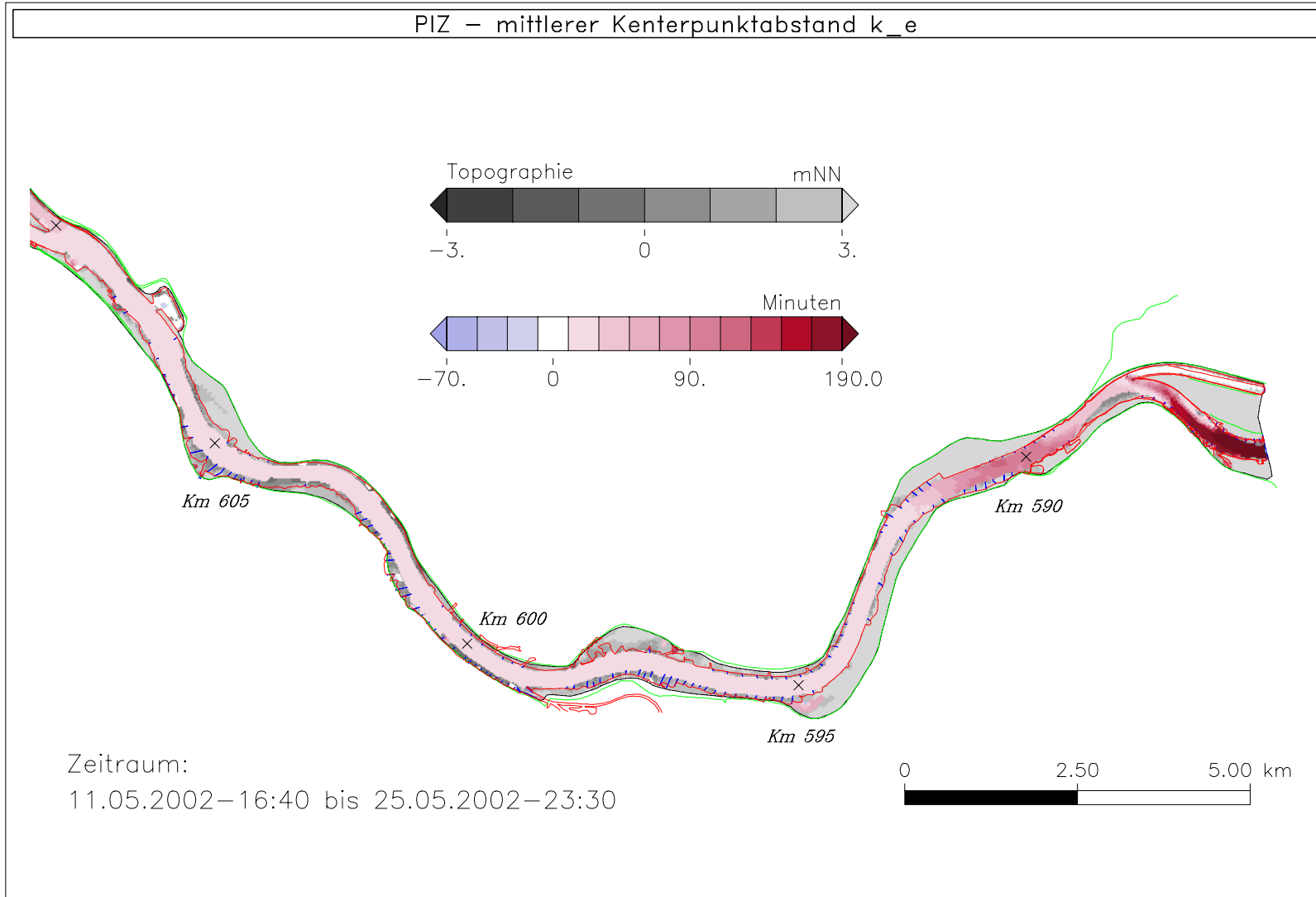


Bild 237: Mittlerer Kenterpunktabstand bei Kenterpunkt Ebbe bei niedrigem Oberwasser, Teilgebiet 1

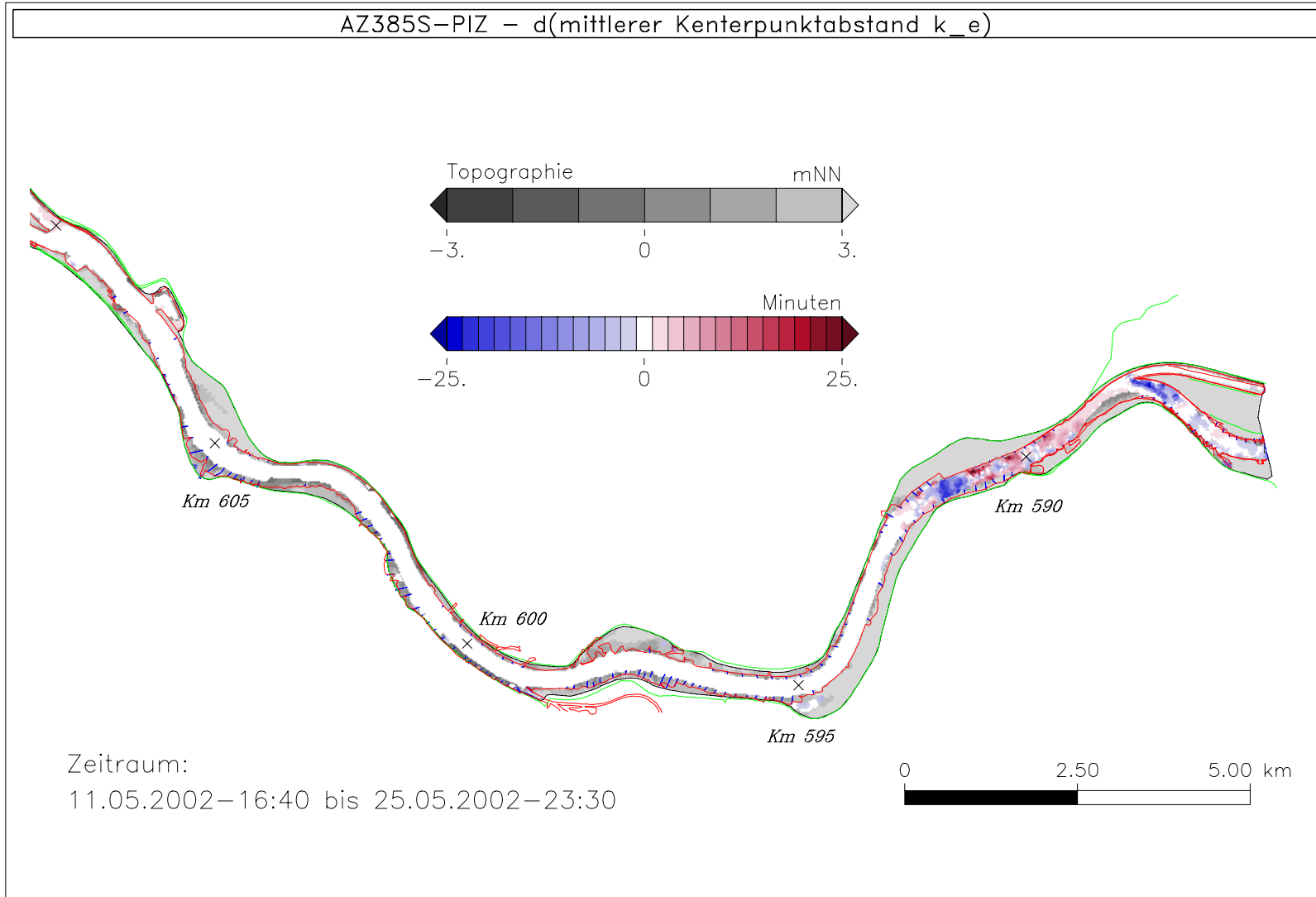


Bild 238: Differenz des mittleren Kenterpunktabstandes bei Kenterpunkt Ebbe (AZ385S - PIZ) bei niedrigem Oberwasser, Teilgebiet 1

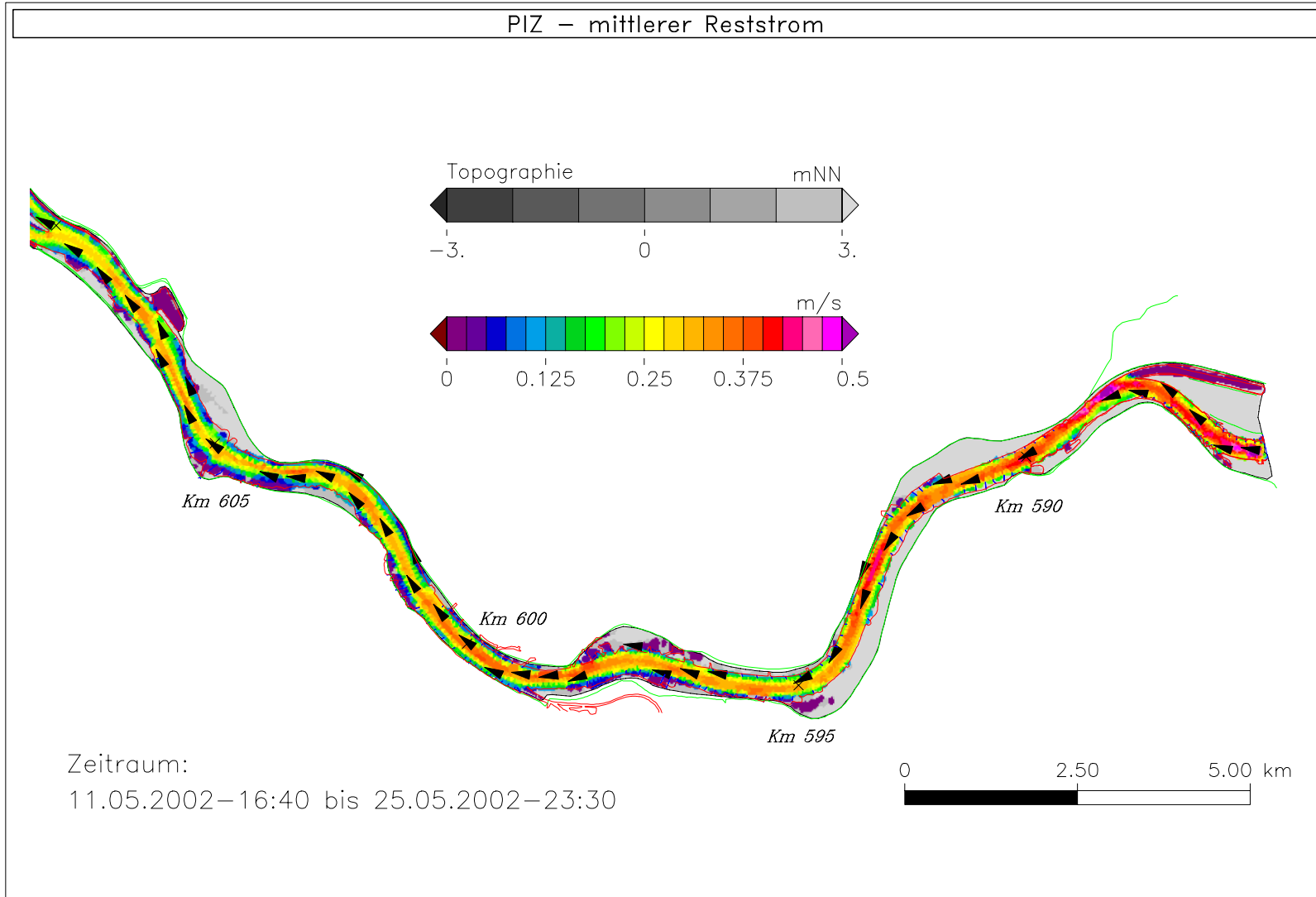


Bild 239: Reststromgeschwindigkeit bei niedrigem Oberwasser, Teilgebiet 1

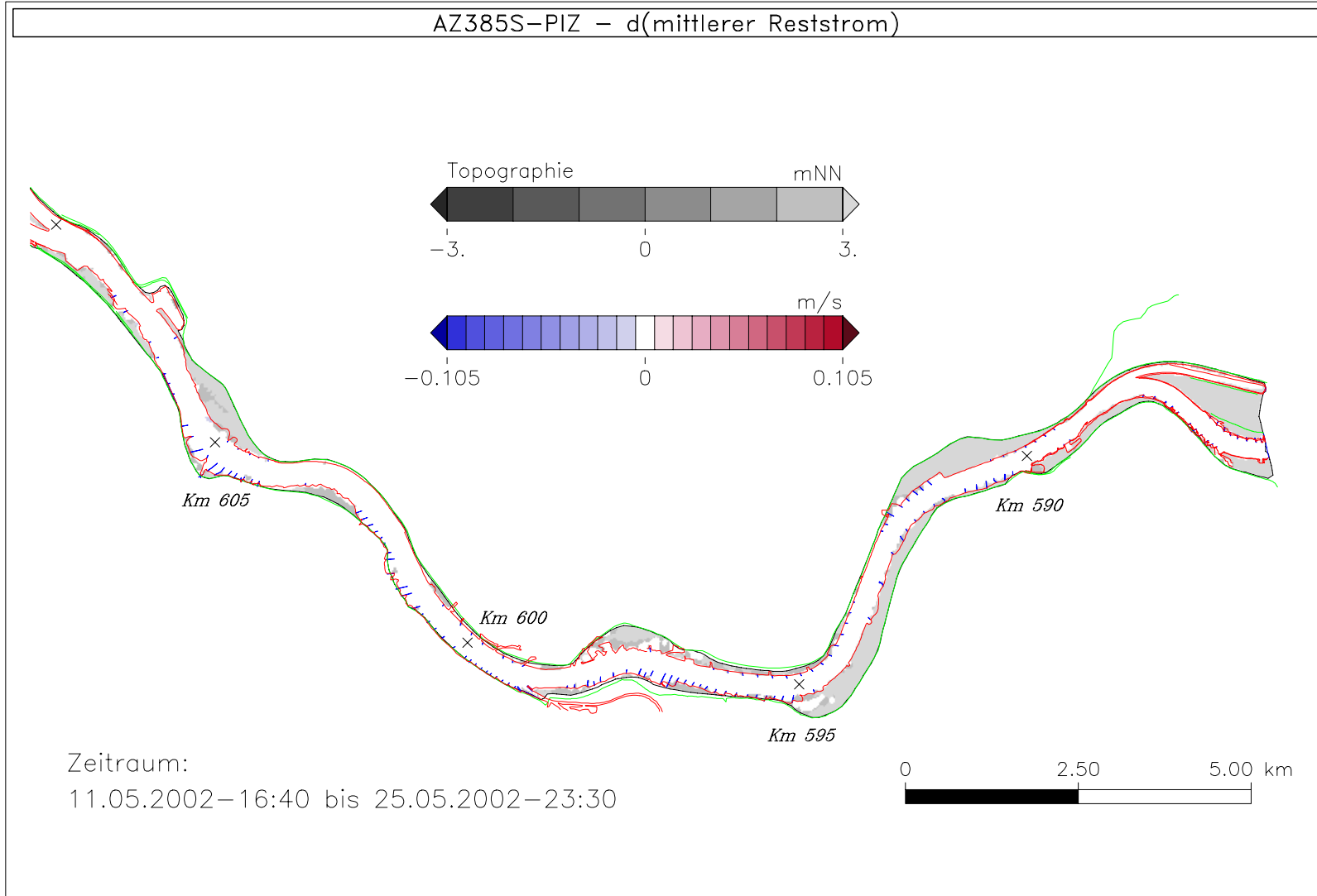


Bild 240: Differenz der Reststromgeschwindigkeit (AZ385S - PIZ) bei niedrigem Oberwasser, Teilgebiet 1

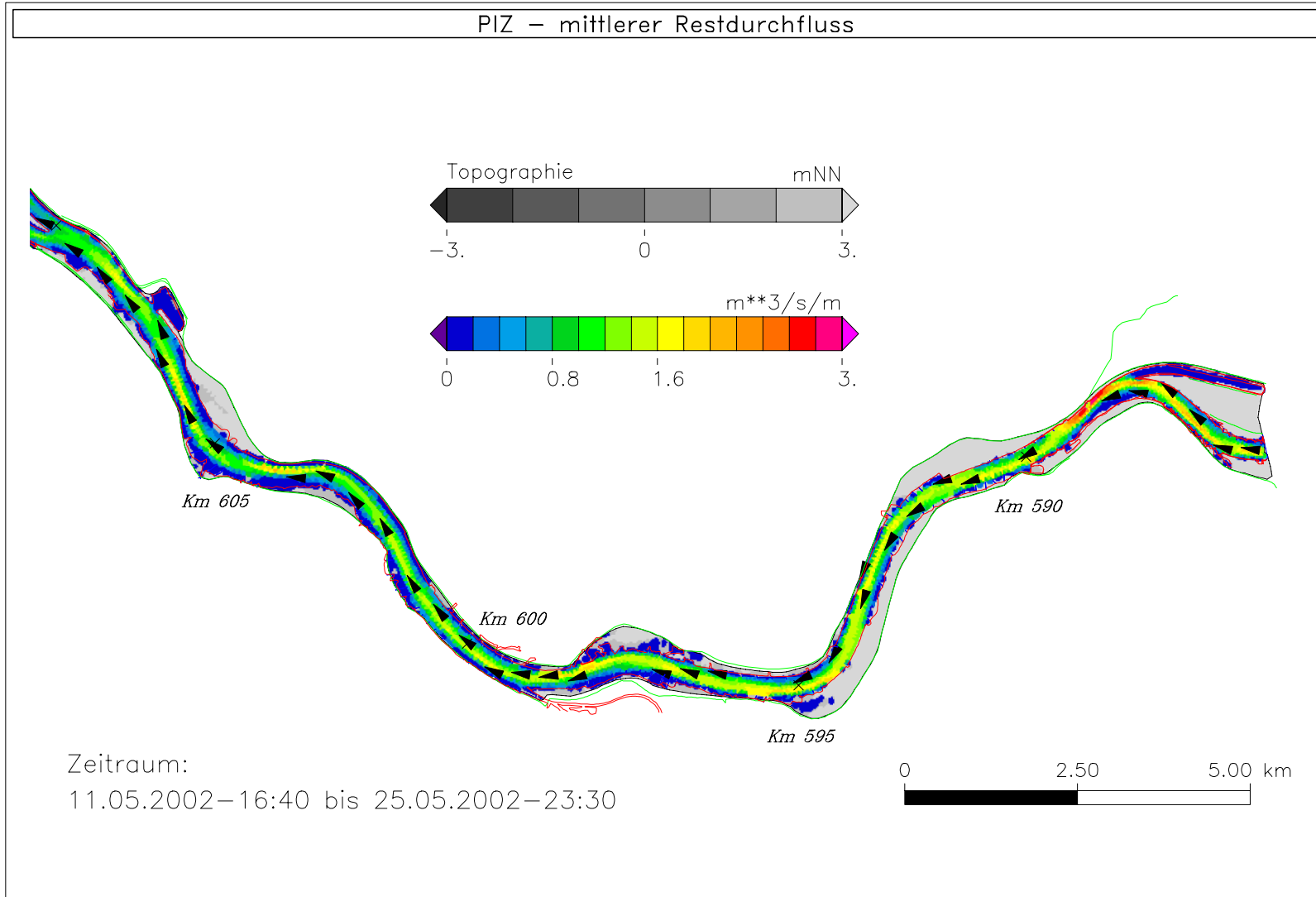


Bild 241: Restdurchfluss bei niedrigem Oberwasser, Teilgebiet 1

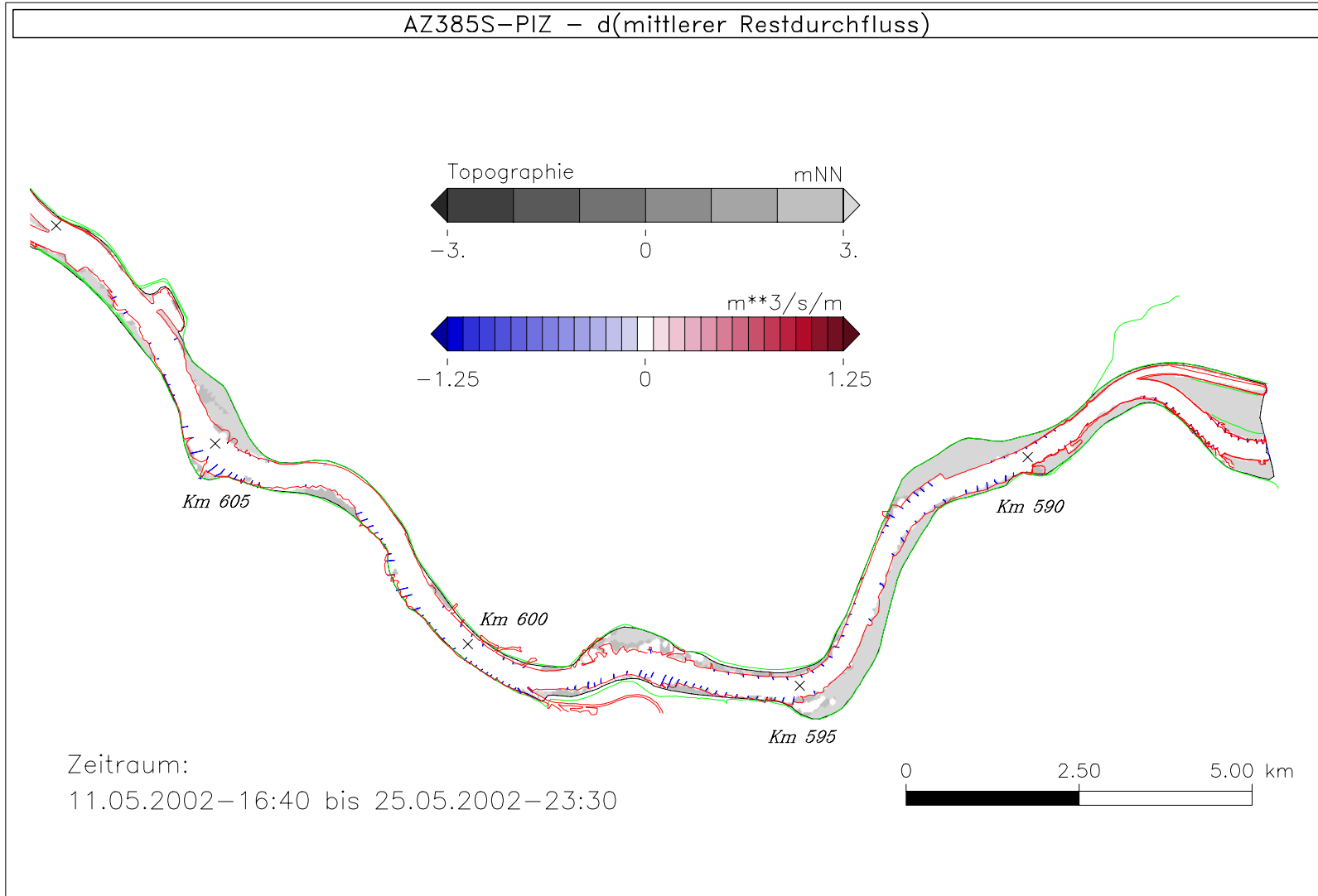


Bild 242: Differenz des Restdurchflusses (AZ385S - PIZ) bei niedrigem Oberwasser, Teilgebiet 1